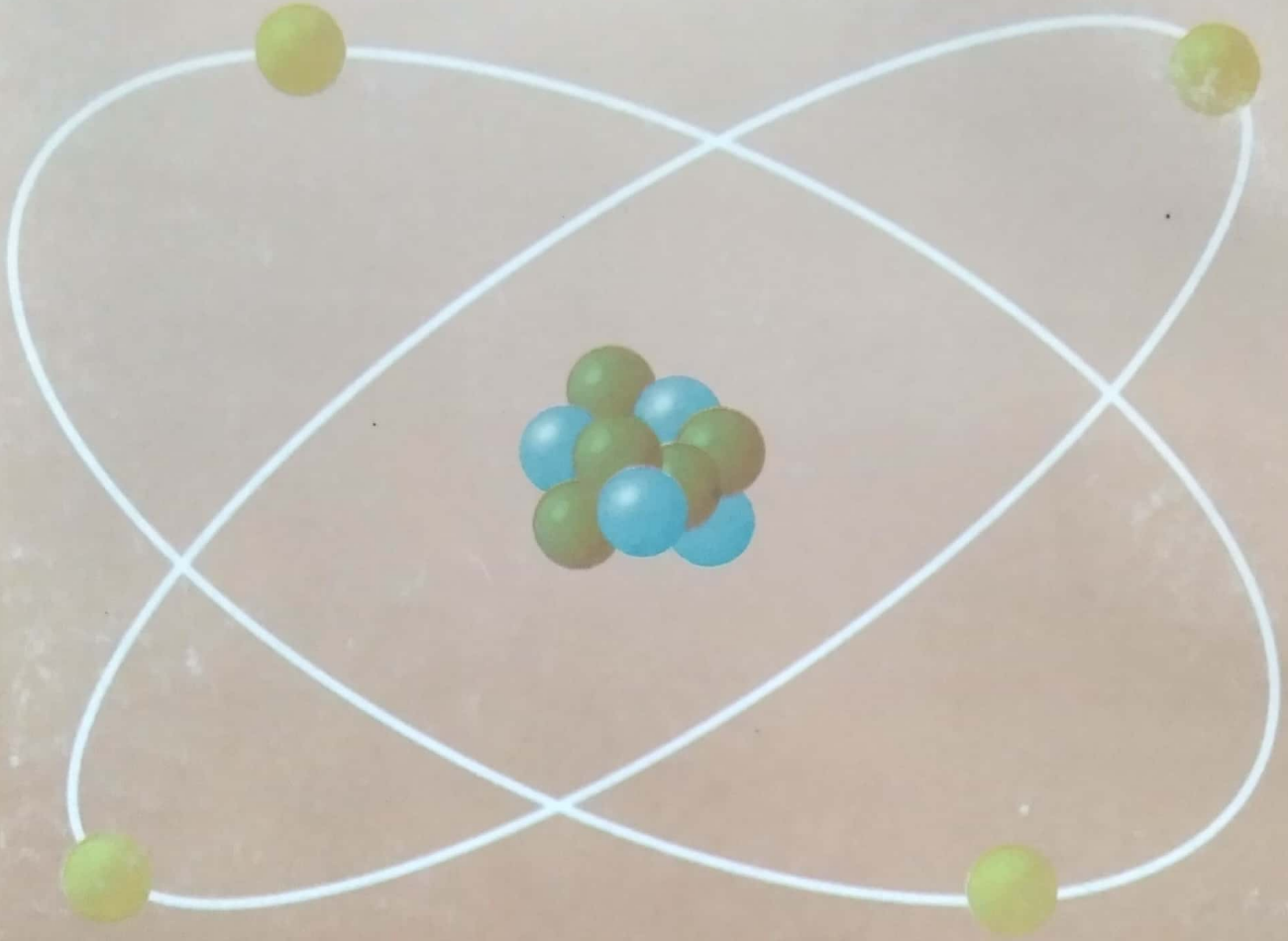


T. B Mahmoud Abdelhakiam

# أسس الجيوكيمياء



أحمد حسين حشاش

محمد أحمد قزلاز

مركز النشر العالمي  
جامعة الملك عبد العزيز  
جدة



♥ لاتنسي الدعاء والصلاه ع النبي

# أسس الجيوكيمياء

أحمد حسين حشاش  
أستاذ الجيوكيمياء

محمد أحمد قزاز  
أستاذ الجيوكيمياء

كلية علوم الأرض - جامعة الملك عبد العزيز  
هذة - المملكة العربية السعودية

مركز النشر العالمي  
جامعة الملك عبد العزيز  
ص ب ١٥٤٠ - جدة ٢١٤٤١  
المملكة العربية السعودية

© جامعة الملك عبد العزيز ١٤٢٠ هـ (٢٠٠٠ م)

جميع حقوق الطبع محفوظة . غير مسموح بطبع أي جزء من أجزاء هذا الكتاب ، أو تخزينه في أي نظام لحزن المعلومات واسترجاعها ، أو نقله على أية هيئة أو بأية وسيلة ، سواء كانت إلكترونية ، أو شرائط ممغنطة ، أو ميكانيكية ، أو استساخا ، أو تسجيلاً ، أو غيرها إلا بإذن كتابي من صاحب حق الطبع .

الطبعة الأولى : ١٤٢٠ هـ (٢٠٠٠ م)

### فهرسة مكتبة الملك فهد الوطنية أثناء النشر

قزاز ، محمد أحمد

أسس الجيوكيمياء / محمد أحمد قزاز ، أحمد حسنين هشاد.. جده.

... ص ، .. سم

ردمك : ٨-٢٢٢-٠٦-٩٩٦٠

١- كيمياء الأرض      ٢- كيمياء التربة      أ- هشاد ، أحمد  
حسنيين ( م . مشارك )      ب- العنوان

٢٠/٣٠٢٨

ديوي ٥٥١،٩

رقم الإيداع : ٢٠/٣٠٢٨

ردمك : ٨-٢٢٢-٠٦-٩٩٦٠

مطابع جامعة الملك عبد العزيز

## تقديم

علم الجيوكيمياء هو علم دراسة المكونات الكيميائية للأرض وما يطرأ على هذه المكونات من تغيرات، سواء ما يتم منها حالياً أو ما حدث في الأحقاب والعصور الجيولوجية الغابرة. وعلى عكس الكثير من فروع علم الجيولوجيا، فإن علم الجيوكيمياء يتداخل في معظم فروع الجيولوجيا الأخرى، وأصبحت المشاركة بالتحاليل الكيميائية أو بالأسس النظرية للكيمياء ظاهرة متكررة في كافة الدراسات الجيولوجية.

وفي الحقيقة فقد تطور علم الجيوكيمياء تطوراً كبيراً في النصف الثاني من القرن الحالي، واتسع حتى شمل جميع فروع الكيمياء تقريباً (الفيزيائية، العضوية، غير العضوية، التحليلية، ... إلخ)، واتضحت بصماته وتأثيراته عليها، بل إنه ظل يتسع ليشمل أيضاً جميع فروع علوم الأرض، وتجاوزت الأدبيات الجيوكيميائية ما ينشر في باقي أفرع علوم الأرض مجتمعة.

من هذا المنطلق، كان اهتمامنا بتقديم كتاب عن "أسس الجيوكيمياء" باللغة العربية، بعد أن لمسنا القصور في استيعاب هذه الأسس عند تدريسها بلغة أجنبية لأبنائنا من طلاب الأمة العربية. وتناسب مادة الكتاب طلاب المرحلة الجامعية بصفة خاصة؛ وقد يكون مفيداً لبعض طلاب الدراسات العليا في بعض الفروع. كما نتوقع أيضاً أن يفيد من هذا الكتاب الجيولوجيون ورجال التعدين ممن تدفعهم دراساتهم أو أعباؤهم المهنية إلى التعامل مع "الجيوكيمياء"، سواء كان ذلك التعامل مع مفاهيم ونظريات أو مع بيانات وتحاليل وأرقام.

وقد استشرنا، عند وضع الإطار العام للكتاب، أشهر الكتب والمراجع المؤلفة في هذا المجال، وحاولنا تحقيق أكبر قدر من التوازن بين الموضوعات التي نتناولها. ورغم ذلك، فقد أعطينا لـ جيوكيمياء الصخور بأنواعها الثلاثة الرئيسة اهتماماً أكبر، وتشكل الأبواب الخاصة بـ جيوكيميائيتها العمود الفقري للكتاب.

يبدأ الكتاب بمقدمة مبسطة عن الذرة، وتركيبها الداخلي، ومكوناتها، وطرق بناء الأغلفة، والمدارات الإلكترونية، ويتدرج حتى الوصول إلى الجدول الدوري للعناصر،



والتشابه بين مجموعاته. وقد حرصنا على عدم الإطالة في هذا الفصل، اعتماداً على ما يدرسه الطالب من مادة مشابهة في مواد الكيمياء والفيزياء في المستوى الأول الجامعي، لذا اقتصر الحديث على أكثر المفاهيم ارتباطاً بالجيوكيمياء.

ينقسم الباب الثاني إلى موضوعين رئيسيين يهدفان إلى ترسيخ علاقة مكونات الأرض بمكونات الكون ككل، والمجموعة الشمسية على الأخص. لهذا شمل الباب في جزئه الأول مقدمة عن نشأة الكون والنظريات المختلفة لهذه النشأة. يلي ذلك جزء عن وفرة العناصر بالكون والمجموعة الشمسية والنيازك، ثم فكرة وجيزة عن نشأة العناصر بشكل عام. وأعطيت النيازك اهتماماً أكبر في هذا الجزء؛ لكونها تمثل الحقيقة المؤكدة عن المواد التي تكون الكون من حولنا خارج الأرض. أما الجزء الثاني من هذا الباب فيتحدث عن البناء الداخلي للأرض، والتركيب الكيميائي للقشرة، والوشاح، والأرض ككل، مع التصنيف الجيوكيميائي للعناصر.

يتناول الفصل الثالث مقدمة عن المفاهيم الأساسية في الديناميكا الحرارية، وأهم قوانينها، ومدى ارتباطها بعلم الجيوكيمياء. ثم يتطرق باقي الباب إلى قاعدة الصنف بهدف توحيد وتأكيد معاني المصطلحات العلمية المستخدمة في باقي الكتاب.

يتناول الباب الرابع كيمياء البلورات، خاصة ما يتعلق بقوة الربط الداخلية بين الذرات المكونة للمعادن وتحديد أقطارها. كما يؤكد على البنية البلورية للمعادن، وما يمكن أن يحدث لها من تغيرات، وأسباب ذلك، خاصة ما يتعلق بالإحلال الذري والمحاليل الجامدة. يعد الباب الخامس – وهو عن جيوكيمياء الصخور النارية – أحد الأبواب الرئيسية للكتاب. ونظراً لما أدخلته نظرية الألواح التكتونية من مفاهيم جديدة وتغيرات واسعة في أدبيات هذا الموضوع خلال العقدين الأخيرين، فقد خصص جزء ليس بالقليل في بداية الفصل لشرح موجز عن النظرية لتوحيد المصطلحات وترسيخ معانيها. ثم تحدثنا عن التحاليل الكيميائية، وكيفية التأكد من صحتها، ومدى الاعتداد بها. ثم انتقلنا إلى المكونات الكيميائية للصخور النارية بدءاً بالمكونات الرئيسية، مبرزين استخدامات وأهمية كل مكون. ثم انتقلنا إلى المكونات الشحيحة، وعالجناها كمجموعات متشابهة الخواص والسلوك، وأبرزنا أهم استخداماتها. بعد ذلك انتقلنا إلى إيضاح مدى تأثير تركيب الصهارة بالأوضاع والبيئات التكتونية التي نشأت بها، ثم أعطينا كثير من الأمثلة عن كيفية استخدام البيانات الرئيسية والشحيحة في معرفة بيئات تكون الصخور القديمة، ودرجة الوثوق في هذه الاستنتاجات.

ويعد الباب السادس عن جيوكيمياء الصخور الرسوبية أيضا من أهم أجزاء هذا الكتاب، إذ يعالج الموضوع من بداية نشأته، فيشرح التغيرات الكيميائية المصاحبة لعمليات التجوية، ونواتج هذه العمليات، وما يطرأ على هذه النواتج من تغيرات حتى تصل إلى مستقرها النهائي بعملية الترسيب. ثم يختتم الباب بمناقشة كافة العوامل والعمليات المصاحبة لعملية الترسيب هذه.

ويعالج الباب السابع جيوكيمياء الصخور المتحولة مستكملا بذلك جميع أنواع الصخور. وقد تم التركيز في هذا الباب على العوامل والعمليات المسببة لظاهرة التحول، ثم عرضنا لمفهوم السحنة المتحولة، والتغيرات الكيميائية المصاحبة. ثم عرضنا لتحول أنواع متعددة من الصخور النارية والرسوبية، وأظهرنا كافة العمليات الكيميائية المصاحبة. كما عرضنا لرتب التحول حتى رتبها الفائقة، وما يحدث بها من تغيرات. وفي نهاية الباب، تناولنا باختصار سلوك العناصر الشحيحة ومعاملات تجزؤها في الصخور المتحولة.

يشمل الباب الثامن والخاص بجيوكيمياء النظائر جزئين أساسيين: الأول يتعلق بالنظائر المشعة، وما يتصل بها من ظاهرة التحلل الإشعاعي؛ والثاني يتعلق بالنظائر المستقرة وما يتصل بها من ظاهرة التجزؤ النظائري. في الجزء الأول عرضنا كيفية اشتقاق قانون التحلل الإشعاعي، ثم تطرقنا لأهم تطبيقاته في الجيولوجيا في مجال تأريخ الصخور النارية والمتحولة. وتناولنا أهم طرق تحديد الأعمار، وشروط ومشاكل وقيود تطبيق كل طريقة، وكذلك كيفية الاستفادة من النظائر المستقرة ذات الأصل الإشعاعي في معرفة أصل ومصدر الصخور النارية. في الجزء الثاني عرضنا ظاهرة التجزؤ النظائري، والاتجاهات العامة المصاحبة لها، ثم تناولنا بالتفصيل نظائر كل من الهيدروجين والأكسجين والكربون والكبريت، واستخدامات وتطبيقات كل منها في فروع علوم الأرض المختلفة.

وقد خصصنا الباب التاسع لجيوكيمياء الماء، وحرصنا على تقديم معلومات كافية عن جيوكيميائية أنواع المياه الطبيعية المختلفة؛ لكننا ركزنا، تمثيا مع الاهتمامات العالمية والمحلية المختلفة، على الجوانب البيئية وما تتعرض له المياه الآن من تلوث مصحوب بأخطار بالغة.

وفي الباب الأخير عالجنا جيوكيميائية الغلاف الجوى بنفس طريقة الفصل السابق. فإلى جانب الاهتمام بمكونات الهواء الأساسية وتوزيعاتها، أعطينا عناية خاصة للتلوث

الكيميائي للهواء نتيجة الاحتراق المتزايد للوقود الأحفوري، وما تنتجه المشاريع الصناعية الضخمة من غازات ضارة.

وفي النهاية، نرجو أن نكون قد أضفنا بهذا العمل المتواضع ما يثرى المكتبة العلمية العربية بما ينفع الأبناء، مرحبين بأي نقد من الزملاء في الوطن العربي كله لتدارك أو إضافة أي قصور في الكتاب أو لتصحيح أو حذف أي خطأ لم ينتبه له المؤلفان، وفوق كل ذي علم عليم.

والله من وراء القصد وهو العزيز العليم.

جدة في 24 / 9 / 1420

2000/ 1 / 1

المؤلفان

محمد أحمد قزاز

أحمد حسنين حشاد



# ♥ لاتنسي الدعاء والصلاة ع النبي

## المحتويات

|    |                     |
|----|---------------------|
| هـ | تقديم .....         |
| ق  | قائمة الجداول ..... |
| ث  | قائمة الأشكال ..... |

### الباب الأول

|    |                           |
|----|---------------------------|
| 1  | العناصر الكيميائية .....  |
| 3  | الذرة .....               |
| 3  | النواة .....              |
| 3  | السحابة الإلكترونية ..... |
| 8  | طاقة التآين .....         |
| 11 | الجنول الدوري .....       |
| 11 | الدورات .....             |
| 11 | المجموعات .....           |
| 17 | مراجع الباب الأول .....   |

### الباب الثاني

|    |                             |
|----|-----------------------------|
| 21 | الكون .....                 |
| 21 | نظريات نشأة الكون .....     |
| 22 | وفرة العناصر في الكون ..... |
| 24 | نشأة العناصر .....          |
| 26 | المجموعة الشمسية .....      |
| 26 | نشأة المجموعة الشمسية ..... |
| 27 | النيازك .....               |
| 28 | أهمية دراسة النيازك .....   |
| 29 | تصنيف النيازك .....         |

|    |                                    |
|----|------------------------------------|
| 29 | ..... النيازك الصخرية              |
| 29 | ..... - الكوندرينات                |
| 31 | ..... - اللاكوندرينات              |
| 31 | ..... النيازك الصخر - حديدية       |
| 31 | ..... - البالازيت                  |
| 32 | ..... - الميزوسيدريت               |
| 32 | ..... النيازك الحديدية             |
| 32 | ..... - الهيكسايدريت               |
| 32 | ..... - أوكتايدريت                 |
| 34 | ..... - أتاكسيت                    |
| 34 | ..... التركيب الكيميائي للنيازك    |
| 39 | ..... الأرض                        |
| 40 | ..... بنائية الأرض                 |
| 40 | ..... بنائية اليابسة               |
| 41 | ..... الدلالات الجيوفيزيكية        |
| 42 | ..... تحليل الظواهر الزلزالية      |
| 45 | ..... بنائية القشرة                |
| 47 | ..... التركيب الكيميائي للقشرة     |
| 52 | ..... بنائية الوشاح                |
| 52 | ..... الوشاح العلوى                |
| 55 | ..... النطاق الانتقالى             |
| 55 | ..... الوشاح السفلى                |
| 56 | ..... التركيب الكيميائي للوشاح     |
| 57 | ..... اللب                         |
| 58 | ..... التركيب الكلى للأرض          |
| 61 | ..... التصنيف الجيوكيميائى للعناصر |
| 66 | ..... مراجع الباب الثانى           |

## الباب الثالث

|     |  |
|-----|--|
| 69  | ..... الديناميكا الحرارية                          |
| 71  | ..... مفاهيم أساسية في الديناميكا الحرارية         |
| 71  | ..... الطاقة                                       |
| 72  | ..... القانون الأول في الديناميكا الحرارية         |
| 75  | ..... الإنتالبية                                   |
| 79  | ..... القانون الثاني في الديناميكا الحرارية        |
| 79  | ..... الإنتروبية والطاقة الطليقة                   |
| 83  | ..... دالة جيبس                                    |
| 87  | ..... المعادن المستقرة وغير المستقرة وشبه المستقرة |
| 91  | ..... الاتزان في الكيانات الجيولوجية               |
| 92  | ..... الكيان                                       |
| 93  | ..... الصنف  |
| 94  | ..... المكون                                       |
| 96  | ..... الاتزان                                      |
| 96  | ..... الاتزان الحرارى                              |
| 97  | ..... الاتزان الكيميائى                            |
| 97  | ..... ثابت الاتزان                                 |
| 99  | ..... قــــاعـدة الصنف                             |
| 108 | ..... مراجع الباب الثالث                           |

## الباب الرابع

|     |                            |
|-----|----------------------------|
| 111 | ..... كيمياء البلورات      |
| 111 | ..... طبيعة المواد الجامدة |
| 112 | ..... قوى الربط            |
| 112 | ..... الرابطة الأيونية     |
| 115 | ..... الرابطة التساهمية    |



|     |       |                                |
|-----|-------|--------------------------------|
| 117 | ..... | رابطه فان ديرفال               |
| 118 | ..... | الرابطه الفلزية                |
| 118 | ..... | أنصاف الأقطار                  |
| 125 | ..... | البنية البلورية                |
| 138 | ..... | التشابه الشكلى                 |
| 139 | ..... | التعدد الشكلى                  |
| 144 | ..... | الإحلال النرى و المحلول الجامد |
| 149 | ..... | مراجع الباب الرابع             |

### الباب الخامس

|     |       |  |
|-----|-------|--|
| 153 | ..... | جيوكيمياء الصخور النارية                           |
| 154 | ..... | الصهارة السليكاتية                                 |
| 155 | ..... | مصدر الصهارة                                       |
| 159 | ..... | العمليات المتسببة فى تغير التركيب الكيمائى للصهارة |
| 161 | ..... | الانصهار الجزئى                                    |
| 162 | ..... | التمايز الصهيرى                                    |
| 164 | ..... | التبلور التفاضلى                                   |
| 168 | ..... | الخلط فى غرف الصهير                                |
| 168 | ..... | التلوث القشرى                                      |
| 170 | ..... | التركيب الكيمائى للصخور النارية                    |
| 170 | ..... | التحليل الكيمائى للصخور النارية                    |
| 175 | ..... | التركيب الكيمائى للصخور النارية                    |
| 178 | ..... | السليكا  |
| 182 | ..... | الألومينا  |
| 184 | ..... | القلويات   |
| 191 | ..... | الحديد والمغنسيوم                                  |
| 196 | ..... | الكالسيوم  |

|     |   |
|-----|---|
| 199 | ..... التيتانيوم  |
| 202 | ..... المنجنيز والفوسفور  |
| 203 | ..... الماء   |
| 204 | ..... العناصر النزرة  |
| 205 | ..... قواعد انفصال العناصر من الصهارة                             |
| 209 | ..... توزيع العناصر النزرة بين المعادن                            |
| 211 | ..... وفرة العناصر النزرة فى الصخور النارية                       |
| 212 | ..... السلوك الجيوكيميائى للعناصر النزرة                          |
| 212 | ..... العناصر المتوافقة   |
| 214 | ..... العناصر غير المتوافقة (الناشرة)                             |
| 220 | ..... العناصر الأرضية النادرة                                     |
| 227 | ..... العناصر الكبريتيدية الميل (الكالكوفيلية)                    |
|     | العناصر النزرة وعلاقتها بالوضع التكتونى لنشأة                     |
| 231 | ..... الصخور النارية  |
| 244 | ..... ملحق عن كيفية حساب معيار لصخر نارى من التحليل الكيميائى ... |
| 250 | ..... مراجع الباب الخامس  |

## الباب السادس

|     |   |
|-----|---|
| 257 | ..... جيوكيمياء الصخور الرسوبية         |
| 257 | ..... التجوية                           |
| 257 | ..... التجوية الفيزيكية                 |
| 258 | ..... التجوية الكيميائية                |
| 259 | ..... التأين                            |
| 260 | ..... التميؤ                            |
| 261 | ..... الأكسدة                           |
| 267 | ..... البكتيريا ودورها فى عملية التجوية |
| 267 | ..... نواتج التجوية الكيميائية          |

|     |                                    |
|-----|------------------------------------|
| 271 | نواتج الترسيب .....                |
| 274 | الصخور الرملية .....               |
| 275 | المعادن الطينية .....              |
| 278 | الكاولينيت .....                   |
| 280 | المونتموريلونيت .....              |
| 281 | الإليت .....                       |
| 282 | الكلوريت .....                     |
| 284 | صخور الطفلة .....                  |
| 286 | التربة .....                       |
| 287 | تصنيف التربة .....                 |
| 291 | رسوبيات الكربونات .....            |
| 291 | كربونات الكالسيوم .....            |
| 294 | الدولوميت .....                    |
| 296 | رسوبيات كربونات أخرى .....         |
| 297 | كربونات الحديد .....               |
| 298 | كربونات المغنسيوم .....            |
| 299 | الترسبات الملحية (المتبخرات) ..... |
| 301 | مراجع الباب السادس .....           |

### الباب السابع

|     |                                 |
|-----|---------------------------------|
| 305 | جيوكيمياء الصخور المتحولة ..... |
| 305 | ظاهرة التحول .....              |
| 306 | عوامل التحول .....              |
| 306 | الحرارة .....                   |
| 307 | الضغط .....                     |
| 308 | الموائع .....                   |
| 309 | تقسيم الصخور المتحولة .....     |



|     |   |
|-----|---|
| 311 | التركيب المعدنى للصخور المتحولة .....                 |
| 316 | التفاعلات التحولية : أنواعها ونواتجها .....           |
| 317 | تحول الصخور الكربونائية .....                         |
| 319 | تحول صخور الطفلة .....                                |
| 321 | تحول الصخور فوق المافية .....                         |
| 322 | تحول الصخور المافية .....                             |
| 324 | تحول الصخور المتوسطة .....                            |
| 325 | مفهوم السحنة المتحولة .....                           |
| 330 | التمثيل البيانى للتغيرات الكيميائية بين السحنات ..... |
| 333 | التحوال كنوع من التحول .....                          |
| 335 | التحول الفائق .....                                   |
| 336 | سلوك العناصر النزرة خلال عمليات التحول .....          |
| 339 | مراجع الباب السابع .....                              |

## الباب الثامن

|     |   |
|-----|---|
| 343 | جيوكيمياء النظائر .....                       |
| 343 | النظائر .....                                 |
| 344 | تصنيف النظائر .....                           |
| 345 | علم جيوكيمياء النظائر .....                   |
| 345 | ظاهرة التحلل الإشعاعى .....                   |
| 348 | قانون التحلل الإشعاعى .....                   |
| 351 | طرق التحلل الإشعاعى .....                     |
| 353 | قانون التحلل الإشعاعى وتقدير عمر الصخور ..... |
| 354 | طرق تقدير أعمار المعادن والصخور .....         |
| 354 | طريقة روبيدوم - سترانشيوم .....               |
| 359 | طريقة يورانيوم - ثوريوم - رصاص .....          |
| 365 | طريقة بوتاسيوم - أرجون .....                  |

|     |                                       |
|-----|---------------------------------------|
| 368 | طريقة كربون — 14                      |
| 371 | النظائر المستقرة                      |
| 371 | عمليات التجزؤ النظائرى                |
| 372 | قياس التجزؤ النظائرى                  |
| 374 | اتجاهات عامة فى ظاهرة التجزؤ النظائرى |
| 375 | تطبيقات لظاهرة التجزؤ النظائرى        |
| 375 | نظائر الأكسجين والهيدروجين            |
| 384 | نظائر الكربون                         |
| 388 | نظائر الكبريت                         |
| 393 | مراجع الباب الثامن                    |

### الباب التاسع

|     |                                    |
|-----|------------------------------------|
| 397 | جيوكيمياء الماء                    |
| 398 | صفات الماء الخاصة                  |
| 400 | تركيب مياه البحار والقارات         |
| 400 | تركيب مياه البحار                  |
| 405 | تركيب مياه القارات                 |
| 408 | اتزان العناصر المذابة فى ماء البحر |
| 412 | مكونات ماء الشرب وخصائصه           |
| 413 | تقويم التحاليل الكيميائية للماء    |
| 418 | الماء والبيئة                      |
| 422 | مراجع الباب التاسع                 |

### الباب العاشر

|     |                     |
|-----|---------------------|
| 425 | كيمياء الغلاف الجوى |
| 425 | الغلاف الجوى        |
| 429 | نشأة الغلاف الجوى   |

|     |                                     |
|-----|-------------------------------------|
| 433 | ..... مصادر مكونات الغلاف الجوي     |
| 434 | ..... العمليات المبددة للغلاف الجوي |
| 434 | ..... تلوث الغلاف الجوي             |
| 435 | ..... الملوثات الهوائية             |
| 437 | ..... مصادر تلوث الهواء             |
| 439 | ..... الآثار السلبية لتلوث الهواء   |
| 441 | ..... مراجع الباب العاشر            |

### ثبت المصطلحات

|     |                      |
|-----|----------------------|
| 445 | ..... عربى - إنجليزى |
| 455 | ..... إنجليزى - عربى |
| 465 | ..... كشف الموضوعات  |



لاتنسى الدعاء والصلاه ع النبي

## قائمة الجداول

### الباب الأول

- جدول 1-1 معلومات أساسية عن الذرة ..... 4
- جدول 2-1 ترتيب توزيع الإلكترونات على أغلفة ذرات العناصر ..... 5
- جدول 3-1 آخر العناصر المكتشفة في الجدول الدوري للعناصر ومسمياتها ..... 14

### الباب الثاني

- جدول 1-2 التركيب الكيميائي للنيازك ..... 37
- جدول 2-2 مقارنة النسب المئوية لذرات العناصر الرئيسة غير المتطايرة  
في كل من النظام الشمسي والنيازك الكوندريتية ..... 38
- جدول 3-2 تقديرات للتركيب الكيميائي للقشرة ..... 49
- جدول 4-2 متوسط وجود العناصر في القشرة الأرضية ..... 50
- جدول 5-2 العناصر الرئيسة في القشرة الأرضية ونسبها الوزنية والحجمية ..... 51
- جدول 6-2 تقدير للتركيب الكيميائي للوشاح ..... 56
- جدول 7-2 التركيب الكيميائي الكلي للأرض ..... 59
- جدول 8-2 مقارنة للوجود النسبي للعناصر في المواد الكونية ..... 60
- جدول 9-2 التصنيف الجيوكيميائي للعناصر ..... 62

### الباب الثالث

- جدول 1-3 الحرارة المعيارية، الإنتروبية والطاقة الطليقة لتكون بعض المركبات  
في درجة حرارة 25°م ..... 78

#### الباب الرابع

- جدول 1-4 أنصاف الأقطار الأيونية، التساهمية والفلزية لبعض العناصر ..... 123
- جدول 2-4 العلاقة بين الأعداد التناسقية ونسب أنصاف الأقطار ..... 126
- جدول 3-4 أعداد التناسق المحسوبة والملاحظة لبعض الكاتيونات الشائعة ..... 127

#### الباب الخامس

- جدول 1-5 تركيزات العناصر الرئيسة الموصى باستخدامها في مجموعة من العينات القياسية ..... 174
- جدول 2-5 متوسطات المكونات الرئيسة لبعض الأنواع الشائعة من الصخور النارية الفيضية ..... 176
- جدول 3-5 متوسطات تركيز التيتانيوم في صخور بركانية ذات نشأة تكتونية متباينة ..... 200
- جدول 4-5 السالبية الكهربائية لبعض العناصر الكيميائية ..... 208
- جدول 5-5 متوسطات تركيز النيكل والكوبالت والكروم والفاناديوم والسكندنيوم في الصخور المختلفة ..... 212
- جدول 6-5 متوسطات تركيز السيزيوم والسترونشيوم والباريوم والروبيديوم في الصخور المختلفة ..... 215
- جدول 7-5 متوسطات تركيز عناصر ذات شدة مجال عالية في الصخور المختلفة ..... 218
- جدول 8-5 متوسط تركيزات العناصر الأرضية النادرة في نيازك الكوندرت ..... 225
- جدول 9-5 متوسطات تركيز بعض العناصر الكبرى في الصخور المختلفة... 228
- جدول م 1- حساب معيار لصخر نارى ..... 249

#### الباب السادس

- جدول 1-6 جهد الأكسدة لبعض التفاعلات المهمة جيوكيميائيا ..... 262
- جدول 2-6 تصنيف للمواد الناتجة عن عمليات التجوية الكيميائية ..... 268
- جدول 3-6 التركيب الكيميائي للصخور الرسوبية ..... 276
- جدول 4-6 المجاميع الرئيسة للمعادن الطينية ..... 279



- جدول 5-6 التركيب الكيميائي للمعادن الطينية ..... 283
- جدول 6-6 التركيزات المحتملة للعناصر الثانوية في الأنواع الرئيسة من الصخور الرسوبية ..... 285
- جدول 7-6 التقسيم المناخي للتربة ..... 288
- جدول 8-6 قيم حاصل الإذابة لبعض من المعادن (في 25 °م) ..... 292
- جدول 9-6 كيمياء الكربونات في مياه المحيط الباسفيكي ..... 293
- جدول 10-6 التركيب الكيميائي لمعادن المتبخرات البحرية ..... 300

### الباب السابع

- جدول 1-7 أهم المعادن المتحولة ذات الدلالة في تقسيم السحنات ..... 315
- جدول 2-7 بعض الصحبات المعدنية المميزة لرتب التحول المختلفة لصخور طفلية وكربوناتية ..... 321
- جدول 3-7 متوسط التركيب الكيميائي لبعض صخور السربنتينيت من الدرع العربي النوبي مقارنة بمتوسطات لصخور فوق مافية عالمية ..... 323
- جدول 4-7 المدى الحراري لعدد من السحنات الشائعة تحت ضغوط منخفضة مقارنة بضغط متوسط إلى عالية ..... 329
- جدول 5-7 الصحبات المعدنية لعدد من السحنات المتحولة لصخور نارية قاعدية التركيب ..... 331

### الباب الثامن

- جدول 1-8 الوفرة النسبية لنظائر الروبيديوم والسترونشيوم في الطبيعة ..... 355
- جدول 2-8 تحاليل الروبيديوم والسترونشيوم ونظائرها في جرانيت أسوان ..... 357

### الباب التاسع

- جدول 1-9 تقديرات كميات المياه في المستودعات المختلفة للغلاف المائي ..... 398
- جدول 2-9 المكونات الرئيسة المذابة في ماء البحر ..... 402



- 403 ..... جدول 3-9 تقديرات لتركيز العناصر النزرة في ماء البحر
- 404 ..... جدول 4-9 تركيزات بعض الغازات المذابة في ماء البحر
- ..... جدول 5-9 تركيزات بعض العناصر الذائبة في مياه الأنهار ونسبها المئوية
- 406 ..... إلى باقى العناصر مقارنة بنسبها في مياه البحر
- 409 ..... جدول 6-9 فترات المكوث لمجموعة مختارة من العناصر
- 412 ..... جدول 7-9 الحدود القصوى لتركيز المواد المسموح بوجودها في ماء الشرب ...

#### الباب العاشر

- 428 ..... جدول 1-10 متوسط تركيب الغلاف الجوى عند سطح الأرض
- 430 ..... جدول 2-10 وفرة بعض العناصر في الأرض وفي المجموعة الشمسية ككل ....

لا تنسى الدعاء والصلاه ع النبي ♥

## قائمة الأشكال

| الصفحة | الباب الأول  |
|--------|--|
| 9      | شكل 1-1 علاقة طاقة التأين بالعدد الذرى للعناصر ذات الأعداد الذرية 1-20. ....   |
| 12     | شكل 2-1 نظام توزيع العناصر ذات الأعداد الذرية من 1-20 فى جدول دورى مبسط. ....  |
| 13     | شكل 3-1 يوضح الترتيب العام لكل العناصر المعروفة فى الجدول الدورى ....  |
| 16     | شكل 4-1 شكل عام للجدول الدورى موضحا به الأحجام الأيونية لمجموعة من العناصر. ....   |
| 17     | شكل 5-1 رسم بيانى للتقلص اللانثانى لعناصر الأرض النادرة. ....  |
|        | الباب الثانى   |
| 23     | شكل 1-2 منحنى الوجود النسبى للعناصر فى النظام الشمسى. ....   |
| 30     | شكل 2-2 رسم تخطيطى لشريحة ميكروسكوبية لأحد النيازك الكوندرية. ....   |
| 30     | شكل 3-2 كوندرول لبيروكسين شعاعى فى أحد النيازك الكوندرية. ....   |
| 33     | شكل 4-2 مقطع لأحد نيازك الأوكتايدريت يظهر به نسيج ويدمنستاتن. ....   |
| 35     | شكل 5-2 تصنيف النيازك الكوندرية تبعاً لنسبة الحديد السليكاتى أمام مجموع الحديد المنفرد والكبريتيدى. ....                           |
| 36     | شكل 6-2 تصنيف النيازك اللاكوندرية تبعاً للنسبة الوزنية لأكاسيد كل من الحديد والمغنسيوم أمام النسبة الوزنية لأكاسيد الكالسيوم. .... |
| 43     | شكل 7-2 سرعة الموجتين الأولية والثانوية فى باطن الأرض. ....  |
| 43     | شكل 8-2 تغير الكثافة مع زيادة العمق فى باطن الأرض. ....  |
| 44     | شكل 9-2 بنائية الأرض. ....   |
| 54     | شكل 10-2 نموذج مقترح لبنائية الوشاح تحت الدروع القارية، متوسط القارات والمحيطات. ....  |

## الباب الثالث

- شكل 1-3 الطاقة الكامنة لقطعة مستطيلة من الخشب فى أوضاع مختلفة على سطح مستوى. .... 88
- شكل 2-3 حقول الاستقرار لشكلى كربونات الكالسيوم (الكالسيت والأراجونيت). .... 90
- شكل 3-3 مسار الطاقة الطليقة أثناء إعادة تبلور الأراجونيت إلى كالسيت فى ظروف من الضغط والحرارة. .... 91
- شكل 3-4 العلاقة بين الأصناف المختلفة لمعادن سليكات الألومنيوم ( $Al_2SiO_5$ ) شكل 5-3 منحنى الحرارة ( $T$ ) والضغط ( $P$ ) يبين حدود التفاعل المعينة معمليا للتفاعل: جاديت (jadite) + كوارتز (quartz) ← ألبيت (albite). .... 103
- شكل 3-6 حد الصنف الذى يفصل حقل استقرارية الكوارتز إلى جانب الكالسيت عن حقل استقرارية الولاستونيت، وذلك تبعا لتغير درجة الحرارة  $T$  وضغط ثانى أكسيد الكربون  $P_{CO_2}$ . .... 106

## الباب الرابع

- شكل 1-4 نموذج لقيم السالبية الكهربائية للعناصر حسب موقعها فى الجدول الدورى. .... 114
- شكل 2-4 العلاقة بين النسبة المئوية للخاصية الأيونية والفرق فى السالبية الكهربائية لبعض المركبات. .... 116
- شكل 3-4 طول الرابطة  $Cl-Na$  وأنصاف الأقطار الأيونية لكل من الصوديوم والكلور. .... 119
- شكل 4-4 حيود الأشعة السينية بوساطة المستويات المتوازية فى البنى البلورية شكل 5-4 البنية البلورية لمعدن الهاليت ( $NaCl$ )، الذى تنتظم فيه أيونات كل من الصوديوم والكلور فى شكل مكعب. يبين الشكل كذلك التناسق السداسى لأيونات الكلور حول كاتيونات الصوديوم. .... 129
- شكل 4-6 البنية البلورية لمعدن البيريت. .... 131
- شكل 4-7 بنائية الكالسيت. .... 132
- شكل 4-8 تخطيط مبسط لبنائية المعادن السليكاتية المتنوعة. .... 134



- شكل 4-9 بنائية متعددى الشكل للمواد العضوية (الأيزوميريز). ..... 137
- شكل 4-10 دور نصف القطر فى تحديد البنية البلورية لمركبات الكاتيونات أحادية وثنائية التكافؤ. .... 140

## الباب الخامس

- شكل 5-1 خريطة تكتونية للعالم توضح توزع الأنشطة البركانية الحديثة وارتباطها بالألواح التكتونية. .... 156
- شكل 5-2 شكل تخطيطى يصور البيئات التكتونية المختلفة لتكون الصحارة الأولية. .... 158
- شكل 5-3 تصور تخطيطى لمسار صعود صحارة بازلتية إلى سطح الأرض وعلاقتها بفترة التبلور. .... 163
- شكل 5-4 التوزيع التكرارى لنسبة السليكا فى تحاليل الصخور النارية. .... 178
- شكل 5-5 بعض رسوم هاركر التى توضح تباين أكاسيد الألومنيوم والكالسيوم والمغنسيوم أمام السليكا ..... 181
- شكل 5-6 تباين مجموع القلويات وأكسيد المغنسيوم أمام السليكا لمجموعة من الصخور البركانية مشتركة النشأة، ويربطها تبلور تجزئى بانفصال الأوليفين والكلينوبيروكسين والمجنتيت. .... 183
- شكل 5-7 تصنيف وتسمية الصخور البركانية طبقا لمحتواها من السليكا والقلويات تبعا للنظام الموصى به من الاتحاد الدولى للعلوم الجيولوجية. .... 186
- شكل 5-8 تصنيف الصخور البركانية عالية المغنسيوم. .... 187
- شكل 5-9 تصنيف الصخور البركانية تحت القلوية طبقا لمحتواها من البوتاسيوم والسليكا. .... 188
- شكل 5-10 تسمية الصخور البركانية العادية (غير البوتاسية) طبقا لكوكس وآخرين. .... 189
- شكل 5-11 تسمية الصخور الجوفية العادية (غير البوتاسية). طبقا لكوكس وآخرين. .... 189
- شكل 5-12 تصنيف الصخور البركانية (تحت القلوية) باستخدام معامل القلوية أمام الألومينا. .... 190
- شكل 5-13 تغير أكاسيد البوتاسيوم والكالسيوم والسليكا أمام المغنيسيا. .... 192

- شكل 5-14 تصنيف الصخور تحت القلوية باستخدام نسبة الحديد الكلى إلى  
 194 ..... المغنيسيا أمام السليكا.
- شكل 5-15 علاقة AFM الثلاثية للقلويات (A) والحديد (F) والمغنسيوم (M).  
 195
- شكل 5-16 تسمية الصخور البركانية باستخدام دليل القاعدية أمام نسبة الألومينا  
 197 ..... إلى السليكا وأمام مجموع تركيزات الأكاسيد القلوية.
- شكل 5-17 منحنيات تغير مجموع الأكاسيد القلوية وأكسيد الكالسيوم أمام السليكا  
 198 ..... لأربع عشائر من الصخور النارية المختلفة.
- شكل 5-18 استخدام أكاسيد التيتانيوم والمنجنيز والفسفور في التعرف على البيئات  
 201 ..... التكتونية القديمة المحتملة.
- شكل 5-19 استخدام نسبة Zr/Ti أمام نسبة Nb/Y في تسمية الصخور البركانية  
 202 ..... وتصنيفها.
- شكل 5-20 تصنيف العناصر إلى متوافقة وغير متوافقة طبقاً لجهد الأيونى.  
 215
- شكل 5-21 التباين الكبير في وفرة العناصر الأرضية النادرة بين تلك ذات  
 222 ..... الأعداد الذرية الزوجية والأخرى ذات الأعداد الفردية.
- شكل 5-22 الأنماط المختلفة لوفرة العناصر الأرضية النادرة في الصخور  
 222 ..... أو المعادن بعد نسبها إلى تركيزاتها في النيازك الكوندراتية.
- شكل 5-23 نمط توزيع العناصر الأرضية النادرة في عينات من جرانيت  
 224 ..... فوق قلوى من جبل دُباغ بالمملكة العربية السعودية.
- شكل 5-24 نمط توزيع العناصر الأرضية النادرة في عينات من جرانيت بالغ  
 التمايز ومتأثر بإضافات ميتاسوماتية من منطقة الغرّة، شمال غرب  
 224 ..... الدرع العربى، بالمملكة العربية السعودية.
- شكل 5-25 أنماط توزيع العناصر الأرضية النادرة في البيئات  
 226 ..... التكتونية المختلفة.
- شكل 5-26 العلاقة بين النوعية البتروكيميائية للصحارة ووضعها التكتونى.  
 233
- شكل 5-27 تمييز البيئات التكتونية للصخور البركانية الحديثة باستخدام محتواها  
 235 ..... من عناصر Nb, Zr, Y.



## الباب الثامن

- شكل 8-1 تحليل النظائر المشعة (الوالدة) وتراكم النظائر الوليدة. .... 350
- شكل 8-2 منحنى الأعمار المتماثلة (أيزوكرون) لجرانيت أسوان. .... 356
- شكل 8-3 سلاسل تحليل نظائر اليورانيوم  $^{238}\text{U}$  و  $^{235}\text{U}$  والثوريوم  $^{232}\text{Th}$ . .... 360
- شكل 8-4 منحنى الاتفاق وهو يمر بالنقاط التي تتفق عندها الأعمار المحسوبة بطريقة  $^{206}\text{Pb}/^{238}\text{U}$  وتلك المحسوبة بطريقة  $^{207}\text{Pb}/^{235}\text{U}$ . .... 363
- شكل 8-5 تحليل النظير  $^{40}\text{K}$  المشع إلى النظيرين  $^{40}\text{Ca}$  و  $^{40}\text{Ar}$  المستقرين. .... 365
- شكل 8-6 التغير في قيم  $\delta^{18}\text{O}$  في بعض الأوعية الجيولوجية للأكسجين منسوبا إلى العينة العيارية SMOW. .... 376
- شكل 8-7 التغير في قيم  $\delta\text{D}$  في بعض الأوعية الجيولوجية للهيدروجين منسوبا إلى SMOW. .... 377
- شكل 8-8 التغير في  $\delta^{18}\text{O}$  بتغير الحرارة، حيث يمثل  $\Delta^{18}\text{O}$  الفرق بين قيم  $\delta^{18}\text{O}$  في أزواج من المعادن الموجودة في نفس الصخر وكان بينها وبين وعاء الأكسجين حالة اتزان نظائري عند درجات الحرارة المختلفة. .... 380
- شكل 8-9 تحديد درجات حرارة تكون المعادن في الصخور المتحولة باستخدام نظائر الأكسجين. .... 381
- شكل 8-10 العلاقة بين  $\delta^{18}\text{O}$  و  $\delta\text{D}$  في المعادن الطينية المتكونة قرب حرارة سطح الأرض. .... 382
- شكل 8-11 العلاقة بين  $\delta^{18}\text{O}$  و  $\delta\text{D}$  في بعض مناجم الذهب والفضة كما حددت في مكتنفات الموائع. .... 383
- شكل 8-12 التغير في قيم  $\delta^{13}\text{C}$  في بعض الأوعية الجيولوجية للكربون منسوبا إلى PDB. .... 385
- شكل 8-13 التغير في قيم  $\delta^{34}\text{S}$  في بعض الأوعية الجيولوجية للكبريت منسوبا إلى ترويليت CD. .... 389
- شكل 8-14 استخدام التغير في قيم  $\delta^{34}\text{S}$  في تحديد درجات حرارة تكون الكبريتيدات. .... 390

- شكل 5-28 تمييز البيئات التكتونية للصخور البركانية الحديثة باستخدام  
 236 ..... محتواها من عناصر الـ Hf, Th, Ta.  
 شكل 5-29 مقارنة الوفرة النسبية لمجموعة من العناصر بعد نسبها إلى  
 238 ..... تركيزاتها في الكونديريت.  
 شكل 5-30 رسومات لتمييز البيئات التكتونية للصخور الجرانيتية باستخدام  
 240 ..... معاملات متعددة الكاتيونات.  
 شكل 5-31 رسومات لتمييز البيئات التكتونية للصخور الجرانيتية باستخدام  
 240 ..... تركيزات بعض العناصر الرئيسة.  
 شكل 5-32 رسومات لتمييز البيئات التكتونية للصخور الجرانيتية باستخدام  
 242 ..... العناصر النزرة للشكل المثلى طبقاً لهاريس وآخرين.

#### الباب السادس

- شكل 6-1 أصناف الحديد الممكن تكونها في ظروف مختلفة من الـ Eh  
 263 ..... و الـ pH.  
 شكل 6-2 الفصل الجيوكيميائي لبعض العناصر الهامة على أساس جهودها  
 272 ..... الأيونية وشحنتها الأيونية.  
 شكل 6-3 رسم توضيحي لبنائيات المعادن الطينية.  
 277 .....

#### الباب السابع

- شكل 7-1 التحولات المعدنية الناتجة عن ارتفاع درجة الحرارة في كيان  
 318 .....  $\text{CaO} - \text{MgO} - \text{SiO}_2 - \text{CO}_2$ .  
 شكل 7-2 أصحابات المعدنية الناتجة من التفاعلات التحولية في كيان  
 $\text{SiO}_2 - \text{Al}_2\text{O}_3 - \text{MgO} - \text{FeO} - \text{K}_2\text{O} - \text{H}_2\text{O}$  والمبينة في الجسم  
 320 ..... رباعي الأوجه لتلك الأكاسيد.  
 شكل 7-3 السحنات الرئيسة وعلاقتها بالحرارة والضغط والعمق.  
 328 ..... شكل 7-4 بعض أصحابات المعدنية لسحنة الأمفيبوليت. الكوارتز والميكروكلين  
 332 ..... محتملان كمعادن إضافية أخرى.

الباب التاسع

شكل 9-1 يوضح استقطاب الشحن الموجبة والسالبة عند طرفي جزئ الماء. .... 399

الباب العاشر

شكل 10-1 مخطط تقريبي لطبقات الغلاف الجوى ومسمياتها. .... 426

لا تنسى الدعاء والصلاه ع النبي





# لاتنسي الدعاء والصلاه ع النبي

## الباب الأول

---

### العناصر الكيميائية

♦ انذرة

♦ الجدول الدوري

تتكون العناصر من العديد من الذرات المتناهية فى الصغر، والتي يتراوح حجمها ما بين واحد إلى ثلاثة أنجستروم  $\text{\AA}$  (1 أنجستروم  $= 10^{-10}$  م). ويرتبط انتشار العناصر فى المواد الطبيعية ارتباطا مباشرا بخواصها الذرية.

## الذرة

الذرة هى أصغر جزء من العنصر يمكن أن يوجد فى الحالة المنفردة، ويشترك فى التفاعلات الكيميائية، ويحمل كل خصائصه. تتكون الذرة من جزءين رئيسيين هما:

### أولاً: النواة

وتشغل مركز الذرة، وتتركز فيها تقريبا كل كتلتها، ولكنها لا تمثل إلا واحدا من عشرة آلاف من حجمها. تحتوى النواة العالية الكثافة على البروتونات الموجبة الشحنة والتي يرمز لعددها بالرمز "Z"، وهو ما يطلق عليه العدد الذرى. ونظرا لتشابه شحناتها الكهربائية، فإن البروتونات تتنافر بقوة كبيرة، لكن هناك قوى أكبر تؤثر بها النويات لمسافات قصيرة تحافظ على بقاء النواة ككتلة متماسكة. يوجد إلى جانب البروتونات فى النواة جسيمات أخرى غير مشحونة كهربيا تسمى بالنيوترونات، ويرمز لها بالرمز "N"، ويساوى عددها عدد البروتونات أو يقل أو يزيد عليه قليلا، كما فى حالة الهيدروجين. هذا ويوضح جدول (1-1) بعض المعلومات الأساسية عن الذرة.

### ثانياً: السحابة الإلكترونية

وفيهما تنتظم الإلكترونات، فى أغلفة shells فرعية ورئيسة حول النواة. تتوزع الإلكترونات السالبة الشحنة على هذه الأغلفة وذلك تبعا لعلاقات الطاقة. فلكل غلاف من هذه الأغلفة مستوى معين من الطاقة تمكنه من الإمساك بحد أقصى من الإلكترونات لا يمكن أن

يتخطاه، وذلك تبعا للعلاقة " $2n^2$ "، حيث يمثل الحرف  $n$  رقم الغلاف، فينتظم فى الغلاف الأول مثلا إلكترونان كحد أعلى ( $2^2 \times 1 = 2$ )، وفى الغلاف الرابع اثنان وثلاثون إلكترون كحد أعلى ( $2^2 \times 4 = 32$ ). هذا القانون لا ينطبق على الأغلفة ذات مستويات الطاقة الأعلى من الغلاف الرئيس الرابع، فيتسع الغلاف الخامس مثلا، تبعا للقاعدة المشار إليها أعلاه، لخمسين إلكترونًا، والغلاف السادس لإثنين وسبعين إلكترونًا وهكذا، إلا أن الذرة تصبح غير مستقرة إذا زاد عدد الإلكترونات فى أى غلاف من أغلفتها عن إثنين وثلاثين إلكترونًا، وهذا ما يتضح لنا من الجدول 1-2 الذى يبين نظام توزيع الإلكترونات على أغلفة ذرات العناصر ذات الأعداد الذرية ما بين 1 و 103.

جدول 1-1 معلومات أساسية عن الذرة

| النواة                    | السحابة الإلكترونية                                   |                                      |
|---------------------------|---|--------------------------------------|
| الحجم التقريبي            | $10^{-14}$ م  | $10^{-10}$ م                         |
| الشحنة الكهربائية         | موجبة (+)   | سالبة (-)                            |
| نوعية الجسيمات            | بروتونات ونيوترونات                                   | إلكترونات                            |
| الكتلة التقريبية لكل جسيم | $1,7 \times 10^{-27}$ كجم (حوالي 1800 كتلة الإلكترون) | $9 \times 10^{-31}$ كجم              |
| عدد الجسيمات النسبي       | يزيد عدد النيوترونات بعض الشيء عن عدد البروتونات      | عدد الإلكترونات يساوى عدد البروتونات |
| كثافة المادة              | $10^{12}$ جم سم <sup>-3</sup>                         | 1 جم سم <sup>-3</sup>                |

عن: جيل (Gill 1989)

جدول 1-2 ترتيب توزيع الإلكترونات على أغلفة ذرات العناصر.

| عنصر | عدد<br>نرى | K<br>1s | L<br>2p 2s | M<br>3d 3p 3s | N<br>4f 4d 4p 4s | O<br>5f 5d 5p 5s | P<br>6d 6p 6s | Q<br>7s |
|------|------------|---------|------------|---------------|------------------|------------------|---------------|---------|
| 1    | 1          | 1       |            |               |                  |                  |               |         |
| He   | 2          | 2       |            |               |                  |                  |               |         |
| 2    | 3          | 2       | 1          |               |                  |                  |               |         |
| Li   | 4          | 2       | 2          |               |                  |                  |               |         |
| Be   | 5          | 2       | 1 2        |               |                  |                  |               |         |
| B    | 6          | 2       | 2 2        |               |                  |                  |               |         |
| C    | 7          | 2       | 3 2        |               |                  |                  |               |         |
| N    | 8          | 2       | 4 2        |               |                  |                  |               |         |
| O    | 9          | 2       | 5 2        |               |                  |                  |               |         |
| F    | 10         | 2       | 6 2        |               |                  |                  |               |         |
| Ne   | 11         | 2       | 6 2        | 1             |                  |                  |               |         |
| 3    | 12         | 2       | 6 2        | 2             |                  |                  |               |         |
| Na   | 13         | 2       | 6 2        | 1 3           |                  |                  |               |         |
| Mg   | 14         | 2       | 6 2        | 2 2           |                  |                  |               |         |
| Al   | 15         | 2       | 6 2        | 3 2           |                  |                  |               |         |
| Si   | 16         | 2       | 6 2        | 4 2           |                  |                  |               |         |
| P    | 17         | 2       | 6 2        | 5 2           |                  |                  |               |         |
| S    | 18         | 2       | 6 2        | 6 2           |                  |                  |               |         |
| Cl   | 19         | 2       | 6 2        | 6 2           | 1                |                  |               |         |
| Ar   | 20         | 2       | 6 2        | 6 2           | 2                |                  |               |         |
| 4    | 21         | 2       | 6 2        | 6 2           | 2 1              |                  |               |         |
| K    | 22         | 2       | 6 2        | 6 2           | 2 2              |                  |               |         |
| Ca   | 23         | 2       | 6 2        | 6 2           | 2 3              |                  |               |         |
| Sc   | 24         | 2       | 6 2        | 6 2           | 2 4              |                  |               |         |
| Ti   | 25         | 2       | 6 2        | 6 2           | 2 5              |                  |               |         |
| V    | 26         | 2       | 6 2        | 6 2           | 2 6              |                  |               |         |
| Cr   | 27         | 2       | 6 2        | 6 2           | 2 7              |                  |               |         |
| Mn   | 28         | 2       | 6 2        | 6 2           | 2 8              |                  |               |         |
| Fe   | 29         | 2       | 6 2        | 6 2           | 2 9              |                  |               |         |
| Co   | 30         | 2       | 6 2        | 6 2           | 2 10             |                  |               |         |
| Ni   | 31         | 2       | 6 2        | 6 2           | 1 2 10           |                  |               |         |
| Cu   | 32         | 2       | 6 2        | 6 2           | 2 2 10           |                  |               |         |
| Zn   | 33         | 2       | 6 2        | 6 2           | 3 2 10           |                  |               |         |
| Ga   | 34         | 2       | 6 2        | 6 2           | 4 2 10           |                  |               |         |
| Ge   | 35         | 2       | 6 2        | 6 2           | 5 2 10           |                  |               |         |
| As   | 36         | 2       | 6 2        | 6 2           | 6 2 10           |                  |               |         |
| Se   |            |         |            |               |                  |                  |               |         |
| Br   |            |         |            |               |                  |                  |               |         |
| Kr   |            |         |            |               |                  |                  |               |         |



## تابع جدول 2-1

| Q  | P        | O           | N           | M        | L     | K  | عدد<br>نرى | عنصر |   |
|----|----------|-------------|-------------|----------|-------|----|------------|------|---|
| 7s | 6d 6p 6s | 5f 5d 5p 5s | 4f 4d 4p 4s | 3d 3p 3s | 2p 2s | 1s |            |      |   |
|    |          | 1           | 6 2         | 10 6 2   | 6 2   | 2  | 37         | Rb   | 5 |
|    |          | 2           | 6 2         | 10 6 2   | 6 2   | 2  | 38         | Sr   |   |
|    |          | 2           | 1 6 2       | 10 6 2   | 6 2   | 2  | 39         | Y    |   |
|    |          | 2           | 2 6 2       | 10 6 2   | 6 2   | 2  | 40         | Zr   |   |
|    |          | 1           | 4 6 2       | 10 6 2   | 6 2   | 2  | 41         | Nb   |   |
|    |          | 1           | 5 6 2       | 10 6 2   | 6 2   | 2  | 42         | Mo   |   |
|    |          | 1           | 6 6 2       | 10 6 2   | 6 2   | 2  | 43         | Tc   |   |
|    |          | 1           | 7 6 2       | 10 6 2   | 6 2   | 2  | 44         | Ru   |   |
|    |          | 1           | 8 6 2       | 10 6 2   | 6 2   | 2  | 45         | Rh   |   |
|    |          |             | 10 6 2      | 10 6 2   | 6 2   | 2  | 46         | Pd   |   |
|    |          | 1           | 10 6 2      | 10 6 2   | 6 2   | 2  | 47         | Ag   |   |
|    |          | 2           | 10 6 2      | 10 6 2   | 6 2   | 2  | 48         | Cd   |   |
|    |          | 1 2         | 10 6 2      | 10 6 2   | 6 2   | 2  | 49         | In   |   |
|    |          | 2 2         | 10 6 2      | 10 6 2   | 6 2   | 2  | 50         | Sn   |   |
|    |          | 3 2         | 10 6 2      | 10 6 2   | 6 2   | 2  | 51         | Sb   |   |
|    |          | 4 2         | 10 6 2      | 10 6 2   | 6 2   | 2  | 52         | Te   |   |
|    |          | 5 2         | 10 6 2      | 10 6 2   | 6 2   | 2  | 53         | I    |   |
|    |          | 6 2         | 10 6 2      | 10 6 2   | 6 2   | 2  | 54         | Xe   |   |
|    | 1        | 6 2         | 10 6 2      | 10 6 2   | 6 2   | 2  | 55         | Cs   | 6 |
|    | 2        | 6 2         | 10 6 2      | 10 6 2   | 6 2   | 2  | 56         | Ba   |   |
|    | 2        | 1 6 2       | 10 6 2      | 10 6 2   | 6 2   | 2  | 57         | La   |   |
|    | 2        | 6 2         | 2 10 6 2    | 10 6 2   | 6 2   | 2  | 58         | Ce   |   |
|    | 2        | 6 2         | 3 10 6 2    | 10 6 2   | 6 2   | 2  | 59         | Pr   |   |
|    | 2        | 6 2         | 4 10 6 2    | 10 6 2   | 6 2   | 2  | 60         | Nd   |   |
|    | 2        | 6 2         | 5 10 6 2    | 10 6 2   | 6 2   | 2  | 61         | Pm   |   |
|    | 2        | 6 2         | 6 10 6 2    | 10 6 2   | 6 2   | 2  | 62         | Sm   |   |
|    | 2        | 6 2         | 7 10 6 2    | 10 6 2   | 6 2   | 2  | 63         | Eu   |   |
|    | 2        | 1 6 2       | 8 10 6 2    | 10 6 2   | 6 2   | 2  | 64         | Gd   |   |
|    | 2        | 6 2         | 9 10 6 2    | 10 6 2   | 6 2   | 2  | 65         | Tb   |   |
|    | 2        | 6 2         | 10 10 6 2   | 10 6 2   | 6 2   | 2  | 66         | Dy   |   |
|    | 2        | 6 2         | 11 10 6 2   | 10 6 2   | 6 2   | 2  | 67         | Ho   |   |
|    | 2        | 6 2         | 12 10 6 2   | 10 6 2   | 6 2   | 2  | 68         | Er   |   |
|    | 2        | 6 2         | 13 10 6 2   | 10 6 2   | 6 2   | 2  | 69         | Tm   |   |
|    | 2        | 6 2         | 14 10 6 2   | 10 6 2   | 6 2   | 2  | 70         | Yb   |   |
|    | 2        | 1 6 2       | 14 10 6 2   | 10 6 2   | 6 2   | 2  | 71         | Lu   |   |
|    | 2        | 2 6 2       | 14 10 6 2   | 10 6 2   | 6 2   | 2  | 72         | Hf   |   |
|    | 2        | 3 6 2       | 14 10 6 2   | 10 6 2   | 6 2   | 2  | 73         | Ta   |   |

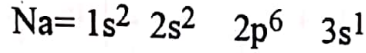
تابع جدول 2-1

| عنصر | عدد نوى | K  | L     | M        | N           | O           | P        | Q  |
|------|---------|----|-------|----------|-------------|-------------|----------|----|
|      |         | 1s | 2s 2p | 3s 3p 3d | 4s 4p 4d 4f | 5s 5p 5d 5f | 6s 6p 6d | 7s |
| W    | 74      | 2  | 2 6   | 2 6 10   | 2 6 10 14   | 2 6 4       | 2        |    |
| Re   | 75      | 2  | 2 6   | 2 6 10   | 2 6 10 14   | 2 6 5       | 2        |    |
| Os   | 76      | 2  | 2 6   | 2 6 10   | 2 6 10 14   | 2 6 6       | 2        |    |
| Ir   | 77      | 2  | 2 6   | 2 6 10   | 2 6 10 14   | 2 6 9       |          |    |
| Pt   | 78      | 2  | 2 6   | 2 6 10   | 2 6 10 14   | 2 6 9       | 1        |    |
| Au   | 79      | 2  | 2 6   | 2 6 10   | 2 6 10 14   | 2 6 10      | 1        |    |
| Hg   | 80      | 2  | 2 6   | 2 6 10   | 2 6 10 14   | 2 6 10      | 2        |    |
| Tl   | 81      | 2  | 2 6   | 2 6 10   | 2 6 10 14   | 2 6 10      | 1 2      |    |
| Pb   | 82      | 2  | 2 6   | 2 6 10   | 2 6 10 14   | 2 6 10      | 2 2      |    |
| Bi   | 83      | 2  | 2 6   | 2 6 10   | 2 6 10 14   | 2 6 10      | 3 2      |    |
| Po   | 84      | 2  | 2 6   | 2 6 10   | 2 6 10 14   | 2 6 10      | 4 2      |    |
| At   | 85      | 2  | 2 6   | 2 6 10   | 2 6 10 14   | 2 6 10      | 5 2      |    |
| Rn   | 86      | 2  | 2 6   | 2 6 10   | 2 6 10 14   | 2 6 10      | 6 2      |    |
| Fr   | 87      | 2  | 2 6   | 2 6 10   | 2 6 10 14   | 2 6 10      |          | 1  |
| Ra   | 88      | 2  | 2 6   | 2 6 10   | 2 6 10 14   | 2 6 10      |          | 2  |
| Ac   | 89      | 2  | 2 6   | 2 6 10   | 2 6 10 14   | 2 6 10      | 1        | 2  |
| Th   | 90      | 2  | 2 6   | 2 6 10   | 2 6 10 14   | 2 6 10      | 1        | 2  |
| Pa   | 91      | 2  | 2 6   | 2 6 10   | 2 6 10 14   | 2 6 10      | 2        | 2  |
| U    | 92      | 2  | 2 6   | 2 6 10   | 2 6 10 14   | 2 6 10      | 3        | 2  |
| Np   | 93      | 2  | 2 6   | 2 6 10   | 2 6 10 14   | 2 6 10      | 4        | 2  |
| Pu   | 94      | 2  | 2 6   | 2 6 10   | 2 6 10 14   | 2 6 10      | 5        | 2  |
| Am   | 95      | 2  | 2 6   | 2 6 10   | 2 6 10 14   | 2 6 10      | 7        | 2  |
| Cm   | 96      | 2  | 2 6   | 2 6 10   | 2 6 10 14   | 2 6 10      | 7        | 2  |
| Bk   | 97      | 2  | 2 6   | 2 6 10   | 2 6 10 14   | 2 6 10      | 8        | 2  |
| Cf   | 98      | 2  | 2 6   | 2 6 10   | 2 6 10 14   | 2 6 10      | 10       | 2  |
| E    | 99      | 2  | 2 6   | 2 6 10   | 2 6 10 14   | 2 6 10      | 11       | 2  |
| Fm   | 100     | 2  | 2 6   | 2 6 10   | 2 6 10 14   | 2 6 10      | 12       | 2  |
| Mv   | 101     | 2  | 2 6   | 2 6 10   | 2 6 10 14   | 2 6 10      | 13       | 2  |
| No   | 102     | 2  | 2 6   | 2 6 10   | 2 6 10 14   | 2 6 10      | 14       | 2  |
| Lr   | 103     | 2  | 2 6   | 2 6 10   | 2 6 10 14   | 2 6 10      | 14       | 2  |

عن: أتكين (Atkins 1986)

يمثل التوزيع الإلكتروني المبين بالجدول 2-1 حالة همود الذرات، لكن حالة الهمود هذه ليست القاعدة إذ توجد الذرات عادة على حالات متعددة من الإشارة الناجمة عن تأثر إلكتروناتها بعوامل خارجية تتسبب في إنتزاع إلكترون أو أكثر

من أغلفتها الخارجية. وأكثر الإلكترونات تعرضا للإنتزاع هي الإلكترونات الخارجية. فلو استعرضنا عنصر الصوديوم مثلا الذي عدده الذرى 11 لوجدنا أن إلكتروناته الأحد عشر تتوزع على أغلفته الإلكترونية كما يلى:



يعنى هذا التوزيع أن الغلاف الفرعى s للغلاف الرئيس الأول K يحتوى على إلكترونين (لذلك  $1s^2$ ). وتتظم ثمانية إلكترونات فى الغلافين الفرعيين (s) و (p) للغلاف الرئيس الثانى L حيث يستضيف الغلاف الثانوى (s) إلكترونين منهما (لذلك  $2s^2$ )، وتتظم الإلكترونات الستة المتبقية فى الغلاف الثانوى (p)، (لذلك  $2p^6$ ). يبقى من الأحد عشر إلكترونات إلكترون واحد فقط ينتظم فى الغلاف الثانوى (s) للغلاف الرئيس الثالث M (لذلك  $3s^1$ ). ونظرا للطاقة العالية التى يوجد عليها هذا الإلكترون الأخير، فإنه يسهل إنفصاله عندما تتعرض الذرة لأى تأثير خارجى، ويقال فى هذه الحالة إن الذرة قد تأينت. ويسمى هذا الإلكترون الوحيد الذى يحدد معالم التصرف الجيوكيميائى لعنصر الصوديوم بالإلكترون التكافؤ valence electron ويطلق على بقية الإلكترونات الأخرى التى لا تشارك فى أية تفاعلات بالإلكترونات اللب core electrons.

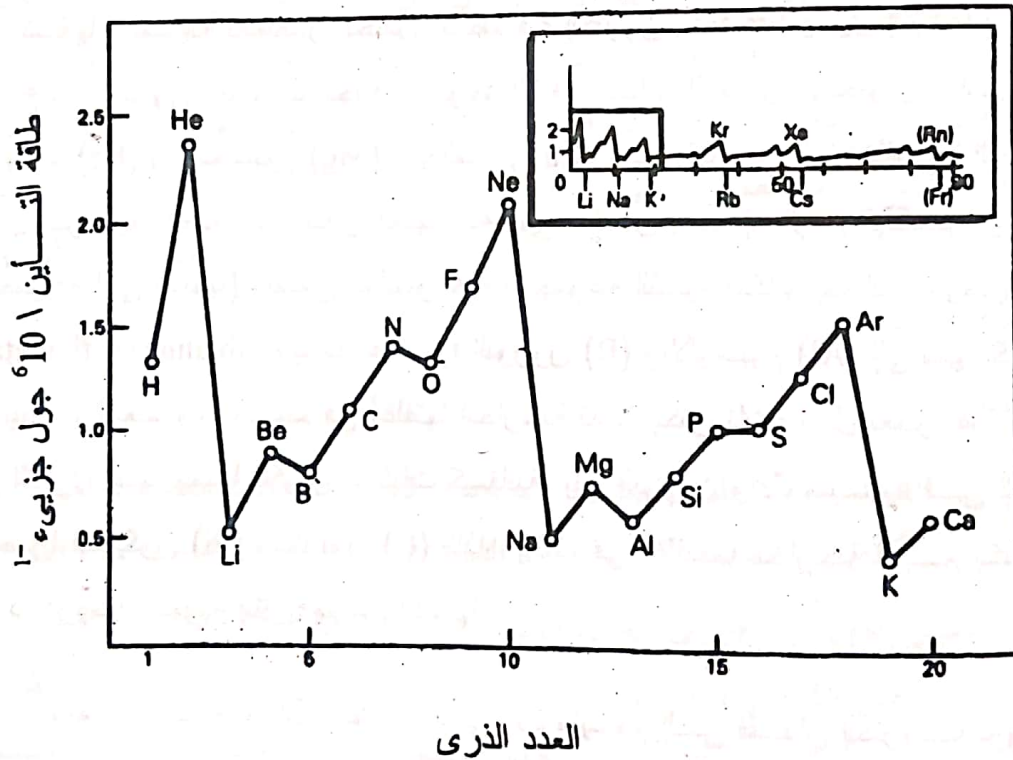
### طاقة التأين

يتطلب تأين العناصر بذل طاقة أو جهد يسمى بطاقة التأين ionization energy أو جهد التأين ionization potential ويقاس بالجول لكل جزئى جرامى (J/mol). ويساوى جهد التأين الطاقة اللازمة لانتزاع إلكترون أو أكثر من أغلفة الذرة الخارجية. وتتنخفض قيمة الطاقة بشكل عام بزيادة العدد الذرى (شكل 1-1)، ويتخلل الانخفاضات ارتفاعات متدرجة تنتهى بانخفاض مفاجئ.



يعكس الارتفاع المتدرج في الطاقة الزيادة في التجاذب النووي الذي يقع تحت تأثيره كل إلكترون في الذرة أثناء الانتقال من عدد ذري لآخر. فنجد مثلا أن طاقة التأين للهيليوم تساوي تقريبا ضعفها للهيدروجين، ويعود ذلك إلى الشحنة المزدوجة لنواة الهيليوم التي تمارس قوة جذب على الإلكترونات الموجودة في غلافها الوحيد تعادل ضعف تلك التي تمارسها الشحنة الواحدة للهيدروجين على الإلكترون الخارجي. تتكرر الارتفاعات المتدرجة في الطاقة والمنتبهة بانخفاض مفاجئ مكونة انتظاما متواليا (شكل 1-1). يظهر على قمة الارتفاعات المتدرجة في المتواليات عنصر يتميز بأعلى طاقة تأين، وهو ما يعني تمسك مثل هذه العناصر بشدة بالإلكتروناتها الخارجية. هذه المجموعة من العناصر تعرف بالعناصر الخاملة وهي:

هيليوم (He) ، نيون (Ne) ، أرجون (Ar) ، كربتون (Kr) و زينون (Xe).



شكل 1-1 علاقة طاقة التأين بالعدد الذري للعناصر ذات الأعداد الذرية 1-20. الشكل العام لهذه العلاقة لجميع العناصر مبين في الركن العلوي الأيمن من الشكل.  
عن: جيل (Gill 1989)



وتتميز البنية الإلكترونية لهذه العناصر بالتشبع التام لأغلفتها الخارجية بالإلكترونات ولا تسمح بأى حال من الأحوال بإضافة أو حذف إلكترون أو أكثر إلى أو من أغلفتها، لذا سميت بالعناصر الخاملة، أى العناصر التى لا تظهر أى نشاط كيميائى، وبدلاً من وجودها كجزيئات مزدوجة الذرات، توجد هذه العناصر كغازات منفردة الذرة.

يقع إلى يمين كل عنصر حامل مباشرة عنصر يتميز بطاقة تأين منخفضة جداً تمثل القاع لجميع المتواليات (شكل 1-1). تضم هذه المجموعة العناصر:

ليثيوم (Li) ، صوديوم (Na) و بوتاسيوم (K).

وتسمى هذه المجموعة من العناصر بالفلزات القلوية alkali metals. تتميز البنية الإلكترونية لكل عنصر من هذه المجموعة باستحداث غلاف جديد، يضاف إلى مجموعة أغلفة المتواليات التى تسبقها والمنتية بالعنصر الخامل، ينتظم فيه إلكترون واحد فقط يسهل إنتزاعه ويصعب إنتزاع أى إلكترون غيره، لذا نجدها لا توجد إلا فى التكافؤ الأحادى. وتحتوى عناصر كل من البريليوم (Be) و المغنسيوم (Mg) والكالسيوم (Ca) على إلكترونين فى أغلفتها الخارجية، يسهل إنتزاعهما (طبعاً ليس بنفس السهولة التى يمكن بها إنتزاع الإلكترون الوحيد للمجموعة التى تسبقها) وتسمى عناصر هذه المجموعة الثنائية التكافؤ بفلزات الأرض القلوية alkaline earth metals. ويوجد عناصر البورون (B) والألمنيوم (Al) إلى يمين كل من البريليوم والمغنسيوم. وينتظم فى أغلفتها الخارجية ثلاثة إلكترونات، يميل بعض هذه العناصر إلى التنازل عنها جميعاً لتكوين مركبات كيميائية. يلي البورون والألمنيوم فى المتواليات عناصر السليكون (Si) والكربون (C) اللذان ينتظم فى أغلفتها الخارجية أربع إلكترونات تزداد تدريجياً صعوبة إنتزاعهم من أغلفتها.

وتميل عناصر الليثيوم وحتى الألمنيوم إلى فقدان إلكترونات وتكوين كاتيونات cations فى حين تميل العناصر الأخرى وخاصة البورون والكربون، وبدرجة أقل السليكون، إلى اقتسام الإلكترونات. ونظراً لاشتراك مجموعات من العناصر فى بعض الخواص الذرية مثل العدد الذرى أو جهود التأين، فإنه جرى تقسيمها إلى مجموعات فيما يسمى بالجدول الدورى.

## الجدول الدوري

جرى ترتيب العناصر تبعا لبنياتها الذرية فى خطوط أفقية تسمى بالدورات periods وخطوط رأسية تسمى بالمجموعات groups وذلك فى إطار ما يسمى بالجدول الدورى للعناصر.

### الدورات

تبدأ كل دورة جديدة بعنصر من العناصر القلوية، التى تبدأ باستحداث غلاف جديد ينتظم به إلكترون واحد فقط، وتنتهى بعنصر من العناصر الخاملة التى يصل فيها عدد الإلكترونات فى الغلاف الخارجى إلى ثمانية إلكترونات. يشذ عن هذه القاعدة الدورة الأولى التى تحتوى على عنصرين فقط هما الهيدروجين الذى ليس له إلا غلاف إلكترونى واحد فقط ينتظم فيه إلكترونه الوحيد، والهيليوم الذى لايزيد عدد الإلكترونات فى غلافه الخارجى عن إلكترونين فقط، وذلك تبعا للقاعدة المذكورة أعلاه. ثم تبدأ الدورة الثانية بعنصر الليثيوم الذى يستحدث فيه غلاف جديد (الغلاف الثانى) وبه إلكترون واحد فقط؛ وينتهى بعنصر النيون الذى يكتمل عدد الإلكترونات فى غلافه بثمانية إلكترونات؛ وبنفس النظام تستمر الدورات الأخرى فى المتوالية.

### المجموعات

بترتيب الأدوار التى تختلف باختلاف عدد أغلفة الإلكترونات تحت بعضها البعض، تتكون لدينا مجموعات من العناصر تتشابه فى خواصها الكيميائية. تضم المجموعة الأولى مجموعة العناصر القلوية إضافة إلى الهيدروجين الذى أضيف إلى هذه المجموعة لاشتراكه معها فى إحتوائه على إلكترون واحد فى غلافه الخارجى. وتنتظم فى المجموعة الثانية (العمود الثانى) عناصر الأرض القلوية، كما تضم المجموعة الثالثة مجموعة العناصر التى تبدأ بعنصر البورون وهكذا. وبترقيم هذه المجموعات من اليسار إلى اليمين، نلاحظ أن العناصر يمكن تقسيمها إلى ثمانى مجموعات. ويعكس رقم المجموعة عدد الإلكترونات المنتظمة فى الغلاف الخارجى لعناصرها. يعرض شكل 1-2 نظام

توزيع العناصر ذات الأعداد الذرية من 1-20 على الدورات والمجموعات في جدول دورى مبسط.

|             |                           |      |      |     |     |           |                |
|-------------|---------------------------|------|------|-----|-----|-----------|----------------|
| 1H          |                           |      |      |     |     |           | 2He            |
| 3Li         | 4Be                       | 5B   | 6C   | 7N  | 8O  | 9F        | 10Ne           |
| 11Na        | 12Mg                      | 13Al | 14Si | 15P | 16S | 17Cl      | 18Ar           |
| 19K         | 20Ca                      |      |      |     |     | هالوجينات | غازات<br>خاملة |
| فلزات قلوية | فلزات<br>الأرض<br>القلوية |      |      |     |     |           |                |

شكل 1-2 نظام توزيع العناصر ذات الأعداد الذرية من 1-20 في جدول دورى مبسط.

تم الفصل بين المجموعتين الثانية والثالثة بدخول عدد من العناصر في الدورة الرابعة مثل السكانيوم (Sc) والتيتانيوم (Ti) حتى عنصر الزنك (Zn). تختلف هذه العناصر عن عناصر الدورة الرابعة المبين في الشكل المبسط للجدول الدورى فى توقفها عن إضافة الإلكترونات إلى الغلاف الرابع الجديد وإضافتها بدلاً من ذلك إلى الغلاف 3d إلى أن يكتمل عدد الإلكترونات فى الغلاف الثالث M ثمانية عشر إلكترونًا وذلك فى عنصر الزنك، ويبدأ بعده عنصر الجاليوم (Ga) فى المجموعة الثالثة فى إضافة الإلكترونات إلى الغلاف 4d حتى عنصر الكريبتون (Kr) الذى يكتمل فيه عدد الإلكترونات فى هذا الغلاف إلى ثمانية (شكل 1-3).

تكرر هذه الظواهر وبنفس النظام فى عناصر الدورة الخامسة بدءاً بعنصر اليتريوم (Y) وحتى عنصر الكاديوم (Cd) (شكل 1-3). يطلق على هذه المجموعة من العناصر العناصر الانتقالية transition elements. يظهر التطور نفسه فى العناصر المضافة إلى الدورة السادسة من الجدول الدورى المبسط حيث يبدأ عنصر اللانثانوم (La) بالتوقف عن





إلكتروناته الجديدة إلى الغلاف 5d ويستمر ذلك حتى عنصر الزئبق (Hg) الذي يكتمل به عدد الإلكترونات في الغلاف الخامس (O) ثمانية عشر إلكترونًا، يبدأ بعده عنصر الثاليوم (Tl) في إضافة الإلكترونات إلى الغلاف الفرعي 6p للغلاف الرئيس الأخير (P). ويستمر ذلك حتى عنصر الرادون (Rn) الذي يكتمل فيه عدد الإلكترونات بهذا الغلاف إلى ثمانية. تسمى مجموعة العناصر التي تبدأ بعنصر اللانثانوم حتى عنصر اليتربيوم بمجموعة اللانثانيدات Lanthanides أو مجموعة عناصر الأرض النادرة rare earth elements (REE). تتكرر هذه الظاهرة في الدورة السابعة بدءًا بعنصر الأكتينيوم (Ac) وحتى اللورنسيوم (Lr) رقم 103، هذه المجموعة تسمى بمجموعة الأكتينيدات actinides.

جدول 3-1 آخر العناصر المكتشفة في الجدول الدوري للعناصر ومسمياتها المتفق عليها

| العنصر | الاسم                      | الرمز | تكريماً لـ  |
|--------|----------------------------|-------|---|
| 101    | مندليفيوم - Mendelevium    | Md    | مندليف العالم الروسي                                      |
| 102    | نوبيليوم - Nobelium        | No    | ألفريد نوبل المخترع السويدي                               |
| 103    | لورنسيوم - Lawrencium      | Lr    | أرنست لورنس مخترع السيكلترون                              |
| 104    | رذرفورديوم - Rutherfordium | Rf    | أرنست رذرفورد من رواد علم الفيزياء                        |
| 105    | دوبنيوم - Dubnium          | Db    | مختبر دوبنا الروسي  |
| 106    | سيبورجيم - Seaborgium      | Sg    | كلين سيبورج كيميائي أمريكي ساهم في اكتشاف 11 عنصر صناعياً |
| 107    | بوهريوم - Bohrium          | Bh    | نيلز بوهر عالم فيزياء دنماركي                             |
| 108    | هاسيوم - Hassium           | Hs    | الولاية الألمانية هيسن وتقع فيها دارمشتات                 |
| 109    | ميتنيريوم - Meitnerium     | Mt    | ليز مايتنر عالمة فيزياء نمساوية                           |

عن: أرمبروستر و هسبرجر (1998 Armbruster and Hessberger)

يعطى جدول 1-3 أسماء آخر العناصر الكيميائية المكتشفة ذات الأرقام 101-109، التي تم الاتفاق عليها، بعد خلافات طويلة، في اجتماع الاتحاد الدولي للكيمياء البحتة والتطبيقية IUPAC في أغسطس عام 1997. وتجدر الإشارة إلى أن مسميات هذه العناصر لا تشير إلى مكتشفها ولكن إلى علماء كيمياء وفيزيكا سابقين أثروا علم الكيمياء، ومعظمهم حاصل على جائزة نوبل. فمثلا العنصر رقم 101 (مندليفيوم) لا يرجع إلى مكتشفه ولكنه سمي نسبة إلى العالم الروسي مندليف، الذي يعود إليه الفضل في تصميم الجدول الدوري للعناصر، مما أدى إلى اكتشاف كثير من العناصر المجهولة.

يتأثر التصرف الجيوكيميائي للعناصر بمختلف أنواعها بخاصتين أساسيتين هما:

1. حجم الأيونات ( نصف القطر الأيوني).

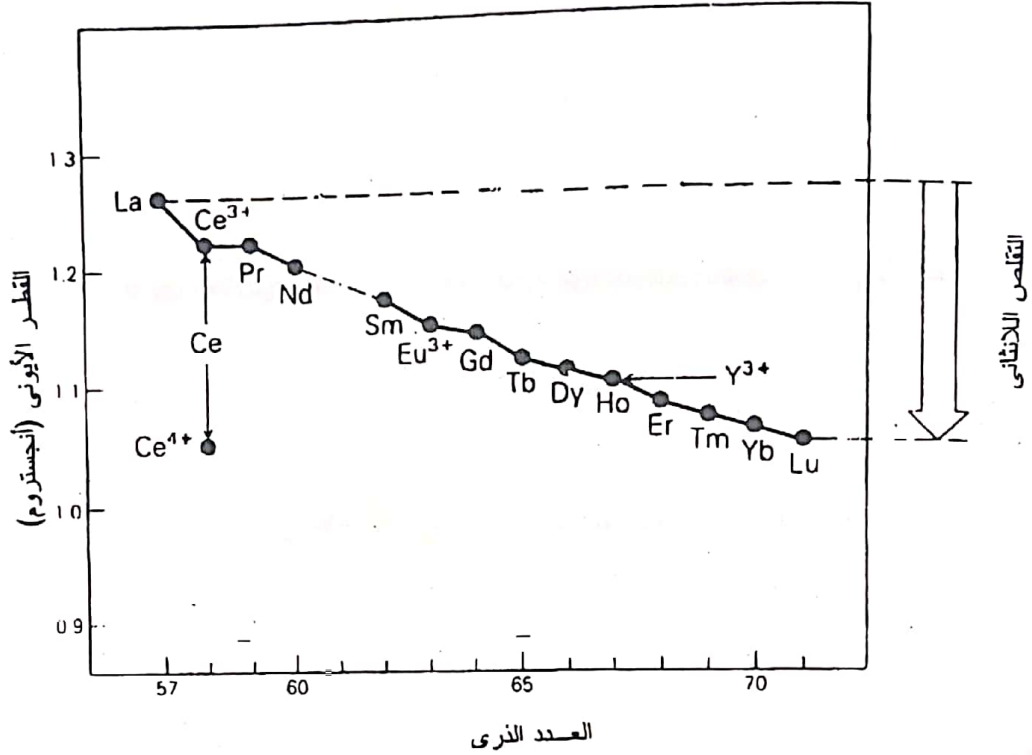
2. تكافؤ الأيونات.

وترتبط هاتان الخاصتان ارتباطا وثيقا بالبنية الإلكترونية لذرة العنصر. فنجد أن نصف القطر يزداد في المجموعة الواحدة من أعلى إلى أسفل، وذلك بسبب زيادة العدد الذري واستحداث أغلفة جديدة لاستضافة الزيادة الحاصلة في عدد الإلكترونات (شكل 1-4)، ولكنه يقل في الدورة الواحدة من اليسار إلى اليمين وذلك عكس ما هو متوقع من زيادة في الحجم بزيادة العدد الذري. ويرجع سبب ذلك إلى فقدان المتزايد للإلكترونات؛ إذ يفقد الصوديوم العنصر الأول في الدورة الثانية إلكترونًا واحدًا فقط عند تأينه، في حين يفقد السليكون من نفس الدورة أربعة إلكترونات. ينجم عن فقدان المتزايد للإلكترونات قوة جذب أكبر لنواة السليكون على الإلكترونات الخارجية وبالتالي تقلص أكبر لمثل هذه الأيونات.

توجد عناصر المجموعة الانتقالية على حالات متعددة من التكافؤات، ويتقلص نصف قطر العنصر الواحد بزيادة التكافؤ  $[Fe^{3+} = 0.57 \text{ \AA}; Fe^{2+} = 0.71 \text{ \AA}]$  وذلك لنفس السبب السالف الذكر. هناك ظاهرة أخرى، وهي ظاهرة صغر نصف القطر بالرغم من زيادة العدد الذري نشاهدها في مجموعة عناصر الأرض النادرة (REE) حيث يصغر نصف القطر من 1.13 أنجستروم في اللانثانوم (La) ذي العدد الذري 57 إلى 0.94 أنجستروم في اللوتشيوم (Lu) الذي عدده الذري 71. يطلق على ظاهرة صغر نصف القطر مع زيادة العدد في







شكل 5-1 رسم بياني للتقلص اللانثاني لعناصر الأرض النادرة

## مراجع الباب الأول

- Armbruster, P. and Hessberger, F. P. (1998) Making New Elements, *Scientific American*. 279: No. 3, 72-77.
- Atkins, R.W. (1986) *Physical Chemistry*, 3rd ed. Oxford: Oxford University Press.
- Brownlow, A. (1979) *Geochemistry*, Englewood Cliffs, N.J.: Prentice-Hall, Inc.
- Gill, R. (1989) *Chemical Fundamentals of Geology*, Academic Div., Unwin Hyman Ltd.
- Henderson, P. (1982) *Inorganic Geochemistry*, Pergamon Press.



# ♥ لاتنسي الدعاء والصلاه ع النبي

## الباب الثاني

### الكون والأرض

#### ◆ الكون

\* نظريات نشأة الكون \* وفرة العناصر في الكون \* نشأة العناصر

#### ◆ المجموعة الشمسية

\* نشأة المجموعة الشمسية

#### ◆ النيازك

\* تصنيف النيازك \* التركيب الكيميائي للنيازك

#### ◆ الأرض

\* بنائية الأرض \* بنائية اليابسة \* بنائية القشرة \* التركيب الكيميائي للقشرة \* بنائية الوشاح \* التركيب الكيميائي للوشاح \* اللب \* التركيب الكلي للأرض \* التصنيف الجيوكيميائي للعناصر

تشير الدراسات الفلكية إلى أن الكون الفسيح يتألف من عدد كبير من الأنظمة النجمية التي تسمى بالمجرات. وأكثر ما نعرف عن هذه المجرات هو ما نعرفه عن مجرتنا التي تنتمي إليها مجموعتنا الشمسية، والتي تعرف باسم درب التبانة. ويقدر عدد نجوم درب التبانة بأكثر من 10 بليون نجم منتشرة على مساحة في شكل بيضوي يبلغ قطره حوالي سبعين ألف (70000) سنة ضوئية (السنة الضوئية =  $10^{13}$  كم). يوجد خلف مجرتنا هذه العديد من الأنظمة الأخرى المشابهة، التي تنتشر بشكل منتظم في الفضاء في هيئة غمامات مجرية أقربها إلى مجرتنا غمامة الأندروميد التي تبعد بحوالي  $10^{13}$  سنة ضوئية.

## نظريات نشأة الكون

حظيت نشأة الكون وتطور المادة النجمية بالكثير من المناقشات والدراسات التي تمخضت عن ظهور نظريتين لنشأته هما:

### 1. نظرية الكون الدينامي المتمدد

وتقول هذه النظرية بأن الكون كان وما زال في حالة تطور مستمر. وتفترض أننا لو عدنا بالزمن إلى الوراء فإننا سنصل إلى الحالة التي كانت فيها المادة الكونية متجمعة في نقطة واحدة أو في نطاق صغير جدا وهي الحالة التي بدأ فيها الكون بالتمدد، كما تفترض الحسابات الفلكية أن العمر الفلكي للكون يقدر بحوالي  $11 \times 10^9$  سنة ضوئية.

### 2. نظرية الحالة الثابتة

وهي النظرية التي تعتبر أن الكون كان وما زال منذ الأزل على حالته التي هو موجود عليها الآن مع تطور بسيط لمادته. تؤيد الغالبية العظمى من العلماء الرأي الأول، كما

أن المؤشرات كلها تدل على أن النظرية الأولى أقرب إلى الحقيقة، وهو ماتويده الآية الكريمة:

(بسم الله الرحمن الرحيم: أو لم ير الذين كفروا أن السموات والأرض كانتا رتقا ففتقناهما.. الآية) صدق الله العظيم. الأنبياء: 30، ففيها إشارة واضحة إلى أن الكون لم يكن مستقرا على حالة ثابتة وإنما تعرض بقدرة الله عز وجل إلى تطور مستمر حتى وصل إلى الحالة التي هو عليها الآن.

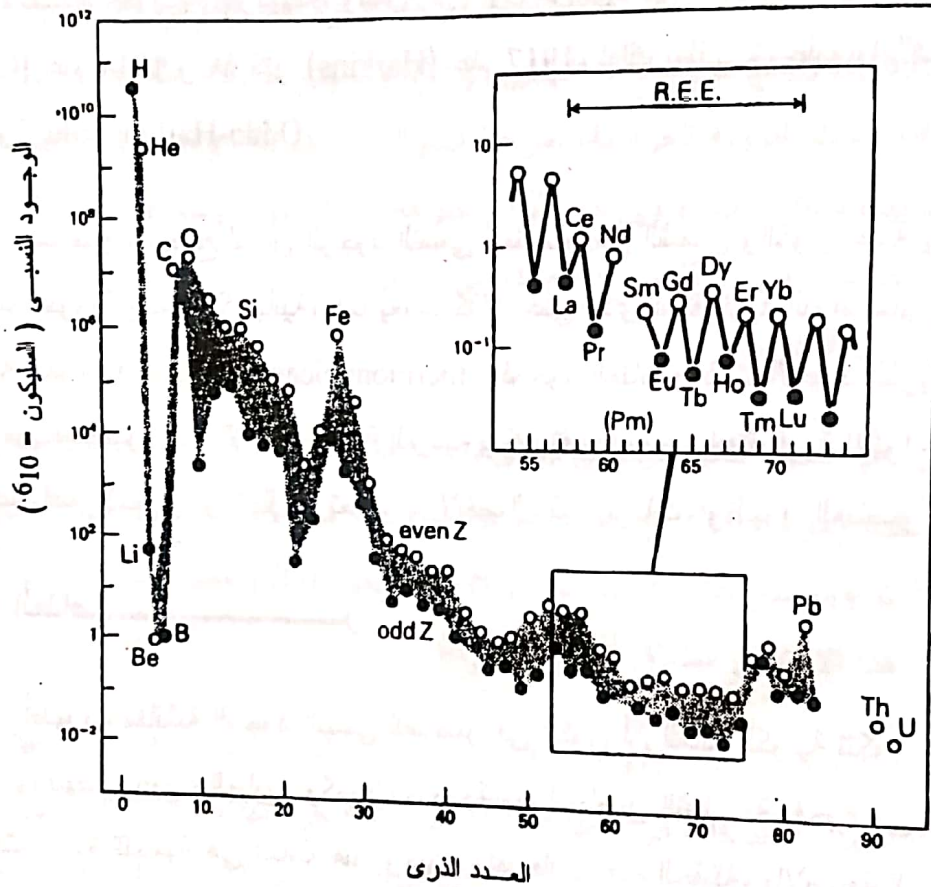
### وفرة العناصر في الكون

يصعب التعرف في وقتنا الحالي على المادة الكونية الأولى، وذلك بسبب تعرضها على مدى الزمن الكوني للمتعاقب للتطور والتمايز المستمرين، اللذين نتج عنهما العديد من المواد التي تكونت منها النجوم والمادة بين النجمية والكواكب. نشأت أثناء هذا التطور عناصر ثقيلة على حساب العناصر الخفيفة. أما بالنسبة للوضع الحالي، فإن المادة الموجودة بين النجوم، التي تنشأ منها النجوم الحديثة العمر، تعتبر أفضل وسط لتقييم وفرة العناصر في الكون، فهي تشكل الجزء غير المتمايز من الكون تقريبا.

ونظرا لأنه من غير الممكن، من الناحية العملية، إجراء تحاليل مباشرة يمكن عن طريقها التعرف على التركيب الكيميائي الكلي لمادة الكون، فقد تم اللجوء إلى تحليل خطوط الطيف الناتجة عن الإشعاعات التي تصدرها الأجزاء الساخنة من هذه المادة. وهناك العديد من الأمثلة لهذه المحاولات منها تلك التي قام بها جولدشميدت (Goldschmidt) عام 1937، التي استطاع من خلالها تحديد نسبة الهيدروجين (H) والهيليوم (He) في الشمس. أما بالنسبة لوفرة العناصر الأخرى فقد قام باستنتاجها من وجودها النسبي في النيازك. وفي عام 1956، قام كل من سويس ويري (Suess and Urey) بتجميع بيانات اعتمدا فيها جزئيا على القياسات المباشرة وجزئيا على اعتبارات الاستقرارية النووية. أما كاميرون (Cameron) فقد اعتمد في تجميع بياناته على المنشآت النووية.



أظهرت نتائج التحليل الطيفي للإشعاعات الناتجة عن الشمس وعن غلافها الجوى وجود تباينات كبيرة فى الوجود النسبى للعناصر فى الشمس والكون عامة (شكل 1-2)، التى يمكن تلخيصها فيما يلى:



شكل 1-2 منحنى الوجود النسبى للعناصر فى النظام الشمسى. تمثل البيانات المرصودة، بمقياس لوغاريتمى على المحور الرأسى، عدد ذرات كل عنصر مقابل كل مليون ذرة سليكون موجودة فى الكون.  
عن جيل (Gill 1989)

1. ينخفض الوجود النسبى بشكل واضح بزيادة العدد الذرى. فيشكل كل من الهيدروجين ذى العدد الذرى 1 والهيليوم ذى العدد الذرى 2 مثلاً أكثر العناصر وجوداً فى الكون، فى حين تتخفّف نسبة هذا الوجود لكل من الثوريوم (Th) واليورانيوم (U)، ذات الأعداد الذرية 90 و 92 على التوالى إلى أدنى مستوى. يظهر الانخفاض فى نسبة الوجود

بشكل أكثر انحدارا بالنسبة للعناصر ذات الأعداد الذرية الأقل من 30، في حين يقل هذا التفاوت في العناصر ذات الأعداد الذرية الأعلى من 30.

2. العناصر ذات الأعداد الذرية الزوجية أكثر وجودا من العناصر ذات الأعداد الذرية الفردية. ونظرا لأن أول من تنبه لهذه القاعدة هما العالمان أودو (Oddo) عام 1914 و هاركنز (Harkins) عام 1917، لذلك يطلق عليها "قاعدة أودو-هاركنز" Oddo-Harkins rule.

مما سبق، يتضح لنا أن الوجود النسبي للعناصر في الشمس والكون عامة يتوقف على الخاصة النووية وليس الكيميائية، كما يعتمد كذلك على مدى استقرارية النواة أمام التفاعلات النووية الحرارية thermonuclear reactions. فوجود العناصر ذات الأعداد الذرية الزوجية أعلى من العناصر ذات الأعداد الذرية الفردية يمكن تفسيره بعدم استقرارية الأنواع الأخيرة أمام عمليات الاحتراق والتحلل، وتعرضها لانفصال البروتونات، وظهور العناصر الأثقل.

## نشأة العناصر

أظهرت مناقشة الوجود النسبي للعناصر في الكون أن المادة الكونية تتكون أساسا من عنصرى الهيدروجين والهيليوم وكميات شحيحة من العناصر الثقيلة. فحوالى 90% من مكونات المادة النجمية هي أساسا هيدروجين. ولقد قادت هذه الحقيقة، بالإضافة إلى ظهور العديد من العناصر الأخرى، خاصة الثقيلة، في تركيب المجموعة الشمسية، رغم عدم وجود بعضها في المادة الأم، إلى افتراضات ونظريات حول العمليات التى يمكن أن تكون قد تمت وقادت إلى نشأة العناصر الأثقل.

يقدر العلماء بداية نشأة العناصر قبل تكون الأرض بحقبة كبيرة من الزمن تصل إلى حوالى 4.6 - 5 بليون سنة؛ وما زالت هذه النشأة مستمرة حتى وقتنا الحالى. وتضع هذه الافتراضات بداية هذه النشأة مع بداية تكون النجوم من تبرد غمامات الغاز التى كانت سائدة في الكون الفسيح، التى تكونت منها المجرات. ولقد أشار كل من سويس ويورى (Suess and Urey) و هويل Hoyle إلى أن هناك العديد من العمليات المتعاقبة التى حدثت

ومازالت تحدث فى النجوم والمسؤولة عن نشأة العناصر، والتي يمكن تلخيصها فى النقاط التالية:

1. فى الجيل الأول من النجوم (النجوم الأولية proto-stars) يحترق حوالى 12% من الهيدروجين، الذى يشكل الكتلة النجمية، عند درجة حرارة تقدر بحوالى  $10^7$  درجة مئوية  $H_2$ -burning cycle وينتج عن إحتراقه الهيليوم (He). وسميت هذه المرحلة، التى تمر بعدة مراحل من التفاعلات النووية الحرارية، بمرحلة المتوالية الرئيسية main sequence stage، التى تختتم بانتهاء معظم الهيدروجين فى اللب واحتراقه إلى الهيليوم. ينجم عن هذا الاحتراق تمدد للجزء الخارجى للنجم وتقلص لجزئه الداخلى، الأمر الذى يقود إلى تهمد وانفجار النجم وتحوله إلى الجيل الثانى.

2. فى الجيل الثانى من النجوم، أى بعد مرحلة المتوالية الرئيسية، تصبح درجة الحرارة فى اللب (حوالى  $10^8$  م°) كافية لبدء مرحلة جديدة من الاحتراق، يبدأ فيها الهيليوم (He) فى الاحتراق وينتج عن ذلك الكربون (C) والأكسجين (O) وبعض النيتروجين (N). كما ينتج عن هذا الاحتراق انطلاق أشعة الألفا ( $\alpha$ ).

3. يقود المزيد من الإنهيارات التى تتعرض لها النجوم، نتيجة لتمدد أجزائها الخارجية وتقلصها من الداخل، إلى ارتفاع متزايد فى درجة حرارتها والذى يتسبب إلى جانب اصطدام أشعة الألفا الناتجة فى (2) بالأكسجين والكربون إلى احتراقها وظهور عناصر المغنسيوم (Mg)، السليكون (Si)، الصوديوم (Na)، الكبريت (S)، النيون (Ne)، الأرجون (Ar) والكالسيوم (Ca)، وغيرها.

4. يقود الارتفاع المتزايد فى الحرارة إلى مزيد من الاحتراق وظهور العناصر الأثقل من السليكون حيث تبدأ مجموعة الحديد (Ni - Co - Fe - Mn - Cr) فى الظهور، وتسود حالة من الاتزان بين هذه العناصر وعنصر السليكون، لذا يطلق على هذه المرحلة "مرحلة الاتزان".



5. تحدث العمليات 1-4، التي يتم أثناءها تكون العناصر الثقيلة حتى مجموعة الحديد، على ما يبدو، في المراحل النهائية من مراحل نشأة الجيل الثاني من النجوم التي تتوقف عندها التفاعلات المنتجة للطاقة. تبدأ بعد ذلك عمليات اقتناص النيوترونات المنطلقة من عمليات الاحتراق السابقة، وينتج عن ذلك بناء العناصر الأثقل من الحديد حتى عنصر البزموت (Bi). يصاحب هذه العملية تحلل سريع لبعض العناصر المشعة مثل البولونيوم (Po) انبعاث لجسيمات بيتا ( $\beta$ ) والألفا. تسمى هذه المرحلة "مرحلة الاقتناص البطيء للنيوترونات" slow neutron capture or s-process.

6. تكون العناصر الأثقل من البزموت والغنية بالنيوترونات، اقترح العلماء حدوث اقتناص سريع للنيوترونات rapid neutron capture or r-process يقود إلى إضافة سريعة للنيوترونات إلى الأنوية المتحللة التي تطلق أشعة ألفا. يحدث تدفق النيوترونات اللازم لهذه العملية على ما يبدو نتيجة للانفجارات العظيمة التي تحدث في النجوم والمعروفة بالسوبرنوفا supernova.

### المجموعة الشمسية

المجموعة الشمسية هي مجموعة من الكواكب التي تدور، تبعاً لنظام ثابت وفي مسارات، حول نجم الشمس؛ أحد نجوم درب التبانة، وهذه الكواكب هي:

عطارد ، الزهرة ، الأرض ، المريخ ، المشتري ، زحل ، أورانوس ، نبتون ، وبلوتو.

### نشأة المجموعة الشمسية

تشير نتائج الدراسات على الإشعاعات الشمسية، الناتجة عن التفاعلات النووية، التي يتحول أثناءها الهيدروجين إلى عناصر أثقل، وكذلك نسبة الهيدروجين الحالية إلى العناصر الأخرى، إلى أن الشمس لا يمكن أن يزيد عمرها عن 5 إلى 6 بليون سنة.



هناك إفتراض حول بداية تكون وتطور المجموعة الشمسية يلقي تأييدا كبيرا من عامة المفكرين، وهو أن مواد هذه المجموعة كانت فيما مضى جزءا من سحابة ضخمة من الغازات والجسيمات الصغيرة المنتشرة فى مدار حول الشمس يزيد عن مدار بلوتو الحالى. تعرضت هذه السحابة فى البداية للتبريد الذى نتج عنه ظهور أنوية من المواد الصلبة، التى نمت فيما بعد بإضافة مواد جديدة متبردة إليها.

هذا النمو البارد، وليس البداية النارية كقطع متوهجة منفصلة عن الشمس، يمكن استنتاجه من مقارنة التركيب الكيميائى للمواد الكونية والأرضية اللتان تظهرا اختلافات جلية، خصوصا فى نسب الغازات الخاملة. فالجاذبية الأرضية فى وقتنا الحالى كافية لجذب والاحتفاظ بكل الغازات ما عدا الهيليوم والهيدروجين. لذا فإن النقص الحاصل فى نسب المواد المتطايرة لا يمكن تفسيره بفقدانها فى الغلاف الجوى أثناء العصور الجيولوجية المتعاقبة، وإنما لأن المواد التى تتكون منها الأرض، أحد أعضاء المجموعة الشمسية، كانت فى وقت ما منتشرة كدخان على مساحة كبيرة، ولم تستطع قوى الجاذبية فى ذلك الحين الإبقاء على أغلب المواد المتطايرة، وخصوصا عنصرى النيون (Ne) والهيدروجين (H). تؤكد نظرية النمو البارد كذلك على ظاهرة فقدان الأكبر للعناصر الخاملة عنه للمواد المتطايرة الأخرى الأكثر نشاطا، مثل بخار الماء، وثاني أكسيد الكربون، والنيتروجين، وغيرها. فلو نشأت الأرض كقطعة متوهجة منفصلة عن الشمس لتعرضت المكونات المتطايرة الأخرى للفقدان حالها فى ذلك حال العناصر الخاملة. أما فى درجات الحرارة المنخفضة فيمكن الاحتفاظ بالمركبات السريعة التبخر والنشطة كالماء، وثاني أكسيد الكربون، فى شكل معادن ممتيئة ومعادن كربونائية أو بامتزازهم بين جزيئات المواد الأخرى. وتشير الدراسات المفصلة على نسب هذه المواد إلى أن الأرض وقت نشأتها لا يمكن أن تزيد درجة حرارتها عن بضع مئات من الدرجات المئوية.

## النيازك

النيازك هي أجسام تسقط على الأرض من الكون الفسيح وبأحجام مختلفة، تتراوح ما بين الغبار الدقيق جدا إلى تلك التى يصل وزنها إلى عدة آلاف من الكيلوجرامات. يقدر عدد النيازك التى تسقط على سطح الأرض سنويا بخمسمائة نيزك تزن ما يعادل مليون طن.

## أهمية دراسة النيازك

يمثل توفر المادة النيزكية أهمية خاصة لتطوير مفاهيمنا عن السلوك الجيوكيميائي الحقيقي للعناصر وذلك للأسباب التالية:

1. تمثل المادة النيزكية عينات حقيقية من المادة الصلبة التي تتكون منها الأجرام السماوية السابحة في الفضاء خارج كوكب الأرض وغلافه الجوى، والموجودة بكميات كافية لإجراء دراسات عليها للتعرف على التركيب الكيميائي والخصائص الفيزيائية للمواد التي لم تتأثر بالتغيرات التي تحدث على سطح الأرض.

2. تنتمي مواد النيازك إلى مواد فضائية صلبة من مرحلة مبكرة جدا يقدر عمرها بحوالى 4.7 بليون سنة، فى حين يقدر عمر أقدم صخور عثر عليها على سطح الأرض بحوالى 6, 3 - 7, 3 بليون سنة.

3. مازالت بعض أنواع من النيازك بالرغم من قدم عمرها، فى حالة جيدة ولم تتأثر بعوامل التعرية (مقارنة بصخور القشرة الأرضية المتميزة والمتحولة) لذلك، فإن دراستها يمكن أن تعطى فكرة عن التركيب الكيميائي وتاريخ تطور المادة فى النظام الشمسى.

4. ظلت النيازك لملايين السنين سابحة فى الفضاء، قبل سقوطها على سطح الأرض، وتعرضت طوال هذه الفترة للأشعة الكونية، لذا فهى تمثل أكثر المواد ملاءمة لدراسة تأثير وتفاعلات الأشعة الكونية مع المواد الصلبة.

5. أثبتت الدراسات التى أجريت على سرعة تبرد النيازك الحديدية أن هذه الأجسام تكونت على أعماق تتراوح بين 10 - 120 كم داخل الأجرام السماوية الأم قبل تفجرها.

6. تساعد دراسة توزيع وتمايز العناصر بين مكونات النيازك مثل الحديد والنيكل وكبريتيد الحديد (الترويليت) والمعادن السليكاتية فى التعرف على السلوك الجيوكيميائي للعناصر وطبيعة توزيعها على مجموعات العناصر السيدروفيلية siderophile والكالكوفيلية calchophile والليثوفيلية lithophile.



## تصنيف النيازك

أشارت الدراسات التي أجريت على عينات مختلفة من النيازك، التي تم العثور عليها على سطح القشرة الأرضية على مدى الأزمنة الجيولوجية المتعاقبة، إلى ظهور اختلافات واضحة في تركيبها المعدني. فهناك البعض الذي يتكون تماما من حديد ونيكل أصلي (سبيكة من الحديد والنيكل المنفردين Fe-Ni alloy) إلى تلك التي تتكون كلية من معادن سليكاتية. وأشارت مجمل هذه الدراسات إلى أنه يمكن تصنيف النيازك إلى ثلاث مجاميع رئيسية هي:

### 1. نيازك صخرية أو إيروليت *aerolites*

وهي نوع النيازك الذي يتكون أساسا من معادن سليكاتية. ولقد جرى تصنيف النيازك الصخرية تبعا لتركيبها المعدني إلى مجموعتين رئيسيتين هما:

- الكوندرينات *chondrites* وتحتوى إلى جانب المعادن السليكاتية على سبيكة حديد ونيكل بنسبة 10% تقريبا.

- اللاكوندرينات *achondrites* وتحتوى إلى جانب المعادن السليكاتية على سبيكة حديد ونيكل لا تزيد نسبتها عن 1%.

### 2. نيازك صخر - حديدية *stony irons* أو سيدروليت *siderolites*

وتحتوى على نسب متساوية من المعادن السليكاتية وسبيكة الحديد والنيكل.

### 3. نيازك حديدية *irons* أو سيدريت *siderites*

أكثر من 90% من مكوناتها المعدنية عبارة عن سبيكة من الحديد والنيكل.

## النيازك الصخرية

### ■ الكوندرينات

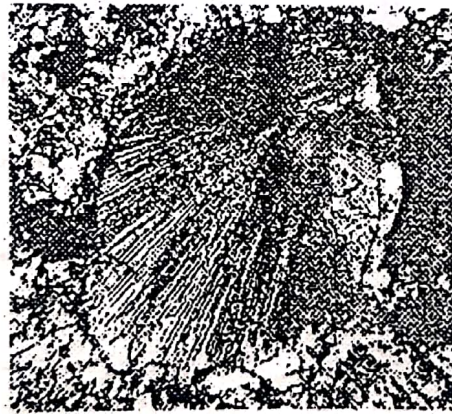
سميت هذه المجموعة بالكوندرينات لاحتوائها على جسيمات كروية أو بيضوية الشكل يتراوح قطرها بين أجزاء من المليمترات إلى بضعة مليمترات، توجد في أرضية

ناعمة أطلق عليها كوندرول chondrule، ومن هنا جاء الاسم كوندريت (شكلي 2-2 و 3-2). ولقد فسر ظهور مثل هذه الجسيمات إلى التصلد السريع لقطرات من المصهور السليكاتي. يتكون هذا النوع من النيازك من حوالي 40% أوليفين + 30% بيروكسين + 10% سبيكة حديد ونيكل + 10% بلاجيوكلاز + 6% ترويليت إضافة إلى بعض المعادن الثانوية مثل التينيت (Taenite) (انظر النيازك الحديدية) + أباتيت (Apatite) + نحاس منفرد (Native Cu) + الدوبريليت (Daubreilite) + شرايبريت (Schreibersite) + كروميت (Chromite).



شكل 2-2 رسم تخطيطي لشريحة ميكروسكوبية لأحد النيازك الكوندريتية.

عن: مولر وساكسنا (Mueller and Saxena 1977).



شكل 3-2 كوندرول لبيروكسين شعاعي في أحد النيازك الكوندريتية.

عن: مولر وساكسنا (Mueller and Saxena 1977).



هناك نوع آخر من الكوندرينات يعتبر فريداً في مجموعة النيازك الصخرية، وهو الكوندرينات الكربونية التي ليس لها نسيج كوندريني، وتتكون أساساً من معادن سليكاتية حديدو-مغنيسية متميئة تشبه السربنتين والكلوريت في كثير من خواصها، كما تحتوي إضافة إلى ذلك على نسب من المركبات العضوية قد تصل نسبها إلى 10%، ولقد أكدت الدراسات الحديثة على المصدر غير العضوي لمثل هذه المركبات التي يثار حولها جدل كبير. وقد جاء هذا التأكيد من الدراسات التي أجريت على نيزك "المورشيزون" الذي سقط على أستراليا عام 1969، والتي أثبتت أن هناك تشابهاً بين هذه المركبات العضوية وتلك المنتجة حرارياً من جزيئات عضوية بسيطة. كما أن الأحماض التي لوحظ وجودها بهذا النيزك لا يوجد لأغلبها مثيل في العضويات الطبيعية، إضافة إلى ذلك فقد لوحظ انعدام النشاط بها.

#### ■ اللاكوندرينات

تعتبر النيازك اللاكوندرينية أقرب النيازك شبيهاً بالصخور الأرضية، ويصعب التعرف أو العثور عليها إلا إذا شوهدت ساقطة والتقطت بعد سقوطها. لذلك، فهي من أندر النيازك وأقلها وفرة. يتكون هذا النوع من النيازك أساساً من بيروكسين وبلاجيوكليس، كما يحتوي بعض منها على نسب مرتفعة من الأوليفين. أما المعادن الشحيحة فهي الكاماسيت (Kamacite) (انظر النيازك الحديدية) + تينيت + ترويليت (Troilite) + شرايرزيت + كروميت + ماجنتيت (Magnetite) + كريستوباليت (Cristobalite).

#### ■ النيازك الصخر-حديدية

تتكون النيازك الصخر-حديدية من معادن سليكاتية وسبيكة من الحديد والنيكل الأصلي بنسب متساوية. وهناك نوعان رئيسان يختلفان في نوعية المعادن السليكاتية الداخلة في تركيب كل منهما، وهذان النوعان هما:

#### ■ البالازيت Pallasite

تتكون سبيكة الحديد والنيكل في نيازك البالازيت من كاماسيت وتينيت في نمو متداخل ينتج عنه نسيج مميز يسمى بنسيج وينمنستاتن (Widmanstätten) (انظر النيازك الحديدية).

ويشكل معدن الأوليفين أهم المعادن السليكاتية، ويوجد كبلورات كبيرة ومستديرة وأحيانا محدبة الشكل، إضافة إلى ذلك يحتوى هذا النوع من النيازك على كميات ضئيلة من النحاس المنفرد والترويليت والشرابيرزيت.

#### ■ الميزوسيدريت Mesosiderite

يختلف نسيج الميزوسيدريت عن البالازيت فى الانتشار الدقيق لسبيكة الحديد والنيكل، وكذلك فى نوعية المعادن السليكاتية. أهم المعادن السليكاتية فى نيازك الميزوسيدريت هى معادن الأورثوبيروكسين والبلاجيوكليز. إضافة إلى ذلك فهى تحتوى على كميات ثانوية من الترويليت وشذرات من الأوليفين المتغير التركيب والموجود فى أرضية ناعمة.

### النيازك الحديدية Iron Meteorites

جرى تصنيف النيازك الحديدية تبعا لنسيجها ونسبة النيكل بها إلى الأنواع التالية:

#### ■ الهيكسايدريت Hexahedrite

تتكون نيازك الهيكسايدريت أساسا من سبيكة الكاماسيت بنسبة 92% تقريبا (الكاماسيت هو نوع سبيكة الحديد والنيكل، الذى لاثزيد نسبة النيكل به عن حوالى 6%). توجد سبيكة الكاماسيت على شكل بلورات كبيرة مكعبة الشكل. يوجد إلى جانب الكاماسيت أحيانا بعض المعادن الشحيحة مثل الترويليت والشرابيرزيت والداوبريليت والجرافيت والكروميت.

#### ■ أوكتاهيدريت Octahedrite

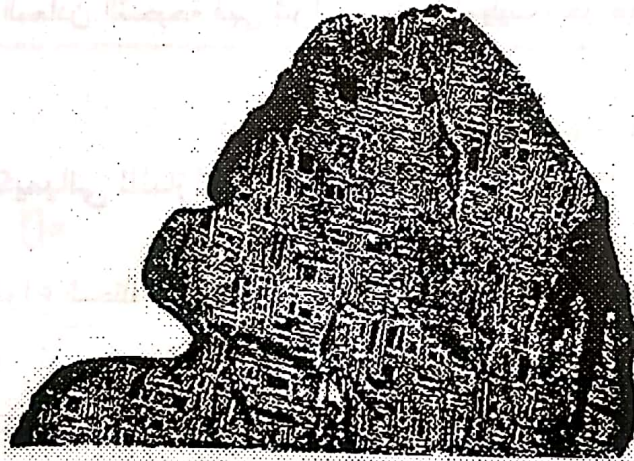
يتميز هذا النوع من النيازك بظهور نسيج ويدمنستاتن على الأسطح التى تتعرض للكي بوساطة الأحماض المسخنة (شكل 2-4). ويتمثل هذا النسيج فى ظهور صفائح من الكاماسيت فى شكل مواز لأسطح البلورات الثمانية (ومن هنا التسمية أوكتاهيدريت). يوجد على الحواف الخارجية لصفائح الكاماسيت معدن التينيت (سبيكة الحديد والنيكل التى تصل نسبة



النيكل فيها إلى 30%) وتمتلئ الفراغات الموجودة بين الصفائح بخليط متداخل من حبيبات دقيقة من الكاماسيت والتينيت يسمى بليسيت (Plecite). وهناك تصنيف فرعى لنيازك الأوكتايدريت وذلك تبعا لعرض صفائح الكاماسيت وكذلك تبعا لنسبة النيكل كما يلي:

- أوكتايدريت ذات صفائح خشنة جدا ( $< 5, 2$  مم ونسبة النيكل 6-7%).
- أوكتايدريت ذات صفائح خشنة ( $2, 1-5, 2$  مم ونسبة النيكل 5, 6 إلى 5, 7).
- أوكتايدريت ذات صفائح متوسطة ( $5, 0 - 2, 1$  مم ونسبة النيكل 5, 6 - 10%).
- أوكتايدريت ذات صفائح رقيقة ( $2, 0 - 5, 0$  مم ونسبة النيكل 5, 7 - 10%).
- أوكتايدريت ذات صفائح رقيقة جدا ( $> 2, 0$  ونسبة النيكل 8 - 15%).

ويعتبر النوع المتوسط منها الأكثر وجوداً.



شكل 2-4 مقطع لأحد نيازك الأوكتايدريت يظهر به نسيج ويدمنستاتين

عن: مولر وساكسنا (Mueller and Saxena 1977).

هناك محاولات أخرى لتقسيم الأوكتايدريت وذلك تبعا لنسبة الجاليوم (Ga) والجرمانيوم (Ge)، تلقى حاليا نجاحا واسعا.

أهم معادن الأوكتايدريت هو الكاماسيت، إضافة إلى نسب متفاوتة إلى شحيحة من التينيت والشرابيزيت، إضافة إلى بعض المعادن الأخرى التي قد توجد بنسب ضئيلة وذلك مثل النحاس الأصلي، جرافيت، ألماس، كوهنيت (Cohenite)، دوبرليت (Daubrelite)،

سفاليريت (Sphalerite)، كالكوبيريت (Chalcopryrite)، فاليريت (Valerite)، كريستوباليت (Cristobalite)، روتيل (Rutile)، إلمنيت (Ilmenite)، كروميت (Chromite) وكلورأباتيت (Chlorapatite). النسيج المميز هو نسيج ويدمنستاتن كما تتميز صفائح الكاماسيت بظهور خطوط نيومان (Neumann). ولقد فسر ظهور هذا النسيج بأنه ظاهرة مميزة للفظ محاليل دون حد التصلد subsolidus exsolutions في خليط معدني تعرض وهو في درجات الحرارة العالية للتبريد البطيء.

### ■ أتاكسيت Ataxite

تحتوى نيازك الأتاكسيت على أعلى نسبة من النيكل من بين النيازك الحديدية الأخرى. وقد تصل هذه النسبة أحيانا إلى 14%. أهم المعادن الرئيسية هي التينيت إلى جانب نسب أقل من الكاماسيت، أما المعادن الشحيحة فهي شرابيرزيت، ترويليت، جرافيت وبعض المعادن السليكاتية.

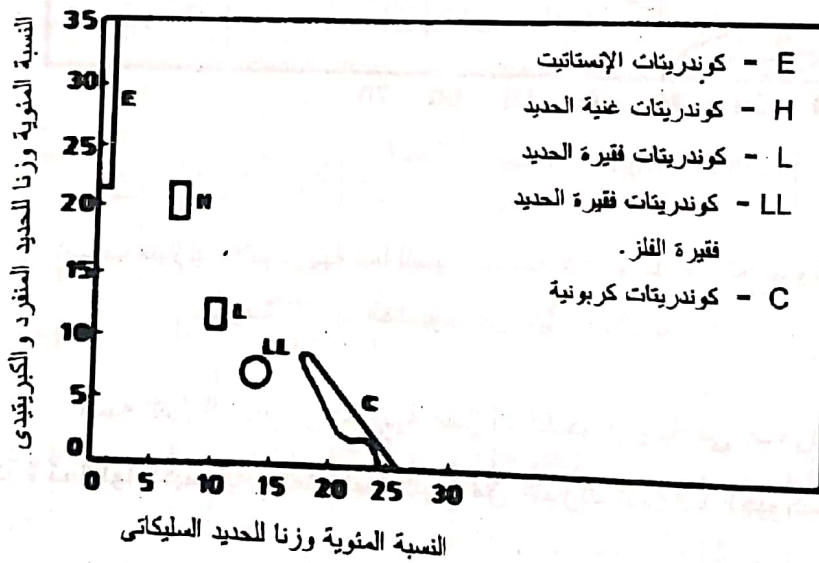
### التركيب الكيميائي للنيازك

تعرضت الأنواع المختلفة من النيازك للعديد من الدراسات الجيوكيميائية، التى استهدفت التعرف على تركيب المادة الكونية ونظام انتشار العناصر بها. وهناك كم هائل من التحاليل الكيميائية التى أجريت، تشير جميعها إلى ظهور اختلافات متباينة فى النتائج، ومن الصعب جدا اختيار أى منها واعتباره ممثلا تمثيلا دقيقا للتركيب الكيميائي لهذه المادة الكونية. لذا، فقد تم اللجوء إلى حساب متوسط بعض نتائج هذه الدراسات واستخدامها فى التعرف على الطبيعة الجيوكيميائية التقريبية للأنواع المختلفة من النيازك والتى نردها فيما يلى:

1. تعتبر النيازك الكوندريتية، من أوسع أنواع النيازك انتشارا وأكثرها تجانسا كيميائيا، وهذا ما أكدته نتائج التحاليل الكيميائية المبينة بالجدول 2-1. ولقد جرى تصنيف هذا النوع من النيازك تبعا لنسبة الحديد فى سبيكة الحديد والنيكل، مضافا إليها نسبته فى الصنف الكبريتيدى إلى نسبة الحديد المؤكسد فى الصنف السليكاتى (شكل 2-5) إلى الأنواع التالية:



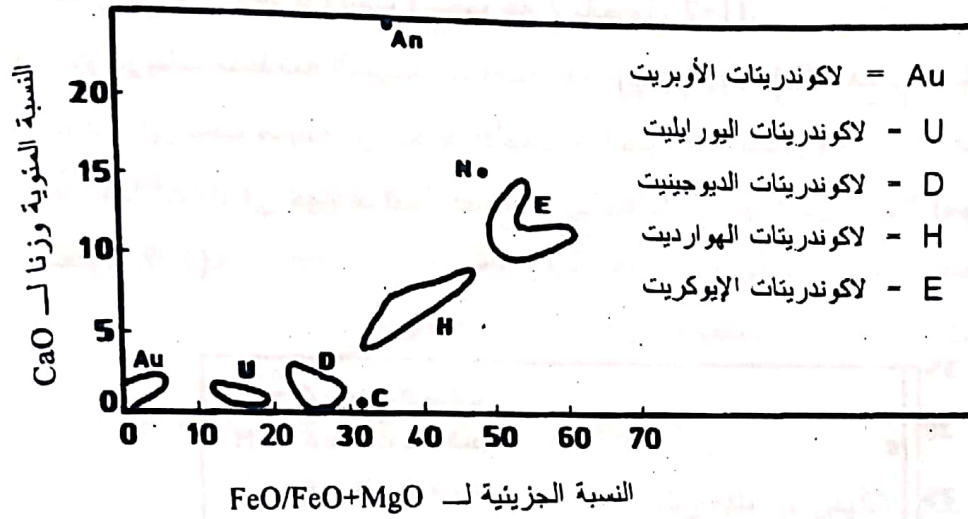
- كوندريتات الإنستاتيت (E-Chondrites) وهى التى تحتوى على أقل من 0.5% FeO ونسبة أعلى من الحديد الأصيل والكبريتيدى.
- كوندريتات عالية الحديد (H-Chondrites) وتشكل سبيكة الحديد والنيكل فيها 14.2 - 19.8% ونسبة الترويليت 4.9% (مجموعة 1 بالجدول 1-2).
- كوندريتات منخفضة الحديد (L-chondrites) وتحتوى على 4.4 - 11.7% سبيكة حديد ونيكل و 5-6% ترويليت (مجموعة 2 بالجدول 1-2).
- كوندريتات منخفضة الحديد منخفضة الفلز (LL-chondrites) وهى النوع الذى يحتوى على نسب ضئيلة من الحديد الأصيل و الحديد الكبريتيدى والالذان قد ينعدم وجودهما أحيانا، فى حين قد تصل نسبة الحديد السليكاتى فيها الى 19% (مجموعة 3 بالجدول 1-2).



شكل 5-2 تصنيف النيازك الكوندريتية تبعا لنسبة الحديد السليكاتى أمام مجموع الحديد المنفرد والكبريتيدى. عن: كيل (Keil 1969).

2. تحتوى النيازك اللاكوندريتية على نسبة أقل من سبيكة الحديد والنيكل، وتتميز بنسيجها الخشن جدا، الأمر الذى يجعلها متغيرة التركيب الكيميائى (جدول 1-2). تبعا لتغير نسبة أكسيد الكالسيوم (CaO) إلى النسبة الجزيئية molar ratio — FeO/MgO (شكل 6-2) جرى تقسيم هذه المجموعة إلى نوعين:

- لاوندرينات فقيرة الكالسيوم وتشمل الأوبريت (Aubrite) ، اليوريليت (Ureilite) والديوجينيت (Diogenite).
- لاوندرينات غنية الكالسيوم وتشمل الهوارديت (Howardite) والإيوكريت (Eucrite).



شكل 2-6 تصنيف النيازك اللاوندرينية تبعاً للنسبة الجزئية لأكاسيد كل من الحديد والمغنسيوم أمام النسبة الوزنية لأكاسيد الكالسيوم. عن: كيل (1969 Keil).

3. تشبه النيازك الصخر-حديدية النيازك اللاوندرينية في صعوبة العثور عليها، وكذلك ندرة تحاليلها الكيميائية. تنعدم لهذا النوع من النيازك البيانات الجيوكيميائية الموثوق بها.

4. تشكل النيازك الحديدية مجموعات متجانسة كيميائياً، وتتكون أساساً من حديد ونيكل ولا تختلف عن بعضها البعض كيميائياً إلا في نسبة النيكل الموجودة في نوعي سبيكة الحديد والنيكل، وهما النوع العالي النيكل وهو التينيت (Ni%30) والآخر المنخفض النيكل وهو الكامسيت (Ni%6). وتدل نسبة وجود هذين الصنفين على معدل التبريد الذي تعرضت له النيازك، حيث يتخطى الصنف المعدني بالتبريد حقل الثباتية للتينيت إلى حقل التينيت

جدول 1-2 التركيب الكيميائي للنيازك الكوندرية واللاكوندرية.

| استثنائية | عالية الحديد | منخفضة الحديد | منخفضة الحديد الفلز | الكربوناتية 1 | للكربونات 2 | متوسط الأوبريت | متوسط الديوجينيت | متوسط اليوريليت | متوسط الأيوكريت | متوسط الهولرديت |                                |
|-----------|--------------|---------------|---------------------|---------------|-------------|----------------|------------------|-----------------|-----------------|-----------------|--------------------------------|
| 20.04     | 17.89        | 6.89          | 0.70                | 0             | 0           | 2.29           | 0.79             | 3.94            | 0.80            | 0.33            | Fe                             |
| 1.96      | 1.75         | 1.24          | 0.04                | 0             | 0           | 0.17           | 0.03             | 0.11            | -               | 0.11            | Ni                             |
| 0.07      | 0.08         | -             | 0.81                | 0             | 0           | -              | -                | 0.05            | -               | 0.05            | Co                             |
| 7.27      | 4.96         | 7.31          | 5.18                | 15.07         | 7.67        | 1.25           | 1.12             | 1.66            | 0.41            | 0.73            | FeS                            |
| 41.53     | 36.40        | 39.41         | 40.52               | 22.56         | 28.69       | 54.01          | 52.11            | 40.83           | 48.17           | 49.57           | SiO <sub>2</sub>               |
| -         | 0.13         | 0.14          | 0.09                | 0.07          | 0.09        | 0.06           | 0.19             | 0.15            | 0.51            | 0.11            | TiO <sub>2</sub>               |
| 1.55      | 2.70         | 3.73          | 3.00                | 1.65          | 2.19        | 0.67           | 1.18             | 0.54            | 13.91           | 8.71            | Al <sub>2</sub> O <sub>3</sub> |
| -         | 0.31         | 0.31          | 0.32                | 0.19          | 0.21        | 0.14           | 0.32             | 0.40            | 0.46            | 0.78            | MnO                            |
| 0.34      | 8.93         | 13.95         | 19.45               | 11.39         | 21.08       | 0.97           | 16.05            | 12.16           | 15.99           | 13.26           | FeO                            |
| 23.23     | 23.39        | 23.31         | 25.65               | 15.81         | 19.77       | 35.92          | 25.85            | 37.43           | 7.10            | 16.10           | MgO                            |
| 0.74      | 1.66         | 1.68          | 1.51                | 1.22          | 1.92        | 0.91           | 1.41             | 0.87            | 10.94           | 6.53            | CaO                            |
| 1.26      | 0.96         | 0.70          | 1.07                | 0.74          | 0.22        | 1.32           | 0.004            | 0.11            | 0.67            | 0.95            | Na <sub>2</sub> O              |
| 0.32      | 0.08         | -             | 0.13                | 0.07          | 0.04        | 0.10           | 0.001            | 0.04            | 0.13            | 0.28            | K <sub>2</sub> O               |
| 0.18      | 0.08         | 0.12          | 0.35                | 0.28          | 0.32        | 0.22           | 0.01             | 0.08            | 0.11            | 0.07            | P <sub>2</sub> O <sub>5</sub>  |
| -         | 0.30         | 0.07          | 0.44                | 19.89         | 12.42       | 1.14           | 0.14             | -               | 0.44            | 0.25            | H <sub>2</sub> O               |
| 0.56      | 0.52         | 0.27          | 0.64                | 0.36          | 0.44        | 0.06           | 0.80             | 0.85            | 0.39            | 0.42            | Cr <sub>2</sub> O <sub>3</sub> |
| -         | -            | 0             | -                   | 1.23          | 1.50        | 0.26           | -                | -               | -               | -               | NiO                            |
| -         | -            | 0             | -                   | 0.06          | 0.08        | -              | -                | -               | -               | -               | CoO                            |
| -         | 0.10         | -             | 0.26                | 3.12          | 2.78        | -              | -                | 2.23            | -               | -               | C                              |
| 0.86      | -            | -             | -                   | 6.96          | 0.62        | 0.51           | -                | -               | -               | -               | مكونات أخرى                    |
| 99.91     | 100.28       | 99.13         | 100.16              | 100.65        | 100.04      | 100.00         | 100.00           | 101.45          | 100.03          | 101.05          | المجموع                        |

في النيازك الكربوناتية 1 و 2 تمثل هذه المكونات وزن فاقد التسخين loss on ignition والتي تعادل المكونات العضوية المركبة complex organic matter أما بالنسبة لبقية النيازك فإن القيمة تمثل محتوى العينة من CaS. عن: هندرسون (Henderson 1982).



والكامسيت، والذي يبدأ فيه تكون نويات من الكامسيت تنمو مع استمرار التبريد وتزداد نسبته على حساب التينيت.

5. يؤكد التوافق شبه التام بين متوسط التركيب الكيميائي للنيازك الحديدية ومتوسط التركيب الكيميائي لسبيكة الحديد والنيكل، المفصولة من النيازك الكوندريتية، على المصدر الواحد للنوعين من النيازك. وربما تكونت النيازك الحديدية بانفصالها عن النيازك الكوندريتية نتيجة لتعرض الأخيرة لانصهار جزئي أو كلي في الفضاء.

جدول 2-2 مقارنة النسب المئوية لذرات العناصر الرئيسة غير المتطايرة في كل من النظام الشمسي والنيازك الكوندريتية.

| النيازك الكوندريتية | الشمس | العنصر |
|---------------------|-------|--------|
| 36.3                | 34.7  | Si     |
| 33.2                | 27.4  | Mg     |
| 21.8                | 30.9  | Fe     |
| 1.59                | 2.19  | Na     |
| 3.45                | 1.74  | Al     |
| 1.78                | 1.56  | Ca     |
| 0.995               | 0.90  | Ni     |
| 0.182               | 0.24  | P      |
| 0.283               | 0.17  | Cr     |
| 0.249               | 0.087 | Mn     |
| 0.0888              | 0.053 | Ti     |
| 0.115               | 0.055 | K      |

عن: سيوس ويرى (Suess and Urey 1956)

مما سبق، يتضح لنا جليا، أن التركيب الكيميائي للمجموعات الرئيسة من النيازك يظهر ارتباطا وثيقا ومباشرا بنسبة الصنف الفلزي إلى الصنف السليكاتي حيث تحدد هذه النسبة الفوراق بين المجموعات الرئيسة الثلاث للنيازك: الصخرية، و الصخر حديدية، والحديدية. فالبيانات الكيميائية المتوفرة عن النيازك الحديدية والصخر حديدية لم تساعد في



إعطاء أية دلالات عن عمليات نشأة وتطور المواد الداخلة في تركيبها وإنما يمكن الاستفادة منها في بعض الدراسات الخاصة. وقد ينطبق الشيء نفسه على النيازك اللاكوندرية.

من ناحية أخرى، تعتبر النيازك الكوندرية أهم أنواع النيازك وأكثرها فائدة في الدراسات الجيوكيميائية، فهي تمثل المجموعة الأكثر تجانساً، وخاصة بالنسبة للعناصر غير المتطايرة. وتختلف الأنواع المتعددة منها في درجة أكسدة الحديد الداخل في تكوينها. بمقارنة النسب المئوية لذرات العناصر الرئيسية في كل من النيازك الكوندرية والنظام الشمسي (جدول 2-2) يتضح التطابق الجيد بين المادتين، والذي ربما يشير إلى المصدر الواحد.

## الأرض

عرفنا مما سبق أن هناك إجماعاً على أن كوكب الأرض تكون من تجمع مواد متبردة من سديم الشمس؛ وهناك رأيان حول الطريقة التي تم بها هذا التجمع؛ هما التجمع المتجانس والتجمع غير المتجانس. يقترح مؤيدو التجمع المتجانس أن معدل الانفصال والتجمع كان أبطأ من معدل التبريد. ولهذا السبب، بقي الاتزان الكيميائي بين نتاج التكثيف والغازات الساخنة والمواد المتكثفة مسبقاً محافظاً عليه، وتجمعت الأرض كوحدة متجانسة تعرضت فيما بعد لعمليات اختزال مصحوبة بفقدان للمواد المتطايرة وانصهار وتمييز نتج عنه التكوين غير المتجانس الذي تبدو عليه الآن. ولمزيد من التفاصيل يراجع رنجوود (Ringwood, 1975). على الجانب الآخر، يشير مؤيدو التجمع غير المتجانس إلى حدوث التكوين النطاقي للأرض وقت النشأة، وذلك من تجمع مبكر عالي الحرارة للحديد والنيكل في شكل سبيكة مكونا لب الأرض. تبع هذا التجمع، مع استمرار الانخفاض في درجات الحرارة، تجمع للأجزاء الخارجية من مواد سليكاتية للحديد والمغنسيوم والبوتاسيوم.

تشير الدراسات النظرية، لتتابع نتاج التكثيف، إلى تكثف المواد السليكاتية والأكاسيد الغنية بالألومنيوم والكالسيوم قبل سبيكة الحديد والنيكل الأصلي وهذا ما دعا أندرسون وهانكس (Anderson & Hanks, 1972) إلى توقع احتواء لب الأرض على عناصر أخرى

مثل الكالسيوم (Ca)، الألومنيوم (Al)، التيتانيوم (Ti)، اليورانيوم (U) ومجموعة من عناصر الأرض النادرة (REE) إلى جانب سبيكة الحديد والنيكل.

يحتاج كلا الرأيين إلى العديد من الإيضاحات، ولكل منها مؤيدوه ومعارضوه. ومثلما أن هناك اختلافات حول طريقة النشأة، هناك أيضا اختلافات حول متى تجمعت الأرض كوحدة متكاملة؟. يفترض الرأي السائد أن الأرض تم تجميعها قبل 4.6 بليون سنة، وهذا هو العمر المقترح للأرض، في حين أن أقدم صخور تم العثور عليها على سطح الأرض حتى الآن لا يزيد عمرها عن 3.8 بليون سنة.

في مستهل مناقشتنا لجيوكيميائية الأرض، التي تشمل أساسا نظام توزيع وهجرة العناصر بها، سنحاول التعرف أولا على بنائيتها.

## بنائية الأرض

يتكون كوكب الأرض من ثلاث وحدات رئيسية، هي الغلاف اليابس أو الغلاف الصخري lithosphere، والغلاف المائي hydrosphere، والغلاف الجوى atmosphere، وهو الجزء الذى يغلف الجزءين السابقين، والمنتشر فى الفراغ المحيط بالأرض، إلى جانب انتشاره كذلك فى باطنهما إما ذائبا فى الغلاف المائي أو محبوسا فى مسام مكونات الغلاف اليابس.

## بنائية اليابسة

منذ ظهور علم الجيولوجيا، والعلماء متجهون لمعرفة التكوين الداخلى والتركيب الكيميائى للأرض. فاتجهوا أولا لدراسة صخور القشرة الموجودة على السطح، ثم اتجهوا بعد ذلك، من أجل الوصول إلى تفسير للمشاكل التى اصطدموا بها على السطح، إلى محاولة التعرف على مواد الأعماق. فبدأوا بعمل حفر عميقة فى جوف الأرض وأخذ عينات منها ودراستها. وقد وصل عمق بعض هذه الحفر إلى بضعة كيلومترات. كما قاموا، إضافة إلى ذلك، بدراسة المناطق التى حدثت بها عمليات تعرية واسعة النطاق. والتى أزيلت بوساطتها طبقات من الأرض حتى عمق 25 كم. لكن كل هذا كان غير كاف لمعرفة التكوين الداخلى

للكرة الأرضية، وذلك إذا ما قورنت هذه الأعماق بنصف قطر الأرض الذى يساوى 6400 كم. لكن مع تقدم الجيولوجيا والاستعانة بالعلوم الأخرى مثل الفيزيكا نتج علم الجيوفيزيكا الذى أمكن الاستعانة به فى دراسة العمليات الجيولوجية التى تحدث فى جوف الأرض، وبالتالي أمكن الوصول إلى إجابات لكثير من الاستفسارات التى كانت الإجابة عليها أمراً مستحيلاً فى الماضى.

### الدلالات الجيوفيزيكية

تمثل الزلازل، التى تتسبب فى الكثير من الدمار والآلام للبشرية، أهم الظواهر الفيزيكية الطبيعية التى استعان بها العلماء فى علم الجيولوجيا والجيوفيزيكا وخاصة للإجابة على الاستفسارات حول التكوين الداخلى للأرض. والزلازل هى حركات تحدث فى جوف الأرض نتيجة لتعرض صخور باطن الأرض لقوى مختلفة، التى إذا ما اشتدت قوتها نتج عنها تكسر وتداع لطبقات الأرض العميقة، الأمر الذى ينجم عنه انطلاق طاقة هائلة على شكل موجات رجفية seismic waves تسير فى جوف الأرض أو على السطح منطلقة من المركز ومتسببة فى حدوث الزلازل. ولقد أمكن رصد هذه الموجات بواسطة أجهزة، تسمى مرجاف أو راسمة الزلازل seismographs [زلازل = seismos، كاتب أو مسجل = graph]، تقوم بتسجيل حركة الموجات الرجفية على ورق فى شكل رسوم بيانية "رسم الزلازل seismograms". وبدراسة هذه الأشكال البيانية وتحليلها يمكن التوصل إلى جميع المعلومات الخاصة بها مثل قوتها، سرعتها، نقطة انطلاقها والمناطق التى يحتمل تأثرها بها. ويمكن التوصل إلى جميع هذه المعلومات فى دقائق مما يسهل سرعة إنذار المنطقة المهددة.

وقد بينت دراسات تحليل رسومات الرصد الزلزالي وجود نوعين من الموجات، هما موجات داخلية تخترق جوف الأرض حتى منطقة اللب "موجات جوفية" body waves، وأخرى لا تسير إلا بالقرب من سطح القشرة أو على السطح، وتتعدى كلما تعمقنا داخل الأرض "موجات سطحية" surface waves. وتعتبر الموجات الجوفية باطن الأرض على حالتين: أفقية ضاغطة، أى أن جزيئات المادة تتحرك فى اتجاه تحرك الموجة وهى أول الموجات وصولاً



إلى محطة الرصد ولذلك تسمى "بالموجات الأولية" (أو P-waves)، أو يطلق عليها كذلك، بسبب الطريقة التي تعبر بها جوف الأرض، "الموجات الضاغطة". يسير هذا النوع من الموجات في جميع حالات المادة الصلبة والمائعة (أو السائلة) والغازية. وتعتبر الموجات الأولية أقل الموجات تأثيراً (من ناحية التدمير) في القشرة الأرضية. ويتحرك النوع الثانى من الموجات الجوفية رأسياً وقاصداً للمادة، أى إن جزيئات المادة هنا تتحرك فى الاتجاه العمودى على خط سير الموجة وهى ثنائية الموجات وصولاً إلى محطة الرصد لذلك تسمى "الموجات الثانوية" (S-waves)، أو كذلك بسبب الطريقة التى تعبر بها جوف الأرض "بالموجات القاصة". ولا يسير هذا النوع من الموجات إلا فى الأوساط الصلبة ويختفى فى الأوساط السائلة والغازية. وتعتبر الموجات السطحية الأرض على أعماق ضحلة، وهى أكثر الموجات إحداثاً للدمار على سطح القشرة الأرضية وأخرها وصولاً إلى محطة الرصد، ومن هنا الاسم "الموجات الطويلة" (L-waves) وتسير فى جميع أنواع المادة. وحيث إن الموجات السطحية لا تسير إلا على سطح الأرض وينعدم تأثيرها كلما تعمقنا فى باطن الأرض، لذا فإن أكثر الموجات أهمية للتعرف على خصائص باطن الأرض هما الموجتان الأولية الضاغطة (الموجة P) والثانوية القاصة (الموجة S).

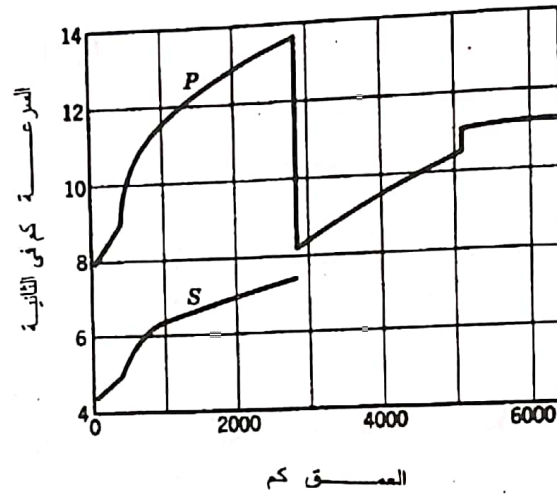
### تحليل الظواهر الزلزالية

كشفت الدراسات التى أجريت على سلوك هذين النوعين من الموجات الجوفية أثناء عبورهما لباطن الأرض عن الحقائق التالية:

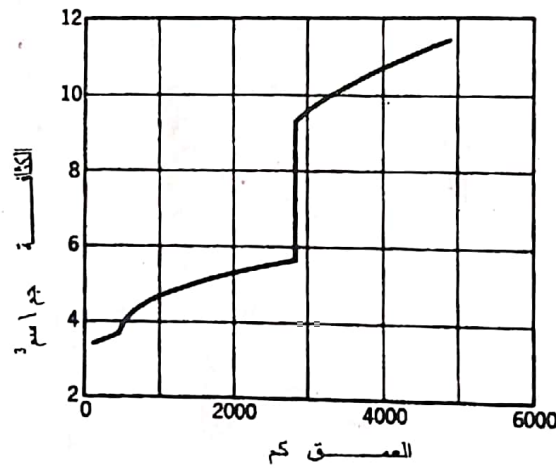
- يسير هذان النوعان من الموجات فى باطن الأرض بسرعتين مختلفتين وحتى فى نفس المادة، وتبلغ سرعة الموجة الأولية (P) تقريباً ضعف سرعة الموجة الثانوية (S).
- تتزايد سرعة هاتين الموجتين مع زيادة العمق، فترتفع سرعة الموجة الأولية من 7-8 كم فى الثانية بالقرب من السطح إلى 8-9 كم فى الثانية على عمق 30 كم.
- بعد عمق 30 كم يحدث ارتفاع كبير ومفاجئ فى سرعة هاتين الموجتين.



• تسير الموجتان بعد ذلك بسرعتين متزايدتين حتى عمق 2900 كم، حيث يحدث بعد ذلك تغير مفاجئ فى سلوكهما إذ تختفى الموجة الثانوية فى حين تنخفض سرعة الموجة الأولية من 14 كم تقريبا فى الثانية إلى 8 كم فى الثانية تقريبا (شكل 2-7).



شكل 2-7 سرعة الموجتين الأولية والثانوية فى باطن الأرض. عن: بولن (Bullen 1963)

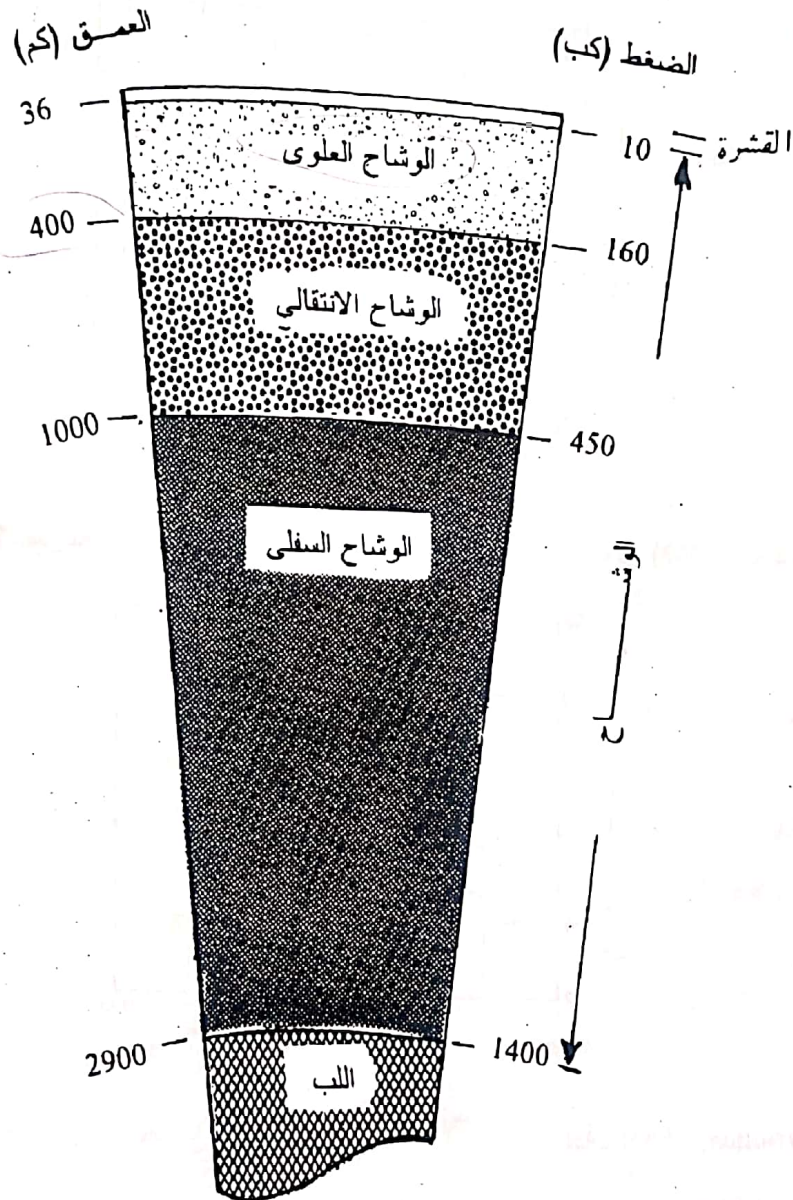


شكل 2-8 تغير الكثافة مع زيادة العمق فى باطن الأرض. عن بولن (Bullen 1963)

من هذا السلوك ومن الخصائص الفيزيائية التى نعرفها عن هذه الموجات، وهى زيادة سرعتها بزيادة كثافة المادة التى تمر من خلالها، نستنتج مايلى:

أ. زيادة كثافة المادة الأرضية مع زيادة العمق كما هو موضح فى شكل 2-8.

ب. تشير التغيرات المفاجئة عند عمق 30 كم و 2900 كم إلى أن هناك تغيراً أساسياً في نوعية المادة عند هذين العمقين. وأن الأرض يمكن أن تكون مكونة من ثلاث نطاقات رئيسية (شكل 9-2) كما يلي:



شكل 9-2 بنائية الأرض.

عن: ماسون ومور (Mason & Moore 1982)

### النطاق الأول

وهو الجزء من الأرض الذى يبدأ من السطح ويمتد حتى عمق 30-60 كم، وسمى هذا النطاق بالقشرة crust. ويقترح وجود خط وهمى أسفله يسمى "خط اللااستمرارية لموهو Moho discontinuity" أو فاصل موهو.

### النطاق الثانى

وهو الجزء الذى يبدأ بعد عمق 30-60 كم ويستمر حتى عمق 2900 كم فى جوف الأرض ويسمى هذا النطاق بالوشاح mantle، ويقترح وجود خط وهمى فاصل على حدوده السفلية يسمى "خط اللااستمرارية لوايشرت وجوتنبرج" (Weichert-Guttenberg discontinuity) وهو الحد الذى يحدث عنده انخفاض فى سرعة الموجة الأولية، وإختفاء للموجة الثانوية، ويفصل الوشاح عن اللب.

### النطاق الثالث

وهو لب الأرض core ، الذى يبدأ عند عمق 2900 كم.

### بنائية القشرة

القشرة هى الجزء العلوى من الغلاف اليابس الذى يشكل القارات وقيعان البحار، التى تتغير سماكتها من مكان إلى آخر تبعا للتضاريس. فأقل سماكة لها فى قيعان البحار حيث لاتزيد عن خمسة كيلومترات فى حين تصل أعلى سماكة لها تحت سلاسل الجبال العالية حيث تصل إلى 65 كم، كما هو الحال تحت سلاسل جبال الهيمالايا الشاهقة الارتفاع. أما تحت القارات المنبسطة فتتراوح سماكتها ما بين 30 إلى 35 كم.

وتشير الدراسات والتحليل التى أجريت على صخور القشرة إلى حدوث تغير فى التركيب مع زيادة العمق، من تركيب جرانيتى و/ أو جرانوديوريتى قرب السطح إلى تركيب بازلتى فى الأجزاء السفلية منها. وأظهرت الدراسات على قيعان البحار أن هذا الجزء من

القشرة يتكون في معظمه من صخور مافية مثل الجابرو والبازلت. ولم يستدل في أى مكان هناك على وجود صخور جرانيتية أو جرانوديوريتية، لذا فقد جرى تقسيم القشرة إلى طبقتين: طبقة تتكون في معظمها من صخور فلسية سميت بالطبقة السيلالية (sial) أى طبقة الصخور التى تتكون معادنها أساسا من السليكون (Si) والألومنيوم (Al) وهى الطبقة العلوية من القشرة؛ وطبقة سفلية تتكون أساسا من صخور جابرو أو بازلت وسميت بالطبقة السيمائية (sima) أى الطبقة التى تتكون من صخور أغلب مكوناتها السليكون (Si) والمغنسيوم (Mg) وهى الطبقة المكونة لقيعان البحار والمحيطات وتكون عادة مغطاة بطبقة من الرسوبيات القادمة من القارات، التى تكونت نتيجة لعمليات الترسيب التى تمت على مدى ملايين من السنين.

أظهرت الدراسات المباشرة على القشرة أن هذا التقسيم ليس دقيقا فى مجمله (خاصة فيما يتعلق بتركيب القشرة السيلالية)، حيث لا تحتوى هذه الطبقة على صخور سيلالية فقط بل هناك أنواع أخرى من الصخور المتغيرة التركيب، التى تشارك فى تكوين الجزء العلوى من القشرة. ف بجانب الصخور السيلالية، وجدت كذلك نسبة لابأس بها من الصخور السيمائية. وهناك بعض التقديرات لنسب هذين النوعين من الصخور فى الطبقة السيلالية كما يلى:

85-88% صخور جرانيتية (جرانيت + جرانوديوريت)

13-17% صخور جابرو وبازلت.

فى عام 1969 قام ويديبول (Wedepohl) بوضع تقدير حجمى أدق لنسب أنواع الصخور النارية الشائعة فى القشرة السيلالية كما يلى:

|              |         |                             |               |
|--------------|---------|-----------------------------|---------------|
| جرانيت       | 44 حجم% | جابرو وبازلت                | 13 حجم%       |
| جرانوديوريت  | 34 حجم% | بريدوتيت                    | 0.5 حجم% وأقل |
| كوارتزديوريت | 8 حجم%  | سيانيت وصخور سيمائية متنوعة | 0.5 حجم% وأقل |
| ديوريت       | 1 حجم%  | أنورثوزيت                   | 0.5 حجم% وأقل |



وإلى جانب هذه الصخور النارية، هناك كذلك أنواع من الصخور الأخرى، مثل الرسوبية والمتحولة التى توجد بنسب متباينة بجانب بعضها البعض أو فوق بعضها البعض مطوية أو مكسرة إلى كتل مختلفة الأشكال والمقاسات، ولكنها لا تشكل فى مجملها إلا 5%، فقط فى حين تشكل الصخور النارية حوالى 95% من المجموع الكلى للصخور. وتشير نتائج القياسات الزلزالية والمراقبات المباشرة إلى أن تركيب القشرة يتدرج من تركيب سليكى (حمضى أو فلسى) بالقرب من السطح عبر التركيب المتوسط مع زيادة العمق إلى تركيب قاعدى (أو مافى) فى أسفل القشرة. وبما أن القشرة فى حالة اتزان مستمر، فإن التغيرات التى تطرأ على التركيب الكيمائى فوق السطح تعادل فى الأعماق وذلك بانتشار مواد ذات كثافات مختلفة، ويصل هذا التعادل أحيانا حتى منطقة الوشاح. يطلق على القشرة السيلالية أحيانا بالقشرة القارية continental crust باعتبارها ذلك الجزء من الأرض الذى لا تظهر صخوره إلا فى القارات وتختفى فى قيعان البحار والمحيطات. وللسبب نفسه، تسمى القشرة السيمائية بالقشرة المحيطية oceanic crust. ويفصل بين القشرة ذات التركيب غير المتجانس والوشاح الأكثر تجانسا خط موهو الوهمى.

### التركيب الكيمائى للقشرة

خلصنا من مناقشتنا لبنائية القشرة إلى تكونها أساسا من صخور نارية تشغل حوالى 95% من مجمل الصخور المشاركة فى بنائيتها، فى حين لا تزيد نسبة الصخور الرسوبية والمتحولة عن الـ 5% المتبقية. وهناك العديد من المحاولات التى أجريت لمعرفة التركيب الكيمائى للقشرة منها المحاولة الرائدة التى قام بها كل من كلارك و واشنطن (Clarke & Washington, 1924)، والمتمثلة فى جمع عينات لمجاميع صخرية متنوعة من عدة مناطق جغرافية فى العالم وتحليلها. فقاما بتحليل 5159 عينة، واعتبرا متوسط نتائج هذه التحاليل كمتوسط لتركيب القشرة (جدول 2-3). يتضح لنا من الطريقة التى جمعت بها العينات أنها لم تأخذ فى الاعتبار إلا القشرة القارية ولم يدخل فى حساباتها القشرة المحيطية التى تتكون أساسا من صخور مافية (جابرو و بازلت)، التى تشكل حوالى ثلثى

مساحة القشرة الأرضية. لذلك، فإن نتائج كلارك وواشنطن لا تمثل إلا الجزء العلوى من القشرة (أى القشرة القارية) وليس القشرة ككل.

وفى عام 1955، اتبع بولدفارت (Poldervaart) طريقة أمثل للوصول إلى متوسط التركيب الكيميائى للقشرة الأرضية، حيث قام بتجمع عينات من أربع مناطق جيولوجية رئيسة وهى:

- (1) أعماق البحار
- (2) الدروع القارية
- (3) الأحزمة المنطوية الحديثة
- (4) القارات المنبسطة والمنحدرات القارية

واختار من كل منطقة أنواع الصخور الرئيسة الممثلة لها وأجرى عليها التحاليل المختلفة، واقترح متوسط نتائجه كمتوسط لتركيب القشرة (جدول 2-3).

وبمقارنة نتائج الطريقتين السابقتين، نلاحظ ظهور اختلافات واضحة بينهما. وتتمثل هذه الاختلافات فى الانخفاض الواضح فى نسب كل من السليكون والصوديوم والبوتاسيوم، والارتفاع فى نسب كل من الحديد والمغنسيوم والكالسيوم فى نتائج بولدفارت. يعتبر تحليل بولدفارت أقرب للواقع، حيث إنه يعكس القشرة الأقرب للحقيقة، وذلك لأنه راعى جزءا مهما من القشرة المحيطية. يشمل الجدول 2-3 كذلك المحاولة التى قام بها كل من رونوف وياروشيفسكى (Ronov & Yaroshevsky, 1976) والذين اتبعوا طريقة مماثلة لطريقة بولدفارت. فقد قاما بحساب تركيب القشرة من دراسة ثلاث مناطق بنائية هى القشرة المحيطية، القشرة تحت القارية والقشرة القارية. وأظهرت نتائج هذه الدراسة تطابقا جيدا مع نتائج بولدفارت Poldervaart ماعدا فى تركيز التيتانيوم (Ti) بالنسبة للقشرة ككل والبوتاسيوم (K) بالنسبة للقشرة المحيطية.

وقد ظهرت فى السنوات الأخيرة أهمية العناصر الثانوية والشحيحة فى تفسير الظواهر الجيولوجية المختلفة، خاصة بعد تطور وسائل التحليل المعملية التى مكنت الباحثين من رصد نسب قد لا تتعدى جزءا من المليون. يعرض الجدول (2-4) متوسط الوجود النسبى للعناصر الثانوية والشحيحة فى نوعين من الصخور، تم اختيارهما لتمثيل القشرة بكلا قسميها السيلالى

والسيميائي، هما الجرانيت ممثلاً للقشرة القارية، والديابيز diabase ممثلاً للقشرة المحيطية. كما يشمل الجدول تقديراً لمتوسط هذا الوجود في القشرة ككل.

جدول 2-3 تقديرات للتركيب الكيميائي للقشرة.

| 5          | 4          | 3         |                |            |             | 2         |            |             | 1         |                                |
|------------|------------|-----------|----------------|------------|-------------|-----------|------------|-------------|-----------|--------------------------------|
| قشرة قارية | قشرة قارية | كل القشرة | قشرة تحت قارية | قشرة قارية | قشرة محيطية | كل القشرة | قشرة قارية | قشرة محيطية | كل القشرة | المكونات                       |
| 60.3       | 59.2       | 57.1      | 58.8           | 59.3       | 49.4        | 55.2      | 59.4       | 46.6        | 59.1      | SiO <sub>2</sub>               |
| 1.0        | 0.8        | 0.9       | 0.8            | 0.7        | 1.4         | 1.6       | 1.2        | 2.9         | 1.0       | TiO <sub>2</sub>               |
| 15.6       | 15.8       | 15.0      | 14.9           | 15.0       | 15.4        | 15.3      | 15.6       | 15.0        | 15.2      | Al <sub>2</sub> O <sub>3</sub> |
| *          | 3.4        | 2.5       | 2.4            | 2.4        | 2.7         | 2.8       | 2.3        | 3.8         | 3.1       | Fe <sub>2</sub> O <sub>3</sub> |
| *7.2       | 3.6        | 6.0       | 5.8            | 5.6        | 7.6         | 5.8       | 5.0        | 8.0         | 3.7       | FeO*                           |
| 0.1        | 0.1        | 0.2       | 0.1            | 0.1        | 0.3         | 0.2       | 0.1        | 0.2         | 0.1       | MnO                            |
| 3.9        | 3.3        | 5.5       | 5.1            | 4.9        | 7.6         | 5.2       | 4.2        | 7.8         | 3.4       | MgO                            |
| 5.8        | 3.1        | 8.4       | 7.4            | 7.2        | 12.5        | 8.8       | 6.6        | 11.9        | 5.1       | CaO                            |
| 3.2        | 2.1        | 2.5       | 2.5            | 2.5        | 2.6         | 2.9       | 3.1        | 2.5         | 3.7       | Na <sub>2</sub> O              |
| 2.5        | 3.9        | 1.7       | 2.0            | 2.1        | 0.3         | 1.9       | 2.3        | 1.0         | 3.1       | K <sub>2</sub> O               |
| -          | 3.0        | -         | -              | -          | -           | -         | -          | -           | 1.3       | H <sub>2</sub> O               |
| 0.2        | 0.2        | 0.2       | 0.2            | 0.2        | 0.2         | 0.3       | 0.2        | 0.3         | 0.3       | P <sub>2</sub> O <sub>5</sub>  |

\* كل الحديد على هيئة FeO

(1) Clarke & Washington, 1924

(2) Poldervaart, 1955

(3) Ronov & Yaroshevsky, 1976

(4) Goldschmidt, 1954

(5) Taylor, 1964



جدول 2-4 متوسط وجود العناصر في القشرة الأرضية بالجزء من مليون (ج م م).

| العدد<br>الذري | العناصر | متوسط<br>القشرة | العدد<br>الذري | العناصر | متوسط<br>القشرة | العدد<br>الذري | العناصر | متوسط<br>القشرة |
|----------------|---------|-----------------|----------------|---------|-----------------|----------------|---------|-----------------|
| 1              | H       | 1400            | 30             | Zn      | 70              | 59             | Pr      | 8.2             |
| 3              | Li      | 20              | 31             | Ga      | 15              | 60             | Nd      | 28              |
| 4              | Be      | 2.8             | 32             | Ge      | 1.5             | 62             | Sm      | 6               |
| 5              | B       | 10              | 33             | As      | 1.8             | 63             | Eu      | 1.2             |
| 6              | C       | 200             | 34             | Se      | 0.05            | 64             | Gd      | 5.4             |
| 7              | N       | 20              | 35             | Br      | 2.5             | 65             | Tb      | 0.9             |
| 8              | O       | 466000          | 37             | Rb      | 90              | 66             | Dy      | 3               |
| 9              | F       | 625             | 38             | Sr      | 375             | 67             | Ho      | 1.2             |
| 11             | Na      | 28300           | 39             | Y       | 33              | 68             | Er      | 2.8             |
| 12             | Mg      | 20900           | 40             | Zr      | 165             | 69             | Tm      | 0.5             |
| 13             | Al      | 81300           | 41             | Nb      | 20              | 70             | Yb      | 3.4             |
| 14             | Si      | 277200          | 42             | Mo      | 1.5             | 71             | Lu      | 0.5             |
| 15             | P       | 1050            | 44             | Ru      | 0.01            | 72             | Hf      | 3               |
| 16             | S       | 260             | 45             | Rh      | 0.005           | 73             | Ta      | 2               |
| 17             | Cl      | 130             | 46             | Pd      | 0.01            | 74             | W       | 1.5             |
| 19             | K       | 25900           | 47             | Ag      | 0.07            | 75             | Re      | 0.001           |
| 20             | Ca      | 36300           | 48             | Cd      | 0.02            | 76             | Os      | 0.005           |
| 21             | Sc      | 22              | 49             | In      | 0.1             | 77             | Ir      | 0.001           |
| 22             | Ti      | 4400            | 50             | Sn      | 2               | 78             | Pt      | 0.01            |
| 23             | V       | 135             | 51             | Sb      | 0.2             | 79             | Au      | 0.004           |
| 24             | Cr      | 100             | 52             | Te      | 0.01            | 80             | Hg      | 0.08            |
| 25             | Mn      | 950             | 53             | I       | 0.5             | 81             | Tl      | 0.05            |
| 26             | Fe      | 50000           | 55             | Cs      | 3.0             | 82             | Pb      | 13              |
| 27             | Co      | 25              | 56             | Ba      | 425             | 83             | Bi      | 0.2             |
| 28             | Ni      | 75              | 57             | La      | 30              | 90             | Th      | 7.2             |
| 29             | Cu      | 55              | 58             | Ce      | 60              | 92             | U       | 1.8             |

عن: ماسون ومور (Mason &amp; Moore 1982).

من نظرة على الجدولين (2-3 و 2-4)، يتضح لنا أن هناك ثمانية عناصر فقط من مجموع 92 عنصرا معروفة لدينا تدخل في تركيب القشرة بنسبة 99% وهذه العناصر هي: الأكسجين (O)، السليكون (Si)، الألومنيوم (Al)، الحديد (Fe)، الكالسيوم (Ca)، الصوديوم (Na)، البوتاسيوم (K) والمغنسيوم (Mg)، وهي ما تسمى بالعناصر الرئيسية، في



حين. لا تشكل بقية العناصر الأخرى في مجملها إلا 1%، فقط لذلك تسمى بالعناصر الثانوية أو العناصر الشحيحة. من مجموعة العناصر الثانوية نذكر المنجنيز (Mn) والفوسفور (P) ومن العناصر الشحيحة، على سبيل المثال لا الحصر، الروبيديوم (Rb)، السيزيوم (Cs)، الأسترونشيوم (Sr)، الباريوم (Ba)، الجاليوم (Ga)، الكوبالت (Co)، النيكل (Ni) إضافة إلى مجموعة عناصر الأرض النادرة (REE).

بمقارنة النسب الوزنية والحجمية للعناصر الرئيسة في القشرة (جدول 2-5) يتضح لنا أن أكثر العناصر انتشاراً هو الأكسجين الذي تصل نسبته الوزنية إلى أكثر من 45%. وبمراعاة عدد الذرات لكل عنصر من هذه العناصر، التي تدخل في تكوين القشرة، نجد أن الأكسجين يشارك بنسبة تزيد عن 60% من إجمالي الذرات الكلى. وإذا مانحن أدخلنا أحجام ذرات هذه العناصر في حساباتنا لوجدنا أن الأكسجين يشكل أكثر من 90% من حجم القشرة ككل، وبذلك يمكن القول أن القشرة ليست إلا شبكة من أيونات الأكسجين التي تترابط بواسطة كاتيونات السليكون وأيونات الفلزات الأخرى.

جدول 2-5 العناصر الرئيسة في القشرة الأرضية ونسبها الوزنية والحجمية.

| العناصر | النسبة الوزنية | نسبة عدد الذرات | نصف القطر | النسبة الحجمية |
|---------|----------------|-----------------|-----------|----------------|
| O       | 46.60          | 62.55           | 1.40      | 91.70          |
| Si      | 27.72          | 21.22           | 0.26      | 0.20           |
| Al      | 8.13           | 6.47            | 0.53      | 0.5            |
| Fe      | 5.00           | 1.92            | 0.77      | 0.5            |
| Mg      | 2.09           | 1.84            | 0.72      | 0.40           |
| Ca      | 3.63           | 1.94            | 1.12      | 1.50           |
| Na      | 2.83           | 2.64            | 1.16      | 2.20           |
| K       | 2.59           | 1.42            | 1.60      | 1.10           |

عن: ماسون ومور (Mason and Moore 1982).

تتشابه العناصر الثانوية والشحيحة في نمط انتشارها إلى حد كبير مع العناصر الرئيسية، حيث يرتفع الوجود النسبي لبعض منها في صخور القشرة السيلالية وتقل في صخور القشرة السيمائية، وينطبق عكس ذلك على عناصر أخرى، كما نجد أن هناك عناصر تتساوى نسبها في النوعين من الصخور. من أمثلة العناصر التي ترتفع نسبها في صخور القشرة السيلالية: الباريوم (Ba)، والروبيديوم (Rb)، والبريليوم (Be)، في حين ترتفع نسب كل من: الكوبالت (Co)، والنيكل (Ni)، والسكانديوم (Sc)، في صخور القشرة المافية وتتنخفض في صخور القشرة السيلالية، وتُظهر عناصر أخرى مثل: الجاليوم (Ga)، والقصدير (Sn)، والجرمانيوم (Ge)، والزنك (Zn) انتشارا متساويا في نوعي القشرة.

مما تجدر الإشارة إليه هنا أن هناك بعض العناصر المعروفة منذ أزمنة قديمة جدا وقبل أن تعرف العناصر الرئيسية نفسها، وهي عناصر مهمة من الناحية الاقتصادية، لا تأتي إلا بنسب ضئيلة جدا قد تصل أحيانا إلى نسب العناصر الشحيحة ومن هذه العناصر: الذهب (Au)، اليورانيوم (U)، الرصاص (Pb) والنحاس (Cu).

## بنائية الوشاح

تشير نتائج التحاليل الدقيقة للموجات الزلزالية إلى أن الوشاح يتميز بتركيب طبقي (شكل 2-9) كما يلي:

- الوشاح العلوي ويمتد من نهاية القشرة المحيطية (السيمائية) وحتى عمق 400 كم.
- نطاق انتقالى يمتد من عمق 400 كم وحتى عمق 1000 كم.
- الوشاح السفلى ويمتد من عمق 1000 كم وحتى عمق 2900 كم أى عند الحدود العلوية لللب الأرض.

### الوشاح العلوي

حظيت منطقة الوشاح العلوي والطبقة الانتقالية في السنوات الأخيرة بالعديد من الدراسات المكثفة وذلك لما يتمتع به هذا الجزء من الأرض من أهمية خاصة، حيث ثبت أن

مفتاح كثير من الأحداث الجيولوجية والجيوكيميائية التي تظهر على سطح القشرة الأرضية يبدأ من الوشاح العلوى والطبقة الانتقالية. هذا ويُعتقد أن نقط انطلاق الزلازل العميقة تقع على عمق 300-600 كم وكذلك مصادر الزلازل البركانية، كالتى تحدث فى جزر هاواى، يعتقد أنها تنطلق من عمق يزيد عن 60 كم، كما أن العمليات المتسببة فى زحف القارات تحدث كذلك على أعماق الوشاح العلوى والمنطقة الانتقالية. ولقد ساعدت الوسائل المعملية، فى السنوات الأخيرة، التى مكنت العلماء من دراسة طبيعة الصخور والمعادن فى ظروف من الضغط والحرارة تعادل تلك السائدة فى جوف الأرض حتى عمق 400 كم، إضافة إلى الخصائص المعروفة عن المواد البركانية الصاعدة من جوف الأرض وماتحتويه من مكتنفات، على إلقاء بعض الضوء على طبيعة تكوين الوشاح العلوى، التى أظهرت أن هناك ثلاثة أنواع من الصخور يحتمل أن تكون سائدة فى الوشاح العلوى وهذه الصخور هى :

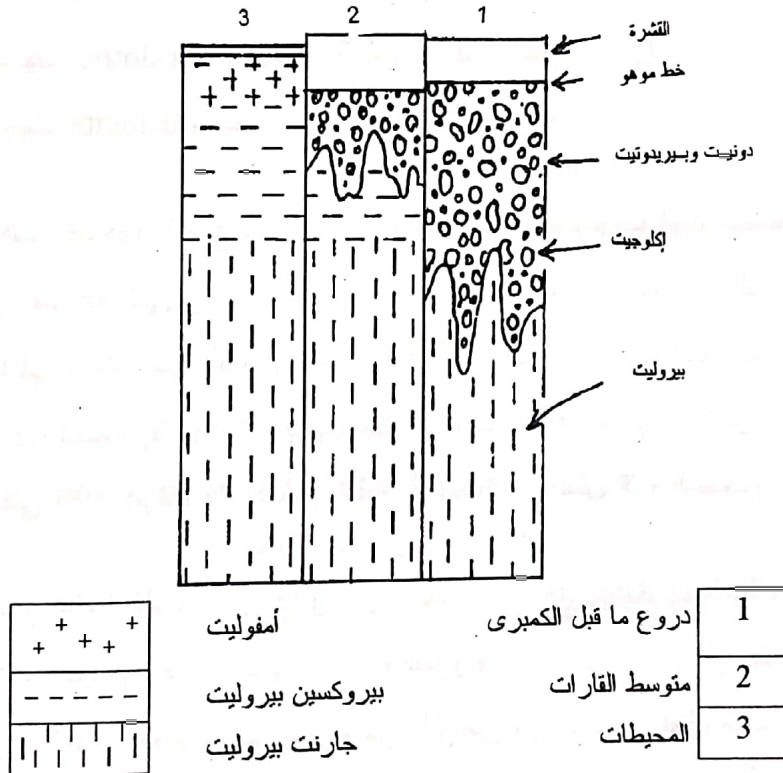
- (1) دونيت dunite (المعادن أساسا أوليفين).
- (2) بريدوتيت peridotite (المعادن أساسا أوليفين وبيروكسين).
- (3) إكلوجيت eclogite (المعادن أساسا جارنت وبيروكسين).

ولوحظ أن هذه الصخور تتمتع بدرجة من اللدونة تسمح للموجات الزلزالية بالمرور من خلالها بنفس السرعة التى رصدت لها على مثل هذا العمق. إضافة إلى ذلك فالمكتنفات التى تم العثور عليها فى عينات من الصخور البركانية، المتكونة من صهارات يعتقد أنها قادمة من الوشاح العلوى، ليست إلا دونيت وبريدوتيت أما بالنسبة للإكلوجيت، الذى يعتقد تكونه على عمق يزيد على 100 كم فلم يتم العثور عليه كمكتنفات فى مثل هذه الصخور.

فى عام 1964 قام كل من كلارك و رنجوود (Clark & Ringwood) بعمل مقارنات بين المعلومات الجيوكيميائية والجيوفيزيائية والبتروولوجية وخرجا من ذلك بنموذج لتركيب الوشاح العلوى يتكون بموجبه هذا الجزء من الأرض من صخور فوق مافية تتكون من جزء بازلت وثلاثة أجزاء دونيت، وأطلقا على هذا النوع من الصخور اسم بيروليت pyrolite (أى الصخر الذى يتكون أساسا من بيروكسين Py وأوليفين Ol)، واقترحا أنه عند تعرض هذا الخليط من الصخور لانصهار تجزيئى fractional melting ينتج صهير بازلتى يصعد على



مدى الأزمنة الجيولوجية في القشرة المحيطية أو من خلالها إلى السطح ويتبقى في الوشاح صخور الدونيت والبريدوتيت. أشار كل من كلارك و رنجوود كذلك إلى طبيعة تغير التركيب المعدني في الأجزاء المختلفة من الوشاح العلوى وذلك تبعا لتغير الظروف الفيزيائية المحيطة من حرارة وضغط. وتبعا لذلك، فإن تركيب الوشاح العلوى يختلف تحت القارات عنه تحت المحيطات عنه تحت سلاسل جبال الدروع القارية continental shields فأسفل الدروع القارية، حيث تسود ضغوط عالية ينجم عنها حدوث تجزؤ fractionation واسع النطاق لصخور البيروليت. يتكون الوشاح العلوى من طبقة سميكة من الدونيت والبريدوتيت إضافة إلى كميات ثانوية من الإكلوجيت، ونقل سماكة هذه الطبقة في المتوسط تحت القارات. أما تحت المحيطات فإن طبقة الدونيت والبريدوتيت تكاد تنعدم ويظهر مكانها صخور الأمفوليت (Ampholite) (صخور تتكون أساسا من أوليفين وأمفيبول) كما في شكل 2-10.



شكل 2-10 نموذج لبنائية الوشاح تحت الدروع القارية، متوسط القارات والمحيطات.

عن: كلارك و رنجوود (Clark & Ringwood 1964).

## النطاق الانتقالي

وجد كل من كلارك و رنجوود أن خليط البيروكسين - أوليفين هذا يبقى ثابتا حتى نهاية الوشاح العلوى، أى حتى عمق 400 كم. بعد هذا العمق تبدأ المكونات فى التعرض لسلسلة من التفاعلات والتحولات، فتتحول المعادن إلى أخرى أعلى كثافة وذلك كما يلي:

- 1 -  $2 \text{MgSiO}_3$  (بيروكسين)  $\leftarrow \text{Mg}_2\text{SiO}_4$  (أوليفين) +  $\text{SiO}_2$  (ستيشوفيت).
- 2 -  $\text{Mg}_2\text{SiO}_4$  (أوليفين)  $\leftarrow \text{Mg}_2\text{SiO}_4$  (الذى ينكس نسيجه بسبب الضغط ويتشكل فى نسيج الإسبنل).
- 3 -  $\text{Mg}_2\text{SiO}_4$  (المتشكل فى نسيج الإسبنل) +  $\text{SiO}_2$  (ستيشوفيت)  $\leftarrow 2\text{MgSiO}_3$  الذى يتشكل فى نسيج الإلمنيت).
- 4 -  $\text{Mg}_2\text{SiO}_4$  (المتشكل فى نسيج الإسبنل)  $\leftarrow \text{MgSiO}_3$  (المتشكل فى نسيج الإلمنيت) +  $\text{MgO}$  (بيريكلاز).

تكتمل هذه التحولات عند عمق 1000 كم وترتفع نتيجة لذلك كثافة الصخور من 3.2 فى الوشاح العلوى إلى 3.9 عند هذا العمق.

## الوشاح السفلى

تشير معظم الدلائل إلى تكون الوشاح السفلى، الذى يمتد من أسفل النطاق الانتقالي وحتى منطقة اللب (أى ما بين 1000 و 2900 كم)، فى جميع أجزائه من خليط متجانس من سليكات الحديد والمغنسيوم  $(\text{Mg,Fe})\text{SiO}_3$  وأكسيد الحديد والمغنسيوم  $(\text{Mg,Fe})\text{O}$  مع زيادة فى نسبة الحديد عن النسبة المقدرة للوشاح العلوى والنطاق الانتقالي. كما توقع حدوث تغيرات فى أنسجة هذه المواد نتيجة للضغط الشديد السائد على مثل هذه الأعماق حيث تتحول بنية سليكات المغنسيوم الذى يتبلور فى البنية البلورية للإلمنيت إلى بنية البيروفسكيت perovskite، وتتحول كذلك بنية البيريكلاز periclase إلى بنية كلوريد السيزيوم. يصعب على مثل هذه الأعماق تحليل الموجات الزلزالية ويرجع ذلك إلى تعدد معانيها بسبب تشابه الخواص الفيزيائية للصخور فى مثل الظروف السائدة فى أعماق الوشاح السفلى، هذا إضافة

إلى عدم توافر الإمكانيات المعملية التي من الممكن أن تساعد في توضيح خصائص المادة في مثل هذه الظروف.

### التركيب الكيميائي للوشاح

هناك العديد من المحاولات التي أجريت بغية الوصول إلى اقتراح أقرب إلى الواقع للتركيب الكيميائي للوشاح. من هذه المحاولات تلك التي قام بها كل من ماسون (Mason 1966) و ورنجود (Ringwood 1966a) والمستتبطة من التركيب الكيميائي للنيازك (جدول 2-6). إضافة إلى ذلك هناك محاولة أخرى لـ رنجود (Ringwood 1966b) تبعا لنموذج البيروليت المقترح من قبله. ويعرض الجدول (2-6) كذلك محاولة لـ هتشيسون (Hutchison 1974) باقتراح تركيب للوشاح مشابه لتركيب ليرسوليت الإسبينيل spinel lehrsolite الذي لوحظ وجوده كملتفاتات في صخور البازلت.

جدول 2-6 تقدير للتركيب الكيميائي للوشاح.

| المكونات                       | من النيازك<br>Mason<br>1966 | من النيازك<br>Ringwood<br>1966a | من البيروليت<br>Ringwood<br>1966b | من الليرسوليت<br>Hutchison<br>1974 |
|--------------------------------|-----------------------------|---------------------------------|-----------------------------------|------------------------------------|
| SiO <sub>2</sub>               | 48.10                       | 43.20                           | 45.20                             | 45.00                              |
| MgO                            | 31.10                       | 38.10                           | 37.50                             | 39.00                              |
| FeO                            | 12.70                       | 9.20                            | 8.00                              | 8.00                               |
| Al <sub>2</sub> O <sub>3</sub> | 3.10                        | 3.90                            | 3.50                              | 3.50                               |
| CaO                            | 2.30                        | 3.70                            | 3.10                              | 3.25                               |
| Na <sub>2</sub> O              | 1.10                        | 1.80                            | 0.57                              | 0.28                               |
| Cr <sub>2</sub> O <sub>3</sub> | 0.55                        | -                               | 0.43                              | 0.41                               |
| MnO                            | 0.42                        | -                               | 0.14                              | 0.11                               |
| P <sub>2</sub> O <sub>5</sub>  | 0.34                        | -                               | 0.06                              | -                                  |
| K <sub>2</sub> O               | 0.12                        | -                               | 0.13                              | 0.04                               |
| TiO <sub>2</sub>               | 0.12                        | -                               | 0.17                              | 0.09                               |
| NiO                            | -                           | -                               | -                                 | 0.25                               |



من نظرة على الجدول المذكور، نلاحظ التشابه الكبير فى نتائج هذه المحاولات التى تدل جميعها على تكون الوشاح أساسا من خمسة عناصر تشكل تقريبا 98% من المجموع الكلى للعناصر الداخلة فى تركيبه. هذه العناصر هى:

السليكون (Si)، المغنسيوم (Mg)، الحديد (Fe)، الألومنيوم (Al) والكالسيوم (Ca).

## اللب

كان الإعتقاد السائد تكون اللب من نفس المادة التى يتكون منها الوشاح، ولكن ذات كثافة أعلى بسبب زيادة الضغط مع زيادة العمق، غير أن الدراسات الحديثة التى قام بها فريق من العلماء أظهرت عدم إمكانية ثبات مركبات العناصر الخفيفة والأكسجين فى مثل الظروف السائدة على أعماق اللب. ولقد دعمت مثل هذه الدراسات - إضافة إلى احتواء النيازك على سبائك من الحديد والنيكل مع بعض من كبريتيدات الحديد - الرأى الذى يقول بتكون اللب أساسا من حديد ونيكل منفردين فى شكل سبيكة تحتوى إلى جانب الحديد والنيكل المنفردين على بعض العناصر الخفيفة الأخرى مثل الأكسجين أو الكبريت التى يعتقد توافرها بنسبة تساوى 10% تقريبا، التى يعتقد أن وجودها ضرورى لإكساب اللب الكثافة المتفقة مع البيانات الجيوفيزيائية المرصودة.

بالنسبة لاقتراح دخول الكبريت فى تركيب اللب، فيؤكد رنجوود (Ringwood 1966, 1975) على فقدان الجزء الأكبر من كبريت المادة الأولية سويا مع العناصر المتطايرة الأخرى أثناء عمليات التجمع المبكر للأرض، ويقترح دخول الأكسجين بدلا من الكبريت فى تركيب اللب.

تتفق البيانات الجيوفيزيائية مع كلا الرأيين، إلا أن رأى مشاركة الكبريت فى تركيب اللب يلقى فى الوقت الحاضر تأييدا أكبر وذلك بسبب عدم توافر بيانات عن الخواص الفيزيائية لسبيكة من الحديد والنيكل تحتوى على أكسيد حديد ذائب بها فى درجات حرارة 300-600 °م أو أعلى، وضغوط عالية جدا تشبه تلك السائدة فى منطقة اللب.

## التركيب الكلى للأرض

من دراستنا لبنائية الأرض، توصلنا إلى الافتراض السائد أن الأرض تتكون من ثلاثة نطق صلبة هي من أعلى إلى أسفل: القشرة، الوشاح واللب. ومن الطبيعي أن يساوى التركيب الكلى للأرض متوسط مجموع تركيب هذه النطق الثلاثة مع مراعاة النسب الوزنية لكل منها المشاركة في بنائيتها. ولغرض حساب التركيب الكيميائي الكلى للأرض وضعت الافتراضات التالية في الاعتبار:

- 1 - وزن اللب يساوى 32.4 % من الوزن الكلى للأرض.
- 2 - وزن الوشاح يساوى 66.6 % من الوزن الكلى للأرض.
- 3 - وزن القشرة يساوى 1 % من الوزن الكلى للأرض.
- 4 - تسهم نسبة من كبريتيد الحديد الترويليت troilit تقدر بحوالى 5.3 % إلى جانب سبيكة الحديد والنيكل في تكوين اللب.
- 5 - يتكون الوشاح والقشرة من مواد سليكاتية تشبه في تركيبها متوسط تركيب الجزء السليكاتى من النيازك الكوندريتية (راجع ماسون ومور 1982 Mason & Moore).

على أساس هذه الافتراضات المفندة أعلاه، وضع تقدير لتركيب الأرض مبين بالجدول 2-7. وكما يتضح لنا من الجدول المشار إليه فقد لجأ كل من ماسون ومور إلى التبسيط الموجز في تقديرهما لتركيب الأرض، حيث نسب كل النيكل الموجود في الأرض إلى اللب في حين نعرف أن الصخور المافية الموجودة في القشرة الأرضية وفوق المافية المكونة للجزء الأكبر من الأرض وهو الوشاح، تحتوى على نسب قياسية من النيكل. وتطبق هذه الملاحظة كذلك على الكبريت الذى يدخل في تركيب التريوليت troilite والذى نسب فقط إلى منطقة اللب. ولكن رغما عن كل الآراء المتباينة حول التركيب الدقيق للأرض، فإنه يكفينا أن نستخلص هنا أن الأرض تتكون أساسا من أربعة عناصر رئيسية تشكل حوالى 90% من مجموع العناصر الكلية الداخلة في تركيبها، وهذه العناصر حسب ترتيب نسب وجودها هي:

الحديد (Fe) ، الأكسجين (O) ، السليكون (Si) والمغنسيوم (Mg).

## جدول 2-7 التركيب الكيميائي الكلي للأرض.

| المكونات | الجزء الفلزى | التريوليت | الجزء السيليكاتى | المجموع |
|----------|--------------|-----------|------------------|---------|
| Fe       | 24.58        | 3.37      | 6.68             | 34.63   |
| Ni       | 2.39         | -         | -                | 2.39    |
| Co       | 0.13         | -         | -                | 0.13    |
| S        | -            | 1.93      | -                | 1.93    |
| O        | -            | -         | 29.53            | 29.53   |
| Si       | -            | -         | 15.20            | 15.20   |
| Mg       | -            | -         | 12.70            | 12.70   |
| Ca       | -            | -         | 1.13             | 1.13    |
| Al       | -            | -         | 1.09             | 1.09    |
| Na       | -            | -         | 0.57             | 0.57    |
| Cr       | -            | -         | 0.26             | 0.26    |
| Mn       | -            | -         | 0.22             | 0.22    |
| P        | -            | -         | 0.10             | 0.10    |
| K        | -            | -         | 0.07             | 0.07    |
| Ti       | -            | -         | 0.05             | 0.05    |
| المجموع  | 27.10        | 5.30      | 67.73            | 100.00  |

عن: ماسون (Mason 1966).

أما العناصر الرئيسة الأخرى التى تتوفر بنسب أعلى قليلا من 1 % فهى:

النيكل (Ni) ، الكالسيوم (Ca) ، الألومنيوم (Al) ، والكبريت (S).

وهناك سبعة عناصر أخرى توجد بنسب أقل، تتراوح نسبهم بين 0.01 – 1 % وهى:

الصوديوم (Na) ، البوتاسيوم (K) ، الكروميوم (Cr) ، الكوبالت (Co) ، الفسفور (P) ، المنجنيز (Mn) ، والتيتانيوم (Ti). أما بقية العناصر الأخرى فإنها لا تشكل فى مجموعها نسباً تذكر (أقل من 1 %) لذا لم يراع تضمينها فى الجدول 2-7.

بمقارنة ترتيب العناصر حسب وفرتها فى كل من القشرة والأرض ككل والنيازك والشمس والقمر (جدول 2-8) نلاحظ التطابق النسبى فى وجودها، حيث تظهر نفس العناصر فى جميع الوحدات مع تغير بسيط فى ترتيب نسب وجودها. كما أنه من الواضح أن الحديد، السليكون والمغنسيوم يأتون فى مقدمة العناصر، إذا ما نحن إستثنينا العناصر المتطايرة السائدة فى الشمس، يليها فى الترتيب النيكل والكالسيوم والألومنيوم والصوديوم. ومن السهل استنتاج



انعدام العناصر المتطايرة، وخاصة الهيليوم والهيدروجين في الأرض والنيازك من المناقشة السابقة.

جدول 2-8 مقارنة للوجود النسبي للعناصر في المواد الكونية.

| القمر | الشمس | النيازك | الأرض ككل | القشرة |
|-------|-------|---------|-----------|--------|
| O     | H     | O       | Fe        | O      |
| Si    | He    | Fe      | O         | Si     |
| Mg    | O     | Si      | Si        | Al     |
| Fe    | C     | Mg      | Mg        | Fe     |
| Ca    | N     | S       | Ni        | Ca     |
| Al    | Si    | Ni      | S         | Na     |
| Ni    | Mg    | Ca      | Ca        | K      |
| S     | Fe    | Al      | Al        | Mg     |
| Ti    | S     | Na      | Na        | Ti     |
| Cr    | Al    | Cr      | Cr        | H      |
| Na    | Ca    | Mn      | Mn        | P      |
| P     | Ni    | P       | Co        | Mn     |
| Mn    | Na    | Co      | P         | F      |
| V     | Cr    | K       | K         | Ba     |

عن: ماسون ومور (Mason & Moore, 1982).

ومما تجدر الإشارة إليه أن العناصر الأكثر انتشاراً في جميع الوحدات هي العناصر ذات الأعداد الذرية الأقل من 30 ماعدا الباريوم (عدده الذري 56) الذي يوجد في القشرة الأرضية.

بالنسبة للاختلافات في الوجود النسبي للعناصر بين القشرة و الوشاح، فإنه يمكن تلخيصها في الظواهر الثلاث التالية:

- 1- لا تظهر بعض العناصر، مثل: الأكسجين، السليكون، الحديد، المنجنيز والفسفور، تمايزاً ملحوظاً بين القشرة والوشاح.
- 2- ترتفع نسب كل من الألومنيوم والصوديوم وخاصة البوتاسيوم بشكل ملحوظ في القشرة.
- 3- ظهور أهمية بعض العناصر مثل الكروميوم (Cr)، والمغنسيوم (Mg)، في الوشاح.

من ذلك يمكن أن نستنتج أن تمايز الأرض يقود إلى تركيز لمركبات سليكات الألومنيوم القلوية فى السطح وسليكات المغنسيوم فى العمق.

### التصنيف الجيوكيميائى للعناصر

خلصنا فى مناقشتنا السابقة إلى الافتراض السائد أن الأرض تكونت من تجمع مرحلى لمواد نجمية صلبة تعرضت فيما بعد بالتبريد البطئ إلى تمايز لمكوناتها. قاد هذا التمايز إلى تجمع لصنف معدنى (سبيكة الحديد والنيكل) مع بعض من الكبريت (و / أو الأكسجين المختلف عليه) فى اللب المركزى الحالى ومواد سليكاتية، تحيط باللب، يشكل مجموعها حوالى 70% من كتلة الأرض. ولقد جرى تدعيم هذه الافتراضات من نتائج مراقبة وتحليل الموجات الزلزالية إضافة إلى المعلومات المستقاة من النيازك، التى فسر انتماؤها إلى أحد الكواكب المتفجرة، المتكونة من نفس المادة التى تتكون منها المجموعة الشمسية. وقد وجد أن النيازك الكوندريتية، أكثر أنواع النيازك شبيها بالأرض، تتكون أساسا من ثلاثة أنواع من المادة هى:

النوع الفلزي (سبيكة الحديد والنيكل) و

النوع الكبريتيدى (كبريتيد الحديد) و

النوع السليكاتى (أساسا أوليفين وبيروكسين).

وتتوزع جميع العناصر المعروفة لدينا على هذه الأنواع الثلاثة من المادة.

مما تجدر الإشارة إليه هنا والغريب فعلا أن انتشار العناصر، فى بيئة تحكمها الجاذبية مثل الأرض، لا يحكمه الكثافة أو الوزن الذرى كما كان يعتقد سابقا، وإنما يحكم هذا الانتشار ميل العنصر للدخول فى أحد أصناف المادة المذكورة أعلاه. ويعتمد ميل العنصر هذا على بنيته الإلكترونية ومن ثم على الروابط الكيميائية التى يميل إلى الارتباط بها مع العناصر الأخرى، فنجد أن اليورانيوم (U) والثوريوم (Th) مثلا بالرغم من عددهما الذرى وكثافتهما العاليتين أكثر انتشارا فى الصخور الفلسية للقشرة القارية عنه فى الصخور المافية للقشرة المحيطية، وينعدم أو يكاد ينعدم وجودهما فى مواد الوشاح واللب فى حين نجد الذهب (Au) والبلاتين (Pt) الأقل كثافة من اليورانيوم والثوريوم، واللذين لا يميلان إلى تكوين أكاسيد أو

معادن سليكاتية يغلب وجودهما في صخور الوشاح وفي سبيكة الحديد والنيكل لمنطقة اللب. من ذلك يتضح لنا أن انتشار العناصر لاحتكمه الجاذبية بقدر ما تتحكم هذه في توزيع تجمعات الخامات.

وتبعاً لميول العناصر العام للوجود في أحد أنواع المواد السالفة الذكر قام جولدمشmidt (1954) بوضع تصنيف للعناصر في أربعة مجموعات (جدول 2-9) كما يلي:

جدول 2-9 التصنيف الجيوكيميائي للعناصر.

| الجوية | السيدروفيلية | الكالكو فيلية  |                |  |  |  |  |  |  | الليثوفيلية |  |  |  |  |
|--------|--------------|----------------|----------------|--|--|--|--|--|--|-------------|--|--|--|--|
|        |              | القشرة النيازك |                |  |  |  |  |  |  |             |  |  |  |  |
| H O    | Co Ni Fe     | As V S Fe Co   | Li Be B O F    |  |  |  |  |  |  |             |  |  |  |  |
| C N    | Mo Ru Ge     | Cd Cu Ni Cu Zn | Na Mg Al Si Cl |  |  |  |  |  |  |             |  |  |  |  |
| Br Cl  | Pd Sn Rh     | P Se Ga As Se  | K Ca Sc Ti V   |  |  |  |  |  |  |             |  |  |  |  |
| He I   | Pt Os Ta     | Cr Te Mo Rh Pd | Cr Mn Br Rb Sr |  |  |  |  |  |  |             |  |  |  |  |
| Ar Ne  | C Au Ir      | Zn S Ag Cd In  | Y Zr Nb I Cs   |  |  |  |  |  |  |             |  |  |  |  |
| Xe Kr  | W Re P       | Ag Mn Sb Te Hg | Ba La Hf Ta W  |  |  |  |  |  |  |             |  |  |  |  |
|        | Sn Cu        | Tl Pb Bi       | Th U REE C Zn  |  |  |  |  |  |  |             |  |  |  |  |

لاحظ انتماء بعض العناصر إلى أكثر من مجموعة. عن: براونلو (Brownlow 1979).

### المجموعة الأولى

تشمل هذه المجموعة العناصر التي تميل إلى تكوين مركبات مع السليكون والأكسجين وتنتشر في شكل معادن سليكاتية وسميت بالعناصر الليثوفيلية lithophile elements ومن أهمها تلك التي تدخل في تركيب معادن الفلسبارات المتنوعة مثل الألومنيوم (Al) - الصوديوم (Na)، البوتاسيوم (K)، الكالسيوم (Ca)، الليثيوم (Li) الواسعة الانتشار في الصخور الفلسية مثل الجرانيت والجرانوديوريت. وكذلك الحديد (Fe)، والمغنسيوم (Mg)



وهي من العناصر الرئيسية المكونة لمعادن الأوليفين والبيروكسين، وهي المعادن الأساسية للصخور المافية وفوق المافية مثل البازلت والدونيت والبريدوتيت. إضافة إلى ذلك، تشمل هذه المجموعة العناصر الأخرى التي تدخل في تكوين بعض المعادن الأقل انتشاراً مثل الزركونيوم (Zr) في معدن الزركون zircon والتيتانيوم (Ti) في معدن التيتانيت titanite واليورانيوم (U) في معادن البتشبلند pitchblende أو اليورانينيت uraninite.

### المجموعة الثانية

تضم المجموعة الثانية عناصر تفضل الارتباط بالحديد في انتشارها، وسميت بالعناصر السيدروفيلية sidrophile elements وتشمل مجموعة العناصر التي ترتفع نسبها في لب الأرض، ومن أهمها الحديد (Fe)، النيكل (Ni)، والكوبالت (Co) بالإضافة إلى بعض العناصر الأخرى، مثل الكربون (ليثوفيلي في القشرة الأرضية) وبعض العناصر النادرة.

### المجموعة الثالثة

وتسمى بمجموعة العناصر الكالكوفيلية chalcophile elements وتضم جميع العناصر التي تميل في انتشارها إلى الارتباط بالكبريت وتكوين معادن كبريتيدية ومن أمثلتها النحاس (Cu) الذي ينتشر في شكل معادن كبريتيدية مختلفة منها الكالكوسيت  $Cu_2S$  chalcocite والبورنيت  $Cu_5FeS_4$  bornite، وكذلك الزنك (Zn) في معدن الإسفاليريت sphalerite ( $ZnS$ )، والرصاص (Pb) في معدن الجالينا (PbS) galena، والزرنيخ (As) الذي يدخل تركيب معدن الريالجار realgar:  $AsS$  والأوربيمنت  $As_2S_3$  orpiment وغير ذلك من العناصر الأخرى المبينة بالجدول المشار إليه أعلاه.

### المجموعة الرابعة

تضم هذه المجموعة العناصر الغازية التي تميل للانتشار في الغلاف الجوي المحيط بالأرض، وتسمى بمجموعة العناصر الأتموفيلية atmophile elements، ومن أمثلتها النيتروجين (N)، الهيليوم (He)، النيون (Ne)، الأرجون (Ar)، الكريبتون (Kr)، والزينون (Xe)، ويضاف إليها كذلك الأكسجين والهيدروجين.

وحيث إن البنية الإلكترونية للذرات هي التي تتحكم، كما سبق أن أشرنا، في خواص العناصر الجيوكيميائية وبالتالي هي التي تحدد موقعها في أى من المجاميع الجيوكيميائية السالفة الذكر، لذا نجد أن العناصر الليثوفيلية هي تلك العناصر التي لديها الاستعداد لتكوين أيونات ذات غلاف خارجي به ثمانية إلكترونات، ويشغل معظمها الجزء الأيسر من الجدول الدوري، أما العناصر الكالكوفيلية فهي تلك العناصر التي يحتوى غلاف أيوناتها الخارجي على ثمانية عشر إلكترونًا، وتشغل معظم الجزء الأيمن من الجدول، في حين تشغل معظم العناصر السيدروفيلية وسط الجدول الدوري.

في عام 1982 اقترح ميزون (Mason) استعمال حرارة التكوين لتحديد ميول العناصر للانتماء لأحد المجاميع الجيوكيميائية، حيث وجد أنه عندما تكون حرارة التكوين لأكسيد عنصر ما أعلى من حرارة التكوين لأكسيد الحديد فإن العنصر يتبع مجموعة العناصر الليثوفيلية، ويمكن أن يشير الفرق إلى مدى عمق الخاصية الليثوفيلية المتأصلة في العنصر. أما العناصر التي تكون حرارة تكوين أكاسيدها أقل من حرارة تكوين أكسيد الحديد فهي إما كالكوفيلية أو سيدروفيلية.

من نظرة على جدول التقسيم الجيوكيميائي للعناصر، نلاحظ أن هناك تكراراً لبعض العناصر في أكثر من مجموعة، ويرجع سبب ذلك إلى الحالة الفيزيائية التي يتم في ظروفها توزيع العنصر أي دخوله في تكوين مركبات. وأحسن مثال لذلك الحديد، الذي يتكرر ذكره في مجاميع العناصر الليثوفيلية والكالكوفيلية والسيدروفيلية. ففي البيئات المؤكسدة أي التي ترتفع فيها نسبة الأكسجين يكون الحديد مركبات مع الأكسجين، في حين يكون في البيئات المختزلة وفي وجود الكبريت معادن كبريتيدية، أما في البيئات المختزلة، التي لا يتوافر فيها الكبريت فإنه يتبع المجموعة السيدروفيلية كما في لب الأرض. مثال آخر هو الكروميوم (Cr) الذي يتبع كما يتضح لنا من جدول التقسيم مجموعة العناصر الليثوفيلية ولكن في البيئات التي تنخفض فيها نسبة الأكسجين كما هو الحال في البيئات التي تكونت بها النيازك نجده يكون مركبات كبريتيدية مثل الإسبينيل الكبريتيدي "الدوبريليت" daubrelite (انظر النيازك) ويتبع بذلك مجموعة العناصر الكالكوفيلية. من ذلك يتضح لنا أن وجود أى عنصر في معدن ما ربما لا يكون مميزاً لخاصية جيوكيميائية فريدة وإنما قد يعود إلى الحالة الكيميائية أو الفيزيائية

التي كانت سائدة فى البيئة التى تم فيها هذا الارتباط. هناك تصنيفات أخرى تم اقتراحها وأبسطها ذلك التصنيف الذى قام بوضعه واشنطن (Washington) عام 1925 والذى فرق بين:

1 - عناصر أكسيدية (Oxiphile elements) وهى العناصر التى تميل للانتشار فى شكل أكاسيد.

2 - عناصر كبريتيدية (Sulfophile elements) وتشمل مجموعة العناصر التى تميل للانتشار على هيئة كبريتيدات.

فى عام 1933 اقترح فيرسمان (Fersman) طريقة أخرى، حيث قام بتصنيف العناصر تبعاً لوجودها فى أنواع الصخور النارية والخامات الكبريتيدية وذلك كما يلى:

1 - عناصر الصهارة الحمضية

2 - عناصر الصهارة المتوسطة

3 - عناصر الصهارة فوق القاعدية

4 - عناصر الخامات الكبريتيدية.

لكن أكثر التصنيفات استعمالاً هو ذلك التصنيف الذى قام بوضعه جولدميت (Goldschmidt)، الذى يعكس الأصناف المعدنية التى يمكن أن تكون سائدة فى مجموعتنا الشمسية وربما بعض الأجرام السماوية الأخرى (جدول 2-9).



لا تنسى الدعاء والصلاه ع النبي



## مراجع الباب الثانى

- Anderson, D. L. and Hanks, T. C. (1972) Formation of the Earth's Core, *Nature* **237**: 387-388.
- Brownlow, A. (1979) *Geochemistry*, Englewood Cliffs, N.J.: Prentice-Hall, Inc.
- Bullen, K. E. (1963) *An Introduction to the Theory of Seismology*. 4th edn. Cambridge University Press, Cambridge, England.
- Clark, S. P. and Ringwood, A. E. (1964) Density distribution and constitution of the mantle. *Rev. Geophys.* **2**: 35-88.
- Clarke, F. W. and Washington, H. S. (1924) The composition of the Earth's crust. *U.S. Geol. Survey Profess. Paper* 127.
- Gill, R. (1989) *Chemical Fundamentals of Geology*, Academic Div., Unwin Hyman ltd.
- Goldschmidt, V. M. (1954) *Geochemistry*. Oxford University Press. Fair Lawn, N. J.
- Henderson, P. (1982) *Inorganic geochemistry*. Pergamon Press.
- Hutchison, R. (1974) The Formation of the Earth. *Nature*, **250**: 556-568.
- Keil, K., (1969) Meteorite Composition, in *Handbook of Geochemistry*, v. 1 chap. 4 (Wedepohl, K. H. editor) Berlin: Springer-Verlag, 78-115.
- Mason B. (1966) *Principles of geochemistry*. 3d ed. New York: John Wiley & Sons, Inc.
- Mason B. and Moore, C. B. (1982) *Principles of geochemistry*. 4th ed. New York, John Wiley & Sons.
- Mueller, R. F. and Saxena, S. K. (1977) *Chemical Petrology*. New York, Springer-Verlag.
- Poldervaart A. (1955) Chemistry of the Earth's Crust. In: *Crust of the Earth - A Symposium* (ed. A. Poldervaart), pp. 119-144. Geol. Soc. Am., Spec. Paper. 62.

- Ringwood, A. E. (1966a) The chemical composition and origin of the Earth. In: *Advances in Earth Sciences* (ed. P. M. Hurley) pp, 287-356. Mit. Press.
- Ringwood, A. E. (1966b) Chemical evolution of terrestrial planets. *Geochem. Cosmochem. Acta* 30: 41-104
- Ringwood, A. E. (1975) Composition and petrology of the Earth's mantle. New York, McGraw-Hill Book Co.
- Ronov, A. B. and Yaroshevsky, A. A. (1976) A new model for the chemical structures of the Earth's crust. *Geochemistry International*, 13, (6): 89-121.
- Suess H. E. and Urey, H. C. (1956) Abundance of the elements. *Review of Modern Physics*, 28, 53-70.
- Taylor, S. R. (1964) Abundance of the chemical elements in the Earth's crust. *Geochim. Cosmochim. Acta*, 28, 1280-1281.
- Wasson, J. T. (1974) *Meteorites, Classification and Properties*. Berlin: Springer-Verlag.
- Wedepohl K. H. (ed.) (1969-1974) *Handbook of Geochemistry*. Berlin: Springer-Verlag.

# لا تنسي الدعاء والصلاه ع النبي

## الباب الثالث

---

### الديناميكا الحرارية

◆ مفاهيم أساسية في الديناميكا الحرارية

◆ الاتزان في الكيانات الجيولوجية

◆ قـاعدة الصنف



استعرضنا في الباب الأول طبيعة العناصر الكيميائية سواء كذرات أو أيونات وخلصنا إلى أنه في داخل كل عنصر تكمن مستويات من الطاقة تختلف في كميتها تبعاً للحالة التي يوجد عليها هذا العنصر؛ سواء ذرية أو أيونية. ويتغير الكم الأصلي للطاقة كلما تعرضت الذرة أو الأيون لتغير كيميائي أو فيزيقي. ففي كل مرة يعاد فيها انتشار العنصر أو تعاد فيها ترابطاته الكيميائية في المعادن والصخور، فإنه يفقد جزءاً من طاقته ليصل بذلك إلى كيان أكثر استقراراً، ذلك أن كل معدن وكل صخر يمثل حالة من حالات الاستقرار المؤقتة للبنيات البلورية المختلفة. من ذلك يتضح لنا أن وراء كل عملية جيولوجية يكمن تغير في الطاقة. ولا تعتبر كيمياء المعادن متكاملة المفاهيم مالم تراعى علاقة الطاقة بين الذرات والأيونات في البنيات البلورية والعوامل التي تحدد حالات الاتزان.

## مفاهيم أساسية في الديناميكا الحرارية

### الطاقة

يفهم من مصطلح طاقة جسم ما قدرته على أداء عمل، كتحريك كتلة من مكان إلى آخر. تستمد الطاقة اللازمة لحدوث مثل هذا العمل من الوقود المستهلك بواسطة محرك وسيلة النقل التي قامت بمثل هذا العمل. ويمكن التفريق بين نوعين من الطاقة:

#### 1- الطاقة الحركية kinetic energy

وهي الطاقة المبذولة لتحريك جسم ضد مقاومة مقابلة، كالطاقة المبذولة أثناء إقلاع الطائرة ضد الجاذبية الأرضية. ويعبر عن الطاقة الحركية لجسم كتلته  $m$  ويتحرك بسرعة  $v$  كميًا كما يلي:

$$E_k = \frac{1}{2} m v^2$$

(J)                      (kg) (m s<sup>-1</sup>)<sup>2</sup>

وكمثال فإن الجيولوجى عندما يمسك بمطرقة وزنها ( $m$ ) ويهوى بها بسرعة ( $v$ ) فإن طاقتها الحركية تتزايد بزيادة وزن المطرقة والسرعة التى تتحرك بها عندما تهوى على الصخر، وبالتالي تتزايد قدرتها على تحطيم الصخر.

## 2- الطاقة الكامنة potential energy

وهى الطاقة التى تكمن فى جسم ما بسبب احتجازه خلف حقل جاذبية، فالماء المحتجز مثلا خلف أحد السدود تكمن فيه طاقة كبيرة، وبزوال حاجز السد أو جزء منه يتدفق هذا الماء فى اتجاه أسفل المنحدر حتى يصل إلى حوض البحر. فإذا أمكن تقدير كتلة الماء المحتجزة ( $m$ ) خلف أحد السدود وارتفاع هذا السد ( $h$ ) عن حوض البحر، فإنه يمكن هنا أيضا التعبير عن الطاقة الكامنة كميًا باستخدام المعادلة:

$$E_p = m g h$$

(J)   (kg)   ( $\text{ms}^{-2}$ )   (m)

حيث ( $g$ ) هى عجلة الجاذبية الأرضية وتساوى 9.81 متر فى الثانية، ومنها يظهر أنه كلما زادت كمية الماء المحتجز، أى زادت كتلته، وكلما كان فرق الارتفاع بين موقع الخزان وحوض التصريف النهائى كبيرا، كلما زادت الطاقة الكامنة للماء خلف الخزان، وبالتالي زادت خطورته التدميرية إذا حدث انهيار له. والحقيقة أن التدفق المنتظم لهذا الماء يمكن أن يقود إلى تحريك مولدات تنتج طاقة كهربائية، مما يعد دليلا على احتواء الماء خلف السد على طاقة كامنة يمكن أن تتحول إلى شكل من أشكال الطاقات الأخرى.

## القانون الأول فى الديناميكا الحرارية

ترتبط العمليات الطبيعية بتحول للطاقة من شكل إلى آخر، وهذا هو مفهوم القانون الأول للديناميكا الحرارية الذى ينص على أن:

"الطاقة لا تفنى ولا تستحدث وإنما تغير من أشكالها"



(كتحول الطاقة الكامنة أو الوضعية potential energy لجسم ساقط مثلاً إلى طاقة ميكانيكية، مثال ذلك تحريك المياه الساقطة، من مصبات عالية، لمولدات الطاقة الكهربائية و تحول الطاقة الميكانيكية للمولدات إلى طاقة كهربائية وحرارية ... إلخ)، فلم يسبق مطلقاً نشوء طاقة من فراغ أو اختفائها في مجهول. فالطاقة المنطلقة من تفاعل مادة ما تساوى تماماً كمية الطاقة المنتقلة إلى البيئة المحيطة بهذا التفاعل. فلو تعرض كيان لتغير في حالته نتيجة لتأثير خارجي وكانت طاقته الداخلية Internal energy في الحالة الأولى  $E_1$  وأصبحت طاقته الداخلية في الحالة الثانية  $E_2$  فإن مقدار التغير في الطاقة  $\Delta E$  يساوى :

$$\Delta E = E_2 - E_1 \quad (1-3)$$

وهو يمثل معدل التغير في الطاقة الداخلية الحاصل نتيجة لانتقال الكيان من الحالة الأولى إلى الحالة الثانية. فإذا كانت الطاقة المضافة إلى الكيان والمتسببة في حدوث هذا التغير في شكل حرارة قيمتها  $q$  وانطلقت كمية من الطاقة في شكل عمل ميكانيكي  $W$  أثناء تحول الكيان فإن:

$$E = q - \Delta W \quad \text{finite change} \quad \text{للتغيرات المكتملة}$$

$$dE = dq - dW \quad \text{infinite change} \quad \text{للتغيرات غير المكتملة} \quad (2-3)$$

يعبر عن الطاقة الداخلية لـ كيان ما بوحدات عمل أو حرارة. وحدة قياس الطاقة الحرارية هي الكالورى calorie، أما وحدة العمل فهي الجول joule، والكالورى هو كمية الحرارة اللازمة لرفع درجة حرارة جرام واحد من الماء درجة واحدة مئوية، ويساوى الكالورى الواحد 4184 جول. تمثل المعادلة (2-3) القانون الأول في الديناميكا الحرارية والذي يمكن تلخيصه في النقاط التالية:

(1) يفترض هذا القانون وجود قيمة تسمى الطاقة الداخلية وترتبط قيمة هذه الطاقة بحالة الكيان ولكنها لا تدل على الكيفية التي وصل بها الكيان إلى هذه الحالة.



(2) تتصف كل حالة للكيان بطاقة داخلية مميزة ويبين القانون الأول في الديناميكا الحرارية أسس المحافظة عليها وكيفية تطبيق هذه الأسس على الأنظمة التي تشمل عملاً وحرارة.

(3) يشمل القانون في تفسيره مفهوم الحرارة كشكل من أشكال انتقال الطاقة. من أجل ذلك، فإنه يمكن في العمليات التي تتعرض لعمليات لأديباتية nonadiabatic processes تفسير الحرارة بأنها الفرق بين العمل المبذول والتغير الحاصل في الطاقة الداخلية.

يتمثل العمل الميكانيكي ( $dW$ ) في التغير الحاصل في حجم المادة ( $dV$ ) الذي يحدث ضد الضغط الهيدروستاتي ( $P$ ) السائد أي إن:

$$dW = P dV \quad (3-3)$$

وتصبح المعادلة (2-3) بالتالي:

$$\Delta E = q - P \Delta V \quad (4-3)$$

وكمثال لتطبيق القانون الأول على بعض الأمثلة الجيولوجية، نستعرض هنا تحول الأراجونيت إلى كالسيت عند درجة حرارة 25 °م وواحد ضغط جوى. فنجد مثلاً أن الحرارة الممتصة (المستهلكة) بوساطة الكيان تساوى 59 كالورى لكل جزئ جرامى من  $\text{CaCO}_3$ . يساوى حجم الكالسيت 94, 36 سم<sup>3</sup>/جزئ جرامى (36.94 cm<sup>3</sup>/mol) وللأراجونيت 16, 34 سم<sup>3</sup>/جزئ جرامى. باستعمال هذه المعطيات نستطيع باستخدام المعادلة 4-3 حساب التغير الحاصل في الطاقة الداخلية نتيجة لتغير الأراجونيت إلى كالسيت كما يلي:

التغير في الطاقة  $\Delta E$  - 59 كالورى/مول (جزئى جرامى) - 1 جوى × (36.94 - 34.16) سم<sup>3</sup>/مول

$$= 59 \text{ كالورى/مول} - 1.013 \times 10^6 \text{ دايين/سم}^2 \times 2.78 \text{ سم}^3/\text{مول}$$

$$= 59 \text{ كالورى/مول} - 2.82 \times 10^6 \text{ دايين} - \text{سم}^3/\text{مول}$$

$$= 59 \text{ كالورى/مول} - 2.82 \times 10^6 \times 2.39 \times 10^{-8} \text{ كالورى/مول}$$

$$= 59 \text{ كالورى/مول} - 0.067 \text{ كالورى/مول}$$

$$= 58.933 \text{ كالورى/مول}$$

يدل هذا الرقم على حدوث زيادة فى الطاقة الداخلية عند تحول الأراجونيت إلى كالسيت، والنتيجة عن امتصاص الكيان لحرارة أثناء عملية التحول. وتجدر الإشارة هنا إلى أن التحول تم فى درجة حرارة ثابتة، أى إن حرارة الكيان لم تتغير، كما حدث عمل بسيط متمثل فى الزيادة البسيطة الحاصلة فى حجم الأراجونيت المتحول إلى كالسيت.

أوضحت دراسة مشابهة على تحول الجرافيت إلى شكله الآخر الماس فى ظروف معيارية ( $25^{\circ}\text{C}$  وواحد ضغط جوى)، أن مثل هذا التحول يصاحبه امتصاص لحرارة تقدر بحوالى 453 كالورى ونقصان فى الحجم يساوى 1,882 سم<sup>3</sup> لكل جزئ جرامى، الأمر الذى يقود إلى حدوث زيادة كبيرة فى الطاقة الداخلية للكيان. تظهر هذه المعطيات أن تحول كل جزئ جرامى من الجرافيت إلى ماس يحتاج تقريبا إلى 400 كالورى زيادة عن ما يحتاجه نفس الحجم عند تحول الأراجونيت إلى كالسيت. وهذا يفسر إمكانية حدوث تحول الأراجونيت إلى كالسيت فى الظروف الفيزيائية السائدة على سطح القشرة الأرضية ( $25^{\circ}\text{C}$  وواحد ضغط جوى) وصعوبة تحول الجرافيت إلى ماس فى مثل هذه الظروف. فكثيرا ما لوحظ وجود الكالسيت فى شكل أراجونيت (تشكل كاذب pseudomorph) فى حين لم تلاحظ هذه الظاهرة فى الجرافيت والماس.

### الإنتالبية Enthalpy

توجد المادة الطبيعية على حالات ثلاث هى:

الحالة الغازية

الحالة السائلة

الحالة الجامدة

ولكل جسم فى أى حالة من هذه الحالات طاقة حركية وطاقة كامنة وذلك تبعا لحركته ووضع العام، كما تسهم حركات ذراته وجزئياته الدائمة الاهتزاز والدوران حول مواقعها أو المنتقلة من مكان إلى آخر (كما فى السوائل والغازات) بجزء يضاف إلى طاقته الكلية. يطلق على هذا التجمع من الطاقات المختزنة فى وحدة الكتلة إنتالبية ويرمز لها بالرمز  $H$ . ترتبط الإنتالبية لأى جسم ارتباطا وثيقا بحركة مكوناته من ذرات أو جزئيات. وحيث إن جزئيات المادة فى الحالة السائلة أكثر حركة منها وهى فى الحالة الجامدة، وفى الحالة الغازية أعلى منها وهى فى الحالتين الأخريين فإن:

$$H_{\text{غازية}} < H_{\text{سائلة}} < H_{\text{جامدة}}$$

ويمثل الفرق

$$\Delta H = H_{\text{سائلة}} - H_{\text{جامدة}}$$

كمية الحرارة (كالورى لكل جزئ جرامى cal/mol) الواجب انتقالها إلى الكيان عبر المادة المحيطة لتتحول من الحالة الجامدة إلى الحالة السائلة. فيحتاج صهر الجليد مثلاً إلى طاقة تنقل إليه في شكل حرارة عبر المادة المحيطة (ماء أو هواء) للرفع من طاقته الداخلية وتحوله إلى ماء. تسمى هذه الحرارة، حرارة الانصهار heat of fusion، أو إنثالبيية الانصهار enthalpy of fusion، ويمكن قياسها معملياً أو الحصول عليها من الجداول المعدة لذلك. يطلق على الرمز  $\Delta$  دلتا، وتعنى الفرق بين مقدارين. يبين هذا المثال البسيط التغير في الطاقة الذى يصاحب التفاعلات فى العمليات الجيولوجية، والذى يحدد مسار مثل هذه التفاعلات، وهذا هو الهدف الأساسى للدراسات التى تناقش الديناميكا الحرارية التى تشمل فى مضمونها تفسير التغيرات التى تطرأ على الطاقة المصاحبة للعمليات الطبيعية. وكما يتضح لنا فهناك علاقة خاصة بين الإنثالبيية ومفهوم الحرارة، التى تشكل إحدى الآليات التى يمكن أن تنتقل بواسطتها الإنثالبيية من جسم إلى آخر، حيث يقود تسخين جسم ما (أو كيان ما) إلى زيادة فى الطاقة الحركية لمكوناته من ذرات وجزيئات، وبالتالي زيادة إنثالبييته. ويساوى الفرق فى الإنثالبيية بين الحالتين مقدار الزيادة الحاصل فى الطاقة والذى ينطلق فى شكل حرارة.

تأخذ  $\Delta H$  أسماء مختلفة تبعاً لنوعية التحول الذى يتعرض له الكيان كما يلي:

1- حرارة أو إنثالبيية الانصهار heat or enthalpy of fusion،

وهى الحرارة المستهلكة لتحويل المادة الجامدة إلى الحالة السائلة.

2- حرارة أو إنثالبيية التبخير heat or enthalpy of evaporation،

وتعنى الحرارة المستهلكة لتحويل السائل إلى غاز.



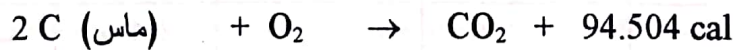
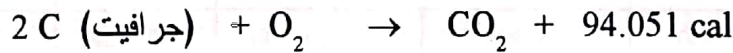
### 3- حرارة أو إنثالبية التفاعل heat or enthalpy of reaction

ويقصد بها الحرارة المستهلكة أو المنطلقة أثناء أى تفاعل كيميائي.

### 4- حرارة أو إنثالبية التكون heat or enthalpy of formation

وهذا نوع مميز من أنواع التغير الإنثالبي، وتعنى الحرارة المعيارية لتكون مركب ما، ويرمز لها  $\Delta H_f$ . فهي تمثل التغير فى الحرارة الناجم من تفاعل العناصر المشاركة فى تكوين هذا المركب فى ظروف معيارية 25 °م وواحد ضغط جوى. ولقد أمكن تحديد قيم  $H_f$  للعديد من أكاسيد العناصر معمليا (جدول 3-1). فأمكن مثلا تحديد قيمة  $\Delta H_f$  لأكسيد الألومنيوم  $Al_2O_3$  (الكورندوم) من قياس درجة الحرارة الناتجة من احتراق الألومنيوم فى الأكسجين وتكون أكسيد الألومنيوم. ويمكن بواسطة هذه القيمة كذلك تحديد درجة الحرارة التى يمكن أن يتحول فى ظروفها مركب (معدن) ما إلى حالات أخرى.

تعرفنا أثناء دراستنا لمبادئ علم الكيمياء كيفية جمع وطرح معادلتين لتفاعلين كيميائيين للحصول على تفاعل ثالث. فلو أردنا مثلا تحديد حرارة أو إنثالبية تحول الجرافيت إلى ماس فى ظروف معيارية (25 °م و 1 ضغط جوى)، والتى يصعب قياسها بالطرق المباشرة فإننا نلجأ فى مثل هذه الحالة إلى معادلة تكون كل منهما كما يلى:



وبطرح المعادلة الثانية من الأولى نصل إلى المطلوب وهو درجة الحرارة (النظرية) المفترضة لتحول الجرافيت إلى ماس فى ظل الظروف القياسية وهى:



أى إن كل جزئ من الجرافيت يحتاج إلى 453 كالورى ليتحول إلى جزئ من الماس، فى حين تساوى حرارة تكون الجرافيت المعيارية صفر كالورى (جدول 3-1)، حيث إنه الشكل المستقر للكربون فى درجة حرارة 25 °م و 1 ضغط جوى.

جدول 3-1 الحرارة المعيارية، إنتروبية والطاقة الطليقة لتكون بعض المركبات فى درجة حرارة 25 °م ( 298.15 كلفين).

| المصدر | $\Delta G_f^\circ$ | $S^\circ$ | $\Delta H_f^\circ$ | الحالة      | الصيغة الكيميائية    |
|--------|--------------------|-----------|--------------------|-------------|----------------------|
| R & W  | 378.082 -          | 12.180    | 400.400 -          | كورندوم     | $Al_2O_3$            |
| R & W  | 584.134 -          | 22.280    | 619.390 -          | أندلوسيت    | $Al_2SiO_5$          |
| R & W  | 584.000 -          | 20.020    | 619.930 -          | كيانيت      | $Al_2SiO_5$          |
| R & W  | 583.600 -          | 22.970    | 618.650 -          | سليمانيت    | $Al_2SiO_5$          |
| R & W  | 0                  | 1.372     | 0                  | جرافيت      | C                    |
| R & W  | 693.000 -          | 0.568     | 453.000            | ماس         | C                    |
| R & W  | 94.257 -           | 51.060    | 94.051 -           | غاز         | $CO_2$               |
| K      | 126.220 -          | 12.700 -  | 161.630 -          | ذائب/ الماء | $CO_3^{2-}$          |
| K      | 132.200 -          | 13.200    | 129.800 -          | ذائب/ الماء | $Ca^{2+}$            |
| R & W  | 269.908 -          | 22.150    | 288.592 -          | كالسيت      | $CaCO_3$             |
| R & W  | 269.678 -          | 21.180    | 288.651 -          | أراجونيت    | $CaCO_3$             |
| R & W  | 518.743 -          | 37.090    | 557.613 -          | دولوميت     | $CaMg(CO_3)_2$       |
| R & W  | 370.313 -          | 19.600    | 390.640 -          | ولاستونيت   | $CaSiO_3$            |
| R & W  | 316.475 -          | 25.500    | 343.321 -          | أنهيدريت    | $CaSO_4$             |
| R & W  | 430.137 -          | 46.360    | 483.981 -          | جيبسوم      | $CaSO_4 \cdot 2H_2O$ |
| K      | 15.500             | 26.500 -  | 14.500             | ذائب/ الماء | $Cu^{2+}$            |
| R & W  | 216.440 -          | -         | -                  | ملاكيت      | $Cu_2(OH)_2CO_3$     |
| K      | 20.300 -           | 27.100    | 21.000 -           | ذائب/ الماء | $Fe^{2+}$            |
| R & W  | 177.728 -          | 20.890    | 197.300 -          | هيماتيت     | $Fe_2O_3$            |
| R & W  | 56.688 -           | 16.710    | 68.315 -           | ماء         | $H_2O$               |
|        | 0                  | 0         | 0                  | ذائب/ الماء | $H^+$                |
| K      | 108.800 -          | 32.700 -  | 111.520 -          | ذائب/ الماء | $Mg^{2+}$            |
| K      | 37.600 -           | 2.520 -   | 54.960 -           | ذائب/ الماء | $OH^-$               |
| R & W  | 0                  | 48.996    | 0                  | غاز         | $O_2$                |
| R & W  | 0                  | 15.550    | 0                  | جامد        | Pb                   |
| R & W  | 22.962 -           | 21.840    | 23.353 -           | جلينا       | PbS                  |
| R & W  | 0                  | 7.600     | 0                  | جامد        | S                    |

| تابع جدول 1-3     |             |             |           |             |        |
|-------------------|-------------|-------------|-----------|-------------|--------|
| الصيغة الكيميائية | الحالة      | $H_f^\circ$ | $S^\circ$ | $G_f^\circ$ | المصدر |
| $S_2$             | غاز         | 30.840      | 54.510    | 19.120      | R & W  |
| $SO_4^{2-}$       | ذائب/ الماء | 216.900 -   | 4.400     | 177.340 -   | K      |
| $SiO_2$           | كريستوباليت | 216.930 -   | 10.380    | 204.075 -   | R & W  |
| $SiO_2$           | كوارتز      | 217.650 -   | 9.880     | 204.646 -   | R & W  |
| $SiO_2$           | تريديميت    | 216.895 -   | 10.500    | 76.204 -    | R & W  |

عن: كراوسكوف (Krauskopf 1967 [K]) و روبي ووالدباوم (Robie & Waldbaum 1968 [R&W]).

## القانون الثانى فى الديناميكا الحرارية

### الإنتروبية entropy والطاقة الطليقة free energy

يناقش القانون الثانى فى الديناميكا الحرارية الاتجاه الذى تسير فيه العمليات أو التفاعلات الكيميائية. وللوصول إلى ذلك علينا أولاً تفهم الأسباب المؤدية إلى حدوث التفاعلات الكيميائية. فهناك عوامل عديدة يعتقد أنها تلعب دوراً فى إمكانية تعرض كيان ما لتفاعل كيميائى من عدمه؛ وأحد هذه العوامل هو التغير الحاصل فى الطاقة والذى سبقت مناقشته، حيث تنطلق عن أغلب التفاعلات الكيميائية طاقة حرارية تسمى بالطاقة الطليقة free energy ينجم عنها انخفاض فى طاقة الكيان الداخلية. تقود هذه الحقيقة إلى الاستنتاج أن أى تفاعل يمكن أن يتم إذا كان ينتج عنه انخفاض فى طاقة الكيان الداخلية internal energy. تنطلق هذه الطاقة فى شكل حرارة أو ضوء وتسمى بالطاقة الطليقة للتفاعل free energy of reaction، وهى التى نشاهدها عند احتراق قطعة من الخشب. ويعبر عنها كما يلى:

الطاقة الطليقة للتفاعل = مجموع الطاقات الطليقة للنواتج - مجموع الطاقات الطليقة للمواد المتفاعلة فى الكيان.



لا يتم العديد من التفاعلات عادة دون وجود إمداد حرارى خارجى. لكن ماذا عن التفاعلات الكيميائية التى تحدث فى الطبيعة والمصحوبة باستهلاك حرارة ؟ فلو وضعنا قطعة ملح طعام فى كوب من الماء مثلا لشاهدنا حدوث تفاعل بين الملح والماء والمتمثل فى ذوبان الملح فى الماء. وتشير قياسات التغير الحاصل فى حرارة الخليط إلى حدوث ارتفاع فى درجة حرارته، وأن كمية الحرارة المستهلكة بوساطة هذا التفاعل، المتمثلة فى ذوبان الملح فى الماء، تساوى تقريبا 1200 كالورى لكل جزئ جرامى من كلوريد الصوديوم. إذا ما هى الدوافع وراء حدوث هذه التفاعلات؟ لابد أن هناك عوامل أخرى قادت إلى حدوثها. باستعراض العديد من العمليات التى تحدث تلقائيا فى الطبيعة، لوحظ أنها تشمل العمليات التى تميل فيها مكونات الكيان إلى الوصول إلى الحالة الأقل تنظيما، فالصخور تميل على سطح الأرض إلى التفتت إلى جزيئات، كما تميل المعادن إلى التحول إلى أبسط البنىات. وبالتالي يمكننا القول أنه بالإضافة إلى التغير فى الطاقة والإنتاج الحرارى فإن درجة التنظيم تعتبر العامل الآخر المهم الذى يتحكم فى إمكانية حدوث التفاعلات الكيميائية التى تحدث فى الطبيعة تلقائيا من عدمه. فتفاعل كلوريد الصوديوم مع الماء يحول التنظيم العالى لذرات الصوديوم والكلور فى البنية البلورية لمعدن الهاليت إلى انتشار غير منتظم لأيونات كل من الصوديوم والكلور بين جزيئات الماء.

كمقياس لدرجة عدم التنظيم هذه وضعت قيمة سميت بالإنتروبية entropy والتى يرمز لها بالرمز (S). وينص القانون الثانى فى الديناميكا الحرارية على ما يلى:

"تقود العمليات الطبيعية التلقائية إلى زيادة فى قيمة الإنتروبية"

وحيث إن المادة فى الحالة المتبلورة تتميز بتنظيم عالى الدرجات وتنخفض درجة التنظيم بالانتقال إلى الحالة السائلة أو الغازية لذلك فإنه:

$$(حالة متبلورة) S > (حالة سائلة) S > (حالة غازية) S$$

وتزيد قيمة إنتروبية المادة فى أية حالة من حالاتها برفع درجة حرارتها، حيث يقود ارتفاع درجة الحرارة إلى إحداث خلل فى تنظيم الذرات فى البنية البلورية للمادة الجامدة (تتمدد

المادة وبالتالي تتباعد الأيونات، المشاركة في تركيبها، عن بعضها البعض) أو إلى زيادة حركتها حول مواقعها في المواد السائلة والغازية (نتيجة لضعف الروابط بين المكونات).

بمقارنة قيم إنتروبية المعادن المختلفة، لوحظ أن قيمتها لقطعة من الجرافيت، مثلاً، في درجة حرارة 25 °م و 1 ضغط جوى أعلى منها لقطعة مساوية لها فى الوزن من الماس فى نفس الظروف من الحرارة والضغط. ويعود ذلك إلى الحجم الأكبر لقطعة الجرافيت المساوية فى الوزن لقطعة الماس، إذ يعنى الحجم الأكبر تنظيمًا أقل للذرات المكونة للمادة وبالتالي قيمة أعلى للإنتروبية. ومثال آخر: لو قارنا أحجام وحدات الخلايا unit cells لمعادن أكسيد السليكون  $\text{SiO}_2$  المتعددة الأشكال لوجدنا:

تريديميت < كريستوباليت < كوارتز

وتعطى قيم إنتروبية هذه الأنواع فى درجة حرارة 25 م و 1 ضغط جوى نفس العلاقة:

$S(\text{تريديميت}) < S(\text{كريستوباليت}) < S(\text{كوارتز})$

وبما أن الارتفاع فى درجة الحرارة يقود عادة إلى ارتفاع فى قيم الإنتروبية، فإن قيمة الإنتروبية الأعلى للتريديميت يمكن تفسيرها بأن هذا النوع من أشكال السليكا هو الأكثر استقراراً فى ظروف درجات الحرارة العالية (والأقل استقراراً فى درجات الحرارة المنخفضة). ويختلف معدل الارتفاع فى قيم الإنتروبية بارتفاع درجة حرارة التكوّن من مادة لأخرى.

لا تتغير قيم الإنتروبية على ما يبدو بتغير الحجم أو درجة حرارة التكوّن فقط، وإنما

كذلك بعوامل أخرى تشمل:

- التركيب الكيميائى
- النسيج البلورى
- درجة الإحلال فى المحلول الجامد solid solution إن وجد.
- نوعية الروابط

فالمعدن المكوّن من عدد كبير من العناصر المختلفة تكون قيمة إنتروبيته أعلى منها في المعادن المكوّنة من عدد أقل من العناصر، التي تكون أكثر تنظيماً. كما تزيد عملية دخول المعدن في محاليل جامدة مع مواد أخرى من درجة اختلال تنظيم الذرات، وبالتالي ترفع من قيمة إنتروبيته، كذلك لو كانت الذرات (أو الأيونات) في معدن ما ترتبط بروابط قوية، فإن تحركها حول مواقعها يكون محدوداً، وبالتالي تكون قيم الإنتروبية أقل.

يعتمد حدوث تفاعلات كيميائية بين المواد المختلفة من عدمه على حالة الاتزان بين قيم الإنتروبية والسريان الحرارى  $heat\ flow$ . ويمكن صياغة القانون الثانى للديناميكا الحرارية فى الشكل التالى:

فى أى عملية عكوسة (أى ذات إتجاهين *reversible process*) يمكن قياس التغير فى قيمة الإنتروبية ( $dS$ ) لكيان ما (المتغير من حالة إلى أخرى) باستعمال الحرارة التى اكتسبها الكيان ( $dq$ ) من حوله مقسومة على الحرارة المطلقة ( $absolute\ temperature\ (T)$  أى:

$$dS = dq / T \quad \text{تغير جزئى}$$

$$\Delta S = q / T \quad \text{تغير كلى} \quad (5-3)$$

يقصد بالعمليات العكوسة (ذات الاتجاهين) العمليات التى يتعرض فيها الكيان لتغير جزئى فى أى من الاتجاهين ليصل إلى حالة اتزان جديدة. فيمكن تعرض الكيان لأى تفاعل كيميائى لو كانت هناك ميل من قبله لفقدان حرارة أو زيادة فى قيمة الإنتروبية، وتتساوى هاتان القيمتان فى العمليات المتوازنة.

ذكرنا أعلاه أن العمليات الطبيعية التلقائية تسير دائماً فى اتجاه التنظيم الأقل، أما بالنسبة للعمليات اللاعكوسة (ذات الاتجاه الواحد *irreversible*) فيصبح:

$$dS > dq / T \quad \text{تغير جزئى}$$

$$S > q / T \quad \text{تغير كلى} \quad (6-3)$$



تعطى المعادلتين 3-5 و 3-6 القيمة الأساسية للإنتروبية، كما أنهما تمثلان القانون الثانى للديناميكا الحرارية، والذي يتضمن فى مفهومه إمكانية حدوث أى تفاعل لو تعرض الكيان لفقدان حرارة أو لزيادة فى الإنتروبية (معادلة 3-6). وتتساوى هاتان القيمتان فى العمليات المتوازنة (معادلة 3-5). ويحتوى الجدول 3-1 على قيم الإنتروبية (S) لمركبات (معادن) وكيانات مختلفة.

يتضح المعنى العملى لخاصة الإنتروبية فى تفاعلات الكيانات الأدياباتية *adiabatic systems* (أى الكيانات التى لا تستهلك ولا تفقد طاقة)، فىكون التغير مثلاً ممكناً فى مثل هذه الكيانات إذا كانت طبيعة التفاعل تقود إلى زيادة فى قيمة الإنتروبية (كنتيجة لتغيرات داخلية)، ومن غير الممكن إذا كان التغير ينتج عنه انخفاض فى قيمة الإنتروبية. من ذلك يتضح لنا الدور الذى تلعبه الإنتروبية فى تحديد الاتجاه الذى يجب أن يسلكه أى تفاعل أدياباتى. أما تفاعلات الكيانات غير الأدياباتية *nonadiabatic systems* (وهى الكيانات التى تكتسب أو تفقد طاقة أثناء تفاعلاتها) فإن تحديد اتجاهها يتم تبعاً للمعادلتين 3-5 و 3-6. ومما تجدر الإشارة إليه هنا أن الإنتروبية مثل الطاقة الداخلية ليست إلا دالة لحالة الكيان المدروس فقط، ولا تعطى أية معلومات عن الطريقة التى وصل بها الكيان إلى هذه الحالة.

## دالة جيبس

تعرفنا من خلال استعراضنا للقانون الأول والثانى على ثلاث خواص تعتبر مميزة للحالة التى يمكن أن توجد فيها الكيانات الطبيعية. وهذه الخواص هى الطاقة الداخلية والإنثالبية والإنتروبية. ورأينا كيف يمكن تعيين الفرق بين قيم هذه الخواص لحالتين مختلفتين من حالات الكيان. وبالرغم من أن العمليات الحسابية المتبعة لتعيين مثل هذه الفروق تفترض مسارات نموذجية فى تحول الكيانات لا يمكن تحقيقها معملياً، إلا أنه ثبت أن النتائج التى أمكن التوصل إليها قريبة جداً من الفروق الحقيقية بين حالات الكيانات لو كان بالإمكان تحقيق هذه التحولات معملياً.

للخروج من النظريات الأساسية فى الديناميكا الحرارية بمعادلة جديدة أكثر فائدة من أن تختص بنوع واحد من المتغيرات، فى التفاعلات العكوسة (ذات الاتجاهين)، قام جيبس Gibbs بوضع دالة تجمع بين المتغيرين الأساسيين؛ السريان الحرارى (الإنثالبية) والإنتروبية وذلك كما يلى:

$$G = H - TS$$

$$\Delta G = \Delta H - T\Delta S \quad (7-3)$$

حيث  $G$  هى معامل (دالة) جيبس، ويعبر عنها فى بعض المراجع بالحرف  $F$  بدلا من  $G$ .

فأى تفاعل سواء كان كيميائيا أو فزيقيا تمثله عادة معادلة توضح اتجاه سير التفاعل وتحول المادة من حالة إلى أخرى. وفى الحالات التى توجد فيها المواد المتفاعلة فى حالة اتزان مع النواتج فإن  $\Delta G$  للتفاعل تساوى صفر. أما لو أعطى التفاعل قيمة سالبة كبيرة لـ  $\Delta G$  فى معنى هذا أن التفاعل يميل للاستمرار فى الشكل المعروض حتى النهاية. أما القيم الموجبة الكبيرة لـ  $\Delta G$  فتعنى أن التفاعل يميل للاستمرار فى الاتجاه المضاد. ولتوضيح ذلك نستعرض ذوبان معدن الهاليت (ملح الطعام) فى الماء. فكما سبق أن ذكرنا أن الهاليت يذوب تلقائيا فى الماء لميله إلى التحول إلى الحالة الأقل تنظيما (زيادة فى قيمة الإنتروبية)، لكن عمليات الإذابة هذه لا تستمر إلى مالا نهاية حيث أن التغير الكلى للمواد المتفاعلة يعتمد أساسا على القيمة التى تأخذها دالة جيبس  $\Delta G$ ، حيث تمثل كل قيمة تأخذها هذه الدالة حالة خاصة من حالات التفاعل كما يلى:

■  $\Delta G = \text{صفر}$  : يعنى حالة تشبع للمحلول (أى يتوقف ذوبان المادة الجامدة فى السائل تلقائيا مما يعنى حالة اتزان بين الهاليت والسائل). ويعنى هذا أن الكيان يحتاج إلى إمداد حرارى من الوسط المحيط لى يستمر ذوبان المادة الجامدة فى المحلول.

■  $\Delta G = \text{قيمة موجبة كبيرة}$  : يعنى حالة فوق تشبع وميل المادة الجامدة (الهاليت) للترسب من المحلول.

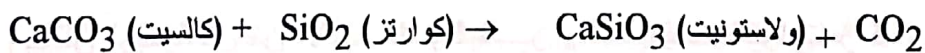
▪  $\Delta G =$  قيمة سالبة كبيرة : يعنى حالة تحت تشبع أى ميل قوى لذوبان المادة الجامدة فى السائل (ميل التفاعل للاستمرار فى اتجاه استمرارية ذوبان الهاليت فى الماء).

تعبّر  $\Delta G$  كما نرى عن اتجاه سير التفاعلات الكيميائية المرتبطة بعلاقات الطاقة والمتمثلة فى الإنثالبية ومفهوم حرارة التفاعل ومعدل حرارة التكون. فهى تعبر عن التغير فى الطاقة المصاحب للتفاعلات الكيميائية. بالمثل يمكننا حساب الطاقة الطليقة للتفاعل free energy of reaction وكذلك الطاقة الطليقة للتكون free energy of formation (أى التغير الحاصل فى الطاقة الطليقة والمصاحب لتكون أى مركب كيميائى، معدن مثلاً)، والتي يعبر عنها كما يلى:

$$\Delta G = \text{مجموع الطاقات الطليقة للنواتج} - \text{مجموع الطاقات الطليقة للمواد المتفاعلة}$$

فيمكن تعيين مقدار التغير الحاصل فى الطاقة الطليقة ( $\Delta G$ ) لكيان ما تعرض لتفاعل كيميائى من حساب مجموع الطاقات الطليقة لنواتج هذا التفاعل ومجموع الطاقات الطليقة لمواد الكيان المشاركة فى هذا التفاعل، وللتوضيح نستعرض المثال التالى:

لو تعرض صخر جبرى يحتوى على كوارتز لتحول تماسى contact metamorphism فإنه سوف يتعرض لتفاعلات كالمبينة فى معادلة التفاعل التالية:



$$\Delta G = \text{مجموع الطاقات الطليقة للنواتج} - \text{مجموع الطاقات الطليقة للمواد المتفاعلة.}$$

وبتطبيق المعادلة 7-3

$$\Delta G = \Delta H - T \Delta S$$

$$\Delta G = \Delta H_f \text{ (ولاستونيت)} + \Delta H_f(\text{CO}_2) - [\Delta H_f \text{ (كالسيت)} + \Delta H_f \text{ (كوارتز)}] - T \times [S^\circ \text{ (ولاستونيت)} + S^\circ(\text{CO}_2)] + T \times [S^\circ \text{ (كالسيت)} + S^\circ \text{ (كوارتز)}]$$



وبالتعويض من جدول 1-3 نحصل على طاقة التفاعل الطليقة عند درجة حرارة 25 °م (15, 298 كالورى).

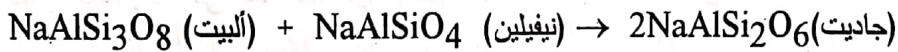
يميل تفاعل الكالسيت مع الكوارتز والمبين بمعادلة التفاعل أعلاه للسير فى الاتجاه الأيسر عند درجة حرارة 650 مئوية وواحد ضغط جوى. وللحصول على قيمة للطاقة الطليقة للتفاعل عند هذه الدرجة، يجب أولا تعيين  $\Delta H$  و  $\Delta S$  للمواد المشاركة فى التفاعل عند نفس درجة الحرارة المطلوبة.

لتحديد ظروف تكون معدن الجاديت (Jadite)  $(\text{NaAlSi}_2\text{O}_6)$ ، الذى لوحظ وجوده فى العديد من الصخور المتحولة المتكونة فى بيئات التحول المميزة بضغط عالية، وضعت ثلاث احتمالات لتكون هذا المعدن، وهى ممثلة فى التفاعلات الثلاثة التالية:

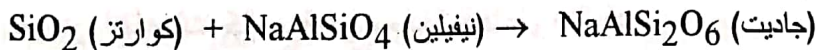
الاحتمال الأول:



الاحتمال الثانى:



الاحتمال الثالث:



وبقياس ذوبانية كل من الألبيت والنيفيلين والجاديت والكوارتز فى حمض الهيدروفلوريك (HF) أمكن فى كل عملية حساب  $\Delta H$  لكل من المواد المتفاعلة والنواتج، كما تم قياس الحرارة النوعية وحساب الإنتروبية. وباستعمال المعادلة 3-7 أمكن تقدير معدل التغير فى الطاقة الطليقة  $\Delta G$ . وقد أشارت نتائج هذه الدراسة إلى سير مجرى التفاعل فى الاحتمال الأول من اليمين إلى اليسار (أى عدم إمكانية تكون الجاديت من الألبيت)، فى حين تتم مجريات التفاعلين فى الاحتمالين الثانى والثالث من اليسار إلى اليمين وإمكانية ظهور الجاديت من مثل هذه التفاعلات. من ذلك أمكن استنتاج الاستقرار الأعلى للجاديت فى درجات الحرارة والضغط السائدة فى الظروف العادية (25°م و 1 ضغط جوى) من خليط

من الألبيت والنيفيلين أو من النيفيلين والكوارتز. كما اتضح أن تكونه ليس مشروطا بضرورة توافر ضغوط عالية.

### المعادن المستقرة وغير المستقرة وشبه المستقرة

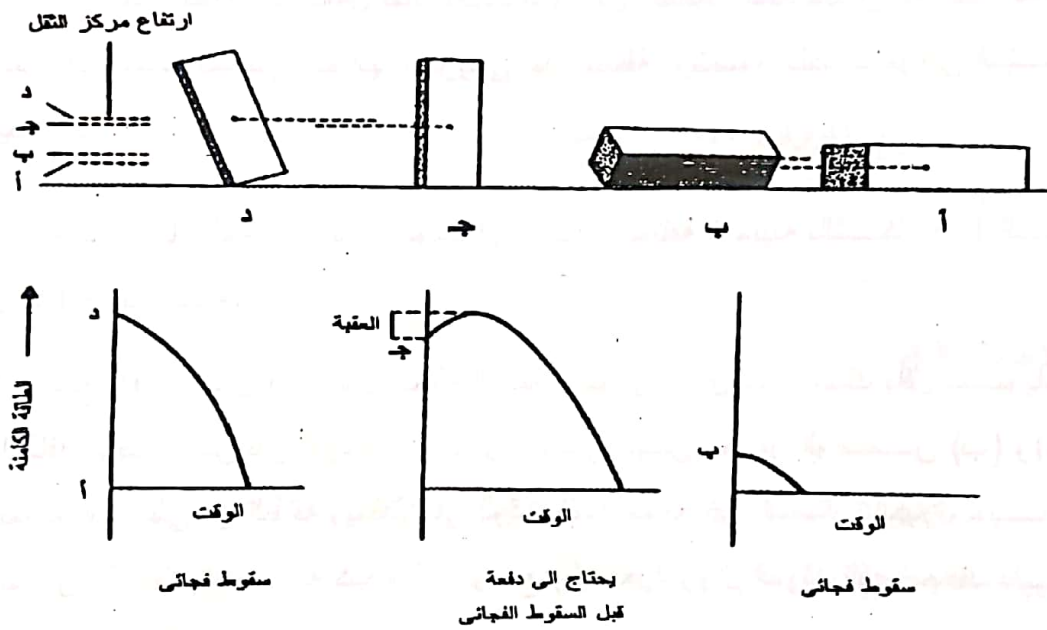
يعطى المصطلح مستقر وغير مستقر دلالات أدق في الديناميكا الحرارية تختلف عن ما يعنيه هذا المصطلح في استعمالنا اليومية. وقد سبق أن أكدنا على ظاهرة ميل الكيانات الطبيعية للوصول إلى الحالة الأكثر استقرارا والتي تتميز بأدنى مستويات الطاقة الداخلية. يعد أى كيان فى حالة عدم استقرار إذا كان يخزن فى داخله طاقة كامنة عالية ( كحالة الماء خلف السد) وهى الطاقة التى تعمل ضد الجاذبية. وتنتقل الكيانات عادة من الحالة غير المستقرة إلى الحالة المستقرة بفقدانها التدريجى لهذه الطاقة. ولتصور ذلك نستعرض المثال البسيط التالى:

لو تصورنا قطعة من الخشب توجد فى أوضاع مختلفة كالمبينة بالشكل 1-3 التى تمثل لنا الحالات التالية:

1) الوضع (أ) فى شكل 1-3 يمثل الحالة المستقرة للكيان، الذى يتميز كذلك بأقل مستويات الطاقة الوضعية من بين الأوضاع الأخرى، فى حين يتميز الوضعان (ب) و(د) بمستويات أعلى من الطاقة ويمثلان فى الوقت نفسه الحالة غير المستقرة للكيان، حيث يميلان إلى الانتهاء بسرعة كبيرة إلى الوضع (أ) بمجرد زوال المؤثر الذى يحافظ على بقائهما فى هذا الوضع.

2) تمثل الحالة (جـ) وضعاً مختلفاً عن الأوضاع الأخرى، وذلك فى اختزانها لطاقة كامنة أكبر من تلك الموجودة فى الوضع غير المستقر (ب). غير أنه رغما عن ذلك تبدو وكأنها فى وضع مستقر، فإذا لم يتعرض هذا الوضع لتأثير خارجى فإنه سوف يبقى على حالته محتفظا بمظهر الوضع المستقر إلى مالا نهاية. أما بمجرد تعرض هذا الوضع لتأثير طاقة خارجية (كدفعة بسيطة على أحد أسطحه) فإن هذا الحدث كفيل بسقوطه وانتقاله إلى الوضع (أ) المستقر والمميز بأقل مستويات الطاقة.

يوضح شكل 3-1 مستويات الطاقة ومسار تغيرها حتى تصل مع الوقت إلى مستوى طاقة الوضع المستقر. فيحدث الانخفاض بشكل سريع ومفاجئ بالنسبة للوضعين (ب) و(د)، في حين يحتاج الوضع (ج) إلى رفع طاقته بدرجة بسيطة قبل أن ينحدر إلى مستوى الحالة (أ). ويعنى هذا أن قطعة الخشب يجب أن ترفع على أحد أركانها (الوضع د) لتسقط وتستقر في الوضع (أ). يطلق على كمية الطاقة اللازمة لرفع مركز جاذبية قطعة الخشب من الوضع (ج) إلى الوضع (د) وبالتالي زيادة طاقته الكامنة "عقبة الطاقة الكامنة" potential energy hurdle، التي يتحتم اجتيازها قبل أن تبدأ قطعة الخشب في الوصول إلى الوضع المستقر (الوضع أ). يطلق على الحالة (ج) بالحالة شبه المستقرة وهي حالة طاقة الوضع العالية المثبتة بوساطة عقبة الطاقة.



شكل 3-1 الطاقة الكامنة لقطعة مستطيلة من الخشب فى أوضاع مختلفة على سطح مستوى. يمثل الشكل العلوى أربعة أوضاع مختلفة لقطعة الخشب مبينا عليها ارتفاع مركز ثقل كل وضع من الأوضاع. ويمثل الشكل السفلى التغير فى طاقة الوضع عند انتقال قطعة الخشب من الوضعين غير المستقرين (ب ود) وكذلك شكل التغير للوضع شبه المستقر (الحالة جـ). عن: جيل (Gill 1989).

مما تجدر الإشارة إليه هنا أنه عند مناقشتنا للحالات المستقرة وغير المستقرة فإننا لا نحتاج إلى مراعاة جميع أشكال الطاقة الموجودة، والتي يصعب تحديد البعض منها كميًا. فكما أن

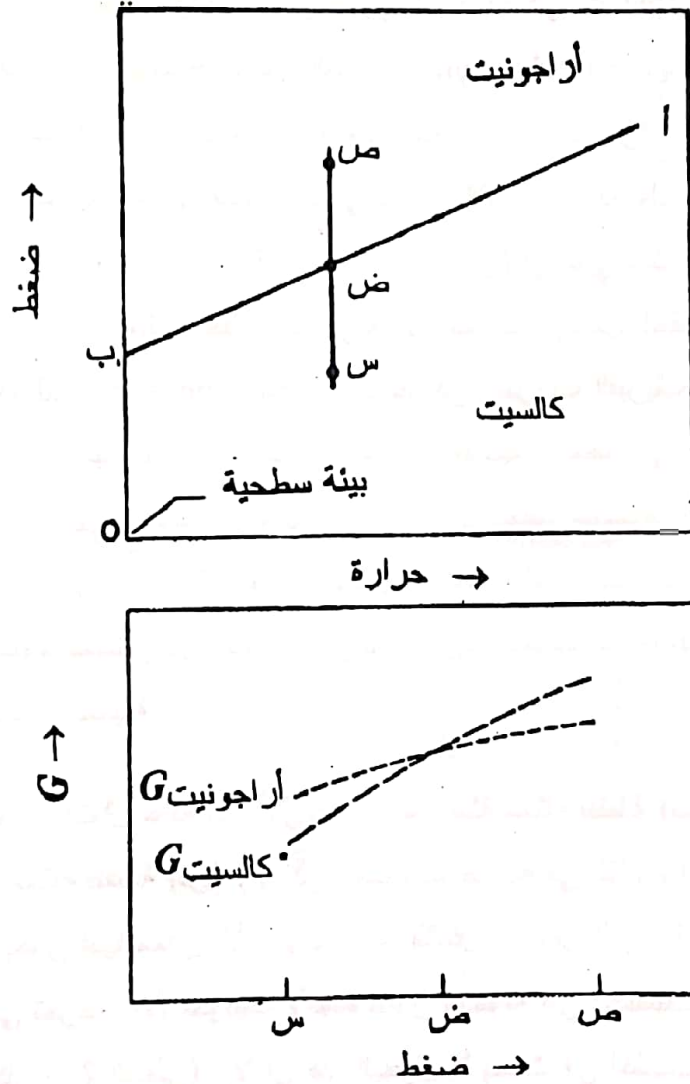


الاستقرارية الميكانيكية تعتمد، كما ذكرنا، على الطاقة الكامنة النسبية فقط، تعتمد الاستقرارية في الحالات الأخرى على الفرق في الطاقة وليس على القيم المطلقة لها.

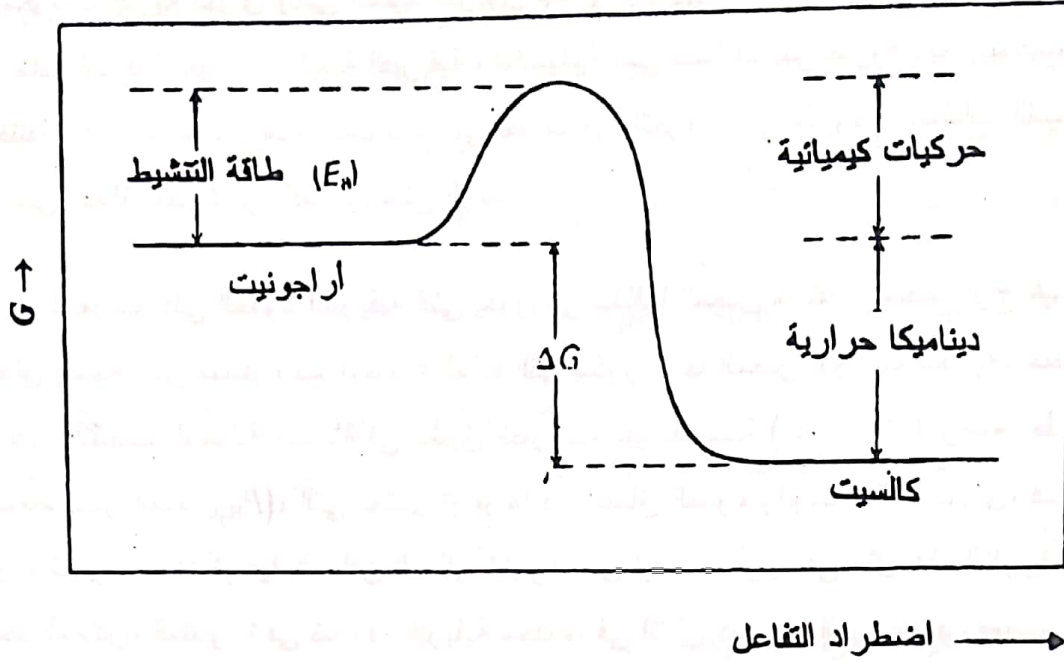
لتطبيق هذه الاستنتاجات على أمثلة من الطبيعة نورد هنا كمثال استقرارية معدنى الكالسيت والأراجونيت كواحدة من صور التعدد الشكلى polymorphism لكاربونات الكالسيوم ( $\text{CaCO}_3$ ). يوضح مخطط الصنف phase diagram لهذين المعدنين (شكل 2-3) مجالات استقرارية كل منهما في ظروف متغيرة من الحرارة والضغط. وينقسم مخطط الصنف، كما نرى، إلى قسمين تسمى حقول الاستقرارية stability fields، يمثل أحدهما حقل الاستقرارية لمعدن الكالسيت (الحقل السفلى) في حين يمثل الجزء العلوى، المميز لحالات الضغط العالى، حقل استقرارية الأراجونيت. يفصل الحقلين خط يطلق عليه الحد الصنفى phase boundary. ويمكن أن يوجد في الظروف الفيزيائية المتمثلة على طول هذا الحد معدنى الكالسيت والأراجونيت إلى جانب بعضهما البعض في حالة اتزان تام. ويمثل الكالسيت شكل كربونات الكالسيوم المستقر في البيئات الضحلة، فهو الشكل ذو الطاقة الطليقة الأقل، في حين يمثل الأراجونيت الشكل ذا الطاقة الطليقة الأعلى، وهو شكل كربونات الكالسيوم المستقر في البيئات التى تسود فيها ضغوط عالية؛ لذلك فهو الشكل المستقر في البيئات العميقة.

لو تصورنا انتقال عينة من الأراجونيت من بيئة ممثلة بنقطة (ص) في الشكل 2-3 إلى بيئة جديدة ممثلة بنقطة (س) (أى إلى مستويات ضحلة في القشرة الأرضية)، أى انتقالها من البيئة التى يكون فيها معدن الأراجونيت هو الشكل المستقر إلى بيئة استقرارية الكالسيت، فإن هذا قد يعنى تعرض الأراجونيت لإعادة تبلور وتحوله إلى الكالسيت ذى الطاقة الطليقة (G) الأقل (شكل 2-3 السفلى)، إلا أن هذا التحول لا يحدث في أغلب الحالات بشكل مباشر. فحالة الأراجونيت هنا تشبه حالة قطعة الخشب فى الوضع جـ من الشكل 1-3، لذلك يمكن اعتبار الأراجونيت الواسع الانتشار على سطح القشرة الأرضية الشكل شبيه المستقر لكاربونات الكالسيوم، والمثبت بوساطة عقبة الطاقة الطليقة ويتطلب تخطى عقبة الطاقة هذه بذل طاقة تعمل على تكسير الروابط الكيميائية القائمة وإعادة ترتيب الذرات فى البنية البلورية للكالسيت. تسمى هذه الطاقة "طاقة التنشيط" activation energy ويرمز لها

بالرمز  $E_a$  (شكل 3-3). فكما يتضح لنا فإن استقرارية حالتين لكيان ما تعتمد على الفرق في الطاقة الطليقة ( $\Delta G$ ) لهاتين الحالتين وليس على جميع أنواع الطاقات المخزنة به وكذلك ليس على قيمة مطلقة للطاقة الطليقة.



شكل 2-3 حقول الاستقرار لشكلي كربونات الكالسيوم (الكالسيت والأراجونيت). في الشكل العلوي يمثل الخط أ - ب حد الصنف الذي يبين ظروف الحرارة والضغط التي يمكن أن يوجد فيها الكالسيت والأراجونيت في حالة اتزان مستقر. يصور الشكل السفلي الطاقة الطليقة ( $G$ ) لكل من الكالسيت والأراجونيت تحت مدى من الضغوط يمثلها خط التماثل الحراري س - ص في الشكل العلوي. عن: جيل (Gill 1989).



شكل 3-3 مسار الطاقة الطليقة أثناء إعادة تبلور الأراجونيت إلى كالسيت في ظروف من الضغط والحرارة ممثلة في نقطة (س) من الشكل 2-3. عن: جيل (Gill 1989).

### الاتزان في الكيانات الجيولوجية

تتكون الأنواع المختلفة من الصخور النارية والمتحولة في بيئات لا يمكن للجيولوجي الوصول إليها والتعرف عن قرب على خصائصها، لذلك لجأ العلماء إلى طرق غير مباشرة بغرض الوصول إلى دلائل يمكن أن تقود إلى تفسيرات لنوعية الظروف التي كانت سائدة في تلك البيئة أثناء تكون الصخور النارية. وتتمثل أهم هذه الدلائل في محتوى الصخر من المعادن، التي تتبلور عادة في الشكل المستقر في ظروف فيزيقية (حرارة وضغط) أمكن تحديدها والتعرف عليها معملياً. أفضل مثال لذلك معدن الأراجونيت الذي يتكون كما ذكرنا سابقاً في ظل ظروف عالية من الضغط، في حين تتكون خارج نطاق حقل استقراريته أشكال أخرى لكاربونات الكالسيوم تحل محله وتمثل الشكل المستقر في الظروف الراهنة (الكالسيت مثلاً). هناك معادن أخرى يتأثر تبلورها، إلى جانب الحرارة، بظروف ضغط بخار الماء أو



أى مكونات غازية أخرى (ثانى أكسيد الكربون مثلاً). تعطى لنا مثل هذه الخصائص معلومات إضافية مفيدة عن البيئة الفيزيائية والكيميائية التى تنشأ فى ظروفها الصخور المختلفة، كما تساعد كل هذه المعلومات إلى حد ما فى التعرف على ظروف العمليات التى تتم على أعماق كبيرة من القشرة وحتى الوشاح.

للتعرف على الحدود الفيزيائية التى يكون فى نطاقها المعدن مستقرًا، وخارج هذا النطاق يصبح غير مستقر، يتم إخضاع المادة التى يتكون منها المعدن لتجارب معملية، حيث ساعدت التقنيات المعملية الحديثة فى تطبيق الظروف الفيزيائية ( حرارة  $T$  وضغط  $P$  وضغط بخار الماء  $P_{H_2O}$  )، التى يحتمل توافرها فى أعماق القشرة والوشاح العلوى، فى إجراء تجارب تحدد نوعية المعادن الممكن تبلورها من أية مادة أولية فى مثل هذه الظروف. توجد المعادن، المتبلورة فى ظروف فيزيائية محددة، فى اتزان كيميائى إلى جانب بعضها البعض أو إلى جانب الصهارة السليكاتية المتبلورة عنها. ويطلق على تجارب ترسيم الحدود الفيزيائية لتكون صنف ما بتجارب اتزان الصنف phase-equilibrium experiments، فإذا انتقل معدن ما من حقل استقراريته عبر حدوده الاستقرارية، فإنه قد يتعرض بذلك لعمليات إعادة تبلور أو تفاعل كيميائى مع المواد الأخرى من حوله، ويتحول إلى شكل آخر يتلاءم مع الظروف الجديدة.

تساعد مخططات الصنف فى التعرف على بيانات اتزان الأصناف، وتمثل قراءة وتفسير مثل هذه الرسوم البيانية فى ضوء أسس الديناميكا الحرارية، أحد الركائز التى تعتمد عليها التفسيرات الجيولوجية ذات العلاقة بنشأة وتاريخ تطور الصخور.

قبل التعرض لما يعنيه الاتزان فى الكيانات الجيولوجية، هناك العديد من المصطلحات الشائعة الاستعمال فى مناقشات اتزان الأصناف والتى نود التعرف عليها فيما يلى :

### الكيان system

يستعمل المصطلح كيان للإعراب عن معان لا حصر لها ذات علاقة بأساليب الحياة. فقد يعنى الكون ككل، أو الأرض التى هى جزء صغير من هذا الكون، أو بعض مكوناتها

مثل القشرة أو المحيطات، أو وعاء الصهير المتعرض للتبريد والتمايز، أو الصخر، أو أى من مكوناته المعدنية، أو أى مادة خاضعة لتجربة اتزان الأصناف. ويعنى المصطلح كيان تجمع لأصناف جيولوجية يمكن أن تدخل فى تفاعلات مع بعضها البعض. وتبعاً لانفتاح الكيان على البيئة من حوله من عدمه يمكن التفريق بين:

#### ■ الكيان المفتوح open system

ويقصد به الكيان الحر الذى يتبادل المواد والطاقة مع الكيانات الأخرى المحيطة به، فيمثل البحر مثلاً كياناً مفتوحاً، فهو يستقبل مياه الأنهار ونواتج الترسيب من البيئة التى من حوله ويفقد بعضاً من مكوناته من الماء بواسطة عمليات البخر.

#### ■ الكيان المغلق closed system

وهو الكيان الذى لا يسمح بتبادل المواد مع الكيانات المحيطة، ولكن يمكن أن يتبادل الطاقة معها. فوعاء الصهير المصفح (غير المنفذ) مثال جيد لذلك، حيث تفقد مكوناته حراراتها تدريجياً، وتنتقل هذه الحرارة إلى المواد المحيطة. هناك نوع آخر من الكيانات المغلقة التى لا تسمح بتبادل المكونات ولا الطاقة مع البيئة من حولها، يعرف مثل هذا الكيان بالكيان المعزول isolated system.

يطلق مصطلح الكيان فى الدراسات المتعلقة بعلم الصخور والمعادن على المكونات الكيميائية مثال،  $MgO$  و  $SiO_2$  ، التى ينتج عن تفاعلها ظهور معادن متنوعة نتيجة ارتباط تلك المكونات بنسب متفاوتة ينحصر تركيبها بين طرفى هذين المكونين (مثل معادن الأوليفين  $Mg_2SiO_4$  والبيروكسين  $Mg_2Si_2O_6$ ).

#### الـصـنـف phase

الصنف هو الجزء أو الأجزاء من الكيان التى تشغل حيزاً معيناً وتتميز بخصائص فيزيقية وكيميائية تميزها عن بعضها البعض. فيشكل كل معدن من المعادن المكونة للصخور

المختلفة صنفا منفردا يشغل حيزا فى الصخر ويتمتع بخصائص فيزيقية ينفرد بها عن بقية أصناف المعادن الأخرى الموجودة إلى جانبه.

لمناقشة تكون المعادن ووصولها إلى حالة الاتزان التى توجد عليها فى الصخر المعنى، فإنه من الضرورى مراعاة أصناف أخرى غير تلك المشاركة فى تكوين هذا الكيان، التى كان لها أثرا مباشرا فى وصول الصخر إلى حالته الحالية. فلو استعرضنا صخورا كالبازلت، مثلا، لوجدنا أنه يتكون من معادن مثل البيروكسين والبلاجيوكلاز وربما الأوليفين والماجنيتيت. وتؤكد كل المعطيات على أن تبلور ونمو مثل هذه المعادن يتم دائما فى وجود بقية صهارة تشغل حيزا معيناً وتتمتع بخصائص فيزيقية وكيميائية مميزة. تشكل بقية الصهارة هذه صنفا خامسا يجب مراعاته عند مناقشة تبلور صخر ما. بالنسبة للصخور البازلتية ذات النسيج الفقاعى vesicular فإن هذه الخاصة تعتبر مؤشرا لوجود صنف سادس هو الغاز ( $\text{CO}_2$  و  $\text{H}_2\text{O}$ ). من ذلك يتضح لنا أن مجموعة معادن صخر ما مثل البازلت ليست إلا جزءا من كيان يتكون من العديد من الأصناف التى تؤثر على بعضها البعض.

### المكون component

يطلق على محتوى الكيانات من الذرات والجزيئات، التى تدخل فى تكوين الأصناف "مكون". تحدد المكونات المعالم الأساسية للكيان، فيتكون معدن مثل الأوليفين مثلا بصورة عامة من عناصر مثل:

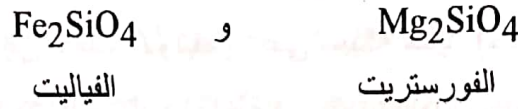
المغنسيوم (Mg)، الحديد (Fe)، السليكون (Si) والأكسجين (O)

وهى المكونات التى تستخدم عادة للتعرف على معدن الأوليفين، والتى تحدد الإطار العام لتركيبه الكيميائى. غير أن عرض المكونات فى مثل هذه الصورة المبسطة يغفل خاصية مهمة من خواص المعادن السليكاتية، وهى ارتباط مكوناتها من الكاتيونات (Mg, Fe, Si)، حسب تكافؤها، بأنيون الأكسجين كما يلى:





وتمثل هذه المكونات الثلاثة التركيب الكيميائي لمعادن الأوليفين المتعددة. تشير دراسات جيوكيمياء بلورات معادن الأوليفين إلى أن مكوناته يجب أن تتطابق مع الصيغة العامة  $X_2SiO_4$  حيث تمثل  $X$  مكانا في البنية البلورية يمكن إشغاله بالمغنسيوم (Mg)، أو الحديد (Fe). فمقابل كل ذرة Si يجب أن توجد ذرتان ثنائيتا التكافؤ، وكل واحدة من هاتين الذرتين يمكن أن تكون Mg و/أو Fe، وتصبح صيغة الأوليفين بالتالي  $(Mg,Fe)_2SiO_4$  أى إن التركيب الكيميائي تمثله صيغة من اتحاد مكونين فقط هما:



فلو عرضنا من خلال تجربة ما عينة من الأوليفين لانصهار تجزيئي fractional melting للاحظنا أن تركيب الصهارة الناتجة يختلف عن تركيب الأجزاء الجامدة المتبقية من معدن الأوليفين. إلا أن هذا الاختلاف في التركيب لا يخرج عن نطاق الصيغة العامة  $X_2SiO_4$ . يطلق على المكونين، الفورستريت ( $Mg_2SiO_4$ ) والفياليت ( $Fe_2SiO_4$ )، العضوين النهائيين أو طرفي end-members معادن الأوليفين. ويوصف الكيان بأنه "كيان ثنائي binary system".

تعرفنا إلى هذا الحد على الطرق المتعددة والمتبعة للتعبير عن المكونات لكيان ما، وتوصلنا إلى أن مناقشة حالات الاتزان تتطلب اختصار عدد المكونات إلى أقل عدد ممكن. ويعتمد تحديد هذا العدد على طبيعة الأصناف المشاركة في الكيان. فلو احتوى كيان ما إلى جانب الأوليفين على أورثوبيروكسين الذى يتكون من نفس مكونات الأوليفين الأربعة وهى المغنسيوم، الحديد، السليكون والأكسجين، فإن حالة الاتزان في كيان مثل هذا لا يمكن مناقشتها باستعمال مكونات الأوليفين فقط، وإنما يجب مراعاة الاختلاف في نسب ارتباط كل منهم بالآخر والمتمثل في الصيغة العامة لمعادن الأورثوبيروكسين التالية  $XSiO_3$ . وكما نلاحظ، فإن نسبة Si : X هنا تساوى 1:1 فى حين تساوى 1:2 فى صيغة الأوليفين. لذا تتطلب مناقشة أى كيان يحتوى على البيروكسين إلى جانب الأوليفين استعمال ثلاثة مكونات بدلا من مكونين كما يلى:

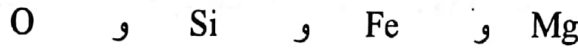


وكذلك



فهوية المكونات تعتبر هنا أقل أهمية من عددها. ويسمى مثل هذا الكيان الذى تتطلب مناقشته استعمال ثلاثة مكونات للتعبير عن جميع التراكيب المشاركة فيه "كيانا ثلاثيا ternary system".

هناك حالات تتطلب مناقشتها اللجوء إلى أربعة مكونات كما هو الحال بالنسبة للنيازك التى تحتوى إلى جانب الأوليفين على سبيكة حديد (حديد فلزى metallic iron). ونظرا لوجود صنف من الأصناف الداخلة فى تكوين الكيان غير مرتبط بالأكسجين، وهو الحديد الفلزى لسبيكة الحديد، فإننا نلجأ إلى استعمال شكل المكونات التالى:



وذلك لمراعاة جميع التراكيب الممكنة تكونها فى حالة الاتزان، ويسمى هذا الكيان "كيانا رباعيا quaternary system".

## الاتزان Equilibrium

تهتم المناقشات التى تتم على المواد الجيولوجية بالتمييز بين نوعين من أنواع الاتزان

هما:

- الاتزان الحرارى thermal equilibrium
- الاتزان الكيميائى chemical equilibrium.

### الاتزان الحرارى

ويقصد به تساوى درجات الحرارة فى جميع أجزاء الكيان. فلو اجتوى كيان ما على جزئين (أ) و (ب)، فإن كمية الحرارة السارية من الجزء (أ) إلى الجزء (ب)، فى حالة الاتزان، تساوى تماما تلك السارية من الجزء (ب) إلى الجزء (أ).

### الاتزان الكيميائي

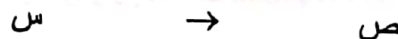
ويعنى أن انتشار المكونات بين الأصناف المختلفة لأى كيان، فى حالة اتزان، يشكل قيمة ثابتة، أى ينعدم ظهور أى تغير فى تركيب الأصناف مع مرور الوقت. ولا يعنى ذلك بأى حال من الأحوال توقف تبادل المكونات بين الأصناف. فالاتزان عملية ديناميكية، فلا يتوقف تبادل المكونات بين الأوليفين العالق فى وعاء الصهير والصحارة المحيطة به، والتي يوجد معها فى حالة اتزان، تماما، إنما يستمر هذا التبادل مع الإبقاء على تركيبهما فى حالة مستقرة. أما لو تعرض الكيان لارتفاع فى درجة حرارته إلى مستوى درجة انصهار بلورات الأوليفين فإن ذلك قد يقود إلى حدوث انتقال للمكونات عبر حدود الصنف بلورة – صحارة، وننتقل بذلك إلى حالة من حالات عدم الاتزان disequilibrium state. تقود حالات اختلال الاتزان عادة إلى حالات اتزان جديدة يتوقف عندها التغير فى التركيب الكيميائي.

### ثابت الاتزان Equilibrium constant

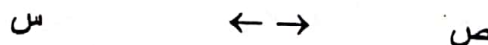
سبق وأن وضعنا، أن التفاعلات الكيميائية قد تغير من اتجاهها. وذلك تبعا للتغير فى طاقة الكيان الكلية. فتفاعل مادة جامدة مع محلول ما يمكن أن يسير فى اتجاه ذوبان المادة الجامدة فى المحلول كما يلى:



أو يحدث العكس، كما هو حال المحاليل المشبعة. أو فوق المشبعة التى ينتج عنها ترسيب لبعض من المواد الذائبة بها ويصبح سير التفاعل كما يلى:

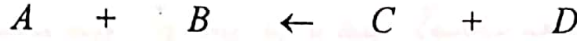


أما فى الحالة المتزنة فإن عملية الإذابة والترسيب تسير بنفس المعدل، أى إن كمية المواد الجامدة المستمرة فى الذوبان فى المحلول تتساوى مع كمية الأجزاء الدائمة الترسيب منه وتصبح بالتالى صيغة التفاعل كما يلى:





أى لا يحدث فى حالة الاتزان على مدى سريان التفاعل بين ص و س أى تغير فى كمية المواد المكونة لطرفى المعادلة. ويعبر عن ذلك عادة بوساطة ثابت الاتزان الذى يرمز له بالرمز  $K$ . فلو استعرضنا تفاعلا ما مثل:



فإن ثابت الاتزان لهذا التفاعل يساوى:

$$K = a_C \times a_D / a_A \times a_B \quad (8-3)$$

تعنى "a" نشاط activity المكون المعنى. وتمثل القيمة "K" قيمة ثابتة للتفاعل المطروح قيد الدراسة فى درجة حرارة ثابتة. تحدد هذه القيمة مرحلة معينة من مسار التفاعل بين  $A + B$  و  $C + D$  التى يتوقف فيها التفاعل عندما يصل إلى حالة الاتزان. لو تعرض الكيان فى أحد أطرافه لتغير فى أحد مكوناته، فإن هذا التغير تعاد معادلته باستمرار التفاعل فى أحد الاتجاهين حتى الوصول إلى حالة اتزان جديدة. فلو قمنا مثلا بإضافة مكونات من  $A$  إلى المحلول المتزن (أى زيادة  $a_A$ ) لقاد هذا إلى تجدد التفاعل بين  $A$  و  $B$  الأمر الذى ينجم عنه انخفاض فى قيمة  $a_B$  (وذلك لاستهلاك الكمية المضافة من  $A$ ) وزيادة فى  $a_C$  لتعود النسبة  $a_C \times a_D / a_A \times a_B$  إلى قيمتها السابقة قبل حدوث هذا التغير.

تتغير قيمة ثابت الاتزان  $K$  بتغير درجة حرارة التفاعل، فلو تعرض كيان متزن لتغير فى درجة حرارته، فإن ذلك غالبا ما يقود إلى إخلال بحالة الاتزان فى هذا الكيان وتغير قيمة ثابت الاتزان  $K$  فى اتجاه حالة الإنثالبية الأعلى. فتزيد ذوبانية الأملاح ( $\text{BaSO}_4$ ,  $\text{NaCl}$ )، والتى تصبح قيم ( $\Delta H$ ) لها موجبة بارتفاع درجة الحرارة، (لأن تفاعلاتها مع المحاليل تكون مصحوبة دائما بامتصاص حرارى endothermic)، ويقود ذلك إلى ارتفاع فى قيمة ثابت الاتزان  $K$ . مثال آخر: أظهرت الدراسات على منطقة أتلانتس 2 (Atlantis II) فى قاع البحر الأحمر ثراء هذه المنطقة ببعض الخامات الكبريتيدية الاقتصادية التى يعود مصدرها إلى مياه ساخنة (300-400 °م) منخفضة الحمضية قادمة من أسفل قاع البحر. حيث تقوم هذه المياه بترسيب مكوناتها من المواد الذائبة بمجرد ملامستها لمياه البحر الباردة وانخفاض درجة حرارتها.

لا تنطبق هذه الظاهرة على كل المواد الجامدة القابلة للذوبان في المحاليل، فهناك مواد جامدة تظهر ذوبانيتها علاقة عكسية مع درجة الحرارة، فنجد مثلاً أن الأنهيدريت (كبريتات الكالسيوم  $\text{CaSO}_4$ ) والكالسيت (كربونات الكالسيوم  $\text{CaCO}_3$ ) يترسبان من مياه البحر، الذائب مكوناتهما به، بارتفاع درجة الحرارة.

### قاعدة الصنف — ف Phase rule

تعالج قاعدة الصنف، التي قام جيبس (Gibbs) بوضع أسسها عام 1875، عدد الأصناف الممكن وجودها إلى جانب بعضها البعض في الكيانات المتزنة. وتتمثل هذه الدراسة في تصميم وتفسير مخططات الصنف phase diagrams تبعاً لمتغيرات variables من أهمها الحرارة، والضغط، وعدد المكونات المشاركة في تركيب الأصناف. فلو رمزنا لعدد الأصناف في كيان ما بالرمز  $O$  ولعدد المكونات بالرمز  $C$  فإن درجة الحرية degree of freedom (أي عدد المتغيرات حرة التغير والتي يخل تغيرها بحالة الاتزان) سوف تساوى:

$$O + F = C + 2$$

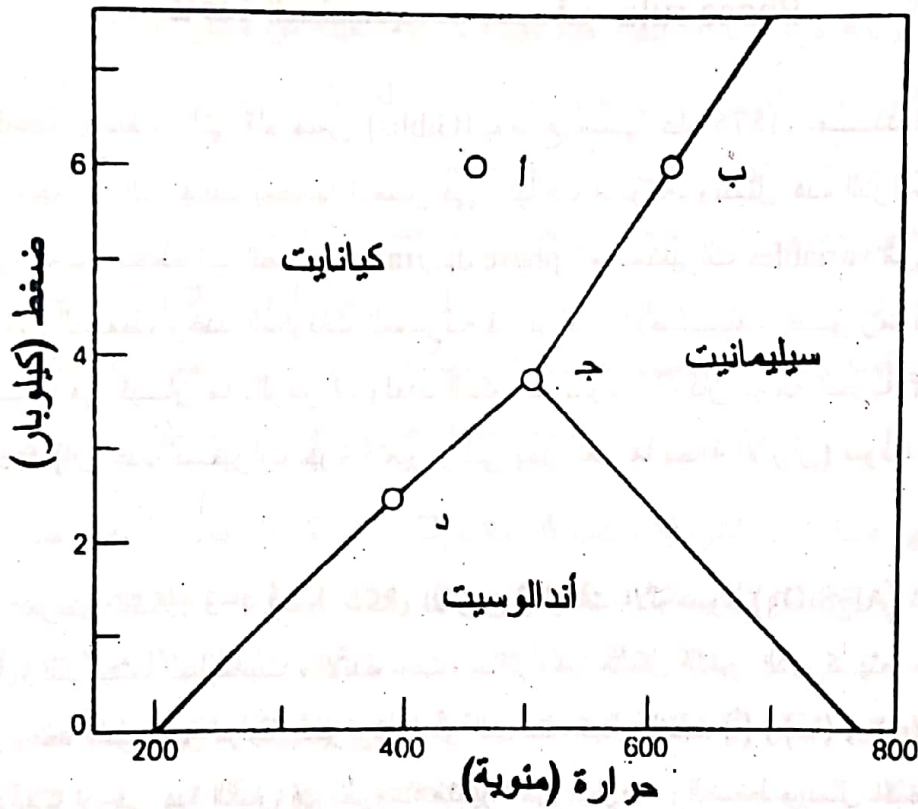
يعرض الشكل 3-4 أبسط أشكال الاتزان لسليكات الألومنيوم ( $\text{Al}_2\text{SiO}_5$ ) المتعددة الأشكال، الكيانيت، السليمانيت والأندلوسيت. يناقش هذا الشكل التغير الذي قد يتعرض له متكون واحد فقط بتغير درجة الحرارة و/أو الضغط. تمثل النقاط (أ) و (ب) و (ج) ثلاث حالات للاتزان في هذا الكيان في ظروف متغيرة من الحرارة والضغط ويتمثل الاختلاف بين هذه الحالات الثلاث في طبيعة المجموعة المتزنة كما يلي:

- تقع الحالة الأولى والممثلة في (أ) داخل حقل يسود فيه صنف واحد فقط هو الكيانيت المستقر في ظروف من الحرارة  $T$  والضغط  $P$  محددة في إطار هذا الحقل.
- أما الحالة الثانية والممثلة في (ب) فتقع على حد الصنف بين الكيانيت والسليمانيت.

▪ فى حين تمثل (جـ) الحالة الثالثة التى يمكن أن توجد فيها الأشكال الثلاثة لسليكات الألومنيوم إلى جانب بعضها البعض فى اتزان تام. تسمى النقطة (جـ) النقطة الثلاثية triple point.

من الواضح أن تجمع الأشكال الثلاثة لسليكات الألومنيوم فى كيان ما لا يمكن أن يتم إلا فى حالة فيزيقية محددة ودقيقة. ويتضح ذلك جليا من عدد درجات الحرية، والتى تساوى صفرا حيث:

$$F = 1 + 2 - 3 = 0$$



شكل 3-4 العلاقة بين الأصناف المختلفة لمعادن سليكات الألومنيوم ( $Al_2SiO_5$ ).

عن: جيل (Gill 1989)

وتعنى  $F = 0$  أن الكيان، الذى يشمل ثلاثة أصناف وعدد المكونات به  $= 1$ ، لا يتقبل أى تغيير فى حالته invariant. ويعنى هذا أنه ليس هناك أى مجال لتقبل الكيان لأى تغيير فى



حالته مع المحافظة على اتزانها. ويقود أى تغيير يمكن أن يتعرض له الكيان سواء فى درجات الحرارة أو الضغط أو المكونات إلى اختفاء واحد أو أكثر من الأصناف المتزنة. لذلك، فإنه من النادر جدا العثور على صخر يحتوى على الأشكال الثلاثة لسليكات الألومنيوم، وذلك لانهيار إمكانية وجودها على حالة محدودة جدا من الظروف الفيزيائية، الأمر الذى يندر توافره فى الطبيعة. ويعنى تجمع الأصناف الثلاثة فى صخر متحول مؤشرا يحدد بكل دقة الظروف الفيزيائية التى تم فيها تبلور مكونات الصخر من المعادن.

يعطى وجود صنفين فقط فى صخر ما، وليكن مثلاً كيانيت وأندلوسيت (الحالة الممثلة فى (د) شكل 3-4) أو كيانيت وسليمانيت (الحالة الممثلة فى (ب) شكل 3-4) معلومات أقل دقة عن الظروف الفيزيائية التى تم فيها التبلور، حيث يشير هذا الوجود المزدوج إلى أن الحالة الفيزيائية التى تم فيها التبلور تقع فى مكان ما على طول حد الصنف بين الكيانيت والسليمانيت، لكن أين بالضبط فهذا ليس واضحاً. وبإمكاننا التعرف على الحالة الفيزيائية الدقيقة لتبلور الصخر لو تمكنا من معرفة أحد إحداثيات (ب) ( $T$  أو  $P$ ). تساوى درجة الحرية للحالة الممثلة فى (ب) واحد حيث:

$$F = 1 + 2 - 2 = 1$$

أى إن الكيان أحادى التغير univariant حيث إن عدد الأصناف = 2 (كيانيت + سليمانيت) وعدد المكونات = 1 ( $\text{Al}_2\text{SiO}_5$ ). تعنى درجة حرية = 1 أن الكيان غير مقيد فى اتجاه واحد فقط ويحدد مساره حد الصنف الذى هو فى هذه الحالة الحد الفاصل بين الكيانيت والسليمانيت.

يقترح الاحتمال الممثل فى (أ) حالة يحتوى فيها الكيان على صنف واحد من الأشكال الثلاثة لسليكات الألومنيوم، وتساوى درجة الحرية لهذه الحالة 2 وذلك كما يلى:

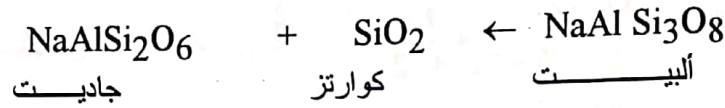
$$F = 1 + 2 - 1 = 2$$

أى إن الكيان ثنائى التغير bivariant حيث إن عدد الأصناف هنا = 1 فقط (كيانيت) ويساوى عدد المكونات 1 ( $\text{Al}_2\text{SiO}_5$ )، وبالتالي يمكن أن تتغير قيم كل من ( $T$  و  $P$ ) كل

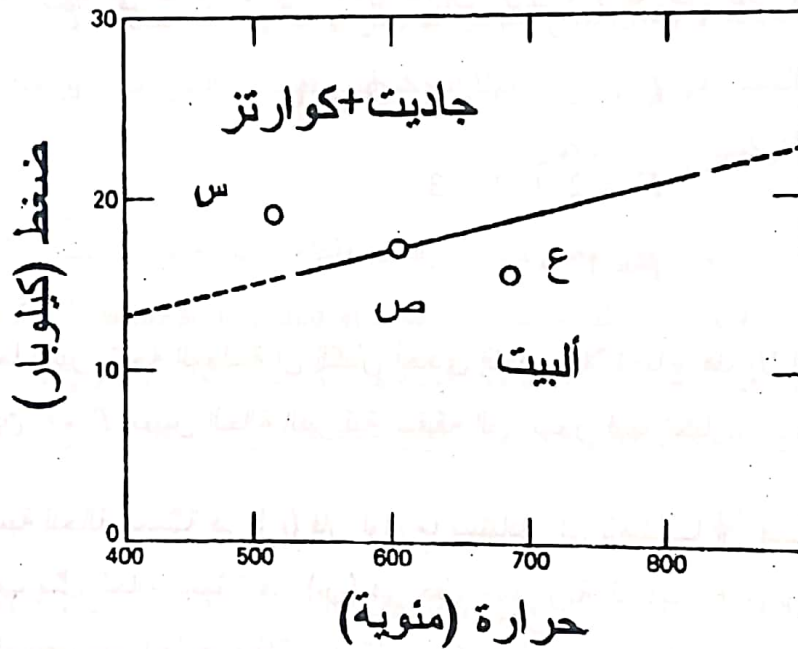
على حدة دون الإخلال بحالة الاتزان. تعتبر هذه الحالة أقل الحالات فائدة في تحديد الظروف الفيزيائية التي تبلور فيها الكيان لأنها لا تحد من تغير قيمة المتغيرات  $(T, P)$  في اتجاه ما.

يتضح لنا مما سبق أن الحد الأقصى من الأصناف يمكن تحقيقه عندما تكون درجة الحرية في أدنى مستوى لها، وذلك بتثبيت درجة الحرارة والضغط. ولا تزيد درجة الحرية للكيانات المتكونة من مكون واحد فقط عن 2 (الحالة (أ) بالشكل 3-4). أما بالنسبة للكيانات الأكثر تعقيداً، أى تلك التى تتكون فيها الأصناف من العديد من المكونات فإنها تتميز بقيم أعلى لدرجات الحرية. يتم تحديد عدد المكونات  $(C)$  من واقع تركيب الأصناف فى الكيان وكذلك من التفاعلات المتوقعة حدوثها فيه. وتتطلب مناقشة الكيانات التى يدخل فى تركيب أصنافها أكثر من مكون واحد اختصار عدد المكونات إلى أقل عدد يمكن أن يعبر عن جميع التغيرات التى يحتمل أن تطرأ على تركيب جميع الأصناف. فعدد المكونات لكيان يشمل الأنهدريت والجبس والماء هو اثنان فقط هما  $H_2O$  و  $CaSO_4$ . حيث بالإمكان التعبير عن تركيب الأصناف الثلاثة التى يتكون منها الكيان من واقع هذين المكونين.

تمثل أكاسيد السليكون والألومنيوم والبوتاسيوم وغيرها من العناصر الأخرى، التى تدخل بشكل رئيس فى تركيب الصخور النارية، المكونات المختارة لمناقشة اتزان مكونات الصخور النارية والمتحولة. فيحتوى صخر مثل النيفيلين سيانيت، الذى يتكون من نيفيلين وأورثوكلاز وألبيت و مسكوفيت وكوردوم، على خمسة مكونات هى:  $H_2O, K_2O, Na_2O, Al_2O_3, SiO_2$  ويمكن احتساب نفس هذه المكونات لصخر آخر مثل الناييس مثلاً، الذى يتكون من كوارتز وأورثوكلاز وألبيت ومسكوفيت وكيانيت. وكمثال لكيان يتكون من أكثر من مكون واحد، نستعرض مخطط الصنف للجاديت والكوارتز والألبيت (شكل 3-5)، حيث يتكون كل من معدنى الجاديت (معدن من مجموعة البيروكسين يقع تركيبه بين النيفيلين والألبيت) والألبيت من سليكات الألومنيوم والصوديوم. هنا لا يمثل الخط الفاصل بين حقل استقرارية الجاديت + كوارتز والألبيت حداً بين أشكال مختلفة لنفس المكون وإنما حداً يفصل بين حالة تفاعل أو اتزان لأصناف مختلفة التركيب حيث:



لذا يطلق على هذا الحد حد التفاعل reaction boundary أو كذلك حد الاتزان equilibrium boundary. وهو يمثل عتبة الحرارة والضغط P-T threshold، والتي بتخطيها يحدث التفاعل، أو يسمى كذلك بالحد أحادي التغير الذي على امتداده تسود حالة الاتزان. ويمكن تمثيل جميع أصناف الكيان من واقع مكونين فقط هما  $\text{SiO}_2$  و  $\text{NaAlSi}_2\text{O}_6$  وبتطبيق قاعدة الصنف على الاحتمالات الثلاثة (س) و (ص) و (ع) (شكل 3-5) نتوصل إلى ما يلي:



شكل 3-5 منحنى الحرارة (T) والضغط (P) يبين حدود التفاعل المعينة معمليا (الخط المتصل) للتفاعل:  
 جاديت (jadite) + كوارتز (quartz) ← ألبيت (albite).  
 عن: جيل (Gill 1989)

- تمثل الحالة (س) والتي تقع في حقل استقرارية الجاديت + كوارتز حالة ذات متغيرين (bivariant) كمثال الحالة (أ) الذي سبق التعرف عليها في شكل 3-4 ويعبر عنها كما يلي:



$$O = 2 \quad \text{و} \quad C = 2$$

$$2 - F = 2 + 2$$

$$F = 2$$

أى إن الكيان ثنائى التغير

- تمثل الحالة (ص) والتي تقع على حد الاتزان ح الكيان توجد فيها الأنواع الثلاثة من المعادن إلى جانب بعضها البعض فى حالة اتزان. وبتطبيق قاعدة الصنف على هذه الحالة نجد أنها تمثل حالة أحادية التغير تتجمع فيها الأصناف الثلاثة من المعادن المكونة للكيان وليس كما رأينا فى الحالة الثلاثية للمثال السابق اتزان لا يقبل أى تغيير فى حالته:

$$C = 2 \quad \text{و} \quad O = 1$$

$$F = 2 + 2 - 3$$

$$F = 1$$

وإنما كما تشير نتيجة المعادلة أن الكيان أحادى التغير. فلا نحتاج هنا إلا إلى تحديد أحد المتغيرين  $P$  و  $T$  لتعيين الحالة الفيزيائية الدقيقة التى تبلور فيها الكيان.

- بالنسبة للحالة الممثلة فى (ع) فإن أول ما سيتبادر إلى ذهننا أن هذه الحالة ثنائية المتغيرات مثل الحالة الممثلة فى (س) فى حقل استقرارية الجاديت + كوارتز، لكن بتطبيقنا لقاعدة الصنف نجد أنها حالة ثلاثية المتغيرات trivalent condition.

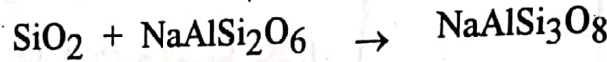
$$C = 2 \quad \text{و} \quad O = 1$$

$$F + 1 = 2 + 2$$

$$F = 3$$

أى إن الكيان ثلاثى المتغيرات، وهذا يعنى أن تعريف حالة لكيان ما ممثلة فى حقل استقرارية الألبيت يتطلب تحديد قيم ثلاثة متغيرات، منها متغيرا الحرارة والضغط، أما

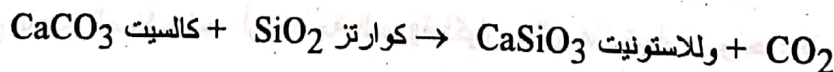
المتغير الثالث فإنه يتمثل في طبيعة نواتج تفاعل مكونات الكيان حيث يتكون الألبيت من تفاعل الكوارتز والجاديت كما يلي:



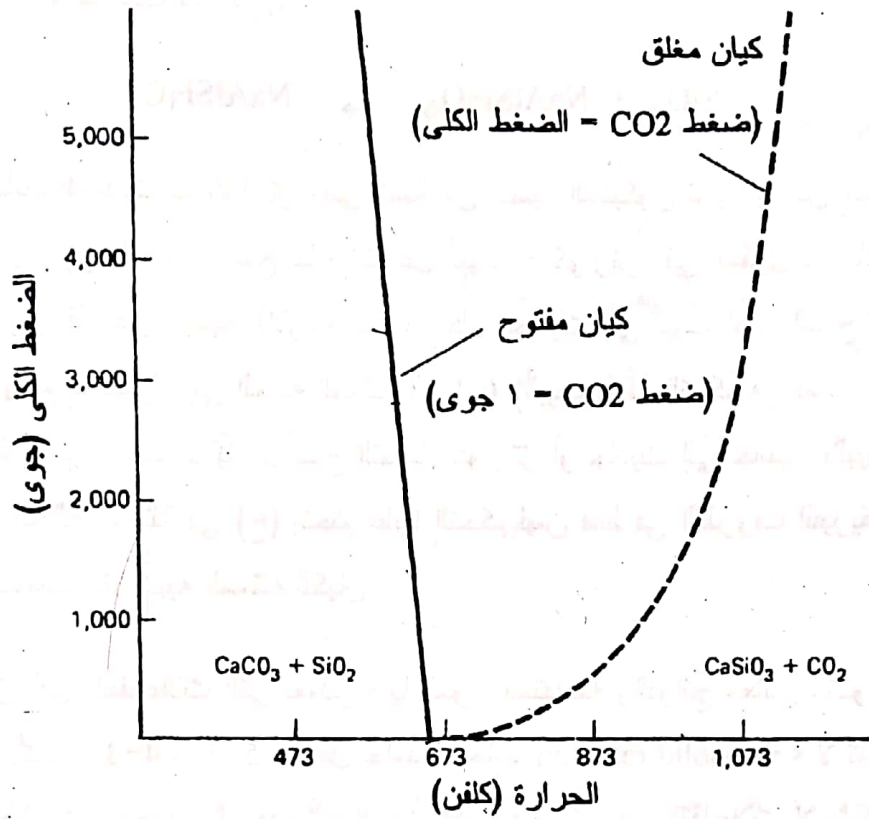
لو احتوى خليط الجاديت - كوارتز على كمية من أكسيد السليكون تزيد عن ما يحتاج الجاديت ليتحول إلى ألبيت لأصبح نتاج التفاعل ألبيت + كوارتز. في المقابل لو كانت نسبة أكسيد السليكون تقل عن الكمية اللازمة لتحويل كل الجاديت إلى ألبيت لكان الناتج ألبيت + جاديت. إذا يلزم للوصول إلى الحالة الممثلة في (ع) (ألبيت فقط) التحكم في نسب كل من الجاديت والكوارتز بحيث لا يشمل نتاج التفاعل كوارتز أو جاديت إلى جانب الألبيت. بمعنى آخر لتحقيق الحالة الممثلة في (ع) يتحتم علينا التحكم ليس فقط في الظروف الفيزيائية وإنما كذلك في الصفات التركيبية الممثلة للكيان.

يطلق على التفاعلات التي تعطي فيها المواد المتفاعلة والنواتج معادن متبلورة كتلك المبينة في الأشكال 3-4 و 3-5 تفاعل جامد - جامد solid-solid reaction لا تشترك فيه أية مواد متطايرة. ووجود مثل هذه المواد من عدمه في مثل هذه التفاعلات لا يشكل عاملا ماديا يؤثر على حالة الاتزان النهائية لمثل هذه الكيانات، وإنما ينحصر تأثيرها في أنها قد تعجل من سير التفاعل في اتجاه حالة الاتزان.

نتعرف في الشكل 3-6 على نوع من التفاعلات الذي تسهم فيه المواد المتطايرة بدور جوهري. يعرض هذا الشكل التفاعلات المحتملة بين الكالسيت والكوارتز في ظروف متغيرة من الحرارة والضغط تتعرض أثناءه كربونات الكالسيوم لانتزاع لثاني أكسيد الكربون decarbonation في درجات الحرارة العالية كما هو مبين في معادلة التفاعل التالية:



في مثل هذه التفاعلات نجد أن لضغط غاز ثاني أكسيد الكربون  $P_{\text{CO}_2}$  تأثيرا قويا وفعالا على اتجاه سير الاتزان في الكيان فهو يشكل للكيانات المغلقة closed systems الضغط الكلي المؤثر على مسار التفاعل في الكيان.



شكل 3-6 حد الصنف الذى يفصل حقل استقرارية الكوارتز إلى جانب الكالسيت عن حقل استقرارية الولاستونيت، وذلك تبعا لتغير درجة الحرارة  $T$  وضغط ثانى أكسيد الكربون  $P_{\text{CO}_2}$ .  
معدل عن: كراوسكوف (Krauskopf 1979).

يساوى عدد الأصناف الممكن وجودها معا على طول حد الصنف (حد الاتزان) أربعة أصناف هي الكالسيت، الولاستونيت والكوارتز إضافة إلى ثانى أكسيد الكربون (الصنف الغازى) ويساوى عدد المكونات ثلاثة مكونات هي ( $\text{CaO}$  و  $\text{SiO}_2$ ،  $\text{CO}_2$ ).  
بتطبيق قاعدة الصنف نجد أن درجة الحرية لكيان مثل هذا تساوى واحدا فقط وذلك كما يلي:

$$F = 3 + 2 - 4 = 1$$



أى إن الكيان أحادى التغير . ويعنى ذلك أنه بإمكاننا التحكم فى تغيير درجة الحرارة أو الضغط على طول حد التفاعل مع الإبقاء على الأصناف الأربعة إلى جانب بعضها البعض دون الإخلال بحالة الاتزان.

تجسد أمثلة الاتزان المبينة فى الأشكال 3-4، 3-5 و 3-6 أمثلة جيدة للطرق المستعملة لتصميم مخططات الصنف، حيث يتم تعريض الكيان المطروح على بساط البحث، والمعروفة مكوناته، لمستويات مختارة من الحرارة والضغط يصل من خلالها لحالات مختلفة من الاتزان يجرى توقيعها على رسوم بيانية، توضح حدود الأصناف.

هناك العديد من المتغيرات الأخرى غير درجات الحرارة والضغط التى يمكن أن تلعب دورا فى تحديد مسار حالات الاتزان. من هذه المتغيرات: النفاذية والجهد الكيميائى (أو النشاط).

لا تنسى الدعاء والصلاه ع النبي ♥

## مراجع الباب الثالث

- Atkins, P.W. (1989) *Physical Chemistry*, 3rd ed. Oxford: Oxford University Press.
- Cox, K.G., Bell, J.d. and Pankhurst, R.J. (1979) *The Interpretation of Igneous Rocks*. London: George Allen & Unwin.
- Ernst, W.G. (1967) *Petrological Phase Equilibria*, San Francisco: W. H. Freeman.
- Gill, R. (1989) *Chemical Fundamentals of Geology*. London: Unwin Hyman.
- Krauskopf, K.B. (1979) *Introduction to Geochemistry*, 4th ed. International student ed. San Francisco: McGraw-Hill Kogakusha, Ltd.
- Powell, R. (1978) *Equilibrium Thermodynamics in Petrology: An Introduction*. London: Harper & Row.
- Robie R. A. and Waldbaum, D. R. (1968) Thermodynamic properties of minerals and related substances at 298.15 °K and one atmosphere pressure and at higher temperatures, *U. S. Geol. Survey Bull.*, 1592.

# لا تنسي الدعاء والصلاه ع النبي ♥

## الباب الرابع

### كيمياء البلّورات

♦ طبيعة المواد الجامدة

\* قوى الربط \* أنصاف الأقطار

♦ البنية البلورية

\* التشابه الشكلي \* التعدد الشكلي \* الإحلال الذري و المحلول الجامد



تهتم دراسة كيمياء البلورات بالعلاقات بين هندسة بنائية المواد الجامدة وتركيبها الكيميائي. في هذا الفصل سوف نتعامل مع معادن يتميز بعضها بعلاقة بلورية كيميائية بسيطة ومعادن أخرى تظهر علاقات أكثر تعقيدا. وبدراسة الخصائص الكيميائية والبلورية لهذه المعادن نستطيع تحديد الظروف التي تكونت فيها والعمليات التي ساعدت في ذلك. ولقد ساعد استخدام الأشعة السينية في تقدم مثل هذه الدراسات وحل الكثير من مشاكلها. فقد أمكن، عن طريق تفاعل البلورات مع هذه الأشعة، التوصل إلى التركيب الكيميائي والكيان البلوري للعديد من المعادن.

### طبيعة المواد الجامدة

عندما نفكر في المواد الجامدة فإن تفكيرنا عادة ما يستعرض بعض الخواص مثل الصلادة التي تميزها عن غيرها من المواد التي توجد على حالات أخرى، مثل المحاليل، والمواد المنصهرة، والغازات. لكن هناك تعريفاً أدق وأكثر منفعة من خاصية الصلادة، وهو أن المواد الجامدة هي مواد تظهر تناسقا بعيد المدى في التنظيم الذري والجزيئي. ويقال كذلك إنها توجد في حالة متبلورة؛ في حين تظهر المحاليل والمواد المنصهرة تناسقا قصير المدى (لا يشترك فيه إلا جزء بسيط من الذرات أو الجزيئات)، ولا تظهر المواد الغازية أي تناسق على الإطلاق. هناك بعض المواد الجامدة التي لا شكل لها (غير متبلورة) amorphous مثل الزجاج البركاني والأوبال opal. يعتبر هذا النوع من المواد الجامدة من الناحية الدينامية الحرارية غير مستقر، ومن الممكن تحوله بمجرد تغير الظروف الفيزيائية المحيطة إلى حالة متبلورة (مستقرة)

يبدأ تكون البلورة عادة بنشأة نواة من نفس المادة أو بإضافة مواد إلى نواة غريبة، وعادة ما يحدث ذلك عندما تنخفض درجة حرارة المواد المنصهرة في باطن الأرض، أو نتيجة لارتفاع تركيز المحاليل (مثل ترسب كربونات الكالسيوم من مياه البحر فوق المشبعة حول شذرات من الأصداغ). تكون الأنوية في بداية تكونها من الناحية الدينامية الحرارية غير مستقرة، وتزداد استقراريتها بنموها المستمر، وذلك تبعا لعلاقات الطاقة حيث تتميز الأنوية الصغيرة الحجم بطاقة سطحية كبيرة، وبالتالي استقرارية أقل. تنخفض الطاقة السطحية للبلورات بزيادة النمو، الذي يتم بإضافة وحدات جديدة من نفس التركيب (من الصهارة المتبردة أو المحاليل فوق المشبعة) إلى النواة. قد يتعرض البعض من البلورات لحالات من التشوه إذا كانت المحاليل تحت مشبعة، ويزيد هذا التشوه بالنمو المستمر للبلورة.

تتكون البلورات، على اختلاف طرق نشأتها، من تنظيم داخلي لمكوناتها حيث تنتظم الذرات والجزيئات في مستويات تبعا لنموذج تماثلي ينعكس على الشكل الخارجى. وبقياس المسافة بين هذه المستويات يمكن الوصول إلى حجم وشكل وحدة الخلية unit cell في البلورة. ولقد أمكن - بمساعدة الأشعة السينية، التي تمكنها طول موجة أشعتها من قياس المسافات المتناهية الصغر (حتى  $10^{-10}$  سم)، والتي لا يمكن قياسها بالطرق المباشرة - قياس هذه المسافات وبالتالي تحديد صفات المعادن.

## قوى الربط

تعتمد القوى التي تعمل على تماسك ذرات المواد الجامدة - وهي قوى كهربائية في طبيعتها - على بنيتها الإلكترونية، حيث تقوم إلكترونات الأغلفة الخارجية لهذه الذرات بمهمة الربط بينها. وهناك العديد من أنواع الروابط الشائعة في المعادن، التي سوف نقوم فيما يلي باستعراضها، ومن أهمها وأكثرها شيوعا الرابطين الأيونية والتساهمية.

### الرابطة الأيونية Ionic bond

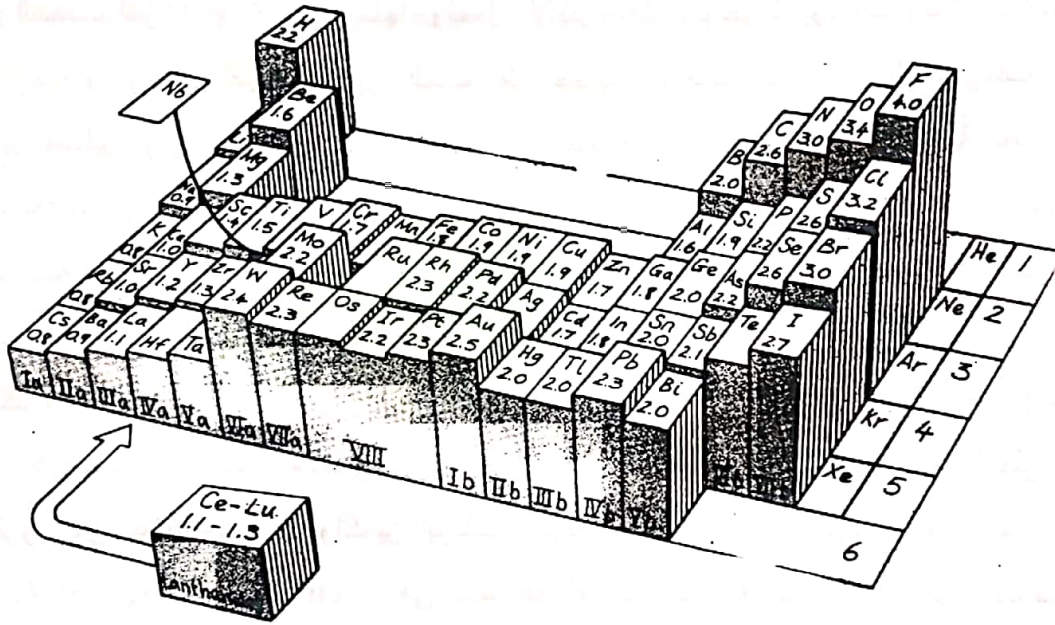
الرابطة الأيونية هي الرابطة التي تنشأ عن تجاذب نوعين من الأيونات تختلف شحناتها الكهربائية، وذلك نتيجة لانتقال إلكترون أو أكثر من ذرة إلى أخرى. وتعرف الطاقة

اللازمة لانتزاع إلكترون ما، من أغلفة الذرة الخارجية بطاقة أو جهد التأين (انظر الباب الأول). ويزداد جهد التأين في الجدول الدوري للعناصر من يسار الجدول إلى يمينه، حيث تتميز العناصر القلوية، التي توجد في أقصى يسار الجدول، بأدنى جهد تأين. وتنتقل الإلكترونات المنفصلة من الغلاف الخارجى لذرة ما إلى ذرات لعناصر أخرى تميل إلى استيعابها. يطلق على خاصية ميل ذرة ما لاستضافة إلكترونات في أغلفتها الخارجية بالآلفة الإلكترونية electron affinity. يعتمد مدى سهولة انتزاع إلكترونات أو إضافة إلكترونات من أو إلى ذرات عنصر ما على عدد من العوامل، من أهمها حجم الذرة وكبر شحنة نواتها. فإذا كانت شحنة النواة عالية فإنه من السهل إضافة إلكترونات إلى أغلفة الذرة الخارجية، ولكن من الصعب انتزاع أى إلكترون منها. وتعمل الإلكترونات الموجودة بين إلكترونات الأغلفة الخارجية والنواة في الذرات الكبيرة الحجم على حجب قوة جذب النواة لهذه الإلكترونات، لذا يسهل فصلها دون الحاجة إلى بذل طاقة عالية. يربط جهد التأين والآلفة الإلكترونية للعناصر المختلفة نصل إلى مقياس لقدرة الذرة على اجتذاب إلكترونات وإضافتها إلى أغلفتها الخارجية. وتعرف هذه القدرة بالسالبية الكهربائية electronegativity. تعبر السالبية الكهربائية عن الطاقة الاستيعابية للذرة، في الجزيئ أو البلورة، لإضافة إلكترونات إلى أغلفتها الإلكترونية، وتكون هذه الطاقة أدنى ما يمكن في مجموعة العناصر القلوية (شكل 4-1) حيث يميل كل عنصر من هذه العناصر، كغيره من معظم عناصر الجدول الدوري، إلى التخلي عن إلكترون من غلافه الخارجى وتكوين أيونات موجبة الكهربائية كاتيونات cations. العناصر السالبة الكهربائية electronegative هي مجموعة العناصر التي يقترب عدد الإلكترونات فى غلافها الخارجى من العدد ثمانية ومن أشهرها مجموعة الهالوجينات (المجموعة السادسة). يبين شكل 4-1 التغير المنتظم للسالبية الكهربائية فى الجدول الدورى الذى يتضح منه التزايد الشديد فى قيم السالبية الكهربائية من اليسار إلى اليمين والمعتدل من الأسفل إلى الأعلى (تظهر العناصر فى وسط الجدول تزايدا من أعلى الجدول إلى أسفله) وكقاعدة عامة فإنه يمكن القول إن قيمة السالبية الكهربائية للفلزات لا يمكن أن تزيد عن 2 فى حين تصل فى اللافلزات إلى أعلى من 2.5.

يمثل كلوريد الصوديوم (الهاليت) أحد المعادن التى تسود بين مكوناتها الرابطة الأيونية. حيث يتكون هذا المعدن من عنصرين يختلفان اختلافا ملحوظا فى سالبتهما



الكهربية، وهذان العنصران هما الصوديوم (Na) والكلور (Cl). ففي حين تساوى السالبية الكهربائية لعنصر الصوديوم 0.9، فهي تساوى لعنصر الكلور 3.2. يميل الصوديوم بسبب طاقة تأينه المنخفضة إلى فقدان إلكترون من غلافه الخارجى مكونا كاتيون الصوديوم ( $Na^+$ ) فى حين يميل الكلور الذى ينتظم فى غلافه الخارجى سبعة إلكترونات إلى استضافة هذا الإلكترون مكونا أنيون الكلوريد ( $Cl^-$ ) مكملًا بذلك عدد الإلكترونات فى غلافه الخارجى إلى ثمانية إلكترونات. يحدث بعد ذلك تجاذب كهربى بين أيونى الصوديوم والكلوريد ينتج عنه نشوء رابطة قوية تسمى بالرابطية الأيونية.



شكل 1=4 نموذج لقيم السالبية الكهربائية للعناصر (الرقم أسفل رمز العنصر مباشرة) حسب موقعها فى الجدول الدورى. تمثل الأرقام الرومانية أسفل الأعمدة أرقام المجموعات، والأرقام العربية (فى أقصى اليمين 1 - 6) الدورات. عن: جيل (Gill 1989).

تتميز المركبات المرتبطة بروابط أيونية ببعض الخواص العامة التى تميزها عن غيرها من المركبات المرتبطة بروابط أخرى نلخصها فيما يلى:

- 1- بما أن هذه المواد تتكون من أيونات موجبة وأخرى سالبة لذلك نجد أنها موصل جيد للتيار الكهربى وهى فى الحالة المنصهرة أو الذائبة وذلك لأن الأيونات فى هاتين الحالتين تكون حرة الحركة وتساعد على توصيل التيار الكهربى.
- 2- تتميز بدرجات انصهار وجليان مرتفعة.
- 3- تقبل الذوبان فى المذيبات ذات ثابت العزل dielectric constant العالى مثل الماء.

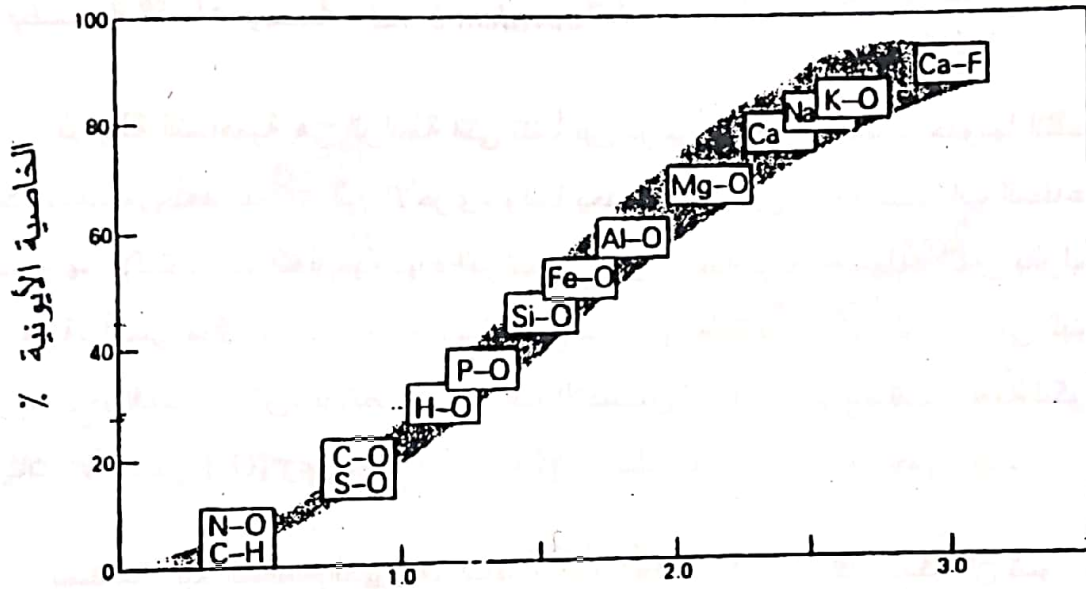
### الرابطـة التساهمية covalent bond

الرابطـة التساهمية هى الرابطـة التى تنشأ بين ذرتين، والتى لا يتطلب حدوثها انتقالاً للإلكترونات من أحد الذرات إلى الأخرى، وإنما يحدث تداخل بين أغلفة الذرات المتفاعلة، حيث تسهم الإلكترونات الخارجية لهذه الذرات فى خلق رابطـة قوية بينها تسمى بالرابطـة التساهمية. أحسن مثال لمركب يرتبط بهذا النوع من الروابط اتحاد ذرات الكربون فى البنية البلورية للجرافيت والماس. ترتبط كذلك ذرات الأكسجين والكلور بروابط تساهمية لتكوين جزيئات الأكسجين ( $O_2$ ) وجزيئات الكلور ( $Cl_2$ )، وهناك العديد من الأمثلة على ذلك.

باستعمال قيم السالبية الكهربائية، نستطيع التنبؤ بنوعية الرابطـة التى يمكن أن تسود بين ذرات المعادن المختلفة. فتميل الذرات التى يكون الفرق بين قيم سالبيتها الكهربائية كبيراً، إلى أن تسود بينهم روابط تكون فى معظمها أيونية، فى حين تميل الذرات المتشابهة فى سالبيتها الكهربائية إلى الارتباط بروابط تكون فى معظمها تساهمية (شكل 4-2)، أما لو كان الفرق فى السالبية الكهربائية ليس كافياً لخلق رابطـة أيونية بحتة؛ فإن الرابطـة يمكن أن تشمل النوعين معاً وتكون جزئياً أيونية وجزئياً تساهمية. نجد فى هذا النوع من الروابط أن إلكترونات العنصر ذى السالبية الكهربائية الأقل مزحزة ناحية الذرة ذات السالبية الكهربائية الأعلى، ولكنها تبقى فى نفس الوقت ملامسة لكلا الذرتين، لذلك نجد أن الذرة المزحزة ناحيتها الإلكترونات أكثر سالبية فى أحد أطرافها من الطرف الآخر. ويعتبر الماء أحسن مثال لذلك حيث تساوى السالبية الكهربائية للأكسجين 3.4 وتساوى للهيدروجين 2.2، أى إن هناك فرقاً بينهما يساوى 1.2، هنا لا تسمح ذرات الهيدروجين بانتقال إلكتروناتها الوحيد، الموجود فى غلافها الخارجى. لذلك، نجد أن ذرات الأكسجين تعمل على استقطاب ذرات الهيدروجين وحيدة

الإلكترون إلى أحد أطرافها وتنشأ بينهما رابطة قوية تجمع بين خاصتى الرابطة الأيونية والتساهمية معاً، وتشكل الرابطة الأيونية حوالى 28% فقط من مجموع الروابط.

تشكل الرابطة بين الأكسجين والسليكون أهمية خاصة فى جيوكيمياء المعادن والصخور. تجمع هذه الرابطة بين النوعين من الروابط، حيث يسهم كل منهما بنسب متساوية تقريباً (تشكل الرابطة الأيونية  $< 40\%$ ).



فرق السالبية الكهربية

شكل 2-4 العلاقة بين النسبة المئوية للخاصية الأيونية والفرق فى السالبية الكهربية لبعض المركبات. عن: جيل (Gill 1989).

من العناصر الأخرى المهمة التى تدخل - إلى جانب السليكون - فى تكوين المعادن السليكاتية الألومنيوم، المغنسيوم، الكالسيوم، الصوديوم والبوتاسيوم. تشكل الرابطة الأيونية حوالى 60% من الروابط بين الألومنيوم والأكسجين و 65% بين المغنسيوم والأكسجين و 75% بين الأكسجين وكل من الصوديوم والبوتاسيوم (شكل 2-4). من ذلك يتضح لنا أن حوالى 60% من مجموع الروابط السائدة فى المعادن السليكاتية أيونية فى طبيعتها، وتشكل الرابطة التساهمية الـ 40% المتبقية. ولهذا، نجد أن المعادن السليكاتية تجمع بين خواص المركبات الأيونية والتساهمية معاً، فهى تتميز بدرجات انصهار وغليان مرتفعة، وهذه صفة



من صفات المركبات الأيونية، ومن ناحية أخرى فهي لا تذوب، بسهولة، فى المذيبات ذات ثابت العزل العالى، وعندما تتصهر لا توصل التيار الكهربى، وهذه خاصة تتميز بها المركبات التساهمية.

يعطى معدن الكالسيت ( $\text{CaCO}_3$ ) أحد الأمثلة المهمة للمعادن التى ترتبط بالنوعين معا. فالرابطة بين الكالسيوم وأكسجين جزىء الكربونات ( $\text{CO}_3^{2-}$ ) هى أساسا أيونية، فى حين تسود بين الكربون والأكسجين الرابطة التساهمية. ويتضح لنا ذلك جليا عندما يتعرض معدن الكالسيت للذوبان فى المذيبات ذات ثابت العزل العالى (الماء)، حيث تتحطم الرابطة بين كاتيون الكالسيوم وأكسجين أنيون الكربونات، فى حين لا تتأثر الرابطة بين الكربون والأكسجين بسبب طبيعتها التساهمية. من ناحية أخرى لو تعرض معدن الكالسيت للتسخين حتى درجات حرارة عالية ( $900^\circ\text{M}$ ) فإن رابطة الكربونات تبدأ فى التحطم وينتج عن ذلك غاز ثانى أكسيد الكربون.

#### رابطة فان دير فال *van der Waals bond*

رابطة فان دير فال نوع خاص من الرابطة الأيونية. فتتم الرابطة الأيونية، كما سبق أن ذكرنا، بين أيونات مشحونة شحنات متضادة تربطها بعضها ببعض الجاذبية الكهربائية. وتتم رابطة فان دير فال بين جزيئات متعادلة كهربيا. ولكن بالرغم من هذا التعادل الكهربى، فإن تكوينها يجعلها سالبة الكهربائية فى أحد أطرافها وموجبة الشحنة فى الطرف الآخر. وغالبا ما يوجد مثل هذا النوع من الروابط إلى جانب الروابط التساهمية، كما هو الحال فى معدن الجرافيت الذى ترتبط فيه ذرات الكربون بروابط تساهمية مكونة صفائح رقيقة تحمل شحنات ضعيفة على أسطحها الخارجية تعمل على ربط هذه الصفائح بعضها ببعض برابطة شبه أيونية تسمى رابطة فان دير فال. ونظرا لضعف هذه الرابطة، فإنه من السهل فصل صفائح الجرافيت عن بعضها البعض، حيث تقدر قوة الربط لهذا النوع من الروابط بحوالى 0.01 من قوة الرابطة الأيونية أو التساهمية. ويعد هذا النوع من الروابط المسؤول عن تماسك ذرات الغازات. الخاملة عند تكثفها وتحولها فى درجات الحرارة المنخفضة إلى الحالة الجامدة.

## الرابط الفلزية *Metallic bond*

يظهر هذا النوع من الروابط بين الفلزات وفي بعض السبائك الفلزية. تعدد الرابطة الفلزية نوعاً خاصاً من الرابطة التساهمية. فكل ذرة تشارك الذرات المجاورة لها في إلكتروناتها، حيث تترك الإلكترونات الأغلفة الخارجية للذرات أماكنها وتصبح حرة الحركة؛ يمكن تصور الذرات بعد ذلك كأيونات موجبة الشحنة مغمورة في بحر من الإلكترونات.

وفي حالة مشاركة أكثر من نوع واحد من الذرات وظهور أنواع متعددة من الروابط، تساهمية و/أو أيونية إلى جانب الرابطة الفلزية، فإن الإلكترونات لن يكون لديها الحرية الكاملة في التحرك، وإنما يصبح تحركها محدوداً.

ترتبط المعادن الكبريتيدية بروابط تميل لأن تكون خليطاً من الروابط الأيونية والتساهمية والفلزية. فتسود الرابطة الفلزية بين ذرات الفلزات، في حين تكون الرابطة بين الفلز والكبريت أيونية، وتساهمية وبين ذرات الكبريت.

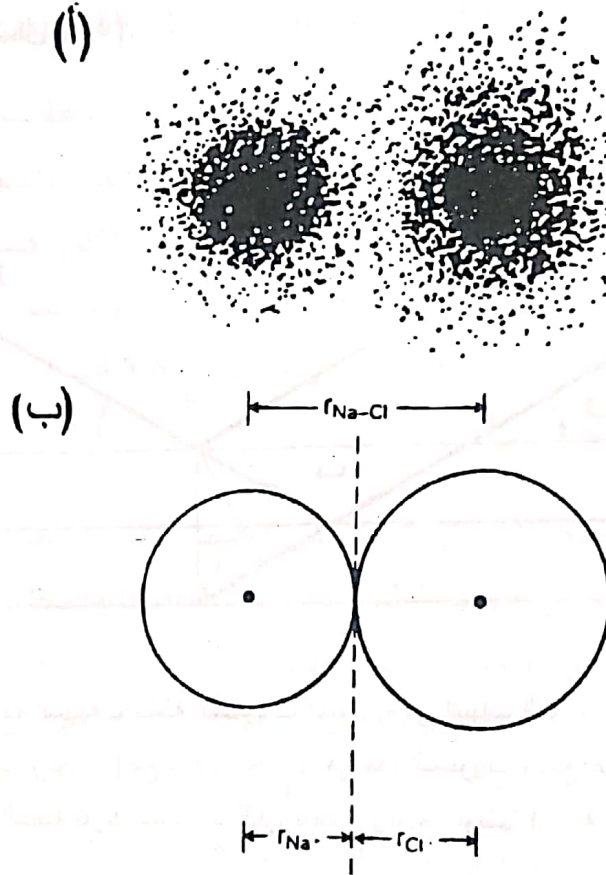
يطلق على المركبات التي ترتبط بأكثر من نوع واحد من الروابط بالمركبات غير متجانسة الروابط heterodesmic، وتلك التي يسود فيها نوع واحد من الروابط بالمركبات متجانسة الروابط homodesmic. تتحدد الخواص الفيزيائية للمركبات غير متجانسة الروابط مثل الصلادة وقوة التحمل الميكانيكي ودرجة الانصهار بوساطة الرابطة الضعيفة، وذلك لأنها تكون أول الروابط تأثراً بالقوى الخارجية.

## أنصاف الأقطار

لشرح تنظيم الذرات في الأنسجة البلورية للمعادن، فإنه يجب أولاً التعرف عن قرب على الأحجام النسبية للذرات المشاركة في تكوين هذه الأنسجة والعوامل التي تؤثر على هذه الأحجام.

يرتبط حجم الذرة لأي عنصر ببنيته الإلكترونية. ولا يمكن عملياً تحديد طول نصف القطر لعنصر ما وهو في الحالة الذرية. ويرجع ذلك إلى الحدود غير الواضحة المعالم للذرة

(شكل 4-3)، حيث يصعب وضع تعريف دقيق لنصف القطر. غير أنه أمكن، ولحسن الحظ، استنتاج أنصاف الأقطار النسبية من قياس طول الرابطة bond length لأى أيونين متحدين أيونيا. فلو حدث وأن تلاقى أيونان مختلفا الشحنة ونشأت بينهما رابطة أيونية، فإن المسافة من مركز أحدهما إلى مركز الأيون الآخر تسمى بطول الرابطة (شكل 4-3ب). فيمكن



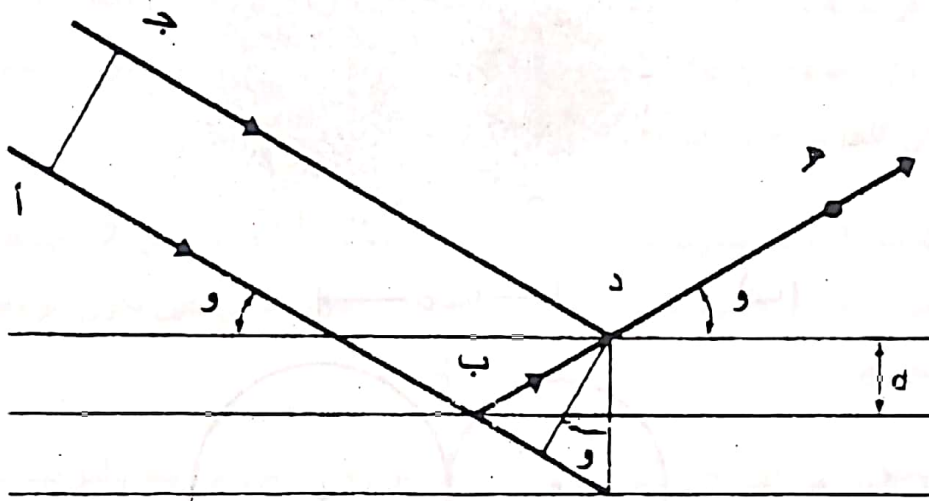
شكل 4-3 طول الرابطة  $Cl-Na$  وأنصاف الأقطار الأيونية لكل من الصوديوم والكلور. يلاحظ من الشكل: - الانتشار غير المنتظم للإلكترونات الخارجية لأيونى الصوديوم والكلور.

- الغلاف الخارجى التقريبى للأيونين المشار إليهما وطريقة اتصالهما وطول الرابطة بينهما. عن: جيل (Gill 1989)

تصور الأيونات المرتبطة أيونيا فى أشكال بيضية تتلامس أغلفة إلكتروناتها الخارجية بعض الشيء، وتنتظم مع بعضها البعض بحيث تصبح قوى الربط بينهما متعادلة تماما مع قوى التنافر بين أنويتها الموجبة الشحنة. ولقد أمكن قياس طول الرابطة هذا بكل دقة بواسطة



الأشعة السينية. تتعرض الأشعة السينية، لو وضع في مسارها بلورة ما، للحيود diffraction، وذلك نتيجة لتفاعلها مع أغلفة الإلكترونات المتعددة للعناصر الداخلة في تكوين هذه البلورة. يتجمع بعض هذه الأشعة ثانية، في تداخل بنائى constructive interference، فى شكل حزمة أشعة منعطفة أو محادة تترك البلورة بزاوية مساوية لنفس زاوية سقوطها على السطح. يحدث هذا الحيود بالنسبة لكل الأيونات الموجودة فى مستويات الشبكية lattice planes المتوازية للبلورة. (شكل 4-4).



شكل 4-4 حيود الأشعة السينية بواسطة المستويات المتوازية فى البنى البلورية، حيث تتفاعل الأشعة السينية الساقطة (أ ب و ج د) مع ذرات العناصر فى هذه المستويات وينتج عن هذا التفاعل انطلاق حزمة من الأشعة السينية تاركة مستويات البلورة بنفس زاوية سقوطها (زاوية و).

وهناك علاقة بين زاوية سقوط الأشعة وطولها الموجى والمسافة العمودية بين المستويات (d) تعرف بقانون براج (Bragg's law) كما يلى :

$$n = 2d \sin \theta$$

حيث:  $n$  = عدد صحيح. = الطول الموجى للأشعة الساقطة.

= زاوية سقوط الأشعة. = طول الرابطة.

وباستعمال هذه العلاقة أمكن حساب المسافة (d) بين مستويين من مستويات الشبكية، التى تمثل طول الرابطة أو مجموع نصفى قطرى الأيونين المتحدنين مثل Na-F أو Na-Cl، حيث

يوجد كل من الصوديوم والكلور أو الصوديوم والفلور فى مستوى من مستويات الشبكية يلامس كل منهما الآخر. لا نستطيع بوساطة هذه المحصلة تحديد نصف قطر أى من الذرتين المتحدتين، إلا إذا كانتا لنفس العنصر. فوجد مثلاً أن طول الرابطة بين ذرات الكربون فى بلورات الماس يساوى 1.54 أنجستروم (1 أنجستروم =  $10^{-8}$  سم). لذلك، فإنه يمكن القول إن نصف قطر الكربون يساوى 0.77 أنجستروم. يسمى نصف قطر الكربون هذا بنصف القطر التساهمى، وذلك لأنه قيس فى مركبات ترتبط بروابط تساهمية.

تختلف أنصاف أقطار الذرة الواحدة باختلاف نوعية الرابطة، فطول الرابطة بين ذرتين من نوع واحد، تربطهما روابط مثل رابطة فان دير فال فقط، أطول من مجموع نصفى القطرين التساهميين لهما. فنصف القطر التساهمى لذرات الكلور فى جزيئاته  $\text{Cl}_2$ ، المرتبطة بروابط تساهمية يساوى 0.99 أنجستروم، فى حين تساوى المسافة بين ذرتى الكلور المتجاورتين، والمرتبطتين برابطة فان دير فال تقريباً 3.6 أنجستروم، وهى أكبر من ضعف (نصف قطرهما التساهمى).

هناك العديد من المحاولات التى تمت لقياس أنصاف أقطار بعض العناصر. ومن أوائل هذه المحاولات تلك التى قام بها العالم وساستجيرنا (Wasastjerna) عام 1923، الذى قام بتحديد طول الرابطة بين الأيونات بوساطة الانكسارات الجزيئية molar refractivities للألاح المتأينة فى المحاليل، وذلك بافتراض تناسب الانكسارات الجزيئية مع الأحجام الأيونية، واستطاع عن طريق ذلك تعيين أنصاف أقطار كل من أيونات الأكسجين والفلور ( $F = 1.32$  ;  $O = 1.33$ ). وفى عام 1962 قام جولدشميدت (Goldschmidt) باستخدام هذه المحصلة فى تعيين أنصاف الأقطار الأيونية للعناصر الأخرى. وفى عام 1972 اقترح باولنج (Pauling) حساب أنصاف الأقطار الأيونية باستعمال العلاقة بين الانتشار الشعاعى radial distribution للإلكترونات الخارجية، والذى يتناسب عكسياً مع الشحنة النووية الفعالة effective nuclear charge التى تؤثر على هذا الانتشار، واستعمل كذلك معاملاً آخر هو ثابت الحجب screening constant (أى درجة حجب الإلكترونات الداخلية لقوة الجذب التى تمارسها النواة على الإلكترونات المنتظمة فى أغلفة الإلكترونات المختلفة)، وقام بتطبيق ذلك على فلوريد الصوديوم (NaF) (طول الرابطة 2.31 أنجستروم) وتوصل إلى قيمة لنصف قطر الصوديوم تساوى 0.95 أنجستروم ولنصف قطر الفلور تساوى 1.36 أنجستروم.

تلت هذه الدراسات العديد من المحاولات التي قادت إلى نتائج أكثر دقة لأنصاف الأقطار الأيونية. وهناك قائمتان حديثتان لأنصاف الأقطار الأيونية قام بإعدادها كل من شانون Shannon و بريويت Prewitt عامي 1969 و 1970 على التوالي و ويتيكر Whittaker و مونتوس Muntus عام 1970 [في Mason & Moore, 1982]. اعتمد كل من شانون و بريويت في حساباتهما لأنصاف الأقطار على أطوال الرابطة المقاسة للأكاسيد والفلوريدات، إضافة إلى العلاقة بين حجم الأيونات وحجم وحدة الخلية في الأكاسيد والفلوريدات، مع مراعاة حالة الإلكترون المغزلي للعناصر الانتقالية، والأعداد التناسقية للكاتيونات والانيونات، التي لم تراعى في حسابات أنصاف الأقطار السابقة. اقترح كل من شانون و بريويت قيمتين مختلفتين لأنصاف الأقطار أحدهما IR (أى قيم أنصاف الأقطار الأيونية ionic radius)، التي تعتمد على افتراض أن نصف القطر الأيوني للأكسجين يساوى 1.4 أنجستروم (تناسق سداسى)، والآخر CR (أى قيم أنصاف الأقطار البلورية crystal radius values)، بافتراض نصف قطر للفلور يساوى 1.19 أنجستروم. هذا ويعرض الجدول 1-4 أنصاف الأقطار المتداولة حالياً.

من نظرة سريعة على الجدول المشار إليه، يتضح لنا أن هناك اختلافات في أنصاف الأقطار بالنسبة للعنصر الواحد وذلك باختلاف نوعية الرابطة والأعداد التناسقية. فعلى سبيل المثال، يساوى نصف قطر الألومنيوم في الحالة الذرية 1.43 أنجستروم والمرتبطة تساهمياً 1.26 أنجستروم، فى حين يساوى نصف قطره الأيوني 0.47 - 0.61 أنجستروم وذلك تبعاً لعدد التناسق الذى يوجد فيه، وهذا هو المتوقع حيث تفقد ذرة الألومنيوم أثناء الانتقال إلى الحالة الأيونية ثلاثة إلكترونات من الغلاف الخارجى، الأمر الذى يقود إلى زيادة قوى جذب النواة على الإلكترونات المتبقية، وبالتالي الانكماش الواضح فى الحجم. للأسباب ذاتها، نجد أن نصف القطر الأيوني للحديد الثلاثى التكافؤ ( $Fe^{3+}$ )، الذى يتخلى عن ثلاثة إلكترونات، أصغر من نصف قطر الشكل الثنائى التكافؤ ( $Fe^{2+}$ )، الذى يفقد إلكترونين فقط (أنظر جدول 1-4).

يمثل عدد التناسق أحد العوامل المهمة التى تؤثر على قيم أنصاف الأقطار الأيونية. ويفهم تحت عدد التناسق لعنصر ما أنه عدد الأيونات التى تحيط بأى كاتيون مركزى، حيث



جدول 1-4 أنصاف الأقطار الأيونية، التساهمية (ت) والفلزية (ف) لبعض العناصر المختارة.

| ذرات<br>أيونات   | عدد<br>التناسق | نصف<br>القطر A | ذرات<br>أيونات   | عدد<br>التناسق | نصف<br>القطر A | ذرات<br>أيونات   | عدد<br>التناسق | نصف<br>القطر A |
|------------------|----------------|----------------|------------------|----------------|----------------|------------------|----------------|----------------|
| Ag <sup>+</sup>  | 6              | 1.23           | Ga <sup>3+</sup> | 4              | 0.55           | S                | 4              | 1.04           |
| Al               | 12             | 1.43 ف         | Gd <sup>3+</sup> | 6              | 1.02           | S <sup>2-</sup>  | 6              | 1.72           |
| Al               | 4              | 1.26 ت         | Ge <sup>4+</sup> | 4              | 0.48           | S <sup>6+</sup>  | 4              | 0.20           |
| Al <sup>3+</sup> | 4              | 0.47           | Hf <sup>4+</sup> | 8              | 0.91           | Sb <sup>5+</sup> | 6              | 0.69           |
| Al <sup>3+</sup> | 6              | 0.61           | Hg <sup>2+</sup> | 6              | 1.10           | Sc <sup>3+</sup> | 6              | 0.83           |
| As <sup>5+</sup> | 6              | 0.58           | Ho <sup>3+</sup> | 6              | 0.98           | Se <sup>2-</sup> | 4              | 1.88           |
| Au <sup>3+</sup> | 4              | 0.78           | In <sup>3+</sup> | 6              | 0.88           | Se <sup>6+</sup> | 4              | 0.37           |
| B <sup>3+</sup>  | 4              | 0.20           | K <sup>+</sup>   | 8              | 1.59           | Si <sup>4+</sup> | 4              | 0.34           |
| Ba <sup>2+</sup> | 8              | 1.50           | K <sup>+</sup>   | 12             | 1.68           | Si <sup>4+</sup> | 6              | 0.48           |
| Be <sup>2+</sup> | 4              | 0.35           | La <sup>3+</sup> | 6              | 1.13           | Sm <sup>3+</sup> | 6              | 1.04           |
| Bi <sup>3+</sup> | 6              | 1.10           | Li <sup>+</sup>  | 6              | 0.82           | Sn <sup>4+</sup> | 6              | 0.77           |
| C                | 4              | 0.77 ت         | Lu <sup>3+</sup> | 6              | 0.94           | Sr <sup>2+</sup> | 8              | 1.33           |
| Ca <sup>2+</sup> | 6              | 1.08           | Mg <sup>2+</sup> | 6              | 0.80           | Ta <sup>5+</sup> | 6              | 0.72           |
| Ca <sup>2+</sup> | 8              | 1.20           | Mn <sup>2+</sup> | 6              | LS 0.75        | Tb <sup>3+</sup> | 6              | 1.00           |
| Cd <sup>2+</sup> | 6              | 1.03           | Mn <sup>2+</sup> | 6              | HS 0.91        | Th <sup>4+</sup> | 8              | 1.12           |
| Ce <sup>3+</sup> | 6              | 1.09           | Mn <sup>3+</sup> | 6              | LS 0.66        | Ti <sup>3+</sup> | 6              | 0.75           |
| Cl               | 4              | 0.99 ت         | Mn <sup>3+</sup> | 6              | HS 0.73        | Ti <sup>4+</sup> | 6              | 0.69           |
| Cl <sup>-</sup>  | 6              | 1.72           | Mn <sup>4+</sup> | 6              | 0.62           | Tl <sup>3+</sup> | 6              | 0.97           |
| Co <sup>2+</sup> | 6              | LS 0.73        | Na <sup>+</sup>  | 6              | 1.10           | Tm <sup>3+</sup> | 6              | 0.96           |
| Co <sup>2+</sup> | 6              | HS 0.83        | Na <sup>+</sup>  | 8              | 1.24           | U <sup>4+</sup>  | 8              | 1.08           |
| Cr <sup>3+</sup> | 6              | 0.70           | Nb <sup>5+</sup> | 6              | 0.72           | U <sup>6+</sup>  | 6              | 0.81           |
| Cs <sup>+</sup>  | 12             | 1.96           | Nd <sup>3+</sup> | 6              | 1.06           | V <sup>2+</sup>  | 6              | 0.87           |
| Cu               | 12             | 1.28 ف         | Ni <sup>+</sup>  | 6              | 0.77           | V <sup>3+</sup>  | 6              | 0.72           |
| Cu <sup>+</sup>  | 4              | 0.54           | O                | 4              | 0.73           | V <sup>4+</sup>  | 6              | 0.67           |
| Cu <sup>2+</sup> | 6              | 0.81           | O <sup>2-</sup>  | 4              | 1.30           | V <sup>5+</sup>  | 6              | 0.72           |
| Er <sup>3+</sup> | 6              | 0.97           | O <sup>2-</sup>  | 6              | 1.32           | W <sup>4+</sup>  | 6              | 0.73           |
| Eu <sup>3+</sup> | 6              | 1.03           | O <sup>2-</sup>  | 8              | 1.34           | W <sup>6+</sup>  | 6              | 0.68           |
| F                | 4              | 1.23           | P <sup>5+</sup>  | 4              | 0.25           | Y <sup>3+</sup>  | 8              | 1.10           |

|        |    |                  |      |    |                  |         |    |                  |
|--------|----|------------------|------|----|------------------|---------|----|------------------|
| 0.95   | 6  | Yb <sup>3+</sup> | 1.75 | 12 | Pb               | 1.26 ف  | 12 | Fe               |
| 1.39 ف | 12 | Zn               | 1.37 | 8  | Pb <sup>2+</sup> | HS 0.71 | 4  | Fe <sup>2+</sup> |
| 1.31 ت | 4  | Zn               | 1.04 | 6  | Pm <sup>3+</sup> | LS 0.69 | 6  | Fe <sup>2+</sup> |
| 0.68   | 4  | Zn <sup>2+</sup> | 1.08 | 6  | Pr <sup>3+</sup> | HS 0.86 | 6  | Fe <sup>2+</sup> |
| 0.83   | 6  | Zn <sup>2+</sup> | 1.68 | 8  | Rb <sup>+</sup>  | HS 0.57 | 4  | Fe <sup>3+</sup> |
| 0.92   | 8  | Zr <sup>4+</sup> | 1.81 | 12 | Rb <sup>+</sup>  | LS 0.63 | 6  | Fe <sup>3+</sup> |
|        |    |                  | 0.71 | 6  | Re <sup>4+</sup> | HS 0.73 | 6  | Fe <sup>3+</sup> |

المصادر: أنصاف الأقطار التساهمية (ت) والفلزية (ف) عن: زدانوف (Zhdanov 1965)، أنصاف الأقطار الأيونية عن: ويتاكر ومونتس (Whittaker and Muntus 1970) [high-spin state = HS حالة الدوران "المغزلى" العالية]، [low-spin state = LS حالة الدوران المغزلى المنخفضة].

يتسبب التفاعل المتبادل بين إلكترونات الكاتيون المركزى وأنوية الأيونات المحيطة إلى تغيير الحجم الفعال للكاتيون، وكلما زاد عدد الأيونات المحيطة (أى كلما زاد عدد التناسق) زاد نصف قطره الفعال، ويعود ذلك إلى قوة الجذب التى تمارسها أنوية هذه الأيونات على الإلكترونات الخارجية للكاتيون المركزى، وكلما زاد عدد هذه الأيونات زادت قوى الجذب المؤثرة على الكاتيون، وبالتالي كبر نصف قطره الفعال.

هناك عامل آخر يؤثر على قيم أنصاف الأقطار لبعض العناصر الفلزية الانتقالية transition metals وهو حالة الدوران "المغزلى" للإلكترونات electron-spin state خاصة للإلكترونات المدار (d) الخارجية. فقد لوحظ أن إلكترونات المدار (d) لهذه العناصر تنقسم فى بعض الحالات إلى مجموعتين تختلف فى طاقتها الكامنة. هذه الحالات هى حالة الدوران "المغزلى" العالية high-spin state (HS)، وهى الحالة التى يكون فيها الفرق بين طاقتى المجموعتين صغيراً، وحالة الدوران "المغزلى" المنخفضة low-spin state (LS) وهى التى تمثل الحالة التى يكون فيها الفرق بين طاقتى المجموعتين كبيراً، ويكون كل مدار، فى حالة الدوران "المغزلى" العالية، نصف مشغول (لا يحتوى إلا على إلكترون واحد) قبل أن يشغل تماماً، أما فى حالة الدوران "المغزلى" المنخفضة فإن الفرق بين طاقتى المجموعتين يتسبب فى إشغال مدار المجموعة المنخفضة تماماً قبل دخول أى إلكترون إلى مدارات المجموعة ذات الطاقة العالية. ولقد سبق أن أشار كل من شانون وبريوييت عام 1969 إلى أن أنصاف أقطار الفلزات الانتقالية تكون أكبر فى حالة الدوران "المغزلى" العالى (جدول 4-1). وتعتمد

الحالة التى يمكن أن تصل إليها الأيونات فى أى نسيج بلورى على نوع وعدد الأيونات المجاورة.

## البنية البلّورية

تمثل البنية البلورية لأى مادة جامدة الوضع النسبى لمكوناتها (ذرات ، أيونات أو جزيئات) ويحددها عدد من العوامل مثل الحجم النسبى (أنصاف الأقطار) والتواجد النسبى للمكونات (الممثلة فى الصيغة الكيميائية) وكذلك الطبيعة الكيميائية (فلزات، هاليدات، أكاسيد أو سليكات) إضافة إلى نوعية الرابطة (أيونية، تساهمية أو فلزية). ولقد جرى تصنيف البنيات البلورية للمعادن تبعا لهذه العوامل. هناك العديد من الدراسات التى أجريت والتى تعطى شرحا مفصلا عن البنيات البلورية المتنوعة، ومن هذه الدراسات، تلك التى قام بها كل من إيفانز Evans عام 1964 و فايف Fyfe عام 1964 و دير، هاوى و زوسمان Deer, Howie & Zussman بين 1962-1963 وغيرهم.

فيما يلى، سوف نتعرف على بعض البنيات البلورية الأكثر انتشارا متركزين على العلاقة بين البنية والتركيب الكيميائى، حيث يتميز العديد من المعادن ببنيات بسيطة أساسا ذات روابط أيونية، كما أن هناك بعضا منها يرتبط بروابط تساهمية، وسوف نتعرف على أهم الفروق بين هاتين المجموعتين.

فى المعادن التى ترتبط مكوناتها بروابط أيونية، يشكل حجم الأنيونات أحد العوامل المهمة التى تقوم بضبط وتنظيم مثل هذه الروابط. وبالنسبة لأغلب المعادن، فإن هذا الأنيون هو الأكسجين ( $O^{2-}$ ) إضافة إلى أنيون الهيدروكسيل ( $OH^-$ ) الذى لا يختلف كثيرا عن حجم أيون الأكسجين، نظرا للصغر المتناهى لحجم أيون الهيدروجين بالنسبة لأيون الأكسجين، حيث توجد أيونات الهيدروجين فى أيونات الهيدروكسيل المركبة منغمسة تقريبا داخل أيون الأكسجين، ولا يحدث ارتباطها بالأكسجين تغييراً يذكر فى حجمه، لذلك، فإنه يمكن اعتبار أنيونات الهيدروكسيل مساوية تقريبا لأنيون الأكسجين فى الحجم.



فى البنيات الأيونية، تنظم الأيونات الكبيرة الحجم نفسها فى مجموعات بحيث يلامس بعضها البعض، وتوجد الكاتيونات الصغيرة الحجم فى الفراغات التى بينها، وهكذا يتم تنظيم للأيونات حول كل كاتيون، يعرف بالتناسق المتعدد الأسطح (الأوجه) coordination polyhedron. يعتمد عدد الأيونات حول أى كاتيون على النسبة بين نصف قطر الكاتيون إلى نصف قطر الأنيون ( $r_c/r_a$ )، فحول الكاتيونات الكبيرة الحجم يزداد عدد الأيونات ويقل هذا العدد حول الكاتيونات ذات الأحجام الصغيرة. تميل الأيونات إلى الارتباط ببعضها بشكل ملتصق ما أمكن ذلك، وهذا يجعلها فى حالة الطاقة المنخفضة، وبالتالي فى الحالة المستقرة. هذا ويعرض الجدول 2-4 أعداد التناسق المقترحة والتنظيم المستقر للأيونات حول كل كاتيون وذلك تبعا لقيمة النسبة بين نصفى القطرين ( $r_c/r_a$ ).

جدول 2-4 العلاقة بين الأعداد التناسقية ونسب أنصاف الأقطار.

| نسب أنصاف الأقطار<br>$r_{cation}/r_{anion}$ | التناسق المتوقع للأيونات<br>حول كل كاتيون | شكل التناسق المتعدد<br>الأسطح | أمثلة          |
|---|---|-------------------------------|----------------|
| 0.225 – 0.155                               | 3 أيونات فى أركان مثلث<br>متساوى الأضلاع  | ثلاثى<br>Trigonal             | $(CO_2)^{2-}$  |
| 0.414 – 0.522                               | 4 أيونات فى أركان مجسم<br>رباعى الأسطح    | رباعى<br>Tetrahedron          | $(SiO_4)^{4-}$ |
| 0.732 – 0.441                               | 6 أيونات فى أركان مجسم ثمانى<br>الأسطح    | ثمانى<br>octahedron           | (NaCl)         |
| 1 – 0.732                                   | 8 أيونات فى أركان<br>مكعب                 | مكعب<br>Cube                  | (CsCl)         |
| 1   | 12 أنيون فى مركز أطراف<br>المكعب          | بنية أكثر تلاصقا              | (الفلزات)      |

عن: ماسون (Mason 1966).

ولقد بينت الدراسات وجود توافق جيد بين أعداد التناسق المتوقعة (المحسوبة) والملاحظة للكاتيونات الأكثر انتشارا فى معادن الصخور المختلفة (جدول 3-4).

جدول 3-4 أعداد التناسق المحسوبة والملاحظة لبعض الكاتيونات الشائعة فى المعادن المختلفة. ( $r_c$  = نصف قطر الكاتيون و  $r_o$  = نصف قطر أنيون الأكسجين).

| الأيونات  | نصف القطر<br>$r$ | $r_o / r_c$ | عدد التناسق<br>المحسوب | عدد التناسق<br>الملاحظ |
|-----------|------------------|-------------|------------------------|------------------------|
| $Cs^+$    | 1.70             | 1.22        | 12                     | 12                     |
| $Rb^+$    | 1.49             | 1.06        | 12                     | 12-8                   |
| $K^+$     | 1.38             | 0.98        | 8                      | 12-8                   |
| $Ba^{2+}$ | 1.36             | 0.97        | 8                      | 12-8                   |
| $Sr^{2+}$ | 1.13             | 0.81        | 8                      | 8                      |
| $Na^+$    | 1.02             | 0.73        | 6                      | 8 ، 6                  |
| $Ca^{2+}$ | 1.00             | 0.71        | 6                      | 8 ، 6                  |
| $Mn^{2+}$ | 0.82             | 0.59        | 6                      | 6                      |
| $Fe^{2+}$ | 0.77             | 0.55        | 6                      | 6                      |
| $Li^+$    | 0.74             | 0.53        | 6                      | 6                      |
| $Mg^{2+}$ | 0.72             | 0.51        | 6                      | 6                      |
| $Ti^{4+}$ | 0.67             | 0.48        | 6                      | 6                      |
| $Fe^{3+}$ | 0.65             | 0.46        | 6                      | 6                      |
| $V^{3+}$  | 0.64             | 0.46        | 6                      | 6                      |
| $Cr^{3+}$ | 0.62             | 0.44        | 6                      | 6                      |
| $Al^{3+}$ | 0.53             | 0.38        | 4                      | 6 ، 4                  |
| $Si^{4+}$ | 0.40             | 0.29        | 4                      | 4                      |

عن: ماسون (Mason 1966).

تعطى بعض العناصر قيمة للنسبة ( $r_o/r_a$ ) تؤهلها للوجود في تناسقين بدلا من تناسق واحد فقط. وكمثال، نورد هنا عنصر الألومنيوم ( $Al^{3+}$ ) الذى يعطى قيمة للنسبة ( $r_{Al}/r_o$ ) تساوى 0.38 قريبة من النسبة 0.41 المميزة للتناسقين السداسى والرابعى. وفعلا نجد الألومنيوم موجودا فى الطبيعة فى التناسقين المشار إليهما، وذلك تبعا لدرجات الحرارة السائدة أثناء دخوله فى المركبات المختلفة. فيوجد الألومنيوم فى المعادن المتكونة فى درجات الحرارة العالية فى التناسق المنخفض (الرابعى) وذلك بالإحلال محل السليكون فى معادن

الفلسبارات. أما في المعادن المتكونة في درجات الحرارة المنخفضة فيوجد الألومنيوم في التناسق السداسي كما في معدن الجبسيات  $Al(OH)_3$ .

للضغط كذلك تأثير على أعداد التناسق أمكن ملاحظته في معادن أكسيد السليكون ( $SiO_2$ ) المتعددة الشكل، حيث يوجد السليكون في معدن الإستيشوفيت ( $SiO_2$ )، الذي يتكون في ظروف الضغوط العالية، في تناسق أعلى من التناسق الرباعي المعروف للسليكون في المعادن السليكاتية الأخرى (الكوارتز مثلاً).

يلاحظ أن أي تجمع منتظم للكاتيونات حول أي أنيون غير متوقع حدوثه، وذلك لسببين رئيسيين هما:

أولاً: تحتوي أغلب المعادن على أكثر من نوع واحد من الكاتيونات، وكل كاتيون يختلف عن الآخر في الحجم.

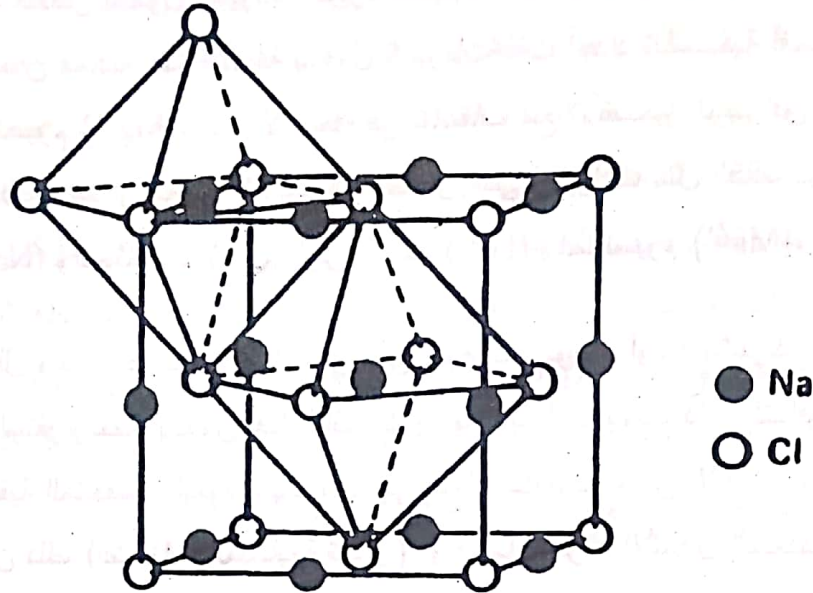
ثانياً: لا تلامس الكاتيونات عادة بعضها البعض لوجودها في الفراغات المتكونة من تجمع الأنيونات.

كمثال لمادة أيونية جامدة نود أن نستعرض هنا البنية البلورية لمعدن الهاليت، الذي يتبلور في بنية بلورية بسيطة يمكن أن تشكل نقطة بداية جيدة لدراستنا لهذا الموضوع. يوضح شكل 4-5 ترتيب الأيونات لمعدن الهاليت في وحدة الخلية التي تكون شكل مكعب بسيط تنتظم فيه أيونات الكلور في تناسق سداسي في أركان شكل ثماني الأوجه حول أيونات الصوديوم الموجودة في مركز هذا الشكل. يقتسم هنا كل حرف من الأحرف الاثنى عشر لثماني الأوجه واحداً من أطرافه الاثنى عشر مع الشكل الثماني الأوجه المجاور له.

تظهر المواد الجامدة المرتبطة أيونياً، وخاصة البنيات البسيطة منها، بعض الخواص التي لخصها باولينج (Pauling) في النقاط التالية والمعروفة بقواعد باولينج:

1- تنتظم الأنيونات في التناسق المتعدد الأوجه حول كل كاتيون، بحيث تكون المسافة بين مركز كل من الكاتيون والأنيون مساوية لمجموع أنصاف أقطارهما، ويمكن تعيين العدد التناسقي للكاتيون عن طريق نسب أنصاف الأقطار.





شكل 4-5. البنية البلورية لمعدن الهاليت (NaCl)، الذى تنتظم فيه أيونات كل من الصوديوم والكلور فى شكل مكعب. يبين الشكل كذلك التناقص السداسى لأيونات الكلور حول كاتيونات الصوديوم. عن: إيفانز (1964 Evans).

2- يساوى تكافؤ أى أنيون، فى البنيات الأيونية الثابتة، بالضبط أو تقريباً، مجموع قوى الروابط الإلكترونية المؤثرة عليه من الكاتيونات المجاورة (طبعاً مع اختلاف الشحنة) [تضع هذه القاعدة فى الاعتبار أن البلورات يجب أن تكون متعادلة إلكتروناتياً]، فنجد مثلاً أن كل أنيون من أنيونات الكلور الستة التى تحيط بكاتيون الصوديوم فى بنية الهاليت يؤثر بقوة ربط على كاتيون الصوديوم المجاور تساوى سدس شحنته الموزعة على جميع الكاتيونات الستة المجاورة، بحيث تساوى مجموع قوى الربط المؤثرة على كاتيونات الصوديوم  $6 \times 1 = 6$  (عدد الكاتيونات المجاورة)  $= 1$ ، وهو ما يساوى تكافؤ الصوديوم. تشمل هذه القاعدة فى مضمونها كذلك مفهوماً هاماً بالنسبة لكيمياء البلورات، فهى تفسر سبب عدم تكون بعض المعادن بالرغم من أن صيغها الكيميائية (فيما يتعلق بمتطلبات التكافؤ) لا تتعارض مع إمكانية حدوث هذا التكون، فلو استعرضنا مثلاً معادن الفلسبارات التى تتكون من مجموعة الـ (O-Si) و (O-Al)، التى يوجد فيها كل من السليكون والألمنيوم فى

التناسق الرباعي، فإننا سوف نلاحظ أن ربع تكافؤ الأكسجين المرتبط بالألومنيوم غير مشبع، ويتم معادلة هذا النقص بدخول كاتيونات كبيرة الحجم أحادية أو ثنائية التكافؤ وثمانية التناسق أو أعلى، ولا يمكن معادلة هذه الشحنة بدخول كاتيونات ذات أعداد تناسقية أقل، كالحديد ( $Fe^{2+}$ ) أو المغنسيوم ( $Mg^{2+}$ )، التي لا تدخل في تناسقات مع الأكسجين تزيد عن 6 (راجع جدول 3-4). لذلك، نجد أن معادن الفلسبارات تحتوي على كاتيونات مثل الكالسيوم ( $Ca^{2+}$ ) والصوديوم ( $Na^{+}$ ) والبوتاسيوم ( $K^{+}$ ) وليس الحديد ( $Fe^{2+}$ ) والمغنسيوم ( $Mg^{2+}$ ).

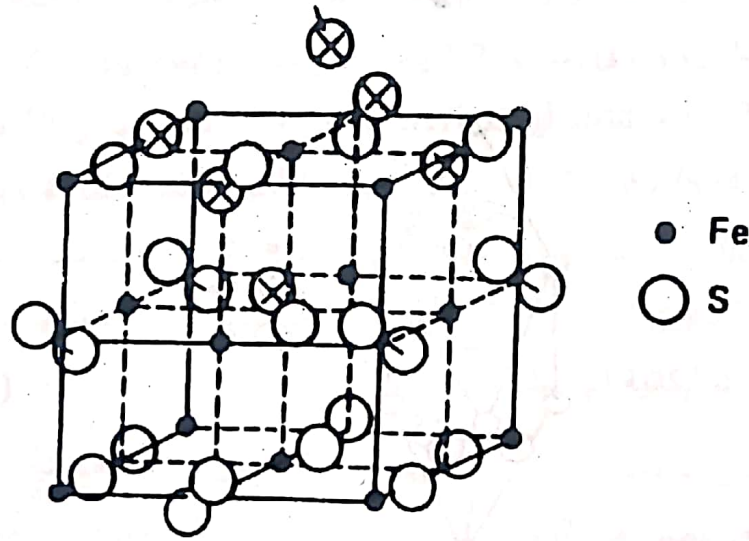
3- يقلل وجود حواف مشتركة، أو على وجه الخصوص أوجه مشتركة في البنيات المتناسقة، من استقراريتها، ويكون هذا التأثير كبيرا بالنسبة للكاتيونات ذات التكافؤات العالية والأعداد التناسقية المنخفضة [يعود سبب ذلك إلى ميل الكاتيونات إلى الابتعاد عن بعضها البعض ما أمكن ذلك (الشحنات المتشابهة تتنافر). وعندما تشترك الأشكال المتعددة الأوجه في الحواف أو الأوجه فإن الكاتيونات تصبح بذلك متلاصقة تقريبا، ويحدث تنافر فيما بينها، تتعرض نتيجة له البنيات البلورية للتشوه وتقل إضافة إلى ذلك استقراريتها].

4- في الأشكال المتعددة الأوجه، التي تحتوي بلوراتها على كاتيونات متنوعة، لا تميل الأجزاء التي تنتظم فيها الكاتيونات العالية التكافؤ إلى اقتسام الأركان أو الحواف أو الأوجه (وهذا يعكس التنافر المتبادل بينهم).

5- يميل عدد المكونات في البنية البلورية إلى أن يكون أقل ما يمكن، [تعني هذه القاعدة أن التنظيم البلوري لأي أنيون أو أي كاتيون يميل لأن يكون متجانسا في جميع أجزاء البلورة، أي إن كل عنصر يميل إلى نوع واحد من التناسق. غير أن هذه القاعدة لا تنطبق على العديد من المعادن، حيث نجد أن أيونات الأكسجين، أكثر الأيونات انتشارا في المواد الجيولوجية، توجد في بيئات بنائية متنوعة].

للتعرف على بنية معادن ترتبط بعض مكوناتها بروابط تساهمية، نستعرض هنا معدن البيريت ( $FeS_2$ ) أحد أهم المعادن الكبريتيدية وأكثرها شيوعا. تشبه بنية البيريت (شكل 4-6) إلى حد كبير بنية الهاليت حيث يوجد الحديد ( $Fe$ ) مكان الصوديوم والكبريت المزدوج ( $S_2$ ) مكان الكلور.

تساوى طول الرابطة بين كل ذرتى كبريت 2.08 أنجستروم، وهى أقل بكثير من ضعف نصف القطر الأيونى للكبريت الذى يساوى 3.42 أنجستروم (فى التناسق السداسى). وفى هذا إشارة إلى أن كل زوج من الكبريت، فى معدن البيريت، مرتبط تساهميا (نصف القطر الأيونى للكبريت أكبر من نصف قطره التساهمى، ويعود ذلك إلى ميله لاستضافة إلكترونات فى أغلفته الخارجية عند تأينه). تنتظم ذرات الكبريت المزدوجة والمرتبطة تساهميا فى أركان شكل ثمانى الأوجه حول أيونات الحديد التى توجد فى مركز هذا الشكل. تقسم الأشكال الثمانية المتجاورة الأوجه، وتعتبر هذه الظاهرة مؤشرا للرابطة التساهمية حيث أن متعددة الأوجه للمركبات الأيونية لا تميل إلى اقتسام الأوجه. إلى جانب الرابطة التساهمية السائدة بين ذرات الكبريت، هناك روابط أخرى كالرابطة الفلزية السائدة بين ذرات الحديد والرابطة المخلوطة (أيونية وتساهمية) بين الكبريت والحديد.

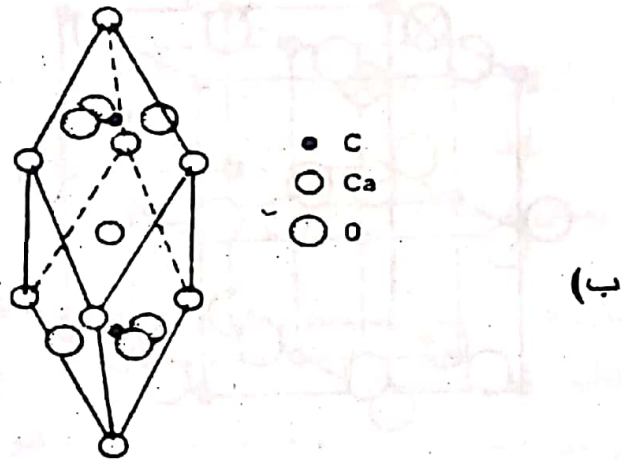
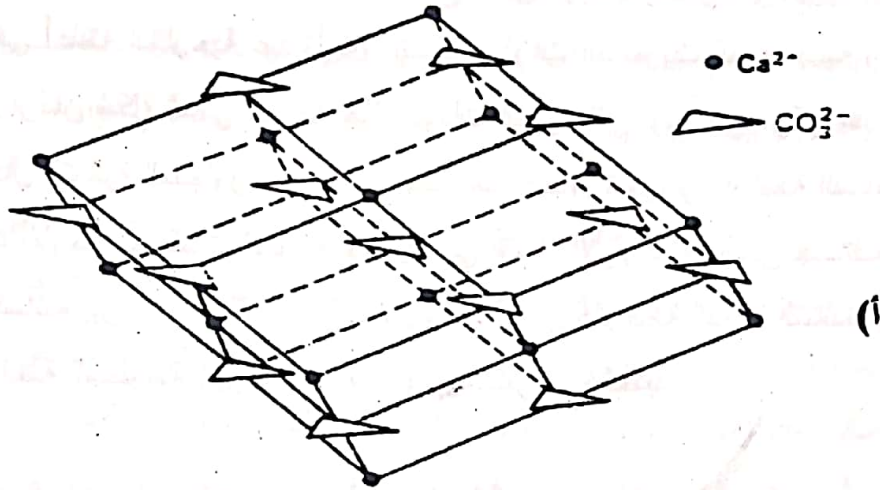


شكل 4-6 البنية البلورية لمعدن البيريت. يحيط بحس أيون حديد 6 أيونات من الكبريت، كما ترتبط كل ذرة كبريت بذرة كبريت أخرى وبثلاث ذرات حديد. تكون وحدة الخلية شكلا مكعبا، يتكون من أربع وحدات من كبريتيد الحديد ( $\text{FeS}_2$ ). عن: إيفانز (Evans 1964).

من أمثلة المعادن التى ترتبط مكوناتها بالروابط الأيونية والتساهمية معا، نود أن نتعرف هنا على معدن الكالسيت ( $\text{CaCO}_3$ ). يتكون معدن الكالسيت من وحدتين أساسيتين هما



أيونات الكربونات المركبة  $(\text{CO}_3)^{2-}$ ، التي تسود بين مكوناتها من الأكسجين والكربون الرابطة التساهمية، وأيون الكالسيوم  $(\text{Ca}^{2+})$  الذي يرتبط بالأكسجين بروابط أيونية (شكل 4-7 أ).



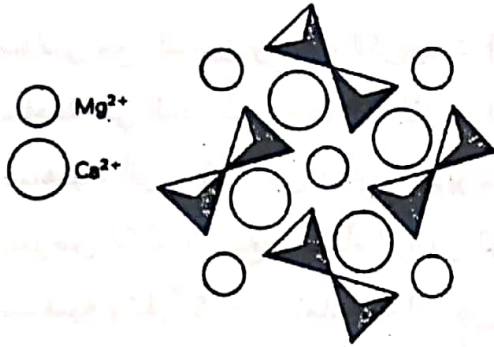
شكل 4-7 بنائية الكالسيت.

- أ. منشور سداسي منفصم، يشبه مكعبا لكلوريد الصوديوم المعرض للالتواء تشغل فيه كاتيونات الكالسيوم أماكن أيونات الكلور وأنيونات الكربونات المركبة أماكن الصوديوم.
- ب. وحدة الخلية لكربونات الكالسيوم تحتل فيها أيونات الكالسيوم الأركان والمركز وتنتظم فيها كذلك مجموعتان من وحدات الكربونات عكس بعضها البعض على امتداد المحور الثلاثي. تحتوى كل وحدة خلية على صيغتين كيميائيتين. عن: إيفانز (Evans 1964)

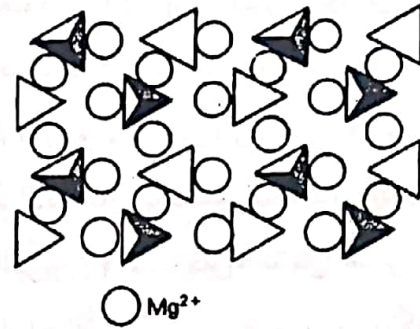
يتكون كل أنيون من أنيونات الكربونات المركبة من ثلاث ذرات أكسجين تحيط بذرة كربون. ويوجد بين كل وحدتين منهما كاتيون من كاتيونات الكالسيوم، الذى يوجد فى تناسق سداسى مع أكسجين وحدات الكربونات (شكل 4-7 ب). تشكل أنيونات الكربونات وحدات منفصلة فى البنية البلورية وذلك لأن الرابطة بين الكربون والأكسجين، التى هى أساسا تساهمية، أقوى بكثير من الرابطة الأيونية التى تربط الأكسجين بالكالسيوم. لذلك، فإنه عندما يتعرض الكالسيت لتأثير المياه لا تتأثر الرابطة بين الكربون والأكسجين، التى هى أساسا تساهمية وتبقى كوحدة متماسكة، فى حين تتحطم الرابطة الأيونية السائدة بين الأكسجين والكالسيوم الذى يذوب تبعا لذلك فى الماء.

من أمثلة الأنيونات المركبة المهمة، التى تدخل فى تكوين أكثر المعادن شيوعا فى الأرض، أنيونات السليكات  $(\text{SiO}_4)^{4-}$ . توجد أنيونات السليكات فى المعادن السليكاتية كوحدات منفصلة تماما مثل أنيونات الكربونات فى معدن الكالسيت، فالفرق فى السالبية الكهربائية بين الأكسجين والسليكون، والذى يساوى 1.7 يتسبب فى نشوء رابطة بينهما تتكون من 60% تساهمية و 40% أيونية. تنتظم أيونات الأكسجين فى أركان شكل رباعى الأسطح حول أيون السليكون (شكل 4-8) مكونة ما يسمى برباعية الأوجه السليكية أو رباعية السليكا silica tetrahedron للتبسيط. وتبعا لعدد رباعيات السليكا المرتبطة بعضها ببعض عن طريق اقتسام أيونات الأكسجين المنتظمة فى أركانها، وطريقة اتصالها بعضها ببعض، جرى تصنيف المعادن السليكاتية إلى ست مجموعات كما يلى:

1- تتكون المجموعة الأولى من وحدات مستقلة من رباعيات السليكا  $(\text{SiO}_4)^{4-}$  فى أوضاع متعكسة. تتصل هذه الوحدات ببعضها البعض بواسطة كاتيونات موجبة الشحنة ترتبط بأيونات الأكسجين للرباعيات بروابط أيونية (شكل 4-8 أ). من أبرز معادن هذه المجموعة مجموعة معادن الأوليفين والمتمثلة فى معدنى الفورستريت (foresterite)  $(\text{Mg}_2\text{SiO}_4)$  والفياليت (fayalite,  $\text{Fe}_2\text{SiO}_4$ ). إضافة إلى معادن الأوليفين، يتبع هذه المجموعة معادن مجموعة الجارنت (مثل الجروسولار grossular,  $\text{Ca}_3\text{Al}_2\text{Si}_3\text{O}_{12}$ )، ومعدن الزركون (zircon,  $\text{ZrSiO}_4$ ). تسمى هذه المجموعة نيزوسليكات nesosilicate أو كذلك أورثوسليكات orthosilicate وتميز بنسبة  $(\text{Si} : \text{O} = 1 : 4)$ .



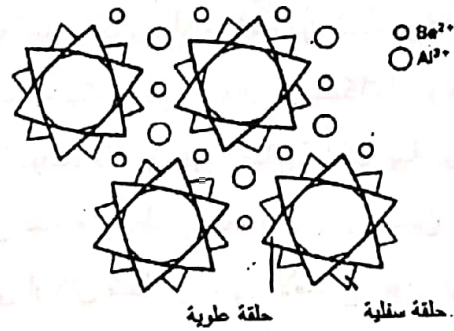
ب - رباعيات سليكا مزدوجة (مليبيت)



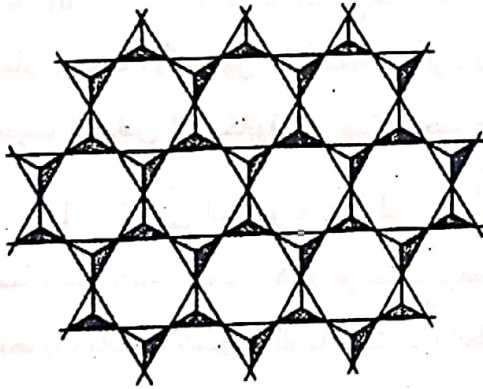
أ - رباعيات سليكا مفردة (أوليفين)



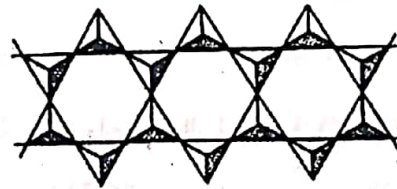
د - سلسلة مفردة من رباعيات السليكا (بيروكسين)



ج - رباعيات سليكا حلقة (بيرل)



و - صفائح من رباعيات السليكا (ميك)



هـ - سلسلة مزدوجة من رباعيات السليكا (أمفيبول)

شكل 4-8 تخطيط مبسط لبنائية المعادن السليكاتية المتنوعة. لاحظ أن رباعية السليكا ترسم  $\Delta$  إذا كانت الرأس إلى أعلى و  $\Delta$  إذا كانت الرأس إلى أسفل.  
عن: إيفانز (Evans 1969) و جيل (Gill 1989).



2- يرتبط فى المجموعة الثانية وحدتين من وحدات رباعيات السليكا  $(\text{SiO}_4)^{4-}$  وذلك باقتسام واحد من أيونات الأكسجين، وتصبح الصيغة الكيميائية لوحدة السليكا المزدوجة هذه  $(\text{Si}_2\text{O}_7)^{6-}$ . من معادن هذه المجموعة معدن الإكرمانيت (Akermanite) أو الميليليت ( $\text{Ca}_2\text{MgSi}_2\text{O}_7$  Melilite). يطلق على هذه المجموعة سوروسيليكات sorosilicate وتميز بالنسبة  $(\text{Si} : \text{O} = 2 : 7)$  (شكل 4-8 ب).

3- لو ارتبطت أكثر من وحدتين من وحدات رباعيات السليكا ببعضها البعض فى شكل دائرى، فإن الصيغة الكيميائية الممثلة ستكون  $(\text{Si}_n\text{O}_{3n})$  وتمثل  $n$  عدد الوحدات الرباعية المرتبطة ببعضها البعض والتي يمكن أن يصل عددها حتى 6 وحدات. يتبلور فى هذا الشكل معادن مثل البيريل ( $\text{Be}_3\text{Al}_2\text{Si}_6\text{O}_{18}$ ) والبنيتويت ( $\text{BaTiSi}_3\text{O}_9$ ) benitoite. يطلق على هذه المجموعة سيليكات حلقة cyclosilicates وتميزها النسبة  $(\text{Si} : \text{O} = n : 3n)$ . (شكل 4-8 ج).

4- البنيات المتسلسلة chain structure وتتكون من اقتسام رباعيات السليكا المتجاورة لواحد من أيونات الأكسجين فى امتداد متسلسل وغير محدود. ويتم مثل هذا الترابط على حالتين:

- السلسلة المفردة  $(\text{Si} : \text{O} = 1 : 3)$ ، ومن أهم معادنها البيروكسين (مثل الإنستاتيت  $\text{MgSiO}_3$ ) (شكل 4-8 د).

- السلسلة المزدوجة  $(\text{Si} : \text{O} = 4 : 11)$ ، التى ترتبط فيها سلسلتان مفردتان وذلك باقتسام بعض ذرات أكسجين رباعيات السليكا المتصلة بعضها ببعض فى السلسلتين المفردتين. من أهم معادن هذه المجموعة الأمفيبول (شكل 4-8 هـ). يمثل الترابط المتسلسل امتداداً غير محدود لوحدة رباعيات السليكا فى اتجاه المحور، يوصلها بعضها ببعض عناصر فلزية مثل الكالسيوم أو المغنسيوم أو الصوديوم. تسمى هذه المجموعة "إينوسيليكات inosilicates".

5- البنيات الصفائحية هى نوع من البنيات السليكاية، وفيه تقسم كل وحدة رباعية للسليكا ثلاثاً من ذرات الأكسجين مع وحدات الرباعيات الثلاثة المجاورة لها، مكونة أنسجة صفائحية رقيقة. ويمكن اعتبار أن هذه البنية تنشأ من امتداد غير محدود للسلاسل المزدوجة

فى اتجاهين وتميزها النسبة (Si : O = 2 : 5). يشكل هذا النوع من البنيات الهيكل العام لمعادن الميكا (الببوتيت والمسكوفيت) والمعادن الطينية بمختلف أنواعها، يطلق على هذه المعادن فيلوسيليكات phyllosilicate (شكل 4-8 و).

6- البنيات السليكاتية ثلاثية الأبعاد three-dimensional. تنقسم، فى مثل هذا النوع من المعادن السليكاتية، وحدات السليكا الرباعية ذرات الأكسجين الأربع مع الوحدات الرباعية المجاورة مكونة هيكلًا سليكاتيًا ثلاثي الأبعاد (Si : O = 1 : 2). من أهم معادن هذه المجموعة أكسيد السليكون المتعدد الأشكال (الكوارتز، التريديميت والكريستوباليت). يحل أحيانًا فى بعض هذه البنيات الألومنيوم الثلاثي التكافؤ محل السليكون الرباعي التكافؤ وبذلك يصبح التركيب  $[(Si, Al)O_2]^-$ ، الأمر الذى يستدعى معادلة النقص الحاصل فى الشحنات الموجبة بدخول كاتيونات موجبة الشحنة، وتتكون بذلك معادن الفلسبار الواسعة الانتشار. تسمى هذه المجموعة "تكتوسيليكات" tektosilicate.

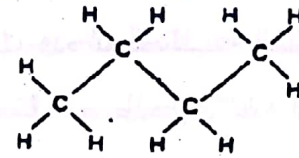
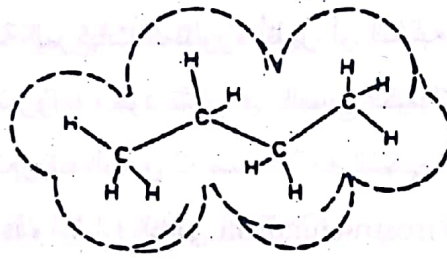
ينتمى كل معدن من المعادن السليكاتية المعروفة فى الطبيعة إلى أحد المجموعات الستة المذكورة. وتتظم المكونات الأخرى كالأكسجين الإضافى أو مجموعات الهيدروكسيل وجزيئات الماء والكاتيونات فى البنية البلورية مع مجموعات السليكا بحيث تصبح البنية النهائية مستقرة ميكانيكيا ومتعادلة كهربيا.

تتكون المواد العضوية الموجودة فى الطبيعة من مركبات تسود فى بنيتها الرابطة التساهمية، فيتبلور الكبريت مثلا فى الشكل المعينى المستقيم، الذى يتكون من جزيئات منفصلة تربطها روابط تساهمية. يوجد فيما بين جزيئات بعض المواد العضوية المرتبطة مكوناتها بالروابط التساهمية روابط أخرى ضعيفة (رابطة فان ديرفال أو الرابطة الهيدروجينية). عند تعرض الأجزاء الجامدة من هذه المواد للانصهار تتحطم الروابط الضعيفة، فى حين تبقى الرابطة التساهمية القوية ثابتة، حتى فى حالة الانتقال إلى الحالة الغازية فإن الجزيئات تبقى متماسكة ولا تتعرض الرابطة فيما بينها للتحطيم.

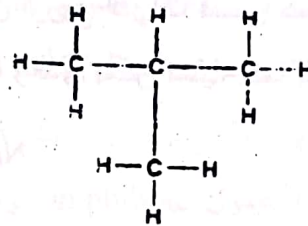
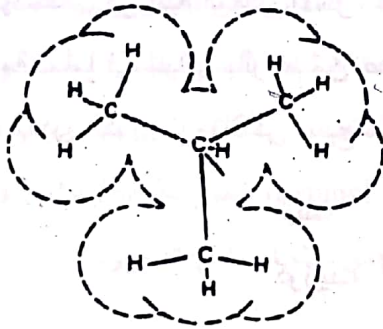
تمثل الهيدروكربونات، مثل غاز البوتان العادى n-butane والأيزوبوتان iso-butane أبسط المركبات العضوية. يوجد فى الغلاف الخارجى لكل ذرة كربون أربعة إلكترونات



تستخدمها فى تكوين أربع روابط تساهمية مع الذرات المجاورة (شكل 4-9). وكما يتضح لنا من هذا الشكل تكون كل ذرة كربون أربع روابط منفردة مع ذرات الهيدروجين والكربون الأخرى المجاورة. تتجمع هذه الذرات مع بعضها البعض على حالتين مختلفتين مكونة غاز البوتان العادى أو الأيزوبوتان (شكل 4-9). يطلق على ظاهرة وجود مركب واحد فى أكثر من شكل فى الكيمياء العضوية بالتعدد الشكلى العضوى أو "إيزوميريزم isomerism". وتعتبر ظاهرة التعدد الشكلى من الظواهر الشائعة فى المركبات العضوية. هناك خاصة أخرى تتفرد بها بعض المواد العضوية وهى ارتباط ذراتها بروابط تساهمية مزدوجة أو ثلاثية. فتحتوى المواد العضوية "غير المشبعة" على رابطة تساهمية أو أكثر تكون مزدوجة ( $C=C$ ) أو ثلاثية ( $C \equiv C$ ) كما فى مركبات الإيثان (الإثيلين).



(أ)



(ب)

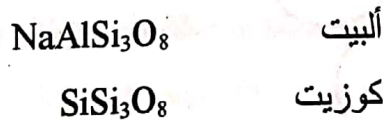
شكل 4-9 بنائية متعددى الشكل للمواد العضوية (الأيزوميريزم). وكمثال هنا غاز البوتان البوتان العادى n-butane (أ) والأيزوبوتان Iso-butane (ب).



تتبع هذه المركبات مجموعة الهيدروكربونات لفصيلة الميثان، أحد مكونات الغاز الطبيعي والبتترول. توجد جزيئات الـ  $(C_4H_{10})$  المبينة بالشكل 4-9 في الحالات الثلاثة: الجامدة، السائلة والغازية.

### التشابه الشكلي Isomorphism

في عام 1819 اقترح العالم Mitscherlich استعمال مصطلح التشابه الشكلي، وذلك للتعبير عن تشابه البنيات البلورية لمركبات تختلف في تراكيبها الكيميائية، وأقرن هذا التشابه بالتناظر في الصيغ الكيميائية، وذلك بعد أن قام بإنتاج عدد من المركبات مثل:  $KH_2PO_4$ ,  $(NH_4)HAsO_4$ ,  $(NH_4)H_2PO_4$ ,  $KH_2AsO_4$  ولاحظ التشابه الحاصل في بنياتها البلورية. غير أن تطور استعمال الأشعة السينية واستخداماتها الواسعة في التعرف على طبيعة المركبات المتبلورة أظهر أن التشابه الشكلي ماهو إلا انعكاس للبنية الداخلية وليس بالضرورة وجود تشابه في الصيغ الكيميائية. ولقد قادت هذه المحصلة إلى إعادة صياغة التعريف السابق لخاصة التشابه الشكلي، واقترح استعمال مصطلحي التشابه النوعي isotypism والتشابه البنائي isostructuralism للتعبير عن خاصية التشابه الشكلي. فأى معدنين يتبلوران في نفس البنية البلورية فهما من نوع واحد isotype، وكمثال لذلك الهاليت  $(NaCl)$  والجالينا  $(PbS)$  اللذان يتطابق توزيع الذرات في بنيتيهما، فكل ذرة في بنية أحدهما يوجد لها مقابل في بنية المعدن الآخر. أما مصطلح التشابه البنائي فإنه يطلق على المواد المتشابهة تماما في بنياتها بالرغم من عدم وجود علاقة بين توزيع الذرات في كل منها، فيتبلور معدن الكوزيت مثلا في نسيج مماثل لنسيج الألبيت والذي يمكن تمثيله كما يلي:

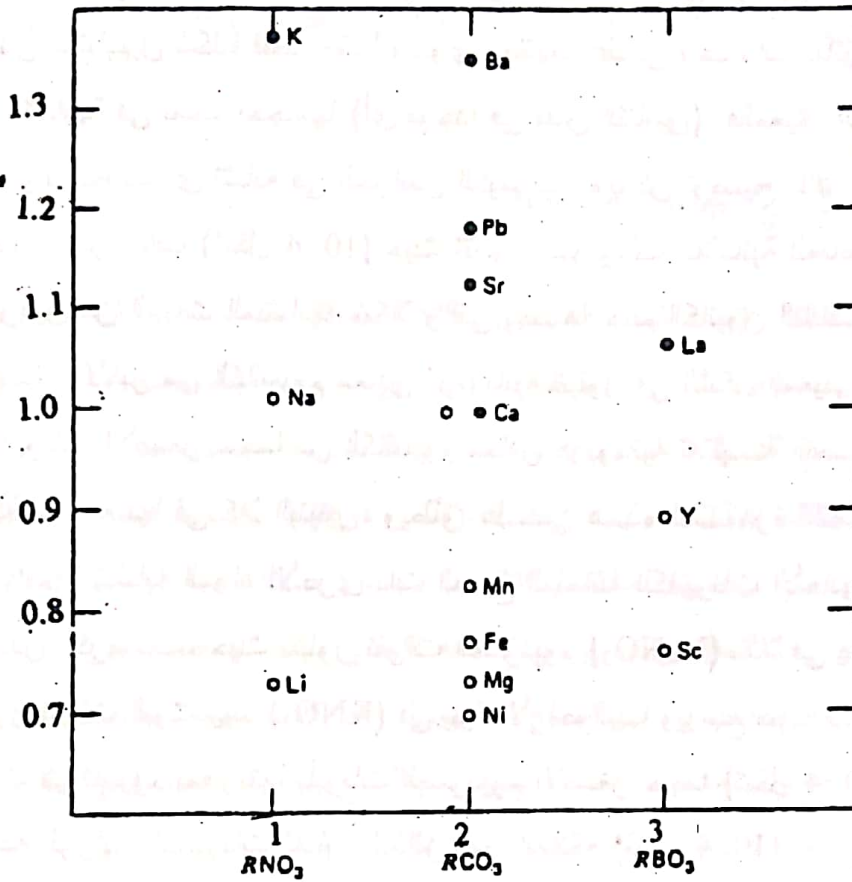


فالمعدنان متشابهان بنائيا بالرغم من عدم وجود ما يقابل صوديوم الألبيت في بنية الكوزيت، لذلك سميت بنية الألبيت بالبنية المحشوة للكوزيت، حيث توجد ذرات الصوديوم، التي دخلت هنا لمعادلة النقص الحاصل في الشحنات الكهربائية الموجبة الناجم عن إحلال الألومنيوم الثلاثي التكافؤ مكان السليكون الرباعي التكافؤ، محشوة في فراغات بنية الكوزيت.

من ذلك يتضح لنا أن الأساس العلمى لظاهرة التشابه الشكلى هو البنية الداخلية، فأى معدنين يكونان متشابهين شكليا فقط عندما تحتوى بنياتهما على وحدات بنائية (أيونات وكاتيونات) متشابهة فى نسب أحجامها (أى يوجد فى نفس التناسق). فالمعيار الوحيد هنا هندسى فقط، ولا يتطلب أى تشابه فى الخواص الكيميائية. ويمكن توضيح ذلك بأمثلة من مجموعة معادن الكربونات (شكل 4-10) حيث تتبلور الكربونات اللامائية للعناصر الثنائية التكافؤ فى نوعين من البنيات المتشابهة شكلا والتي يحددها حجم الكاتيون الثانى التكافؤ. فتكون الكاتيونات الأكبر من الكالسيوم معادن كربونائية تتبلور فى الشكل المعينى، فى حين ينتج عن الكاتيونات الأصغر حجما من الكالسيوم معادن كربونائية ثلاثية التماثل، وتوجد كربونات الكالسيوم نفسها فى كلا البنيتين، ويطلق على هذه الظاهرة "التعدد الشكلى polymorphism". تتشابه المواد الأخرى ذات الصيغ المتماثلة للكاتيونات الأحادية التكافؤ شكليا مع معادن الكربونات، حيث تتبلور نترات الصوديوم ( $\text{NaNO}_3$ ) مثلا فى بنية الكالسييت، فى حين تتبلور نترات البوتاسيوم ( $\text{KNO}_3$ ) فى بنية الأراجوانيت ويرجع سبب ذلك إلى الحجم الأكبر لأيونات البوتاسيوم بمقارنتها بأيونات الصوديوم الأصغر حجما (شكل 4-10). وبالمثل تظهر مجموعة بلورات الكاتيونات ثلاثية التكافؤ نفس العلاقة (شكل 4-10). من ذلك يتضح لنا أن العامل الأساسى الذى يحدد التشابه الشكلى هو التشابه فى علاقات أحجام الأيونات المشاركة وليس التشابه فى الصيغ الكيميائية. فالعدد التناسقى الذى يحدده علاقات أنصاف أقطار الكاتيونات والأيونات هو الذى يفسر ظاهرة التشابه الشكلى التى تظهر بين المعادن، حتى بين تلك المختلفة فى صيغها الكيميائية. تنتشر خاصة التشابه الشكلى بشكل واسع بين المعادن، لذلك جرى استعمالها كأحد الخواص المستعملة لتصنيف المعادن إلى مجموعات يضم كل منها معادن متشابهة شكليا كمجموعة الإسبنيل spinel، ومجموعة الجارنت garnet، ومجموعة الأمفيبول amphibole، وهكذا، إلى نهاية مجموعات المعادن المعروفة.

### التعدد الشكلى polymorphism

يطلق مصطلح التعدد الشكلى على المعادن أو المركبات التى توجد فى أشكال بلورية متعددة، وذلك نتيجة لانتظام مكوناتها فى مواقع مختلفة تبعا للظروف الفيزيائية التى تم فيها



شكل 4-10 دور نصف القطر في تحديد البنية البلورية لمركبات الكاتيونات أحادية وثنائية التكافؤ. تمثل الدوائر o المركبات ثلاثية الشكل trigonal والدوائر o المركبات معينية الشكل orthorhombic. عن: فلايشر (Fleischer 1954).

التبلور. وأبسط مثال لذلك مركب أكسيد السليكون ( $\text{SiO}_2$ ) الذي يتبلور تبعاً للحالة الفيزيائية في أشكال متعددة كما يلي:

1- الكوارتز الذي يتبلور في الشكل السداسي hexagonal ويتم التبلور في درجة حرارة أقل من 867 °م.

2- التريديميت ويتبلور في الشكل أحادي الميل monoclinic أو شكل المعين القائم orthorhombic ويتم تبلوره في درجات حرارة 867 - 1500 °م.



3- الكريستوباليت الذى يتبلور فى الشكل الرباعى tetragonal ويتكون فى درجات حرارة أعلى من 1500 °م.

كما يوجد كل شكل من هذه الأشكال على حالتين هما الشكل على الحرارة (الكوارتز العالى) والذى يتحول إلى الشكل منخفض الحرارة (الكوارتز المنخفض) عند درجة 573 مئوية، وتظهر هذه الأشكال بعض الاختلافات فى بنيتها البلورية.

تؤكد ظاهرة التعدد الشكلى، المشار إليها أعلاه، حقيقة أن البنية البلورية لا يحددها التركيب الكيميائى، إذ يوجد المركب نفسه تبعاً للظروف الفيزيائية والحالة الكيميائية التى كانت سائدة أثناء تبلوره، فى أشكال بلورية متعددة. فوجود الكوارتز بنوعيه فى الصخور النارية يعتبر مؤشراً جيداً لتبلور هذه الصخور فى درجات حرارة  $> 876^{\circ}\text{C}$ ، لكن وجود التريديميت والكريستوباليت، اللذين لوحظا كثيراً فى شقوق وتجاويف الصخور البركانية لا يدل مطلقاً على الحالة الفيزيائية التى تكون فى ظروفها الصخر، وذلك لتكونهما فى مرحلة لاحقة بعد تبلور الصخر وتعرضه لمحاليل غنية بالسليكا قامت بترسيبهما فى التجاويف الموجودة بالصخر.

يعطى معدنا البيريت والماركزيت ( $\text{FeS}_2$ ) مثالا آخر لظاهرة التعدد الشكلى، فيتبلور البيريت، الذى يتكون فى درجات الحرارة العالية إلى المنخفضة، ويوجد فى جميع أنواع الصخور النارية والمتحولة والرسوبية فى شكل مكعب بسيط، فى حين يتبلور الماركزيت، الذى يتكون من محاليل حمضية فى درجات الحرارة المنخفضة ويوجد فى العروق المتعدنة المتكونة من رواسب المياه السطحية، فى الشكل المعينى القائم. وكما يتضح لنا فإن وجود أحدهما فى بيئة ما يضع حدوداً لحالة المصدر.

تختلف الأشكال المتعددة فى عدد من الصفات مثل:

1- اختلافات فى نوعية الروابط السائدة كما هو الحال بين الجرافيت والماس متعدد الشكل للكربون. فالرابطة السائدة فى الماس هى الرابطة التساهمية فقط فى حين يدخل إلى جانب الرابطة التساهمية رابطة فان ديرفال فى الجرافيت.

2- اختلافات فى تناسقات الكاتيونات، وكمثال لذلك الكوارتز والأستيشوفيت متعدد الشكل لأكسيد السليكون، إذ يوجد السليكون فى التناسق الرباعى فى الكوارتز فى حين يوجد فى التناسق السداسى فى الأستيشوفيت.

3- اختلافات فى درجة تنظيم الأيونات والملاحظ فى بعض المعادن والسبائك. إذ يوجد الفلسبار البوتاسى مثلا فى أشكال متعددة من أهمها الساندين والميكروكلين، اللذان يختلفان فى الانتشار المنتظم لذرات السليكون والألومنيوم فى الميكروكلين وانتشارهما العشوائى فى بنية الساندين، الشكل الثابت فى درجات الحرارة الأعلى من 700°C. يتبلور الساندين فى الشكل أحادى الميل monoclinic، فى حين يتبلور الميكروكلين فى الشكل الثلاثى الميل triclinic الذى يتميز بخاصية التوأمة. يعتبر هذا النوع من التعدد الشكلى مهما لتحديد الخصائص الفيزيائية للسبائك، فلو كان لدينا مثلا سبيكة تتكون من 50% نحاس (Cu) و50% زنك (Zn)، فإن هذه السبيكة يمكن أن توجد على حالتين هما الحالة المنتظمة، التى تحتل فيها ذرات النحاس والزنك مراكز محددة فى وحدة الخلية، والحالة غير المنتظمة، وفيها تنتشر ذرات النحاس والزنك فى وحدة الخلية عشوائيا. تتغير درجة التنظيم بتغير درجة الحرارة، حيث تكون السبائك المتكونة فى درجات الحرارة المنخفضة أعلى تنظيما، وتترايد درجة عدم التنظيم بارتفاع درجة الحرارة حتى تصل فى درجة حرارة معينة إلى العشوائية تماما. وتختلف هذه العلاقة باختلاف نسب المكونات.

تبعاً لإمكانية تحول أحد الأشكال إلى الشكل الآخر من عدمه جرى تقسيم المعادن المتعددة الأشكال إلى:

### 1- ثنائية المسلك

وتضم المعادن متعددة الشكل، التى يقبل كل شكل من أشكالها التحول إلى الشكل الآخر، ولا يتطلب التحول أحيانا إلا تغييرا بسيطا لمواقع الأيونات وكمثال لذلك:

الكوارتز المنخفض (low-quartz) ↔ الكوارتز العالى (high-quartz)

فلا تحتاج مثل هذه التحولات إلى طاقة عالية، ويمكن تحول أحدهما إلى الشكل الآخر بكل سهولة. هناك حالات أخرى يكون فيها التحول ممكنا ولكنه يتطلب طاقة كبيرة لتكسير الروابط



القائمة وإحداث تغييرات جذرية فى ترتيب الأيونات وإعادة بناء البنية البلورية، وقد يصاحب هذه التحولات تغيير العدد التناسقى كالذى يحدث عند تغيير الكوارتز إلى إستيشوفيت، أو يكون غير مصاحب بمثل هذا التغير كتحول الكوارتز إلى تريديميت أو العكس. وتجدر الإشارة هنا إلى أنه ليس بالضرورة فى الأنواع ثنائية المسلك تحول الأشكال العالية بتغيير الظروف الفيزيائية. فكثيرا ما لوحظ وجود التريديميت والكريستوباليت فى البيئات التى يكون الكوارتز فيها هو الشكل المستقر وقد تم تفسير هذه الظاهرة باحتواء الأشكال العالية الحرارة على شوائب من أيونات دخيلة، توجد فى فراغات وحدة الخلية والتى تعمل فى حالة تغيير الحالة الفيزيائية كدعامات تحول دون تحولها، وكمثال لذلك معدن الكريستوباليت الذى لوحظ احتواؤه على نسب من الصوديوم والألومنيوم التى يمكن أن تحول دون تحولها بانخفاض درجة الحرارة إلى كوارتز. وإزالة هذه الأيونات الغريبة ضرورى على ما يبدو للسماح بتحول نسيج الحرارة العالية المفتوح إلى أشكال الحرارة المنخفضة المقفلة، لذلك فإنه لا يعنى دائما وجود أشكال الحرارة العالية فى حقول استقرار أشكال الحرارة المنخفضة، إنها أشكال شبه مستقرة metastable، وإنما قد يعنى أنها الأشكال غير النقية والثابتة.

## 2- أحادية المسلك

وهى الأنواع التى يقبل فيها شكل من الأشكال التحول إلى الشكل الآخر الذى يمثل الشكل المستقر ولا يحدث العكس. كمثال لهذا النوع من متعددات الأشكال كسبريتيد الحديد، البيريت والماركزيت ( $\text{FeS}_2$ )، حيث يمكن تحول الماركزيت إلى بيريت بإعادة تبلوره نتيجة لتغير الظروف الفيزيائية وليس العكس وذلك كما يلى:

ماركزيت                      بيريت

والبيريت هو الشكل الثابت لكبريتيد الحديد فى الظروف الفيزيائية المتغيرة.

يتميز كل شكل من الأشكال المتعددة بمستوى معين من الطاقة. فتميل الأشكال ذات الطاقة الأعلى إلى التحول إلى الأشكال ذات الطاقة الأدنى. وتتساوى الطاقة لأى شكلين عند نقطة التحول بينهما. تتميز الأشكال المستقرة فى درجات الحرارة العالية بأنثروبية أعلى، كما تعنى كذلك بأنها الأشكال ذات الحجم الأكبر والنسيج المتمد الذى يحتوى على فراغات تساعد فى توسيع نطاق الإحلال الذرى وتكوين المحاليل الجامدة solid solution.



## الإحلال الذرى والمحلول الجامد atomic substitution and solid solution

مع تطور الطرق التحليلية الدقيقة الموثوق بها لوحظ وجود اختلافات فى تركيب النوع الواحد من المعادن فى عينات مختلفة منه. وللوهلة الأولى، تم تفسير ذلك بالمفهوم السائد "محلول جامد" أو خليط متبلور، الذى كان يقصد منه احتواء بلورة واحدة متجانسة على جزيئات من مادتين أو أكثر، ففسر مثلا تكون الأوليفين من خليط من جزيئات الفورستريت ( $Mg_2SiO_4$ ) والفايالايت ( $Fe_2SiO_4$ ) بنسب مختلفة مكونين سلسلة معادن الأوليفين المعروفة، وكذلك الحالة بالنسبة لبقية مجموعات المعادن التى تكون سلسلة من المعادن المتواصلة.

بقى هذا المفهوم سائدا حتى تطورت طرق استعمال الأشعة السينية، التى ساعدت فى توضيح طبيعة البنى البلورية للمعادن، وقادت إلى تصحيح مفهومنا عن ما يسمى بالمحاليل الجامدة، والتى يقصد بها تغير التركيب الكيميائى للنوع الواحد من المعادن فى عينات مختلفة منه، حيث أوضحت هذه الدراسات أن البنى الأيونية لا تتكون من جزيئات وإنما هى شبكة ثلاثية الأبعاد تشغل فيها الأيونات أماكن محددة، وأن أى أيون فى هذه الشبكة يمكن أن يتعرض للإحلال بواسطة أيون آخر مساوٍ له فى الحجم دون تعرض البنية لأى خلل. وحيث أن المعادن باختلاف أنواعها تتبلور من صهارات تحتوى - إلى جانب أيوناتها الأساسية - على عدد غير محدد من الأيونات الأخرى، لذا فإنها تصبح عرضة لدخول بعض من هذه الأيونات فى بنيتها البلورية. ولقد قادت هذه المحصلة المهمة إلى إدخال تعديل على التعريف السابق، وينص التعريف الجديد على أن المحاليل "الجامدة" هى بلورات متجانسة متغيرة التركيب.

بالنسبة للعلاقات بين ظاهرتى المحلول الجامد والتشابه الشكلى فلم يكن هناك تفريق بينهما، وكان الاعتقاد السائد أن جميع المعادن المتشابهة شكليا تكون محاليل جامدة، غير أنه ثبت مؤخرا أن هناك العديد من الفوارق السائدة بين هاتين الظاهرتين، فالمعادن المتشابهة شكلا قد ينتج وقد لا ينتج عنها محاليل جامدة. فلو افترضنا وجود مركبين أحدهما (أ ب) والآخر (ج د) وكان الكاتيون (أ) للمركب الأول يساوى الكاتيون (ج) للمركب الثانى فى الحجم، ونسب أنصاف الأقطار أ : ب و ج : د متقاربة، فإن المعدنين يكونان متشابهين شكلا، ويمكن أن ينتج عنهما محاليل جامدة غير محدودة، كمثال لذلك معدنى الفورستريت

والفاياليت اللذين ينتج عنهما محاليل جامدة غير محدودة والمتمثلة في سلسلة معادن الأوليفين نظرا لتشابه أنصاف أقطار كل من المغنسيوم والحديد. في حين لو كان الكاتيون (أ) والأنيون (ب) للمركب الأول أكبر أو أصغر من الكاتيون (ج) والأنيون (د) للمركب الثاني ولكن النسبة أ : ب و ج : د متقاربة، فإن المعدنين يكونان متشابهين شكلا ولكن لا ينتج عنهما محلول جامد. من ناحية أخرى، قد تتكون محاليل جامدة من مركبات غير متشابهة شكلا. فقد لوحظ أن معدنى البيريت ( $FeS_2$ ) والاسفاليريت ( $ZnS$ ) غير المتشابهين شكلا يكونان محلولاً جامداً، والمتمثل في ارتفاع نسبة الحديد في عينات من الاسفاليريت والناجم عن الإحلال المسموح به للحديد. من ذلك يتضح أن التشابه الشكلى ليس كافياً لإنتاج محاليل جامدة كما أنه ليس بالضرورة أن ينتج عن المعادن المتشابهة شكلا محاليل جامدة.

يعتمد حدوث الإحلال الذرى من عدمه على حجم الأيونات وليس لزما التطابق الكامل في التكافؤ، حيث يمكن معادلة الخل الذى قد ينجم عن اختلاف التكافؤات بحدوث إحلال آخر مرادف مثل ما يحدث أثناء تكون معادن الفلسبار، فالبلاجيوكليز مثلا الذى يكون خليطا جامدا غير محدود، بسبب إمكانية إحلال الصوديوم الأحادى التكافؤ ( $Na^+$ ) مكان الكالسيوم الثنائى التكافؤ ( $Ca^{2+}$ ) أو العكس ويتم معادلة الخل الحاصل فى التوازن الكهربى الناجم عن هذا الإحلال بإحلال مرادف وبدرجات متفاوتة للألومنيوم ثلاثى التكافؤ ( $Al^{3+}$ ) مكان السليكون رباعى التكافؤ ( $Si^{4+}$ ).

يلاحظ أن إمكانية حدوث الإحلال الذرى بين العناصر المختلفة التكافؤات ليس مفتوحا، فهناك قاعدة تنص على أن الاختلاف فى التكافؤ لا يجب أن يزيد عن شحنة واحدة فقط، فلا يحدث أى إحلال لو زاد الاختلاف عن ذلك حتى ولو تساوت أنصاف الأقطار. فلم يلاحظ قط أى إحلال للزركونيوم ( $Zr^{4+}$ ) مثلا مكان المنجنيز ( $Mn^{2+}$ ) ولا لليثيوم ( $Y^{3+}$ ) مكان الصوديوم ( $Na^+$ ) بالرغم من تطابق أنصاف أقطارها. ويرجع ذلك إلى صعوبة معادلة الزيادة فى الشحنات الكهربائية التى يمكن أن تتجم عن مثل هذا الإحلال. كما أن هناك حدودا للاختلاف المسموح به فى أنصاف أقطار الأيونات وهو أن لا يزيد فرق الاختلاف بينها عن 15%. إلى جانب عاملى الحجم والتكافؤ اللذين يقومان بتنظيم الإحلال الذرى للعناصر، هناك عوامل أخرى تتحكم فى درجات الإحلال الذرى قد لا تقل أهمية عن عاملى الحجم والتكافؤ من أهمها:



## 1- طبيعة البنية البلورية

## 2- درجة حرارة التبلور

فلبطبيعة البنية البلورية تأثير كبير على درجة الإحلال، إذ يمكن أن تستوعب المعادن التي تتميز بنسيج مفتوح إحلالاً واسع المجال. ومن أمثلة هذه المعادن معدن الإسبنل ( $MgAl_2O_4$ )، الذي يسمح نسيجه بإحلال واسع النطاق للعديد من مكوناته. فكثيراً ما تحل عناصر مثل ( $Fe^{2+}$ ,  $Zn^{2+}$ ,  $Mn^{2+}$ ) محل المغنسيوم وكذلك الـ ( $Fe^{3+}$ ,  $Cr^{3+}$ ,  $Mn^{3+}$ ,  $V^{3+}$ ;  $Ti^{3+}$ ) محل الألومنيوم جزئياً أو كلياً. تنطبق نفس الظاهرة على معادن الأبائيت [ $Ca_5(PO_4)_3(F, Cl, OH)$ ] التي تتميز بنسيج مفتوح يسمح بإحلال للفلور والكلور وأيون الهيدروكسيل مكان بعضها البعض بدون حدود أو يدخل بدلاً منها أحياناً أيون الكربونات  $[(CO_3)^{2-}]$  مكوناً الأبائيت الكربوناتي. كما قد يحدث إحلال للكالسيوم بواسطة عناصر مثل Sr, Mn, REE, Na في حين لا تسمح المعادن ذات النسيج المغلق بحدوث أي إحلال لمكوناتها إلا في أضيق الحدود. وأحسن مثال لذلك معادن الكوارتز التي تعتبر من أنقى المعادن، حيث إنها لا تسمح عادة بحدوث أي إحلال لأي من مكوناتها الرئيسية.

يقود ارتفاع درجة حرارة تبلور المعدن إلى توسيع نطاق درجة الإحلال، كما قد يقود ذلك إلى حدوث بعض التفاوت المسموح به. فقد يسمح الارتفاع في درجة حرارة التبلور إلى تجاوز الحدود المسموح بها في اختلاف أحجام الأيونات الحالة محل بعضها (أي تجاوز فرق الـ 15%). ولقد ساعدت هذه الظاهرة في تحديد درجة حرارة تبلور المعادن واستخدامها كمقياس حراري جيولوجي geothermometer. وكمثال لذلك، معادن المجنتيت magnetite التي أظهرت الدراسات احتواءها على نسب متفاوتة من التيتانيوم (Ti) الذي يدخل بالإحلال محل الحديد. وقد لوحظ أن نسبة هذا الإحلال تتغير بتغير درجة حرارة تبلور المجنتيت، وبتحديد العلاقة بين نسبة الإحلال ومعدل الارتفاع في درجة الحرارة أمكن استعمال هذه الظاهرة لتحديد درجة حرارة التبلور.

يطلق على ظاهرة إحلال أكثر من نوع واحد من العناصر مكان عنصر في البنية البلورية لمعدن ما المصطلح العام "الإحلال المزدوج diadochy". فتعتبر عناصر الحديد ( $Fe^{2+}$ ) والزنك ( $Zn^{2+}$ ) في حالة إحلال مزدوج diadochic في نسيج الإسبنل. تطلق هذه



الخاصة على مجموعة من العناصر فى نسيج معدنٍ ما ولكن ليس من الضروري أن تكون كذلك بالنسبة لمعادن أخرى.

يطلق على المحاليل الجامدة المتعددة التراكيب بالمحلول الجامد الإحلالي substitutional solid solution ولقد أشارت الدراسات التى أجريت على بنائيات المعادن المختلفة إلى وجود نوعين آخرين من المحاليل الجامدة، يعرف أحدهما بالمحلول الجامد البينى interstitial solid solution، الذى لا يحدث فيه أى إحلال لأيونات أو ذرات المعدن الأساسية بوساطة أيونات أو ذرات أخرى وإنما تدخل ذرات أو أيونات لعناصر غريبة فى الفراغات المتوافرة فى الخلية. يشيع مثل هذا النوع من المحاليل الجامدة فى بعض الفلزات التى تستضيف أحيانا، فى الفراغات المتوافرة فى خلايا أنسجتها، بعض الأيونات الصغيرة الحجم مثل الهيدروجين، الكربون، البورون أو النيتروجين، مكونة المحلول الجامد البينى. يمكن كذلك حدوث مثل هذا النوع من المحاليل الجامدة فى المعادن ذات الأنسجة المفتوحة، بدخول أيونات أو ذرات كبيرة الحجم، وكمثال لذلك معدن الكريستوباليت، أحد أشكال أكسيد السليكون ( $\text{SiO}_2$ ) الذى يتبلور فى درجات الحرارة العالية، الذى يتميز بنسيجه المفتوح، فلقد أشارت التحاليل إلى احتواء معدن الكريستوباليت على نسب عالية من الألومنيوم والصوديوم حيث يدخل الصوديوم ( $\text{Na}^+$ ) فى الفراغات المتوافرة فى النسيج المفتوح للكريستوباليت، فى حين يدخل الألومنيوم ( $\text{Al}^{3+}$ ) مكان السليكون ( $\text{Si}^{4+}$ ) لمعادلة الخلل الحاصل فى التوازن الكهربى الناتج عن دخول الصوديوم. هناك نوع آخر من المحاليل التى تظهر فى البنيات البلورية التى بها عيوب فى خلايا أنسجتها والناجمة عن غياب بعض الذرات عن أماكنها تاركة فراغات فى الخلية. ولقد اتفق على تسمية هذا النوع من المحاليل الجامدة فى المراجع المختلفة بالمحلول الجامد الإسقاطى (الغيابى) omission solid solution. يعتبر معدن البايروتيت ( $\text{FeS}$ ) Pyrrhotite أفضل مثال لهذا النوع من المحاليل الجامدة، حيث أظهرت التحاليل الكيميائية على عينات من هذا النوع من المعادن احتواءه على نسبة من الكبريت أكثر من الكمية اللازمة لصيغته الكيميائية. وجرى تفسير هذه الظاهرة فى الماضى بأنه محلول جامد من معدن البيريت والكبريت، لكن أثبتت الدراسات الدقيقة على بنية معدن البايروتيت أن الزيادة الظاهرة فى نسبة الكبريت ترجع إلى نقص فى نسبة الحديد الناتج عن غياب بعض ذراته عن أماكنها فى الخلية. ويمكن تشبيه وحدة الخلية هنا بحائط يغيب فى أماكن متفرقة منه

بعض من أحجار بنائه تاركة فراغات في الحائط دون التسبب في التأثير على بنيته الأساسية. فغياب بعض ذرات الحديد لم يؤثر على البنية الأساسية للبايروتيت. ولقد ساعد التعرف على هذه الظاهرة في تفسير اختلاف التراكيب الكيميائية لبعض المعادن عن النسب المفترضة بواسطة قانون النسب الثابتة.

لا تنسى الدعاء والصلاة ع النبي



## مراجع الباب الرابع

- Deer, W. A., Howie, R. A. and Zussman, J. (1962-1963) *Rock-Forming Minerals* (5 vols.). New York: John Willey & Sons.
- Evans, R. C. (1964) *An Introduction to Crystal Chemistry*. Cambridge University Press, Cambridge.
- Fleischer, J. (1954) Effect of cation radius in determining crystal structure. *J. Chem. Educ.*, 31: 450.
- Fyfe, W. S. (1964) *Geochemistry of Solids*. New York, McGraw-Hill: (translated into Arabic by M. Nasseif).
- Gill, R. (1989) *Chemical Fundamentals of Geology*. London: Academic Div. Unwin Hyman Ltd.
- Pauling, L. (1960) *The Nature of the Chemical Bond*. Ithaca, N. Y.: Cornell University Press.
- Powell, R. (1978) *Equilibrium Thermodynamics in Petrology, An introduction*. Harper and Row Ltd.
- Wittaker, E. J. W. and Muntus R. (1970) Ionic radii. *Geochim. et Cosmochim. Acta*, 34: 945-956.
- Zhdanov, G. S. (1965) *Crystal Physics*, New York: Academic Press, Inc., (500 p.).



# لا تنسى الدعاء والصلاه ع النبي

## الباب الخامس

### جيوكيمياء الصخور النارية

#### ♦ الصهارة السليكاتية

\*مصدر الصهارة \*العمليات المتسببة في تغير التركيب الكيميائي للصهارة

#### ♦ التركيب الكيميائي للصخور النارية

\*التحليل الكيميائي للصخور النارية \*التركيب الكيميائي للصخور النارية

#### ♦ العناصر النزرة

\*قواعد انفصال العناصر من الصهارة \*توزيع العناصر النزرة بين المعادن  
\*وفرة العناصر النزرة في الصخور النارية \*السلوك الجيوكيميائي  
للعناصر النزرة \*العناصر النزرة وعلاقتها بالوضع التكتوني لنشأة  
الصخور النارية.

تُشكل الصخور النارية أكثر من تسعين في المائة من صخور القشرة الأرضية، وتعد صخر المنشأ أو الصخر الأم لكل الصخور الأخرى. ويشكل أصل الصخور النارية أحد الموضوعات الشيقة والمثيرة لكثير من المناقشات الحيوية والجدل العلمي الموضوعى الذى يميز علم الجيولوجيا بشكل عام. ويعود كثير من الاختلافات، المتسببة فى هذا الجدل أساسا، إلى قصور فى الإحاطة بكثير من الحقائق العلمية عن باطن الأرض والعمليات التى تتم داخلها. ولعل أكبر دليل على ذلك هو عدم اكتشاف العملية الأساسية وراء نشأة معظم الصخور النارية - ونقصد بها تكتونية الألواح الأرضية plate tectonics رغم ضخامتها وأهميتها - حتى حوالى عام 1965 ميلادية. وقد تحقق هذا الاكتشاف وغيره من المعارف الجيولوجية الهامة بفضل توافر كم هائل من البيانات والحقائق نتيجة التطور التقنى الذى طرأ على أجهزة القياسات الجيوفيزيائية والتحليل الجيوكيميائية ووسائل الاستشعار عن بعد. كما لعبت الحاسبات الإلكترونية دورا كبيرا فى معالجة هذه البيانات والخروج منها باستنتاجات متكاملة.

وتلعب التحاليل الجيوكيميائية للصخور النارية دورا أساسيا فى توفير المعلومات عن التركيب الكيميائى والمعدنى لصخور القشرة الأرضية، ويتوافر حاليا عشرات الآلاف من هذه التحاليل التى تغطى ليس فقط كل القارات ولكن تمتد إلى قيعان البحار والمحيطات، وتشمل كافة الأنواع الشائعة والنادرة والسطحية والجوفية والقديمة والحديثة من الصخور. وتعد هذه التحاليل ثروة علمية متنامية لا تقل أهميتها مع الزمن، شأن الكثير من فروع العلوم الأخرى، بل تزداد قيمتها بما يتناسب مع ما يبذل فيها من جهد فى جمع العينات، والتأكد من دقة وصحة طرق التحاليل وتوثيق البيانات ونشرها فى الأوساط العلمية. وتشكل هذه المعلومات حاليا قاعدة بيانات ضخمة يعكف عليها علماء الجيولوجيا فى كل أنحاء العالم يحاولون الربط بينها ومعالجتها بطريقة منهجية تكفل الخروج بأكبر قدر من الاستنتاجات والتصورات والنماذج عن توزيع العناصر فى القشرة الأرضية والأنماط والعمليات التى تحكم ذلك.

## الصهارة السليكاتية

تمثل الصهارة السليكاتية magmatic silicate melt مادة المنشأ لمعظم الصخور النارية، تلك الصهارة التي نراها في صور حمم تتدفق من فوهات البراكين أو تفيض من تشققات في الأرض؛ وإن كان الجزء الأكبر منها لا يصل إلى سطح الأرض، بل يتجمد داخلها ليكون الصخور النارية الجوفية plutonic rocks. وتتكون الصهارة magma عادة من خليط سليكاتي تتراوح حرارته بين حوالي 500 و 1200 °م، وهي تعد من الموائع fluids التي تحتوى على نسب متفاوتة من المواد الصلبة والسائلة والمتطايرة وتتميز بحركية mobility تتناسب مع درجة لزوجتها. وتعتمد اللزوجة إلى حد كبير على التركيب الكيميائي للصهارة ومحتواها من المواد السائلة والمتطايرة، وكذا على درجة حرارتها، وتتحكم جميع هذه العوامل بالتالي في إمكانية وصول الصهارة إلى سطح الأرض أو توقفها عند أعماق مختلفة. ورغم إمكانية تحديد التركيب الكيميائي للصهارة عن طريق تحليل نواتج تجمدها، إلا أن مثل هذه التحاليل لا تعطي الصورة الحقيقية لهذا التركيب بسبب فقدان الصهارة في معظم الأحوال لأحد أهم مكوناتها عند التجمد ونقصه به المواد المتطايرة.

تشير التحاليل الكيميائية الموثقة لعينات الصخور الفيزية extrusive rocks — التي تمثل نواتج تجمد أنواع مختلفة من الصهارة النابطة في أماكن متفرقة من العالم، وفي بيئات تكتونية متنوعة — إلى تنوع كبير ومدى واسع من التغير في التركيب الكيميائي. يشير هذا التغير الكثير من التساؤلات مثل:

- هل هناك صهارة أولية واحدة تنشأ عنها كل أنواع الصهارات الأخرى؟
- هل هناك مصدر واحد لها أم هناك أكثر من مصدر؟
- إذا كان المصدر واحداً، فلماذا إذن تتعدد وتتباين التراكيب الكيميائية عندما تصل الصهارة إلى سطح الأرض أو تتجمد في أماكن وأعماق مختلفة بداخلها؟
- إذا كانت هناك عدة أنواع من الصهارة الأولية من أكثر من مصدر، فما هي العلاقة بين ذلك وبين تنوع التركيب الكيميائي؟



■ ثم هل يتغير التركيب الكيميائي للصهارة أثناء صعودها من الأعماق التي تتكون فيها إلى المستويات التي تتجمد عندها؟ وإذا كانت الإجابة بنعم فما هي أسباب هذا التغير؟ وكيف يحدث؟.

الإجابة على هذه الأسئلة ليست سهلة لأنها بالضرورة إجابات استنتاجية، وبالتالي فهي عرضة للمناقشة والنقد والتغير. ورغم أن إجابة هذه التساؤلات سوف تستدرجنا بالضرورة إلى علم الصخور النارية بمفهومه الواسع، إلا أننا سنحاول باختصار الإجابة عن بعض مما نراه ضروريا كخلفية علمية أساسية لهذا الباب. ولعلنا نلاحظ أن مجمل هذه التساؤلات يدور حول أمرين:

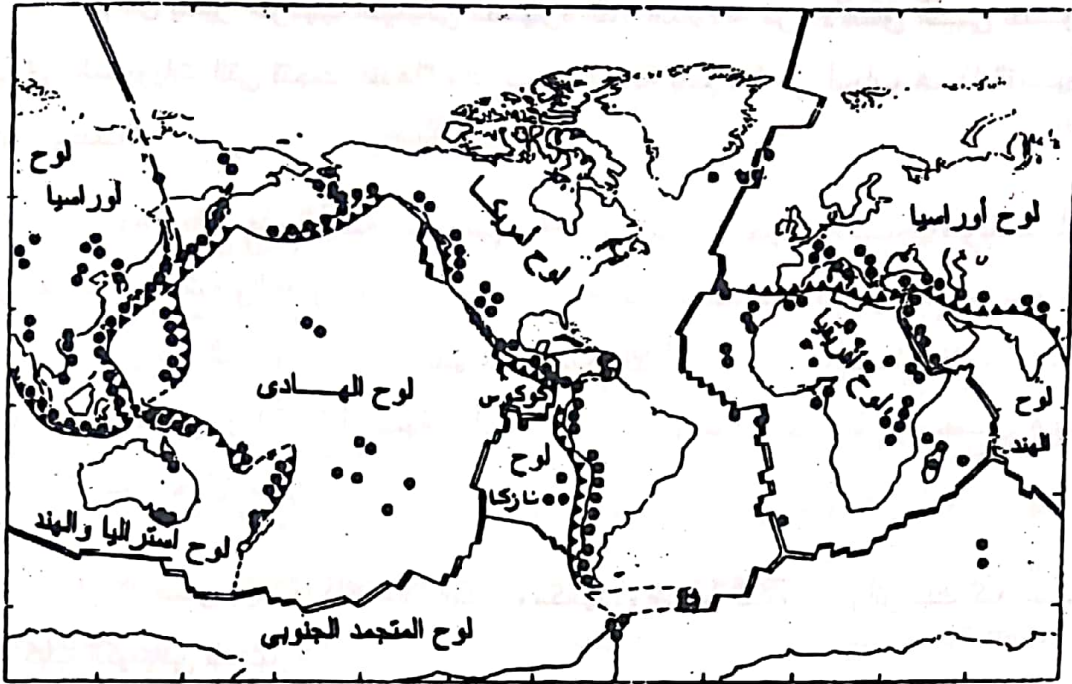
1- المصدر ويشمل ذلك مادة المنشأ ومكانها ووضعها التكتوني، وأثر ذلك كله على التركيب الكيميائي للصهارة.

2- عمليات التي يتم من خلالها تغير التركيب الكيميائي للصهارة الأولية.

### مصدر الصهارة

لاحظ علماء الجيولوجيا أن التوزيع الجغرافي لمواقع خروج الصهارة من الأرض (البراكين والتشققات) ليس عشوائيا بل يتبع نمطا معينا كما يظهر من شكل 5-1. يلاحظ من هذا التوزيع أن أكثر من 90% من أماكن الأنشطة النارية حاليا مرتبط بحواف الألواح plate margins التي تشكل في مجموعها الغلاف الصخري lithosphere للأرض. يبلغ عدد هذه الألواح حوالي اثني عشر لوحا تتراوح في سمكها من بضعة كيلومترات في جوار الأعراف الوسط محيطية mid-oceanic ridges إلى أكثر من 200 كيلومتر تحت المناطق القارية المستقرة، في حين تمتد الأبعاد الأفقية التي تغطيها هذه الألواح إلى آلاف الكيلومترات. يشمل الغلاف الصخري جزءا من الوشاح العلوى وكل القشرة الأرضية. تتحرك هذه الألواح فوق الغلاف اللدن asthenosphere الذي يسفلها بسبب تيارات الحمل أو الانسياب اللدن (البلاستيكي) داخل هذا الأخير.

ينتج عن حركة الألواح خمسة أنواع من البيئات التكتونية هي:



• الأنشطة البركانية الحديثة مناطق الانضواء والتصادم القاري حدود اللوحات التكتونية

شكل 1-5 خريطة تكتونية للعالم توضح توزيع الأنشطة البركانية الحديثة وارتباطها بالألواح التكتونية. حواف الألواح عن كوندى (Condie 1982) ومواقع الأنشطة البركانية عن بست (Best 1982) والخريطة المجمععة عن ويلسن (Wilson 1989).

1- بيئة حواف الألواح البناءة constructive plate margins وهى التى يصحبها تكوّن وخروج صحارة تضاف إلى مناطق تباعد حدود الألواح عن بعضها البعض وتشمل مناطق الأعراف الوسط محيطية ومراكز الانتشار خلف الأقواس back-arcs spreading centers.

2- بيئة حواف الألواح الهدامة destructive plate margins وهى التى يصحبها اندساس أجزاء من القشرة المحيطية فى مناطق انضواء الحدود اللوحية subduction plate boundaries وتشمل بيئات الأقواس الجزيرية island arcs وبيئات الحواف القارية النشطة active continental margins.



3- بيئة داخل الألواح المحيطية within oceanic plates وتشمل الجزر المحيطية oceanic islands مثل جزر هاواي.

4- بيئة داخل الألواح القارية within continental plates وتشمل مناطق الطفوح البازلتية القارية مثل حرات الجزيرة العربية وهضبة دكا بالهند.

5- بيئة تصادمية collision وتشمل مناطق تصادم الألواح القارية مثل مناطق جبال الهمالايا.

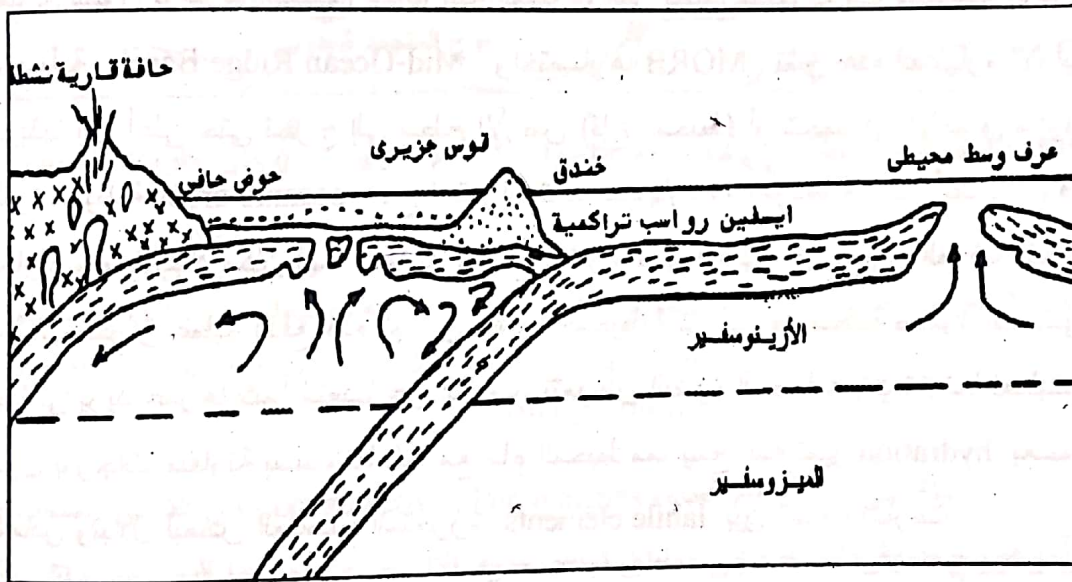
تتولد الصهارة في جميع هذه البيئات، ولكن من ناحية الكم تعد البيئة الأولى - البناءة - أكثرها عطاء. في هذه البيئة يحدث انصهار جزئي partial melting لمواد الوشاح العلوى لتكون نوعاً من الصهارة البازلتية المميزة، التي يطلق عليها بازلت منتصف الأعراف المحيطية Mid-Ocean Ridge Basalt واختصارها MORB. تشق هذه الصهارة الأولية طريقها إلى أعلى حتى تخرج إلى سطح الأرض (قاع المحيط) أو تتجمد في الأعماق مكونة قشرة محيطية oceanic crust. مع استمرار تولد الصهارة وصعودها إلى أعلى، وفي محاولة منها لإيجاد مكان لها، فإنها تقوم بدفع القشرة القديمة بعيداً عن محور العرف دفعا من أسفل. وبتكرار عملية الدفع هذه نجد أن القشرة المحيطية تتباعد عن منطقة صعود الصهارة وبالتالي يزيد عمرها كلما ابتعدنا عن العرف. تتعرض القشرة المحيطية بعد تكونها لعمليات تحول بدرجات متفاوتة بسبب تفاعلها مع ماء المحيط مما ينتج عنه تميؤ hydration بعض المعادن وتبادل لبعض العناصر المتحررة labile elements بين الماء والبازلت.

يصاحب تحرك الألواح المحيطية زيادة في برودتها وسمكها وكثافتها، وعند التقاء حواف الألواح المتداخلة يبدأ أحد الألواح الأكثر كثافة في الاندساس أو الغوص مرة أخرى في الوشاح عند ما يسمى بنطق الانضواء subduction zones (شكل 5-2).

عند اندساس القشرة المحيطية البازلتية، وما يعلق بها من رواسب بحرية لم تكشف، في الخندق trench تزداد حرارتها، ومع غوصها أكثر في الوشاح تبدأ المعادن المتميئة hydrated في التخلص من مائها. وعند درجة حرارة معينة، تبدأ عملية انصهار جزئي يتكون نتيجة لها صهارة تكون في غالبيتها أكثر ثراء بالسليكا والماء عن البازلت المحيطي الأولى المتكون في الأعراف. تصعد الصهارة المتكونة شاقة طريقها فيما يسمى بالإسفين



الوشاحي mantle wedge الذى يعلو الكتلة المندسة، وهناك قد تحدث عملية انصهار جزئى أخرى. تتساعد الصهارة البازلتية الغنية بالماء فى القشرة بسبب اختلاف الكثافة مكونة ما يعرف بغرف الصهارة magma chambers حيث يحدث لها عملية تمايز ينتج عنها أنواع من الصهارة أكثر ثراء بالسليكا. ويلاحظ هنا أن النشاط البركانى يكون شديد التفجر فى مثل هذه البيئات، بسبب احتواء الصهارة على كميات كبيرة من المواد المتطايرة (بخار الماء). تحتل هذه البيئة الموقع الثانى فى الأهمية من حيث كمية الصهارة المتولدة فيها، وهى تشمل معظم البراكين النشطة القريبة من سطح الأرض، كما تشمل تقريبا كل أماكن الزلازل ذات البؤر العميقة والمتوسطة.



شكل 2-5 شكل تخطيطى يصور البيئات التكتونية المختلفة لتكون الصهارة الأولية.

ويترتب على تداخل الألواح أنماط من النواتج الصهيرية غير المتماثلة أو المستقطبة الاتجاه فى الألواح المعتلية overriding plates. فإذا انضوت ألواح محيطية تحت أخرى مماثلة، فإنه ينتج عنها سلسلة من الجزر البركانية على شكل قوس أو ما يعرف بالأقواس الجزيرية island arcs مثل الجزر الإندونيسية. أما إذا انضوت ألواح محيطية تحت ألواح قارية، فتتكوّن حافة قارية نشطة active continental margin، مثل الحافة الغربية لقارة أمريكا الجنوبية حيث تتكون جبال الأنديز الشهيرة. ورغم تشابه عملية تولد الصهارة

فى هاتين البيئتين فى كونها نتيجة عملية انصواء، إلا أن البيئة الثانية أكثر تعرضاً لحدوث تغير فى الخصائص الجيوكيميائية للصهارة بسبب تعرضها للتلوث contamination بصخور القشرة القارية. يحدث أحيانا انتشار ثانوى أو تباعد لقاع البحر seafloor spreading خلف الأقواس البركانية volcanic arcs مما ينتج عنه تكون أحواض حافية marginal basins أو خلف - قوسية، ويلاحظ أن العمليات التى تحدث هنا شبيهة بتلك التى تحدث عند أعراف وسط المحيطات ولكن الخصائص الجيوكيميائية للصهير البازلتي الناتج تكون أكثر تعقيدا لأنها تجمع بين خصائص الصهارات المتكونة عند كل من الحواف الهدامة والبناءة.

إذا عدنا إلى الشكل 5-1 سنلاحظ وجود عدد من مراكز الأنشطة النارية الحديثة على مسافات بعيدة جدا عن حواف الألواح مكونة أقاليم بركانية ضمن الألواح intra- or within-plate. تعطى الأنشطة النارية الحالية ضمن الألواح القارية كميات محدودة من النواتج النارية التى تتركز فى مناطق الأخاديد rift zones داخل القارات مثل أخدود شرق إفريقيا، ولكن يبدو أن هذه البيئة كانت أكثر نشاطا فى الماضى عندما تكونت أقاليم الطفوحات البازلتيّة القارية التى سبقت عملية تجزؤ القارات وتباعدها.

مما سبق، يتضح أن الوشاح العلوى هو الوعاء الرئيس الذى يعد فيه وتنشأ منه الصهارة الأولية لغالبية الصخور النارية، وهى عادة صهارة قاعدية (بازلتيّة) أو فوق قاعدية فى التركيب، بغض النظر عن البيئات أو الأماكن التى تتكون فيها. قد يحدث فى مناطق الانصواء اختلاط هذا الصهير بنواتج انصهار ما يعلق بالقشرة المحيطية المندسة من رواسب قاع المحيط فيتكون صهير أكثر ثراء بالسليكا. وتتسبب عدة عمليات بعد ذلك فى تغير التركيب الكيميائي للصهارة لتعطينا هذا المدى الواسع من الصخور النارية المنتشرة فى الأرض.

### العمليات المتسببة فى تغير التركيب الكيميائي للصهارة

هناك قبول عام بأن العمليات التى تحدد التركيب النهائى للصهارة هى :

1- الانصهار الجزئى لمادة الوشاح.



2- التمايز الصهيري للصهارة الأولية المتكونة في العملية السابقة، ويشمل عمليات التبلور التجزيئي، والخلط أو المزج الصهيري، والتلوث القشري crustal contamination.

ويلاحظ أن هناك عوامل (وليس عمليات) أخرى تسهم في تحديد التركيب الصهيري مثل العمق الذي ينشأ عنده الصهير والتركيب الكيميائي والمعدني للمصدر، إذ إن عدم تجانس الوشاح يعد أمراً مؤكداً الآن، كما أنه يختلف من وضع بنائي إلى آخر أو من بيئة تكتونية إلى أخرى.

وتشير الدراسات الجيوفيزيائية إلى أن الوشاح العلوي للأرض يمتد من فاصل موهو Moho discontinuity إلى عمق 670 كم (انظر شكل 2-9 عن بنائية الأرض، الباب الثاني)، ويكون تحت الظروف العادية في حالة جامدة solid state بشرط خلوه تماماً من الماء. ويبدو أن الصهير الأولي يتولد أو ينشأ داخل مدى محدود من هذا العمق يتراوح بين 100-200 كم في أعلى الوشاح العلوي، وإن كان تحديد هذا العمق بدقة مازال يلقى بعض الصعوبات. وهناك شواهد على أن صخوراً معينة، مثل الكمبرلايت تنشأ في أعماق تتجاوز 200 كم. كذلك تشير بعض الدراسات الجيوكيميائية والنظائرية إلى اختلاف التركيب الكيميائي للوشاح العلوي عن بقية الوشاح خاصة في كونه مستنفداً من depleted العناصر النزرة غير المتوافقة incompatible. ويعتبر تكون القشرة القارية مسؤولاً عن عملية الاستنفاد التي حدثت لهذه الطبقة في حين ظلت الطبقة الأعمق - الوشاح السفلي - أكثر ثراءً بتلك العناصر.

تعرفنا في الباب الثاني أن الوشاح العلوي يتكون بشكل عام من معادن الأوليفين - الكلينوبيروكسين - الأورثوبيروكسين - الجارنت بترتيب تنازلي حسب وفرتها. قد توجد أحياناً معادن أخرى بنسب صغيرة مثل الفلوجوبيت والأمفيبول، وهي رغم قلة كمياتها، فإن لها أهمية كبيرة في كونها تؤكد إمكانية وجود بعض الماء في الوشاح العلوي. وتؤثر نسب المعادن المختلفة في الوشاح كثيراً على قدرته في توليد صهارة أولية، لذلك توصف طبقة الوشاح العلوي أحياناً بأنها خصبة fertile أو ثرية إذا كانت نسبة الكلينوبيروكسين إلى الأوليفين عالية، وأحياناً بأنها عقيمة أو قاحلة barren إذا كانت نسبة الأوليفين هي الأعلى. من هذا يتضح أن التركيب الكيميائي للصهارة الأولية قد يختلف بسبب اختلاف التركيب المعدني أو الكيميائي لمادة الوشاح. ولكن، نظراً لأن هذه الاختلافات تكون عادة محدودة، فإن



دورها أو تأثيرها يكون أيضا محدودا، ويظل الدور الأكبر والأهم للعمليات اللاحقة التى تؤدى دورها على النحو التالى:

### الانصهار الجزئى

يطلق مصطلح الانصهار الجزئى partial melting أو partial fusion على أى عملية ينتج عنها صهارة تقل كميتها عن كمية المادة الأولية التى اشتقت منها، ويتفق معه فى نفس المعنى مصطلح "التسيل" أو التمثّل الصهارى anatexis . تحتاج مادة الوشاح الصلبة إلى نذر يسير من الماء حتى تبدأ عملية الانصهار الجزئى. فمثلا إذا توافر فى الوشاح العلوى ماء بنسبة 0.04 % وزنا أمكن تكون صهارة مجمائية بنسبة حوالى 1% عند عمق يتراوح بين 100-200 كم. ونظرا إلى أن توافر كميات أكبر من الماء أو المواد المتطايرة غير محتمل فى هذه البيئة، فلا بد من وجود عامل آخر يتسبب فى إحداث انصهار جزئى بنسب تتراوح بين 5-30% وهو المعدل المقدر حدوثه فى الوشاح العلوى. هناك عدة احتمالات ترفع من معدلات تكون الصهارة منها:

- حدوث اضطرابات حرارية شاذة فى أماكن تكون الصهارة.
  - إضافة بعض المواد المتطايرة للكيان تكون قد توافرت أو صعدت من الوشاح السفلى (غير المستفد).
  - حدوث تراخ أدياباتي (فى الضغط مع ثبات الحرارة) adiabtic decompression.
- ورغم الغموض الذى يحيط بالعمليات التى تحدث فى الوشاح لعدم إمكانية مضاهاتها تجريبيا، إلا أن الاحتمال الأخير هو أكثرها قبولا لإحداث انصهار جزئى على نطاق يكفى لتولد كميات كبيرة من الصهارة. ويكاد يكون من المتفق عليه أن انصهار مادة الوشاح الصاعدة بفعل تحرر الضغط pressure-release هى العملية الأكثر حدوثا والمتسببة فى تكوين الجزء الأكبر من الصهارة التى تصل إلى سطح الأرض. يحدث التراخى فى الضغط بسبب صعود الصهارة إلى أعلى نتيجة إختلاف كثافتها عن الوسط المحيط الجامد.

هناك نوعان من التصور لما يحدث للصهارة عند تكونها فى الوشاح:

1 أن يستمر تفاعلها مع الفضالة البلورية crystalline residue وتصل معها إلى حالة اتزان حتى تحين لحظة التفارق segregation، أى إن التركيب الكلى للكيان يظل بدون تغير حتى هذه اللحظة.

2 أن تتم إزالتها باستمرار من الكيان بمجرد تكونها وبالتالي لا تتمكن من التفاعل أو الاتزان مع الفضالة البلورية، وبديهي أنه فى مثل هذه الحالة يكون التركيب الكلى للكيان دائم التغير.

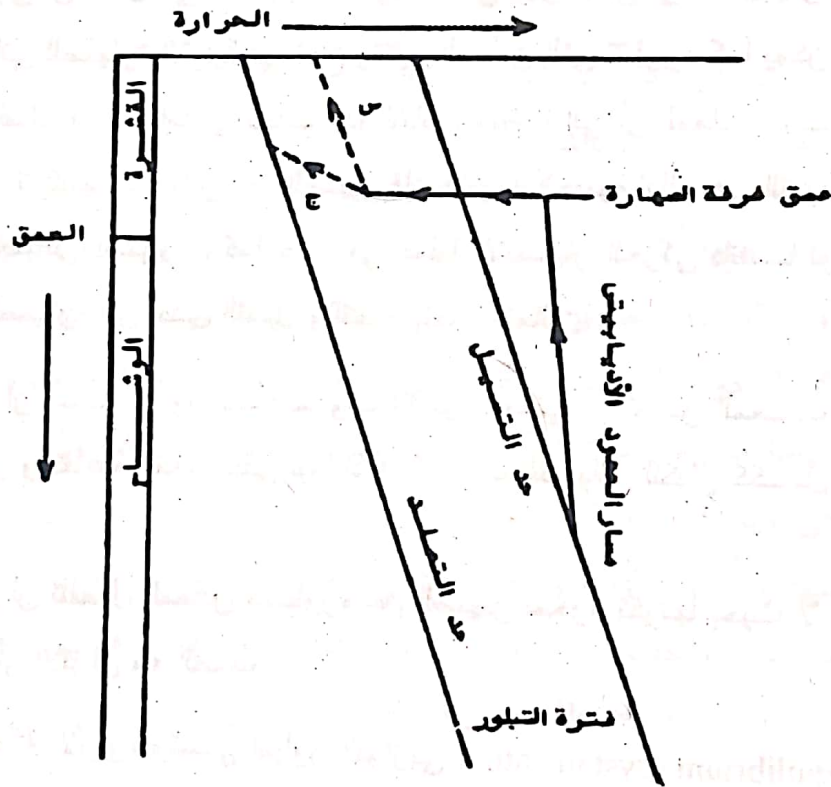
من المرجح أن كلا التصورين يمكن حدوثه، ولكن فى المراحل الأولى لا تكفى الكميات المنصهرة من مادة الوشاح لتنفيذ عملية التفارق، وذلك لأن نفاذية الوشاح تكون أقل من الحد الذى يسمح بتحريك الصهارة وبالتالي يسود التصور الأول. عند وصول نسبة الكمية المنصهرة إلى حد معين (حوالى 7%) تبدأ قطراتها فى الاتصال بعضها البعض مكونة شبكة من العروق الصهيرية فى تشققات البريدوتيت المتشوه، عندها تتمكن من الحركة والصعود، وهنا إما أن تتفصل على شكل صهارة بازلتية أو توالى صعودها إلى أعلى مسببة مزيداً من الانصهار حتى تسمح لها الظروف بالانفصال على شكل صهارة بازلتية تختلف فى تركيبها الكيميائى عن سابقتها، ويتوالى انفصال الصهارات البازلتية "الأولية" التى يعتمد تركيبها على نسبة الانصهار التى حدثت فى مادة الوشاح، التى لا تتجاوز عادة 30%. وهكذا نرى كيف تتسبب الاختلافات فى التركيب الكلى والمعدنى لمادة الوشاح وكذلك العمق الذى يحدث عنده عملية الانصهار الجزئى ونسبة الصهير المتكون فى إحداث أول اختلاف يقود إلى تنوع الصهارة الأولية التى تصل إلى سطح الأرض. وفى الأجزاء التالية سوف نرى كيف تنتوع هذه الصهارات بين صهارة كمبرليت وصهارة بازلت قلوئى وبازلت ثولييتى وربما أيضاً أندزيت.

### التمايز الصهيرى

مع تقدم الصهارة الأولية من أماكن تفارقها عند عمق 50-100 كم إلى مستويات أعلى فى الأرض تبدأ فى البرودة والتجمد، ومن المعلوم أن عملية تجمد الصهارة لا تتم دفعة واحدة عند درجة حرارة معينة، بل يتتابع انفصال المعادن الصلبة على مدى واسع من درجات الحرارة (شكل 5-3). ويطلق على الحرارة التى يبدأ عندها الصهير فى التبلور حد



التسيل liquidus وتلك التي يكتمل عندها التبلر حد التجمد solidus. يتغير حد التسيل والتجمد بتغير الضغط، وعلى ذلك يظهران عادة على شكل منحنيات تعبر عن أبعاد هذا التغير. يظهر من شكل 5-3 أن المراحل الأولى لارتفاع الصهارة تتم تحت ظروف حرارية محدودة التغير (أدياباتية adiabatic). لذلك، فإنه من المستبعد حدوث تبلور لصهارة بازلتية قبل الوصول إلى عمق القشرة الأرضية، ولكن ما أن تصل هذه الصهارة إلى صخور القشرة ذات الكثافة الأدنى حتى تفقد قدرتها على الطفو buoyancy أو الاستمرار في الصعود وتسكن في مكانها - أو تكاد - مكونة غرفة للصهارة magma chamber. تبدأ الصهارة في هذه الغرفة في البرودة بفقدان الحرارة إلى صخور القشرة المحيطة بها وما أن تصل في برودتها إلى ما دون حد التسيل حتى تبدأ البلورات في الانفصال. ومع زيادة البرودة تزداد كمية البلورات المتكونة التي تبقى معلقة في الصهير.



شكل 5-3 تصور تخطيطي لمسار صعود صهارة بازلتية إلى سطح الأرض وعلاقتها بفترة التبلور. (س: مسار الصخور السطحية، ج: مسار الصخور الجوفية).  
عن: ويلسون (Wilson 1989).



إذا حدث بعد ذلك إمداد لغرفة الصهارة بدفعة أخرى من الصهارة الأولية، فقد تتسبب في إحداث تفجر بركانى تخرج فيه الصهارة المحملة بالبلورات لتكون صخورا ذا نسيج سماقى (بورفيرى porphyritic) يسلك المسار "س" فى الشكل 5-3. وقد يحدث تجمد كامل للصهارة داخل القشرة فتكون صخورا جوفيا أو متوسط التموضع hypabyssal كما فى المسار "ج". وسنحاول فيما يلى باختصار إلقاء الضوء على كل من هذه العمليات أو الاحتمالات ومدى مساهمتها فى تغير التركيب الكيمائى للصهارة الأولية.

### التبلور التفاضلى

يتضح مما سبق أنه عند انخفاض درجة الحرارة عن حد التسيل فإن الصهارة لا تتجمد إلى الحالة المعدنية دفعة واحدة، بل يبدأ أحد المعادن فى الانفصال، ثم يلحق به ثان، ثم ثالث، وهكذا، إلى أن نصل إلى حد التجمد، حيث تختفى آخر نقطة فى الصهارة. ويتحكم التركيب الكيمائى للصهارة الأولية فى نوع وتتابع المعادن التى تتبلور، كما يمكن أن يلعب الضغط الكلى السائد دورا هاما فى تحديد هذا التتابع. ونظرا إلى أن المعادن التى تنفصل تختلف عادة فى تركيبها الكيمائى عن الصهير فإن النتيجة الحتمية لذلك هى التغير المستمر فى التركيب الكيمائى للصهير. وكما حدث فى عملية الانصهار الجزئى فإننا نواجه فى مرحلة وجود الصهارة بين حدى التسيل والتجمد بأحد احتمالين :

- الأول أن يحدث التبلور تحت ظروف اترائية، بمعنى أن تستمر المعادن المتبلورة ملامسة للصهير ومتفاعلة معه، ويبقى تبعا لذلك التركيب الكيمائى للكيان ككل ثابت دون تغير.
- الثانى أن تنفصل المعادن المتبلورة عن الصهير بمجرد تكونها بحيث لا تتاح لها فرصة التفاعل أو الاتزان مع الصهير.

فى الحالة الأولى، وتسمى التبلور التوازنى equilibrium crystallization، يكون الصخر الناتج عن التبلور النهائى للصهارة مطابقا فى تركيبه الكيمائى الكلى لتركيب الصهارة الأولية. فإذا كانت هذه الأخيرة صهارة بازلتية نتج عنها صخور بازلت أو دوليريت أو جابرو أو إكلوجيت تبعا لعمق مكان التبلور. فى الحالة الثانية، وتسمى تبلور تجزيئى fractional crystallization، يترتب على انفصال المعادن المتبلورة تكون صخور متباينة

التركيب الكيميائي. فمثلاً، إذا كانت الصهارة الأولية بازلتية فقد تتكون صخور فوق قاعدية في البداية غنية بالمغنيسيوم والحديد تليها صخور قاعدية ثم متوسطة كالأنديزيت أو الداسيت، أو حمضية كالريوليت، وهي صخور تزيد فيها نسب السليكون والألومنيوم والعناصر القلوية نتيجة تغير التركيب النهائي للصهارة قبل الوصول إلى حد التجمد.

يلاحظ أن التبلور التفاضلي لا يعنى بالضرورة طريقة معينة لانفصال المعادن عن الصهارة إذ يتم هذا عن طريق عدة بدائل قد تشمل واحدة أو أكثر من العمليات التالية:

1- الاستقرار التجاذبي للبلورات gravitational crystal settling .

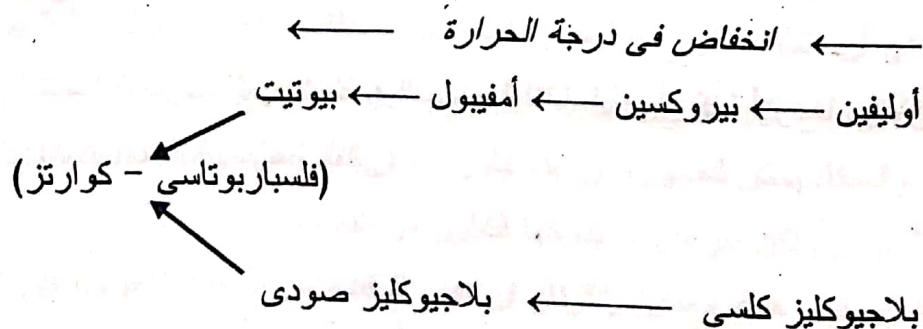
2- انفصال فيضي أو سريانى flowage separation

3- ترشيح ضغطى filter pressing

4- تمايز بالحمل الحرارى convective fractionation

ويمكن الرجوع إلى كتب علم الصخور النارية لمزيد من التفاصيل عن هذه العمليات ودور كل منها في عملية التبلور التفاضلي.

تخضع عملية التبلور التفاضلي إلى ما يعرف بقاعدة الصنف phase rule التى تسهم فى التنبؤ بسلوك الصهارة عند برودتها، وبنوعية المعادن التى تنفصل منها، وتتابعها، ونسبها. ويمكن الرجوع إلى الباب الثالث وإلى كتب علم الصخور النارية لمعرفة المزيد عن هذه القاعدة الهامة التى وفرت أساساً جيداً لفهم جيوكيمياء الصخور النارية. وقد استطاع العالم الأمريكى بوين Bowen أن يستغل القاعدة فى إيضاح الطريقة التى يتم بها تغير التركيب الكيميائى للصهارة أثناء عملية تبلورها، واستنتج بالتالى تتابع تبلور المعادن الأساسية من صهارة قاعدية (غنية بالحديد والمغنيسيوم وقليلة السليكا) وصاغ ذلك فيما عرف بتسلسل بوين للتفاعل Bowen reaction series الذى رتبته على النحو التالى:





تشكل المعادن المافية فى الصف العلوى تسلسل تفاعل متقطع أو غير متصل discontinuous reaction series، بمعنى أنه بانخفاض درجة حرارة الصهارة، وما لم يفصل المعدن المتكون أولاً عن الصهارة، فإنه ينتج عن تفاعله مع الصهير المتبقى تكون المعدن الذى يليه فى الصف. ويتم هذا التفاعل عند درجة حرارة معينة أو فى مدى محدود جداً من التغير الحرارى. وتوضيحاً لذلك فإن الأوليفين يتبلور فى أول مراحل التجمد ومع استمرار انخفاض الحرارة يتفاعل الأوليفين مع الصهير مكوناً معادن البيروكسين الغنية بالمغنسيوم والحديد (والكالسيوم) مثل الأوجيت. وهذا الأخير يتفاعل مع الصهير ليكون الهورنبلند الذى يتفاعل بدوره مع الصهير ليكون البيوتيت. يلاحظ أن كل مجموعة من هذه المعادن تختلف فى تركيبها الكيميائى، وترتيب البنية البلورية، ومعظم الخواص الفيزيائية عن سابقتها، مما يبرز الاسم الذى أطلق عليها كتسلسل غير متصل. على النقيض من هذا التسلسل، فإن معادن مجموعة البلاجيوكليس فى الصف السفلى تكون ما يسمى بتسلسل تفاعل متصل continuous reaction series وفيه تتفاعل البلورات المتكونة باستمرار مع الصهير، ما لم تنفصل، حتى يتم التجمد الكامل، ولا تتغير أثناء هذا التفاعل نوعية المعدن أو بنيته البلورية، إنما يلاحظ أن جميع معادن هذه المجموعة متشابهة فى البنية البلورية، وفى كثير من الصفات الفيزيائية، رغم الاختلاف التدريجى فى التركيب الكيميائى. أما عن معادن الكوارتز والفلسبار البوتاسى التى تقع فى نهايتى السلسلتين، فإنهما لا ينتميان لأى من هاتين المجموعتين، بمعنى أنهما لا يتكونان بالضرورة نتيجة تفاعل معادن مبكرة التبلور مع الصهير، ولكنهما يتكونان عادة من السائل المتبقى إلى قرب نهاية عملية التجمد. وتعتمد كمية السائل المتبقى على التركيب الأولى للصهارة، وعلى كفاءة عملية الفصل التى تتم للمعادن مبكرة التبلور، مثل الأوليفين، فكلما زادت الكمية المنفصلة منه ارتفعت نسبة السليكا فى الصهير المتبقى.

إذا تتبعنا التغيرات الكيميائية المصاحبة لتسلسل بوين كما أوردها ميزون ومور (Mason & Moore 1982) نلاحظ التالى:



1- ارتفاع تدريجي في نسبة السليكون : أكسجين، ففي التسلسل المتقطع تزيد النسبة من 4:1 في الأوليفين إلى 3:1 في البيروكسين إلى 11:4 في الأمفيبول إلى 5:2 في البيوتيت، أما في التسلسل المتصل فتزيد النسبة من 4:1 في الأنورثيت إلى 8:3 في الألبيت.

2- زيادة عامة في تعقد البنية السليكاتية، فمن رباعيات أوجه tetrahedra منفصلة في الأوليفين إلى سلسلة منفردة في البيروكسين إلى سلسلة مزدوجة في الأمفيبول إلى بناء صفائحي في الميكا. تعكس هذه التغيرات ما يحدث للصهير السليكاتي من زيادة تشابك رباعيات أوجه السليكا silica tetrahedra مع انخفاض الحرارة. يترتب على نمو البناء البلوري بهذا الشكل زيادة في حجم الخلايا الوحدية unit cells في البنية، فنرى مثلاً زيادة حجم خلية الوحدة من 294 أنجستروم في الفورستريت (أوليفين) إلى 434 في الديوبسيد (بيروكسين) إلى 925 في الهورنبلند (أمفيبول) إلى 975 في البيوتيت (ميكا).

3- انخفاض تدريجي في نسبة المغنسيوم والحديد والكالسيوم في مقابل ارتفاع تدريجي في الألومنيوم والبوتاسيوم والصوديوم في التسلسل غير المتصل، كما يصحب ذلك ارتفاع في تركيز المواد المتطايرة مثل الفلورين وبخار الماء في الصهير المتبقى.

4- الإحلال التدريجي لذرات الألومنيوم Al مكان ذرات السليكون Si مع انخفاض درجة الحرارة، ويبدأ الإحلال ضعيفاً في مجموعة البيروكسين، ثم يزداد في الهورنبلند، ثم يزداد حتى يتجاوز ربع السليكون في البيوتيت. أما في التسلسل المتصل فيحدث العكس، أي تنخفض النسبة Al:Si من 1:1 في الأنورثيت إلى 1:3 في الألبيت.

يلاحظ أننا لم نحدد في البيان الشكلي لتسلسل بوين درجات حرارة معينة لظهور أي مجموعة معادن في أي من التسلسلين، وذلك لأن مثل هذه الدرجة تعتمد على عدة عوامل مثل التركيب الدقيق للصهارة، والضغط، ومحتوى المواد الطيارة. في نفس الوقت يظهر البيان الشكلي أن التبلور يكون مترامناً في التسلسلين بانخفاض الحرارة فيظهر البلاجيوكلاز الغني بالكالسيوم مع الأوليفين أو البيروكسين، والبلاجيوكلاز الأكثر غنى بالصوديوم مع الهورنبلند والميكا. يمكن للصهارة أن تبدأ تبلورها بأي معدن في أي سلسلة ويعتمد ذلك على تركيبها الكيميائي ولكن سرعان ما يدركها التبلور من التسلسل الآخر، لذلك فخلال معظم عملية التبلور يكون هناك معدنين يتكونان في نفس الوقت. من الناحية الأخرى، فإن المعدن

الذى تتوقف عنده عملية التبلور يعتمد على تركيب الصهارة وعلى ما إذا كانت حالة من الاتزان كانت سائدة خلال عملية البرودة (أى استمرار تفاعل المعادن المتكونة مبكراً مع الصهارة)، أو إن المعادن المتكونة كانت تنفصل عن الصهارة أولاً بأول.

### الخلط فى غرف الصهارة

يقصد بهذه العملية اختلاط نوعين من الصهارة، وهى تعد من أهم العمليات التى تنبئها العلماء حديثاً، وتفسر كثيراً من الخصائص الجيوكيميائية للصخور، ففسر مثلاً بعض التباين الكيميائى فى البازلت المتكون فى الأعراف الوسط محيطية MORB بحدوث إضافات دورية من الصهارة البدائية primitive magma إلى غرف الصهارة الموجودة على طول تلك الأعراف، حيث تختلط هذه الإضافات بصهارة متخلفة عن عملية تمايز صهيرى لدفعة سابقة من الصهارة. فى مثل هذه الحالة، تكون الصهارة الناتجة متجانسة إلى حد كبير بسبب سهولة اختلاط نوعين من الصهارة القاعدية. تعتمد درجة التجانس الكيميائى على كفاءة عملية الخلط، والتى تعتمد بالتالى على قوة اندفاع الصهارة الجديدة وعلى الكثافة واللزوجة النسبية للصهارتين. وتشير بعض الدراسات التجريبية إلى توقف عملية الخلط تقريباً عندما تتفاوت درجات اللزوجة بين الصهارتين، ويؤيد ذلك الكثير من الشواهد الحقلية مثل وجود محقونات مخلطة mixed intrusions حيث تشاهد وسائد من صخور قاعدية فى وسط من الصخور الفلسية أو الجرانوفير. فى حالة إضافة بطيئة لصهارة جديدة عالية اللزوجة، يمكن حدوث خلط محدود المدى مع صهارة سابقة موجودة فى غرفة الصهر ذات درجة لزوجة مقاربة. أما فى حالة إضافة نفس النوع من الصهارة، ولكن بقوة اندفاع أكبر نحو الأجزاء العلوية من الغرفة، فإنها (أى الصهارة المضافة) تكون نافورة دوامية turbulent fountain تشكل آلية فعالة فى مزج نوعى الصهارة، القديمة والمضافة. وتشير التجارب المعملية إلى أنه كلما زادت التفاوت بين لزوجة الصهارتين زادت فعالية الخلط.

### التلوث القشرى

تحدث هذه العملية عند صعود الصهارة من أماكن تولدها فى الوشاح العلوى إلى أماكن تجمدها فى القشرة الأرضية أو قرب سطح الأرض. ويختلف الرأى حول الأهمية



النسبية لهذه العملية إذا قورنت بعمليات أخرى مثل التبلور التفاضلى فى إحداث التباين الكبير فى التركيب الكيميائى للصخور النارية. فمثلا، من المستبعد أن يحدث للصهارة الأولية، عند مرورها فى الوشاح أو فى بيئات القشرة المحيطية، تلوث يتسبب فى إحداث تغيرات ملموسة فى تركيبها الكيميائى كالذى يحدث عند مرورها فى قشرة قارية، وذلك للتناقص الكبير بين تركيبى الصهارة والقشرة القارية، الذى يفسر التباين الجيوكيميائى الملاحظ بين الثولييت المحيطى والثولييت القارى، حيث يتميز الأخير بتراء فى السليكا والعناصر غير المتوافقة.

تتم عملية التفاعل بين الصهارة الصاعدة وصخور القشرة بعدة طرق منها:

- (1) اختلاط صهارة متكونة من انصهار جزئى لصخور سابقة التكون من القشرة أو الوشاح، بالصهارة الصاعدة.
  - (2) بدء انصهار حوائط وسقف وأرضية غرف الصهارة عندما تتجاوز حرارة أى منهم حد التجمد واختلاط الصهير الناتج بالصهارة الصاعدة.
  - (3) التقاف الصهارة الصاعدة لكثل من صخور القشرة المحيطة وصهرها واستيعابها assimilation.
  - (4) تفاعل كيميائى بطيء مع كتل الصخور الملتقفة أو المحيطة دون صهرها. وتعد هذه الطريقة أكثر الوسائل أهمية فى عملية تلويث الصهارة.
- وبشكل عام تنعكس آثار عملية التلوث على وفرة العناصر النزرة بدرجة أكبر مما يحدث للعناصر الرئيسية. ولكن يلاحظ أن هناك تباينا آخر يتم بين العناصر النزرة، فمنها ما لا يتأثر كثيرا بمقدار التلوث، ومنها ما هو حساس لأقل قدر منه.



## التركيب الكيميائي للصخور النارية

### التحليل الكيميائي للصخور النارية

يعتمد فهمنا لجيوكيمياء الصخور النارية على التحاليل الكيميائية التي نحصل عليها من مختلف الأنواع والتراكيب والأماكن والبيئات. ونظرا للتنوع الكبير والتباين الشاسع في التركيب الكيميائي لهذه الصخور، فإن تحليل هذه الصخور يعد من أكثر التقنيات صعوبة وتعقيدا، ويحتاج من يمارسه إلى خبرة طويلة حتى يتمكن من الحصول على نتائج يعتد بها (يُعوَّل عليها reliable)، لذلك يلزم قبل البدء في التعامل مع هذه التحاليل أن نلم بخلفية مختصرة عن كيفية الحصول عليها، وكيفية تقويمها، ومدى الثقة أو معيَّليتها. فهناك الكثير من التحاليل المتاحة وحتى المنشورة التي لا يؤخذ بها أو يتقبلها علماء الجيوكيمياء لأسباب كثيرة، منها ما يتعلق بكفاءة وخبرة وسمعة المعمل الذي أجرى التحليل، ومنها ما يرجع إلى تخلف أو عدم دقة الأجهزة المستخدمة، أو إلى عدم ملاءمة تقنية التحليل المستخدمة للعنصر المحلل أو تركيزه أو غير ذلك من عوامل أخرى.

يأتى على رأس الصعوبات التي تواجه التحليل الكيميائي للصخور النارية أنه لا توجد تقنية واحدة تصلح لتحديد كل مكونات الصخر، وأن على المرء أن يتقن أكثر من طريقة حتى يصل إلى التركيب الكامل والصحيح للصخر.

يمكن تقسيم مكونات الصخور كيميائيا إلى نوعين:

#### • عناصر رئيسة major elements

وهي التي توجد عادة بنسب تزيد عن واحد في المائة، وتقدر على شكل أكاسيد تشمل:  $\text{SiO}_2$ ,  $\text{TiO}_2$ ,  $\text{Al}_2\text{O}_3$ ,  $\text{Fe}_2\text{O}_3$ ,  $\text{FeO}$ ,  $\text{MgO}$ ,  $\text{CaO}$ ,  $\text{Na}_2\text{O}$ ,  $\text{K}_2\text{O}$ ، يضاف إليها عادة الأكاسيد  $\text{MnO}$ ,  $\text{P}_2\text{O}_5$ ,  $\text{H}_2\text{O}$ ، وهي لعناصر مقلّة minor elements يتدنى تركيزها في معظم الصخور النارية إلى ما بين 1% و 0.01%، ومع ذلك فإن تركيزاتها تظل تدرج ضمن جداول المكونات الرئيسية. ووحدة التركيز في هذه الجداول تكون دائما % وزنا (wt. %).

## • عناصر نذرة trace elements

وتشمل باقى العناصر الموجودة فى الطبيعة، وتركيز أى منها عادة أقل من 0.01% ووحدة تركيزها جزء من مليون (ج م م - ppm) وزنا وهو ما يعادل أيضا "جرام فى الطن". هناك بعض من هذه العناصر التى تتدنى تركيزاتها إلى جزء من بليون (ج م ب - ppb) وهو ما يعادل "جرام فى الألف طن".

بالنسبة للمكونات الرئيسية، فإن هناك أكثر من طريقة لتحليل كل منها. ويعتمد اختيارنا لإحداها على توافر الإمكانيات اللازمة لها، وعلى الدقة المطلوبة فى التحليل، والغرض منها. فعلى سبيل المثال تعد طريقة التحليل المتقالى الرطب wet gravimetric أقدم طرق تحليل الصخور - الطريقة التقليدية المثلى لتحليل المكونات الرئيسية للصخر، ولكنها تحتاج إلى كيميائى متمرس لتنفيذها. ويستغرق تحليل مجموعة من ست عينات سليكاتية بهذه الطريقة حوالى أسبوع من العمل الدؤوب، إذ تتضمن الخطوات إذابة مسحوق الصخر، ثم ترسيب وتجفيف ووزن الأكاسيد والمكونات الأخرى الرئيسية بالتتابع تحت ظروف شديدة الإحكام. ونظرا لطول الوقت الذى تستغرقه وبعض الصعوبات التقنية فقد انتشرت فى الستينات من هذا القرن طريقة التحليل السريع للسليكات rapid silicate analysis وتتضمن إذابة المسحوق الصخري ثم تحديد تركيز المكونات باستخدام الطيف اللوني colour spectrometry ومضوئية اللهب flame photometry وخطوات المعايرة titration التقليدية، وأمكن بذلك اختصار مدة تحليل ست عينات إلى يومين اثنين، كما يمكن لفنى مدرب أن يقوم بتنفيذها. ومع التقدم المستمر فى إنتاج أجهزة التحليل الآلية، أدخلت تقنيات أخرى مثل الامتصاص الذرى (AA) atomic absorption وتفلور الأشعة السينية x-ray fluorescence (XRF)، وأصبحت الطريقة السائدة حاليا هى الجمع بين هاتين التقنيتين خاصة بعد تزويدهما بحاسبات إلكترونية مبرمجة فى توليفة تسمح بتحليل مئات العينات فى اليوم الواحد دون المساس كثيرا بدقة وصحاحية التحليل. يحتاج تحديد بعض هذه المكونات مثل الماء وثانى أكسيد الكربون وأكسيد الحديدوز إلى تقنيات خاصة ولذلك يتم تحليلها على انفراد بغير الطرق الآلية.



أما بالنسبة للعناصر النزرة فيوجد أيضا العديد من التقنيات التي تتفاوت في مستوى معوليتها. فقد انتشرت في الستينيات طريقة الطيف الانبعاثي emission spectrography (ES) ثم أدخل الطيف اللوني فالامتصاص الذري وتفلور الأشعة السينية والتشيط النيوتروني (NA) neutron activation والقياسات الإشعاعية radiometry والتخفيف النظائري (ID) isotope dilution والبلازما المزدوجة الحثية induced coupled plasma (ICP). بعض هذه الطرق مكلفة وتحتاج إلى مفاعلات ذرية أو مولدات نيوترونات قد لا تتوافر إلا في البلاد المتقدمة تقنيا، ولذلك فإن اختيار طريقة التحليل يحكمه غالبا التكلفة والإمكانات المتاحة.

تختلف هذه الطرق كما ذكرنا في درجة معوليتها، فمثلا تحليل الطيف الانبعاثي غير مرغوب حاليا في معظم الأغراض العلمية، ويقتصر استخدامه على التحاليل شبه الكمية أو التي لا تحتاج إلى دقة أو صحاحية عالية، في حين تعطى طريقة التخفيف النظائري نتائج عالية المعولية، ولكنها لا تصلح في تحليل الأعداد الكبيرة من العينات ويقتصر استخدامها على الحالات التي تستدعي تحديد تركيز عنصر معين بدرجة عالية جدا من الدقة والصحاحية ولعدد محدود من العينات. وتعد طريقة البلازما المقترنة المستحثة وطريقة تفلور الأشعة السينية من أكثر الطرق استخداما الآن لقلّة التكلفة وسرعة الأداء مع الاحتفاظ بمستوى جيد من الدقة والصحاحية.

من المتبع حاليا أن كل تحليل لابد أن يصحبه تقدير الخطأ المحتمل probable error في النتيجة، الذي يختلف من طريقة إلى أخرى، ومن معمل لآخر، لأنه يتوقف على المهارة الفردية، والخبرة، والتقدم، وحساسية الأجهزة المستعملة. وعموما، فإن التحاليل الكيميائية التي لا تصحبها تقديرات للخطأ المحتمل فيها، تكون ذات دلالة علمية محدودة، ولا يعتد كثيرا بها، أو بما يترتب عليها من استنتاجات. ويعد الخطأ المحتمل محصلة قيمتين لابد من تحديد كل منهما على حدة :

### 1- الدقة precision أو التكرارية reproducibility

والمقصود بها القدرة على ضبط التحليل وتكرار خطوات العمل بمنتهى الدقة بحيث نحصل على نتائج متماثلة (أو تكاد) كلما تكرر التحليل لنفس العينة. يمكن تقدير هذه القيمة



بحساب الانحراف المعياري لنتائج التحليل المكررة لعنصر ما في عينة معينة، ثم تحويله إلى نسبة مئوية من التركيز المحدد. تقبل النتائج عادة إذا كانت هذه القيمة في حدود واحد في المائة للمكونات الرئيسية وحتى خمسة في المائة للعناصر النزرة. لاشك أن الوصول إلى درجة عالية من التكرارية يحتاج إلى مهارة عالية وإتقان لطريقة التحليل. ومع ذلك، فإن هذا لا يعنى أن نتائج التحليل صحيحة، إذ يحتمل وجود خطأ ما في خطوات التحليل أو عطب في جهاز القياس لا يدركه الشخص القائم بالتحليل، مما يترتب عليه حيود النتيجة عن القيمة الحقيقية الموجودة في العينة. لذلك، نقول إن الدقة العالية في التحليل لا تكون دائما دليلا على صحتها.

## 2- الصحاحية أو المصادقية accuracy

والمقصود بها مدى قرب نتيجة التحليل من التركيز الحقيقي للعنصر في العينة. ولتحديد هذه القيمة فإننا نحتاج إلى عينة معروف عنها سلفا تركيز عنصر معين أو مجموعة عناصر بها، نقوم بتحليلها أثناء تحليل العينات العادية وبنفس الخطوات تحت نفس الظروف، ثم نحدد مدى حياد نتيجة كل عنصر عن تركيزه المعروف في العينة. مثل هذه العينة تسمى عينة قياسية standard sample، ويمكن تحضيرها من أكاسيد أو مركبات كيميائية بنسب محددة، أو تكون على شكل عينة طبيعية من صخر سبق تحليله بمعرفة عدة معامل رفيعة المستوى وتم الاتفاق فيما بينها على قيم التركيزات الصحيحة لمجموعة العناصر التي تشكل العينة. ويوجد حاليا عدد كبير من العينات القياسية الدولية التي تقوم بتحضيرها جهات علمية متخصصة، وتتولى توزيعها على المعامل ذات السمعة القوية وإمكانات التحليل المتقدمة، ثم تجمع نتائج التحليل وتقارن وتستخرج منها القيم التي يتفق عليها أكبر عدد من المعامل، وتصدر نشرات توصي فيها باستخدام هذه القيم recommended values، واعتبارها الأقرب إلى التركيز الحقيقي الفعلي.

يبين جدول 5-1 تركيزات العناصر الرئيسية الموصى باستخدامها في مجموعة من العينات القياسية التي أصدرتها المساحة الجيولوجية الأمريكية USGS. يلاحظ أن هذه العينات تغطي مدى التغير الكبير السائد في التركيب الكيميائي بين الصخور النارية بحيث يمكن

اختيار العينة القياسية المناسبة لنوعية الصخور موضع التحليل. فمثلاً، إذا كان الشخص يجرى تحليلاً لعينات متوسطة التركيب، فإنه يختار عينة الأنديزيت AGV-1 أو الجرانوديوريت GSP-1. وإذا كانت العينات قاعدية فإنه يختار البازلت BCR-1 أو الديابازيت W-1، وهكذا.

جدول 1-5 تركيزات العناصر الرئيسية الموصى باستخدامها في مجموعة من العينات القياسية.

| المكونات                       | W-1   | G-2   | GSP-1 | AGV-1 | BCR-1 |
|--------------------------------|-------|-------|-------|-------|-------|
| SiO <sub>2</sub>               | 52.72 | 69.22 | 67.32 | 59.61 | 54.57 |
| Al <sub>2</sub> O <sub>3</sub> | 15.02 | 15.40 | 15.28 | 17.19 | 13.72 |
| Fe <sub>2</sub> O <sub>3</sub> | 1.40  | 1.07  | 1.70  | 4.56  | 3.48  |
| FeO                            | 8.73  | 1.44  | 2.32  | 2.03  | 8.69  |
| MgO                            | 6.63  | 0.75  | 0.97  | 1.52  | 3.48  |
| CaO                            | 10.98 | 1.96  | 2.03  | 4.94  | 6.97  |
| Na <sub>2</sub> O              | 2.15  | 4.06  | 2.81  | 4.32  | 3.30  |
| K <sub>2</sub> O               | 0.64  | 4.46  | 5.51  | 2.92  | 1.70  |
| H <sub>2</sub> O <sup>+</sup>  | 0.53  | 0.50  | 0.58  | 0.78  | 0.67  |
| TiO <sub>2</sub>               | 1.07  | 0.48  | 0.66  | 1.06  | 2.26  |
| P <sub>2</sub> O <sub>5</sub>  | 0.14  | 0.13  | 0.28  | 0.51  | 0.36  |
| MnO                            | 0.17  | 0.03  | 0.04  | 0.10  | 0.18  |
| CO <sub>2</sub>                | 0.06  | 0.08  | 0.12  | 0.02  | 0.02  |
| F                              | 0.025 | 0.12  | 0.37  | 0.04  | 0.05  |
| S                              | 0.012 | 0.01  | 0.03  | 0.01  | 0.04  |

عن: آبي (Abbey 1980).

يعد اختيار العينات القياسية المناسبة أمراً في غاية الأهمية، ذلك لأن استخدامها لا يتوقف فقط على كونها وسيلة لتقويم صحاحية التحليل، ولكن لأن وجودها يكون ضرورة في صلب عمليات التحليل، خاصة التحليل الآلي instrumental analysis، عندما يتم تحويل القياسات الضوئية أو الطيفية أو الإشعاعية إلى تركيزات وزنية حيث يقلل التشابه في التركيب العام بين العينة المحللة والعينة القياسية من الأخطاء الناتجة عن أثر المكونات البينية matrix effect. هناك أيضاً عامل هام في اختيار الطريقة المناسبة خاصة في تحليل



العناصر النذرة وهى حساسية sensitivity الطريقة أو الحد الأدنى للتركيز lower limit of detection الذى يمكن تحديده فى العينات الجيولوجية بوساطتها. ويجب التفرقة بين عدم قدرة طريقة ما على قياس تركيز منخفض لعنصر ما فى العينات وعدم احتواء هذه العينة على هذا العنصر، إذ قد يتدنى الحد الأدنى للتركيز الممكن قياسه فى بعض الحالات إلى حوالى خمسين جزء من مليون.

### التركيب الكيميائى للصخور النارية

يبين جدول 2-5 متوسطات المكونات الرئيسة لأهم أنواع الصخور النارية. يلاحظ أن هذه المتوسطات قد أعطيت لصخور بركانية لأنها أكثر تمثيلاً وقرباً من التراكيب الحقيقية للصهارات المختلفة المتبلورة عنها، ذلك لأن فرص حدوث تلوث بصخور القشرة يكون أقل مما هو محتمل فى الصخور الجوفية. ومع ذلك، فإن الصخور البركانية تختلف بشكل أساسى عن صهارتها فى كونها قد فقدت معظم أو كل مكوناتها المتطايرة أثناء البرودة. يتعين على دارس جيوكيمياء الصخور النارية أن يَقيّم الوفرة النسبية لمختلف الأكاسيد الرئيسة وتوزيعاتها بين المكونات المعدنية للصخر، وذلك قبل البدء فى إيجاد العلاقة بين هذه الأكاسيد بعضها البعض، وكيفية الاستفادة من ذلك فى الاستنتاجات المتعلقة بنشأة وأصل الصخر. ومع تزايد عدد التحاليل الكيميائية المتاحة للصخور النارية، أصبح الباحث فى مجال علم الصخور يجد صعوبة فى التعامل مع الأرقام الكثيرة الموجودة فى هذه التحاليل. ومن هنا، نشأت فكرة إعادة صياغة هذه التحاليل فى صورة أكثر واقعية بإعادة حسابها على شكل معادن نظرية تسمى معيار norm ، وهى الصورة التى سهلت على علماء الصخر التعامل معها، ويسرت سبل المقارنة بينها. وقد تم تبني هذه الطريقة، وأصبح حساب التركيب المعدنى المعيارى normative mineral composition إضافة معتادة للتحاليل الكيميائية فى معظم البحوث.

وهناك أكثر من طريقة لحساب المعيار، أكثرها شيوعاً هى الطريقة التى وضعها أربعة من علماء الصخور النارية هم Cross, Iddings, Pirsson, Washington فى مطلع هذا القرن (1902). ويعرف المعيار المحسوب بهذه الطريقة باسم CPI norm وهى اختصار



الحروف الأولى لأسماء العلماء الأربعة. ونظرا لأن التركيب الكيميائي ما هو إلا انعكاس للتركيب المعدني الفعلي أو النمطي modal mineral composition، فإنه من المتوقع أن يكون التركيبين المعياري والنمطي متقاربين إلى حد كبير، غير أن معظم المقارنات تظهر بعض الاختلاف. يعود سبب هذا الاختلاف إلى عدة أسباب منها:

جدول 2-5 متوسطات المكونات الرئيسية لبعض الأنواع الشائعة من الصخور النارية الفيزية.

| المكونات                       | ريوليت | تراكيت | فونوليت | أندزيت | بازلت |
|--------------------------------|--------|--------|---------|--------|-------|
| SiO <sub>2</sub>               | 72.82  | 61.21  | 56.19   | 57.94  | 49.20 |
| TiO <sub>2</sub>               | 0.28   | 0.70   | 0.62    | 0.87   | 1.84  |
| Al <sub>2</sub> O <sub>3</sub> | 13.27  | 16.96  | 19.04   | 17.02  | 15.74 |
| Fe <sub>2</sub> O <sub>3</sub> | 1.48   | 2.99   | 2.79    | 3.27   | 3.79  |
| FeO                            | 1.11   | 2.29   | 2.03    | 4.04   | 7.13  |
| MnO                            | 0.06   | 0.15   | 0.17    | 0.14   | 0.20  |
| MgO                            | 0.39   | 0.93   | 1.07    | 3.33   | 6.73  |
| CaO                            | 1.14   | 2.34   | 2.72    | 6.79   | 9.47  |
| Na <sub>2</sub> O              | 3.55   | 5.47   | 7.79    | 3.48   | 2.91  |
| K <sub>2</sub> O               | 4.30   | 4.98   | 5.24    | 1.62   | 1.10  |
| H <sub>2</sub> O <sup>+</sup>  | 1.10   | 1.15   | 1.57    | 0.83   | 0.95  |
| H <sub>2</sub> O <sup>-</sup>  | 0.31   | 0.47   | 0.37    | 0.34   | 0.43  |
| P <sub>2</sub> O <sub>5</sub>  | 0.07   | 0.21   | 0.18    | 0.21   | 0.35  |

عن: لوميتير (Le Maitre 1976)

(1) أن المعيار يحسب على أساس النسب المئوية للأكاسيد وزنا، ولذلك فنسب المعادن المحسوبة هي نسب مئوية وزنية، في حين يقدر النمط mode على أساس النسب المئوية حجما.

(2) أن المعادن ذات التركيب الكيميائي المعقد، خاصة الحاملة لأيون الهيدروكسيل (OH)، مثل الهورنبلند والميكا، تستبعد أساسا من حسابات المعيار، ويستخدم البيروكسين اللأمائي بدلا منها.

(3) أن المعادن المعيارية تُحسب بطريقة تتابعية بحيث يخصص كل أكسيد لمعدن معين، فمثلا البوتاسيوم يخصص كله لتكوين الأورثوكليز، والصوديوم لتكوين الألبيت، في حين نجد أن نسبة من البوتاسيوم تدخل عادة في تركيب البلاجيوكليز، كما تدخل نسبة من الصوديوم في تركيب البيروكسين والأمفيبول مما يسبب ارتفاعا في نسب المعادن المعيارية يفوق النسب النمطية.

تعطى كثير من كتب علم الصخور النارية الطرق المختلفة لحساب التركيب المعدني المعياري، ونظرا لطول الخطوات المطلوبة وتتبعها بطريقة مكررة، فقد وضعت كثير من البرامج التي تؤدي هذه الحسابات على أجهزة الحاسبات الشخصية، وأصبح من الممكن حساب مثل هذه التراكيب في بضع دقائق بدلا من عدة ساعات. ورغم توافر هذه البرامج فإننا ننصح الطالب المبتدئ في علم الصخور النارية أو الجيوكيمياء بأن يقوم بإعادة صياغة عدد كبير من التحاليل الكيميائية في صورة معادن معيارية بالطريقة اليدوية التقليدية لأنها تدريب جيد على الربط بين التركيب المعدني والكيميائي. يعطى الملحق رقم (1) الخطوات التفصيلية لحساب التركيب المعدني المعياري بطريقة CIPW.

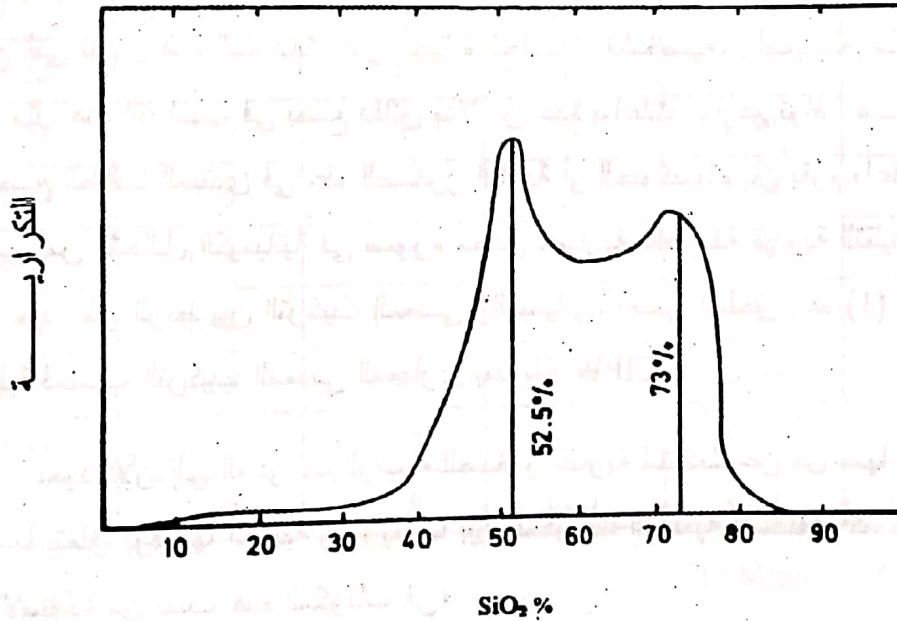
نعود الآن إلى المكونات الرئيسية للصخور النارية لننتحدث عن كل منها على حدة، خاصة ما يتعلق بوفرته النسبية وتوزيعاتها بين المكونات المعدنية المختلفة، كما سنوضح كيفية الاستفادة من نسب هذه المكونات في:

- 1- تسمية nomenclature الصخور البركانية.
- 2- تصنيف الصخور النارية خاصة البركانية.
- 3- فهم العمليات التي تسهم في نشأة الأنواع المختلفة من الصهارة الأولية.
- 4- فهم العمليات التي تحدث أثناء عمليات تمايز الصهارة الأولية وتسبب تنوع الصخور النارية.



السليكا  $\text{SiO}_2$ 

تعد السليكا (أكسيد السليكون) أكثر المكونات وفرة في الصخور النارية، حيث يصل متوسط تركيزها إلى حوالي 59%، وتتراوح نسبها بين حوالي 40% في الصخور فوق المافية ultramafic، كالديونيت والبريدوتيت، وإلى أكثر من 70% في الصخور الفلزية felsic، كالريوليت والجرانيت. تظهر التوزيعات التكرارية للسليكا في الصخور النارية وجود قمتين، تقابل الأولى تركيزات حول القيمة 52.5%، وتقابل الثانية تركيزات حول القيمة 73%، كما يظهر في شكل 4-5. يعني هذا الشكل أن أكثر الصخور النارية وفرة في القشرة الأرضية هي التي تحوم نسب السليكا فيها حول هذه القيم، وهو ما يعكس الوفرة النسبية لصخور البازلت والجرانيت بوصفهما الأكثر انتشارا بين الصخور النارية.



شكل 4-5 التوزيع التكراري لنسبة السليكا في تحاليل الصخور النارية.

عن: ماسون ومور (Mason and Moore 1982)

وتعتبر السليكا القاسم المشترك في تركيب كل المعادن الرئيسة ومعظم المعادن الإضافية للصخور النارية، كما أنها توجد في الحالة المنفردة على أشكال متعددة، مثل الكوارتز، والتريديميت، والكرستوباليت، وإن كان أشهرها وأكثرها وفرة هو الكوارتز. وتفاوتت نسب السليكا في المعادن السيليكاتية المتنوعة، ولكن بشكل عام تكون أقل في المعادن



مبكرة الانفصال في سلسلة بوين كالأوليفين والأنورثيت، وترتفع في المعادن المتأخرة مثل الفلسبارات القلوية والكوارتز. لذلك، فإن التباين في نسب السليكا في الصخور النارية ما هو إلا انعكاس للوفرة النسبية لهذه المعادن. وتلعب نسب السليكا في الصهارة دورا هاما في إضفاء الكثير من الصفات الهامة للصخر فمثلا:

• إذا كانت نسبة السليكا في الصهارة الأولية عالية بدرجة تكفي لكي تكون جميع الأكاسيد الأخرى معادن السليكات الخاصة بها ثم يبقى جزء من السليكا يظهر على شكل كوارتز، فإننا نصف هذه الصخور بأنها فوق مشبعة oversaturated.

• إذا كانت نسبة السليكا منخفضة بدرجة لا تكفي لكي تكون الأكاسيد الأخرى معادن السليكات الخاصة بها، وبحيث يترتب على ذلك ظهور أحد معادن مجموعة الفلسباتويد أو الأوليفين في الصخر، فإننا نصف هذه الصخور بأنها تحت مشبعة undersaturated.

• إذا كانت نسب السليكا تكفي بالكاد لكي تكون الأكاسيد الأخرى معادنها السليكاتية المشبعة بحيث لا يظهر فائض على شكل كوارتز أو نقصان على شكل فلسباتويد، فإننا نتحدث عن صخر مشبع saturated.

يلاحظ أن هذه التقسيمات الثلاثة تعتمد على التركيب المعدني للصخر، والذي يعكس التركيب الكيميائي الأولى للصهارة. ولكن، في أحيان كثيرة لا يمكن تمييز التركيب المعدني للصخر حتى مجهريا، بسبب الصغر المتناهي لحجم بلوراته. في مثل هذه الحالات، يتم اللجوء إلى النسبة المئوية الوزنية للسليكا في الصخور النارية، كما تتحدد من التحاليل الكيميائية، لتقسيم آخر على النحو التالي :

- إذا كان محتوى السليكا في الصخر أقل من 45% وزنا، يصنف الصخر فوق قاعدى ultrabasic، وهو المحتوى السائد في صخور الدونيت، ومختلف أنواع البريدوتيت.
- إذا كان محتوى السليكا يتراوح بين 45% و 52% وزنا، يصنف الصخر قاعدياً basic، وهذا المدى يغطي النسب السائدة في معظم صخور البازلت، والجابرو بأنواعها المختلفة.

• إذا كان محتوى السليكا يتراوح بين 52% و 63% وزنا، يصنف الصخر متوسطاً intermediate، وهذا المدى يغطي النسب السائدة فى صخور الأندزيت، والتراكيت، والديوريت، والسيانيت، وغيرها من الصخور.

• إذا كان محتوى السليكا يزيد عن 63% وزنا، يصنف الصخر حمضياً acidic، وينتمى إلى هذا القسم صخور الريوليت، والريوداسيت، والجرانيت، والجرانوديوريت. (السبب فى هذه المسميات - حمضى وقاعدى - هو أن السليكا عند إذابتها فى الماء تعطى محلولاً حمضياً وتعطى الألومينا محلولاً متعادلاً بينما تعطى باقى الأكاسيد محاليل قاعدية).

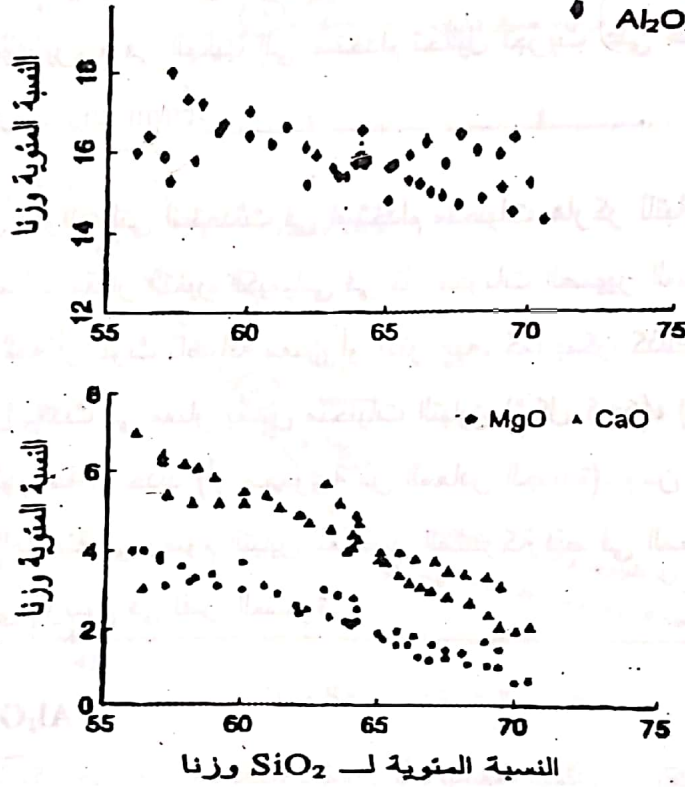
تجدر الإشارة هنا إلى ضرورة إتباع قواعد التمثيل الحقيقى للصخر قبل تصنيفه، فلا يعقل أن نعتمد على تحليل السليكا فى عينة أو اثنتين لتصنيف صخر يغطى عدة كيلومترات مربعة، بل لابد من جمع عينات ممثلة لكل التغيرات المعدنية فى الصخر على أن يكون عددها متناسباً مع الحيز الذى يشغله كل نوع، وبحيث تكون العينات المجمعة غير متأثرة بالتغيرات alterations التى تحدثها العوامل الجوية، ثم نحسب متوسط نسبة السليكا فى هذه العينات، وبالتالي يأخذ الصخر التصنيف المناسب طبقاً لقيمة هذا المتوسط.

تعد نسبة السليكا فى الصخور النارية مؤشراً جيداً لدرجة التمايز الصهبرى للصخور وترتبط بكثير من أدلة التمايز differentiation indices (ستناقش فيما بعد) بمعاملات ارتباط قوية. لذلك، تعد الصخور المحتوية على نسبة أعلى من السليكا أكثر تمايزاً من المحتوية على نسب أدنى، مع مراعاة اقتصار هذا التعميم على صخور العشائر المرتبطة المنشأ cogenetic rock suites. ويلاحظ فى هذا الصدد أن تساوى صخرين فى محتواه من السليكا لا يعنى تساوى درجة تمايزهما، إذ لابد من مقارنة مؤشرات أخرى كمحتوى الأكاسيد القلوية أو نسب أكاسيد الحديد إلى أكاسيد المغنسيوم، خاصة إذا كانت المقارنة بين صخور لا تنتمى إلى عشيرة واحدة.

يرتبط تركيز معظم المكونات الأخرى للصخر بمحتواه من السليكا، فهناك لما يزيد بزيادتها مثل العناصر القلوية (الصوديوم والبوتاسيوم) ومنها ما ينخفض مثل العناصر القاعدية (المغنسيوم والحديد). لذلك، تستخدم السليكا فى معظم رسوم التباين variation diagrams كمتغير مستقل independent variable على المحور السينى x-axis، فى حين



توقع الأكاسيد الأخرى كمتغيرات تابعة  $dependent\ variables$  على المحاور الصادى  $y-axis$  لتحديد درجة الارتباط بين السليكا وباقي الأكاسيد. وقد استخدم هاركر هذه الطريقة منذ عام 1909 ومازالت تستخدم حتى الآن وتنسب إليه، فتسمى رسوم هاركر للتباين Harker variation diagrams مثل تلك الموضحة فى شكل 5-5.



شكل 5-5 بعض رسوم هاركر التى توضح تباين أكاسيد الألومنيوم والكالسيوم والمغنسيوم أمام السليكا

لا تقتصر فائدة هذه الرسوم على توضيح الاتجاهات العامة للتغير فى نسب الأكاسيد مع تغير نسب السليكا فى الصخور النارية بشكل عام، بل من الممكن أن تتعدى ذلك إلى المساهمة فى استنتاج العلاقة النشئية بين مجموعة من الصخور يجمعها مكان واحد ويشك فى انتمائها إلى مصدر واحد، وذلك بملاحظة مدى تشتت النقاط الممثلة حول منحنيات التباين، والشكل الذى تأخذه هذه المنحنيات، ودرجات انحنائها وانحدارها. وتجدر الإشارة إلى أن

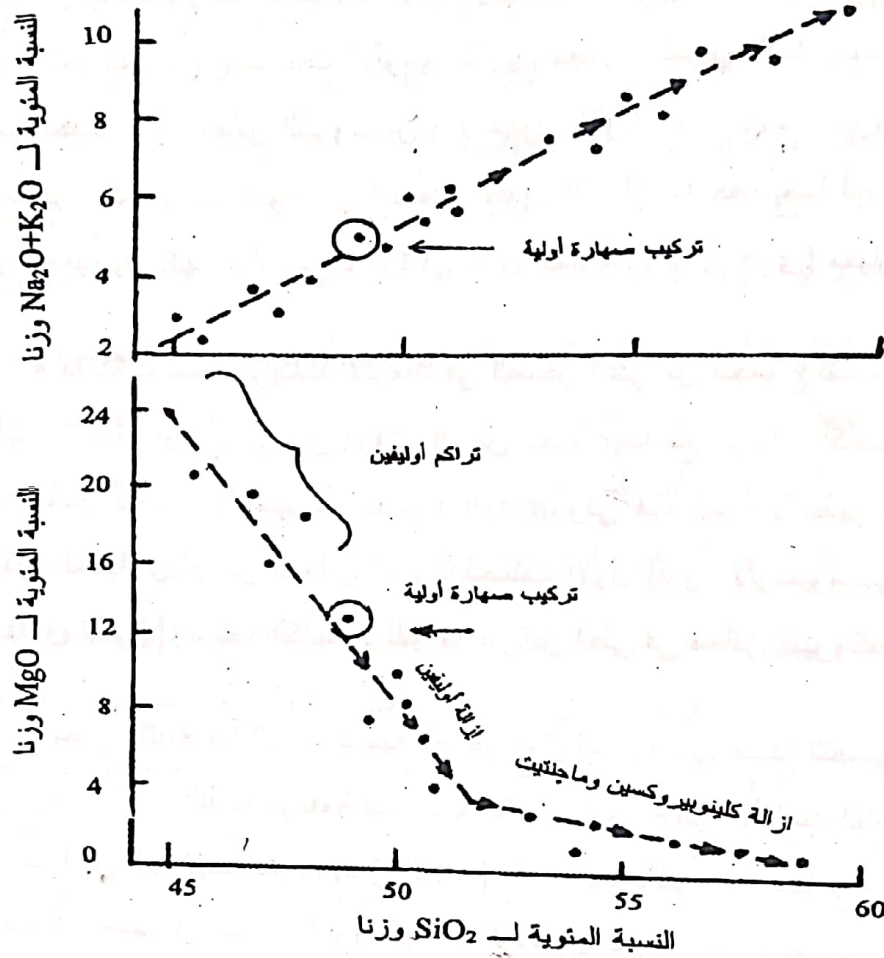


الافتراض الأساسى عند رسم منحنى تباين لتحليل عينات صخرية تنتمى إلى عشيرة مرتبطة المنشأ هو أنه يمثل مسار التطور الكيميائى للسائل الصهبرى، حيث يشار إليه بخط المنحدر (بمعنى الأصل أو المنشأ) للسائل liquid line of descent. لذلك، فإن تحليل الصخور البركانية ذات الحبيبات البالغة الدقة، التى تخلص من البلورات السماقية، هى فقط التى يمكن اعتبارها ممثلة للتركيب الفعلى للصهارة، أما إذا بعدت النقاط وتبعثرت حول خطوط منحنيات التباين فإن ذلك يرجع فى الغالب إلى استخدام تحاليل أجريت على عينات سماقية أو تعرضت لتراكم بلورى cumulates.

من الفوائد التى استحدثت فى استخدام منحنيات هاركر للتباين هو إمكانية استخدام الرسم فى حساب مقدار التغير الكيميائى فى كل مكونات الصهبر السليكاتى كيميا، كلما أزيل معدن معين منه أو تلوث بإضافة معدن أو أكثر إليه. كما يمكن كذلك الاستفادة من التغير المفاجئ الذى يحدث فى مسار بعض منحنيات التباين (شكل 5-6)، إذ إنها تفسر كعلامات تحدد بدء تبلور معدن جديد (أو مجموعة من المعادن الجديدة). ومن الطبيعى أن تحدث هذه الانحناءات المفاجئة فى رسوم التباين للعناصر المشتركة فقط فى المعادن الجديدة، فى حين لا تتأثر بها باقى الرسوم فى نفس العشيرة.

### الألومينا $Al_2O_3$

تعد الألومينا (أكسيد الألومنيوم) ثانى المكونات الرئيسة للصخور النارية فى الوفرة بعد السليكا، وتتراوح نسبتها بين 10 و 20% بمتوسط 15.34% (تقدير كلارك وواشنجرتون على عدة آلاف من العينات. فى ماسون ومور 1982). تعد معادن مجموعتى الفلسبارات والفلسباتويد الحامل الرئيس لأكسيد الألومنيوم فى الصخور النارية. لذلك، فإن الصخور التى تحوى نسباً قليلة جداً من هذه المعادن، مثل الصخور فوق المافية، يكون محتواها من الألومينا منخفضاً، فى حين ترتفع النسبة بشكل ملحوظ فى الصخور الغنية بهذه المعادن، مثل صخر الأنورثوزيت والسيانيت النيفيلينى، حتى إن بعض هذه الصخور يستغل كخام للألومنيوم. ونظراً للارتباط الشديد بين الألومينا وأكاسيد الصوديوم والبوتاسيوم والكالسيوم فى تكوين معادن الفلسبار والفلسباتويد فقد استغلت الوفرة النسبية لهذه الأكاسيد فى الصخور النارية، خاصة الجرانيتية منها، فى تصنيفها على الوجه التالى



شكل 5-6 تبين مجموع القلويات وأكسيد المغنسيوم أمام السليكا لمجموعة من الصخور البركانية مشتركة النشأة، ويربطها تبلور تجزيئي بانفصال الأوليفين والكلينوبيروكسين والمجنتيت. عن: ويلسن (Wilson 1989).

• إذا كانت نسبة جزيئات الألومينا في الصخر أعلى من مجموع نسب جزيئات أكاسيد الصوديوم والبوتاسيوم والكالسيوم صُنّف الصخر فوق ألومنيومي peraluminous، وتظهر الألومينا الزائدة عادة على شكل كورندوم، أو معادن غنية بالألومنيوم، مثل المسكوفيت، والجارنت، والتوباز. يشمل هذا النوع من الصخور الجرانيت المسكوفيتي الواسع الانتشار. وعند حساب المعادن المعيارية تظهر الألومينا الزائدة على شكل كورندوم معياري.

• إذا كانت نسبة جزيئات الألومينا في الصخر أقل من مجموع جزيئات أكاسيد الصوديوم والبوتاسيوم صنف الصخر فوق قلوى peralkalic، بما يعنى أن جزيئات الأكاسيد القلوية لا تجد كفايتها من جزيئات الألومينا لتكوين معادن الفلسبار، لذلك يتحد الفائض منها مع جزيئات الحديد مكونا معادن البيروكسين والأمفيبول القلوية، مثل الإيجيرين، والريبكيت، والتي تظهر عادة في هذا النوع من الصخور (فوق القلوية). يلاحظ أيضا أنه عند حساب المعادن المعيارية تظهر القلويات الزائدة في شكل أكسيت (إيجرين قلوى) معيارى.

• إذا كانت نسبة جزيئات الألومينا في الصخر أعلى من مجموع نسب جزيئات أكاسيد الصوديوم والبوتاسيوم، وفي نفس الوقت أقل من مجموعهما مع جزيئات أكاسيد الكالسيوم صنف الصخر محدود الألومنيومية metaluminous، وفي هذه الحالة لا تظهر في الصخر أو في تركيبه المعيارى أى من المعادن المميزة للصنف الأول (فوق الألومنيومى) أو الصنف الثانى (فوق القلوى)، وينتج الكالسيوم للتواجد بتركيز أعلى في معادن البيروكسين والأمفيبول.

يجدر التنبيه هنا إلى أن تسمية الصخر فوق قلوى فى هذا التصنيف لا يعنى بالضرورة أن تكون القلوية مرتفعة فيما يتعلق بالوفرة النسبية بين الأكاسيد القلوية والسليكا، إذ إن كثيرا من الجرانيت القلوى (فوق القلوى) يكون غنيا بالكوارتز، مما يعنى فوق التشبع بالسليكا، كما تظهر فيه معادن البيروكسين أو الأمفيبول القلوية، مما يعنى عدم التشبع بالألومينا. وتعد نسبة الألومينا أحيانا مؤشرا لدرجة تلوث الصهارة الأولية بصخور القشرة الأرضية.

### القلويات Alkalis

تشمل القلويات أكاسيد كل من الصوديوم (صودا  $\text{Na}_2\text{O}$  soda) والبوتاسيوم (بوتاش  $\text{K}_2\text{O}$  potash)، وتتراوح نسبة الصودا في معظم الصخور النارية بين 2 و 5% ولكنها قد تتجاوز في بعض الحالات النادرة 13%. ويبلغ متوسط وفرتها 3.84%. أما البوتاش فهو أقل وفرة، وتتراوح نسبته بين أقل من 0.1 و 6% في غالبية الصخور النارية، ونادرا ما تتجاوز 10%، ويبلغ متوسط وفرته 3.13%. تتركز معظم الأكاسيد القلوية في



معادن الفلسبار، ويزداد تركيزها تدريجاً في الفلسبارات متأخرة التبلور، أى التى تتكون عند درجات حرارة منخفضة نسبياً. فمثلاً، يتزايد في مجموعة فلسبار البلاجيوكليز إحلال الصوديوم والسليكون مكان الكالسيوم والألومنيوم بانتظام بانخفاض حرارة الصهارة وتقدم عملية التبلور. كذلك لا تظهر فلسبارات البوتاسيوم إلا في آخر مراحل تبلور الصهارة كما سبق إيجازه في شرح تسلسل بوين. ونظراً لأن الفلسبارات هي أكثر المعادن وفرة ووجوداً في الصخور النارية، فقد لعبت القلويات دوراً رئيساً في جيوكيمياء هذه الصخور، فلا تكاد تجد تقسيماً أو تصنيفاً لها أو منهجاً لإيجاد العلاقات بينها يخلو من استخدام محتواها من القلويات، بل إن لجنة توحيد مصطلحات الصخور النارية وهي منبثقة عن الاتحاد الدولي للعلوم الجيولوجية "IUGS" كانت قد أوصت في اجتماعها بكوبنهاجن عام 1988 أن تكون نسب السليكا والقلويات هي الأساس لتسمية وتصنيف الصخور البركانية.

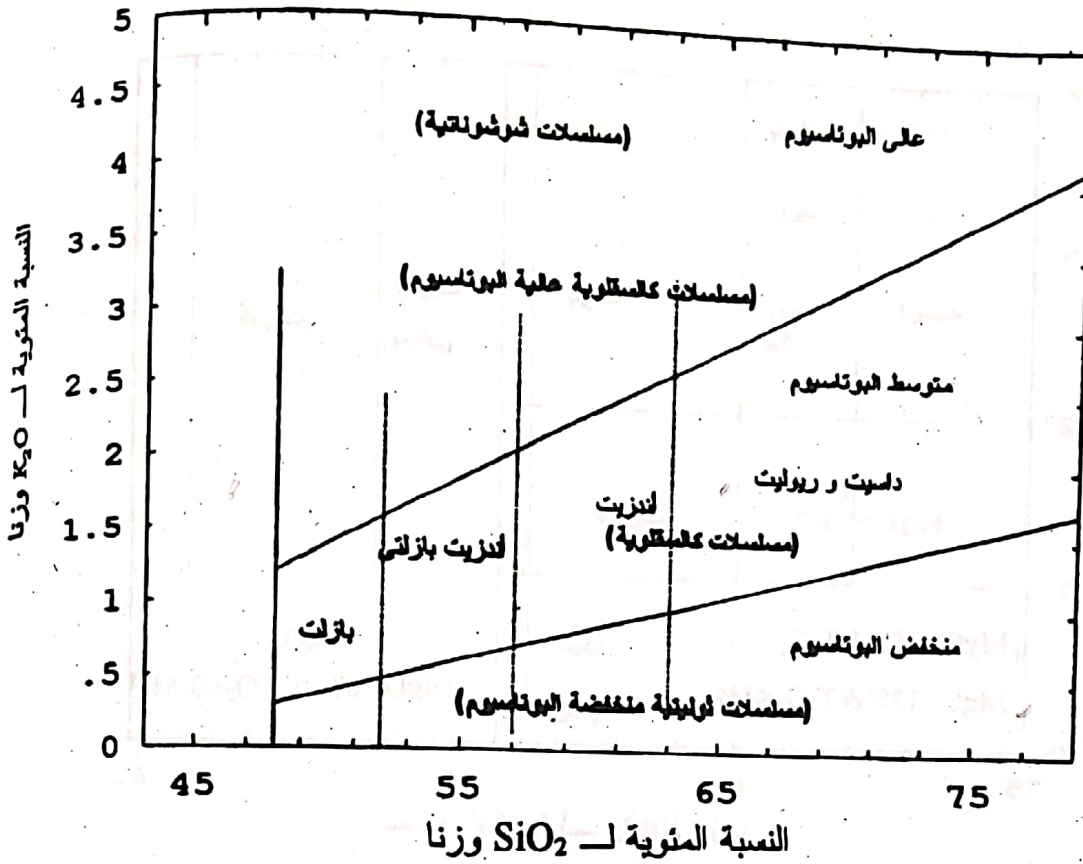
من المعلوم أن الأساس في تسمية الصخور النارية بوجه عام هو التركيب المعدنى النمطى الذى يمكن تحديده بالتقريب بالعين المجردة، وأكثر دقة باستخدام المجهر المستقطب. ولقد أوصى الاتحاد الدولي للعلوم الجيولوجية بهذا المعنى منذ أوائل السبعينيات ووضع الإطار لذلك على النحو الذى نشره ستريكايزين Streckeisen عام 1976. ونظراً لأن الصخور البركانية تكون أحياناً دقيقة الحبيبات بدرجة لا تسمح بتحديد نسب مكوناتها المعدنية حتى بالمجهر، فقد أوصت اللجنة بأن يكون التركيب الكيميائى، وبالذات مجموع نسب القلويات إلى نسب السليكا، هو أساس التسمية في هذه الحالة، وذلك على النحو الموضح في شكل 5-7 ويطلق على هذا المنهج في التسمية تصنيف تاس TAS classification وهي اختصار الكلمات الإنجليزية Total Alkalis-Silica. ويراعى عند تطبيق التصنيف أن يعاد حساب التحليل الكيميائى على أساس استبعاد نسب تركيز الرطوبة وفقد الحرق (ماء التبلور، وثانى أكسيد الكربون، وثانى أكسيد الكبريت، ... إلخ). بعد ذلك يتم التأكد من أن العينات ليست من الصخور البركانية عالية المغنسيوم مثل البونينيت أو البيكريت التى يتم تصنيفها على نحو آخر كما هو موضح في شكل 5-8. قد يستدعى الأمر حساب معيار لبعض الصخور لتحديد الاسم الجزرى الصحيح، وفي هذه الحالة يبقى على نسب أكاسيد الحديد الثنائية والثلاثية كما وردت بالتحليل دون تحويل جزء منها إلى الآخر.











شكل 5-9 تصنيف الصخور البركانية تحت القلوية طبقاً لمحتواها من البوتاسيوم والسيليكا حسب طريقة لوميتز وآخرين (Le Maitre et al. 1989).

هناك تصنيف آخر وضعه كوكس Cox وآخرون عام 1979، وهو يماثل التقسيم السابق في اعتماده على نسب السيليكا ومجموع نسب القلويات، وهو في نفس الوقت متفق تماماً مع تصنيف الصخور البركانية المعتمد من الاتحاد العالمي للعلوم الجيولوجية IUGS. كما يظهر من شكل 5 - 10. أما شكل 5 - 11 فهو يعطى أسماء الصخور الجوفية المعادلة لتلك الصخور البركانية، وهي متفقة تماماً مع أسماء الصخور الجوفية المعتمدة من الاتحاد والتي نشرها ستريكل-آيزن Streckeisen عام 1976. يلاحظ في الرسوم الموضحة لهذه



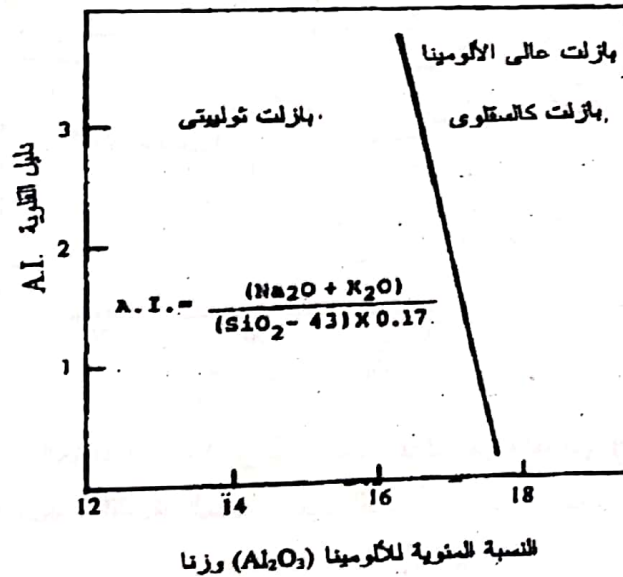
التصانيف وجود خط منحنى يفصل مجموعتين رئيسيتين من الصخور كل منهما مشتق من نوع رئيس من أنواع الصهارة: الأولى ذات التركيزات الأعلى في مجموع الأكاسيد القلوية وتقع فوق خط المنحنى. وهي مشتقة من صهارة قلوية *alkalic magma*، والثانية ذات التركيزات الأدنى وتقع تحت خط المنحنى وهي مشتقة من صهارة تحتقلوية *subalkalic magma*. تشمل كل مجموعة من هذه المجموعات صخورا تتراوح بين القاعدية والحمضية بما يعنى وجود صخور قاعدية قلوية وأخرى قاعدية تحتقلوية، وبالمثل فهناك صخور حمضية قلوية مثل الريوليت القلوى (كومنديت) وحمضية تحتقلوية مثل الريوليت العادى.

يمكن أيضا تصنيف الصخور المشتقة من صهارة تحتقلوية إلى قسمين رئيسيين لهما انتشار واسع بين الصخور النارية، ونقصد بها الصخور المشتقة من صهارة كالسقلوية *calcalkalic* وتلك المشتقة من صهارة ثولييتية *tholeiitic*. يعتمد هذا التصنيف على ما يسمى دليل القلوية *alkalinity index (A.I.)* (كوكس وآخرين 1979 *Cox et al.*) على

$$A.I. = \frac{(Na_2O + K_2O)}{(SiO_2 - 43) \times 0.17}$$

النحو التالى:

ثم استخدام هذا الدليل مع نسبة أكسيد الألومنيوم كما هو مبين بالشكل 5-12.



شكل 5-12 تصنيف الصخور البركانية (تحت القلوية) باستخدام معامل القلوية أمام الألومينا. عن: ميديلموس (1985 *Middlemost*).

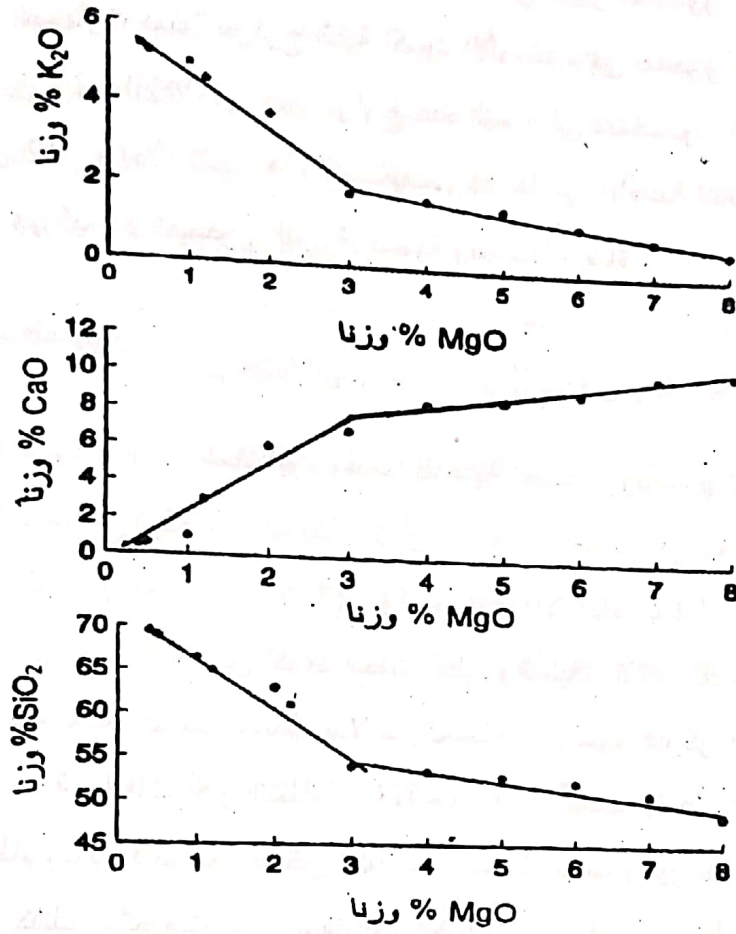


يلعب محتوى أكسيد الألومنيوم دورا هاما في تمييز الصخور المشتقة من هذين النوعين من الصهارة، فمثلا تتراوح نسبة أكسيد الألومنيوم في صخور البازلت والأنديزيت الكالسقلوية بين 16-20%، في حين تتراوح هذه النسبة في صخور البازلت والأنديزيت الثولييتية بين 12-16%. تشير هذه التصنيفات وغيرها إلى الأهمية الفائقة التي تلعبها أكاسيد القلويات في جيوكيمياء الصخور النارية، تسمية وتصنيفا ونشأة.

### الحديد والمغنسيوم

تعد نسب الحديد والمغنسيوم مقياسا لقاعدية الصخر. وبينما يرتبط تركيز العنصرين عادة ارتباطا سالبا مع تركيزات السليكا، إلا أن تركيزهما النسبي في معظم الصخور النارية يتفاوت تفاوتا كبيرا (راجع جدول 5-2). وقد وجد أن الارتباط السلبي بين أكاسيد المغنسيوم والسليكا أقوى من ذلك القائم بين أكسيد الحديد الكلي والسليكا. لذلك، فقد استخدمت نسبة المغنيسيا المطلقة أحيانا كمتغير مستقل بدلا من السليكا في رسوم هاركر Harker البيانية، إذ أعطت هذه النسبة علاقات أكثر انتظاما ودلالة مع باقى الأكاسيد (شكل 5-13)، ولكن يلاحظ أن هذا الانتظام يحدث فقط مع الصخور البركانية الحديثة نسبيا وغير المجوأة (لم تتغير unaltered). كذلك استخدمت نسبة المغنسيوم أيضا في تصنيف بعض الصخور أو تسميتها. فمثلا، استخدم بعض الباحثين النسبة 6% وزنا مغنسيوم كحد يفصل بين البازلت والأنديزيت.

يوجد الحديد في معظم الصخور النارية فى صورتين: حديد ثنائى التكافؤ (حديدوز ferrous) وثلاثى التكافؤ (حديدك ferric)، وتعد نسبتهما ( $FeO/Fe_2O_3$ ) مؤشرا لمحتوى الصهارة من الأكسجين، خاصة فى حالة التأكد من عدم تأثر العينات المحللة بعوامل التجوية، كأن تكون العينات محضرة من لب مستخرج من الأعماق بعيدا عن نطاق الأكسدة oxidation zone، أما إذا كانت العينات مجمعة من هذا النطاق الأخير، فإن هذه النسبة تعد مؤشرا لدرجة التجوية التى تعرض لها الصخر. تميل المعادن التى تحوى الحديد فى صورة حديدوز إلى اللون الرمادى أو الأخضر مثل الأوليفين، فى حين تأخذ المعادن التى تحوى الحديد فى صورة حديدك اللون الأحمر أو البرتقالى.



شكل 5-13 تغير أكاسيد البوتاسيوم والكالسيوم والسليكا أمام المغنيسيا (من أنواع رسوم هاركر Harker).

يلعب التغير في التركيزات النسبية للحديد الكلي و المغنسيوم بالصخور النارية دوراً في غاية الأهمية خاصة فيما يتعلق بالآتي:

### 1- معرفة درجات التمايز

فمن المعلوم أن المغنيسيا أكسيد مقاوم للصهر refractory (درجة انصهاره 2800 م°)، وبالتالي فإن الطرفيات المغنيسومية Mg-end members في سلاسل الأوليفين والبيروكسين لها درجات انصهار أعلى من الطرفيات الحديدية Fe-end members، ويقود تبلورها من الصهارة إلى استنفاد المغنيسيا بمعدل أسرع من أكسيد الحديدوز، مما ينتج عنه انخفاض تدريجي ملحوظ في نسبة Mg/Fe مع تقدم التبلور، أي أنه كلما انخفضت هذه النسبة في أحد صخور عشيرة مشتركة المنشأ كان هذا الصخر أكثر تمايزاً. لذلك، فإن العينة المحتوية على

أعلى نسبة Mg/Fe (أو أعلى نسبة مغنسيوم) بين عينات العشيرة تعتبر أقرب العينات فى التركيب الكيميائى للصهير الأولى بطبيعة كونها أقل العينات فى التأثير بعملية التمايز الصهيري. وقد استخدم العالم اليابانى كونو Kuno دليلاً مشابهاً لتقدير درجة التمايز أطلق عليه دليل التجمد "S.I." solidification index أدخل فيه، بالإضافة إلى الحديد والمغنسيوم، العناصر القلوية بصفتها تسلك مساراً معاكساً لمسار المغنسيوم، ويقدر هذا الدليل على النحو التالى:

$$S.I. = 100 \text{ MgO} / (\text{MgO} + \text{FeO} + \text{Fe}_2\text{O}_3 + \text{Na}_2\text{O} + \text{K}_2\text{O})$$

وهناك عدة أدلة أخرى تركز على الوفرة النسبية لعنصرى الحديد والمغنسيوم، بعضها يأخذ فى الاعتبار محتوى المنجنيز وبعضها يعتمد على مجموع المعادن المعيارية الداكنة المشتقة من العنصرين.

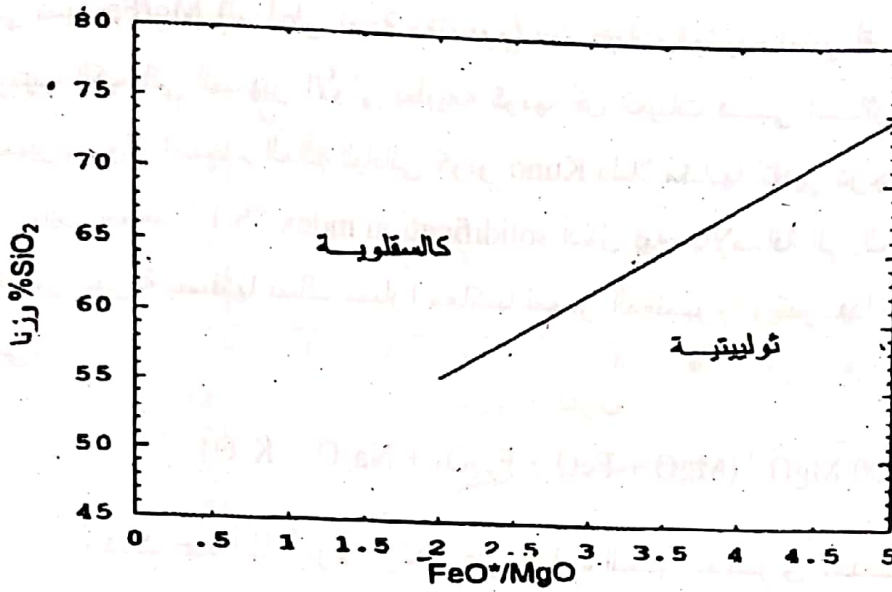
## 2- تصنيف أنواع الصهارة تحت القلوية

وذلك باستخدام النسبة  $\text{FeO}^*/\text{MgO}$  أمام نسبة السليكا (شكل 5-14) حيث يمكن تمييز العشائر التوليبينية عن الكالسقلوية. ويحدد ميل الخط الفاصل بين النوعين فى هذا الشكل باستخدام المعادلة:

$$\text{FeO}^* / \text{MgO} = 0.1562 \times \text{SiO}_2 - 6.685$$

حيث  $\text{Fe}^*$  هو أكسيد الحديد الكلى فى صورة أكسيد حديدوز. يمكن تمييز نفس النوعين بتقدير درجة إثراء الحديد فى العشيرة باستخدام رسوم AFM الثلاثية الشائعة (شكل 5-15) حيث A هى مجموع الأكاسيد القلوية و F هى مجموع أكاسيد الحديد بعد تحويل كل الحديد إلى حديدوز و M هى المغنسيا. ومن المعروف أن نسب هذه الأكاسيد يعاد حسابها إلى 100 قبل توقيعها فى الرسم. من الممكن أيضاً استخدام نسب العناصر بدلا من الأكاسيد و نصل إلى نفس النتيجة تقريبا. يلاحظ أن المنحنى فى شكل 5-15 يحدد مسار التغير فى نسب هذه الأكاسيد أثناء تطور عملية التبلور و تمايز الصهارة إلى مختلف صخور العشيرة، فتبدأ المنحنيات دائما قرب ضلع Mg-Fe، وهى العناصر التى تكثر فى الصهارات الأولية،





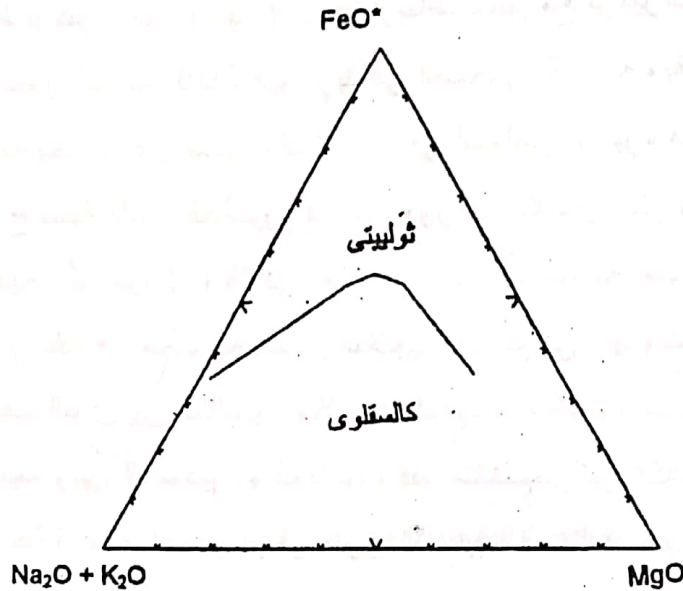
شكل 5-14 تصنيف الصخور تحت القلوية باستخدام نسبة الحديد الكلى إلى المغنيسيا أمام السليكا.  
عن: مياشيرو (Miyashiro 1974).

وتنتهى عادة قرب ركن الأكاسيد القلوية، وهى العناصر التى تتركز فى نهايات عمليات التمايز. الاختلاف الأساسى فى مسار التمايز بين نوعى الصهارة تحتى القلوية يظهر فى منتصف عملية التبلور، إذ يتجه منحى تمايز الصهارة الثوليتية إلى ناحية ركن الحديد مشيراً إلى إثراء الصخور المتوسطة فى العشرة بالحديد قبل انحداره ناحية ركن الأكاسيد القلوية، فى حين يتجه منحى الصهارات الكالكسولوية دون إثراء ملحوظ بالحديد نحو ركن الأكاسيد القلوية.

هناك العديد من رسوم هاركر للتباين التى يختلف استخدامها باختلاف درجة التبليين التى تحدث فى كل من الحديد والمغنسيوم، فهناك من يرسم مجموع أكسيدى الحديد أمام المغنيسيا، وهناك من يستخدم نسبة أكسيد الحديد الكلى إلى أكسيد الحديد الكلى زائد أكسيد المغنسيوم أى

$$(FeO+Fe_2O_3) / (FeO+Fe_2O_3+MgO)$$

أمام السليكا و ذلك للوصول إلى نفس الغرض فى تمييز نوعى العشائر تحت القلوية. كما



شكل 5-15 علاقة AFM الثلاثية للقلويات (A) والحديد (F) والمغنسيوم (M)، يظهر فيها المنحنى الذى رسمه إيرفين وبارجار (Irvine and Barager 1971) ليفصل بين مسارات تبلور الصخور الثولييتية والكالسقلوية.

يوجد أيضا تصنيف تابع لهذه التصنيف الغرض منه تصنيف أدق لكلا النوعين إلى أصناف عالية ومتوسطة ومنخفضة البوتاسيوم على النحو الموضح فى شكل 5-9.

من المعاملات الهامة التى تستخدم حاليا على نطاق واسع "العدد المغنسيومى mg-number"، وهو عبارة عن النسبة الذرية المئوية لكاتيونات المغنسيوم إلى مجموع كاتيونات المغنسيوم والحديدوز  $\left[ \frac{\text{Mg}}{\text{Mg} + \text{Fe}^{2+}} \right] \times 100$ . ويعتمد هذا المعامل إلى حد كبير على نسبة إثراء الحديد فى الصخر و على درجة تأكسده. لذلك، فإن الصخور الكالسقلوية يكون عددها المغنسيومى أعلى من الصخور الثولييتية عند أى تركيز محدد للسليكا. و نظرا لأن المغنسيوم ينخفض بزيادة درجة إثراء الحديد فإنه يتوقع أن تحتفظ العشائر الكالسقلوية بأعداد مغنسيومية ثابتة تقريبا و مرتفعة فى نفس الوقت.

## الكالسيوم

يرتبط تركيز الجير (CaO) lime ارتباطاً سلبياً مع تركيزات السليكا والأكاسيد القلوية في الصخور النارية. لذلك، فهو يزيد في الصخور القاعدية ويقل حتى يكاد يختفي في الحمضية، ولكنه يختلف عن الحديد والمغنسيوم في انخفاض تركيزه في الصخور فوق القاعدية. تتراوح نسبة أكسيد الكالسيوم في الصخور النارية بين أكثر من 14 % في بعض الصخور القاعدية وأقل من 0.1 % في بعض الصخور الحمضية بمتوسط عام حوالي 5 %.

يتركز الكالسيوم عادة في مجموعة معادن البلاجيوكلاز ثم في البيروكسين الكلسي. ونظراً للارتباط الموجب القوي بين الكالسيوم وكل من الحديد والمغنسيوم من جانب والارتباط السالب القوي بينه وبين الصوديوم والبوتاسيوم فقد استخدم تركيز الكالسيوم في عدة أغراض أهمها تقدير درجة قاعدية الصخر أو في طرق التصنيف المختلفة، وفيما يلي بعض من الأمثلة:

## 1- حساب دليل القاعدية "B.I." basicity index على النحو التالي:

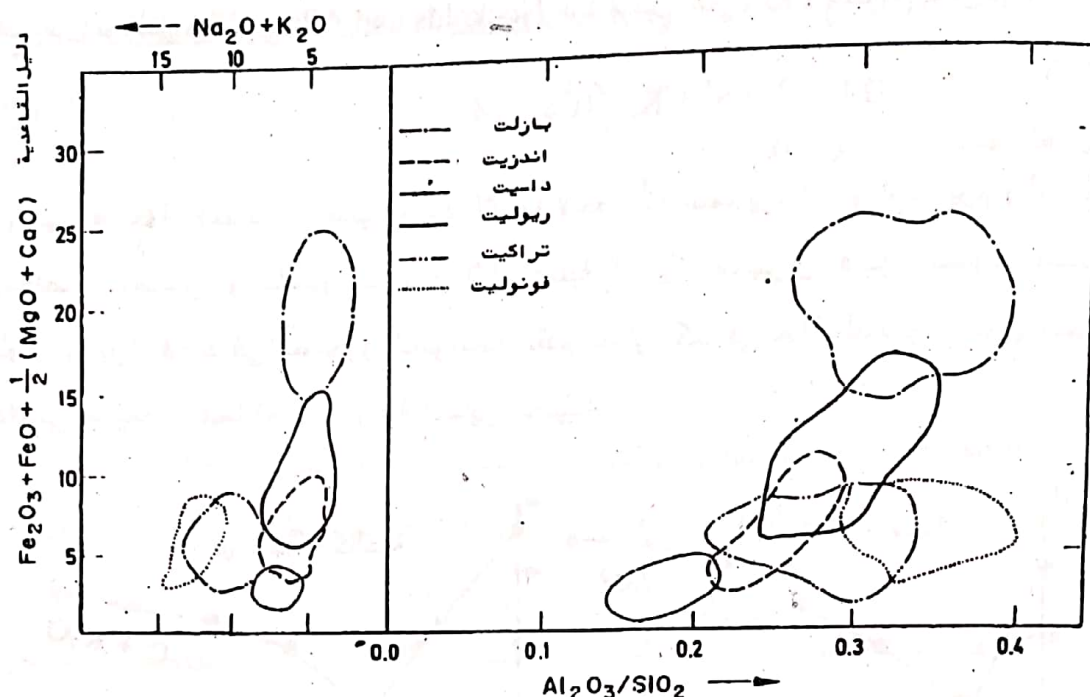
$$B.I. = Fe_2O_3 + 1/2 (MgO + CaO)$$

ثم استخدام هذا الدليل أمام نسبة الألومينا إلى السليكا أو أمام مجموع نسب الأكاسيد القلوية كما في الشكل 5-16 بغرض تسمية الصخور البركانية. عندما يتفق جانبي هذا الشكل على اسم صخر معين، فإن نسب جميع العناصر الرئيسية تقريباً تكون قد اشتركت في تصنيف الصخر أو تحديد اسمه.

## 2- تحديد ما يسمى بدليل العشيرة suite index كما اقترحه بيكوك Peacock عام

1931 وذلك بعمل رسوم هاركر لمجموعة من الصخور المرتبطة المنشأ بحيث يرسم منحنى لمجموع الأكاسيد القلوية في العينات المختلفة أمام السليكا، ويرسم منحنى آخر لأكسيد الكالسيوم أمام السليكا لنفس العينات (شكل 5-17)، ونظراً للتناقض بين القلويات والكالسيوم في ارتباطهما مع السليكا، فإن المنحنيين يأخذان انحدارين متعاكسين بحيث يلتقيان في نقطة يتساوى فيها تركيز مجموع الأكاسيد القلوية بتركيز أكسيد الكالسيوم. ونظراً إلى أن درجة انحدار المنحنيات تعتمد إلى حد كبير على نوعية الصهارة الأولية، فإن نسبة السليكا المقابلة





شكل 5-16 تسمية الصخور البركانية باستخدام دليل القاعدية أمام نسبة الألومينا إلى السليكا وأمام مجموع تركيزات الأكاسيد القلوية، عن: شورش (Chorch 1975).

لنقطة التقاء المنحنيين تختلف من عشيرة إلى أخرى، وتسمى دليل العشيرة، وبالتالي يمكن استخدامها في تصنيف الصهارة على النحو التالي:

دليل العشيرة

|         |         |   |
|---------|---------|---|
| 51      | أقل من  | عشيرة قلوية (مشتقة من صهارة غنية بالقلويات)   |
| 56 - 51 |         | عشيرة قلوية-كالمية                            |
| 61 - 56 |         | عشيرة كالمية-قلوية                            |
| 61      | أعلى من | عشيرة كالمية (مشتقة من صهارة فقيرة بالقلويات) |

ويطلق على هذا الدليل أحيانا دليل الكالسقلوية alkali-lime index وأحيانا أخرى دليل بيكوك Peacock index.

3- تحديد درجة التمايز الصهيري بحساب دليل التمايز differentiation index

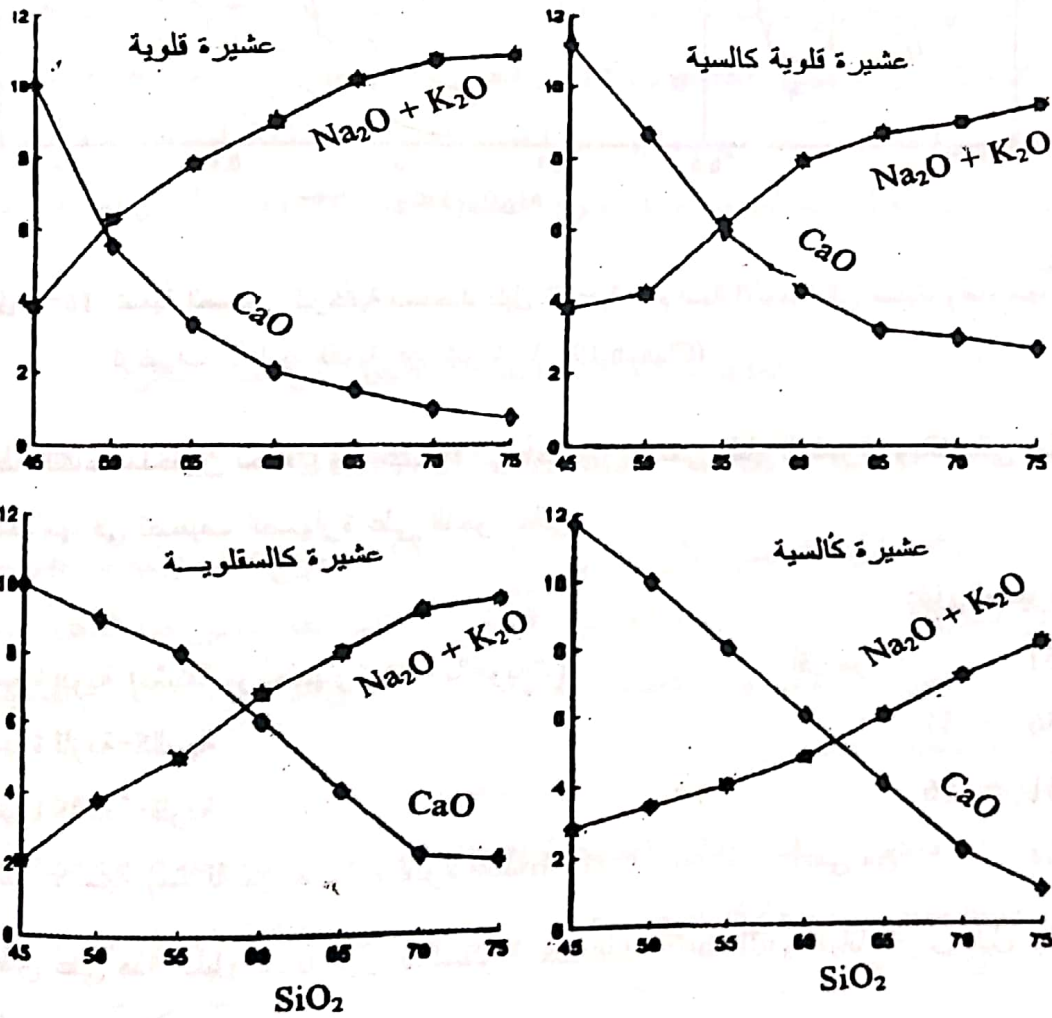
كما اقترحه لارسن Larsen عام 1938 وذلك على النحو التالي:

$$\text{Larsen D.I.} = \frac{1}{3} \text{SiO}_2 + \text{K}_2\text{O} - (\text{FeO} + \text{MgO} + \text{CaO})$$

وقد عدل نوكلدز وألان Nockolds and Allen هذا الدليل عام 1953 ليصبح كما يلي:

$$D.I. = 1/3 Si + K - (Ca + Mg)$$

أى إنهما قد حذفوا الحديد من الدليل وذلك لأنهما لاحظا أنه بينما يزداد البوتاسيوم والسليكا وينخفض المغنسيوم والكالسيوم تدريجياً أثناء عملية التمايز الصهيري، فإن الحديد يسلك سلوكاً مغايراً، فيزيد في الصخور المتوسطة بتقدم التمايز كما في حالة الصخور الثوليتية، وبالتالي قد يعطى قيمة تحجب درجة التمايز الحقيقية.



شكل 5-17 منحنيات تغير مجموع الأكاسيد القلوية وأكسيد الكالسيوم أمام السليكا لأربع عشاير من الصخور النارية المختلفة.

4- تمييز أنواع الجرانيت إلى جرانيت منخفض الكالسيوم (أكسيد الكالسيوم أقل من 1 %) أو جرانيت عالي الكالسيوم (أكسيد الكالسيوم أعلى من 1 %). وبديهي أن النوع الأخير أقل تمايزاً من النوع الأول.

### التيتانيوم

ترتبط التيتانيا  $TiO_2$  ارتباطاً وثيقاً بأكسيد الحديد الكلي ( $FeO^*$ ) وبالتالي فلها ارتباط عكسي بالسليكا، ويتراوح تركيزها بين 0.3 و 2.8 % بمتوسط حوالى 1 %. يوجد الجزء الأكبر من تيتانيوم الصخور النارية فى معدنى التيتانوماجنيتيت و الإلمنيت، ولكنه يوجد أيضاً بكثرة فى معادن البيروكسين و الأمفيبول و الميكا حيث يحل مكان الألومنيوم فى تناسق سداسى بطريقة الأسر capture بسبب شحنته الأعلى.

يلعب التيتانيوم دوراً هاماً فى تمييز بعض أنواع الصهارة الأولية والوضع البنىوى الذى نشأت فيه تلك الصهارات. فمثلاً، تزيد نسبة التيتانيا بتقدم عملية التمايز الصهبرى فى العشائر الثولييتية تماماً كما يحدث للحديد، وتصل إلى أعلى تركيزها فى الصخور المحتوية على سليكا ما بين 50 - 57 % قبل أن تبدأ فى الانخفاض مع زيادة السليكا، فى حين لا يحدث مثل هذا الارتفاع فى الصخور الكالسقلوية حيث تنخفض التيتانيا وأكسيد الحديد باطراد مع ارتفاع السليكا. وقد أرجع هذا التناقض بين الصخور الثولييتية والكالسقلوية إلى تبلور الماجنتيت فى جميع مراحل السلاسل الكالسقلوية حيث لوحظ أن التغير فى ميل منحنيات هاركر Harker للتيتانيا وأكاسيد الحديد أمام السليكا يتوافق دائماً مع ظهور معدن الماجنتيت على شكل حبيبات سماقية.

من ناحية أخرى، تتميز جميع الصخور البركانية المتكونة عند حواف الألواح المتداخلة بانخفاض نسبة التيتانيا، ويندر أن تتجاوز هذه النسبة 1.3 % فى صخور البازلت والأنديزيت المتكونة فى الأقواس البركانية، فى حين ترتفع هذه النسبة فى الصخور المتكونة عند حواف اللوحات المتباعدة أو فى داخل اللوحات إلى مستويات تتجاوز معظمها القيم



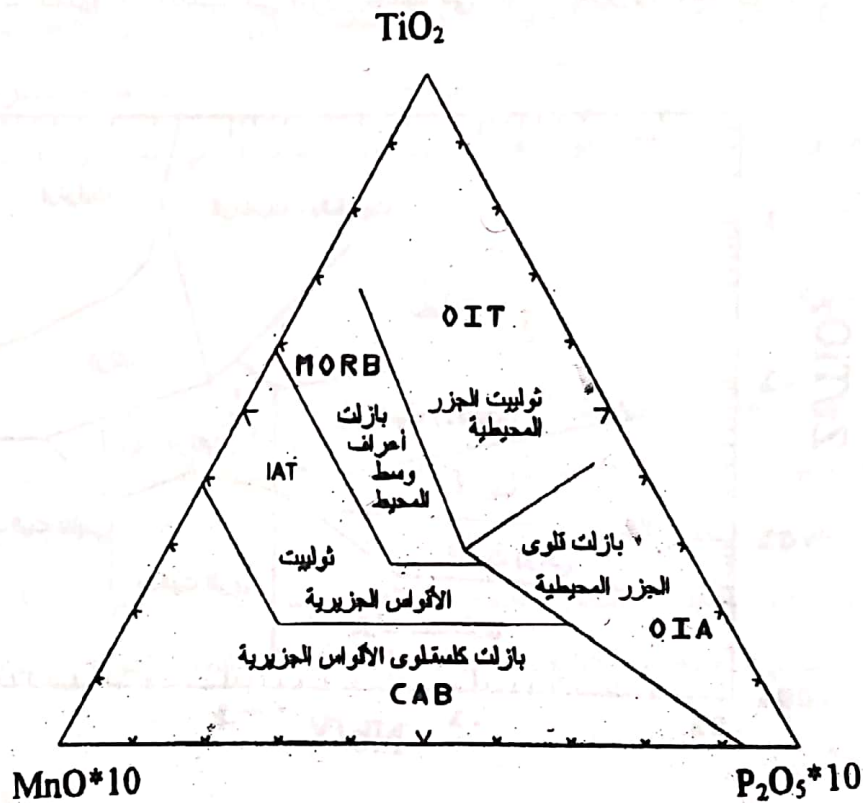
المذكورة. ويعطى جدول 3-5 متوسطات تركيز التيتانيا في صخور بركانية حديثة المنشأ في أوضاع تكتونية مختلفة.

جدول 3-5 متوسطات تركيز التيتانيوم في صخور بركانية ذات نشأت تكتونية متباينة

| نوع الصخر      | TiO <sub>2</sub> % | بيئة النشأة                        |
|----------------|--------------------|------------------------------------|
| بازلت          | 1.49               | أعراف وسط المحيط الأطلنطي (MAR)    |
| بازلت          | 1.77               | ارتفاعات شرق الباسيفيك (EPR)       |
| بازلت          | 1.19               | أعراف وسط المحيط الهندي (IOR)      |
| بازلت          | 1.46 - 0.61        | أحواض خلف الأقواس (BAB)            |
| بازلت قلوى     | 2.15               | داخل ألواح محيطية (هاواي) (HAB)    |
| بازلت قلوى     | 3.95 - 1.55        | فيوضات بازلتية قارية (CFB)         |
| بازلت قلوى     | 5.64 - 3.71        | بيئات أخدودية (Rifts)              |
| بازلت ثولييتي  | 2.57               | داخل ألواح محيطية (HTB)            |
| بازلت ثولييتي  | 0.52               | أقواس جزيرية (IATB)                |
| بازلت كالسقلوى | 0.70               | أقواس جزيرية (IA)                  |
| بازلت كالسقلوى | 1.14               | أقواس بركانية نشطة (الأنديز) (VA)  |
| ثولييت         | 2.63               | جزر محيطية (OIT)                   |
| ثولييت         | 0.80               | أقواس جزيرية (IAT)                 |
| ثولييت         | 1.00               | فيوضات قارية (CFT)                 |
| أنديزيت بازلتى | 1.27               | أقواس بركانية نشطة (الأنديز) (AVA) |
| أنديزيت        | 0.95               | أقواس بركانية نشطة (الأنديز) (AVA) |
| باسانيت        | 3.64               | بيئات أخدودية (Rifts)              |
| موجريت         | 2.23               | بيئات أخدودية (Rifts)              |
| بنموريت        | 0.81               | بيئات أخدودية (Rifts)              |
| تراكيت         | 0.22               | بيئات أخدودية (Rifts)              |
| بونينيت        | 0.33 - 0.12        | أحواض خلف الأقواس (BAB)            |

عن: بيانات من ويلسن (Wilson 1989) و رولينز (Rollins 1993)

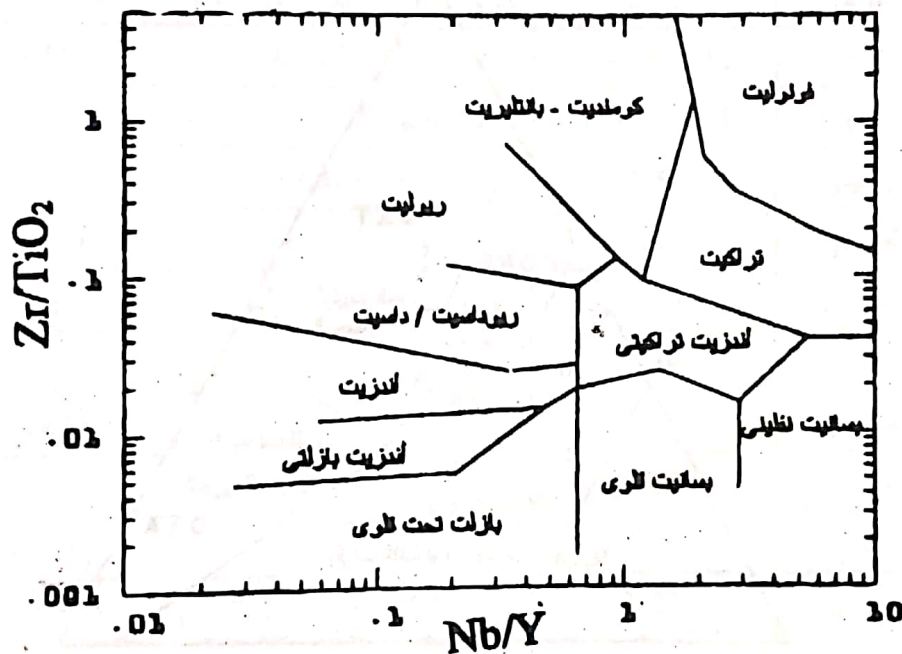
يعد التيتانيوم أحد العناصر المحدودة الحركة immobile أثناء عمليات التحول الإقليمي، ولذلك يستخدم مع بعض العناصر الأخرى الشبيهة (في هذا السلوك) في كثير من رسوم التمييز البيانية discrimination diagrams، فيستخدم مثلاً مع المنجنيز والفسفور (شكل 5-18) أو مع الزركونيوم والنيوبيوم واليتريوم (شكل 5-19) لبيان الأوضاع التكتونية المحتملة لنشأة بعض أنواع الصهارة البازلتية أو التجمعات الصخرية التي ينحصر محتواها من السليكا بين 45 و 54 % فقط.



شكل 5-18 استخدام أكاسيد التيتانيوم والمنجنيز والفسفور في التعرف على البيئات التكتونية القديمة المحتملة. عن مولين (Mullen 1983).

## المنجنيز و الفوسفور

يعد المنجنيز والفوسفور من العناصر قليلة الوفرة minor elements في الصخور النارية بشكل عام، ويندر أن يصل تركيز أى منهما إلى أكثر من واحد فى المائة. يُوجد المنجنيز فى الصهارة كأيون ثنائى التكافؤ. ونتيجة لتشابه الشحنة والسالبية الإلكترونية، فإنه يحل مكان أيون الحديدوز فى المعادن الحديدومغنيسية. ولكن، نظرا لكون أيون المنجنيز أكبر حجما من أيون الحديدوز فإن النسبة Mn/Fe تزيد فى النواتج المتأخرة لعملية التمايز الصهيري، وذلك للسهولة النسبية فى قبول الحديد فى البناء البلورى للمعادن مبكرة التبلور.



شكل 5-19 استخدام نسبة Zr/Ti أمام نسبة Nb/Y فى تسمية الصخور البركانية وتصنيفها. عن: ونشستر و فلويد (Winchester & Floyd 1977).

يعيب المنجنيز سهولة تحريكه بعوامل التحول أو التغير، ولذلك فإن تركيزه فى الصخور القديمة التى تعرضت لأى من درجات التحول لا تعبر فى أغلب الأحيان عن التركيز الأصلى فى الصخر، وبالتالي فهى نادرا ما تستخدم فى رسوم التمييز أو التصنيف.



أما الفوسفور فإنه يوجد فى الصخور النارية وبشكل رئيس فى معدن الأباتيت، الذى يحتوى على حوالى 18 % فوسفور. هناك جزء بسيط من الفوسفور لا يدخل فى الأباتيت ولكن يدخل فى معادن ثانوية أخرى، مثل المونازيت والزيركون، التى توجد فى بعض الصخور الجوفية المتوسطة والحمضية. يوجد المنجنيز أيضا فى بعض الصخور القلوية، كالسيانيت النفلينى والبيجماتيت وبعض أنواع الجرانيت التى تحتوى على معادن فوسفاتية لعناصر الليثيوم والبريليوم والألومنيوم والمغنسيوم. يمكن للفوسفور أن يحل مكان السليكون فى بعض المعادن السيليكاتية، فقد تصل درجة إحلال ذرات الفوسفور مثلاً فى معدن الزيركون إلى سدس عدد ذرات السليكون، ويتم التغلب على الفرق فى التكافؤ بين الفوسفور  $P^{5+}$  والسليكون  $Si^{4+}$  بحدوث إحلال متزامن بذرات من العناصر الأرضية النادرة لذرات من الزركونيوم. وعموماً فإن الفوسفور يقل فى الصخور المتفارقة فى المراحل الأولى للتمايز المتأخر للتبلور.

## الماء

يرصد الماء فى التحاليل الجيوكيميائية كمكونين: الأول ماء سالب تتبعه علامة (-) أى  $H_2O^-$  وهو يشير إلى نسبة ما تفقده العينة من وزنها عندما تسخن إلى درجة 105 مئوية (وقد يتكرر التسخين حتى الحصول على وزن ثابت). ويُعد الماء السالب مجرد تقدير للرطوبة التى علقت بمطحون العينة كما تلقاه المحلل الكيميائى وليس له أى صلة بالتركيب الكيميائى للعينة، ولذلك يفضل حذفه وإعادة حساب النسب بدونه خاصة عند عمل المقارنات.

المكون الثانى للماء هو ماء موجب تتبعه علامة (+) أى  $H_2O^+$  وهو يشير إلى نسبة ما تفقده العينة من وزن عند حرقها إلى أعلى من 1000 درجة مئوية (بعد التصحيح لمقدار ثانى أكسيد الكربون أو أية غازات أخرى - إن وجدت - فى العينة)، وقد يتكرر الحرق حتى الحصول على وزن ثابت.

يمثل ماء التبلور هذا، الماء الذى يدخل فى التركيب البلورى الكيميائى لبعض المعادن، مثل الهورنبلند، والبيوتيت، والمسكوفيت، والإبيدوت، والأنالسيم، وغيرها، وبالتالى

فهو يعد مكوناً أساسياً في الصخر. يحذف الماء الموجب في بعض الأحيان كما في حالة حساب معيار CIPW لأن المعادن المحتوية على ماء تبلور مثل الهورنبلند والبيوتيت لا تحسب عادة ويحسب البيروكسين اللامائي بدلاً منها. وتتشابه هذه العملية إلى حد ما مع ما يحدث في الطبيعة، إذ تتخلص الصهارة عادة من مكوناتها المتطايرة، بما فيها الماء، عند وصولها إلى سطح الأرض مكونة صخوراً بركانية. على العكس من ذلك، فإن الصخور الجوفية تحتفظ بهذا الماء عند تبلورها، لذلك فقد يمثل الماء الموجب في هذه الحالة محتوى الماء في الصهارة، ولكن هناك احتمالاً أن يمثل الماء الموجب أيضاً كمية الماء التي اكتسبها الصخر أثناء تغيره، فيتغير مثلاً، الأوليفين أو البيروكسين إلى معادن السربنتين أو الأمفيبول أو الكلوريت عند تعرضها لعوامل خارجية، وكلها معادن ثانوية لم تتكون بالتمايز الصهيري، وبالتالي لا يدل ارتفاع نسبة الماء في التحليل على ارتفاع نسبة الماء في الصهارة.

تستخدم نسبة الماء الموجب ( $H_2O^+$ ) في حالة ظهور بعض المعادن الثانوية للدلالة على مدى التغير الذي تعرض له الصخر، وبالتالي لمدى تحرك عناصر أخرى وانتقالها من أو إلى الصخر، بل إنه يمكن رفض أو قبول أي تحليل بناء على محتواه من هذا المكون. ويُحجم كثير من الجيوكيميائيين عن استخدام تحاليل محتوية على نسبة عالية من الماء الموجب ( $H_2O^+$ ) بغرض استنتاج نوعية الصهارة أو بيانات تكونها خاصة في الصخور القديمة التي تعرضت للتحويل والتغير لأنه لا يمكن في هذه الحالة الجزم بما إذا كانت الأكاسيد الأخرى قد تعرضت للفقد أو الزيادة في عمليات التحويل والتغير هذه.

## العناصر النزرة

تشمل العناصر النزرة trace elements بقية العناصر التي لم يرد ذكرها بين العناصر الرئيسية المذكورة أعلاه، التي تقل تركيزاتها في معظم المواد الجيولوجية عن 0.1 % وترصد تحاليلها عادة كعناصر وليس كأكاسيد، ووحدة تركيزها "جزء من مليون" (ج م م - ppm). ونظراً لتركيزاتها البالغة الانخفاض، فإنها لا تؤثر ولا تتحكم في نوعية المعادن التي تتبلور من الصهارة.

توجد هذه العناصر على شكل شوائب عالقة ومشتتة dispersed فى المعادن الرئيسية المكونة للصخور أو تتركز - فى حالة عدم قدرتها على التوافق مع البناء البلورى للمعادن الرئيسية فى بقية الصهارة - مكونة معادن إضافية فى آخر مراحل التبلور التفاضلى.

وتجدر الإشارة إلى أن تصنيف أى عنصر كنزر أو رئيس ليس تصنيفا مطلقا بل يتغير أحيانا، فعلى سبيل المثال لا الحصر، يعتبر البوتاسيوم عنصرا رئيسا فى صخر الجرانيت؛ ولكنه عنصر نزر فى صخر البريدوتيت.

ويتجاوز عدد العناصر النزرة السبعين عنصرا، لكن كثيرا منها يتشابه فى خواصه الجيوكيميائية، خاصة ما يتعلق منها بالسلوك أثناء عملية التبلور من الصهارة. يتأثر انفصال العناصر من الصهارة أثناء تبلورها، إلى جانب درجة الحرارة، بتركيز عنصرى السليكون والألومنيوم اللذين يتحكمان بدرجة كبيرة فى نوعية المعادن المتبلورة وبنائها البلورى، إذ تعمل هذه المعادن كشباك بلورية تقوم بفرز أيونات العناصر الأخرى فى الصهارة، فلا تسمح للعنصر (رئيسا كان أو نزرا) بدخولها ما لم تتوافر فيه عدة شروط تتعلق بحجم ذراته وما تحمله من شحنة كهربائية بشكل يسمح بتكوينه رابطة كيميائية قوية مع بقية العناصر. ونظرا إلى أن هذه الشروط قد تنطبق على أكثر من أيون فى وقت واحد لذلك كان من البديهي أن توجد قاعدة أو مجموعة من القواعد تنظم دخول العناصر المختلفة وأولويات تثبيتها فى أى بناء بلورى من الصهارة.

### قواعد انفصال العناصر من الصهارة

كان أول من تنبه إلى السلوك المنتظم لانفصال العناصر أثناء عملية التبلور التفاضلى للصهارة وصاغ قواعده كوسيلة للتنبؤ بالاتجاه الذى سيسلكه عنصر معين خلال عملية التبلور هو العالم النرويجى جولدشميدت Goldschmidt فى عام 1937، ولذلك تسبب هذه القواعد إليه وتعرف بقواعد جولدشميدت Goldschmidt rules وهى:



(1) إذا تساوى أيونان في الشحنة وفي طول نصف القطر، فإنهما يدخلان البناء البلورى بنفس الدرجة من السهولة.

(2) إذا تساوى أيونان في الشحنة وتقاربا في طول نصف القطر، فإن الأيون الأصغر حجما يُقبل في البناء البلورى بسهولة أكثر.

(3) إذا تقارب أيونان في طول نصف القطر، واختلفا في شحنتيهما فإن الأيون ذا الشحنة الأعلى يُقبل في البناء البلورى بسهولة أكثر.

ولا يقتصر تطبيق قواعد جولدشميدت على العناصر النزرة بل يتعدى تطبيقها على معظم العناصر الرئيسية، فهي تفسر كثيرا من التتابعات المعدنية التي ورد ذكرها في تسلسل بوين Bowen للتفاعل. فتفسر هذه القواعد مثلا، لماذا يسبق أيون الكالسيوم  $Ca^{2+}$  (1.08 أنجستروم) أيون الصوديوم  $Na^{+}$  (1.10 أنجستروم) في دخول البناء البلورى للفلسبارات وذلك بسبب شحنته الأعلى (قاعدة 3). كذلك تفسر القاعدة رقم 2 لماذا يسبق أيون المغنسيوم  $Mg^{2+}$  (0.8 أنجستروم) أيون الحديدوز  $Fe^{2+}$  (0.86 أنجستروم) في دخول جميع المعادن الحديدومغنيسية مثل الأوليفين والبيروكسين والأمفيبول، حيث تزيد نسبة المغنسيوم/الحديد (Mg/Fe) في المعادن الأسبق تكويناً. ولكن لاشك أن أكثر تطبيقات قواعد جولدشميدت هي في مجال التنبؤ بنظام وتتابع إزالة العناصر النزرة من الصهارة.

ونظرا لانخفاض وجود أيونات العناصر النزرة في الصهارة، فهي تعجز في معظم الحالات عن تكوين معادن خاصة بها. لذلك، فهي تحاول أن تدخل في تركيب المعادن الرئيسية التي تتفصل من الصهارة، وذلك بأن تحل مكان أحد العناصر الرئيسية المكونة لها دون أن يؤثر ذلك على الترتيب البنائى أو النظام البلورى للمعدن. يطلق على دخول العناصر النزرة بهذه الطريقة إحلال متشاكل isomorphous replacement.

ويخضع مدى إحلال عنصر نزر لعنصر رئيس إلى قواعد جولدشميدت مع بعض التحوير والإضافة على النحو التالى:

1 - يمكن لعنصر رئيس أن يستبدل على نطاق كبير بعنصر نزر له نفس الشحنة إذا لم تختلف أنصاف أقطار أيوناتهما بأكثر من 15 %، ويسمى هذا الشكل إحلالا بالتستر أو التخفى camouflage، ومن أمثله إحلال أيون النيكل  $Ni^{2+}$  (0.77 أنجستروم) أو الكوبلت  $Co^{2+}$  (0.83 أنجستروم) مكان المغنسيوم  $Mg^{2+}$  (0.80 أنجستروم) في معادن الأوليفين والبيروكسين.

2 - يمكن لكتيونات العناصر النزرّة التي تختلف شحناتها بوحدة واحدة فقط عن شحنات العناصر الرئيسة القريبة الحجم أن تحل محلها بسهولة. أما إذا تجاوز الاختلاف في الشحنة أكثر من واحد صار الإحلال صعبا ولكنه يحدث في حالات نادرة. فإذا كانت شحنة العنصر النزر أكبر من شحنة العنصر الرئيس، سمي هذا النوع من الإحلال إحلالا بالأسر capture ومن أمثله إحلال الباريوم  $Ba^{2+}$  (1.44 أنجستروم) مكان البوتاسيوم  $K^{+}$  (1.46 أنجستروم) في معادن الفلسبارات. أما إذا كانت شحنة كاتيون العنصر النزر أقل من شحنة كاتيون العنصر الرئيس أطلق على هذا الشكل من الإحلال إحلالا بالقبول admission، ومن أمثله إحلال الليثيوم  $Li^{+}$  (0.82 أنجستروم) مكان المغنسيوم (0.8 أنجستروم). ويلاحظ أنه عند تنافس كاتيونين نزرين على شغل مكان معين لعنصر رئيس، فإن الأولوية تعطى للكاتيون الذي يكون رابطة أقوى مع جيرانه من الأيونات الأخرى؛ وهذا ينطبق على الكاتيون الأصغر حجما أو الأعلى شحنة أو كلاهما.

3 - قد لا يحدث إحلال بين بعض الكاتيونات رغم عدم وجود ما يتعارض مع إمكانية الإحلال من حيث الحجم والشحنة، وذلك بسبب اختلاف نوع الروابط، فمثلا كاتيونى النحاس  $Cu^{2+}$  (0.81 أنجستروم) والمغنسيوم  $Mg^{2+}$  (0.8 أنجستروم) متطابقان تقريبا في الحجم والشحنة، ومع ذلك لا يحل النحاس في معادن المغنسيوم بأى درجة تذكر، وذلك لأن رابطة النحاس بالأكسجين Cu-O أكثر تساهمية more covalent وأقل أيونية less ionic من الرابطة Mg-O.

من هذه القواعد يتضح أن سلوك كاتيونات العناصر في الصهارة يرتكز على ثلاثة عوامل هي:

• حجم الأيون

## • الشحنة أو التكافؤ

## • نوع الرابطة الكيميائية

وبينما يوجد شبه اتفاق على التقدير الكمي لحجم كاتيونات جميع العناصر وتكافؤاتها، إلا أن التقدير الكمي لنوعية الرابطة الكيميائية مازال يواجه بعضاً من عدم الاتفاق بين من يقدرونه على أساس جهد التأين ومن يقدرونه على أساس السالبية الكهربية. وسوف نتبنى هنا السالبية الكهربية كأساس للتقدير الكمي لنوعية الرابطة الكيميائية. ويعطى جدول (4-5) قيم السالبية الكهربية لمجموعة من العناصر النذرة. وتختلف الأهمية النسبية للعوامل الثلاثة، فيطغى عامل منها على العاملين الآخرين، فنرى مثلاً كيف يطيح نوع الرابطة الكيميائية بميزة الكاتيون الأصغر حجماً والأعلى شحنة في حالة إحداهما الرصاص  $Pb^{2+}$  (1.26 أنجستروم) مكان البوتاسيوم  $K^+$  (1.46 أنجستروم) أو اليتريوم مكان الكالسيوم.

جدول 4-5 السالبية الكهربية لبعض العناصر الكيميائية

| الأيون    | السالبية الكهربية<br>Electronegativity | الأيون    | السالبية الكهربية<br>Electronegativity |
|-----------|--|-----------|--|
| $Cs^+$    | 0.7                                    | $K^+$     | 0.8                                    |
| $Na^+$    | 0.9                                    | $Li^+$    | 1.0                                    |
| $Ba^{2+}$ | 0.9                                    | $Ca^{2+}$ | 1.0                                    |
| $Mg^{2+}$ | 1.2                                    | $Be^{2+}$ | 1.5                                    |
| $Al^{3+}$ | 1.5                                    | $B^{3+}$  | 2.0                                    |
| $Mn^{2+}$ | 1.5                                    | $Zn^{2+}$ | 1.7                                    |
| $Sn^{2+}$ | 1.8                                    | $Pb^{2+}$ | 1.8                                    |
| $Fe^{2+}$ | 1.8                                    | $Fe^{3+}$ | 1.9                                    |
| $Ag^+$    | 1.9                                    | $Cu^+$    | 1.9                                    |
| $Si^{4+}$ | 1.8                                    | $C^{4+}$  | 2.5                                    |
| $P^{5+}$  | 2.1                                    | $N^{5+}$  | 3.0                                    |
| $Cl$      | 3.0                                    | $F$       | 4.0                                    |
| $S$       | 2.5                                    | $O$       | 3.5                                    |

عن ماسون ومور (Mason & Moore 1982).



يلاحظ أنه يترتب على إحلال عنصر مكان آخر مختلف عنه في الشحنة أن يفقد المعدن تعادله أو اتزانه الكهربى (عدد الشحنات الموجبة التى تحملها الكاتيونات يساوى عدد الشحنات السالبة التى تحملها الأنيونات) وهنا يتحتم على المعدن أن يعيد هذا الإتزان، ويتم ذلك عن طريق استبدال أو إحلال آخر متزامن يقوم بمعادلة هذا التغير الحاصل فى الشحنات. فلو حل مثلا عنصر رباعى التكافؤ مثل السليكون مكان آخر ثلاثى التكافؤ مثل الألومنيوم فى سلسلة معادن البلاجيوكلاز، فإن هذا الإحلال يصاحب عادة بإحلال للصوديوم (أحادى) مكان الكالسيوم (ثنائى) أو أن يصحب إحلال باريوم (ثنائى) مكان بوتاسيوم (أحادى) إحلال الألومنيوم (ثلاثى) مكان سليكون (رباعى).

### توزيع العناصر النزرة بين المعادن

عندما تبدأ المعادن فى التبلور من الصهارة، تقوم العناصر أو الأكاسيد الرئيسة ببناء الهياكل الأساسية للمعادن، وتبدأ العناصر النزرة فى التنافس على إيجاد مأوى لها فى هذه الهياكل عن طريق شغل بعض مواقع العناصر الرئيسة، وبالتالي فإن العنصر النزر قد يجد أمامه صنفاً phase أو أكثر من المعادن فى الحالة الصلبة، بالإضافة إلى السائل الصهبرى الذى لم يتبلور بعد. ونظرا لحالة الإتزان السائدة بين هذه الأصناف، فإن العناصر النزرة تكون لديها الفرصة لتوزع نفسها بين هذه الأصناف حيث تتحكم العوامل السابق ذكرها فى مدى واتجاهات هذا التوزيع. يقاس مدى توزيع عنصر نزر بين أحد المعادن الصلبة والسائل الصهبرى بما يسمى معامل التوزيع partition coefficient ويعبر عنه بالحرف  $K$  ويقدر على النحو التالى:

$$K = \frac{\text{التركيز فى المعدن}}{\text{التركيز فى السائل}}$$

العناصر التى تقل قيمة معاملها  $K$  كثيرا عن واحد يطلق عليها عناصر غير متوافقة incompatible، وهى العناصر التى تفضل (أو بالأحرى تجبر على) البقاء فى السائل الصهبرى أثناء تبلور الصهارة لعدم ملائمة الهيكل البنائى للمعادن المتكونة لاستيعابها بسبب

حجم ذراتها أو شحناتها أو نوعية الرابطة التي تكونها وقوتها. يطلق على العناصر غير المتوافقة مع معادن الوشاح العادية (الأوليفين والبيروكسين والإسبينيل والجارنت) عناصر صخرية الميل lithophile أو عناصر صخرية الميل كبيرة الأيون large-ion lithophile واختصارها الشائع الاستخدام هو المصطلح LIL، ومن أمثلتها العناصر K, Rb, Sr, Ba, Zr, Th.

وعلى العكس من ذلك، فالعناصر التي تزيد قيمة معاملها "ت" عن واحد يطلق عليها عناصر متوافقة compatible، وهي التي تتفصل عن السائل الصهيري وتدخل أحد المعادن المتبلورة مبكرا (أو تفضل البقاء في الأصناف أو المعادن الصلبة المتخلفة في عمليات الانصهار التجزيئي) ومن أمثلتها العناصر Ni, Co, Cr.

ويطرح كثير من الطلاب تساؤلا عن كيفية تحديد أو تقدير قيم "ت" في صخور تجمدت بالكامل منذ ملايين السنين ولم يعد فيها أى صنف سائل يمكن أن نقيس تركيز العنصر النزر فيه. تصور أن هناك صحارة بازلتية بدأت في التبلور فتكونت عدة بلورات من الأوليفين والبلاجيوكلاز الكلسي؛ وبعد نمو هذه البلورات إلى حد معين، حدث صعود مفاجئ للصحارة إلى سطح الأرض تعرض نتيجة له الصهير لتبريد مفاجئ وسريع، ولم يتمكن السائل الصهيري المتبقى أن يكمل تبلوره، بل تجمد على شكل زجاج أو بلورات غاية في الصغر. لاشك أن التركيب الكيميائي لهذا الزجاج أو لتلك البلورات الدقيقة يطابق تركيب السائل الصهيري لحظة صعوده إلى السطح. بالتالي فلو أمكننا تقدير تركيز عنصر نزر معين كالنيكل مثلا في بضع بلورات من الأوليفين وتركيزه في الزجاج، فإننا نستطيع تقدير قيمة لمعامل التوزيع "ت".

ويتم قياس تركيزات العناصر المختلفة في البلورات أو الزجاج دون حاجة لفصلها باستخدام جهاز المسبار المجهرى الإلكتروني electron microprobe وفيه تسلط حزمة من الإلكترونات على مساحة صغيرة جدا من البلورة أو الزجاج مثبتة ومحددة مسبقا على شريحة رقيقة من المعدن. عندما تقابل هذه الإلكترونات المعدن تصدر العناصر المكونة له أشعة سينية مميزة لها تتناسب في شدتها مع تركيزاتها.



وكما أنه يمكن تقدير معامل توزيع عنصر نزر بين صنف معدنى وآخر جامد (يمثل السائل الصهيري)، فإنه بالإمكان — وربما بسهولة أكثر — تقدير معامل توزيع عنصر نزر بين معدنين مختلفين فى نفس الصخر، فيمكن مثلاً تقدير معامل توزيع النيكل بين معدنى الأوليفين والبلاجيوكلاز بتحديد تركيز النيكل فى كل منهما وتطبيق نفس المعادلة المذكورة أعلاه.

وتتغير قيم "ت" بتغير درجات حرارة التبلور والتجمد، وكذلك بالضغط والوفرة النسبية للأكسجين فى الصهارة، إضافة إلى التركيب الكيميائى الكلى للصهير والمعدن. وتظهر البيانات المتاحة أن قيم "ت" تزيد بزيادة محتوى السليكا فى الصهارة. وقد أمكن عن طريق تقدير "ت" لبضع عناصر فى الصخور البركانية الوصول إلى استنتاجات غاية فى الأهمية عن نشأة الصخور النارية، خاصة ما يتعلق بمسارات التمايز الصهيري ومدى الدور الذى لعبه التبلور التجزيئى فيها.

### وفرة العناصر النزرة فى الصخور النارية

لاشك أن تقدير متوسطات لوفرة العناصر النزرة فى مختلف أنواع صخور القشرة الأرضية هو عمل فى غاية الصعوبة، ويتوقف إلى حد كبير على التقدم الذى أحرزه العلماء فى تطوير طرق التحاليل، وفى جمع وتصنيف العينات، وكذلك على تعاونهم فى تبادل ونشر ما يحصلون عليه من تحاليل، وتكوين قاعدة بيانات تضم كافة التحاليل الموثوقة. وقد جرت عدة محاولات فى الستينيات لعمل مثل هذه التقديرات فى الصخور النارية نشرها توريكيان ووديبول Turekian and Wedepohl فى عام 1961 وفينيجرادوف Vinogradov فى عام 1962 وتايلور Taylor فى عام 1965. وسوف نعطي عند حديثنا عن مجموعات العناصر النزرة جداول، منبثقة عن هذه الأعمال، تبين تقديرات لمتوسطات تركيزات هذه العناصر فى كل مجموعة فى الصخور فوق المافية والمافية والمتوسطة والفلسية والقشرة الأرضية ككل لتعطى القارئ انطباعاً عن أبعاد التغير فى الوفرة، كما أنها تمد الباحثين المحللين بإطار من مقارنة ما يحصلون عليه من بيانات بالمتوسطات العالمية وليبرزوا أية اختلافات قد تصادفهم، ومحاولة إيجاد تفسير أسبابها.



### السلوك الجيوكيميائي للعناصر النزرة

تشابه كثير من العناصر في سلوكها نتيجة تقارب بعض أو معظم صفاتها الفيزيائية خاصة الحجم والشحنة والسالبية الكهربائية. لذلك، فسوف نتعرض للعناصر النزرة كمجموعات بدلا من معالجة كل منها على حدة تجنباً للإطالة والتكرار.

### العناصر المتوافقة

تشمل مجموعة العناصر المتوافقة compatible النيكل والكوبالت والكروم والفاناديوم والسكانديوم (Ni, Co, Cr, V, Sc) وهي العناصر التي تزيد تركيزاتها في المعادن الحديدومغنيسية عنها في السائل الصهيري الملائم، وذلك لتوافق صفاتها الفيزيائية مع البناء البلوري لتلك المعادن. يعطى جدول (5-5) تركيزات هذه العناصر في الصخور النارية المتنوعة.

جدول 5-5 متوسطات تركيز النيكل والكوبالت والكروم والفاناديوم والسكانديوم في الصخور المختلفة

| الصخر       | Sc | V   | Cr   | Co  | Ni    |
|-------------|----|-----|------|-----|-------|
| كوندريت     | 11 | 70  | 2500 | 800 | 1.34% |
| قشرة أرضية  | 16 | 135 | 100  | 25  | 75    |
| بريدوتيت    | 10 | 50  | 2000 | 150 | 2000  |
| بازلت       | 38 | 250 | 200  | 50  | 150   |
| سيانيت      | 5  | 30  | 2    | 2   | 5     |
| جرانوديوريت | 10 | 100 | 20   | 10  | 20    |
| جرانيت      | 5  | 20  | 4    | 1   | 0.5   |
| طفلة        | 15 | 130 | 100  | 20  | 70    |
| جريواكي     | 10 | 70  | 140  | 20  | 50    |
| كوارتزيت    | 2  | 20  | 50   | 1   | 2     |
| حجر جيرى    | 5  | 15  | 10   | 4   | 12    |

عن: تيلور (Taylor 1965)

يمثل أيون النيكل (0.77 أنجستروم) \* أيون المغنسيوم في الحجم والشحنة، لذلك نجد أن النيكل يدخل بالتستر في معادن المغنسيوم، ويزاح من الصهارة في المعادن مبكرة الانفصال أثناء التمايز الصهيري خاصة الأوليفين، وتكون النسبة  $Ni/Mg$  أعلى ما يمكن في هذا المعدن، ثم تتجه إلى الانخفاض في المعادن الحديدومغنيسية التي تليه في التبلور. يزاحم أيون النيكل أيون الحديدوز والمغنسيوم بقوة في شغل المواقع سداسية التناسق (ثمانية الأوجه) في المعادن، وذلك بسبب امتلاكه أقوى طاقة استقرار للمجال البلوري  $stabilization$  crystal field energy من بين العناصر ثنائية التكافؤ.

يشابه أيون الكوبلت الثنائي التكافؤ (0.83 أنجستروم) أيون الحديدوز في الحجم إلى حد كبير، ولذلك يستتر الكوبلت في معادن الحديد بسهولة، وتكون النسبة  $Co/Fe$  أعلى ما يمكن في المعادن مبكرة الانفصال عن الصهارة وتتناقص تدريجاً بتقدم التبلور التجزيئي، ولذلك يزاح الجزء الأكبر من الكوبلت في هذه المعادن خاصة الأوليفين.

يدخل الكروم (0.70 أنجستروم) الذي يوجد في الصهارة كأيون ثلاثي التكافؤ ( $Cr^{3+}$ ) في معادن المجنتيت وذلك بإحلاله محل أيون الحديد (0.73 أنجستروم) الذي يمثل في نصف القطر والتكافؤ مكوناً معدن الكروميت (حيث إن الصيغة الكيميائية للمجنتيت تشمل  $FeO$  و  $Fe_2O_3$ ) كما يدخل بكميات كبيرة في معادن البيروكسين خاصة في الصخور فوق المافية لميله الشديد للإحلال محل الحديدوز بالأسر (بسبب الشحنة الأعلى). لذلك، ينفصل الكروم في الأصناف الجامدة التي تنفصل مبكراً من الصهارة.

يوجد الفناديوم في الصهارة غالباً كأيونات ثلاثية التكافؤ ( $V^{3+}$ ) (0.72 أنجستروم)، وتزاح الكمية الأكبر منه في معدن المجنتيت خاصة المبكر الانفصال حيث يحل محل أيونات الحديد لتقارب أنصاف أقطارهما الأيونية ولانخفاض ساليتهما الكهربائية. يدخل الفناديوم أيضاً في معادن البيروكسين والأمفيبول والبيوتيت، كما لوحظ تركزه بكميات وفيرة في معدن الإيجيرين الغني بالحديد.

قيم أنصاف الأقطار كلها على أساس تناسق سداسي 6-coordination أما للتناسق الرباعي 4-coordination فيطرح 0.13 من القيمة



يوجد السكندريوم في الصهارة كأيون ثلاثي  $Sc^{3+}$ ، ونظرا لقرب نصف قطر أيونه (0.83 أنجستروم) من نصف القطر الأيوني للحديدوز، إضافة إلى شحنته الأعلى، فإنه يؤسّر في هياكل المعادن الحديدومغنيسية خاصة البيروكسين والهورنبلند، كما يتركز بكمية في معدن الأوليفين ويرجع ذلك معدن التيتانيت. يلاحظ أن السكندريوم لا يدخل بكميات تذكر في معدن الأوليفين ويمكنها الدخول إلى صعوبة معادلة الشحنة الزائدة لعدم وجود عناصر ملائمة (أحادية التكافؤ) يمكنها الدخول في هيكل المعدن.

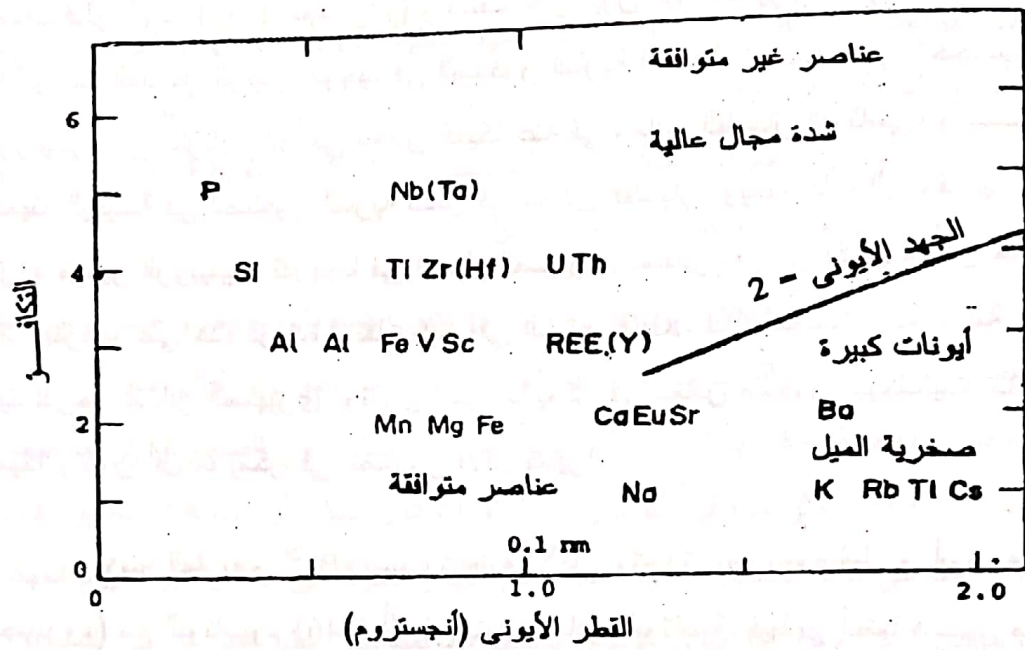
تستخدم تركيزات العناصر المتوافقة في الصخور البازلتية كمؤشرات جيدة لمصدر الصهارة ونوعية التبلور التجزيئي. فالتركيزات العالية من النيكل (250 - 300 جزء في المليون) أو الكروم (500 - 600 جزء في المليون) تعد دليلا جيدا لاشتقاق الصهارة الجلمدة من مصدر وشاحي بريدوتيتي. ويعتبر تناقص النيكل (وإلى حد ما الكوبلت) في سلسلة صخرية مؤشرا بأن تبلور الأوليفين كان أساسيا في عملية التبلور التجزيئي، في حين يشير تناقص الكروم إلى أن الإسبينيل والكلينوبيروكسين كانا المعدنين الرئيسيين في تلك العملية.

### العناصر غير المتوافقة (الناشئة)

العناصر غير المتوافقة incompatible elements هي التي لا تقبل بسهولة في بنية المعادن المافية التي تتفصل مبكرا من الصهارة، ولذلك تتجه إلى التركيز التدريجي في السلل الصهيري المتناقص أثناء عملية التبلور التجزيئي. ويتوقف استبعاد هذه العناصر من البناء البلوري للمعادن على جهدها الأيوني ionic potential (شحنة الأيون مقسومة على نصف قطره بالأنجستروم) (شكل 5 - 20) وتبعاً لذلك تم تصنيف العناصر الناشئة إلى:

أولاً: عناصر كبيرة الأيونات صخرية الميل *large-ion lithophile elements* واختصارها LILE وهي عناصر يقل جهدها الأيوني عن 2. ومن أمثلتها الروبيديوم Rb والباريوم Ba والسترونشيوم Sr والسيزيوم Cs، ويعطى جدول (5-6) متوسطات لتركيز هذه العناصر في بعض الصخور النارية.





شكل 5-20 تصنيف العناصر إلى متوافقة وغير متوافقة طبقاً لجهدهما الأيوني

عن: جيل (Gill 1989).

جدول 5-6 متوسطات تركيز السيزيوم والبسترونشيوم والباريوم والروبيديوم في الصخور المختلفة

| Rb  | Ba   | Sr  | Cs   | الصخر       |
|-----|------|-----|------|-------------|
| 2.3 | 2.4  | 10  | 0.18 | كوندرريت    |
| 90  | 425  | 375 | 3    | قشرة أرضية  |
| -   | 2    | 1   | -    | بريدوتيت    |
| 30  | 250  | 465 | 1    | بازلت       |
| 110 | 1500 | 300 | 1    | سيانيت      |
| 120 | 500  | 450 | 2    | جرانوديوريت |
| 150 | 600  | 285 | 5    | جرانيت      |
| 140 | 700  | 300 | 5    | طفلة        |
| 120 | 500  | 450 | 3    | جربواكي     |
| 30  | -    | -   | -    | كوارتزيت    |
| 5   | 100  | 500 | -    | حجر جيري    |

عن: تيلور (Taylor 1965).

- غير متاح

يقبل الروبيديوم  $Rb^+$  في بنية المعادن البوتاسية التي تتكون في المراحل المتأخرة للتمايز الصهيري، مثل المسكوفيت والبيوتيت والأورثوكلاز أو الميكروكلين، وذلك لتقارب

نصف قطر أيونه (1.57 أنجستروم) ونصف قطر أيون البوتاسيوم  $K^+$  (1.46 أنجستروم) والذي يعد العنصر الرئيس الوحيد في الصخور النارية المقارب له في الحجم. يميل الروبيديوم إلى التركيز أكثر في معادن الميكا عنه في معادن الفلسبار البوتاسي، ومع ذلك فكميته الرئيسية في الصخور النارية تكمن في معادن الفلسبار، ويعود ذلك إلى وفرتها النسبية. يتزايد تركيز الروبيديوم تدريجيا في السائل الصهيري المتبقى دون أن يكون معادن خاصة به. ويترتب على هذه الزيادة ارتفاع كبير في النسبة  $Rb/K$ ، لذلك تستخدم هذه النسبة كمؤشر جيد لدرجة التمايز الصهيري، وتكون أعلى ما يمكن في معادن صخور البيجماتيت خاصة الميكا وتكون أقل ما يمكن في الصخور الأقل تمايزا.

يؤثر الباريوم  $Ba^{2+}$  بسبب شحنته الأعلى وتطابق نصف قطر أيونه (1.44 أنجستروم) مع البوتاسيوم (1.46 أ)، في بنية المعادن البوتاسية. فيظهر أيضا في معادن الميكا والفلسبار البوتاسي، كذلك لوحظ تركزه أحيانا في معادن البلاجيوكلاز وإلى حد ما في الهورنبلند. وعلى عكس الروبيديوم، فإن الباريوم يدخل بنية معادن البوتاسيوم مبكرة التبلور ويأخذ أولوية على البوتاسيوم بسبب رابطة الباريوم - أكسجين ذات الصلة التساهمية الأقوى. لذلك، فإن تركزه في النواتج الأخيرة لتبلور الصهارة يكون أقل من الروبيديوم ولا تظهر النسبة  $Ba/K$  درجة الارتفاع الملحوظ في النسبة  $Rb/K$ . وعليه فمن المتوقع أن تكون النسبة  $Ba/Rb$  أكبر ما يمكن في معادن البوتاسيوم المبكرة الانفصال وأقل ما يمكن في تلك المتأخرة. يفضل الباريوم بنية الميكا وذلك لسهولة إعادة تعادل الشحنتات فيها.

يسلك السترنشيوم  $Sr^{2+}$  (1.21 أنجستروم) سلوكا مغايرا إلى حد ما عن الباريوم رغم تماثل الشحنتات بسبب وقوع نصف قطره بين الكالسيوم (1.08 أنجستروم) والبوتاسيوم (1.46 أنجستروم) وهما عنصران رئيسان في تركيب أكثر المعادن شيوعا في الصخور النارية أي معادن الفلسبارات، لذلك فهو يقبل (بسبب حجمه) في الفلسبارات الكالسية ويؤثر (بسبب تكافؤه الأعلى) في الفلسبارات البوتاسية. يشير ارتفاع تركيز السترنشيوم بصفة عامة في صخور الجابرو والبازلت عنه في الجرانيت إلى أن معادن الكالسيوم هي المسؤولة أساسا عن استنفاد السترنشيوم من الصهارة، ويدل تركزه في البلاجيوكلاز الكلسي وندرته في البيروكسين الكلسي على أن بنية المعدنيين هما العامل الأكثر أهمية في عملية الإحلال. يظهر



تأثر السترنشيوم ببنية المعادن أيضا فى حالة إحلاله محل البوتاسيوم؛ فرغم أسره بوفرة فى الفلسبارات البوتاسية إلا أنه لا يدخل فى معادن الميكا الغنية بالبوتاسيوم بأى تركيز يذكر، ولا يرجع ذلك إلى اختلاف الشحنة وإنما ربما بسبب صغر حجم الأيون بحيث لا يتمكن من شغل موقع البوتاسيوم الكبير الحجم فى الميكا. تزيد النسب  $Sr/Ca$  و  $Rb/Sr$  بتقدم التبلور التجزيئى للصهارة فى حين تنخفض النسبة  $Ba/Sr$ .

يعد أيون السيزيوم  $Cs^+$  (1.78 أنجستروم) أكبر الكاتيونات حجما وتعوق ندرته ظهور معادن خاصة به. وأقرب العناصر الشائعة إليه هو البوتاسيوم، وبالتالي فليس له فى غير المعادن البوتاسية موقعا يستقر فيه أو يأوى إليه. عند تمام تبلور الصهارة يتركز الـ Cs فى معادن الميكا بأكثر مما فى الفلسبار، لأن الفراغ الذى يمكن أن يشغله البوتاسيوم فى الميكا أكبر منه فى حالة الفلسبار. يعوق كبر حجم الأيون دخوله فى معادن البوتاسيوم المبكرة التبلور، ويظل تركيزه فى التزايد فى السائل الصهيري المتناقص حتى آخر مراحل التبلور. ولذلك فهو لا يظهر بشكل واضح إلا فى معادن صخور البيجماتيت حيث يتركز فى معادن مثل الليبدوليت. وقد يصل تركيزه إلى درجة تسمح بتكون معدن نادر له هو البولويسيت.

#### ثانيا : عناصر ذات شدة - مجال عالية *high field-strength (HFS) elements*

وهى عناصر يزيد جهدها الأيونى عن 2، ومن أمثلتها الثوريوم Th واليورانيوم U والنيوبيوم Nb والتنتالم Ta، والزركونيوم Zr والهافنيوم Hf (شكل 5 - 20). يعطى جدول 5 - 7 متوسطات تركيز هذه العناصر فى مختلف الصخور النارية.

تحمل معظم هذه العناصر شحنات عالية (أربعة أو أكثر) ولا تقبل بسهولة فى بنية المعادن الأساسية المكونة للصخور؛ لذلك فهى تتركز أيضا فى السائل الصهيري المتناقص، ويلعب محتوى هذا السائل من المواد المتطايرة دورا هاما فى مصير هذه العناصر. تتجه هذه العناصر إلى تكوين مركبات معقدة مع الأكسجين أو الفلور أو الهيدروكسيل وذلك فى حالة ارتفاع كمية المواد المتطايرة فى الصهير المتبقى وتنتهى إلى تكوين جيوب صغيرة ومبعثرة لمعادن نادرة فى صخور البيجماتيت. أما فى حالة جفاف الصهارة وعدم احتوائها على تركيزات من المواد المتطايرة فإن صخور البيجماتيت لا تتكون وتتجه هذه العناصر إلى



تكوين مكتنفات دقيقة داخل المعادن أو تشغل مواقع فيما بين حبيباتها كما هو ثابت في حالة اليورانيوم حيث أمكن تحديد هذه المواقع بواسطة التصوير الإشعاعي الذاتى autoradiography في كثير من الشرائح الصخرية الرقيقة.

جدول 5-7 متوسطات تركيز عناصر ذات شدة - مجال عالية في الصخور المختلفة

| الصخر       | U     | Hf  | Zr  | Th    | Nb  | Ta   |
|-------------|-------|-----|-----|-------|-----|------|
| كوندرريت    | 0.01  | 0.2 | 35  | 0.03  | 0.5 | 0.04 |
| قشرة أرضية  | 2.7   | 3   | 165 | 10    | 20  | 2    |
| بريدوتيت    | 0.001 | 0.5 | 50  | 0.003 | 15  | 1    |
| بازلت       | 0.6   | 2   | 150 | 2.2   | 20  | 0.5  |
| سيانيت      | 3     | 10  | 500 | 10    | 40  | 4    |
| جرانوديوريت | 3     | 2   | 140 | 10    | 20  | 2    |
| جرانيت      | 4.8   | 4   | 180 | 17    | 20  | 3.5  |
| طفلة        | 4     | 3   | 160 | 12    | 20  | 2    |
| جربواكي     | 3     | 2   | 140 | 10    | 20  | 2    |
| كوارتزيت    | 0.5   | 5   | 250 | 2     | -   | -    |
| حجر جيري    | 2     | 0.5 | 20  | 2     | -   | -    |

عن: تيلور (Taylor 1965)

يوجد اليورانيوم والثوريوم عادة كأيونات رباعية التكافؤ في الصهارة ( $Th^{4+}$ ,  $U^{4+}$ ). ونظرا لكبر جهدهما الأيوني، فإنهما يتجهان إلى تكوين مركبات معقدة، مع أيونات أخرى، تمنع انفصالهم عن الصهارة، الأمر الذي يقود إلى تركزهما في السائل الصهيري المتناقص. ولكن نظرا لأن الرابطة الأيونية Th-O أقوى من الرابطة الأيونية U-O، فإنه يتوقع تناقص نسبة Th/U مع تقدم التبلور التجزيئي للصهارة. من ناحية أخرى، يتأثر أيون اليورانيوم بعوامل الأكسدة في الظروف المؤكسدة ويتحول إلى أيون سداسي التكافؤ ويكون أنيون اليورانيل المركب  $(UO_2)^{2-}$ ، وهذا يميل إلى الانفصال عن الصهارة واتخاذ مسار مستقل مما يعكس أحيانا التناقص في نسب U/TH مع تقدم التمايز الصهيري.

تتركز عناصر اليورانيوم والثوريوم في كثير من المعادن الإضافية للصخور النارية مثل الزيركون والمونازيت والألانيت والإسفين، ويحتفظان غالبا بوفرتهم النسبية فيها، مما يفسر ثبات هذه النسبة في معظم الصخور النارية عند حوالي 3.5، وهو ما يماثل الوفرة النسبية للعنصرين في صخور القشرة الأرضية.

لا يدخل الزركونيوم، بسبب تكافؤه العالى ( $Zr^{4+}$ ) ونصف قطره (0.80 أنجستروم)، فى أى من المعادن الرئيسية المكونة للصخور، ويتزايد تركيزه فى الصهارة مع تقدم مراحل التبلور مكونا فى المراحل المتأخرة معدن الزركون، الذى يوجد بدوره كمعدن إضافي accessory mineral فى عدد كبير من الصخور الجوفية، خاصة الجرانيتية منها (مثل السيانيت والمونزونيت)، كما لوحظ وجوده بدرجة قليلة فى صخور الجابرو. أظهرت التحاليل الكيميائية وجود الزركونيوم بتركيز ضئيل فى بعض معادن البيروكسين والأمفيبول القلوية مثل الإيجيرين والريبيكيت، وفسر هذا الوجود بحدوث إحلال لأيونات الحديدك (0.73 أنجستروم) بوساطة الزركونيوم الذى يصحب التيتانيوم فى الإحلال محل أيونات الحديدك الذى تزيد وفرته النسبية فى مثل هذه المعادن. وبجانب وجوده كأيون حر فى الصهارة، فإن الزركونيوم يُكوّن أيضًا أنيونات معقدة مع الأكسجين، مثله فى ذلك مثل التيتانيوم والهافنيوم. وتنتج هذه المركبات المعقدة إلى التركيز فى السائل الصهيري المتبقى فى المراحل الأخيرة لتبلور الصهارة بسبب كبر حجمها، إذا قورنت بأيون مجموعة السليكات. وتدخل هذه الأنيونات المعقدة فى السليكات المافية القلوية التى تتكون فى بيئة مؤكسدة غنية بالمكونات المتطايرة والتى تتوفر فيها أيضا كاتيونات الحديدك.

يتبع الهافنيوم  $Hf^{4+}$  (0.79 أنجستروم) الزركونيوم بشكل دائم للتقارب الشديد بينهما فى نصف القطر الأيونى والشحنة الرباعية، ويحتفظ العنصران بنسبة  $Zr/Hf$  شبه ثابتة (حوالى 40 إلى 50) سواء فى معدن الزيركون أو فى الصخور بصفة عامة. الاختلاف الوحيد بين العنصرين يكمن فى أن رابطة الهافنيوم التساهمية مع الأكسجين أقوى من رابطة الزركونيوم، ولذلك كان من المتوقع زيادة النسبة  $Zr/Hf$  من الصخور القاعدية إلى الحمضية، ولكن هذا لم يتأكد بعد، ربما بسبب صعوبة تحديد تركيز الهافنيوم لندرته الشديدة.

يشكل العنصران نيوبيوم  $Nb^{5+}$  (0.72 أنجستروم) وتانتالم  $Ta^{5+}$  (0.72 أنجستروم) نموذجا آخر لأزواج العناصر المترافقة جيوكيميائيا بسبب تماثل الحجم والشحنة، ويتوافر النيوبيوم والتانتالم فى صخور القشرة الأرضية بنسبة  $Nb/Ta$  تقارب 10. يستبعد العنصران من دخول معظم المعادن المكونة للصخور بسبب كبر الشحنة الخماسية التى لا تسمح لهما إلا بالإحلال محل التيتانيوم فى بعض معادن البيروكسين، والذى بدوره يكون محدودا جدا، وذلك لاتجاه هذه العناصر، بسبب كبر جهدهما الأيونى، لتكوين أنيونات معقدة

مع الأكسجين في شكل  $(Nb_2O_5)$  و  $(Ta_2O_5)$ . يقود كبر حجم هذه الأنيونات المعقدة، بالنسبة لمعقدات السليكا الرباعية  $(SiO_4)^{4-}$ ، إلى تركيزها في السائل الصهيري المتأخر، حيث تتبلور في طور التحول الغازي (أو النيوماتوليتي pneumatulitic) أو الحرمائي hydrothermal مكونة معادن نيوباتية niobates مثل الكولومبيت، أو تانتالية tantalates مثل التانتاليت. كما يدخلان أيضا في المعادن التيتانات titanates، أو في معدن الزركون الذي يتكون أحيانا في تلك الأطوار.

### العناصر الأرضية النادرة

تشمل العناصر الأرضية النادرة Rare Earth Elements واختصارها REE أربعة عشر عنصرا تبدأ باللانثانوم La (رقمه الذري 57) وتنتهي باللوتشيوم Lu (رقمه الذري 71)، وتفتقد العنصر براسوديوميوم Pr (رقمه الذري 59) لعدم وجود أي نظير مستقر له، وتسمى مجموعة العناصر هذه أيضا اللانثانيدات lanthanides، وهي تتفرد بخاصة التقلص اللانثاني lanthanide contraction (الباب الأول). تختلف عناصر اللانثانيدات عن بعضها البعض في عدد الإلكترونات التي تشغل المدار 4f، ونظرا لأن هذه الإلكترونات لا تشارك في أي عمليات ربط كيميائي، فإن الصفات الكيميائية للمجموعة ككل تتشابه إلى حد كبير، ويكون لها كلها تكافؤ ثلاثي مستقر فيما عدا السيريوم Ce الذي يكون تكافؤا رباعيا، واليوربيوم Eu الذي يكون تكافؤا ثنائيا بالإضافة إلى تكافؤاتهما الثلاثية. تسمى العناصر من La إلى Sm بالعناصر الأرضية النادرة الخفيفة ويرمز لها بـ LREE وهي ذات أنصاف أقطار أيونية كبيرة نسبيا (1.04 - 1.13 أنجستروم)، ولذلك فهي تدرج أحيانا ضمن العناصر غير المتوافقة، حيث أنها لا تدخل بأي تركيز يذكر في المعادن المكونة للصخور. أما العناصر من Gd إلى Lu فتسمى العناصر الأرضية النادرة الثقيلة ويرمز لها بـ HREE وهي ذات أنصاف أقطار صغيرة نسبيا (0.94 - 1.02 أنجستروم). لذلك، فإن بعض أيوناتها تدخل بسهولة في بنية بعض المعادن المكونة للصخور مثل الجارنت، ولذلك تكون لهذه المعادن قدرة علي تجزئة العناصر الأرضية النادرة بحيث يتركز ثقلها في بعض المعادن أو الصخور ويترك خفيفها لصخور أو معادن أخرى.



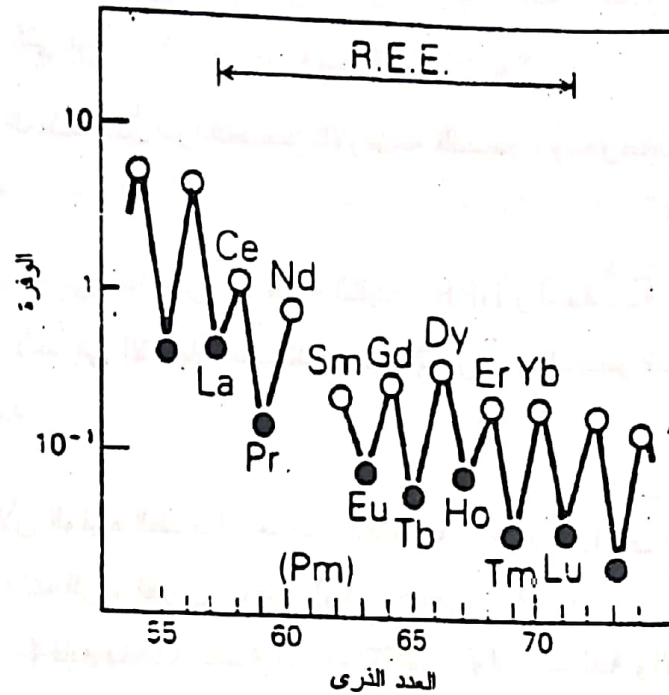
وتشتمل أية دراسة جيوكيميائية للعناصر الأرضية النادرة فى مجموعة من العينات الصخرية التى تمثل وحدة معينة على جانبيين هامين هما:

(1) الوفرة المطلقة لكل من العناصر الأرضية النادرة ومقارنتها بالوفرة فى الصخور المشابهة.

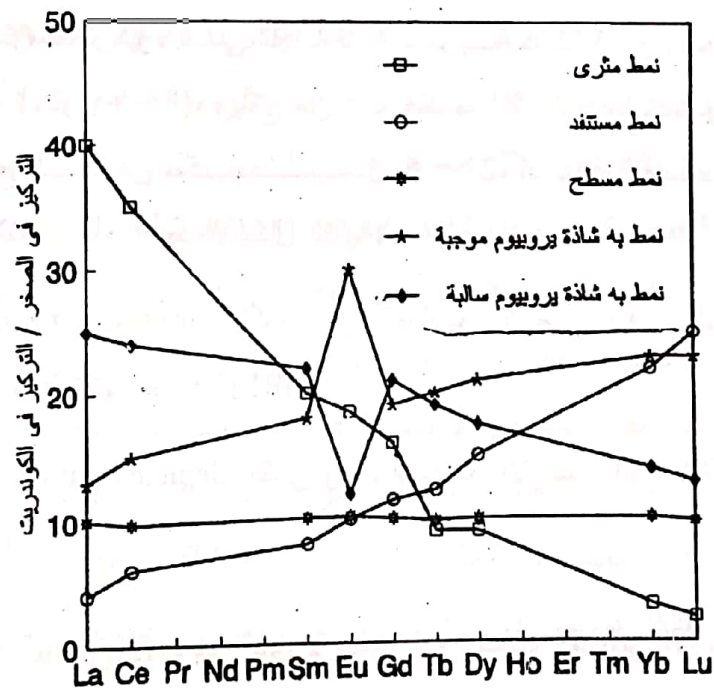
(2) الإثراء النسبى للعناصر الأرضية الثقيلة HREE والخفيفة LREE، ونمط التوزيع العام مع الأخذ فى الاعتبار ملاحظة وجود إثراء أو استنزاف شاذ لعنصر اليورانيوم من عدمه.

ونظرا لأن الوفرة الطبيعية للعناصر ذات العدد الذرى الزوجى تكون عادة أعلى من تلك العناصر ذات الرقم الذرى الفردى (وهو ما يعرف بأثر أودو - هاركينز Oddo Harkins effect -) فإنه يحدث عند رسم العلاقة بين الوفرة المطلقة والأرقام الذرية أن نحصل على خط متعرج (شكل 5-21)، وهذا يسبب تداخلات معقدة وصعوبات إذا أردنا مقارنة عدد من العينات، حتى ولو كان محدوداً. لإزالة هذا الأثر يتم عادة معايرة normalization التركيزات المتاحة وذلك بقسمة تركيز كل عنصر فى العينة الصخرية على متوسط تركيزه فى النيازك الصخرية كما قدره مجموعة من العلماء (جدول 5-8)، وينتج عن ذلك خطوط أكثر انتظاماً تسهل مقارنتها. وكما يتضح لنا من شكل 5-22، قد تأخذ الأنماط المحتملة نتيجة رسم العلاقة المعايرة أحد الأشكال التالية:

- نمط مثرى enriched pattern: تكون وفرة العناصر الأرضية النادرة الخفيفة LREE فيه أعلى من وفرة مثيلاتها الثقيلة HREE.
- نمط مستنفد depleted pattern: تكون وفرة العناصر الأرضية النادرة الخفيفة فيه أقل من مثيلاتها الثقيلة.
- نمط مسطح flat pattern: وهو الذى لا تظهر فيه مختلف العناصر الأرضية النادرة اختلافات هامة فى تركيزاتها.



شكل 5-21 التباين الكبير في وفرة العناصر الأرضية النادرة بين تلك ذات الأعداد الذرية الزوجية ○ والأخرى ذات الأعداد الفردية •. عن: جيل (Gill 1989).



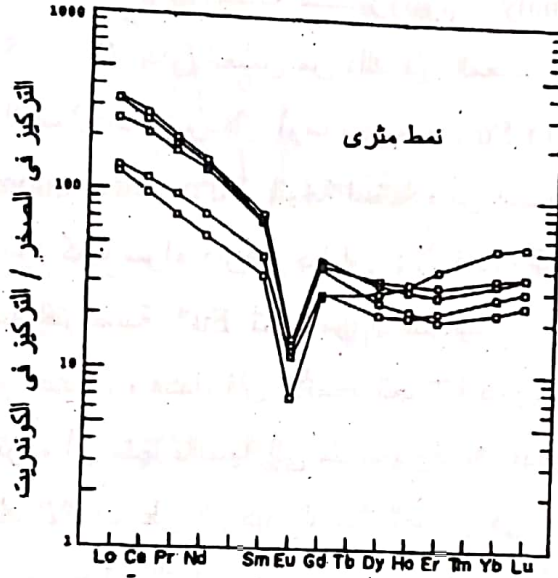
شكل 5-22 الأنماط المختلفة لوفرة العناصر الأرضية النادرة في الصخور أو المعادن بعد نسبها إلى تركيزاتها في النيازك الكوندراتية.

يترتب على إحلال عنصر اليوروبيوم محل الكالسيوم والسترنشيوم فى معادن البلاجيوكلاز أثناء عملية التبلور التجزيئى للصهارة أن يزيد تركيزه بشكل كبير بالنسبة إلى العناصر الأرضية النادرة الأخرى فى الصخور الغنية بهذه المعادن مما يسبب ظهور شاذة موجبة لليوروبيوم  $Eu$  positive anomaly فى أنماط التوزيع (شكل 5 - 22). على العكس من ذلك فإن المعادن التى تتبلور من الصهارة المتبقية بعد انفصال البلاجيوكلاز (وما يحويه من  $Eu$ ) يتوقع أن تظهر شاذة سالبة لليوروبيوم  $Eu$  negative anomaly نتيجة استنفاده من الصهارة (شكل 5 - 22). يمكن تقدير درجة الشذوذ كمياً سواء كان موجبا أو سالبا بقسمة القيمة المعاييرة لليوروبيوم فى العينة  $Eu$  على قيمة افتراضية  $Eu^*$  تحدد من الرسم فيما لو لم يكن هناك هذا الشذوذ واستمر الخط فى مسار عادى. وهكذا، فإن الأنماط المختلفة لتوزيع العناصر الأرضية النادرة تعكس درجة إثراء أى منها بالنسبة إلى متوسط وفرته البدائية فى صخور النيازك الصخرية. ويتوقف ذلك الإثراء على التركيز البدائى للعنصر فى مصدر الصهارة، ودرجة الانصهار الجزئى، ومسار عملية التمايز الصهيري، خاصة ما يتعلق بنوعية عملية التبلور التجزيئى، وأثر التفاضل المعدنى الذى كان سائدا خلالها. فمثلا يودى تبلور الأوليفين إلى إثراء متساو لكل العناصر الأرضية النادرة فى السائل الصهيري بسبب عدم قبوله أى منها فى بنيته البلورية. من ناحية أخرى، يودى تبلور البيروكسين الكلسى والهورنبلند إلى نمط مستنفد مصحوبا أحيانا بشاذة موجبة بسبب دخول العناصر الأرضية النادرة الثقيلة مكان الكالسيوم، مع حدوث إثراء للسائل الصهيري بالعناصر الخفيفة.

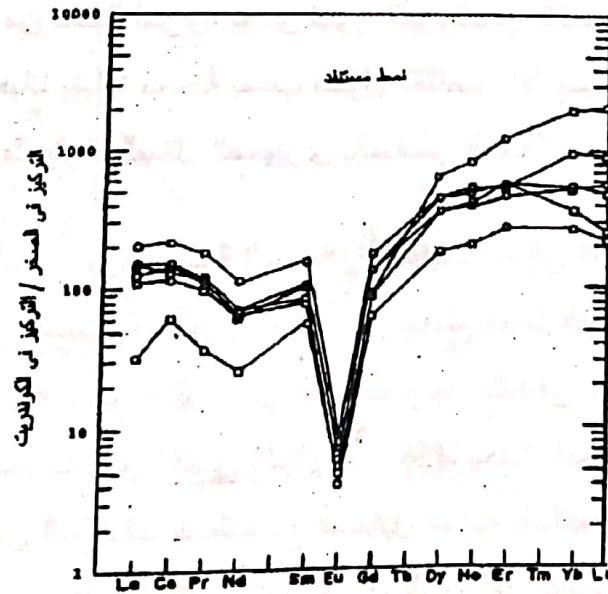
تميل العناصر الأرضية النادرة الخفيفة إلى التركيز النسبى فى الجرانيت والصخور الحمضية الأخرى. لذلك، فإن معظم أنماط التوزيع فى تلك الصخور تكون أنماطا مثرأة، وقد يصل الإثراء إلى درجات عالية كما فى حالة جرانيت جبل دُبْلُغ بالمملكة العربية السعودية فوق القلوى (شكل 5 - 23). يحدث أحيانا أن تكون العناصر الأرضية الثقيلة بعض المركبات المعقدة مع المحاليل المائية الساخنة، المتزايد تركيزها بتقدم التمايز الصهيري، خاصة عندما تكون هذه المحاليل غنية بالعناصر القلوية والهالوجينات (خاصة الفلور) وثانى أكسيد الكربون، ومن ثم تتركز هذه المركبات المعقدة فى السوائل المتبقية فى المراحل النهائية للتمايز، وتكون رواسب تحوالية (ميتاسوماتية) أو



بيجماتيتية. في هذه الحالة، نحصل على نمط توزيع مستنفد كما هو واضح في شكل 5 - 24 لنمط التوزيع في جرانيت جبل الغريبة في شمال غرب الدرع العربي بالمملكة العربية السعودية.



شكل 5-23 نمط توزيع العناصر الأرضية النادرة في عينات من جرانيت فوق قلوب من جبل دُبَاغ بالمملكة العربية السعودية. عن: طلال قاضي (Qadhi 1990).

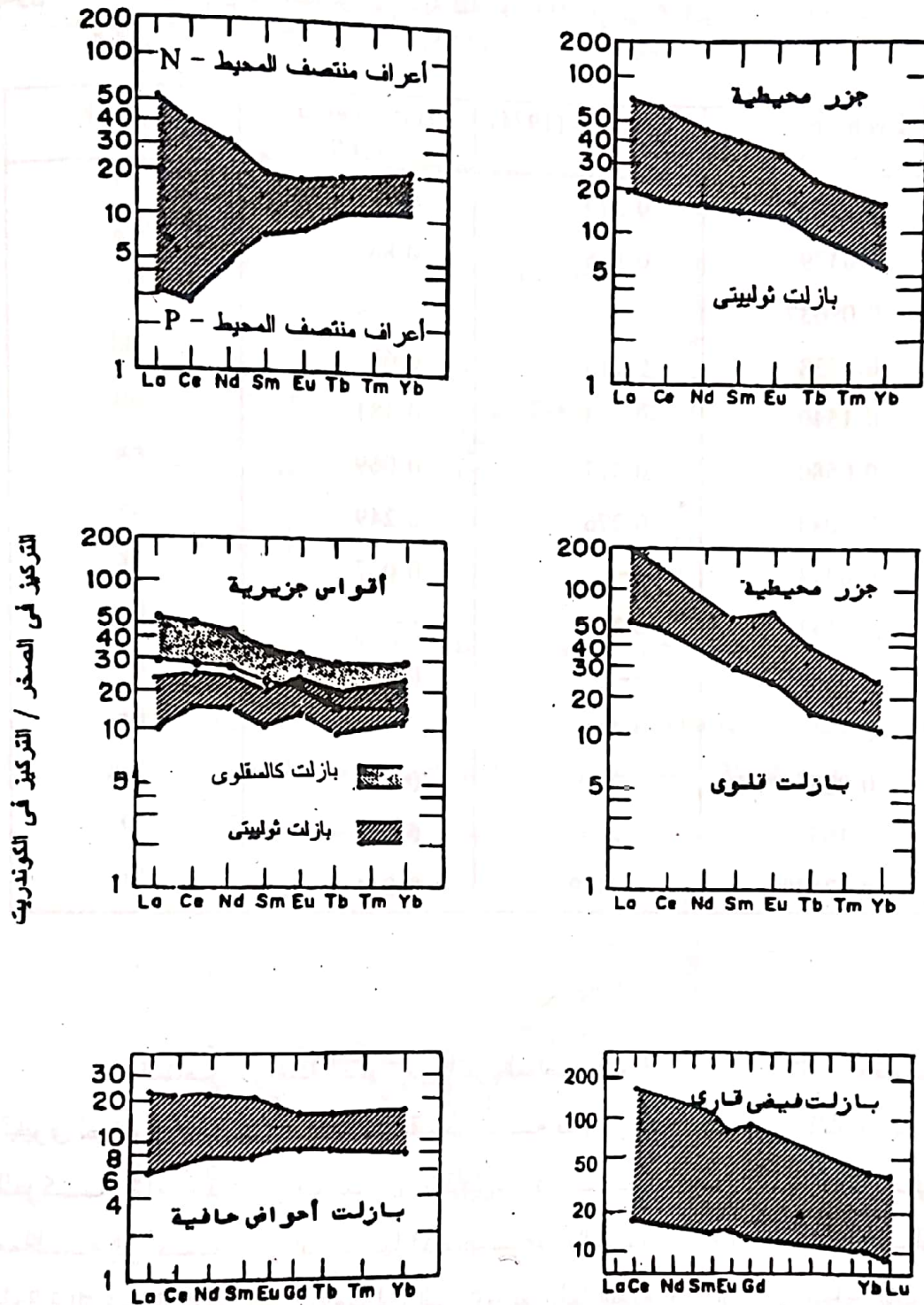


شكل 5-24 نمط توزيع العناصر الأرضية النادرة في عينات من جرانيت بالغ التمايز ومتأثر بإضافات ميتاسوماتية من منطقة الغريبة، شمال غرب الدرع العربي، بالمملكة العربية السعودية. عن: طلال قاضي (Qadhi 1990).

جدول 5-8 متوسط تركيزات العناصر الأرضية النادرة (REE) في نيازك الكوندريت كما قدرها بعض العلماء

| العنصر | Haskin <i>et. al.</i><br>(1968) | Nakamura (1974) | Evensen <i>et. al.</i><br>(1978) |
|--------|---------------------------------|-----------------|----------------------------------|
| La     | 0.33                            | 0.329           | 0.2446                           |
| Ce     | 0.88                            | 0.865           | 0.6379                           |
| Pr     | 0.112                           | --              | 0.09637                          |
| Nd     | 0.60                            | 0.716           | 0.4738                           |
| Sm     | 0.181                           | 0.203           | 0.1540                           |
| Eu     | 0.069                           | 0.077           | 0.0580                           |
| Gd     | 0.249                           | 0.276           | 0.2043                           |
| Tb     | 0.047                           | --              | 0.0374                           |
| Dy     | --                              | 0.343           | 0.2541                           |
| Ho     | 0.070                           | --              | 0.0567                           |
| Er     | 0.20                            | 0.225           | 0.1660                           |
| Tm     | 0.030                           | --              | 0.02561                          |
| Yb     | 0.22                            | 0.249           | 0.1651                           |
| Lu     | 0.034                           | 0.0339          | 0.02539                          |

تعد العناصر الأرضية النادرة من أكثر العناصر أهمية في استنتاج الوضع البنيوي لصخور القشرة الأرضية القديمة بسبب محدودية قابليتها للحركة أثناء عمليات التحول الإقليمي، ولذلك تعد تركيزاتها الحالية مماثلة إلى حد كبير لتركيزاتها الأصلية، وبالتالي فإنه يعتقد أن الأنماط الحالية للتوزيع لم تتأثر كثيرا بالعمليات التي تتعرض لها الصخور عادة على سطح القشرة الأرضية. ونظرا لأن الصخور الحديثة المتكونة في بيئات تكتونية مختلفة ومعروفة تتميز كل منها بنمط توزيع معين (شكل 5 - 25) فإنه يمكن بمقارنة أنماط التوزيع في الصخور القديمة بتلك في الصخور الحديثة الوصول إلى استنتاج جيد للوضع التكتوني لها.



شكل 5-25 أنماط توزيع العناصر الأرضية النادرة في البيئات التكتونية المختلفة،  
مجموعة من ويلسن (Wilson 1989)



يرتبط عنصر اليتريوم (Y) ارتباطاً وثيقاً بالعناصر الأرضية النادرة الثقيلة ويطابق نصف قطر أيونه نصف قطر أيون الهولميوم Ho كما يماثله في تكافؤه الثلاثي. ونظراً لارتفاع وفرته بالنسبة لتلك العناصر النادرة وسهولة قياس تركيزه فى العينات الجيولوجية، فإن وفرته تتخذ أحياناً كمؤشر لوفرة الـ HREE. يصل متوسط تركيز Y فى البازلت إلى حوالى 25 ج م م (جزء من مليون) بمدى يتراوح بين 5 إلى 250 ج م م ولا يوجد اختلاف كبير فى تركيزه بين الأنواع المحيطية والقارية. أما فى الجرانيت فمتوسط تركيزه حوالى 45 ج م م بمدى أوسع من ذلك الموجود فى البازلت. ويرجع ذلك إلى عدم تأثر وفرته بدرجة كبيرة بعمليات التبلور التجزيئى. ويلاحظ أن اليتريوم، رغم تشابه حجم أيونه بحجم أيون الكالسيوم وبالتالي توقع أسره فى معادن الكالسيوم مبكرة التكون، يتركز فى بعض المعادن المتأخرة مثل الأباتيت والتيتانيت بسبب طبيعة الرابطة التساهمية الأقوى بين اليتريوم والأكسجين عن تلك القائمة بين الكالسيوم والأكسجين. ويعد هذا السلوك دليلاً على تفوق تأثير نوعية الرابطة بين الأيونات على تأثير حجم أو شحنة الأيون.

يتركز اليتريوم أيضاً فى معدن الألاتيت، وهو أحد معادن مجموعة الإبيدوت التى تتكون فى المراحل المتأخرة من تبلور الصهارة، فيوجد فى بعض أنواع الجرانيت والبيجماتيت التى تتكون عند درجات حرارة منخفضة نسبياً. كذلك يتركز اليتريوم فى بعض المعادن المشعة مثل المونازيت واليوراثوريت، وهو يعد من العناصر الواسعة الاستخدام فى كثير من الصناعات الحديثة.

### العناصر الكبريتيدية الميل "الكالكوفيلية"

تسمح الوفرة النسبية للكبريت فى القشرة الأرضية (حوالى 250 ج م م) بتكون صنف كبريتيدى. يظهر الكبريت عادة فى شكل قطرات غير ممترجة فى الصهار السيليكاتية الذى يحتوى، إلى جانب العناصر السالفة الذكر، على عناصر أخرى تفضل الارتباط به والدخول فى الأصناف المعدنية الكبريتيدية بدلاً من تلك السيليكاتية. وقد أطلق

جولدشميدت Goldschmidt على مجموعة العناصر هذه، العناصر الكالكوفيلية أى "الفئة الكبريت chalcophile". ولا يعنى ميل هذه العناصر للارتباط بالكبريت عدم دخولها إطلاقاً فى الأصناف السليكاتية بل يعنى مجرد تفضيلها نوعية من البناء المعدنى والترابط الأيونى على نوعية أخرى، ولذلك نرى كثيراً من الصخور والمعادن السليكاتية تحوى تركيزات مرتفعة من تلك العناصر (جدول 5-9).

جدول 5-9 متوسطات تركيز بعض العناصر الكبريتيدية فى الصخور المختلفة

| الصخر       | Hg   | Cd  | Zn  | Ag   | Cu  |
|-------------|------|-----|-----|------|-----|
| كوندرريت    | 8    | 0.5 | 35  | 0.09 | 90  |
| قشرة أرضية  | 0.08 | 0.2 | 70  | 0.07 | 55  |
| بريدوتيت    | -    | -   | 50  | 0.06 | 10  |
| بازلت       | 0.08 | 0.2 | 100 | 0.1  | 100 |
| سيانيت      | 0.08 | -   | 150 | 0.05 | 10  |
| جرانوديوريت | 0.08 | 0.2 | 60  | 0.07 | 30  |
| جرانيت      | 0.08 | 0.2 | 40  | 0.04 | 10  |
| طفلة        | 0.5  | 0.2 | 100 | 0.05 | 50  |
| جريواكى     | 0.08 | 0.2 | 50  | 0.05 | 40  |
| كوارتزيت    | -    | -   | 10  | -    | -   |
| حجر جيرى    | 0.05 | 0.1 | 25  | 1    | 15  |

عن: تيلور (Taylor 1965).

تشمل هذه المجموعة عناصر النحاس Cu والفضة Ag والذهب Au والزنك Zn والكاديوم Cd والزنبق Hg والرصاص Pb والزرنيخ As والأنثيمون Sb والبزموت Bi. تتميز هذه العناصر بقوة روابطها التساهمية مع الأكسجين إلى درجة تفوق تلك القوى السائدة بين الأكسجين ومعظم العناصر الرئيسة فى الصحارة والتي تشابهها فى الحجم الأيونى أو التكافؤ. لذلك، تميل هذه العناصر الكالكوفيلية إلى التأخر والتجمع فى السوائل المتبقية عن عمليات التمايز الصهبرى. وسوف نعرض فيما يلى بطريقة مبسطة جيوكيميائية بعضاً من هذه العناصر.



يوجد النحاس في الصهارة على شكل أيونات مختزلة (نحاسوز  $\text{Cu}^{2+}$ ) أو مؤكسدة (نحاسيك  $\text{Cu}^{3+}$ ). ويقترب حجم أيون النحاسوز من حجم أيون الصوديوم، في حين يقترب حجم أيون النحاسيك من أيون الحديدوز. ونظرا لأن الرابطة بين النحاس والأكسجين أكثر تساهمية من الرابطة بين أى من الصوديوم أو الحديد، فمن المتوقع زيادة النسب  $\text{Cu/Na}$ ,  $\text{Cu/Fe}$  مع تقدم التمايز الصهيري. يدخل النحاس معادن البلاجيوكلاز والأباتيت حيث يحل محل الصوديوم والكالسيوم، كما يدخل في كثير من المعادن الرئيسية المكونة للصخور، ولكن في حالة وجود تركيزات مرتفعة نسبيا منه ومن الكبريت، فإنه يركز نفسه في المراحل المتأخرة في التبلور ليبنى أصنافا كبريتيدية غنية بمحتواها من النحاس.

تعد الفضة أحد العناصر الشديدة الشخ في الصخور، ونادرا ما تحلل في الدراسات الجيوكيميائية الروتينية. وتصل وفرتها في صخور القشرة الأرضية إلى حوالي 0.70 ج م م. وتشبه الفضة النحاس من عدة أوجه، فهي توجد في حالتين من التكافؤ، الأحادي منهما هو الأكثر وفرة (بعكس النحاس)، ويبلغ نصف قطر أيونه 1.23 أنجستروم، ولذلك فبإمكانه أن يحل محل البوتاسيوم (1.46 أنجستروم) في بعض معادنه السليكاتية. ولكن نظرا للشدة المتناهية للرابطة التساهمية بين الفضة والأكسجين، إذا ما قورنت بتلك القائمة بين البوتاسيوم والأكسجين، فإن الفضة تكاد تستبعد من الدخول كلية في المعادن السليكاتية وتتركز فقط في الأصناف الكبريتيدية. لذلك، فإن انفصال هذه الأصناف عن الصهارة يتبعه استنفاد ملحوظ في محتوى الصهارة من الفضة. تدخل الفضة في كثير من المعادن الكبريتيدية مثل الجالينا والكالكوبيريت والبيريت.

يُشكل الزنك نموذجا مثاليا لقاعدة الإحلال بالتستر في مواقع أيونات الحديدوز بسبب تماثل التكافؤ وحجم الأيون، ومع ذلك، وبسبب زيادة الرابطة التساهمية بين الزنك والأكسجين عنها بين الحديد والأكسجين، فإننا نلاحظ اتجاها للزنك للدخول في معادن الحديد المتأخرة التبلور، وبالتالي فإن النسبة  $\text{Zn/Fe}$  تزيد بتقدم التمايز الصهيري السليكاتي. يتركز الزنك أساسا - متى توافرت الكميات الملائمة من الكبريت في الصهارة - في الأصناف الكبريتيدية. أما في الأصناف السليكاتية فقد وجد أن أكثر تركيز له يكون في



معدن البيوتيت ثم في بعض الفلسبارات، ونظرا لأنه أمكن لبعض العلماء استخلاص أكثر من ثمانين بالمائة من هذا الزنك بغسل تلك المعادن بحمض الهيدروكلوريك المخفف فإن هناك اعتقادا سائدا بأن هذا الزنك لا يدخل في البناء الذري لتلك المعادن السليكاتية ولكنه موجود على شكل حبيبات متناهية الصغر من معدن الاسفاليريت ( $ZnS$ ) كمكتنفات داخل تلك المعادن.

يشابه الكادميوم الزنك في كثير من الصفات، فهو يكاد يتطابق مع الكالسيوم في حجم الأيون ويمثله في الشحنة، وبالتالي فهو يحل محل الكالسيوم بالتستر، كما أن الرابطة التساهمية بين الكادميوم والأكسجين أكبر مما هي بين الكالسيوم والأكسجين، وهذا يقود إلى تركيز الكادميوم في معادن الكالسيوم المتأخرة التبلور. يدخل الكادميوم بشكل رئيس في معدن الاسفاليريت في حالة وجود وفرة من عناصر الكبريت والزنك كافية لتكون المعدن، أما في حالة عدم وجود كبريت كاف بالصهارة فإن الكادميوم يتجه للتركز في الصهير المتبقي في آخر أطوار التمايز. ولا يدخل الكادميوم في كبريتيدات الحديد أو النحاس ولهذا يعزى ظهور بعض الكادميوم في بعض تحاليل الكالكوبيريت إلى احتواء هذا الأخير على بعض المكتنفات من الاسفاليريت.

يتوسط أيون الرصاص حجما كلا من الكالسيوم والبوتاسيوم، ولهذا يتوقع وجوده في معادن هذين العنصرين. غير أنه لوحظ وجوده بنسب أعلى في الفلسبارات البوتاسية والميكا، وأرجع سبب ذلك إلى تكافؤه الأعلى الذي يقود إلى إخلاله محل البوتاسيوم بالأسر. ولكن، ولنفس السبب الذي ذكر للعناصر الشبيهة الأخرى (زيادة قوة الرابطة التساهمية بين الرصاص والأكسجين عنها بين الأكسجين وأي من البوتاسيوم أو الكالسيوم)، فإن الرصاص يتركز في السوائل المتبقية في المراحل النهائية لتبلور الصهارة. ويترسب الرصاص من هذه السوائل والمحاليل على شكل معدن الجالينا. ويعتقد بعض الجيوكيميائيون أن جزءا كبيرا من الرصاص الذي يظهر في تحاليل الفلسبارات موجود بها على شكل مكتنفات متناهية الصغر من الجالينا، ودليلهم على ذلك هو سهولة إزالة جزء كبير من الرصاص الموجود في الفلسبارات (قد يصل إلى 50% من كميته)

بغسلها بحمض الهيدروكلوريك المخفف، وهو ما لا يمكن أن يتحقق لو أن الرصاص كلن جميعه فى البناء الذرى السليكاتى للفلسبارات.

### العناصر النزرة وعلاقتها بالوضع التكتونى لنشأة الصخور النارية

ذكرنا فى بداية هذا الفصل أن هناك علاقة وثيقة بين التركيب الكيميائى للصهارة والوضع التكتونى الذى تنشأ فيه. وعددنا البيئات التركيبية المحتملة لهذه النشأة، ثم أوضحنا هذه العلاقة عندما تحدثنا عن أنواع الصهارات الرئيسة، وظهر لنا أن هناك أنواعاً من الصهارة تنشأ فى أكثر من بيئة، كما اتضح لنا أن تحديد نوعية الصهارة (قلوى - ثولييتى - كالسقلوى) الذى أشتق منها الصخر النارى لا يكفي وحده لتحديد الوضع البنىوى لنشأة هذا الصخر، غير أنه أمكن باستخدام نسب تركيزات بعض العناصر النزرة تمييز أنواع معينة من الصخور النارية طبقاً لوضعها التكتونى وقت نشأتها، وأفاد ذلك كثيراً فى دراسة الصخور النارية القديمة التى طمست الأحداث الجيولوجية المتعاقبة على مر مئات الملايين من السنين الأوضاع أو البيئات التكتونية التى تكونت فيها. وسوف نستعرض فيما يلى بعض الطرق التى استخدمت فى تمييز بيئات تكوّن الصخور النارية والأسس التى روعيت عند تطبيقها.

تعد الصخور البازلتية أقرب الصخور الشائعة إلى الصهارة من الناحية الكيميائية، بمعنى أنها لم تتعرض إلى عمليات معقدة من التمايز الصهبرى أو التلوّث، ولهذا فهى فى معظم الحالات تمثل صهارات أولية. وترتكز فكرة تحديد الوضع التكتونى لهذه الصخور على مقارنة تركيز العناصر النزرة فى العينات البازلتية، غير معلومة المنشأ، (أى غير المعروف وضعها التكتونى عند نشأتها) بتركيزاتها فى الصخور البازلتية الحديثة ذات الوضع التكتونى الواضح والمعروف. ويتم ذلك باتّباع الخطوات التالية :

(1) تقسيم الصخور البازلتية حديثة التكون نسبياً إلى عدد من أنواع الصهارات طبقاً لوضعها التكتونى.

(2) اختيار مجموعة من العينات الممثلة لكل نوع من هذه الصخور للتحليل الكيميائي.

(3) اختيار العناصر المناسبة التي تميز عينات كل نوع من هذه الصخور والتي تستطيع أن تحافظ على قوتها التمييزية إذا تعرضت هذه الصخور إلى عمليات تحول أو تغير.

(4) تصميم رسومات بيانية توضح الاختلافات في تركيز العناصر بين أنواع الصهارات المختلفة.

هذا وسوف نحاول تتبع الخطوات السابقة وكيفية تطبيقها على الصخور ذات الوضع التكتوني غير الواضح باتباع ما يلي:

أولاً: تقسيم الصخور البركانية الحديثة طبقاً لوضعها التكتوني كما سبق عرضه في بداية هذا الباب، حيث يتم تحديد انتماء صخور البازلت إلى أى من الأنواع الرئيسة التالية:

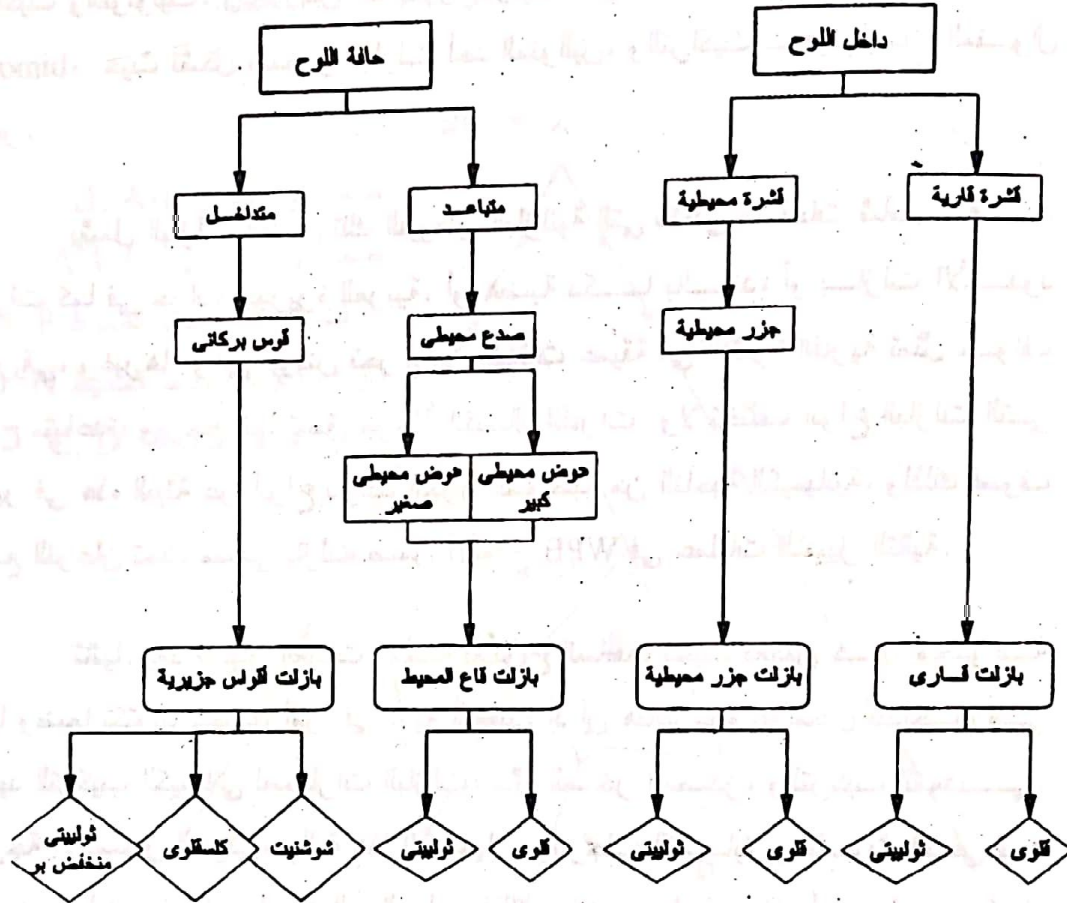
- بازلت قيعان المحيطات OFB (يتكون عند حواف الألواح المتباعدة).
- بازلت الأقواس البركانية VAB (يتكون عند حواف الألواح المتضامة أو المتداخلة).
- بازلت جزر المحيطات OIB (يتكون داخل أو ضمن قشرة محيطية).
- بازلت قارى CB (يتكون داخل أو ضمن قشرة قارية).

وجميع هذه الأنواع يسهل التعرف عليها وتمييزها بين الصخور البركانية الحديثة ويظهر شكل 5 - 26 الوضع التكتوني لها والتصنيف الكيميائي لكل نوع من حيث كونه قلوئى أم ثولييتى أم كالسقلوى.

يتميز بازلت قيعان المحيطات بالمحدودية الشديدة للتغيرات الكيميائية داخله، أى إنه شديد التجانس المعدنى والكيميائى. ورغم إمكانية وجود الصخور الأكثر تمايزاً مثل الأندزيت أو الداسيت أو الريوليت، إلا أن هذا الوجود يكون نادراً جداً. ويغلب على هذا النوع من البازلت الصبغة الثولييتية، رغم إمكانية وجود بعض الأصناف القلوئية أو



الانتقالية بينهما في بعض الأماكن المحدودة. وترجع أهمية هذا النوع من البازلت إلى أن التعرف عليه، بين الصخور البركانية القديمة، يسهم في تحديد حواف الألواح القديمة والتي يكون عادة مصاحبا فيها لمكونات أخرى من معقد الأوفيوليت.



شكل 5-26 العلاقة بين النوعية البتروكيميائية للصحارة ووضعها التكتوني.

بتصرف عن: كوندى (Condle 1982)

أما بازلت الأقواس البركانية فيتميز بتغيرات كيميائية واسعة أمكن تصنيفها إلى ثلاثة أنواع متدرجة من الثوليتي منخفض البوتاسيوم إلى الكالكولي إلى الشوشونيتي، وهو نوع عالي البوتاسيوم. ويتحكم في هذا التغير عاملين أحدهما زمني، ويتعلق بالمرحلة النشئية للقوس (حيث يتكون النوع الثوليتي في أول مراحل النشأة والشوشونيتي في آخرها)، والثاني مكاني، ويعتمد على المسافة الرأسية للبركان فوق نطاق بنيوف Benioff zone (حيث يتكون النوع الثوليتي في جوار الخندق trench).

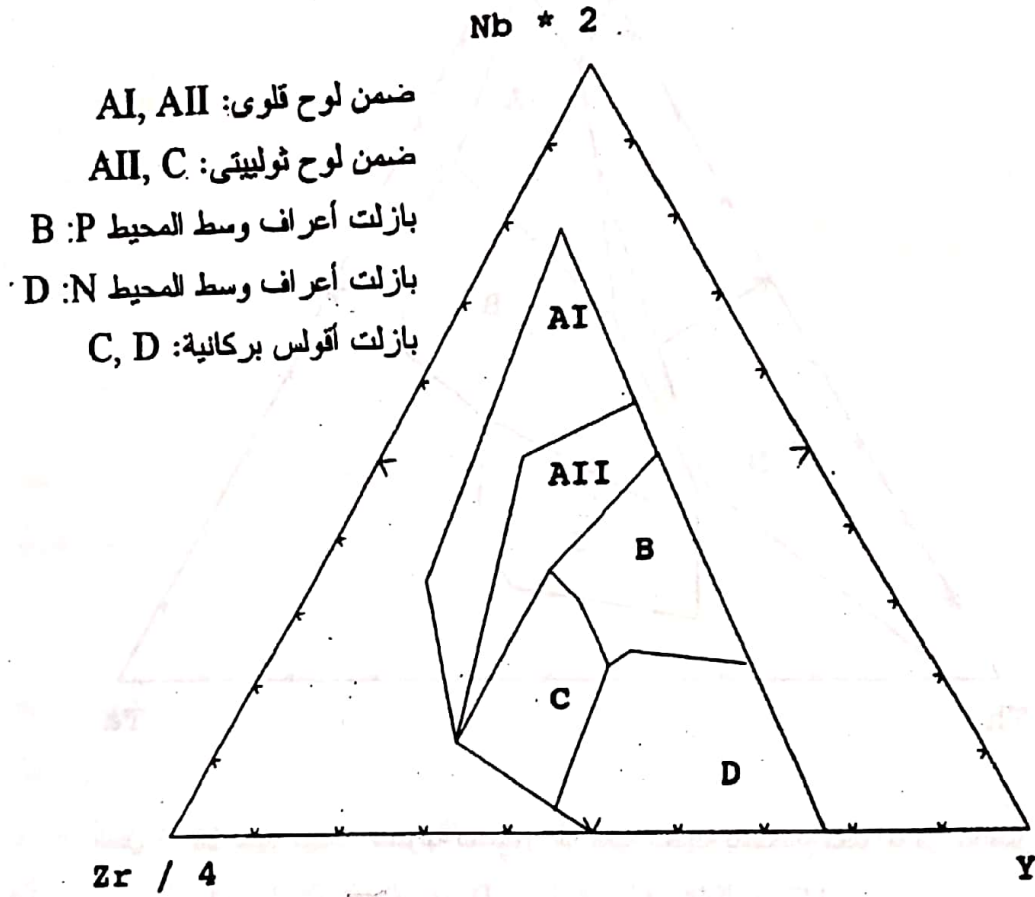
يظهر بازالت الجزر المحيطية أيضا تغيرات كبيرة فى التركيب الكيميائى تتراوح بين النوع الثولييتى، كما فى جزر هاواى، إلى النوع القلوى الشائع، إلى النوع فوق القلوى، كما فى جزر ترينداد والكنارى. يصحب أنواع البازالت هذه عادة صخور التراكيت والفونوليت، ولذلك فإن الصخور البركانية فى هذه المناطق تكون زوجية المنوال bimodal، حيث تشكل صخور البازالت أحد المنوالين، والتراكيت - فونوليت المنوال الآخر.

يشمل البازالت القارى تلك الفيوض البازلتية التى تغطى مساحات شاسعة من القارات كما فى حرات الجزيرة العربية، أو هضبة دكا بالهند، أو بازالت الأخدود الأفريقى، وغيرها، وهى فيوض تخرج من تشققات عميقة فى القشرة القارية تمثل حواف ألواح متباعدة، ويرجح أنها تسبق مرحلة انفصال القارات. ولا تختلف أنواع البازالت التى تظهر فى هذه البيئة عن أنواع بازالت الجزر المحيطية من الناحية الكيميائية، ولذلك فسوف يجمع النوعان تحت مسمى بازالت ضمن الألواح WPB فى عمليات التمييز التالية.

ثانيا: يعد اختيار العينات الممثلة للأنواع السابقة، بحيث تعكس كل مجموعة منها وضعا تكتونيا محددا، أمرا فى غاية التعقيد، إذ إن هناك عدة عوامل تتداخل فى تحديد التركيب الكيميائى لصهارات البازالت، مثل الصخر المصدر، والتركيب المعدنى، ودرجة الانصهار الجزئى، وآلية هذا الانصهار، ودرجات التمايز والتلوث التى قد يتعرض لها الصخر فى طريقه إلى السطح. لذلك، فإنه عندما يثبت كل أو معظم هذه العوامل داخل بيئة تكتونية معينة، يكون فى الإمكان اختيار العينات منها وتحديد ملامحها الجيوكيميائية، وبحيث تصبح هذه الملامح أداة تشخيص معتمدة فى التعرف على البيئات التكتونية للصخور القديمة. لهذا، فإنه من الضرورى تضيق مدى الاختيار، بحيث تستبعد أية عينات متقدمة التمايز أو بها شواهد تلوث أو لها تركيب شاذ أو تعرضت لعمليات تغير أو تجوية.

ثالثا: يعد اختيار العناصر المناسبة لعمليات التمييز والتشخيص أيضا أمرا فى غاية الأهمية، ومن المعايير الموضوعية فى هذا الشأن:

- أن يكون التباين في تركيز العنصر بين عينات الأنواع المختلفة أكبر منه بين عينات كل نوع على حدة.
- أن يكون العنصر عديم أو قليل التأثير بعملية التحول والتجوية.
- أن يكون سهل القياس وبدرجة عالية من التكرارية والصحة.

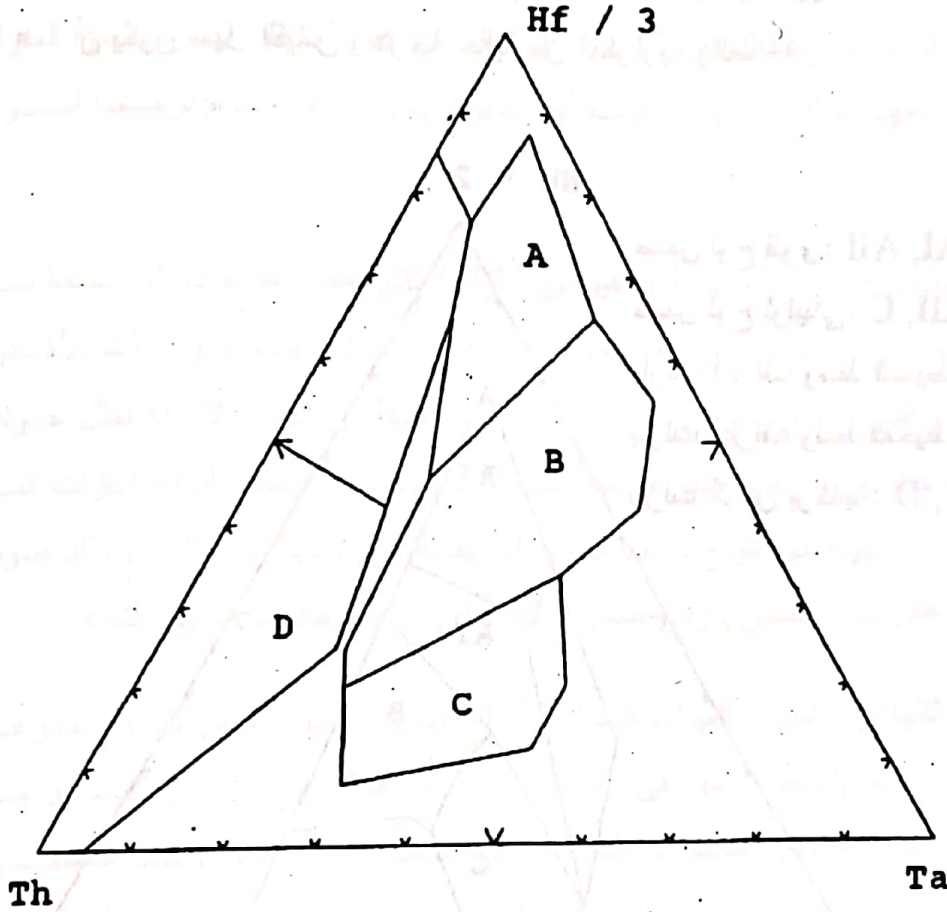


شكل 5-27 تمييز البيئات التكتونية للصخور البركانية الحديثة باستخدام محتواها من عناصر Nb, Zr, Y. عن: مشد (Meschede 1986)

وقد وجد أن أكثر العناصر خضوعاً لهذه المعايير هي عناصر التيتانيوم والزركونيوم واليتريوم والنيوبيوم والسترونشيوم، وجميعها عناصر يسهل قياسها بطيف الأشعة السينية. هناك أيضاً عناصر الثوريوم والهافنيوم والتانتالم والعناصر الأرضية



النادرة ولكنها صعبة التحليل إلى حد ما، ويتطلب الحصول على نتائج جيدة لها اللجوء إلى طرق التحليل بواسطة التنشيط النوى.



شكل 5-28 تمييز البنيات التكتونية للصخور البركانية الحديثة باستخدام محتواها من عناصر

الـ Hf, Th, Ta (الرموز A, B, C, D كما في الشكل 5-27).

عن وود وآخرين (Wood et al. 1979).

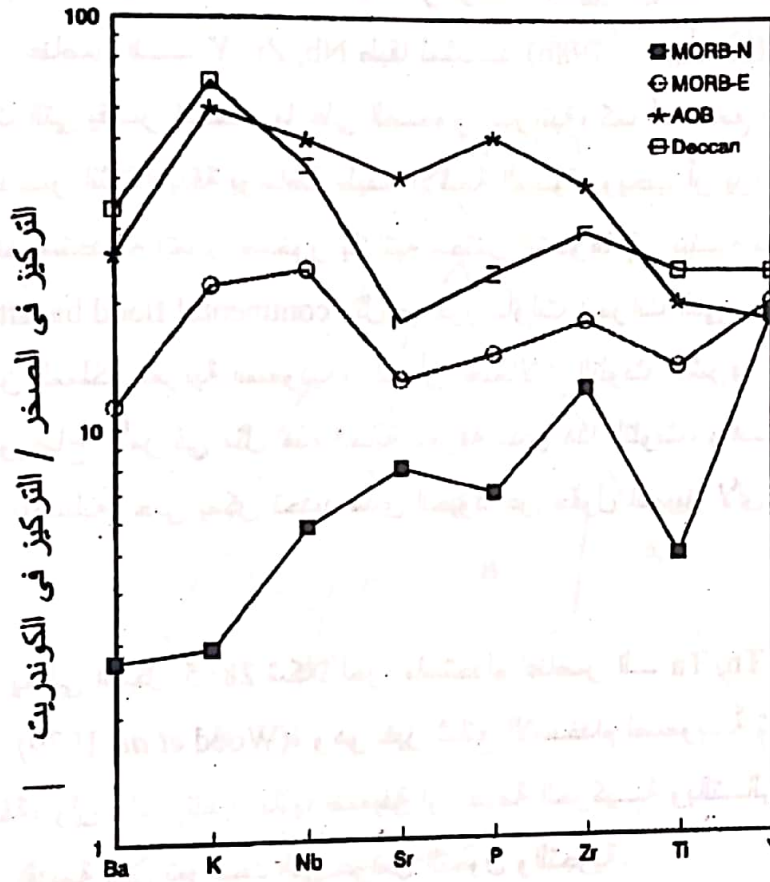
رابعاً: عند استخدام العناصر السابقة في رسومات التمييز، فإنه يلزم التأكد من درجة تمايز العينات المطلوب تحديد وضعها التكتوني، ذلك أن هذه الرسومات تصلح فقط للصخور القاعدية السطحية، ولذلك فقد حدد البعض صلاحيتها للصخور التي لا يقل مجموع أكسیدی المغنسيوم والكالسيوم فيها عن 12 ولا يزيد عن 20، وهو المدى الغالب في صخور البازلت.

يعطى الشكل 5 - 27 مثالا لأحد رسومات التمييز للبيئات التكتونية باستخدام تركيزات عناصر الـ Nb, Zr, Y طبقا لمشهد (Meschede 1986)، وهو من الرسومات التي يقصر استخدامها على الصخور البازلتية، كما أنه شائع الاستعمال لسهولة تحديد العناصر الثلاثة بدقة بواسطة طيف الأشعة السينية. ويجب أن يراعى الحرص الشديد عند استخدامه لتمييز صخور بازلتية محتمل انتماؤها إلى بيئة بازلت الفيوض القارية continental flood basalts مثل صخور بازلت الحرات التي تغطي مساحات شاسعة من المملكة العربية السعودية، ذلك أن احتمالات التلوث القشري تزيد في مثل هذه البيئات، ويحتاج الأمر في مثل هذه الحالة معرفة مدى هذا التلوث، وهو أمر ممكن بدراسات تفصيلية، حتى يمكن تحديد مدى الحيود عن حقول التمييز لأي عينات موضع دراسة.

يعطى الشكل 5-28 شكلا آخرًا باستخدام عناصر الـ Hf, Th, Ta طبقا لـ Wood وآخرين (Wood et al. 1979)، وهو غير شائع الاستخدام لصعوبة تحديد العناصر الثلاثة بدقة، وإن كانت تتميز بأنها ضعيفة أو عديمة الحركية وبالتالي تناسب أكثر الصخور القديمة التي تعرضت إلى عوامل التحول والتجوية.

تجدر ملاحظة أن الحدود المرسومة لمدى التغير لكل نوع هي حدود اعتبارية، وأحيانا متداخلة، وليست بالضرورة حدودا فاصلة، كما أنه لا يمكن تأكيد أن هذه الرسومات تناسب الصخور شديدة القدم، ذلك أن نشأة الصهارات في زمن ما قبل الكمبري قد يكون مختلفا إلى حد بعيد عن تلك في الزمن المعاصر أو الحديث، خاصة أن وشاح الأرض في زمن ما قبل الكمبري يكون قد تعرض لعمليات انصهار جزئي أقل ولهذا يتوقع أن يكون أغنى في محتواه من العناصر غير المتوافقة. وتشير الدراسات التي أجريت حتى الآن نجاح استخدام هذه الرسومات في التعرف على الصخور التي نشأت بعيدا عن بيئات داخل الألواح القارية.

بالإضافة إلى هذه الرسومات التمييزية لمختلف البيئات التكتونية، التي تعتمد على عدد محدود من العناصر، فإنه بالإمكان مقارنة عدد أكبر من العناصر النزررة باستخدام ما



شكل 5-29 مقارنة الوفرة النسبية لمجموعة من العناصر بعد نسبها إلى تركيزاتها في الكوندرائيت (القيم المستخدمة من Wilson, 1989)

يعرف بالرسمات العنكبوتية spiderdiagrams كما في شكل 5 - 29. يتم عمل هذه الرسمات طبقاً للخطوات التالية:

1. تختار مجموعة من العناصر غير المتوافقة مثل Ba, Rb, Th, K, Nb, Ta, La, Ce, Sr, Y, Zr, Hf (كلها أو بعضها) كما يمكن أن تتضمن أيضاً بعضاً من عناصر الأرض النادرة.

2. ترتب هذه العناصر على محور سيني بتتابع معين يعتمد أحياناً على التدرج في الجهد الأيوني وأحياناً على التدرج في الحجم الأيوني.

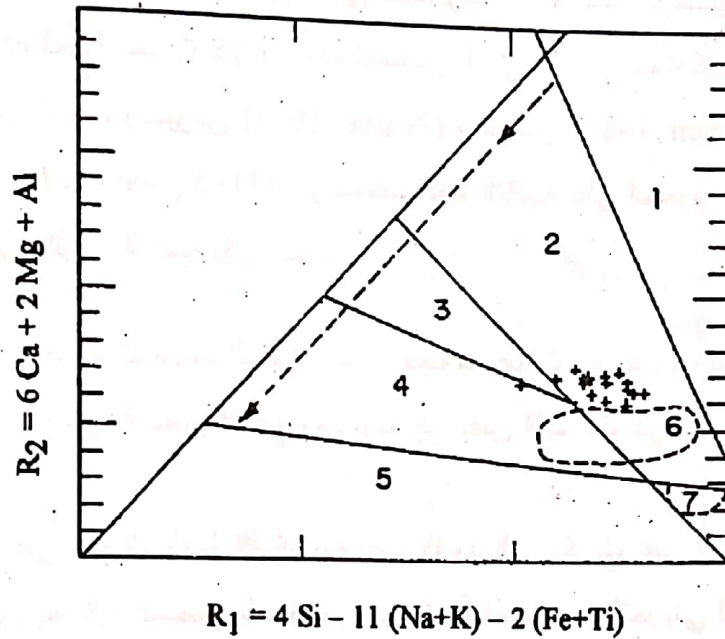


3. يرسم خط لكل عينة صخرية على حدة، وذلك بقسمة تركيزات العناصر المختارة في هذه العينة على تركيزات هذه العناصر في الكوندريت كما وردت في تقديرات أى من العلماء بـيرس (Pearce 1983) و صن (Sun 1980) و طومسون وآخرين (Thompson et al. 1984). وتستخدم القيم الناتجة على المحور الصادي، ثم توصل نقاط الإحداثيات الناتجة لكل عينة.

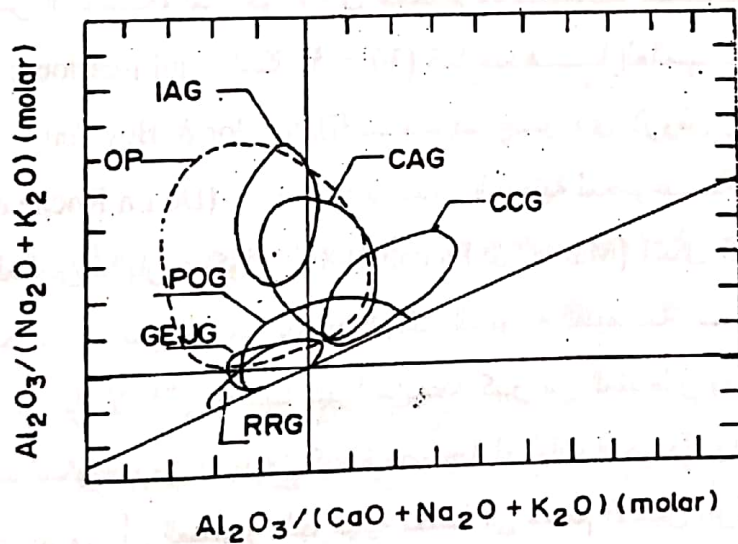
4. تقارن أنماط الخطوط الناتجة بأنماط خطوط عينات معروف بيئات تكونها بشرط أن تكون مرسومة بنفس التتابع ومنسوبة إلى نفس القيم الكوندريتية.

يسرى على هذه الخطوط العنكبوتية نفس القيود التي ذكرت على رسومات التمييز، خاصة ما يتعلق بحركية العنصر المستخدم وسلوكه أثناء التبلور التجزئي للصهارة، وكذا ما يتعلق باحتمالات التلوث القشري خاصة في العينات المتكونة داخل بيئات ضمن لوحة قارية، أو عند حواف ألواح هدامة.

هناك أيضا رسومات تمييزية لبيئات تكون صخور الجرانيت، ويعتمد بعضها على العناصر الرئيسية، إما محورة مثل استخدام معاملات متعددة الكاتيونات multi-cationic parameters (شكل 5 - 30) كما حددها العالمان باتشـلر و بودين (Batchelor & Bowden 1985) بتصرف عن دى لاروش وآخرين (De La Roche et al. 1980)، أو باستخدام النسب الجزئية لمجموعة من الأكاسيد كما أوردها العالمان مانيار وبيكولى (Maniar & Piccoli 1989) (شكل 5-31). وبشكل عام، فإن استخدام العناصر الرئيسية لتحديد البيئات التكتونية القديمة، سواء للصخور الجرانيتية أو غيرها، لا يلقى ترحيبا كبيرا من عدد كبير من المشتغلين بهذه الجزئية لما يطرأ على هذه المكونات من تغييرات كبيرة مصاحبة لعمليات التحول والتجوية. أما المتحمسون لها فيرون أن الصخور الجرانيتية تحتفظ في معظم الأحيان بتركيبها الأصلي، وأنها - خاصة بعيدا عن سطوح التجوية - قلما تتعرض لتحول يصحبه تغييرات كيميائية.



شكل 5-30 رسومات لتمييز البنيات التكتونية للصخور الجرانيتية باستخدام معاملات متعددة الكاتيونات. عن: باتشيلر وبودن (Batchelor & Bowden, 1985).



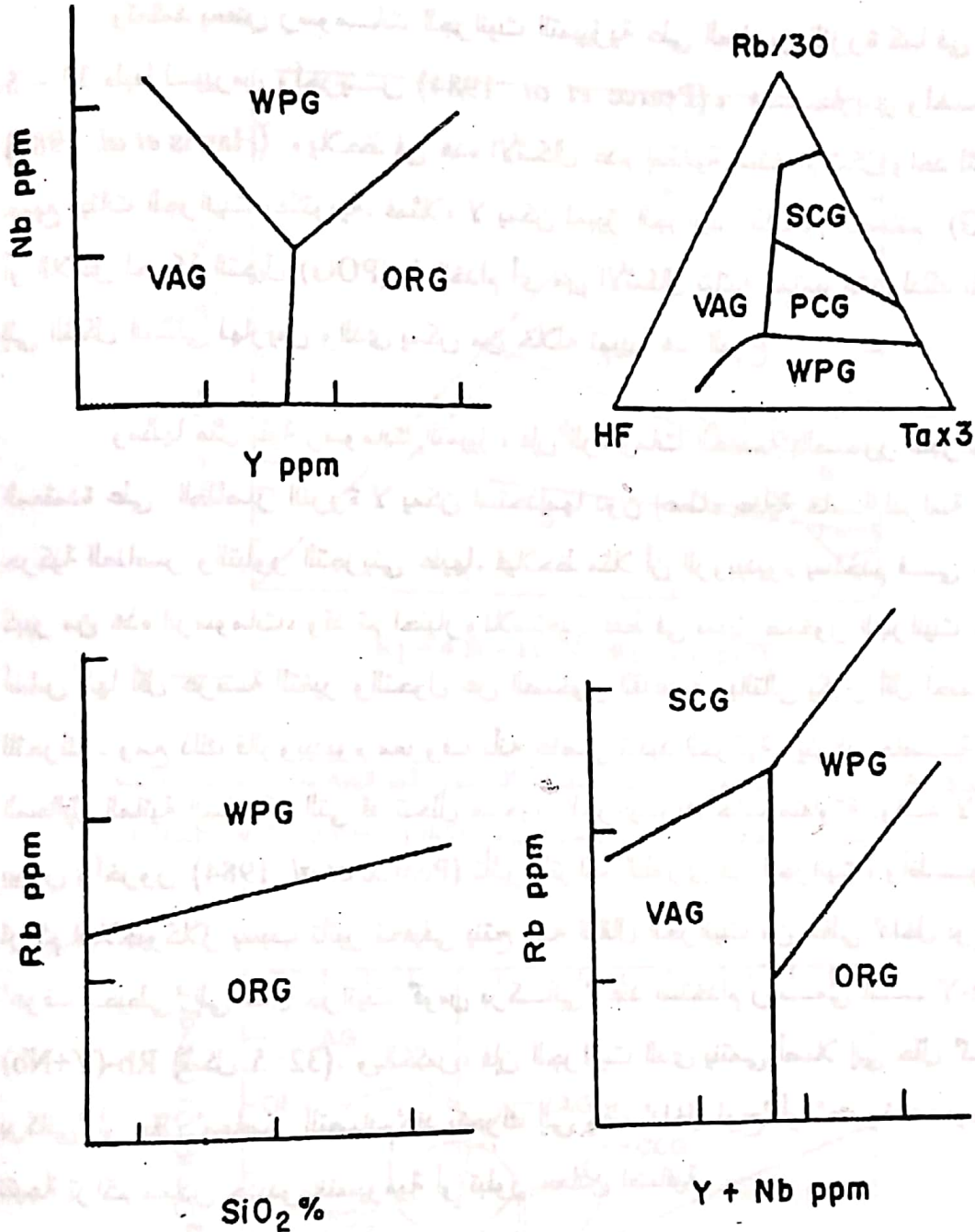
شكل 5-31 رسومات لتمييز البنيات التكتونية للصخور الجرانيتية باستخدام تركيزات بعض العناصر الرئيسة. عن: مانيار وبيكولي (Maniar & Piccoli, 1989).

وتعتمد بعض رسومات الجرانيت التمييزية على العناصر النزرة كما فى شكل 5 - 32 طبقا لبيرس وآخرين (Pearce *et al.* 1984) و هــ اريس وآخرين (Harris *et al.* 1986). ويلاحظ فى هذه الأشكال عدم إمكانية استخدام شكل واحد لتمييز جميع بيانات الجرانيت التكتونية. فمثلا، لا يمكن تمييز الجرانيت اللاحق للتصادم (PCG) أو اللاحق لحركة التجبل (POG) باستخدام أى من الأشكال ثنائية المتغيرات ولذلك نلجأ إلى الشكل المثلثى لهـ اريس والذي يمكن من خلاله تمييز هذا النوع.

ومثلها مثل بقية رسومات التمييز، فإن الرسومات الخاصة بالصخور الجرانيتية المعتمدة على العناصر النزرة لا يمكن استخدامها دون إعطاء عناية خاصة لدراسة أثر حركية العناصر والتبلور التجزئى عليها. فيلاحظ مثلا أن الروبيديوم يستخدم فى عدد كبير من هذه الرسومات، وقد تم اختياره للاستخدام فقط فى تمييز صخور الجرانيت على أساس أنها أقل عرضة للتغير والتحول عن الصخور القاعدية وبالتالي يكون أقل احتمالا للتحرك . ومع ذلك فالروبيديوم معروف بأنه عنصر شديد الحركية ويتركز خاصة فى المحاليل المائية الساخنة والتي قد تتخلل صخور الجرانيت بدرجات متفاوتة. وقد لاحظ بيرس وآخرون (Pearce *et al.* 1984) تأثير التراكم البلورى فى الجرانيت، وأظهر أن تراكم البلاجيوكلاز يسبب تأثير تخفيفى ينتج عنه انتقال الجرانيت من حقل "داخل لوح" و "عرف محيطى" إلى حقل جرانيت "قوس بركانى" عند استخدام رسمى الـ Nb-Y و Rb-(Y+Nb) (شكل 5-32). وبالعكس، فإن الجرانيت الذى ينتمى أصلا إلى حقل "قوس بركانى" أو حقل "معاصر للتصادم" قد يتحرك إلى حقل "داخل لوح" أو "عرف محيطى" نتيجة تراكم معادن حديدومغنسيومية أو تبلور معادن إضافية.

وقد لاحظ براون وآخرون (Brown *et al.* 1984) أن محتوى الصخور الجرانيتية المتكونة فى بيانات "قوس بركانى" من العناصر النزرة يتغير بتغير درجة نضج maturity أو تطور القوس، فيزيد محتواها من العناصر Rb, Th, U, Ta, Nb, Ba, Sr, P, Zr, Ti. لذلك يظهر ارتباط طردى، على رسومات ثنائية المتغير، بين نسبة الـ Rb/Zr وأى من الـ Nb أو Y مع تقدم نمو القوس.





شكل 5-32 رسومات لتمييز البينات التكتونية للصخور الجرانيتية باستخدام العناصر المنزلة للشكل المثلى طبقا لهاريس وآخرين (Harris et al. 1986) وباقي الأشكال لبيرس وآخرين (Pearce et al. 1984).

حقول التمييز: WPG جرانيت داخل اللوح؛ VAG جرانيت قوس بركاني؛ ORG جرانيت عرف محيطي؛ SCG جرانيت معاصر للتصادم؛ PCG جرانيت لاحق للتصادم.

وعموماً، فإن اختيار العينات والعناصر لرسمات تمييز الجرانيت يخضع تقريباً إلى نفس القواعد العامة التي وردت في مقدمة هذا الجزء. ورغم النجاح الذي تلقاه هذه الرسومات في كثير من الحالات، فإنه لا يجوز الاعتماد الكلي عليها، ويفضل الجمع بين الأدلة الجيوكيميائية والأدلة النظائرية للوصول إلى استنتاجات يُعَوَّل عليها عن البينات التكتونية القديمة التي نشأت فيها الأنواع المختلفة من الصهارة.



لا تنسى الدعاء والصلاه ع النبي

## ملحق الباب الخامس

كيفية حساب معيار لصخر ناري من التحليل الكيميائي  
طبقاً للخطوات التى أوردها (Cox et. al. 1982)

يعتمد حساب معيار norm لصخر ناري على عدد من الافتراضات هي:

- (1) أن الصهارة قد تبلورت في ظروف لا مائية anhydrous conditions وبالتالي لا تتكون معادن تحتوى على جزيئات الماء مثل الهورنبلند، البيوتيت، ... الخ.
- (2) أن المعادن الحديدومغنسيومية ferromagnesian minerals لا تشمل على أكسيد ألومنيوم  $Al_2O_3$ ، وعليه تبقى كل كمية  $Al_2O_3$  لتكوين الفلسبارات أو الفلسباتويد بفرض وجود كميات كافية من أكاسيد الصوديوم والبوتاسيوم والكالسيوم  $Na_2O$ ,  $K_2O$  and  $CaO$ .
- (3) أن نسبة الماغنسيوم/الحديد متساوية في كل المعادن الحديدومغنسيومية.
- (4) أن بعض الأزواج المعدنية لا تتوافق معاً في حساب معيار صخرى واحد مثل معدنى النيغلين والكوارتز.

ولحساب معيار لصخر ناري تتبع الخطوات التالية:

1- تحسب النسبة الجزيئية molecular proportion (أحياناً تسمى الرقم الجزيئى molecular number) لكل أكسيد، وذلك بقسمة النسبة المئوية لتركيزه في العينة، والناجمة من التحليل الكيميائي على الوزن الجزيئى للأكسيد، ويتم وضع النسب الجزيئية في الصف الأفقى كما هو موضح بالجدول (م - 1). وتعتمد كافة العمليات الحسابية في الخطوات التالية على قيم هذه النسب الجزيئية.

2- تُضاف النسبة الجزيئية لأكسيد المنجنيز MnO إلى مثلها لأكسيد الحديدوز FeO.

3- يُضاف جزء من قيمة النسبة الجزيئية لأكسيد الكالسيوم تساوى 3.33 مرة قيمة النسبة الجزيئية لخامس أكسيد الفوسفور  $P_2O_5$  وذلك لتكوين معدن الأباتيت apatite وتوضع الكمية



المستهلكة من كل من  $\text{CaO}$ ,  $\text{P}_2\text{O}_5$  فى العمود الخاص بكل منهما عند تقاطعهما مع صف معدن الأباتيت فى الجدول.

4- تُضاف النسبة الجزيئية لأكسيد الحديدوز  $\text{FeO}$  إلى النسبة الجزيئية لأكسيد التيتانيوم  $\text{TiO}_2$  لتكوين معدن الإلمينيت *ilmenite*، إذا كانت هناك زيادة فى كمية  $\text{TiO}_2$  وتؤخذ كمية مساوية لها من النسبة الجزيئية لأكسيد الكالسيوم  $\text{CaO}$  لتكوين معدن التيتانيت *titanite* (بشرط أن يكون ذلك بعد تكوين معدن الأنورثيت فى الخطوة 7). وإذا ظلت هناك زيادة فى كمية  $\text{TiO}_2$  تُحسب كمعدن روتيل *rutile*.

5- تؤخذ كمية من النسبة الجزيئية لأكسيد الألومنيوم  $\text{Al}_2\text{O}_3$  مساوية لقيمة النسبة الجزيئية لأكسيد البوتاسيوم  $\text{K}_2\text{O}$  لتكوين معدن الأورثوكلاز *orthoclase*.

6- لو كانت هناك زيادة من  $\text{Al}_2\text{O}_3$  تؤخذ منها كمية تساوى النسبة الجزيئية لأكسيد الصوديوم  $\text{Na}_2\text{O}$  لتكوين معدن الألبيت *albite*، أما إذا كانت كمية  $\text{Al}_2\text{O}_3$  أقل من النسبة الجزيئية لأكسيد الصوديوم، فإن كمية أكسيد الصوديوم تؤخذ مع كمية مساوية من  $\text{Fe}_2\text{O}_3$  لتكوين معدن الأكميت *acmite* ولا يتكون معدن الأنورثيت فى هذه الحالة.

7- أما إذا كانت كمية  $\text{Al}_2\text{O}_3$  أكثر من كمية  $\text{Na}_2\text{O}$ ، فإنه بعد تكوين الألبيت تؤخذ منها كمية مساوية للمتبقى من  $\text{CaO}$  (بعد تكوين الأباتيت) وذلك لتكوين معدن الأنورثيت *anorthite*.

8- أما إذا تبقى زيادة من  $\text{Al}_2\text{O}_3$  بعد الخطوة السابقة، فإنها تحسب لمعدن الكوراندوم *corundum*، أما إذا كانت هناك زيادة فى  $\text{CaO}$  فتكون معدن التيتانيت كما فى الخطوة رقم 4.

9- أما إذا تبقى كمية من  $\text{CaO}$  فإنها تُختزن لتكوين معدنى الدايبوسيد و الولاستونيت (الخطوة 12).

10- إذا كانت هناك زيادة من  $\text{Fe}_2\text{O}_3$  تؤخذ منها كمية مساوية للمتبقى من  $\text{FeO}$  بعد تكوين الإلمينيت، وذلك لتكوين معدن الماجنتيت *magnetite*، وإذا بقيت زيادة من  $\text{Fe}_2\text{O}_3$  تُحسب كمعدن هيماتيت *hematite*.

11- تُضاف كمية  $\text{MgO}$  إلى المتبقى من  $\text{FeO}$ ، مع مراعاة النسب التى أضيف بها.

12- المتبقى من CaO (خطوة 9) يُضاف إلى كمية مساوية من (Mg, Fe)O لتكوين معدن الديوبسيد diopside، أما إذا ظلت هناك زيادة في CaO فإنها تُحسب كمعدن ولاستونيت wollastonite.

13- أما إذا كانت هناك زيادة من (Mg, Fe)O بعد تكوين الديوبسيد، فإنها تُختزن لتكوين معدن الهيرسين hypersthene.

14- نضيف بعد ذلك الكميات اللازمة من SiO<sub>2</sub> إلى الآتي:

- إلى K<sub>2</sub>O بنسبة 1:6 لتكوين الأورثوكلاز (خطوة 5)
- إلى Na<sub>2</sub>O بنسبة 1:6 لتكوين الألبيت (خطوة 6)
- إلى CaO بنسبة 1:2 لتكوين الأنورثيت (خطوة 7)
- إلى CaO بنسبة 1:1 لتكوين التيتانيت (خطوة 4)
- إلى الزيادة في Na<sub>2</sub>O لتكوين الأكميت (خطوة 6)
- إلى (Mg, Fe)O + CaO بنسبة 1:1 لتكوين الدايبسيد (خطوة 12)
- إلى CaO بنسبة 1:1 لتكوين الولاستونيت (خطوة 12)
- إلى (Mg, Fe)O بنسبة 1:1 لتكوين الهيرسين (خطوة 13)

الكميات المضافة من SiO<sub>2</sub> في الخطوات السابقة تُطرح من النسبة الجزئية الكلية لـ SiO<sub>2</sub>

15- إذا بقيت كمية من SiO<sub>2</sub> بعد ذلك تُحسب كمعدن كوارتز quartz.

16- أما إذا كان هناك نقص في SiO<sub>2</sub> في الخطوة 14، فإن الكوارتز لا يظهر، ويتم طوح كمية SiO<sub>2</sub> المخصصة للهيرسين من مجموع SiO<sub>2</sub> والموجود في خطوة 14 والناتج من عملية الطرح يخصم من SiO<sub>2</sub> الكلي، فإذا كان المتبقى من SiO<sub>2</sub> أكبر من نصف الكمية المخصصة من السليكا لمعدن الهيرسين (خطوة 14) فإنها تُؤخذ مع (Mg, Fe)O والموجود في خطوة 13 لتكوين معدن الهيرسين والأوليفين olivine and hypersthene، وتتوزع هذه الكمية طبقاً للمعادلات الآتية:

$$x = 2S - M \quad (1)$$

$$y = M - x \quad (2)$$

حيث  $x$  = عدد جزيئات الهبيرسين،  $y$  = عدد جزيئات الأوليفين،  $M$  = النسبة الجزيئية المتاحة لكل  $(Mg, Fe)O$ ،  $S$  = النسبة الجزيئية أو كمية  $SiO_2$  المتاحة.

17- أما إذا كان المتبقى من  $SiO_2$  بعد عملية الطرح في خطوة 16 أقل من نصف كمية السليكا التي تُخصص لمعدن الهبيرسين (خطوة 14) فإن كل كمية  $(Mg, Fe)O$  تُحسب كمعدن أوليفين، ويُخصص لها كمية من  $SiO_2$  تساوى نصف كميتها (وبذلك لا يظهر الهبيرسين أبداً).

18- أما إذا ظل هناك نقص في  $SiO_2$  حتى بعد طرح القيمة المخصصة للهبيرسين (خطوة 14) بحيث يكون الناتج أكثر من كمية  $SiO_2$  الكلية فإنه يتم طرح كمية  $SiO_2$  المخصصة لمعدن التيتانييت من مجموع السليكا في خطوة 14 (لا يتكون هنا الهبيرسين أو التيتانييت) وتُحسب كمية  $TiO_2 = CaO$  (خطوة 4) كمعدن بيرفوسكيت  $pervoskite (CaO, TiO_2)$ .

19- أما إذا ظل هناك نقص في  $SiO_2$  حتى بعد خصم كمية  $SiO_2$  المخصصة لكل من الهبيرسين والتيتانييت وإحلال الأوليفين والبيرفوسكيت محلها (حيث يكون المتبقى من مجموع  $SiO_2$  في خطوة 14 بعد طرح المعدنين السابقين أعلى من كمية  $SiO_2$  الكلية)، فإنه يتم طرح كميات  $SiO_2$  المخصصة لمعادن الخطوة 14 (ماعدا الألبيت ومعدنى الأوليفين والبيرفوسكيت المتكونان مؤخراً) من مجموع  $SiO_2$  الكلية، فلو كان المتبقى من  $SiO_2$  أكثر من ضعف (وأقل من 6 أضعاف) كمية  $Na_2O$  فإنها تتوزع بين الألبيت والنفلين  $nepheline$  طبقاً للمعادلات الآتية:

$$x = (S - 2N) / 4 \quad (3)$$

$$y = N - x \quad (4)$$

حيث  $x$  = عدد جزيئات الألبيت،  $y$  = عدد جزيئات النفلين،  $N$  = الكمية المتاحة لأكسيد الصوديوم،  $S$  = كمية  $SiO_2$  المتاحة.



20- أما إذا كانت كمية  $\text{SiO}_2$  المتبقية من عملية الطرح فى الخطوة السابقة أقل من ضعف كمية  $\text{Na}_2\text{O}$  فإن كل كمية  $\text{Na}_2\text{O}$  تحسب لتكوين نفلين فقط ويتم توزيع كمية  $\text{K}_2\text{O}$  بين الأورثوكلاز واللوسيت orthoclase and leucite كما يلى:

يتم طرح كميات  $\text{SiO}_2$  المخصصة للمعادن المتكونة فى الخطوة 14 من كمية  $\text{SiO}_2$  الكلية (باستثناء الأورثوكلاز مع ملاحظة اختفاء معادن الهيبيرسين، التيتانيت، الألبيت من مجموعة المعادن فى خطوة 14) فإذا كان المتبقى من كمية  $\text{SiO}_2$  بعد عملية الطرح أكثر من 4 أضعاف وأقل من 6 أضعاف كمية  $\text{K}_2\text{O}$  فإنها تتوزع بين الأورثوكلاز واللوسيت طبقاً للمعادلات الآتية:

$$x = (S - 4K) / 2 \quad (5)$$

$$y = K - x \quad (6)$$

حيث  $x$  = عدد جزيئات الأورثوكلاز،  $y$  = عدد جزيئات اللوسيت،  $K$  = كمية  $\text{K}_2\text{O}$  المتاحة،  $S$  = كمية  $\text{SiO}_2$  المتاحة.

وعند تساوى كميات  $\text{SiO}_2$  المضافة إلى كل المعادن السابقة مع كمية  $\text{SiO}_2$  الكلية، تكون حسابات المعادن القياسية قد انتهت، ثم نبدأ عملية حساب الأوزان المئوية للمعادن القياسية، وذلك بضرب النسب الجزيئية للأكاسيد  $\times$  الأوزان الجزيئية للمعادن.

ولعمل ذلك نأخذ النسبة الجزيئية لأى مكون موجود كجزيئ مفرد فى الصيغة التركيبية للمعدن وتضرب فى الوزن الجزيئ للمعدن ثم تجمع معاً على الوزن المئوى لهذا المعدن.

ملحوظة : الوزن الجزيئ للمعدن يُحسب على أنه مكون من أكاسيد منفردة.

مثال: معدن الأورثوكلاز يُحسب على أنه يتكون من 6 جزيئات  $\text{SiO}_2$  ، جزيئ  $\text{Al}_2\text{O}_3$  ، جزيئ  $\text{K}_2\text{O}$  وبالتالي يكون الوزن الجزيئ لمعدن الأورثوكلاز 556 وهكذا.

جدول م 1 - حساب معيار لصخر ناري. عن: (Cox et al. 1982)

| الأكاسيد       | SiO <sub>2</sub>                 | TiO <sub>2</sub> | Al <sub>2</sub> O <sub>3</sub> | Fe <sub>2</sub> O <sub>3</sub> | FeO | MnO | MgO | CaO | Na <sub>2</sub> O | K <sub>2</sub> O | P <sub>2</sub> O <sub>5</sub> | الوزن<br>الجزئي<br>للمعادن<br>القياسية | المعادن<br>المتكونة |
|----------------|----------------------------------|------------------|--------------------------------|--------------------------------|-----|-----|-----|-----|-------------------|------------------|-------------------------------|--|---------------------|
| الوزن المئوي   | 60                               | 80               | 102                            | 160                            | 72  | 71  | 40  | 56  | 62                | 94               | 142                           |  |                     |
| النسبة الجزئية |                                  |                  |                                |                                |     |     |     |     |                   |                  |                               |  |                     |
| Q              | S                                |                  |                                |                                |     |     |     |     |                   |                  |                               | 60                                     |                     |
| or             | KAS <sub>6</sub>                 |                  |                                |                                |     |     |     |     |                   |                  |                               | 556                                    |                     |
| ab             | NaS <sub>6</sub>                 |                  |                                |                                |     |     |     |     |                   |                  |                               | 524                                    |                     |
| an             | CAS <sub>2</sub>                 |                  |                                |                                |     |     |     |     |                   |                  |                               | 278                                    |                     |
| le             | KAS <sub>4</sub>                 |                  |                                |                                |     |     |     |     |                   |                  |                               | 436                                    |                     |
| ne             | NAS <sub>2</sub>                 |                  |                                |                                |     |     |     |     |                   |                  |                               | 284                                    |                     |
| C              | A                                |                  |                                |                                |     |     |     |     |                   |                  |                               | 102                                    |                     |
| ac             | NF <sup>+++</sup> S <sub>4</sub> |                  |                                |                                |     |     |     |     |                   |                  |                               | 462                                    |                     |
| wo             | Cs                               |                  |                                |                                |     |     |     |     |                   |                  |                               | 116                                    |                     |
| en             | MS                               |                  |                                |                                |     |     |     |     |                   |                  |                               | 100                                    |                     |
| fs             | F <sup>++</sup> S                |                  |                                |                                |     |     |     |     |                   |                  |                               | 132                                    |                     |
| ws             | CS                               |                  |                                |                                |     |     |     |     |                   |                  |                               | 116                                    |                     |
| en             | MS                               |                  |                                |                                |     |     |     |     |                   |                  |                               | 100                                    |                     |
| fs             | F <sup>++</sup> S                |                  |                                |                                |     |     |     |     |                   |                  |                               | 132                                    |                     |
| fo             | M <sub>2</sub> S                 |                  |                                |                                |     |     |     |     |                   |                  |                               | 140                                    |                     |
| fa             | F <sub>2</sub> <sup>++</sup> S   |                  |                                |                                |     |     |     |     |                   |                  |                               | 204                                    |                     |
| mt             | F <sup>++</sup> F <sup>+++</sup> |                  |                                |                                |     |     |     |     |                   |                  |                               | 232                                    |                     |
| he             | F <sup>+++</sup>                 |                  |                                |                                |     |     |     |     |                   |                  |                               | 160                                    |                     |
| il             | F <sup>++</sup> T                |                  |                                |                                |     |     |     |     |                   |                  |                               | 152                                    |                     |
| ap             | C <sub>333</sub> P               |                  |                                |                                |     |     |     |     |                   |                  |                               | 310                                    |                     |
| الإجمالي       |                                  |                  |                                |                                |     |     |     |     |                   |                  |                               |  |                     |

## مراجع الباب الخامس

- Abbey, S. (1980) Studies in "standard samples" for use in the general analysis of silicate rocks and minerals. part 6: edition of "usable" values. *Geol. Surv. Canada, paper 80-14*, 30 p.
- Arth, J. G. (1976) Behavior of trace elements during magmatic processes - a summary of theoretical models and their application. *J. Res. USGS* 4 (1): 41-47.
- Barker, D. S. (1983) *Igneous Rocks*. Englewood Cliffs, N J: Prentice Hall.
- Batchelor R. A. and Bowden, P. (1985) Petrogenetic interpretation of granitoid rock series using multicationic parameters, *Chem. Geol.* 48: 43-55.
- Best, M. G. (1982) *Igneous and Metamorphic Petrology*. New York: W. H. Freeman.
- Brown, G. C., Thorpe, R. S. and Webb, P. C. (1984) The geochemical characteristics of granitoids in contrasting arcs and comments on magma sources. *J. Geol. Soc. London* 141: 411-426.
- Carmichael, I. S. E., Turner, F. J. and Verhoogen, J. (1974) *Igneous Petrology*. New York: McGraw-Hill, 739 p.
- Chorch, B. N. (1975) Quantitative classification and chemical comparison of common volcanic rocks, *Geol. Soc. America Bull.* 86: 257-263.
- Condie, K. C. (1982) *Plate Tectonics and Crustal Evolution*, 2nd ed. New York: Pergamon Press, 310 p.
- Cox, K. G., Bell, J. D. and Pankhurst, R. J. (1979) *The Interpretation of Igneous Rocks*. London; Allen and Unwin, 450 p.
- De La Roche, H., Leterrier, J., Grande, P. C. and Marchal, M. (1980) A classification of volcanic and plutonic rocks using R1-R2 diagrams and major element analyses - Its relationships and current nomenclature. *Chem. Geol.* 29: 183-210.
- Evensen, N. M., Hamilton, P. J. and O'Nions, R. K. (1978) Rare earth abundances in chondritic meteorites. *Geochim. Cosmochim. Acta* 42: 1199-1212.
- Gill, R. (1989) *Chemical Fundamentals of Geology*. Unwin Hyman, London, 292 p.



- Gill, J. B. (1981) *Orogenic Andesites and Plate Tectonics*. Berlin: Springer-Verlag, 358 p.
- Hanson, G. N. (1980) Rare earth elements in petrogenetic studies of igneous systems. *Ann. Rev. Earth Planet. Sci.* 8: 371-406.
- Harris, N. B. W., Pearce, J. A. and Tindle, A. G. (1986) Geochemical characteristics of collision zone magmatism: In: Coward, M. P. and Ries, A. C. (eds.) *Collision Tectonics. Spec. Publ. Geol. Soc.*, 19: 67-81.
- Haskin, L. A., Haskin, M. A., Frey, F. A. and Wildman, T. R. (1968) Relative and absolute terrestrial abundances of the rare earths. In: Ahrens, L. (ed.), *Origin and Distribution of Elements*, Pergamon Press, Oxford: *Int. Ser. Mon. Earth Sci.*: 30 899-912.
- Hughes, C. J. (1982) *Igneous Petrology*, Amsterdam, Elsevier.
- Irvine, T. N. and Baragar, W. R. A. (1971) A guide to the chemical classification of the common rocks. *Can. J. Earth Sci.* 8: 523-548.
- Krauskopf, K. B. (1979) *Introduction to Geochemistry*. 2nd. ed., Tokyo, McGraw-Hill Kogakusha, LTD, Int. Stud. Ed., 617 p.
- Le Bas, M. J., Le Maitre, R. W., Streckeisen, A. and Zanettin, B. (1986) A chemical classification of volcanic rocks based on the total alkali-silica diagram. *J. Petrol.* 27: 745-750.
- Le Maitre, R. W. (ed.) (1989) *A Classification of Igneous Rocks and Glossary of Terms*, Oxford, Blackwell, 193 p.
- Le Maitre, R. W. (1976) The chemical variability of some common igneous rocks. *J. Petrol.* 17: 4, 589-637.
- Maniar, P. D. and Piccoli, P. M. (1989) Tectonic discrimination of granitoids. *Geol. Soc. America Bull.* 101: 635-643.
- Mason, B. (1966) *Principles of Geochemistry*. 3d ed. New York, John Wiley & Sons, Inc.
- Mason, B. and Moore, C. B. (1982) *Principles of Geochemistry*. New York, John Wiley & Sons, Inc. 344 p.
- Meschede, M. (1986) A method of discriminating between different types of mid-oceanic ridge basalts and continental tholeiites with the Nb-Zr-Y diagram. *Chem. Geol.* 56: 207-218.

- Middlemost, E. A. K. (1980) A contribution to the nomenclature and classification of volcanic rocks. *Geol. Mag.* 117: 51-57.
- Middlemost, E. A. K. (1985) *Magmas and Magmatic Rocks*. Essex, Longman Gr. Ltd.
- Miyashiro, A. (1974) Volcanic rock series in island arcs and active continental margins. *Am. J. Sci.* 274: 321-355.
- Miyashiro, A. (1978) Nature of alkalic volcanic rock series. *Contrib. Mineral. Petrol.* 66: 91-104.
- Mullen, E. D. (1983) MnO/TiO<sub>2</sub>/P<sub>2</sub>O<sub>5</sub>: a minor element discriminant for basaltic rocks of oceanic environments and its implications for petrogenesis. *Earth Planet. Sci. Lett.* 62: 53-62.
- Nakamura, N. (1974) Determination of REE, Ba, Fe, Mg, Na, and K in carbonaceous and ordinary chondrites. *Geochim. Cosmochim. Acta* 38: 575-573.
- Nockolds, S. R. and Allen, R. (1953) The geochemistry of some igneous rock series, part I, *Geochim. Cosmochim. Acta* 4: 105-142.
- Peacock, M. A. (1931) Classification of igneous rock series, *J. Geol.* 39: 54-67.
- Pearce, J. A. (1983) Role of the subcontinental lithosphere in magma genesis at active continental margins. In: Hawkesworth, C. J. and Norry, M. J. (eds.), *Continental Basalts and Mantle Xenoliths*. Shiva, Nantwich, 230-249.
- Pearce, J. A. (1987) An expert system for the tectonic characterization of ancient volcanic rocks. *J. Volcanol. Geotherm. Res.* 32: 51-65.
- Pearce, J. A. and Cann, J. R. (1973) Tectonic setting of basic volcanic rocks determined using trace element analysis. *Earth Planet. Sci. Lett.* 19: 290-300.
- Pearce, J. A., Harris, N. B. W. and Tindle, A. G. (1984) Trace element discrimination diagrams for the tectonic interpretation of granitic rocks. *J. Petrol.* 25: 956-983.
- Qadhi, T. M. (1990) *Petrogenesis and mineralization of the Ghurrayah pluton, Madian, northwest Saudi Arabia*. Ph. D. Thesis, Faculty of Earth Sciences, King Abdel Aziz University, Jeddah, Saudi Arabia, (unpublished).



- Ringwood, A. E. (1975) *Composition and Petrology of the Earth's Mantle*. New York: McGraw-Hill, 618 p.
- Rollins, H. (1993) *Using Geochemical Data: Evaluation, Presentation, Interpretation*. Longman Scientific & Technical, Longman group UK Limited. 352 p.
- Saunders, A. D., Tarney, J., Marsh, N. G. and Wood, D. A. (1980) Ophiolites as ocean crust or marginal basin crust: a geochemical approach. In: A. Panayiotou (ed.), *Proc. Int. Ophiolite Conf.* Nicosia, Cyprus, 193-204.
- Streckeisen, A. (1976) To each plutonic rock its proper name. *Earth Sci. Rev.* 12: 1-33.
- Sun, S. S. (1982) Chemical composition and origin of the Earth's primitive mantle. *Geochim. Cosmochim. Acta* 46: 179-192.
- Taylor, S. R. (1965) The application of trace element data to problems in petrology. *Physics and Chemistry of the Earth* Pergamon Press, 6: 133-213.
- Thompson, R. N., Morrison, M. A., Hendry, G. L. and Parry, S. J. (1984) An assessment of the relative roles of a crust and mantle in magma genesis: an elemental approach. *Phil Trans R. Soc. Lond.* A310: 549-590.
- Thorpe, R. S. (ed.) (1982) *Andesites: Orogenic Andesites and Related Rocks*. Chichester: Wiley, 697 p.
- Turekian, K. K. and Wedepohl, K. H. (1961) Distribution of elements in some major units of the earth's crust. *Geol. Soc. America Bull.* 72: 186.
- Wedepohl, K. H., (ed.) (1969-1974) *Handbook of Geochemistry*. Berlin: Springer-Verlag.
- Wilson, M. (1989) *Igneous Petrogenesis: A Global Tectonic Approach*. London: Unwin Hyman, Boston, Sydney, Wellington, 466 p.
- Winchester, J. A. and Floyd, P. A. (1977) Geochemical discrimination of different magma series and their differentiation products using immobile elements. *Chem. Geol.* 20: 325-343.
- Wood, D. A. (1980) The application of a Th-Hf-Ta diagram to problems of tectonomagmatic classification and to establishing the nature of crustal contamination of basaltic lavas of the British Tertiary volcanic province, *Earth Planet. Sci. Lett.* 50: 11-30.



Wyllie, P. J. (1981) Plate tectonics and magma genesis, *Geol. Rundsch.* 70: 128-153.

# لا تنسى الدعاء والصلاه ع النبي ♥

## الباب السادس

### جيوكيمياء الصخور الرسوبية

#### ♦ التجوية

\* التجوية الفيزيكية \* التجوية الكيميائية \* البكتيريا ودورها فى  
عملية التجوية \* نواتج التجوية الكيميائية

#### ♦ نواتج الترسيب

\* الصخور الرملية \* المعادن الطينية \* صخور الطفلة

#### ♦ التربة

#### ♦ رسوبيات الكربونات

#### ♦ الترسيبات الملحة

الصخور الرسوبية هي نواتج التجوية المتماسكة لصخور سابقة التكوين، سواء كانت هذه الصخور نارية، أو متحولة، أو رسوبية. وعمليات التجوية هي نوع من التحطيم الكيميائي والفيزيقي الناتج عن التأثير المزدوج والمباشر للغلاف الجوي والغلاف المائي على مكونات القشرة الأرضية. وهناك نوعان رئيسان من أنواع التجوية هما:

(1) التجوية الفيزيكية

(2) التجوية الكيميائية

## التجوية

### أولاً: التجوية الفيزيكية

التجوية الفيزيكية (الميكانيكية) هي عمليات التكسير والتفتيت الميكانيكي الذي تتعرض له مواد القشرة الأرضية وغير المصحوب بأية تفاعلات كيميائية للمكونات. يظهر تأثير مثل هذه العمليات بشكل واضح في المناطق الجافة النادرة الأمطار، أو في المناطق الشديدة البرودة كالمناطق القطبية، حيث يكاد ينعدم أى تأثير كيميائي على المكونات الصخرية. أما في المناطق التي تنشط فيها عمليات التجوية الكيميائية، فإن التجوية الميكانيكية وما ينتج عنها من تكسير وتشقق للصخور تساعد كثيراً في تعميق تأثير التجوية الكيميائية على المكونات الصخرية.

نكتفي هنا بهذه النبذة المختصرة عن التجوية الفيزيكية، ونعرض بشيء من التفصيل لعمليات التجوية الكيميائية، لما لها من أهمية كبرى في دراسة جيوكيمياء الصخور الرسوبية. وسوف نركز هنا على ظواهر توزيع distribution وحركة mobility العناصر أثناء عمليات التجوية والنقل والترسيب، وطبيعة تركيزاتها في النواتج الرسوبية المتنوعة.



## ثانياً: التجوية الكيميائية

التجوية الكيميائية هي محصلة تلك التفاعلات الكيميائية التي تتم بين مكونات الصخور ومكونات الماء والهواء على سطح القشرة الأرضية أو بالقرب منها.

الكثير من المعادن السليكاتية والكبريتيدية وغيرها من المعادن التي تصل إلى حالة من الاستقرار في بيئات نشأتها في باطن الأرض تصبح غير مستقرة عندما تنتقل إلى سطح القشرة الأرضية. يرجع سبب ذلك إلى تغير الظروف الكيميائية والفيزيائية السائدة على السطح عن تلك التي تكونت في ظروفها هذه المعادن. فتكون أي مركب كيميائي في أية بيئة من البيئات يعني الوصول إلى حالة اتزان بين المركب وجميع المعالم parameters الكيميائية والفيزيائية السائدة في هذه البيئة كما سبق أن أوضحنا في الباب الثالث. وعندما تتغير هذه المعالم، بسبب انتقال هذا المركب إلى بيئة أخرى مثلاً، يحدث اختلال لحالة الاتزان بين مكونات هذا المركب، وتبدأ في الدخول في تفاعلات كيميائية مع البيئة الجديدة لتصل من خلالها إلى حالة اتزان كيميائي وفيزيقي جديد مع البيئة الجديدة، وتبدأ العناصر التي ارتبطت بروابط كيميائية في البيئة الأولى في التحرر من تلك الروابط والخضوع لمعايير توزيع جديدة تختلف عن معايير التوزيع في البيئة الأولى.

تختلف مكونات الصخور المعدنية من حيث مدى تأثرها بعمليات التجوية وذلك تبعاً لاختلاف ظروف تكونها. ولقد وجد جولديك (Goldich) عام 1938 أن ترتيب مقاومة المعادن المكونة للصخور النارية لعمليات التجوية هو عكس ترتيبها في سلسلة بوين Bowen للتفاعل. وقد سميت سلسلة استقرارية المعادن أمام عمليات التجوية بسلسلة الاستقرار لجولديك وهي كما يلي:

بلاجيوكليز صودي ← بلاجيوكليز كلسي  
كوارتز — مسكوفيت — فلسبار بوتاسي  
بيوتيت — أمفيبول — بيروكسين — أوليفين  
تقل الاستقرارية ←

فتقل المقاومة في المتوالية من اليمين إلى اليسار. ولا يعنى ترتيب المعادن هذا بالطبع إمكانية حدوث تفاعل عكسي، كما هو الحال أثناء عملية التبلور، لأنه لا يحدث تفاعل بين مكونات هذه المعادن أثناء التجوية، وإنما يتحلل كل معدن بفعل التجوية الكيميائية، ويتجزأ إلى مكونات أقل تعقيدا. ويدل هذا التوافق بين سلسلتى بوين وجولديك على أن المعادن السليكاتية المكونة للصخور النارية التى تتكون فى المراحل النهائية لتبلور الصهير (كوارتز ومسكوفيت وفلسبار بوتاسى) أكثر استقراراً فى درجات الحرارة السائدة على سطح القشرة الأرضية من تلك التى تتكون فى مراحل التبلور المبكرة، وهذا متوقع لأن المعادن التى تتكون فى المراحل المتأخرة من مراحل تبلور الصهارة (فى درجة حرارة منخفضة نسبياً) وتمثل المعادن الأكثر ثباتاً أو استقراراً فى درجات الحرارة المنخفضة وفى وجود الماء عن المعادن التى تتبلور فى المراحل المبكرة، ويعنى هذا أن عناصر الصخور فوق المافية والمافية (عناصر معادن الأوليفين والبيروكسين والأمفيبول والبلاجيوكليز الكلسي) أكثر تحررية (أكثر حركة) more mobile من عناصر الصخور الفلسية (عناصر معادن الفلسبارات القلوية والمايكا).

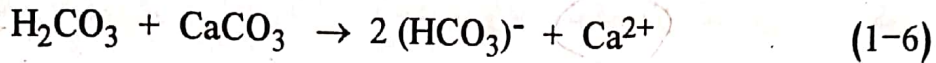
أهم تفاعلات التجوية الكيميائية هى التأين ionization، والتميؤ hydrolysis، والأكسدة oxidation، إضافة إلى التفاعلات العضوية organic reactions.

### التأين

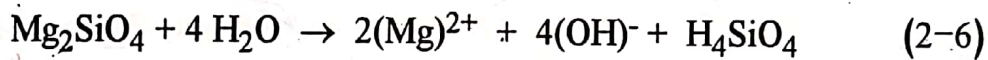
التأين هو أحد عمليات التجوية الكيميائية التى ينتج عنها إذابة بعض مكونات المعادن أو جميعها وتكون أيونات ذائبة فى الماء. تختلف درجة قبول المعادن للذوبان من معدن إلى آخر، وأكثرها قابلية للذوبان معدن الهاليت (ملح الطعام) وأقلها المعادن السليكاتية. ويلعب الأس الهيدروجيني (pH) للماء دوراً هاماً فى عمليات الإذابة. والأس الهيدروجيني هو اللوغاريتم السالب لتركيز أيونات الهيدروجين فى المحلول (الماء)، وتساوى قيمته للمياه النقية العذبة 7، أما مياه الأمطار فيساوى أسها الهيدروجيني بين 5 و 6 أى حمضية ضعيفة، وذلك لاحتوائها على ثانى أكسيد الكربون الذى يذوب بها من الغلاف الجوى. ينخفض الأس الهيدروجيني لمياه الأمطار فى المناطق الصناعية إلى ما دون 3.5، وذلك بسبب تلوث الجو

بالعديد من الغازات المتصاعدة من المصانع أو من البراكين فى المناطق ذات النشاط البركانى.

ينتج عن ذوبان ثانى أكسيد الكربون فى الماء تكون حمض الكربونيك الذى يتسبب فى إذابة وغسل العديد من مكونات المعادن من العناصر. فيتأثر الكالسيوم مثلاً إلى حد كبير بملامسته لمثل هذه المياه، ويذوب فيها وذلك تبعاً لمعادلة التفاعل التالية:

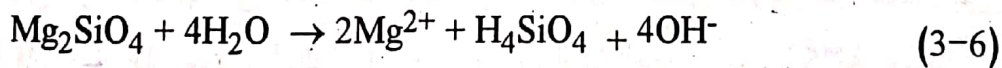


تتساوى درجات ذوبانية المعادن الكربوناتية، مثل الكالسيت والأراجونيت والمغنيسيت والدولوميت، ولو أن المغنيسيت والدولوميت أبطأ ذوباناً من الأراجونيت والكالسيت. تتأثر المعادن السليكاتية كذلك بمثل هذه المياه، ويتعرض بعض مكوناتها لعمليات الغسل، وتتحول إلى الحالة الأيونية الذائبة فى الماء، كما يظهر ذلك من معادلة التفاعل التالية:



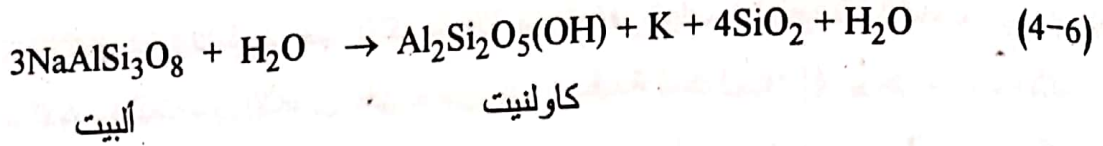
### التميو

التميو هو التفاعل الذى ينتج عنه حمض ضعيف مثل حمض السيليسيك ( $\text{H}_4\text{SiO}_4$ ) أو قاعدة ضعيفة مثل هيدروكسيد الأمونيوم ( $\text{NH}_4\text{OH}$ ). تحدث مثل هذه التفاعلات أثناء التجوية الكيميائية للمعادن السليكاتية وذلك كما يلى:



كما يتضح لنا من المعادلة، تتعرض كاتيونات المغنسيوم لمعادن الأوليفين أثناء عمليات التجوية للإزالة فى شكل أيونات ذائبة فى الماء (عملية تأين). وتتكون أيونات الهيدروكسيل  $(\text{OH})^-$  المركبة إلى جانب حمض السيليسيك الضعيف. يحدث نفس التفاعل لو تعرضت معادن الفلسبار لعمليات التجوية، فتزال كاتيونات الكالسيوم والصوديوم أو البوتاسيوم وتذوب فى الماء، وتحل أيونات الهيدروكسيل المركبة  $(\text{OH})^-$  محل الأكسجين فى وحدة الخلية وذلك تبعاً للتفاعل التالى:





يسنتظم فى بنية الكاولنيت ستة من أيونات الهيدروكسيل حول الألومنيوم، وتحقق التناسق السداسى الذى يميل إليه الألومنيوم فى درجات الحرارة المنخفضة، فى حين يبقى السليكون فى تناسقه الرباعى.

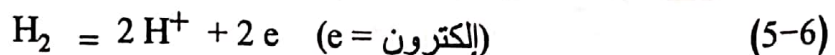
فى بداية هذه العمليات يكون السليكون والألومنيوم مثله مثل الكاتيونات الأخرى فى الحالة شبه الأيونية، لكنهما سرعان ما يبدأ فى التجمع فى شكل غرويات تكون فى بداية تجمعها فى الحالة الغروية (غير متبلورة)، غير أنها تبدأ، بمرور الوقت واستمرار تجمعها، فى التبلور فى الشكل البلورى للمعادن الطينية.

### الأكسدة

بالرغم من أهمية التآين والتميو فى التجوية الكيميائية للمعادن السليكاتية والكربوناتية، إلا أن عمليات الأكسدة تمثل أهم عمليات التجوية بالنسبة لجيوكيمياء الصخور الرسوبية.

أكثر مكونات الصخور من العناصر تأثرا بعمليات الأكسدة هى الحديد، والمنجنيز، والكبريت. كما أن هناك بعضا من العناصر الثانوية والنادرة التى تلعب عمليات الأكسدة دورا هاما فى آلية انتشارها، ومن أمثلتها عناصر اليورانيوم، الأنثيمون والفناديوم والكوبلت والنحاس.

تعتمد حركية (أو تحررية) العنصر فى أى حالة من حالات الأكسدة على مدى التغير الحاصل فى الطاقة، والذى يمكن أن يقود إلى إضافة أو إزالة إلكترونات إلى أو من الأغلفة الخارجية. وكمعيار لمثل هذا التغير فى الطاقة وضعت قيمة أطلق عليها "جهد الأكسدة والاختزال oxidation-reduction potential" وسوف نطلق عليها اختصارا "جهد الأكسدة". تأخذ جهود الأكسدة للتفاعلات قيما نسبية منسوبة إلى تفاعل الأكسدة الذى يتعرض له الهيدروجين فى درجة حرارة 25 °م و واحد ضغط جوى وذلك تبعا للمعادلة التالية:



وقد تم الاتفاق على تثبيت جهد الأكسدة هذا عند "صفر فولت" (0.00 volt). وتمتد قيم جهود الأكسدة للعناصر الأخرى على جانبي هذه القيمة (جدول 1-6). يرمز لجهود الأكسدة التي تحدث في ظروف معيارية ثابتة (25 °م و واحد ضغط جوى) بالرمز "E"، وبالرمز "Eh" للتفاعلات التي تحدث في ظروف تحديد عن الظروف المعيارية.

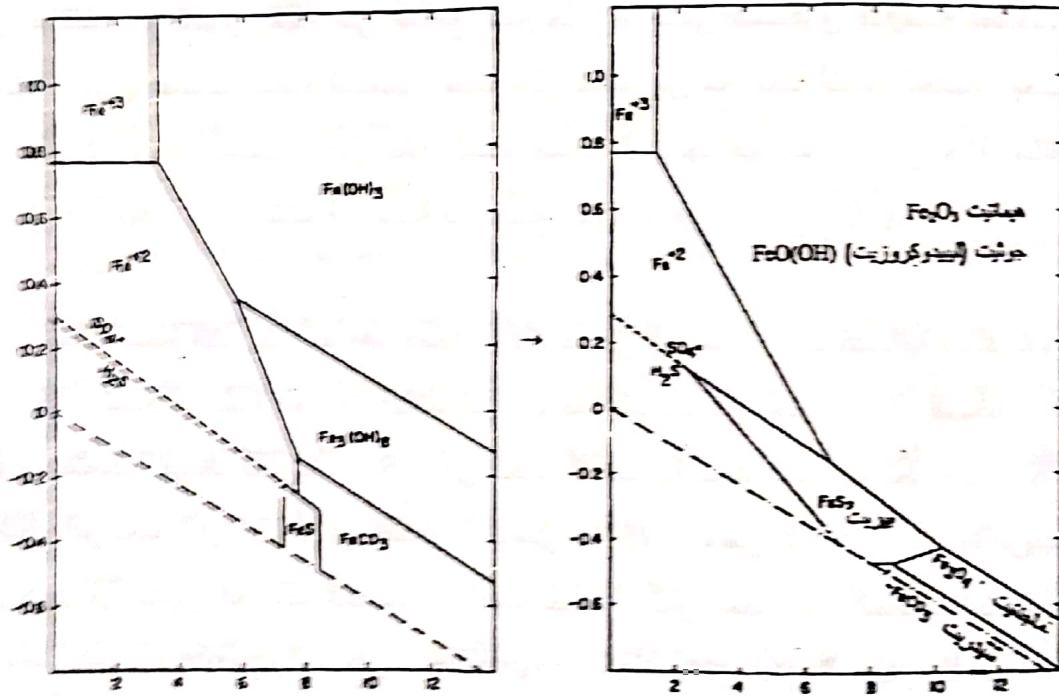
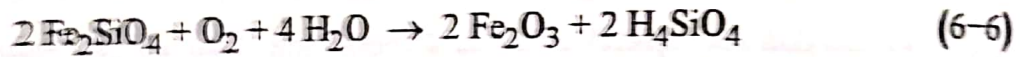
جدول 1-6 جهد الأكسدة لبعض التفاعلات المهمة جيوكيميائيا.

| جهد الأكسدة بالفولت<br>[E° (in volts)] | التفاعلات   |
|--|---|
| 1.84                                   | $\text{Co}^{2+} = \text{Co}^{3+} + e$   |
| 1.75                                   | $\text{Ni}^{2+} + 2 \text{H}_2\text{O} = \text{NiO}_2 + 4 \text{H}^+ + 2 e$           |
| 1.51                                   | $\text{Mn}^{2+} = \text{Mn}^{3+} + e$   |
| 1.46                                   | $\text{Pb}^{2+} + 2 \text{H}_2\text{O} = \text{PbO}_2 + 4 \text{H}^+ + 2 e$           |
| 1.23                                   | $2 \text{H}_2\text{O} = \text{O}_2 + 4 \text{H}^+ + 4 e$                              |
| 0.84                                   | $(\text{NH}_4)^+ + 3 \text{H}_2\text{O} = (\text{NO}_3)^- + 10 \text{H}^+ + 8 e$      |
| 0.77                                   | $\text{Fe}^{2+} = \text{Fe}^{3+} + e$   |
| 0.49                                   | $\text{Ni}(\text{OH})_2 + 2(\text{OH})^- = \text{NiO}_2 + 2 \text{H}_2\text{O} + 2 e$ |
| 0.40                                   | $4(\text{OH})^- = \text{O}_2 + 2 \text{H}_2\text{O} + 4 e$                            |
| 0.25                                   | $\text{PbO} + 2(\text{OH})^- = \text{PbO}_2 + \text{H}_2\text{O} + 2 e$               |
| 0.20                                   | $\text{Co}(\text{OH})_2 + (\text{OH})^- = \text{Co}(\text{OH})_3 + e$                 |
| 0.14                                   | $\text{S}^{2-} + 4 \text{H}_2\text{O} = (\text{SO}_4)^{2-} + 8 \text{H}^+ + 8 e$      |
| 0.00                                   | $\text{H}_2 = 2 \text{H}^+ + 2 e$   |
| 0.12 <sup>-</sup>                      | $\text{NH}_3 + 9(\text{OH})^- = (\text{NO}_3)^- + 6 \text{H}_2\text{O} + 8 e$         |
| 0.40 <sup>-</sup>                      | $\text{Mn}(\text{OH})_2 + (\text{OH})^- = \text{Mn}(\text{OH})_3 + e$                 |
| 0.56 <sup>-</sup>                      | $\text{Fe}(\text{OH})_2 + (\text{OH})^- = \text{Fe}(\text{OH})_3 + e$                 |

عن: ماسون ومور (Mason & Moore 1982)

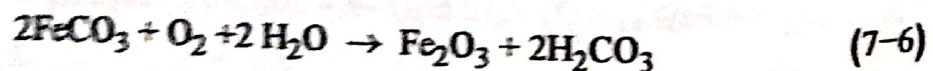
تتأثر جهود الأكسدة جدا بالأس الهيدروجيني (pH)، ويشكل الاثنان أهم معايير البيئات الترسيبية، حيث يرسمان معا حدود استقرارية المعادن في البيئات المختلفة. ويوضح شكل 1-6 هذه العلاقة لتفاعلات الحديد، أحد أكثر العناصر انتشارا في الصخور وأكثرها

تتأثر بعمليات الأكسدة. يوجد الحديد في الصخور النارية والمتحولة في الشكل الثلاثي التأكسدي (حديدوز) ( $Fe^{2+}$ )، ويبقى على هذه الحالة طالما بقيت معادن هذه الصخور بعيدة عن تأثيرات التجوية الكيميائية. لكن، حالما تنتقل هذه الصخور إلى سطح الأرض التي تسيطر عليها عوامل التجوية يبدأ الحديدوز في التأكسد ويتحول بذلك إلى الحديد ثلاثي التأكسدي ((الحديد)) ( $Fe^{3+}$ )، الذي يوجد في عدة أشكال من أهمها الهيماتيت ( $Fe_2O_3$ ) وتوجد أحياناً معادن هما الجوثيت goethite والليدوكرووسيت lepidocrocite  $FeO(OH)$  وذلك تبعاً لظروف التآلية :



شكل 6-1 أصناف الحديد الممكن تكونها في ظروف مختلفة من Eh و pH .  
بتصرف عن: ماسون ومور (Mason & Moore 1982)

من معادن الحديد التي تتأثر بسهولة بعمليات الأكسدة معادن السيليتريت (كربونات الحديد) والتي ينتج عن تأكسدها أكاسيد الحديد (الهيماتيت) كما يلي:

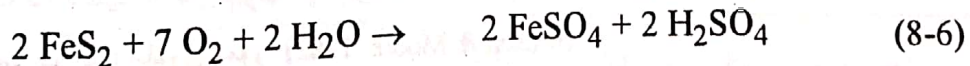




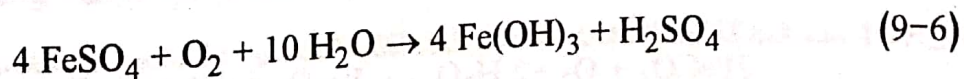
يشبه المنجنيز الحديد في انتشاره وسلوكه عند تعرضه لعمليات التجوية والأكسدة، حيث يوجد في المعادن الأولية كمركبات منجنوز ( $Mn^{2+}$ ) كما في معدن الرودونيت  $[(Mn, Ca, Fe)SiO_3]$ ، كما يدخل في تركيب المعادن الحديدومغنيسية السليكاتية بإحلاله محل الحديد في نسيج هذه المعادن.

ولتصور مجرى تفاعلات معادن المنجنيز، ما علينا إلا أن نضع ( $Mn_2SiO_4$ ) مكان ( $Fe_2SiO_4$ ) أو ( $MnCO_3$ ) (الرودوكروزيت) مكان السيدريت في معادلات التفاعل 6-6 و 6-7، وينتج عن مثل هذه التفاعلات أكسيد المنجنيز ( $MnO_2$ ) أو البيروكسيت أو أحد تعدداته الشكلية، مثل البيرنيسيت bernissite. توجد أكاسيد المنجنيز هذه كمكونات سوداء في شكل غطاءات أو قشور رقيقة على السطح الخارجي، أو في الشقوق الدقيقة للصخور المختلفة. تكون عمليات أكسدة المنجنيز أحياناً أكثر تعقيداً من مجريات أكسدة الحديد، ويعود سبب ذلك إلى وجود المنجنيز على حالة أكسدة إضافية لا يوجد فيها الحديد وهي حالة التكافؤ الرباعي ( $Mn^{4+}$ )، ولكن النتيجة النهائية في جميع الحالات هي الـ ( $MnO_2$ ).

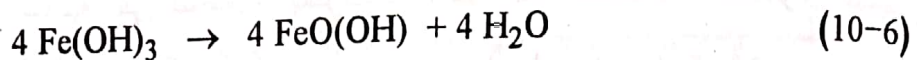
تمثل أكسدة الكبريت أحد أهم عمليات الأكسدة في الدراسات الجيوكيميائية وذلك للدور البارز الذي تلعبه في نشأة الخامات الاقتصادية. يوجد الكبريت في الطبيعة، مثل المنجنيز، في تكافؤات متعددة. فيوجد ككبريتيد  $S^{2-}$  أو في الحالة العنصرية كخام الكبريت الطبيعي S أو في شكل كبريتات  $(SO_4)^{2-}$  أو في التكافؤ السداسي ( $S^{6+}$ ). ويحظى التكافؤ الثنائي (الكبريتيد) الذي يدخل في تكوين الخامات الكبريتيدية بأهمية خاصة. أكثر معادن هذه الخامات انتشاراً هما معدنا البيريت pyrite والماركزيت FeS<sub>2</sub> marcasite. يتأثر هذان المعدنان بكل سهولة بعمليات التجوية وينتج عن تفاعلها كبريتات الحديدوز وذلك طبقاً لمعادلة التفاعل التالية:



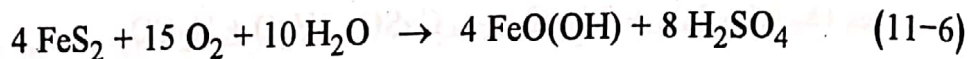
تتعرض كبريتات الحديدوز الناتجة، وغير المستقرة، حال تكونها لعمليات الأكسدة، وينتج عن مثل هذا التفاعل هيدروكسيد الحديد كما يلي:



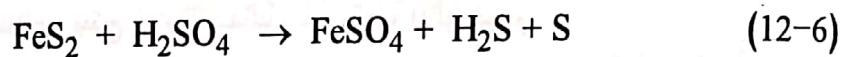
ثم يبدأ هيدروكسيد الحديد المتكون في التحول إلى جوثيت أو لبيدوكروسييت كما يلي:



ويمكن تلخيص معادلات التفاعل الثلاث (8-6) و (9-6) و (10-6) في المعادلة التالية:



يقوم حمض الكبريتيك الناتج بالتفاعل مع مزيد من كبريتيدات الحديد كما يلي:



تفسر المعادلة 12-6 ظاهرة وجود الكبريت الطبيعي أحيانا حول بعض المحاجر، كما تفسر كذلك ارتفاع نسبة الـ  $\text{H}_2\text{S}$  حول مناجم الفحم ونفايات المناجم. قد تتفاعل كبريتات الحديدوز الناتجة في المعادلة 12-6 تبعا للمعادلة 9-6، وينتج عن ذلك تكون المزيد من حمض الكبريتيك الذي يكون عاملا مساعدا لتجوية المزيد من المعادن الكبريتيدية الأخرى مثل كبريتيدات النحاس، الزنك، الزرنيخ والفضة، حيث يبدأ الأس الهيدروجيني (pH) للمياه في المنطقة، نتيجة لتكون حمض الكبريتيك، في الهبوط من 7 إلى 2.5، وتشتد بذلك حموضة المياه التي تبدأ في مهاجمة المعادن الأخرى وخاصة الكبريتيدية منها، وينجم عن ذلك إذابة لمكوناتها المختلفة الرئيسية أو الثانوية، وتنتشر عناصر الـ  $\text{Ag, Zn, Cu, Ni, Se, Co}$  في المنطقة المحيطة. وعلى نفس نمط معادلات التفاعلات (8-6)، (9-6)، (10-6) و (11-6)، تتم أكسدة العديد من المعادن الكبريتيدية الأخرى، مثل الكالكوبيريت ( $\text{CuFeS}_2$ ) والبورنييت ( $\text{Cu}_5\text{FeS}_4$ ). وتتأكسد الكبريتيدات البسيطة، التي لا تحتوى على الحديد مثل الإسفالريت ( $\text{ZnS}$ ) والجالينا ( $\text{PbS}$ ) مباشرة، أو تتعرض للذوبان بواسطة حمض الكربونيك.

يتضح لنا مما سبق أن أكسدة أى معدن كبريتيدى تقود إلى خفض شديد للأس الهيدروجيني للمحاليل، وتحويلها إلى محاليل أكثر حمضية وشراسة لمهاجمة المزيد من المعادن، وتكثيف لعمليات التجوية الكيميائية في المنطقة. لا يقتصر عمل مثل هذه المحاليل

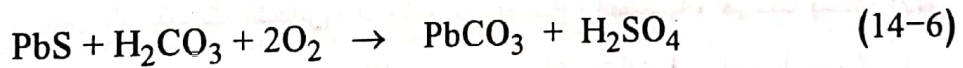


على مهاجمة المعادن الكبريتيدية فقط، بل يمتد تأثيرها إلى المكونات الأخرى للصخور وإزالة كل أثر للتجمعات المعدنية على السطح أو بالقرب منه؛ فلو كانت المنطقة تحتوى على صخور جيرية لتفاعل حمض الكبريتيك معها ونتج عن مثل هذا التفاعل الجبس تبعا لمعادلة التفاعل التالية:



أو تتفاعل هذه المحاليل مع مكونات صخرية أخرى مثل الطين الألوميني aluminous clay وينتج عن التفاعل كبريتات الألومنيوم.

يعمل احتواء مياه الأمطار والمياه الجوفية على حمض الكربونيك أيضا إلى تفاعل هذه المياه مع الكبريت والمعادن الكبريتيدية عند ملامسته لها، ويقود ذلك إلى أكسدها، وينتج عن هذا التفاعل تكون كربونات الرصاص (السيروسييت) ( $\text{cerussite PbCO}_3$ ) غير القابلة للذوبان في الماء، كما يتضح ذلك من خلال معادلة التفاعل التالية مع الجالينا:



يتفاعل حمض الكبريتيك الناتج مع مزيد من الجالينا، وينتج عن هذا التفاعل كبريتات الرصاص (الأنجليزيت) ( $\text{anglesite PbSO}_4$ )، التي تترسب حال تكونها كطبقة رقيقة على الجالينا تحول دون استمرار التفاعل. يعطى لنا هذا المثال صورة عن الدور الذى يمكن أن تلعبه نواتج التجوية الكيميائية فى استمرارية أو الحد من ذوبان وتحرك بعض العناصر. فتكون كبريتات الرصاص على الجالينا يوقف من استمرار ذوبان الرصاص وتحركه، بخلاف ما يحدث مع كبريتيدات النحاس والزنك، التى ينتج عن تفاعلها كبريتات النحاس والزنك السريعة الذوبان فى الماء، والتى تساعد على التحرك المتواصل لهذه العناصر وانتشارها فى المناطق المجاورة لمناطق تمعدنها.



## البكتيريا ودورها فى عمليات التجوية

تلعب العضويات الدقيقة دورا مميزا فى الدورة الجيوكيميائية للعديد من العناصر. فهناك مجموعة من البكتيريا التى يطلق عليها اسم فيروباسيلوس *ferrobacillus* لديها القدرة على أكسدة الحديدوز، فى حين تقوم أنواع أخرى تعرف تحت اسم تيوباسيلوس *tiobacillus* بأكسدة الكبريتيدات، وتعمل أنواع أخرى على اختزال المركبات الكبريتية غير العضوية إلى كبريتات. وتعيش معظم أنواع البكتيريا هذه فى بيئات مائية يتراوح أسها الهيدروجينى بين 2-3. وعندما تقوم هذه الأنواع من البكتيريا بلامسة مركبات من كبريتيدات الحديد، مثل البيريت والكالكوبيريت، فإنها تتفاعل معها وينتج عن هذا التفاعل حمض الكبريتيك ويذوب الحديد والنحاس فى الماء.

وقد تمت الاستفادة من هذه الظاهرة فى تنقية واستخلاص الخامات من نفايات المناجم فنجند، مثلا أن تقريبا 10% من إنتاج الولايات المتحدة الأمريكية من النحاس يتم الحصول عليه من غسل نفايات المناجم بمحاليل مائية مذاب فيها بكتيريا قادرة على إذابة كبريتيدات النحاس. وهناك أنواع أخرى من البكتيريا قادرة على أكسدة المنجنيز ثنائى التكافؤ ( $Mn^{2+}$ ) إلى الشكل الرباعى التكافؤ ( $Mn^{4+}$ )، وينتج عن ذلك أكسيد المنجنيز الأمر الذى ساعد فى الفصل بين الحديد والمنجنيز فى الطبيعة.

هناك الكثير من المعلومات عن البكتيريا، ونشاطاتها فى عمليات التجوية الكيميائية، ودورها فى تكون الخامات وتحللها. لمزيد من الفائدة حول هذا الموضوع على القارئ مراجعة: بارك وماكديرميد (1975) (Park and MacDiarmid)، وكراوسكوف (Krauskopf 1979)، و ترودينجر وآخرين (1972) (Trudinger et al.).

## نواتج التجوية الكيميائية

يمكن تمثيل نواتج التجوية الكيميائية فى مجاميع المواد الأربع التالية:

- 1- مكونات ذائبة تزال بعوامل التجوية.
- 2- معادن أولية متخلفة لم تتأثر بعمليات التجوية.

3- معادن جديدة متكونة أثناء تفاعلات التجوية.

4- مركبات عضوية ناتجة عن تحلل المواد العضوية.

ويوضح جدول 2-6 مكونات هذه المجاميع من المواد.

جدول 2-6 تصنيف للمواد الناتجة عن عمليات التجوية الكيميائية.

|                    |  |
|--------------------|--|
| مواد ذائبة         | $(Na^+)$ ، $(Ca^{2+})$ ، $(K^+)$ ، $(Mg^{2+})$ ، $H_4SiO_4$ ، $[HCO_3]^-$ ، $[SO_4]^{2-}$ ، $(Cl^-)$ . |
| معادن أولية متخلفة | كوارتز، زركون، ماجنتيت، إلمنيت، روتيل، جارنت، سفين، ثورييت، تورمالين، مونايت.                          |
| معادن جديدة        | كاولنيت، إليت، كلوريت، جوثيت، هيماتيت، جبسيت، بوهميت، دياسبور، سليكا غير متبلورة، بيرولوزيت.           |
| مركبات عضوية       | أحماض عضوية، أحماض دبالية (Humic acids).   |

من أجل التعرف على مجريات تفاعلات التجوية الكيميائية ووضع معايير لها، أجرى العديد من الدراسات. وأخذ هذه الدراسات ما قام به بونزينبرج وكليمسنس (Bunsenberg and Clemency 1976)، لتفسير مراحل ذوبانية الفلسبارات ومراقبة مجرياتها على مدى فترة طويلة من الوقت وفي درجة حرارة 25 °م وواحد ضغط جوى. أشارت نتائج هذه الدراسات إلى أن تحرر كاتيونات معادن الفلسبار مثل  $Ca^{2+}$ ،  $Na^+$ ،  $K^+$  وانتقالها إلى الحالة الأيونية الذائبة في الماء، وظهور النواتج النهائية الجديدة لعمليات التجوية يتم على أربع مراحل كما يلي:

#### 1- المرحلة الأولى

وهي المرحلة التي تلي اللحظة الأولى من التفاعل ويتم أثناءها حدوث تبادل بين كاتيونات السطح وهيدروجين الماء.

#### 2- المرحلة الثانية

ويتم فيها غسل مكثف للكاتيونات، وتكون هذه العملية مصحوبة بإنتاج لحمض السليسيك (معادلة رقم 4-6).

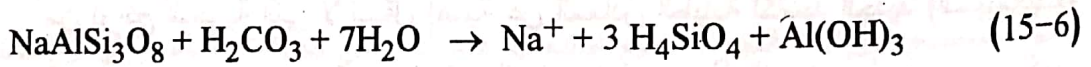
## 3- المرحلة الثالثة

وفيهما تتكون طبقة من المعادن الطينية الصفائحية على السطح الخارجى لمعادن الفلسبار تشبه فى تركيبها الكاولينيت أو الإليت. ويستمر فى هذه المرحلة تحرر الكاتيونات وتكون حمض السيليسيك ولكن بدرجة أقل من المرحلة الثانية، حيث تقف المعادن الطينية المتراكمة على السطح الخارجى لمعدن الفلسبار عائقا أمام استمرار نشاط انتشار أيونات الهيدروجين وتحرر الكاتيونات ووصولها إلى المحاليل، وتستمر هذه المرحلة حوالى تسعة عشر يوما.

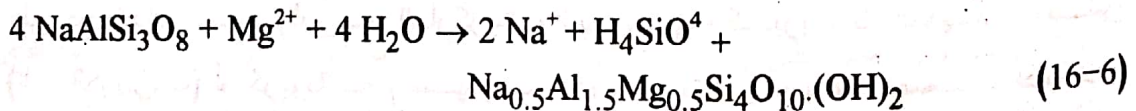
## 4- المرحلة الرابعة

وفيهما تبدأ تسود حالة من الاتزان بسبب وصول مواد الغطاء الخارجى (المعادن الطينية) إلى تركيب ثابت. ويستمر هنا انتشار المواد المتبادلة ولكن بدرجة ضئيلة جدًا أقل مما كان عليه الحال فى المرحلة الثالثة.

من ناحية أخرى أكد برنر (Berner 1971)، على أهمية تدفق الماء كعامل منظم لعمليات التجوية. وأشار إلى أنه فى حالات التدفق المتوسط للماء يتحول الأليت إلى كاولينيت كما هو مبين فى معادلة 4-6. أما فى حالة التدفق العالى، فإنه تتم إزالة سريعة لحمض السيليسيك الأمر الذى يقود إلى تكون الجبسيـت [Al(OH)<sub>3</sub>] Gibbsite بدلا من الكاولينيت كما يلى:



أما فى حالة التدفق البطئ، فإن عملية إزالة المواد المغسولة يكون بطيئا، وغير كامل، ويتكون المونتموريلونيت Montmorillonite فى وجود المغنسيوم كما يلى:



مونتموريلونيت

توضح المعادلتان 15-6 و 16-6 أمثلة لدور طبوغرافية المنطقة ومعدل سقوط الأمطار فى التحكم فى نواتج التجوية، فينتج عن تجوية معادن الفلسبار فى المناطق شديدة الأمطار وذات



الطبوغرافية العالية- بسبب معدل التصريف العالى للماء المناسب من خلال الصخور والترتبة- معادن البوكسيت مثل الجبسيات، فى حين يتكون المونتموريلونيت فى المناطق قليلة الأمطار والتميزة بطبوغرافية منخفضة، وبالتالي معدل تصريف بطئ للماء. أما بالنسبة للبيئات الوسط بين البيئتين السابقتين، فإن الناتج السائد لعمليات التجوية الكيميائية لمعادن الفلسبار هو الكاولينيت. ويعتبر الكاولينيت أكثر نواتج تجوية الفلسبارات انتشاراً. هذا ويلاحظ أن الأنواع الثلاثة من المعادن (الكاولينيت، الإليت والجبسيات) تنتج من نوع واحد من الصخور فى مناطق متفرقة تختلف عن بعضها البعض فى معدلات هطول الأمطار السنوية، إضافة إلى العامل الآخر المهم وهو معدل تصريف الماء.

أما عن دور طبيعة التركيب المعدنى للصخور والتركيب الكيميائى لمحاليل التجوية أشار برنر (Berner 1971)، إلى أن لهذه العوامل دوراً هاماً فى تحديد طبيعة المعادن الطينية الممكن تكونها. فتميل معادن الفلسبار، كما أشرنا، إلى التحول إلى كاولينيت فى حين يوفر وجود المعادن الحديدومغنسية المغنسيوم الذى يقود إلى تكون المونتموريلونيت، ويتحلى كل من البيوتيت والمسكوفيت بفعل عوامل التجوية إلى إليت.

وبالنسبة لمحاليل التجوية، فإن للأس الهيدروجينى دوراً بارزاً فى مسار عمليات التجوية، فتزداد شدة التجوية إذا كان مصدر المحاليل مناطق غنية بالمواد العضوية، أو الخامات الكبريتيدية التى ينتج عن تحللها انخفاض متزايد للأس الهيدروجينى، وبالتالي ازدياد عمق تأثير هذه المحاليل على مكونات الصخور.

من نواتج التجوية التى لا تقل أهمية عن المعادن الطينية أكاسيد الحديد (الهيماتيت) وهيدروكسيدات (جوثيت، ولبيدوكروسيات) وذلك لوفرتها وسهولة التعرف عليها. تتكون مثل هذه الأكاسيد والهيدروكسيدات من التجوية الكيميائية للمعادن الحديدومغنسية، وتترسب على السطح الخارجى لهذه الصخور، وبشكل خاص فوق مواقع خامات الركاز التى تحتوى على كبريتيدات الحديد (البيريت، الماركزيت والبيروتيت)، وكبريتيدات الحديد والنحاس (الكالكوبيريت) أو كربوناته (السيديريت و الأنكريت). وتعرف تجمعات أكاسيد وهيدروكسيدات الحديد هذه بالجوسان gossan. ويعتمد التركيب الكيميائى والمعدنى لترسبات الجوسان على درجة الأكسدة، والغسل، ونوعية وكمية المعادن الموجودة أصلاً أسفل منها. فلو احتوت خامات الركاز على خامات للنحاس لنتج عن التجوية الملاييت malachite

$\text{Cu}_2\text{CO}_3(\text{OH})_2$  أو الأزوريت  $\text{Cu}_3(\text{CO}_3)_2(\text{OH})_2$  azurite إلى جانب النحاس الأصلي Cu الذى يتكون نتيجة لاختزال النحاس إلى الحالة العنصرية، أو تتكون الكريزوكولا  $\text{CuSiO}_3 \cdot 2\text{H}_2\text{O}$  chrysocolla. وفى حالة وجود خامات للزنك فى المنطقة، يظهر فى تجمعات الجوسان إلى جانب المعادن المذكورة أعلاه - معادن السميثونيت smithsonite  $\text{ZnCO}_3$  أو الهيمورفيت  $\text{Zn}_4(\text{Si}_2\text{O}_7)(\text{OH})_2 \cdot \text{H}_2\text{O}$  hemimorphite ولو وجد الرصاص لظهر الأنجليزيت  $\text{PbSO}_4$  anglesite والسيروسيت  $\text{PbCO}_3$  cerussite.

### نواتج الترسيب

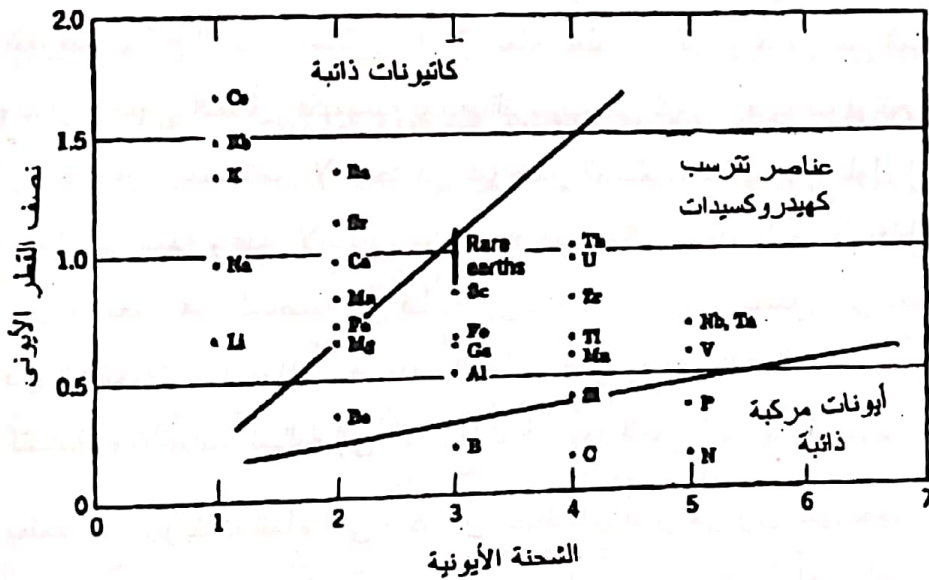
تتعرض نواتج التجوية المذكورة أعلاه أثناء عمليات النقل، وتفاعلها مع الماء، لإعادة توزيع وتمايز واسعى النطاق. فكيمائية نواتج الترسيب هى كيمياء تفاعلات نواتج التجوية مع الماء الذى ينفرد بخصائص لا توجد فى غيره من المحاليل. فلا يوجد محلول آخر يمكن مقارنته بالماء فى كمية وعدد الأصناف من المواد التى يمكن أن يذيبها أو الاحتفاظ بها فى الحالة الذائبة. وتعود هذه الخاصية إلى قطبية جزيئاته (انظر الباب التاسع) التى تعمل على الفصل بين الكاتيونات والأنيونات، فتتجذب الأقطاب الموجبة لجزيئات الماء إلى الأنيونات السالبة الشحنة، والأقطاب السالبة إلى الكاتيونات الموجبة فتمنع اتصالها وترسيبها.

يعتمد عدد جزيئات الماء التى يمكن أن تحيط بأى أيون مركزى على حجم الأيون، حيث تستطيع الأيونات الكبيرة الحجم استيعاب عدد أكبر من جزيئات الماء حولها والعكس. من ناحية أخرى، نجد أن درجة التميؤ لا تعتمد فقط على حجم الأيونات، ولكن كذلك على كثافة الشحنة الكهربائية على السطح الخارجى للكاتيون. فكثافة عالية للشحنات تعنى قوة جذب أكبر لجزيئات الماء. فنجد مثلاً أن عنصراً مثل الليثيوم Li، والذى يساوى نصف قطره 0.74 أنجستروم، يعمل على جذب عدد أكبر من جزيئات الماء حوله عن السيزيوم Cs، الذى يكبره فى الحجم (نصف القطر = 1.96 أنجستروم) ويساويه فى التكافؤ. من ذلك، يتضح لنا أن كثافة الشحنات على السطح الخارجى تتناسب طردياً مع الشحنة (التكافؤ) (Z) وعكسياً مع نصف القطر (r). وتساوى القيمة  $Z/r$  جهد التأين للعنصر المعنى. من ذلك، يتضح لنا



مدى أهمية جهد التأين في تحديد سلوك العناصر (الأيونات) في وجود الماء وتحديد مكانها من الترسيب أثناء تكون الصخور الرسوبية.

يلاحظ أنه عند توقيع العناصر على رسم بياني (شكل 2-6)، يمثل محوره الرأسى أنصاف الأقطار والأفقى الشحنة، أن العناصر يمكن تقسيمها تبعاً لجهد تأينها إلى ثلاث مجاميع تتشابه كل مجموعة منها في سلوكها الجيوكيميائى في وجود الماء. فتترسب العناصر ذات جهد التأين المتوسط بالتميو كهيدروكسيدات، في حين تبقى العناصر ذات جهد التأين المنخفض مثل الصوديوم والكالسيوم والمغنسيوم ذائبة في الماء حتى تصل إلى أحواض الترسيب الكبيرة، وتميل العناصر ذات جهد التأين العالى إلى تكوين أيونات مركبة ذائبة في الماء.



شكل 2-6 الفصل الجيوكيميائى لبعض العناصر الهامة على أساس جهدها الأيونى وشحنتها الأيونية.  
عن: ماسون ومور (Mason & Moore, 1982)

كمثال على أهمية جهد التأين في سلوك بعض العناصر في وجود الماء وتحديد مكانها أثناء عمليات الترسيب، نستعرض هنا تصرف كل من الألومنيوم ( $Z/r = 5.9$ ) والحديدوز ( $Z/r = 2.7$ ). فيترسب الألومنيوم، ذو جهد التأين الأعلى، مباشرة وبسرعة كبيرة بعد عمليات التجوية الكيميائية كجسيت ( $Al(OH)_3$ )، في حين يذوب الحديدوز في الماء ويبقى ذائبا به حتى يتأكسد إلى الحديدك ( $Z/r = 4.7$ ) فيبدأ ترسبه كهيدروكسيد الحديد  $[FeO(OH)]$ .



وتبعاً لذلك يتم ترسيب نواتج التجوية هذه وتجمدها إلى صخور رسوبية حسب الترتيب التالى:

(1) تتجمع المعادن الأصلية التى لم تتأثر، بسبب مقاومتها العالية، بعمليات التجوية مع بعضها البعض مكونة الصخور الرملية، ومن أهم هذه النواتج الكوارتز.

(2) تظل سليكات الألومنيوم الناتجة عن التحطيم الكيميائى لمعادن الفلسبار المختلفة، التى تكون فى بداية مراحل التجوية عالقة فى الماء كغرويات، ثم تبدأ تترسب مكونة الطمي المتكون أساساً من المعادن الطينية.

(3) بعد ترسب المعادن الطينية مباشرة يبدأ ترسب الحديد على هيئة أكاسيد وهيدروكسيدات مكوناً أحياناً تجمعات خامات الحديد.

(4) يترسب الكالسيوم الذائب فى الماء ككربونات كالسيوم، إما بمساعدة النشاط العضوى أو غيره، مكوناً الصخور الجيرية، التى تتحول عند تعرضها لعمليات تحول جزئى أو كلى إلى رخام marble، أو يتكون الدولوميت لو احتوت المحاليل الحاملة لنواتج التجوية على نسب عالية من المغنسيوم، الذى يتم ترسيبه فى هذه الحالة سوياً مع الكالسيوم.

(5) تتجمع بقية العناصر مثل الصوديوم، وجزء من البوتاسيوم، وما تبقى من الكالسيوم والمغنسيوم فى أحواض الترسيب بالبحار والمحيطات، ويتم ترسيبها فيما بعد عند تعرض مياه البحر لعمليات البخر مكونة التجمعات الملحة، أو ما يسمى بالمتبخرات evaporites، وأكثر هذه الأملاح تكوناً هي أملاح الصوديوم (الهاليت).

هذا هو مجرى الترسيب بالنسبة للعناصر الرئيسة والذى يمكن تلخيصه فيما يلى:

تتركز السليكا فى رسوبيات المتبقيات الأصلية، والألومنيوم فى المعادن الطينية، والحديد والمنجنيز فى الأكاسيد والكالسيوم، إضافة إلى بعض المغنسيوم فى الكربونات ويبقى الجزء الأكبر من الصوديوم ذائباً فى الماء ويتجمع فى البحار والمحيطات، أما البوتاسيوم فإن جزءاً كبيراً منه يُمْتز بوساطة المعادن الطينية، خصوصاً معدن المونتموريلونيت والجلوكونيت

Glaucanite. يضاف إلى هذه المجموعة الرسوبيات المختزلة، التي تشمل الفحم والزيوت، وكذلك ترسبات الخامات الكبريتيدية، وترسبات الكبريت.

## الصخور الرملية

تتكون الصخور الرملية أساساً من نواتج التجوية التي استطاعت، لسبب أو لآخر، أن تنجو من تأثيرات التجوية الكيميائية، ومن أهمها الكوارتز، أكثر معادن الصخور النارية مقاومة لعمليات التجوية الكيميائية، إلى جانب بعض الفلسبارات المتبقية. قد تحتوي الصخور الرملية كذلك على معدن أو أكثر من نواتج التجوية المستحدثة ومن أهمها المعادن الطينية. كما قد تحتوي، إلى جانب المعادن الرئيسية هذه، على بعض المعادن الثانوية الأخرى التي تتميز بمقاومتها لعوامل التجوية الكيميائية، مثل الزركون والماجنيت، والإلمنيت، والمونازيت، والروتيل، والكاسيتريت، وبنسب أقل الذهب، والبلاتين.

يختلف التركيب الكيميائي للصخور الرملية (جدول 6-3) تبعاً لاختلاف مكوناتها المعدنية. فقد تصل نسبة أكسيد السليكون في الأنواع التي تتكون أساساً من كوارتز والمعروفة بالأرثوكوارتزيت orthoquartzite إلى أكثر من 99%، في حين تنخفض هذه النسبة بعض الشيء في الأنواع التي تحتوي إلى جانب الكوارتز على كسرات من الفلسبار، وترتفع مقابل ذلك نسب أكاسيد كل من الألومنيوم والكالسيوم والصوديوم والبوتاسيوم. ويطلق على هذا النوع من الصخور الرملية "أركوز" arcose. وتُظهر الصخور الرملية التي تحتوي على معادن طينية كمادة لاحمة، والمعروفة بالجريواكي graywacke، ارتفاعاً ملحوظاً في نسب أكاسيد كل من الألومنيوم والحديد والمغنسيوم إلى جانب أكاسيد الكالسيوم والصوديوم والبوتاسيوم. هناك أنواع أخرى متفرعة من الجريواكي تكون المادة اللاحمة فيها مواد كربوناتية (كالسيت). يُظهر هذا النوع ارتفاعاً ملحوظاً في نسب كل من الكالسيوم وثاني أكسيد الكربون إلى جانب الأكاسيد الأخرى المذكورة أعلاه. يعود مصدر الأكاسيد الثانوية الأخرى مثل ( $\text{TiO}_2$ ,  $\text{P}_2\text{O}_5$ ,  $\text{MnO}$ )، والمبينة في الجدول المشار إليه، إلى معادن مثل الروتيل، الزركون، المونازيت، الإلمنيت، الإسفين والأباتيت أو التورمالين.

مما سبق، يتضح لنا أن الاختلافات في التركيب الكيميائي لا يمكن تفسير أسبابها إلا بمساعدة الدراسات البتروجرافية التي يجب أن تسير في خط مواز للدراسات الكيميائية، وذلك للتأكد من نوعية المعادن المتسببة في حدوث هذه الاختلافات وتحديد ما إذا كانت هذه المعادن من المتبقيات، أى التي اجتازت عمليات التجوية الكيميائية ولم تتأثر بها، أو أنها من المعادن الناشئة عن عمليات التجوية، التي تتواجد في معظم الحالات كمادة لاحمة. فأغلب أكاسيد العناصر المبينة بالجدول (3-6) يمكن أن يكون مصدرها كلا النوعين من المعادن، وفقط عن طريق الدراسات الميكروسكوبية يمكن تحديد أيهم الموجود بالفعل.

### المعادن الطينية

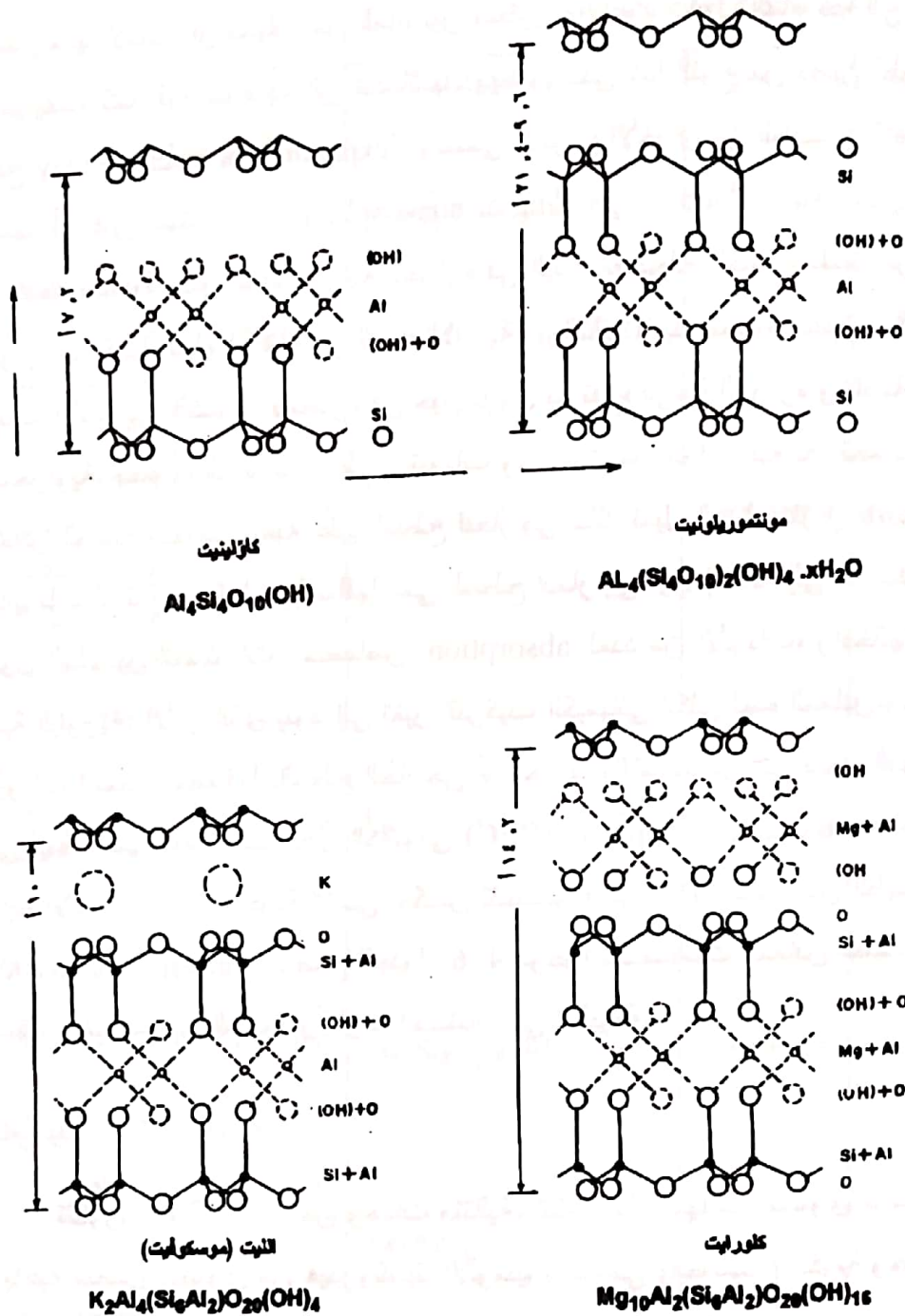
المعادن الطينية هي أحد أهم نواتج التجوية الكيميائية لمعادن سليكات الألومنيوم. أكثر هذه المعادن انتشاراً هي الكاولينيت، المونتموريلونيت، الإليت والكلوريت إلى جانب أنواع أخرى متعددة أقل انتشاراً.

كانت المعادن الطينية، ولا زالت، موضوع أبحاث متنوعة، خاصة في السنوات الأخيرة، وذلك لما تتميز به من خصائص كيميائية متميزة. وأفضل وصف كيميائي لهذه المعادن هو أنها سليكات ألومنيوم متميئة ذات نسيج صفائحي، يتكون من وحدات مركبة من نوعين من المستويات المتعاقبة فوق بعضها البعض في مستوى عمودي على مستوى الصفائح، أى في اتجاه المحور الرأسى. يتكون أحد هذه المستويات من رباعيات السليكا silica tetrahedra التي يقسم كل واحد منها ثلاثاً من أكسجيناته مع الأشكال الرباعية المجاورة بحيث تصبح النسبة  $\text{Si:O} = 2:5$ . في حين يتكون المستوى الأخير من ثنائيات الألومنيوم aluminum octahedra (الجبسيات) التي تتكون من أيونات من الأكسجين والهيدروكسيل تحيط بأيونات الألومنيوم أو المغنسيوم في تناسق سداسى مكونة شكل ثمانى تتصل المستويات بعضها ببعض مكونة المعادن الطينية (شكل 3-6).



جدول 3-6 التركيب الكيميائي للصخور الرسوبية

| نوع الصخر | جرانيت | جرانيت | جرانيت | جرانيت | جرانيت | جرانيت | جرانيت | جرانيت | جرانيت | جرانيت | جرانيت                          |
|-----------|--------|--------|--------|--------|--------|--------|--------|--------|--------|--------|---------------------------------|
| 11        | 10     | 9      | 8      | 7      | 6      | 5      | 4      | 3      | 2      | 1      |                                 |
| 3.24      | 00.75  | 00.29  | 1.15   | 25.05  | 56.29  | 84.14  | 65.00  | 68.84  | 72.21  | 99.54  | SiO <sub>2</sub>                |
| -         | 00.03  | -      | -      | -      | 00.64  | 00.22  | -      | 00.25  | 00.22  | 00.03  | TiO <sub>2</sub>                |
| 00.17     | 00.25  | 00.26  | 00.45  | 8.28   | 19.22  | 5.79   | 9.57   | 14.54  | 10.69  | 00.35  | Al <sub>2</sub> O <sub>3</sub>  |
| 00.17     | 00.64  | 00.11  | -      | 0.27   | 4.39   | 1.21   | 1.59   | 00.62  | 00.80  | -      | Fe <sub>2</sub> O <sub>3</sub>  |
| 00.06     | -      | -      | 00.26  | 2.41   | -      | -      | 1.08   | 2.47   | 00.72  | -      | FeO                             |
| -         | -      | 00.01  | -      | 4.11   | -      | -      | -      | -      | 00.22  | -      | MnO                             |
| 20.84     | 2.14   | 00.70  | 00.56  | 2.61   | 1.65   | 00.41  | 00.40  | 1.49   | 1.47   | 00.06  | MgO                             |
| 29.58     | 55.30  | 55.53  | 53.80  | 27.87  | 00.09  | 00.31  | 10.10  | 2.23   | 3.85   | 00.19  | CaO                             |
| -         | 00.01  | 00.07  | 00.07  | -      | 00.19  | 00.99  | 2.14   | 3.88   | 2.30   | -      | Na <sub>2</sub> O               |
| -         | 00.04  | 00.02  | -      | -      | 10.85  | 00.50  | 1.43   | 2.68   | 3.32   | -      | K <sub>2</sub> O                |
| -         | -      | 00.05  | -      | 00.08  | -      | -      | -      | 00.15  | 00.10  | -      | P <sub>2</sub> O <sub>5</sub>   |
| 00.30     | 00.50  | -      | 00.69  | 2.86   | 2.04   | 5.56   | 00.82  | 1.60   | 1.46   | 00.25  | [H <sub>2</sub> O] <sup>+</sup> |
| -         | -      | -      | 00.23  | 1.44   | 3.54   | -      | 00.23  | 00.35  | 00.08  | -      | [H <sub>2</sub> O]              |
| 45.54     | 43.54  | 43.42  | 42.69  | 24.20  | -      | -      | 6.90   | 00.14  | 2.66   | -      | CO <sub>2</sub>                 |
| -         | -      | 00.15  | -      | -      | -      | -      | -      | -      | -      | -      | SO <sub>3</sub>                 |
| 99.90     | 100.20 | 100.61 | 99.90  | 99.81  | 99.12  | 100.03 | 99.54  | 99.93  | 100.1  | 100.51 | المجموع                         |



شكل 3-6 رسم توضيحي لبنائيات المعادن الطينية. عن: جريم (Grim 1968).

تختلف المعادن الطينية عن بعضها البعض تبعاً لعدد المستويات الرباعية والثمانية المتصلة ببعضها البعض وطريقة اتصالها ببعضها ببعض، وتبعاً لذلك جرى تصنيف المعادن الطينية إلى ثلاث مجموعات. تختلف المعادن الطينية كذلك عن بعضها البعض تبعاً لميول

البعض منها لامتزاز كميات من الماء بين مستوياتها. يقود دخول الماء هذا إلى تمدد هذه المستويات، كما يقود خروجه إلى انكماشها. ويطلق على هذا النوع من الطين "طين متمدّد" أو منتفخ *expanding or swelling clay*. وتسمى الأنواع الأخرى من الطين "الطين غير المتمدّد" أو غير المنتفخ *non-expanding or non-swelling clay*. يرتبط دخول الماء هذا من عدمه بضغط بخار الماء ودرجة الحرارة في البيئة المحيطة. فكلما إرتفعت الرطوبة في الجو زادت كمية الماء الداخلة في البنية البلورية، وبالتالي يزيد التمدد. فيزيد التمدد في البيئات الاستوائية الكثيرة الأمطار، في حين يزول بارتفاع درجة الحرارة وخاصة في البيئات الصحراوية. يحتوى الماء عادة على كاتيونات وجزيئات من مواد ذائبة به. تحمل معظم المعادن الطينية شحنات سالبة على السطح الخارجى لذلك تميل إلى امتزاز *adsorb* بعض الكاتيونات الذائبة في الماء وإصاقها على السطح الخارجى لها. إضافة إلى ذلك يصاحب دخول الماء بين المستويات امتصاص *absorption* لعدد من الأيونات، وإدخالها إلى داخل البنية البلورية، الأمر الذى يقود إلى تغير التركيب الكيميائى الكلى لهذه المعادن. ويعتمد عدد الأيونات الممكن التصاقها بالسطح الخارجى أو دخولها بالامتصاص إلى داخل البنية البلورية على قيمة تسمى سعة التبادل الكاتيوني *cation exchange capacity (CEC)*، التى تقاس بكمية الأيونات المشحونة التى يمكن تثبيتها فى 100 جم من الطين الجاف *milliequivalent/100 g*. يوضح الجدول 4-6 موجزاً لتقسيمات المعادن الطينية. وفيما يلي وصف لأهم المعادن الطينية وأكثرها انتشاراً فى الطبيعة.

### الكاولينيت *kaolinite*

تتكون بنية الكاولينيت من وحدات متتالية، تتكون كل منها من مستوى من السليكا الرباعية متصل بمستوى من هيدروكسيد الألومنيوم الثماني (الجبسيت) مكونة وحدة بنائية صفائحية سمكها 7 أنجستروم بنية 1:1 (شكل 3-6)، وصيغتها الكيميائية  $[Al_4Si_4O_{10}(OH)_8]$ . يمثل الكاولينيت أحد المعادن الطينية التى لا تميل إلى امتزاز أى كميات من الماء بين مستوياته وبالتالي فإن إمكانية دخول مواد إضافية وإحلال الألومنيوم والسليكون بعناصر أخرى تكاد تكون معدومة. لذلك، يتميز بسعة إلكترونية منخفضة تساوى 3 - 5 mEq/100g، وهى تساوى كمية الأيونات الممكن تثبيتها على السطح الخارجى فقط للكاولينيت.



جدول 4-6 المجاميع الرئيسية للمعادن الطينية

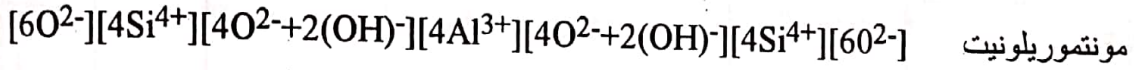
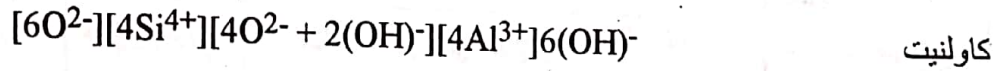
| عدد الصفات | قابلية التمدد | اسم المعدن   | صيغته الكيميائية                   | طاقة التبادل الكاتيوني (mEq/100g) | ظروف التكون   |
|------------|---------------|--------------|------------------------------------|-----------------------------------|---|
| 2          | غير قابل      | كاولنيت      | $Al_4Si_4O_{10}(OH)_8$             | 10 - 1                            | التجوية الكيميائية للصخور الفلسية في أوساط الـ pH المنخفضة والتصريف المتوسط.    |
|            | قابل          | هالويزيت     | $Al_4Si_4O_{10}(OH)_8 \cdot 4H_2O$ | 50 - 40                           |   |
| 3          | قابل          | مونتوريلونيت | $Al_4Si_8O_{20}(OH)_4 \cdot nH_2O$ | 140 - 80                          | التجوية الكيميائية للصخور المافية في أوساط الـ pH العالية والتصريف المنخفض.     |
|            | غير قابل      | إليت         | $K_{0-2}Al_4(Al,Si)_8O_{20}(OH)_4$ | 40 - 10                           | التجوية الكيميائية للمعادن الطينية الأخرى، يحتوى على نسب متفاوتة من البوتاسيوم. |
|            | قابل          | فيرميكليت    | $Mg_6Si_8O_{20}(OH)_4 \cdot nH_2O$ | 180 - 100                         | التجوية الكيميائية للمايكا، يحتوى على نسبة عالية من المغنسيوم.                  |
| 1 + 3      | غير قابل      | كلوريت       | $Mg_3Si_4O_{10}(OH)_2Mg_3(OH)_6$   | 5 - 1                             | متنوعة  |

عن: برونلو (Brownlow 1979).

يشبه الهالويزيت halloysite الكاولنيت في بنيته البلورية، ولكنه يختلف عنه في ميوله لامتزاز كميات من الماء بين مستوياته، وبالتالي قابليته للتمدد وإمكانية تغير تركيبه الكيميائي. يمكن إزالة هذا الماء عندما يتعرض المعدن للتسخين إلى درجة حرارة 110 °م (جدول 4-6).

المونتموريلونيت *montmorillonite*

يمثل معدن المونتموريلونيت (يعرف كذلك تحت اسم سميكتيت *smectite*) ثاني أهم المعادن الطينية. يتكون المونتموريلونيت من ثلاثة مستويات، يوجد فيها مستوى من وحدات ثمانية هيدروكسيد الألومنيوم (الجبسيت) بين مستويين من مستويات رباعيات السليكا (شكل 3-6) وتمثله الصيغة الكيميائية العامة  $[Al_4Si_8O_{20}(OH)_4]$  (Krauskopf 1967). وكما يتضح لنا، فإن نسبة السليكون إلى الألومنيوم هنا ضعف نسبتها في الكاولينيت. تظهر المقارنة التالية عدد أيونات مستويات نسيج كل من الكاولينيت والمونتموريلونيت :



ومنها يتضح لنا الفرق بين نسيجي المعدنين.

من الخصائص المهمة التي يتميز بها المونتموريلونيت قابليته لامتزاز كميات من الماء بين وحدات مستوياته، الأمر الذي ينجم عنه تمدد لنسيجه في الاتجاه العمودي على مستوى تصفحه. ويقود دخول الماء وما يحمله من مواد ذائبة إلى دخول العديد من العناصر، وتتعرض مكوناته للإحلال بواسطة هذه العناصر، فيتعرض الألومنيوم، في المستوى الثماني، لإحلال مكثف بواسطة الحديد والمغنسيوم وبدرجة أقل بواسطة الليثيوم والكروم والمنجنيز والنيكل، وقد يحل الألومنيوم محل السليكون، في المستوى الرباعي، وبذلك تصبح الصيغة الكيميائية المعدلة لمعدن المونتموريلونيت كالتالي:



ينجم عن إحلال السليكون رباعي التكافؤ بواسطة الألومنيوم ثلاثي التكافؤ نقص في مجموع الشحنات الموجبة أمام الشحنات السالبة والذي يمكن معادلته بعدة طرق كما يلي:

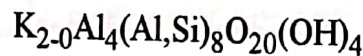
1- حدوث نقص في الشحنات السالبة نتيجة لحدوث إحلال مرادف لبعض أيونات الأكسجين بواسطة أيونات الهيدروكسيل.

2- السماح بدخول كاتيونات إضافية (ليس كإحلال لعناصر أخرى) فى الفراغات المتوفرة فى النسيج (حيث لا يشغل الألومنيوم إلا ثلثى المساحة المتوفرة له فى النسيج).

3- امتزاز كاتيونات على أسطح وحواف الصفائح. توجد هذه الكاتيونات عادة شبه ملتصقة بهذه الأسطح والحواف، ولا ترتبط بأية روابط كيميائية، لذلك يسهل إحلالها بعناصر أخرى، وهذا ما يميز معدن المونتموريلونيت، حيث يوجد مجال واسع لتغير نوعيات وكميات الكاتيونات التى يمكن أن يستضيفها. لذلك، نجد أن تركيبه الكيميائى يختلف من مكان إلى آخر، وفى المكان الواحد من وقت إلى آخر.

### الإليت *illite*

الإليت، والذي يعرف كذلك "بالهيدروميكا" *hydromica*، هو أحد المعادن الطينية التى يكثر انتشارها فى العديد من الصخور الرسوبية. للإليت نسيج يشبه نسيج المونتموريلونيت مع وجود إحلال، أوسع، للسليكون بوساطة الألومنيوم فى مستوى الشكل الرباعى (شكل 6-3). ويتم تعويض النقص الحاصل فى الشحنة الناجم عن عملية الإحلال هذه بدخول نسب متفاوتة من كاتيونات البوتاسيوم بين الوحدات ذات المستويات الثلاثة. يحول دخول البوتاسيوم هذا دون دخول أية نسب من الماء بين مستويات التصفح، لذلك فهو يمثل أحد أنواع المعادن الطينية غير القابلة للتمدد. ونظراً لاختلاف نسبة البوتاسيوم فى عينات مختلفة من الإليت فقد تم اقتراح الصيغة الكيميائية التالية له:

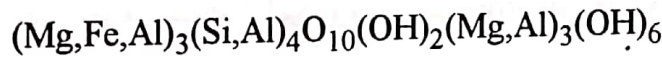


من ذلك يتضح لنا عدم اختلاف الإليت عن المونتموريلونيت إلا فى دخول أيونات من البوتاسيوم بين وحدات مستوياته، كما لا يختلف المسكوفيت عن الإليت إلا فى نسبة البوتاسيوم وفى حجم الحبيبات المتناهية الصغر فى الإليت. لذلك، برز العديد من الآراء حول حقيقة الإليت، فالبعض يستعمل كلمة إليت كمصطلح عام فقط وليس كإسم لنوع معين من المعادن الطينية، حيث إن هناك بعض أنواع من الإليت ليست إلا مسكوفيت، فى حجم المعادن الطينية، فى حين يفسره البعض الآخر بأنه خليط ميكانيكى من صفائح المسكوفيت الصغيرة الحجم والمونتموريلونيت.



## الكـلـوريت chlorite

يمثل الكلوريت المجموعة البنائية الثالثة من المعادن الطينية، ويتكون من دخول مستوى واحد من هيدروكسيد المغنسيوم بين كل ثلاثة مستويات من مستويات السليكا والألومنيوم (شكل 6-3) معطيا الصيغة الكيميائية  $Mg_3Si_4O_{10}(OH)_2.Mg_3(OH)_6$  وهناك من يفسر تكون الكلوريت من المونتموريلونيت نتيجة لدخول طبقة من هيدروكسيد المغنسيوم بين وحدات مستوياته الثلاثية تماما مثل تصور تكون الإليت من المونتموريلونيت بدخول أيونات من البوتاسيوم بين وحدات مستوياته. يعود مصدر هذا الاعتقاد إلى بعض الشواهد التي ثبت عنها أن مصدر معظم الكلوريت في البيئات البحرية الغنية بالمغنسيوم هو المونتموريلونيت. ونظراً لعمليات الإحلال المكثفة التي يتميز بها نسيج الكلوريت اقترحت له الصيغة العامة التالية:



إضافة إلى هذه الأنواع الرئيسة من المعادن الطينية، هناك نوعان تجدر الإشارة إليهما، النوع الأول يتكون من خليط من مستويات لوحات من أنواع مختلفة من المعادن الطينية الرئيسة ويطلق عليه "طين مختلط المستويات mixed-layer-clays" ويتغير تركيبه الكيميائي بتغير نوعية وعدد المستويات المشاركة في تركيبه. أما النوع الآخر فهو النوع غير المتبلور أو عديم الشكل، الذي يطلق عليه "ألوفان" allophane.

إلى جانب هذه الأنواع من المعادن الطينية، التي تتكون أساساً على سطح القشرة الأرضية، اكتسبت أنواع طين أعماق البحار والرواسب الطينية القارية البيتيومينية bituminous وطفل الزيت oil shale وكذلك الطفل الأسود black shale أهمية خاصة في جيوكيمياء الرواسب الطينية. هذا ويعرض جدول 5-6 نتائج التحاليل الكيميائية لعينات من أنواع المعادن الطينية الواسعة الانتشار.

تعود الاختلافات الظاهرة في تركيب الأنواع المختلفة من هذه الأطيان لعدد من الأسباب التي سبق ذكرها أعلاه، التي يمكن تلخيصها في النقاط الثلاث التالية:

1- نوع وعدد مستويات الوحدات في كل نوع.

2- إمكانية دخول الماء بين مستويات وحدات المعدن وما يمكن أن يجلبه معه من مواد ذائبة، وكميات الماء المسموح بدخولها.

3- درجة الإحلال المسموح بها للأيونات المختلفة.

جدول 5-6 التركيب الكيمياء للمعادن الطينية.

| الوفان                               | كاولنيت | هالوزيت | مونتوريلونيت | فيرميكليت | إليت   | جلوكونيت | كلوريت |
|--------------------------------------|---------|---------|--------------|-----------|--------|----------|--------|
| 33.96                                | 54.44   | 44.08   | 51.14        | 35.92     | 49.26  | 52.64    | 26.68  |
| 31.12                                | 38.52   | 39.20   | 19.76        | 10.68     | 28.97  | 5.78     | 25.20  |
| Fe <sub>2</sub> O <sub>3</sub> ثانوى | 00.08   | 00.10   | 00.83        | 10.94     | 00.27  | 17.88    | -      |
| FeO                                  | -       | -       | =            | 00.82     | 00.57  | 3.85     | 3.70   |
| MgO                                  | 00.80   | 00.05   | 3.22         | 22.00     | 1.32   | 3.43     | 26.96  |
| CaO                                  | 2.26    | 00.80   | 1.62         | 00.44     | 00.67  | 00.12    | 00.28  |
| Na <sub>2</sub> O                    | -       | 00.66   | 00.04        | -         | 00.13  | 00.18    | -      |
| K <sub>2</sub> O                     | -       | 00.14   | 00.20        | 00.11     | 7.47   | 7.42     | -      |
| [H <sub>2</sub> O] <sup>+</sup>      | 2.28    | 13.60   | 14.74        | 7.99      | 6.03   | 5.86     | 11.70  |
| [H <sub>2</sub> O] <sup>-</sup>      | 12.84   | 00.60   | 1.44         | 14.81     | 3.22   | 2.83     | -      |
| المجموع                              | 100.46  | 99.92   | 99.81        | 99.52     | 100.64 | 99.91    | 99.52  |

عن جريم: (Grim 1968).

ف نجد فى الكاولنيت مثلاً أن نسبة الـ Si:Al تساوى 1:1 فى حين تتغير هذه النسبة إلى 2:1 فى المونتوريلونيت الذى يضاف إلى بنيته مستوى إضافى من وحدات أكسيد السليكون الرباعية، ومن هنا القيمة العالية للسليكا (SiO<sub>2</sub>) الواضحة فى تحليل المونتوريلونيت والمصحوب بانخفاض فى نسبة الألومينا (Al<sub>2</sub>O<sub>3</sub>). يعود الارتفاع الملحوظ فى نسبة المغنيسيا (MgO) فى تركيب كل من الفرميكليت والكلوريت إلى دخول مستوى إضافى من هيدروكسيد المغنسيوم بين مستويات الوحدات الصفائحية لنسيج المونتوريلونيت وتكون الكلوريت أو لإحلال المغنسيوم محل الألومنيوم فى المستوى الثمانى لهيدروكسيد الألومنيوم وتكون الفرميكليت.

الجلوكونيت هو أحد فصائل الإلييت التي يتم فيها إحلال للألومنيوم في مستوى الشكل الثماني لهيدروكسيد الألومنيوم بوساطة الحديد، ومن هنا النسبة العالية لأكسيد الحديد ( $Fe_2O_3$ ) والمنخفضة لأكسيد الألومنيوم ( $Al_2O_3$ ) الواردة في تحليل الجلوكونيت.

إلى جانب الاختلافات المشار إليها في نسب العناصر الرئيسية، حظيت دراسة انتشار العناصر الثانوية باهتمام المختصين في هذا المجال وذلك لوفرة نسبها، إذ تحتوى الصخور الطينية على عشرة أضعاف ما تحتويه الصخور النارية من هذه العناصر، (جدول 6-6) إضافة إلى ما يمثله هذا الوجود من مدلولات هامة في الدراسات الجيوكيميائية للرسوبيات الطينية. فتميز مثلاً رواسب أعماق البحار باحتوائها على قيم ملحوظة من عناصر الصخور المافية (السيدروفيلية) مثل (Mn, Cu, Ni, Co) وغيرها في حين تظهر رسوبيات المياه الضحلة للبيئات المختزلة تركيزاً أعلى للعناصر الكالكوفيلية، كما يمكن من احتواء المونتموريلونيت على عناصر سيدروفيلية، أو باريوم وسترونشيوم مثلاً، معرفة ما إذا كان المصدر من بيئة تسود فيها صخور بازلت أو داسيت أو ريوليت، وينطبق ذلك على جميع أنواع المعادن الطينية الأخرى.

### صخور الطفلة shale

ترتبط صخور الطفلة، أحد أنواع الصخور الرسوبية، بعلاقة وثيقة بالمعادن الطينية، حيث تتكون أساساً من معادن طينية (كاولينيت، مونتموريلونيت، إليت أو كلوريت) وكوارتز، لذلك يتميز تركيبها الكيميائي بارتفاع نسب كل من السليكا ( $SiO_2$ ) والألومينا ( $Al_2O_3$ ) (جدول 6-3). إلى جانب المعادن الطينية والكوارتز، قد تحتوى صخور الطفلة على بعض المعادن الأخرى مثل الفلسبار الحثاتي detrital أو "المكانى المنشأ" authigenic (متكون في نفس المكان بعد الترسيب)، والمسكوفيت الحثاتي والألييت والجلوكونيت "أوثوجيني". ينعكس وجود مثل هذه المعادن في الارتفاع الملحوظ في نسبة البوتاش ( $K_2O$ ) الواضحة في التحليل رقم 6 جدول 3-6. هناك أنواع أخرى من صخور الطفلة التي تحتوى على كالسيت في شكل كسيرات أو كمادة لاحمة، ويظهر ذلك في القيم العالية لأكسيد الكالسيوم وثاني أكسيد الكربون في التحليل رقم (7) جدول 3-6.



جدول 6-6 التركيزات المحتملة للعناصر الثانوية في الأنواع الرئيسة من الصخور الرسوبية. (الرسوبيات من الولايات المتحدة الأمريكية) ، (القيم بالجزء من المليون ج م م ppm)

| العناصر   | صخور الطفل | الصخور الرملية | الصخور الكربوناتيّة | تربة غير مزروعة | تربة مزروعة |
|-----------|------------|----------------|---------------------|-----------------|-------------|
| Li        | 79-25      | 17-2.1         | 2.6-0.78            | 32-15           | 24-15       |
| Be        | 1.7-1.1    | 0.8            | -                   | 1.3-0.76        | 1.2-1       |
| B         | 110-43     | 36-18          | 31-29               | 63-18           | 41-21       |
| F         | 700        | 9.8-120        | 38-100              | 160-80          | 160-40      |
| Sc        | 18-2.8     | 7.2-2.1        | 9-6.1               | 13-2.1          | 9-2.8       |
| Ti        | 5700-2300  | 2200-38        | 810-31              | 6600-1700       | 4000-1700   |
| V         | 00-74      | 38-5.3         | 40-3.9              | 110-15          | 93-20       |
| Cr        | 130-62     | 39-2           | 29-2.7              | 78-11           | 70-15       |
| Co        | 13-4.8     | 7.4-1.6        | 7.1-1.3             | 14-1            | 10-1.3      |
| Ni        | 110-21     | 18-1.2         | 23-2.3              | 23-4.4          | 18-1.8      |
| Cu        | 130-13     | 8.4-1.2        | 12-0.84             | 33-8.7          | 39-9.9      |
| Zn        | 82-55      | 31-5.2         | 24-6.3              | 67-25           | 68-37       |
| Ga        | 30-15      | 10-1.5         | 10-2.2              | 29-1.9          | 20-1.5      |
| As        | 9-6.4      | 4.3-1.1        | 2.5-0.7             | 13-6.7          | 12-5.5      |
| Ba        | 510-220    | 170-38         | 160-5.6             | 740-86          | 810-63      |
| Sr        | 200-90     | 99-13          | 990-100             | 160-5.7         | 150-3.6     |
| Y         | 38-25      | 22-9           | 20-8                | 39-17           | 32-15       |
| Zr        | 230-95     | 170-22         | 42-6.5              | 460-120         | 360-140     |
| C كربونات | 1600-600   | 100            | -                   | 0.055-0.046     | 0.0075      |
| C عضوي    | 3200-2700  | 3500-3000      | 2800-1000           | 2.8-0.70        | 2.2-0.91    |
| La        | 67-29      | 36-6           | 24                  | 45-26           | 49-18       |
| Pb        | 24-11      | 17-5           | 18-4                | 25-2.6          | 27-2.6      |
| Hg        | 340-45     | 16-7.9         | 30-22               | 160-45          | 69-30       |
| Ag        | 0.18       | -              | -                   | -               | -           |
| Nb        | 7.7        | 3.8            | -                   | 19-5.8          | 16-6.6      |
| P         | 700-300    | 1000-100       | 600-40              | 800-40          | 800-200     |
| Se        | 0.64-0.46  | 0.11-0.09      | 0.31-0.16           | 0.73-0.27       | 0.74-0.28   |
| Yb        | 3.8-2.3    | 1.9            | -                   | 28-1.8          | 3.8-1.5     |
| Mn        | 420-60     | 300-29         | 910-830             | 1100-61         | 740-99      |

عن: كونيور وشاكليت ( Connor and Shacklette 1975 ).

وتحتوى صخور الطفل المتكونة فى أماكن معزولة عن الهواء (بيئة مختزلة) على مواد عضوية، ويظهر ذلك فى ارتفاع لنسبة الكربون التى قد تصل أحيانا إلى 13%. من ذلك يتضح لنا أن صخور الطفلة تتميز بتنوع أكثر فى تراكيبها الكيميائية عن الصخور الرملية التى سبق مناقشتها وكذلك عن الصخور الجيرية التى سوف يأتى الكلام عنها.

بالنسبة للعناصر الثانوية، فإن الطفلة تحتوى على نسب عالية من هذه العناصر تفوق نسبها فى الصخور الرملية والجيرية (جدول 6-6). وقد أرجعت أسباب هذه الظاهرة إلى عدد من العوامل منها:

1- كسيرات المعادن الحثائية الواسعة الانتشار فى صخور الطفلة. فهناك العديد من هذه العناصر التى يرجع مصدرها إلى مثل هذه المكونات، كالباريوم الذى تعود نسبة كبيرة منه إلى كسيرات الفلسبار الذى تحتوى عليه صخور الطفلة.

2- خاصية الامتزاز التى تتميز بها المعادن الطينية، أهم مكوناتها. فالجزء الأكبر من العناصر الثانوية يتم تركيزه بامتزازه بواسطة المعادن الطينية من المحاليل المائية التى تلامسها.

3- هناك عناصر أخرى تظهر علاقة موجبة مع محتوى رواسب الطفلة من المواد العضوية. من أمثلة هذه العناصر الفانديوم واليورانيوم، التى لوحظ وجودهما فى بعض رواسب الطفلة بكميات اقتصادية تفوق نسبهما فى رواسبهما الأولية. لا يعنى ذلك، بأى حال من الأحوال، أن مصدر اليورانيوم أو الفانديوم هو المواد العضوية، وإنما الظروف الاختزالية هى التى تقود إلى هذا التركيز.

## التربة Soil

التربة هى تجمعات لنواتج التجوية التى تغطى أجزاء واسعة من سطح القشرة الأرضية والتى تستعمل عادة لأغراض الزراعة. تختلف خواص التربة تبعاً لاختلاف نوعية وكمية المواد الداخلة فى تكوينها، والتى من أهمها المعادن الطينية. وتشكل دراسة التركيب الكيميائى وخاصة انتشار العناصر الثانوية فى التربة موضوعاً حيويًا بالنسبة لحياتنا

العامه، وذلك لوجود علاقة وطيدة بين انتشار هذه العناصر وتغذية النبات والحيوان وبالتالي الإنسان. لذلك، تهتم الدراسات فى حقل جيوكيمياء البيئة بالدور الذى تلعبه العناصر الثانوية فى التأثير على صحة الإنسان. هذا ويعرض الجدول 6-6 التركيزات المحتملة لبعض العناصر الثانوية فى التربة.

من أهم المظاهر العامة للتربة أنها تتكون من مستويات horizons تختلف فى تركيبها الكيميائى والعضوى، ويوجد بينها حدود واضحة. يرمز لهذه المستويات عادة من أعلى إلى أسفل بالأحرف أ، ب، ج كما أن هناك بعض التقسيمات الفرعية لكل مستوى من هذه المستويات مثل أ<sub>1</sub>، أ<sub>2</sub>، ويختلف سمك هذه المستويات من عدة بوصات إلى بضعة أقدام.

يمثل المستوى "أ" المستوى الأكثر تعرضاً لعمليات الغسل والأكثر فقداً لمكوناته من العناصر وذلك لأنه يمثل المستوى العلوى الأكثر تعرضاً لتأثيرات مياه الأمطار المتخللة لمستويات التربة. وتتجمع المواد المغسولة وتنقل إلى المستوى الذى يليه "ب" والذى يمثل مستوى التجمع، لذلك يتميز المستوى "ب" بثرائه بالمعادن الطينية الغنية بأكاسيد الحديد والعديد من العناصر الثانوية والزررة. يتكون المستوى "ج" من خليط من مواد المصدر ومواد المستويين "أ" و "ب"، ويمكن أن تكون هذه المواد، مواد فتاتية منقولة أو رواسب جليدية، أو حتى كذلك طبقة من التربة من دورة سابقة.

### تصنيف التربة

هناك العديد من التصنيفات المقترحة، التى تختلف تبعاً لاختلاف الغرض الموضوع من أجله. فهناك تصنيفات موضوعة لأغراض الزراعة، كما أن هناك تصنيفات هندسية مفيدة للأغراض الإنشائية، غير أن أكثر هذه التصنيفات أهمية لنا من الناحية الجيوكيميائية تلك المبنية على عوامل الظروف الجوية التى ساهمت بشكل مباشر فى تكونها. وتبعاً لذلك فقد تم التفريق بين:

(أ) تربة المناطق المطيرة أو الاستوائية.

(ب) تربة المناطق الجافة.



يتميز النوع الأول بارتفاع نسبة أكاسيد الحديد وسليكات الألومنيوم في المستوى "ب"، لذلك يطلق عليها التربة الألومونوحديدية pedalfer (ألومنيوم = al و حديد = fer)، وتتكون في المناطق التي يزيد فيها معدل الأمطار عن 25 بوصة في السنة. وتتميز تربة المناطق الجافة بتركيز عالٍ لأملاح الكالسيوم وتسمى بالتربة الكلسية pedocal (كالسيوم = cal) وتتكون في المناطق التي يقل فيها معدل سقوط الأمطار عن 25 بوصة في السنة. وتبعاً لدرجات حرارة البيئة ومعدل سقوط الأمطار التي تمت فيها عملية الترسيب، تم وضع تصنيف فرعي لنوعى التربة الألومونوحديدية والتربة الكلسية. ويعرض جدول 6-7 موجزاً لهذه التصنيفات. تتمثل أهم الاختلافات بين أنواع هذا التصنيف وأسبابها فيما يلي:

جدول 6-7 التقسيم المناخي للتربة

| نوع التربة   | أشكالها   |
|--|---|
| (1) التربة الألومونوحديدية<br>(معدل سقوط الأمطار أكثر من 25 بوصة في السنة) | (أ) تربة اللاتيريت (تربة المناطق الاستوائية)  |
|  | (ب) تربة البودزول (Podzol) (تربة الغابات). (توجد في المناطق المعزولة)                                     |
|  | (ج) تربة التندرا (Tundra) (تربة المناطق القطبية)  |
| (2) التربة الكلسية<br>(معدل سقوط الأمطار أقل من 25 بوصة في السنة)          | (أ) تربة الشيرنوزم (Chernozem) (التربة السوداء).<br>(معدل سقوط الأمطار 12-25 بوصة/السنة، بيئة باردة).     |
|  | (ب) التربة الكستنائية (Chestnut-brown)<br>(معدل سقوط الأمطار أقل من 10-12 بوصة/السنة، بيئة دافئة).        |
|  | (ج) التربة الصحراوية والملحة (Desert and saline)<br>(معدل سقوط الأمطار أقل من 10 بوصة/السنة، بيئة دافئة). |

• تتكون تربة البودزول podzol (تربة المناطق كثيفة الغابات) في الجزء الشمالى من المناطق المعتدلة المتميزة بكثافة أشجارها، ومياها الحمضية (معدل أسها الهيدروجينى بين 5, 4 و 4 أو أقل)، لذلك تتعرض مكوناتها من العناصر لعمليات غسل مكثفة، فتغسل

العناصر القلوية وقلويات الأرض إلى جانب كميات كبيرة من الحديد والألومنيوم من المستوى (أ) بحيث لا يتبقى في هذا المستوى سوى تربة سليكاتية، رمادية اللون، (clay hardpan) مميزة لهذا المستوى. لازال دور العضويات هنا غير مفهوم بالضبط، لكن هناك اعتقاداً سائداً بأن العضويات، التي توجد في حالة غروية، تعمل على منع بعض الأكاسيد والمواد الطينية من التحرك إلى أسفل. المعدن الطيني السائد هنا، وكما هو متوقع في مثل هذه البيئات الحمضية، هو الكاولينيت.

• توجد تربة التندرا Tundra في المناطق الشمالية القطبية الشديدة البرودة والعتيمة الأشجار، وتحتوى على نسبة عالية من المواد العضوية، وذلك بسبب برودة الطقس الشديدة التي تحد من تحلل هذه المواد. يكاد يكون التكوين الطبقي معدوماً في مثل هذا النوع من التربة.

تعتبر تربة اللاتيريت أو التربة الحمراء أهم أشكال التربة الألومونوحديدية تربة اللاتيريت أو التربة الحمراء. وتتكون من أكاسيد الحديد والألومنيوم. تسمى التربة باللاتيريت إذا سادت أكاسيد الحديد فيها على أكاسيد الألومنيوم، أو يطلق عليها بوكسيت إذا كانت أكاسيد الألومنيوم هي السائدة. يوجد الحديد أساساً كهماتيت  $(Fe_2O_3)$  hematite أو جوثيت goethite  $(FeO.OH)$ ، أما الألومنيوم فإنه يتواجد كجبسيت gibbsite أو بومييت bohmite إلى جانب نسبة ضئيلة من الدياسبور diaspor. تتكون التربة اللاتيرتية نتيجة للتجوية الكيميائية للصخور المافية الغنية بالحديد مثل البازلت أو الديابيز والأمفيبوليت، في حين تتكون تربة البوكسيت من تجوية الصخور الغنية بالألومنيوم مثل السيانيت والنفيلين سيانيت أو من رسوبيات طينية أو أحد نواتجها المتحولة مثل صخور شست الطين clay schist أو شست الميكا mica schist أو الناييس gneiss. هناك أنواع من البوكسيت يعتقد تكونها نتيجة للتجوية الكيميائية للصخور الجيرية. كما تجدر الإشارة هنا إلى أنه لا يقتصر تكون تربة اللاتيريت على تجوية الصخور الغنية بالحديد فقط، بل تم العثور على أنواع منها في مناطق تحتوى على صخور متنوعة، كما تم العثور على البعض منها المتكون في مناطق تسود فيها الصخور الجرانيتية.

هناك العديد من التساؤلات حول ميكانيكية تكون تربة اللاتيريت. من هذه التساؤلات:



- هل السبب في ظهورها هو شدة عمليات التجوية التي تتسبب في تحطيم المعادن السليكاتية تحطيمًا كاملاً ينتج عنه أكاسيد الألومنيوم والسليكون بدلا من المعادن الطينية؟
- وهل يعنى هذا أن المعادن الطينية هي نواتج متوسطة للتجوية الكيميائية تتغير مع استمرار عمليات التجوية وينتج عنها أكاسيد اللاتريت والبوكسيت؟ أم إن هذه الأكاسيد تتكون مباشرة من المواد الأصلية؟ هذا إلى جانب العديد من التساؤلات الأخرى.

استنادا إلى المؤشرات الحقلية والتجارب المعملية تم وضع التصورات التالية:

- (1) لا تختلف التجوية في المناطق الاستوائية عن غيرها من المناطق الأخرى، إلا في الاستمرار المتواصل لعملياتها، وذلك نتيجة للأمطار الشديدة والمتواصلة والتصرف الجيد للمياه، الأمر الذي يقود إلى استمرار عمليات التجوية لنهايتها.
- (2) من الواضح أن المعادن الطينية ليست النواتج النهائية لتجوية المعادن الألومنوسيليكاتية، وإنما هي أحد نواتج درجة من درجاتها.
- (3) قد تكون هيدروكسيدات الألومنيوم وأكاسيده أحد النواتج المباشرة لتجوية المواد الأصلية، أو تتكون من المعادن الطينية مع استمرار عمليات التحطيم. فلقد لوحظ تواجد الكاولينيت، في بعض المناطق ملاصقا للصخور الأصلية، بينما يوجد البوكسيت بعيدا عنها، في حين عثر، في مناطق أخرى، على البوكسيت محيطا بالصخور الأصلية بينما الكاولينيت بعيدا عنها.
- (4) تشير علاقات الاتزان بين الكيانات الثلاثة (فلسبار - معادن طينية - أكاسيد الألومنيوم) إلى إمكانية تحلل الفلسبار إلى معادن طينية أولا، ثم إمكانية استمرار تحللها فيما بعد إلى الأكاسيد، أو تكون الأكاسيد مباشرة من تحلل معادن الفلسبار أو حتى من معادن طينية سابقة التكوين، وذلك تبعا لدرجات الحرارة، وقيمة الأس الهيدروجيني، وتركيز السليكا في سوائل التربة.

يرتفع تركيز العناصر الثانوية في التربة الألومنوحديدية في المستويين (أ) و (ب)، وذلك لثراء المستوى (أ) بالمواد العضوية والمستوى (ب) بالمعادن الطينية. أما في التربة الكلسية فتوجد العناصر الثانوية بشكل رئيس في الأجزاء الغنية بالمواد العضوية.

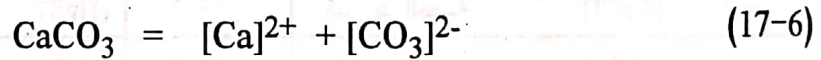


## رسوبيات الكربونات

تختلف بيئات ترسيب رسوبيات الكربونات عنها للمواد الطينية التي تترسب على اليابسة، حيث يتم ترسيب معظم الرسوبيات الكربونائية فى البيئات المائية الضحلة والبحار العميقة، ومن نوعى المياه العذبة والملحة على السواء. وكثيرا ما تلعب الكيمياء العضوية دوراً رئيساً فى مجريات ترسيب هذه المعادن. وبالرغم من أن التركيب الكيميائى والمعدنى لهذه الرسوبيات بسيط فى مجمله، إلا أن العمليات التى يمر بها ترسيب مكوناتها غاية فى التعقيد، ويعود ذلك للخواص الكيميائية المعقدة لمياه البحار والتى تختلف فى العديد من خواصها عن خواص غيرها من السوائل الأخرى.

## كربونات الكالسيوم

تمثل كربونات الكالسيوم أحد المعادن الكربونائية الواسعة الانتشار والتى تترسب من السوائل تبعاً لحالة الاتزان بين طرفى معادلة التفاعل التالية:



ويمكن التعبير عن حالة الاتزان للمعادلة 17-6 بالعلاقة بين قيمة ما يسمى بحاصل الإذابة solubility product ( $K_{sp}$ ) والنشاط الأيونى  $a[\text{Ca}]^{2+} - a[\text{CO}_3]^{2-}$  كما يلى:

$$[K_{sp}] \text{CaCO}_3 = a [\text{Ca}]^{2+} \times a[\text{CO}_3]^{2-}$$

وتساوى قيمة حاصل الإذابة المحسوبة لكربونات الكالسيوم فى درجة حرارة 25 °م وواحد ضغط جوى  $4.5 \times 10^{-9}$  . فلو زادت قيمة النشاط الأيونى  $a[\text{Ca}]^{2+} \times a[\text{CO}_3]^{2-}$  عن قيمة حاصل الإذابة فهذا يعنى أن مياه البحر فوق مشبعة بأيونات الكالسيوم  $\text{Ca}^{2+}$  والأيونات المركبة  $[\text{CO}_3]^{2-}$  أى تميل حالة الاتزان لسير التفاعل فى اتجاه الطرف الأيسر للمعادلة 17-6، ويحدث فى هذه الحالة ترسيب لكربونات الكالسيوم، ويعنى العكس أن المياه تحت مشبعة أى لا يحدث ترسيب لمواد صلبة من محاليل المياه، بل يتوقع أن تتعرض كربونات

الكالسيوم الصلبة للذوبان في مثل هذه المياه. هذا ويعرض جدول 6-8 قيم حاصل الإذابة لعدد من المعادن المهمة.

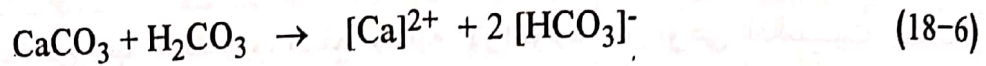
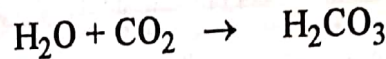
جدول 6-8 قيم حاصل الإذابة  $pK$  ( $pK = -\log.[K_{sp}]$ ) لبعض من المعادن (في 25 °م)

| المعدن                               | حاصل الإذابة $pK$ | المعدن                         | حاصل الإذابة $pK$ |
|--------------------------------------|-------------------|--------------------------------|-------------------|
| كربونات :                            |                   | كبريتات :                      |                   |
| كربونات الكالسيوم ( $CaCO_3$ )       | 8.3 (كالسيت)      | كبريتات الباريوم ( $BaSO_4$ )  | 10.0              |
| كربونات الباريوم ( $BaCO_3$ )        | 8.3               | كبريتات الكالسيوم ( $CaSO_4$ ) | 4.5               |
| كربونات الحديد ( $FeCO_3$ )          | 10.7              | كبريتات الرصاص ( $PbSO_4$ )    | 7.8               |
| كربونات المغنسيوم ( $MgCO_3$ )       | 6.5               |                                |                   |
| كبريتيدات :                          |                   | هاليدات :                      |                   |
| كبريتيدات الرصاص ( $PbS$ )           | 27.5              | فلوريد الباريوم ( $BaF_2$ )    | 5.8               |
| كبريتيدات الزئبق ( $HgS$ )           | 53.3              | كلوريد الفضة ( $AgCl$ )        | 9.7               |
| كبريتيدات الزنك ( $ZnS$ )            | 24.7              | فلوريد الكالسيوم ( $CaF_2$ )   | 10.4              |
| فوسفات :                             |                   | كلوريد النحاس ( $CuCl$ )       | 6.7               |
| فوسفات الكالسيوم ( $[Ca_5(PO_4)F]$ ) | 60.5              | كلوريد الرصاص ( $PbCl_2$ )     | 4.8               |

هناك العديد من العوامل التي قد تؤثر على حالة الاتزان وتسبب في إحداث تغيير لقيم حاصل الإذابة أو النشاط الأيوني. أكثر هذه العوامل تأثيراً هي درجة الحرارة، الضغط، وقيمة الأس الهيدروجيني (pH) لبيئة الترسيب. ويتسبب انخفاض درجات الحرارة وارتفاع الضغط مع زيادة العمق في البحار والمحيطات في زيادة حاصل الإذابة لكربونات الكالسيوم، الأمر الذي يقود إلى ذوبان الكالسيت في أعماق البحار والمحيطات. وقد أرجع البعض ظاهرة زيادة الذوبانية لكربونات الكالسيوم بانخفاض درجة الحرارة إلى ارتفاع درجة ذوبانية ثلثي أكسيد الكربون في مثل هذه الظروف.



للأس الهيدروجيني (pH) كذلك دور مهم في تحديد حالة الاتزان السابق ذكرها جدول 9-6. هناك ارتباط وثيق بين قيمة الأس الهيدروجيني ونسبة أيونات الكربونات الذائبة في الماء، والتي تعتمد بالتالي على كمية ثاني أكسيد الكربون الناتجة عن أو المستهلكة من قبل النشاط العضوى. فمزيد من الاستنفاد لثاني أكسيد الكربون بواسطة التمثيل الضوئى يقود إلى ترسيب الكالسيت، فى حين يقود تحلل المواد العضوية وما ينجم عنه من إنتاج لثانى أكسيد الكربون الذى يذوب فى الماء مكوناً حمض الكربونيك، وبالتالي انخفاض قيمة pH الماء، إلى زيادة ذوبانية الكالسيت وذلك تبعاً للمعادلة التالية:



يفضل عادة كتابة حاصل الإذابة فى الشكل اللوغاريتمى (pK) وتساوى قيمتها لكاربونات الكالسيوم 8,3 .

جدول 9-6 كيمياء الكربونات فى مياه المحيط الباسفيكى

| العمق<br>م | الضغط<br>التقريبى<br>(جوى) | درجة<br>الحرارة<br>(°م) | pH   | ناتج إذابة الكالسيت<br>[Ca <sup>2+</sup> ][CO <sub>3</sub> <sup>2-</sup> ] | ناتج النشاط<br>[Ca <sup>2+</sup> ][CO <sub>3</sub> <sup>2-</sup> ] | ناتج النشاط<br>ناتج الإذابة |
|------------|----------------------------|-------------------------|------|--|--|-----------------------------|
| 0          | 1                          | 20                      | 8.25 | 9 <sup>-10</sup> 4.3   | 9 <sup>-10</sup> 16.6  | 3.85                        |
| 200        | 20                         | 10                      | 7.60 | 9 <sup>-10</sup> 5.2   | 9 <sup>-10</sup> 3.8   | 0.73                        |
| 600        | 60                         | 6                       | 7.65 | 9 <sup>-10</sup> 6.0   | 9 <sup>-10</sup> 3.6   | 0.60                        |
| 1000       | 100                        | 3                       | 7.65 | 9 <sup>-10</sup> 7.0   | 9 <sup>-10</sup> 3.6   | 0.51                        |
| 2000       | 200                        | 2                       | 7.75 | 9 <sup>-10</sup> 9.4   | 9 <sup>-10</sup> 5.1   | 0.54                        |
| 4000       | 400                        | 2                       | 7.90 | 9 <sup>-10</sup> 15.7  | 9 <sup>-10</sup> 9.1   | 0.58                        |
| 6000       | 600                        | 2                       | 7.85 | 9 <sup>-10</sup> 25.9  | 9 <sup>-10</sup> 10.5  | 0.41                        |

عن: برنر (1971 Berner).

يتم ترسيب كربونات الكالسيوم من مياه البحر عادة ككالسيت أو أراجونيت (متعددى الشكل لكربونات الكالسيوم). وبالرغم من أن قيمة حاصل الإذابة للأراجونيت هى نفسها



تقريباً للكالسيت إلا أن الكالسيت هو الشكل الثابت لكاربونات الكالسيوم. ويمكن تطبيق كل ما ذكر أعلاه حول حاصل الإذابة للكالسيت كذلك على الأراجونيت.

تحتوى كربونات الكالسيوم عادة على العديد من الشوائب من أهمها المغنسيوم (Mg) والسترونشيوم (Sr) اللذان يدخلان فى النسيج البلورى لمعدنى الكالسيت والأراجونيت بإحلالهما محل الكالسيوم.

إذا زادت نسبة كربونات المغنسيوم ( $MgCO_3$ ) عن 4% يعرف الكالسيت بالكالسيت العالى المغنسيوم، أو بالكالسيت المنخفض المغنسيوم لو كانت النسبة أقل من ذلك. يترسب الكالسيت العالى المغنسيوم فى البيئات البحرية الضحلة ويمثل الشكل الأقل ثباتاً وتزيد الثباتية بانخفاض نسبة المغنسيوم. تقع ذوبانية الأراجونيت بين نوعى الكالسيت. يحتوى الأراجونيت على نسب منخفضة جداً من المغنسيوم، ويعود ذلك لنسيجه الذى يفضل كبديل للكالسيوم الأيونات الأكبر حجماً من الكالسيوم كالسترونشيوم (Sr)، فى حين يفضل الكالسيت الأيونات الأصغر من الكالسيوم كالمغنسيوم وغيره من العناصر الأخرى التى يمكن أن تحل محل الكالسيوم.

تعتمد كمية ونوعية العناصر النزرة التى يمكن أن تحل محل الكالسيوم، بمساعدة العضويات، على العديد من العوامل، من أهمها:

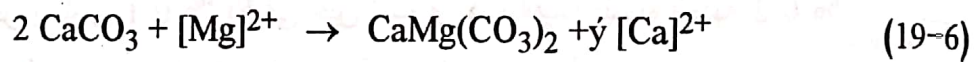
- نوعية العضويات المشاركة.
- شكل كربونات الكالسيوم المترسبة.
- الخصائص السطحية للجزيئات.
- درجة الحرارة.
- التركيب الكيميائى للماء.

### الدولوميت *dolomite*

صخور الدولوميت هى كربونات الكالسيوم والمغنسيوم المزدوجة. تنتظم كاتيونات الكالسيوم  $Ca^{2+}$  والمغنسيوم  $Mg^{2+}$  فى البنية البلورية بالتبادل مع الأنيون المركب  $CO_3^{2-}$  على التوالى، وبانتظام فى مستويات بلورية لنسيج يشبه نسيج كلوريد الصوديوم

(NaCl) مع بعض من التحوير. تمثل صخور الدولوميت أحد الصخور الرسوبية واسعة الانتشار، والتي توجد في الطبيعة في أطوار متعددة الأعمار تمتد من حقبة ما قبل الكامبري وحتى الحقب الثلاثي (Tertiary). غير أنه لم يتم العثور على الدولوميت في الرسوبيات الحديثة العمر.

تشكل كيفية تكون صخور الدولوميت لغزا تدور حوله العديد من علامات الاستفهام. فلم تنجح المحاولات العديدة التي أجريت للتعرف على آلية ترسيب الدولوميت من محاليل تحتوى على مكوناته الأساسية، في الإجابة على العديد من هذه الاستفسارات. وقد أمكن تحضير الدولوميت معمليا في درجات عالية من الحرارة لا يمكن توافرها في بيئات الترسيب التي تم العثور على الدولوميت بها. لذلك فهناك اعتقاد سائد أن الدولوميت ليس متكونا أولا بل تكون بالإحلال التدريجي للكالسيوم بوساطة المغنسيوم أثناء تبلور معادن الكالسيت والذي يمكن التعبير عنه كما يلي:



ويعتقد أن مصدر المغنسيوم هنا هو مياه البحر الملامسة للصخور الجيرية أو محاليل أخرى غنية بالمغنسيوم توغلت داخل هذه الرسوبيات.

لم تظهر التحاليل الكيميائية للصخور الجيرية أية اختلافات جوهرية (جدول 6-3)، فالأحجار الجيرية الدقيقة الحبيبات (الحجر الجيري الليثوجرافى) المتكونة من الكربونات التي في حجم الطين، والأحجار الجيرية الحاوية على بقايا عضوية متحجرة (الحجر الجيري الحفريتي)، والملتزمة بوساطة بلورات خشنة من الكالسيت، والحجر الجيري البطروخى، المتكون من حبيبات مستديرة غير عضوية تمسكها مادة لاحمة من الكالسيت، كل هذه الأنواع، المختلفة في أنسجتها وأسمائها، لا تظهر أية اختلافات كيميائية جوهرية، فأكسيد الكالسيوم (CaO) وثانى أكسيد الكربون (CO<sub>2</sub>) هما المكونان الرئيسان لهذه الصخور. تعود النسب الضئيلة من المغنسيوم والمنجنيز والحديد الظاهرة في الجدول، وكذلك بعض من الباريوم والسترونشيوم إلى بعض الشوائب التي لا تخلو منها مثل هذه الأنواع من الرسوبيات. لكن وكما يبدو لنا من الجدول المشار إليه أعلاه فإن أكثر هذه العناصر ارتباطا



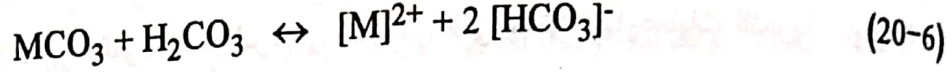
هو المغنسيوم، وذلك بسبب إمكانية إحلاله محل الكالسيوم، والذي إذا زادت نسبته تكون صخر الدولوميت. يطلق على رسوبيات كربونات الكالسيوم دولوميت إذا كانت تحتوى على نسبة تزيد عن 19% MgO وكل صخر جبرى يحتوى على أكثر من 50% دولوميت يسمى صخر دولوميتى dolstone. من العناصر الأخرى التى لوحظ وجودها فى تحاليل الأحجار الجيرية السليكون والألومنيوم والبوتاسيوم، والتى يرجع مصدرها إلى احتواء هذه الصخور على شوائب سليكاتية. أما بالنسبة للعناصر الثانوية والمبينة قيمها فى جدول 6-6، فإن وجود أو عدم وجود البعض منها له مدلولاته المفيدة فى التعرف على تاريخ تكون هذه الصخور. فارتفاع نسبة المنجنيز، وخاصة فى صخور الدولوميت [أعلى من 1000 جزء من المليون ج م م (ppm)]، يعنى أن الترسيب حدث فى أحواض مغلقة. كما سبق وأن أكد كل من فلوجل وويديبوهل (Fluegel and Wedepohl 1967) على أهمية السترونشيوم (Sr) فى التعرف على تاريخ تطور الصخور الكربوناتية. فمعامل انتشار السترونشيوم فى الكالسيت (أيا كان نوعه، سواء المترسب من مياه البحر أو المتحول عن الأراجونيت) فى نظام مفتوح مع مياه البحر يساوى 0.1% Sr فى حين تساوى هذه القيمة للمياه العذبة 0.2% Sr. أما فى الأنظمة الأخرى فإن هذه النسبة يمكن أن تصل إلى قيم أعلى من ذلك. ويرتبط وجود العدد الأكبر من العناصر الثانوية والنزرة بالجزء الطينى الموجود فى أغلب الصخور الجيرية، والذي يمكن أن تصل نسبته أحيانا إلى 13% من مجموع المكونات. أكثر المعادن الطينية وجوداً فى الصخور الجيرية معدن الإليت. وقد لوحظ من واقع التحاليل الكيميائية للصخور الجيرية وجود علاقة بين البوتاسيوم وعناصر مثل Rb, Ba, P, Ti وتمتد هذه العلاقة إلى عناصر أخرى مثل Fe, Mn, Sn, B, Ga, Ni, V, Ti, Zn فالجزء الطينى يعتبر هنا حاملاً وحامياً فى نفس الوقت لمثل هذه العناصر.

### رسوبيات الكربونات الأخرى

بالإضافة إلى كربونات الكالسيوم، هناك العديد من المعادن الكربوناتية الأخرى التى يمكن ترسيبها من مياه البحر. وكما هو الحال بالنسبة لكربونات الكالسيوم، فإن ترسيب الأنواع



المتعددة من المعادن الكربوناتية الأخرى يعتمد كذلك على حالة الاتزان الممثلة فى معادلة التفاعل التالية:



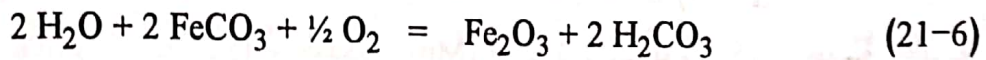
ويعنى ذلك تعرض جميع هذه الرسوبيات للذوبان فى وجود حمض الكربونيك، وتبلورها من السوائل التى تنخفض فيها نسبة حمض الكربونيك. ويمكن إحلال (M) فى المعادلة المبينة أعلاه بأحد عناصر الحديد (Fe) أو المنجنيز (Mn) أو السترونشيوم (Sr)، ويطبق عليها جميعا كل الخصائص الكيميائية التى سبقت مناقشتها بالنسبة لكربونات الكالسيوم [مثل ارتفاع حاصل الإذابة (نتيجة لارتفاع تركيز ثانى أكسيد الكربون أو لانخفاض درجة الحرارة أو ارتفاع الضغط أو تحلل المواد العضوية) أو انخفاضه (فى حالة زوال ثانى أكسيد الكربون بواسطة التسخين أو تخفيف الضغط أو إضافة قلوئى أو نتيجة لنشاط التمثيل الضوئى للنباتات)]. من بين الرواسب الكربوناتية التى تحظى بأهمية خاصة كربونات الحديد والمغنسيوم.

### كربونات الحديد (السيدريت siderite)

يترسب السيدريت من مياه البحر فى حالة احتواء هذه المياه على كميات وفيرة من الحديد وفى وجود أيونات الكربونات  $[\text{HCO}_3]^{-}$  و  $[\text{CO}_3]^{2-}$ ، أو عندما يتعرض محلول يحتوى على حديد و كربونات للتبخير أو ارتفاع لأسه الهيدروجينى (يصبح قلوئى)، بمعنى آخر عندما تتحرك حالة الاتزان لناحية الشق الأيسر من معادلة الاتزان 6-19 الموضحة أعلاه.

تعتبر كربونات الحديد (السيدريت) من الرسوبيات الكربوناتية قليلة الانتشار، ويعود السبب فى ذلك إلى تعرض الحديد، المتحرر من الصخور النارية، بواسطة عمليات التجوية الكيميائية، للترسيب مباشرة على السطح أو بالقرب منه كهيماتيت hematite، الأمر الذى يقود إلى انخفاض نسبة الحديد فى أغلب المياه السطحية وعدم تمكنه من الوصول إلى بيئات الترسيب. هناك حالات غير عادية يتم فيها ترسيب كميات كبيرة من السيدريت بسبب:

- وجود مصدر إمداد كبير لأيونات الحديدوز لأى سبب من الأسباب
  - طبيعة البيئة المختزلة، بسبب وجود كميات كبيرة من المواد العضوية، التى لا تسمح للحديد المحرر بالترسب مباشرة فى المناطق التى حدثت بها عمليات التجوية الكيميائية.
- وهناك علاقة بين السيدريت وأكسيد الحديد تتمثل فى المعادلة التالية :



توضح هذه المعادلة حالة الاتزان بين النوعين من المعادن. وكما نلاحظ تميل حالة الاتزان إلى ناحية الشق الأيمن من المعادلة فى حالة وجود الأكسجين الحر بوفرة (أى فى البيئات العالية الأكسدة)، كما تميل إلى الناحية اليسرى فى حالة وفرة المواد العضوية التى تقوم باستنفاد هذا الأكسجين. إلى جانب الأكسجين، هناك عامل الأس الهيدروجينى الذى يلعب دوراً أساسياً فى عمليات الترسيب لرسوبيات كربونات الحديد، فينحصر ترسب السيدريت على البيئات المتعادلة إلى القلوية، كما يمكن أن يترسب من محاليل حمضية ضعيفة وذلك فى حالة واحدة فقط وهى ارتفاع نسبة الحديدوز الذائب فى الماء.

### كربونات المغنسيوم

تعتبر عمليات تكون كربونات المغنسيوم أكثر تعقيداً من عمليات تكون المعادن الكربوناتية الأخرى، حيث تتكون فى بداية هذه العمليات هيدروكسيدات ثابتة بعض الشيء. فعند إضافة ثانى أكسيد الكربون إلى المغنسيوم فى الظروف العادية يتكون أولاً المغنيسيت المائى hydromagnesite ( $\text{MgCO}_3 \cdot 3\text{H}_2\text{O}$ ) أما كربونات المغنسيوم (المغنيسيت) magnesite ( $\text{MgCO}_3$ )، فإن الاعتقاد السائد بشأنها أنها لا تتكون إلا فى درجات الحرارة العالية، وذلك بالتغير البطيئ لأنواعه المتميزة. يمكن ترسب كربونات المغنسيوم كذلك من الينابيع الملحة الساخنة hot brines التى ترتفع بها النسبة  $\text{Mg}/\text{Ca}$ ، كما لوحظ ظهورها فى مناطق التجوية الكيميائية للصخور التى ترتفع فيها نسبة المغنسيوم مثل الضخور فوق المافية. لكن الاعتقاد السائد أن النواتج الأولية فى جميع هذه الحالات هى كربونات المغنسيوم المتميزة، التى تتغير مع مرور الزمن إلى مغنيسيت.



### الترسبات الملحة (المتبخرات (evaporites)

تتشكل الترسبات الملحة (المتبخرات) الناتجة عن تبخر مياه البحر أهمية خاصة في جيوكيمياء الصخور الرسوبية، وذلك لكونها أحد الرسوبيات الممكن تطبيق ظروف ترسيبها معمليا. وهناك العديد من الدراسات التي أجريت للتعرف على آلية ترسيب المواد الذائبة في المحاليل المائية المتنوعة.

تحتوي مياه البحر على خليط من الأنيونات والكاتيونات الذائبة. ويشكل كل من الصوديوم والكلور أهم عنصرين بهذه المياه. ويقود تبخر مياه البحر إلى ترسب الهاليت عندما يصبح حاصل النشاط الأيوني أكبر من حاصل الإذابة  $K_{sp}$  والذي يساوي لكلوريد الصوديوم في درجة حرارة 25 °م  $[K_{sp}=38]$ . الأيونات الرئيسة الأخرى في مياه البحر هي أيونات كل من  $Ca^{2+}$  -  $Mg^{2+}$  و  $K^{+}$  إلى جانب أيونات الكبريتات المركبة  $(SO_4)^{2-}$  وأيونات الكلور  $(Cl^-)$  ونسب متفاوتة من العناصر الثانوية، لذلك يقود التبخر الكامل لمياه البحر إلى ترسب أنواع متعددة من المعادن المتكونة من هذه الأيونات. فتترسب أولا كربونات الكالسيوم التي تتصف بثابت حاصل إذابة  $[8.35]$  أقل بكثير من ثابت حاصل الإذابة لمعدن الهاليت. بعد ترسب كربونات الكالسيوم، والمتبوعة ربما بترسب كربونات الكالسيوم والمغنسيوم المزدوجة، يبدأ ترسب كبريتات الكالسيوم (الجبس)  $(CaSO_4 \cdot 2H_2O)$  gypsum الذي يفقد بارتفاع درجة الحرارة، محتواه من الماء ويتحول إلى أنهيدريت  $(CaSO_4)$ . يتصف الجبس كذلك بثابت حاصل إذابة  $(4.5)$  أقل بكثير من ثابت حاصل الإذابة لكلوريد الصوديوم. يلي ترسب كبريتات الكالسيوم، ومع استمرار تعرض مياه البحر للتبخير، ترسب كلوريد الصوديوم  $(NaCl)$ ، أكثر أملاح البحر شيوعا. ولقد أظهرت التجارب العملية على محاليل مائية تشبه في تركيبها مياه البحر أن كلوريد الصوديوم يبدأ في الترسيب قبل توقف ترسب كبريتات الكالسيوم التي تستمر في الترسيب إلى جانب الهاليت، ثم يبدأ بعد ذلك ترسب البولي هاليت. ويعرض جدول 6-10 أهم معادن رسوبيات المتبخرات وصيغها الكيميائية العامة.



تعتبر الأملاح التي تحتوى على بوتاسيوم ومغنسيوم أقل شيوعاً، حيث يمتاز الجزء الأكبر من البوتاسيوم بوساطة المعادن الطينية، كما يستهلك أغلب المغنسيوم فى تكوين الدولوميت فى المراحل المبكرة من مراحل الترسيب.

بخلاف التوقعات النظرية فإن الاحتمال الأقوى أن الأنهدريت لا يتكون فى تتابعات الرسوبيات الحديثة كمعدن أولى، وإنما يظهر أولاً، وبدلاً منه فى الحالات التى يتوقع ظهوره بها، الجبس كمعدن غير مستقر، والذى يتحول فيما بعد بانتزاع مائه بفعل الحرارة والضغط إلى أنهيدريت. إذاً يمكن القول أن الأنهدريت هو الشكل المستقر لكبريتات الكالسيوم الذى يتكون بالإحلال محل الجبس أثناء عمليات التصلب والتحجر.

جدول 6-10 التركيب الكيميائى لمعادن المتبخرات البحرية

|  |             |            |
|--|-------------|------------|
| $\text{CaSO}_4 \cdot 2 \text{H}_2\text{O}$                                 | Gypsum      | جبس        |
| $\text{CaSO}_4$  | Anhydrite   | أنهدريت    |
| $\text{NaCl}$  | Halite      | هاليت      |
| $\text{K}_2\text{Ca}_2\text{Mg}(\text{SO}_4)_4 \cdot 2 \text{H}_2\text{O}$ | Polyhalite  | بولى هاليت |
| $\text{Na}_2\text{Mg}(\text{SO}_4)_2 \cdot 4\text{H}_2\text{O}$            | Bloedite    | بلودايت    |
| $\text{MgSO}_4 \cdot 7 \text{H}_2\text{O}$                                 | Epsomite    | ابسوميت    |
| $\text{KMg}(\text{SO}_4)\text{Cl} \cdot 3\text{H}_2\text{O}$               | Kainite     | كيانيت     |
| $\text{MgSO}_4 \cdot 6\text{H}_2\text{O}$                                  | Hexahydrate | هكساهيدريت |
| $\text{MgSO}_4 \cdot \text{H}_2\text{O}$                                   | Kieserite   | كيسرايت    |
| $\text{KMgCl}_3 \cdot 6\text{H}_2\text{O}$                                 | Carnallite  | كارناليت   |
| $\text{MgCl}_2 \cdot 6\text{H}_2\text{O}$                                  | Bischofite  | بيشوفيت    |

أشارت الدراسات المعملية وحسابات الديناميكا الحرارية إلى تغير تتابع اتزان ترسيب المتبخرات من مياه البحر بتغير درجة التبخير، وذلك بسبب علاقة الاتزان بين الجبس والأنهدريت، ففى حين يتوقع، من الناحية النظرية، أن يتكون تتابع التبخير فى درجة حرارة 25 °م من جبس - أنهيدريت وأنواع مختلفة من أملاح البوتاسيوم والمغنسيوم إلى جانب كربونات الكالسيوم، المتكونة فى المراحل المبكرة، نلاحظ اختفاء الجبس عندما تتخطى درجة حرارة التبخير 50 °م.

## مراجع الباب السادس

Berner, R. A. (1971) *Principles of Chemical Sedimentology*. New York: McGraw-Hill Book Co.

Brownlow, A. (1979) *Geochemistry*. Englewood Cliffs, N.J.: Prentice-Hall, Inc.

Bunsenberg, G. E. and Clemency, C. V. (1976) The dissolution kinetics of feldspar at 25 °C and 1 atm CO<sub>2</sub> partial pressure, *Geochim. Cosmochem. Acta*, 40: p. 41-49.

Connor, J. J. and Shacklette, H. T. (1975) Background Geochemistry of some Rocks, Soils, Plants and Vegetables in the Conterminous United States, *U. S. Geol. Survey Profess. Paper 574-F* (168 p.)

Fluegel, H. W. and Wedepohl, K. H. (1967) Strontium distribution in upper Jurassic carbonate rocks of the northern Limestone Alps: a contribution to the diagenesis of carbonate rocks, *Contrib. Mineral. Petrology*, 14: p. 229-249 (in German).

Goldich, S. S. (1938) A study in rock weathering. *J. Geol.* 46: 17-58.

Grim, R. E. (1968) *Clay Mineralogy*. 2nd ed. New York: McGraw-Hill Book Co.

Krauskopf, K. B. (1979) *Introduction to Geochemistry*. 2nd ed. Tokyo: McGraw-Hill Kogakusha, Ltd. International Student Edition.

Mason, B. and Moore, C. B. (1982) *Principles of Geochemistry*, 4th ed. New York: John Wiley & Sons,

Park, C. F. and MacDairmid, R. A. (1975) *Ore deposits*. 3rd ed. San Francisco: W. H. Freeman and Company.

Pettijohn, F. J. (1975) *Sedimentary Rocks*. 3rd ed. N.Y.: Harper & Row.

Trudinger, P. A., Lambert, I. B. and Skyring, G. W. (1972) Biogenic sulfide ores: a feasibility study. *Econ. Geol.* 67: 1114-1127.

# لا تنسي الدعاء والصلاه ع النبي ♥

## الباب السابع

### جيوكيمياء الصخور المتحولة

- ♦ ظاهرة التحول
- ♦ عوامل التحول
- ♦ تقسيم الصخور المتحولة
- ♦ التركيب المعدني للصخور المتحولة
- ♦ التفاعلات التحولية: أنواعها ونواتجها
- ♦ مفهوم السحنة المتحولة
- ♦ التحول كنوع من التحول
- ♦ التحول الفائق
- ♦ سلوك العناصر النزرة خلال عمليات التحول



## ظاهرة التحول

تُشكل الصخور المتحولة إطاراً جيداً لدراسة التغيرات والتفاعلات الفيزيوكيميائية التي تتعرض لها الصخور الرسوبية والنارية نتيجة لتغيرات واسعة المدى في الحرارة والضغط في البيئة من حولها تحت سطح الأرض. ويمكن مشاهدة ظاهرة التحول في الصخور الملاصقة للمحقونات النارية الكبيرة، حيث تحدث تغيرات ملحوظة في الألوان والأنسجة، قد يصبحها ظهور معادن جديدة، فتتحول مثلاً صخور الطفلة والحجر الرملي إلى صخور أكثر تماسكاً وصلابة، ويتعرض الحجر الجيري بسبب عمليات التحول إلى إعادة تبلور لمعادنه ويتحول إلى رخام خشن الحبيبات. ويمكن مشاهدة نفس الظاهرة على نطاق أوسع في أماكن شاسعة الامتداد بعيدة عن أى محقونات أو أنشطة نارية مع ظهور اختلافات في مظاهر التحول، فنرى مثلاً صخر الطفلة وقد تحول إلى إردواز أو شست الميكا، وصخر البازلت وقد تحول إلى شست الكلوريت أو شست الأمفيبول أو إلى صخر الأمفيوليت.

ويمكن تعريف ظاهرة التحول بأنها استجابة تجمع معدني (صخر مثلاً) مستقر، وصل إلى حالة الاستقرار التي هو عليها في ظروف بيئية معينة من الضغط والحرارة، إلى التغيرات التي تحدث في البيئة من حوله، وتعرضه لإعادة تشكيله معدنياً أو نسيجياً أو كلاهما معاً، بحيث يصبح مستقراً ومتلائماً مع الظروف البيئية الجديدة. وتجدر الإشارة إلى أن عملية إعادة التشكل تتم بشكل رئيس بتفاعلات في الحالة الصلبة، أى دون أن يحدث انصهار وإعادة تبلور لمكونات الصخر. الدليل على ذلك هو احتفاظ معظم هذه الصخور بأنسجتها الأصلية مثل احتفاظ صخور الإردواز والكوارتزيت بالتطبق stratification السابق في صخرى الطفلة والحجر الرملي على التوالي، واحتفاظ الرخام ببعض الأحافير التي توجد في صخر الحجر الجيري الأصلي، واحتفاظ بعض الحمم المتحولة ببعض الأنسجة الأصلية مثل النسيج السماقي أو الفقاعي أو التركيب الانسيابي.

ويمكن النظر إلى بيئات التحول على أنها بيئات وسط بين بيئات العمليات المكونة للصخور الرسوبية عند سطح الأرض في ظروف منخفضة الحرارة والضغط وبيئات العمليات المكونة للصحارة التي تعطى الصخور النارية، والتي تتم عادة تحت ظروف مرتفعة

الحرارة والضغط في أعماق الأرض. ولا يوجد حد فاصل يحدد الظروف البيئية التي يتكون عندها أى من أنواع الصخور الثلاثة حيث يحكم هذه الظروف ثلاث عوامل فيزيقية متداخلة هي الحرارة والضغط ووجود موائع أو محاليل من مكونات الصخر المتحول.

## عوامل التحول

### الحرارة

تعد الحرارة أكثر العوامل تأثيراً في تحديد الظروف البيئية لعمليات التحول، ومع ذلك فلا توجد درجات حرارة معينة يبدأ أو ينتهى عندها تكون الصخور المتحولة، ولكن يمكن تقدير مدى معين لدرجات الحرارة العليا التي تنتهى عندها عملية التحول ويبدأ عندها عملية تكون الصهارة. هذا المدى هو الذى تتم فيه عمليات الانصهار لمكونات الصخر المتحول على نطاق واسع، وينحصر فى أغلب الأحوال بين درجات حرارة 600 و 850 مئوية فى وجود ضغط مائى معقول. أما فى حالة غياب الموائع أو كون الصخر مكوناً من معادن مافية غير مائية، فبالإمكان أن ترتفع حرارته إلى أكثر من 1000 درجة مئوية دون حدوث انصهار. كذلك يمكن تقدير مدى معين لدرجات الحرارة الدنيا التي تبدأ عندها عمليات التحول وتنتهى عمليات التصخر diagenesis فيما بين درجات حرارة 100 و 150 مئوية. تجدر الإشارة إلى أن المدى الأخير لا يحظى بقبول كثير من الجيولوجيين بسبب ما يلاحظ أحيانا من أن كثيرا من الصخور الرسوبية، التي تستخرج لينا من أعماق سحيقة أثناء عمليات الحفر والتنقيب عن البترول، لا تظهر فيها أى أثر لأى من أنواع التحول، رغم وصول درجات الحرارة السائدة فى تلك الأعماق إلى حوالى 200 درجة مئوية. وعموماً، فإن الحرارة السائدة لا تؤثر فقط على استقرارية المعادن المختلفة ولكنها تؤثر أيضا على معدلات وسرعة التفاعلات الكيميائية، والتي عادة ما تتزايد سرعتها بارتفاع درجة الحرارة.

هناك مصدران أساسيان للحرارة المتسببة فى عمليات التحول؛ الأول ناتج عن الزيادة الطبيعية لدرجة الحرارة مع العمق، وهو ما يعرف بالتدرج الحرارى الأرضى geothermal gradient، وهو ارتفاع يتراوح بين 10 و 30 درجة مئوية لكل كيلو متر



عمق. والثاني ناتج عن تداخل المحقونات النارية فى الأرض، ومن الطبيعى أن يزيد معدل التدرج الحرارى فى مناطق تداخل هذه المحقونات النارية فى الأعماق، وبالتالي فإن الصخور المجاورة لتلك المحقونات تتعرض لمزيد من الحرارة، أى إن الصهارات المحقونة تصبح مصدرا ثانيا للحرارة. يلاحظ أن التحلل الإشعاعى للعناصر المشعة مثل اليورانيوم والثوريوم والبوتاسيوم يعد أحد أهم مصادر الطاقة الحرارية الداخلية للأرض، ولكن هذه الطاقة لا تعد من الأسباب المباشرة لعمليات التحول، ذلك أننا نلاحظ أن صخور الجرانيت والبركانيات الفلسية وهى الأكثر ثراء بهذه العناصر المشعة، لا تتحول إلا على أعماق سحيقة نتيجة زيادة معدل التدرج الحرارى الناتج عن الانتقال الحرارى من النطاقات الداخلية للأرض.

### الضغط

يعد الضغط العامل الفيزيقي الثاني بعد الحرارة. فمن المعروف، أن عمليات التحول تتم تحت سطح الأرض على أعماق متفاوتة، ولكن بحد أدنى بضع مئات من الضغط الجوى الناتج عن ثقل الصخور التى تعلو هذه الأعماق. ويقدر العمق الأقصى الذى تنشأ عنده الصخور المتحولة بما لا يزيد عن ثلاثين كيلو مترا، وهو ما يعادل ضغطا يساوى حوالى عشرة آلاف جوى أو عشرة كيلو بار. أما بعد هذا العمق، فغالبا ما يحدث انصهار للصخر الأصلي ويخرج الناتج من عداد الصخور المتحولة.

ويفرق الجيولوجيون بين نوعين من الضغط تتعرض لهما الصخور؛ الأول الضغط المحيط *confining pressure* ويكون متساويا من كافة الاتجاهات. والثاني الضغط الذى يختلف فى شدته من اتجاه إلى آخر ويسمى الضغط الموجه *directed pressure*.. ينتج النوع الأول من ضغط الصخور الأعلى والمحيطية، وهو شبيه بالضغط السائد فى الكيانات المسائلة مثل ما يتعرض له جسم موجود فى أعماق ماء البحر والذى يطلق عليه الضغط الهيدروستاتى *hydrostatic pressure*، ويشير إلى تساوى الضغط من كافة الاتجاهات، وهو اصطلاح استخدمه بعض الجيولوجيين حتى فى تعريف الضغط المنتظم الواقع على الصخور، فى حين عدله البعض الآخر وأطلقوا عليه الضغط الليثوستاتى *lithostatic*



pressure، ويعنى الضغط الناتج من ثقل عمود صخرى. النوع الثانى من الضغط يكون غير متساوى القوة فى الاتجاهات المختلفة. ويستخدم كثير من الجيولوجيين كلمة الإجهاد stress، للإشارة إلى هذا النوع من الضغط، والذي ينتج عنه كثيراً من التراكيب والأنسجة الصخرية، مثل الطيات، وبعض أنواع الصدوع، والتفتيت أو التحويل إلى حبيبات دقيقة، وانتظام المعادن فى اتجاهات معينة. ينتج هذا النوع من الضغط نتيجة العمليات المرتبطة ببناء الجبال كما يحدث عندما تتضم أو تتصادم الألواح القارية.

لا يستطيع الجيولوجى أن يحدد درجة الحرارة أو الضغط الذى حدث عنده التحول فى الحقل، ولكن بإمكانه استخدام بعض الصفات الصخرية لاستنتاج بعض الظروف التى حدثت فى ظلها التحول، فتدل خشونة الحبيبات مثلاً على حدوث التحول عند حرارة أعلى من تلك التى يتكون عندها صخر دقيق الحبيبات. ووجود معدن البيوتيت يشير إلى حرارة تكون أعلى من حرارة تكون معدن المسكوفيت، وكذلك الهورنبلند فحرارة تكونه أعلى من حرارة تكون الأكتينوليت، وهكذا.

ويمكن باستخدام مثل هذه الصفات المعدنية أو النسيجية تقسيم الصخور المتحولة على أساس الحدود التقريبية للحرارة والضغط السائدين أثناء عمليات التحول، وهو ما سنعرضه فى القسم التالى من هذا الباب. وهناك طرق حديثة تعتمد على اختبارات وفحوص معملية يمكن استخدامها تقدير درجات الحرارة والضغط التى عندهما تكون الصخر المتحول بصورة أكثر تحديداً. وتعتمد هذه الطرق على دراسة إعادة توزيع بعض العناصر والنظائر بين المعادن المتصاحبة coexisting وعلى تركيب ونوع ودرجة الامتلاء لمكتنفات الموائع fluid inclusions فى تلك المعادن.

## الموائع

تتحكم الموائع إلى درجة كبيرة فى معدل تفاعلات التحول وطبيعتها، فوجودها أو غيابها بين حبيبات الصخر له أثره المباشر فى تحديد درجة الحرارة التى يبدأ عندها التفاعل أو التحول. ورغم أن حدوث تفاعلات متحولة فى غيبة هذه الموائع، عن طريق التفاعل الانتشارى diffusion reaction بين المواد الصلبة يعد أمراً ممكناً من الناحية النظرية، إلا

أن ببطء مثل تلك التفاعلات خاصة بين المعادن السليكاتية، حتى على مستوى الزمن الجيولوجي، يجعله أمرا مستبعدا من الناحية الفعلية. وتعود أهمية الموائع إلى أنها تسهل عملية انتقال العناصر بين المعادن المختلفة، وبالتالي إحداث التغيرات الكيميائية المصاحبة للتحول سواء على مستوى المعادن أو الصخر، وسواء ظل التركيب الكيميائي للصخر ككل ثابتا أم تعرض لبعض التغيرات. كما تتطلب بعض المعادن السليكاتية المائية، أى تلك التى تحتوى على مجموعة الهيدروكسيل فى بنيتها، وجود بعض من الماء حتى تتمكن من الاحتفاظ ببقائها أو استقرارها.

ويرجع وجود هذه الموائع إلى مصدرين رئيسين: أولهما الماء المتبقى فى الفراغات التى بين الحبيبات أو كأغشية على سطحها فى أعقاب عمليات التصخر، والثانى هو الماء وثانى أكسيد الكربون الموجود داخل البنية البلورية للمعادن، والذى يمكن أن يتسرب منها نتيجة تصدعها تحت تأثير الضغط والحرارة المرتفعين. وقد يحدث أحيانا إضافة بعض الموائع التى تُشتق من الصخور المجاورة أو التى تتصاعد كأبخرة من صهارة متبردة تسفل الصخر المتحول.

### تقسيم الصخور المتحولة

تقسم الصخور المتحولة عادة على أساس التجمعات أو الصلبة المعدنية التى يعتمد تحديدها أساسا على الدراسات المجهرية، أما من الناحية النشئية فهناك تقسيم بسيط استخدمه كراوسكوف (Krauskopf 1979) من المفيد إيضاحه من الزاوية التى تخدم هذا الفصل. فمن المشاهدات الحقلية يمكن تقسيم الصخور المتحولة إلى قسمين:

#### 1) صخور متحولة حراريا

وهى التى توجد بجوار أسطح تماس الصخور النارية المتداخلة. هذه الصخور تكون عادة على هيئة كتل غير متورقة unfoliated، أى تفتقد اتجاهها معيناً للمكونات المعدنية، مما يوضح أن الضغط الذى تعرضت له كان ضئيلاً أو متوسطاً ومن النوع المنتظم

(ضغط صخرى). وباستثناء فقدان الماء أو بعض المواد المتطايرة الأخرى، فإن هذه الصخور تظل محتفظة في أغلب الأحيان بمكوناتها الأصلية (أى تظل متماثلة أو متناظرة كيميائياً isochemical مع الصخر الأصلى) مع تعرضها لإعادة تشكل لمعادنها الأصلية وتوزيع للعناصر فيما بينها بما يتلاءم مع درجات الحرارة التى تعرضت لها. وقد يحدث أحيانا أن تنتقل بعض المكونات الكيميائية من الأجسام النارية المتداخلة إلى الصخور المجاورة وظهور معادن جديدة غنية بالبورون والفلورين والكلورين والكبريت والصوديوم نتيجة لذلك، ويعرف هذا النوع بالتحول النيوماتوليتى pneumatolytic. وقد يحدث أيضا تفاعل بين الصهارة المتداخلة وصخر مجاور مثل الحجر الجيرى فينتج صخر جديد يسمى سكارن skarn يتكون من المعادن الكلسيكاية مع بعض كبريتيدات الحديد والزنك والرصاص والنحاس والتي قد تصل تركيزاتها فى بعض المناطق إلى المستوى الذى يسمح باستغلالها اقتصاديا.

## (2) صخور متحولة إقليمية

وهى التى تغطى مساحات شاسعة ولا تظهر بالضرورة علاقة حقلية بجسم نارى متداخل، ولكنها تتكون نتيجة دفن الصخور لمدد زمنية طويلة وفى أعماق سحيقة. وتظهر المعادن المكونة لهذه الصخور، خاصة معادن الميكا والأمفيبول، توجهها أو اتجاهها مفضلا فتتظم رقائق الميكا فى أسطح متوازية أو ما يعرف بالتورق foliation ومعادن الأمفيبول المنشورية فى خطوط متوازية أو ما يعرف بالتخطط lineation، مما يوضح أن الضغط السائد أثناء عملية التحول كان من النوع الموجه. وتتراوح التغيرات الكيميائية المصاحبة لهذا النوع من التحول بين تغيرات محدودة نتيجة انتشار العناصر وإعادة توزيعها لمسافات قصيرة جدا لا تتعدى بضع ميليمترات، مما يجعل التغير من النوع المتماثل كيميائياً، وبين تغيرات كبيرة وملموسة فى التركيب الكيميائى للصخر الأصلى نتيجة لإضافة مواد جديدة. وتحدث مثل هذه الظواهر فى الحالات التى يتعرض الصخر فيها لاجتياح من محاليل أو موائع مرتفعة الحرارة تتسبب فى تحريك مكونات الصخر الأصلية وإعادة تسكينها على نطاق واسع. وتشير التحاليل الكيميائية للصخور المتحولة (خاصة منخفضة الرتبة) إلى احتفاظ كثير منها بتركيبه الكيميائى الأصلى، فى حين تظهر الصخور عالية الرتبة، مثل



النيس والميجماتيت، حدوث تغيرات ملموسة وانتقالاً للمكونات الكيميائية على نطاق واسع، حتى إن بعض العلماء أرجع تكون صخر الجرانيت في بعض المناطق لهذه العملية.

ويندرج تحت هذين القسمين من الصخور المتحولة أقسام أخرى فرعية كثيرة تتشعب، إما على أساس التركيب الكيميائي، أو على أساس التغيرات المعدنية الناتجة عن التغيرات في الضغط والحرارة، وهو ما يعرف بالتقسيم السحني، وهو ما سنعرض له في جزء السحنات المتحولة.

### التركيب المعدني للصخور المتحولة

تقوم الصخور عند تعرضها إلى تحول بالضغط والحرارة بإعادة تشكيل لمكوناتها المعدنية، وذلك بإحداث مجموعة متتابعة من التفاعلات التي تعطي تجمعات أو صحبات معدنية جديدة في حالة اتزان واستقرار على مدى محدود من الضغط والحرارة. وتستخدم قاعدة الصنف phase rule كإطار يمكن من خلاله التنبؤ بالحد الأقصى لعدد المعادن التي يمكن أن تتكون نتيجة هذه التفاعلات. فمن الناحية النظرية تقول القاعدة إن عدد الأصناف (المعادن) يصل إلى حده الأقصى عندما يكون عدد درجات الحرية degrees of freedom صفراً، وهنا يكون عدد الأصناف أكثر من عدد المكونات components (الموجودة في الصخر الأصلي) باثنين، ويعبر عن ذلك بالعلاقة التالية:

$$P = C + 2 - F$$

فإذا استعضنا عن درجات الحرية  $F$  بصفر أصبح الحد الأقصى لعدد الأصناف  $P_{max}$  هو عدد المكونات  $C$  زائداً اثنين أي

$$P_{max} = C + 2 - 0$$

وتعرف هذه العلاقة باسم قاعدة الصنف المعدنية mineralogic phase rule، وقد اقترحها جولشميدت Goldschmidt، وغالباً ما تحمل اسمه (كراوسكوف 1979 Krauskopf)؛

ماسون ومور (Mason & Moore 1982). والمقصود بجعل عدد درجات الحرية "صفرًا" هو تثبيت الحرارة والضغط والتركيب الكيميائي أثناء التفاعل. وطبيعي أن مثل هذا الوضع يصعب توافره في الطبيعة، إذ إن درجات الحرارة والضغط والتركيب الكيميائي دائمى التغير. وحيث إن المعادن الموجودة في الصخور المتحولة تعكس بالضرورة مثل هذه التغيرات، فإن عددها بالتالى لابد أن يتراوح بين الحد الأقصى المذكور وحد أدنى يقابل عدد المكونات الكيميائية الأصلية. فعلى سبيل المثال، يمكن أن يعطى كيان مكوّن من ثلاثة مكونات: هي السليكا والألومينا والجير ( $\text{SiO}_2 - \text{Al}_2\text{O}_3 - \text{CaO}$ ) عند تحوله عدة تجمعات أو صحبات معدنية تختلف بتغير الحرارة والتركيب مثل سليمانيت - أنورثيت - كوارتز أو أنورثيت - جروسيلولاريت - كورندم، ويظل الحد الأقصى لعدد المعادن المتصاحبة ثلاثة، مادامت هناك فقط فعاليات لمتغيران (الحرارة والتركيب) فى وقت واحد. وهناك صخور معينة، مثل الطفلة أو الأركوز أو بعض الصخور البركانية، تصل مكوناتها الأصلية إلى ستة أو سبعة مكونات، وبالتالي قد تصل المعادن المتصاحبة إلى أكثر من هذا العدد.

وتتعرض الكيانات الصخرية فى الطبيعة إلى ظروف تؤثر بدرجات متفاوتة على قاعدة الصنف، وبالتالي على نواتج التفاعلات التحولية. فمثلا، يتسبب التشابه الكبير فى الخواص والسلوك الجيوكيميائى لعنصرين مثل الحديد والمغنسيوم فى صعوبات بشأن تحديد عدد المكونات الداخلة فى التفاعل بسبب إحلال أحدهما مكان الآخر فى بنية المعادن بنسب كبيرة التفاوت، مما يترتب عليه اعتبارهما مكونا واحدا وإنقاص عدد المكونات المستقلة بواحد.

هناك أيضا مشكلة المكونات المتطايرة أو الغازية فهى تحسب ضمن المكونات إذا وجدت بكميات صغيرة وتكون محصورة داخل كيان مغلق، أما إذا كانت حرة فى التحرك من وإلى الكيان، فإنه يصبح كيانا مفتوحا، ولا تحسب المادة ضمن المكونات، ولذلك أدخل تعديل على قاعدة الصنف لمقابلة ظرف وجود مكون متحرك أو متحرر لتصبح:

$$P = C - m + 2 - F$$

حيث  $C$  هي العدد الكلى للمكونات و  $m$  هي عدد المكونات المتحررة. وعلى الرغم من أهمية قاعدة الصنف كإطار يمكن من خلاله التنبؤ نظريا بالحد الأقصى لعدد الأصناف (المعادن) التى يمكن أن تتكون من عدد معين من المكونات الصخرية، إلا أنه من المهم التنبيه إلى حقيقة أنه من النادر معرفة عدد المكونات المتحررة التى كانت موجودة وإلى أى مدى اقتربت الظروف السائدة من الكيان المغلق أو الكيان المفتوح، وبالتالي فإن عدد الأصناف (المعادن) التى يمكن التنبؤ بها فى كثير من الأحوال تكون غير دقيقة أو غير مؤكدة. وعموما فالملاحظ أن عدد المعادن التى يتكون منها معظم الصخور المتحولة يكون عادة محدودا للغاية ويكون فى حدود اثنين أو ثلاثة معادن كما فى حالة الأمفيبوليت وشست الكوارتز - ميكاً وذلك رغم احتواء الصخر الأصلي على حوالى ستة أو سبعة مكونات أساسية.

وتدل المعادن المتحولة على وصول الصخر إلى حالة من الاتزان وبالتالي إلى حالة استقرار. هذه الحالة تعكس بيئة معينة تحدد ليس فقط بظروف ضغط وحرارة معينة ولكن أيضا بوسط كيميائى محدود (رغم أن معظم المناقشات عن التجمعات أو الصحبات المعدنية تفترض ثبات التركيب الكيميائى وتحصر دلالات المعادن المتحولة فى الظروف الفيزيائية فقط، وهو ما قام عليه تقسيم هذه الصخور إلى رتب). ولكن ما هى الشواهد التى تدل على أن حالة من الاتزان تسود بين صحبة معينة من المعادن المتحولة؟. يمكن الإجابة عن هذا السؤال إما:

(1) بإجراء تجارب معملية تحاكي فيها التفاعلات التحولية بين عدد مماثل من المكونات بحيث تكون نواتج التفاعل مماثلة للصحبة قيد الدراسة، غير أن هذا الطريق تكتنفه بعض المشاكل خاصة فيما يتعلق بمحاكاة تركيزات وضغوط المكونات المتطايرة.

(2) بجمع الأدلة الصخرية المجهرية عن المعادن المكونة للصحبة، فمثلا يدل اقتصار معادن الصحبة على عدد يقل عن الحد المسموح به من تطبيق قاعدة الصنف على حالة من الاتزان تسود تلك الصحبة، كما أن تكرار معادن معينة دائما فى صحبة واحدة فى عدد كبير من الصخور المختلفة ذات التركيب الكلى المتشابه، وبغض النظر عن عمر هذه الصخور أو مكان نشأتها، يعد دليلا مؤكدا على أن هذا التجمع يحافظ على نوع من الاتزان والاستقرار.



كما أن عدم ظهور نطاقات مختلفة التركيب داخل معادن البلاجيوكليز والبيروكسين المتحولة، بعكس ما هو شائع بين نفس المعادن في الصخور النارية- حيث تعكس تلك النطاقات حالة من عدم الاتزان بين المعدن والصهارة أثناء عملية التبريد- ما يمكن أن يفسر بأن هذه المعادن استطاعت في الظروف التحولية توازن ما بينها وإعادة توزيع عناصرها بطريقة تتلاءم مع الظروف البيئية المحيطة من ضغط وحرارة.

ورغم أن أكثر المعادن المتحولة تبقى مستقرة في ظروف واسعة المدى من الضغط والحرارة، إلا أن هناك معادن عديدة تكون مستقرة فقط على مدى محدود نسبياً من الضغط والحرارة، ويطلق عليها المعادن الدليلية index minerals. وتلعب هذه المعادن دوراً بارزاً في تحديد النطاقات أو الرتب التحولية، كما أنها تستخدم كأساس لتحديد المعادن المتوافقة والمعادن غير المتوافقة داخل الصحبات المعدنية، وهو ما وضع أسس تقسيم الصخور المتحولة إلى سحنات facies يجمع كل منها عدداً محدوداً ومتوافقاً من المعادن يشير إلى مدى معين من الضغط والحرارة، ويعطى جدول 7-1 أهم المعادن المتحولة ذات الدلالة في تقسيم السحنات.

ويلاحظ أن هناك الكثير من المعادن المتحولة التي لا يعطى وجودها أى أدلة على رتب التحول أو بيئته؛ فمثلاً يعتبر الكوارتز والفلسبار البوتاسى من المعادن المستقرة على المدى الكامل لكل ظروف التحول الإقليمي؛ لذلك، فإن وجودهما لا يحدد الضغوط أو الحرارة المحتملة التي تكون في ظروفها صخر متحول معين. على جانب آخر، نرى أن معظم سليكات الحديدومغنسيوم تكون على مدى محدود من الظروف الفيزيائية، لذلك يعتبر كثير منها معادن دليلية ومفيدة في تحديد رتبة التحول التي ينتمى إليها الصخر المتحول الذى يضمها.

تساعد المعادن الدليلية في عمل خرائط توضح توزيع الرتب التحولية في منطقة معينة، إذ يمكن عن طريق تتبعها ورصد توزيعها في منطقة ما رسم خطوط تصل بين المواقع المتشابهة في احتواء تلك المعادن، وتسمى هذه الخطوط بخطوط تناظر الرتبة isogrades. يمكن عن طريق هذه الخطوط معرفة الاتجاه الذى تزيد أو تنقص فيه رتبة التحول، وبالتالي يمكن تحديد مصدره.

جدول 1-7 أهم المعادن المتحولة ذات الدلالة فى تقسيم السحنات وتركيبها الكيميائى

| الصيغة الكيميائية  | اسم المعدن  | الصيغة الكيميائية   | اسم المعدن   |
|--|---|---|--|
| $Ca_2Mg_5(Si_4O_{11})_2(OH)_2$<br>$Ca_2(Mg,Fe)_5(Si_4O_{11})_2(OH)_2$<br>$2Mg_3Al_2(Si_4O_{11})_2(NaOH)_2$<br>$Mg_7(Si_4O_{11})_2(OH)_2$<br>$Fe_6(Si_4O_{11})_2(OH)_2$ | <b>مجموعة الأفيبول</b><br>تريموليت<br>أكتينوليت<br>جلاوكوفين<br>أنتوفيليت<br>كومنجتونيت | $Mg_3Al_2(SiO_4)_3$<br>$Fe_3Al_2(SiO)_3$<br>$Ca_3Al_2(SiO)_3$<br>$Mn_3Al_2(SiO)_3$<br>$Al_2SiO_5$ | <b>مجموعة الجارنت</b><br>بيروب<br>الماندين<br>جروسولار<br>سبيسارتين<br>اندالوزيت<br>سيليمانيت<br>كيانيت<br>شتوروليت<br>كلوريتويد |
| $KAl_2(AlSi_3O_{10})(OH)_2$<br>$KMg_2(AlSi_3O_{10})(OH)_2$   | <b>مجموعة الميكا</b><br>مسكوفيت<br>فلوجوبيت   | $Al_2SiO_5$<br>$Fe_2Al_9Si_4O_{23}(OH)$<br>$FeAl_2(Al_2Si_2O_{10})(OH)$                           | 4  |
| $K(Mg,Fe)_3(AlSi_3O_{10})(OH)_2$   | بيوتيت  | $Ca_2(Al,Fe^{III})_3(SiO_4)OH$<br>$Mg_2Al_4Si_5O_{18}$<br>$Ca_2Al_3(SiO_4)_3(OH)$                 | <b>مجموعة الإبيدوت</b><br>إبيدوت<br>كورديريت<br>كلينوزيسيت   |
| $Mg_3Si_4O_{10}(OH)_2$<br>$Al_2Si_4O_{10}(OH)_2$   | <b>مجموعة التلك</b><br>تلك<br>بيروفيايت   | $Ca_2Al_2Si_3O_{10}(OH)_2$<br>$Ca_2(Al,Mg,Fe^{II})_3Si_3O_{12}$<br>$(OH).H_2O$                    | بريهانيت<br>بامبليت  |
| $Mg_3Si_2O_5(OH)_4$  | <b>مجموعة السربنتين</b><br>أنتيجوريت<br>كريزوتيل  | $CaAl_2Si_2O_8.2H_2O$   | وسونيت   |
| $Mg_5Al(AlSi_3O_{10})(OH)_8$   | <b>مجموعة الكلوريت</b><br>كلوريت  |   | <b>مجموعة</b><br>البيروكسين<br>إنستاتيت هيرثين   |
| $SiO_2$<br>$CaAl_2Si_2O_8$<br>$NaAlSi_3O_8$<br>$KAlSi_3O_8$  | <b>مجموعة السليكا</b><br>و الفلسبار<br>كوارتز<br>أنورثيت<br>ألبيت<br>فلسبار بوتاسى      | $(Mg,Fe)SiO_3$<br>$CaMgSi_2O_6$<br>$CaMgSi_2O_6$<br>$NaAlSi_2O_6$<br>$(Ca,Na)(Mg,Fe,Al)Si_2O_6$   | ولاستونيت<br>نيوبسيد<br>جاديت<br>أومفاسيت  |

## التفاعلات التحولية

### أنواعها ونواتجها

لما كانت الصخور المتحولة هي نتاج عمليات تحول وتغير كيميائي - محدود في معظم الأحوال - لصخور شديدة التباين في التركيب الكيميائي، سواء كانت من أصل نارى أو رسوبى، فإننا نتوقع أن يعكس التركيب الكيميائى لتلك الصخور بعد تحولها هذا التباين وبنفس القدر. وتتم عمليات التحول على واحد أو أكثر من الأوجه التالية:

1 - أن تتم التفاعلات التحولية في الحالة الصلبة دون أية إضافة أو إزاحة لمواد خلاف تلك الموجودة في الصخر الأصيل.

2 - أن تتم التفاعلات بإضافة أو إزاحة الماء hydration or dehydration، فيفقد الصخر الأصيل مكونه المائى مع ارتفاع درجة الحرارة، أو يتميأ الصخر بإضافة ماء حار إليه.

3 - أن تتم التفاعلات بفقدان المواد المتطايرة خاصة ثانى أكسيد الكربون، وهو ما يسمى بعملية إزالة الكربنة decarbonation.

4 - أن تصحب التفاعلات عمليات أكسدة واختزال نتيجة فقدان الأكسجين في عمليات إنتاج أول أكسيد الكربون من الكربون المختزل والموجود في الصخر الأصيل.

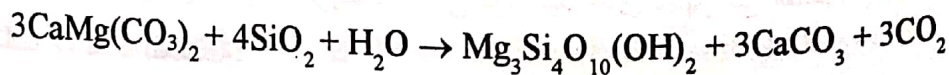
ولعله من المفيد أن نستعرض فيما يلى ونتتبع معا بعض أمثلة التفاعلات التحولية، وسوف نكتفى في بعض الأمثلة بذكر المعادن المتفاعلة والناجمة دون ذكر قوانينها أو صيغها الكيميائية تاركين للقارىء - كنوع من التمرين - إعادة كتابة هذه التفاعلات مستعينا بالصيغ الكيميائية للمعادن المتحولة المذكورة في جدول 1-7 أو بالحصول عليها من أى مرجع لعلم المعادن:



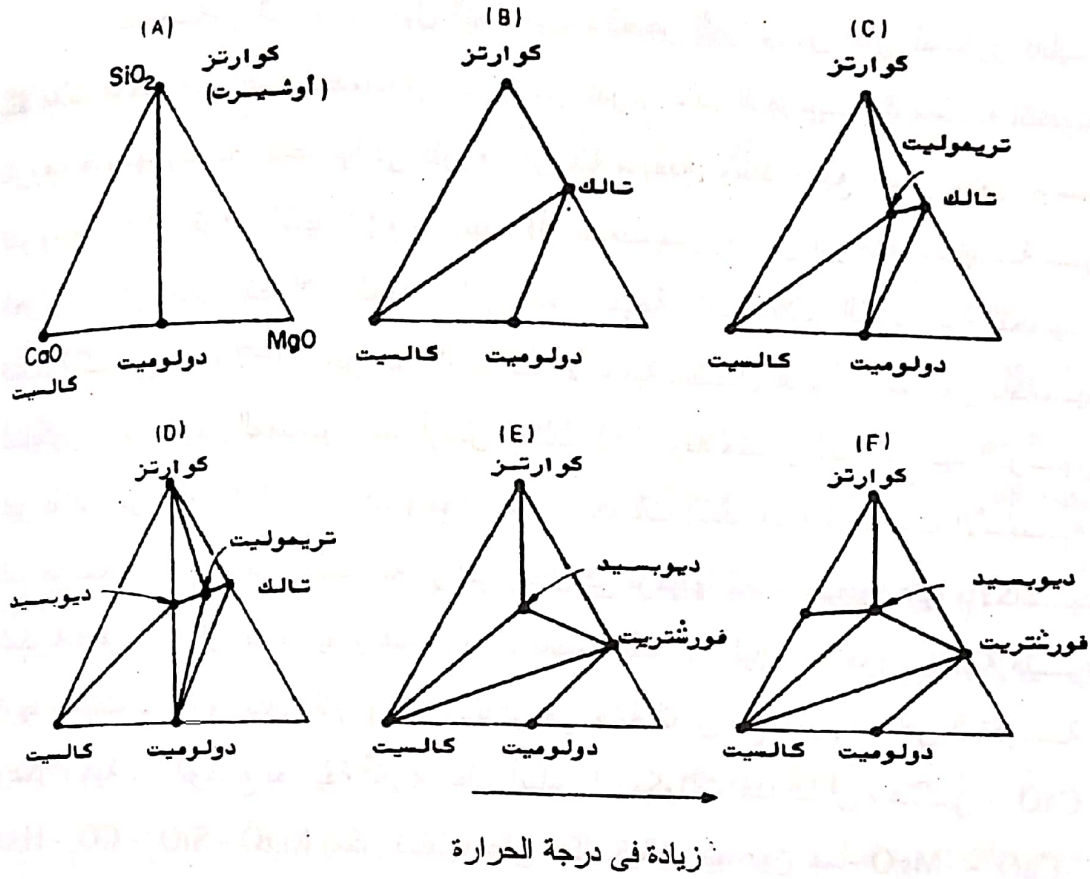
## (1) تحول الصخور الكربوناتية

تعد صخور الكربونات مثل الدولوميت والحجر الجيري من أكثر الصخور قابلية للتفاعلات التحولية، لذلك استخدمت فى الكثير من الدراسات التجريبية العملية لتحديد ظروف حدوثها ونواتج تفاعلاتها فى ظروف فيزيقية متباينة. ولنبدأ بتتبع صخر يتكون من الدولوميت والكوارتز (أو الشيرت) والكالسيت (أو المغنيسيت) تعرض لدرجات متباينة من الحرارة. يمكن تمثيل التحولات المعدنية التى تحدث نتيجة التفاعلات الكيميائية التحولية المتتالية كما فى شكل 1-7. يعبر عن المكونات الأساسية لمثل هذه الصخور بأكاسيد السليكون والكالسيوم والمغنسيوم عند أركان المثلث (A). ونلاحظ أن ثانى أكسيد الكربون غير ظاهر بين مكونات الكيان رغم وجوده ضمن مكونات الكالسيت والدولوميت الأساسية، كما أننا سنلاحظ أن المعادن المتكونة، والتى يدخل فى تركيبها الماء، سيعبر عنها بالأكاسيد المكونة فقط دون ذكر الماء. يتبع هذا الإجراء بالنسبة للمواد الطيارة المتحررة خاصة التى توجد بكميات كبيرة وبشكل دائم، وتكون بالتالى فى حالة اتزان مع جميع المعادن المتكونة. ويمكن رؤية هذا الوضع بطريقة أخرى على أساس أن مكونات هذا الكيان وهى - CaO -  $\text{MgO}$  -  $\text{SiO}_2$  -  $\text{CO}_2$  -  $\text{H}_2\text{O}$  يمكن تمثيلها على شكل كيانين رباعيين هما -  $\text{CaO}$  -  $\text{MgO}$  -  $\text{SiO}_2$  -  $\text{CO}_2$  لمعادن الكربونات و -  $\text{CaO}$  -  $\text{MgO}$  -  $\text{SiO}_2$  -  $\text{H}_2\text{O}$  لمعادن السليكات المائية؛ وأن ثلاثة من هذه المكونات وهى أكاسيد الكالسيوم والسليكون والمغنسيوم تظهر عند الأركان الثلاثة لقاعدة مجسم رباعى الأوجه (فى مستوى سطح الورقة)، أما المكون الرابع وهو ثانى أكسيد الكربون (أو الماء) فيشغل الركن الرابع للمجسم الذى يقع أعلى من مستوى سطح الورقة. وتعد المثلثات التى تظهر فى شكل 1-7 قواعد مثلثة الشكل لهذه المجسمات أسقطت عليها معادن الكربونات والسليكات المائية.

مع زيادة درجة الحرارة التى يتعرض لها الصخر الأصيل، تبدأ سلسلة متتابعة من التفاعلات الممثلة نواتجها على المثلثات من A إلى F. يبدأ أول تفاعل داخل الصخر الرسوبى الأصيل عندما يتعرض لتحول ذى رتبة منخفضة جدا (درجة حرارة ما بين حوالى 150° و 250° مئوية) فيتكون معدن التلك (مثلث B) طبقا للتفاعل التالى:



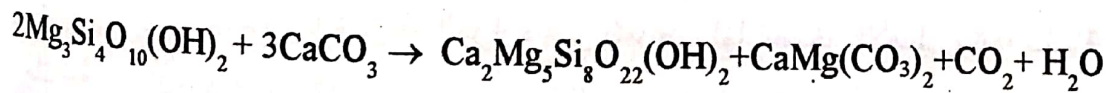
أى: دولوميت + شيرت + ماء ← تلك + كالسيت + ثانى أكسيد الكربون (على الترتيب)



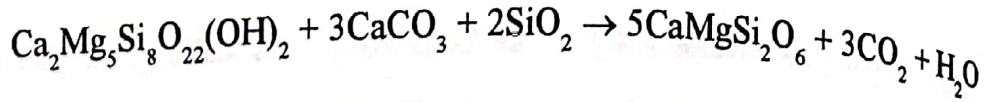
شكل 1-7 التحولات المعدنية الناتجة عن ارتفاع درجة الحرارة فى كيان

(Winkler 1974) فنكلر من: مجمع من:  $\text{CaO} - \text{MgO} - \text{SiO}_2 - \text{CO}_2$

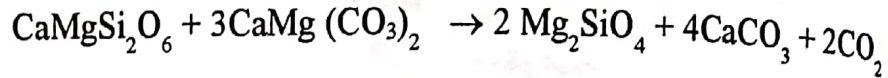
وعندما تصل الظروف التحولية إلى تحول ذى رتبة منخفضة (حرارة بين 250° و 450° مئوية) فإن جزءاً من نواتج التفاعل السابق يتفاعل على النحو التالى، ويظهر التريموليت كمعدن جديد فى المثلث C:



أى: تلك + كالسيت ← تريموليت + دولوميت + ثانى أكسيد الكربون + ماء (على الترتيب).  
وعندما تصل الحرارة إلى ما يقابل التحول متوسط الرتبة (درجة حرارة حوالى 450° إلى 600° مئوية) يمكن أن يتحول التريموليت إلى ديوبسيد الذى يظهر فى الصحبة المعدنية كما فى مثلث D طبقاً للمعادلة:

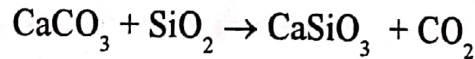


أى: تريموليت + كالسيت + كوارتز ← ديوبسيد + ثانى أكسيد الكربون + ماء (على الترتيب)  
 مع مزيد من الارتفاع فى درجة الحرارة والوصول إلى ظروف التحول عالى الرتبة (أعلى من حوالى 600° مئوية) يتكون معدن الفورشتريت (مثلث E) طبقاً للتفاعل:



أى: ديوبسيد + دولوميت فورشتريت + كالسيت + ثانى أكسيد الكربون (على الترتيب)

وعندما تصل الحرارة إلى مستويات غاية فى الارتفاع، كما فى المناطق التى تجاور المحقونات النارية مباشرة (تحول مماسى)، يتكون معدن الولاستونيت (مثلث F) كما فى المعادلة:



أى: كالسيت + كوارتز ← ولاستونيت + ثانى أكسيد الكربون (على الترتيب)

وجميع هذه التفاعلات يمكن دراستها تجريبياً فى المعامل والحصول على معلومات دقيقة عن درجات الحرارة والضغط التى تتم عندها التفاعلات التحولية المختلفة.

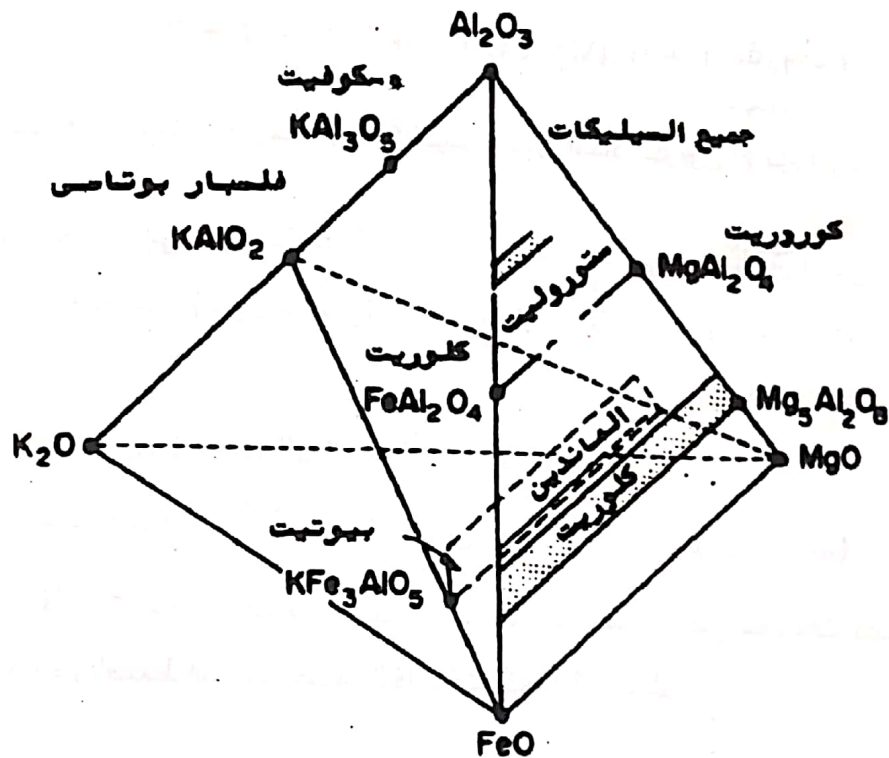
## (2) تحول صخور الطفلة

تمثل الصخور الطفلية (الأرجيلية) كيانات أكثر تعقداً من صخور الكربونات، وذلك لزيادة عدد مكوناتها إلى ستة هى:  $\text{SiO}_2 - \text{Al}_2\text{O}_3 - \text{MgO} - \text{FeO} - \text{K}_2\text{O} - \text{H}_2\text{O}$  الأمر الذى تصعب معه وسيلة تمثيلها فى أشكال شبيهة بتلك التى قدمناها لصخور الكربونات.

وحتى يمكن تمثيل هذا الكيان بيانياً، فمن الضروري إهمال مكونين (أكسيدين) أو تجاهلها، فإذا أمكن قصر الصحبات المعدنية على تلك التى تحوى دائماً الكوارتز؛ أى جعلناه قاسماً مشتركاً فى جميع الصحبات، فمن الممكن تجاهل الكوارتز بين المكونات الممثلة فى الشكل. أما المكون الآخر الذى جرى العرف على تجاهله فى التمثيل البيانى فهو الماء وذلك



لفقدانه من معادن الطفلة عادة بارتفاع درجة الحرارة. وعليه يمكن تمثيل المكونات والصحبات المعدنية الناتجة من التفاعلات التحولية نتيجة ارتفاع الحرارة بالشكل رقم 2-7 وهو على شكل مجسم رباعى الأوجه، يشغل أكسيد الألومنيوم ركنه العلوى وأكاسيد المغنسيوم والحديد والبوتاسيوم الأركان الثلاثة الأخرى فى مستوى واحد.



شكل 7-2 الصلصات المعدنية الناتجة من التفاعلات التحولية فى كيان  $\text{SiO}_2 - \text{Al}_2\text{O}_3 - \text{MgO} - \text{FeO} - \text{K}_2\text{O}$  و  $\text{H}_2\text{O}$  والمبينة فى الجسم رباعى الأوجه لتلك الأكاسيد  
عن: دانا (Dana, 1985)

يعطى الجدول رقم 7-2 الصحبات المعدنية فى رتب التحول المختلفة للصخور  
الطفلية مع مقارنتها بمثيلاتها فى حالة صخور الكربونات التى سبق شرحها. شكل 7-2  
الصحبات المعدنية الناتجة من التفاعلات التحولية فى نظام  $\text{SiO}_2 - \text{Al}_2\text{O}_3 - \text{MgO} - \text{FeO} - \text{K}_2\text{O}$   
 $\text{H}_2\text{O}$  والمبينة فى المجسم رباعى الأوجه لتلك الأكاسيد.

جدول 2-7 بعض الصحبات المعدلة المميزة لرتب التحول المختلفة لصخور طفالية وكرتونائية

| الرتبة     | صخور طفالية   | صخور كربونات (دولوميت سليسي)   |
|------------|---|--|
| منخفضة جدا | بامبيليت - بريهنيت - كوارتز<br>لاوسونيت - ألبيت<br>لاوسونيت - جاديت - جلوكونان                              | تلك - كالسيت - دولوميت<br>تلك - كالسيت - كوارتز<br>تلك - كالسيت - دولوميت -<br>كوارتز                                |
| منخفضة     | كلوريت - زويسيت /<br>كلينوزويسيت<br>± أكتينوليت ± كوارتز  | تريموليت - تلك - كالسيت -<br>دولوميت<br>- كوارتز   |
| متوسطة     | كورديريت - مسكوفيت<br>شتوروليت - مسكوفيت  | فورشتريت - كالسيت - تريموليت -<br>دولوميت<br>ديوبسيد - فورشتريت - كالسيت<br>ديوبسيد - ولاستونيت - كالسيت -<br>كوارتز |
| عالية      | فلسبار بوتاسي - أندلوسيت<br>(أو سليمانيت أو كيانيت)<br>فلسبار بوتاسي - كورديريت<br>فلسبار بوتاسي - ألماندين | بريكليز - بروسيت - كالسيت<br>مونتسليت - ميليت<br>أكرمانيت  |

### (3) تحول الصخور فوق المافية

من المعروف أن الصخور النارية فوق المافية تتكون أصلا من معادن الأوليفين والبيروكسين وتسودها كيميائيا الأكاسيد:  $\text{SiO}_2 - \text{FeO} - \text{MgO}$  (مع قليل من  $\text{CaO}$  أحيانا)؛ وتعد صخور السربنتين التي تتكون من معادن السربنتين (الأنثجوريت والكريسوتيل) والتلك والبروسيت وبعض الماجنتيت أهم نواتج تحولها. تختلف نسب هذه المعادن في الصخر المتحول باختلاف النسبة الأصلية لمعادن الأوليفين والبيروكسين وكذلك باختلاف التركيز الجزيئي لثاني أكسيد الكربون في الموائع التي اجتاحت الصخر وسببت تحوله، فتزيد مثلا نسبة معادن السربنتين بزيادة نسبة الأوليفين : بيروكسين، وتزيد نسبة تلك بزيادة نسبة البيروكسين : أوليفين، كما أن مجرد وجود معادن السربنتين بكثرة في الصخر المتحول يعد دلالة على أن المادة المائعة التي كانت سائدة أثناء التفاعل التحولي احتوت على نسبة منخفضة جدا من ثاني أكسيد الكربون أو افتقدته كلية. أما إذا تجاوز تركيزه الجزيئي العشرة بالمائة فإن السربنتين يتحول إلى مغنيسيت وكوارتز أو مغنيسيت وتلك، وإذا ارتفع تركيز ثاني

أكسيد الكربون أكثر فأكثر فإن ذلك يقود إلى تكون مغنيسيت وأنثوفليت أو مغنيسيت وإنستاتيت. وفي حالة وجود بعض الكالسيوم أو الألومنيوم في بيروكسينات الصخر الأصلي، فإن معادن أخرى، مثل الديوبسيد والتريموليت (تحتوى على كالسيوم) أو الكلوريت الغنى بالمغنسيوم (يحتوى على الألومنيوم)، تظهر عند التحول. وعموماً، فإن هذه التحولات كلها تشير إلى حدوث إضافة من الماء المحمل بتركيزات متباينة من ثانى أكسيد الكربون. ويعطى جدول 3-7 تحليلاً كيميائياً لبعض صخور السربنتين والتي تعكس محدودية التغيرات الكيميائية في بعض الصخور فوق المافية باستثناء الإضافات المشار إليها.

#### (4) تحول الصخور المافية

تكون صخور البازلت والأنديزيت البيروكسينى الغالبية العظمى من الصخور النارية المافية. وهى تشكل الجزء الأكبر من التتابعات الصخرية الطباقية فى دروع القارات بشكل عام، والدرع العربية النوبية بشكل خاص. وتعتمد نواتج تحول هذه الصخور بالدرجة الأولى على الحرارة ووصول الماء إلى الصخر أثناء عملية التحول أو عدم وصوله، ثم على مقدار الضغط الذى يمكن أن تتعرض له أثناء الدفن.

فى حالة وصول الماء إلى الصخر تتكون الصخور التالية مع توالى انخفاض حرارة التحول:

#### • الأمفيبوليت *amphibolite*

والذى يظهر فيه معدن الهورنبلند وبعض من جارنت الألمندين (إذا كان الضغط مرتفعاً) من تحول معادن البيروكسين والأوليفين إن وجد. وتتغير معادن فلسبار البلاجيوكليز لتصبح أقل كلسية من التى كانت موجودة فى الصخر الأصلي، ويتكون على حساب ذلك الإبيدوت و/أو الكلينوزوسيت، وكلاهما يتكون من جزيئات الأنورثيت التى يفقدها البلاجيوكليز نتيجة للتحول، وكلما انخفضت الحرارة كلما قل محتوى البلاجيوكليز الناتج من الكالسيوم وزادت بالتالى كمية الإبيدوت أو الكلينوزوسيت المتكون.



جدول 3-7 متوسط التركيب الكيميائي لبعض صخور السربنتين المنتمية إلى صخور أفيوليت متحولة بالدرع العربي النوبي مقارنة بمتوسطات الصخور فوق المافية العالمية

| الأكسيد                        | سربنتين* | بريدوتيت* | هارزبورجيت* | دونيت* |
|--------------------------------|----------|-----------|-------------|--------|
| SiO <sub>2</sub>               | 41.22    | 42.26     | 39.93       | 38.29  |
| TiO <sub>2</sub>               | 0.27     | 0.63      | 0.26        | 0.09   |
| Al <sub>2</sub> O <sub>3</sub> | 1.93     | 4.23      | 2.35        | 1.82   |
| Fe <sub>2</sub> O <sub>3</sub> | 3.30     | 3.61      | 5.48        | 3.59   |
| FeO                            | 6.16     | 6.58      | 6.47        | 9.38   |
| MnO                            | 0.13     | 0.41      | 0.15        | 0.71   |
| MgO                            | 36.23    | 31.24     | 23.18       | 37.94  |
| CaO                            | 0.93     | 5.05      | 2.90        | 1.01   |
| Na <sub>2</sub> O              | 0.15     | 0.49      | 0.31        | 0.20   |
| K <sub>2</sub> O               | 0.06     | 0.34      | 0.14        | 0.08   |
| P <sub>2</sub> O <sub>5</sub>  | 0.30     | 0.10      | 0.13        | 0.20   |
| H <sub>2</sub> O+              | 8.88     | 3.91      | 4.00        | 4.59   |
| H <sub>2</sub> O-              | 0.56     | 0.31      | 0.24        | 0.25   |

\* متوسط 9 تحاليل ممثلة لمعدنات أفيوليت بمناطق مختلفة بالدرع العربية النوبية

عن: البيومي (El Bayoumi 1980) و شنتي (Shanti 1982).

\* عن: لوميتير (Le Maitre 1976)

#### • الشست الأخضر *greenschist*

وفيه يكون البلاجيوكليز السائد هو الألبيت، ويبدأ الهورنبلند في التحلل وتظهر معادن الكلوريت والكوارتز والأكتينوليت بالإضافة إلى الإبيدوت و/أو الكالينوزوسيت.

#### • شست الجلوكوفان *glaucophane schist*

أو شست الكلوريت - ألبيت - لاوسونيت، أو شست الكلوريت - بريهنيت - لاومنتيت، وذلك تبعاً للضغط والحرارة السائدين.

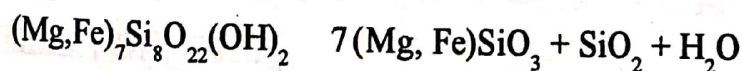
ويلاحظ هنا أن أكثر المعادن المتكونة تحتوى على الماء فى بنيتها كمكون أساسى، رغم أن الصخر الأصيل لا يحتوى على ماء فى أى من معادنه. ومن الناحية الكيميائية، فإن مكونات الصخر قبل التحول تكون الـ  $\text{SiO}_2$ ,  $\text{Al}_2\text{O}_3$ ,  $\text{CaO}$ ,  $\text{Na}_2\text{O}$  (فى البلاجيوكليز)، و الـ  $\text{FeO}$ ,  $\text{MgO}$ ,  $\text{CaO}$  (فى البيروكسينات). أما بعد التحول فتزيد نسب الصوديوم وتقل نسب الكالسيوم، وقد تزيد نسب البوتاسيوم بدرجة قليلة. وفيما عدا ذلك تظل معظم المكونات فى حدود تركيزاتها الأصلية فى الصخر قبل تحوله.

أما فى حالة عدم وصول الماء إلى الصخر، وعدم تعرضه إلى ضغط شديد الارتفاع، فلا يحدث تحول للصخر؛ والدليل على ذلك هو المشاهد فى الأجزاء الداخلية من محقونات الجابرو الموجودة وسط أقاليم متحولة تماما، حيث تبقى على حالتها محتفظة بتركيبها المعدنى الأصيل، مما يشير إلى ضرورة وصول الماء إلى كافة أجزاء الصخر حتى يتم التحول الكلى له.

أما فى حالة تعرض الصخر إلى ضغط مرتفع جدا مع عدم وصول الماء إليه فيتكون صخر الإكلوجيت eclogite على مدى متباين من درجات الحرارة، كذلك قد يتكون صخر الجرانوليت المافى، ولكن يقتصر ذلك على درجات الحرارة المرتفعة.

### (5) تحول الصخور المتوسطة

من المعلوم أن معادن الأمفيبول والميكا تتكون فى الصخور النارية المتوسطة (بين الفلسية والمافية)، وعند تعرضها أثناء عمليات التحول لحرارة مرتفعة تبدأ هذه المعادن فى فقدان استقرارها. فيتحطم مثلا الأمفيبول ليكوّن بيروكسين ويطلق ماءً، وينتج عن التفاعل ظهور كوارتز طبقا للمعادلة:



أى: أمفيبول ← بيروكسين + كوارتز + ماء (على الترتيب)

وحتى عند درجات حرارة أقل انخفاضاً، فإن معادن الطفلة المائية في الصخور الرسوبية تتحطم لتكون معادن ميكاً أخرى أكثر استقراراً. فإذا زادت الحرارة أكثر من ذلك، تحطمت معادن الميكاً هذه لتكون فلسباراً ومعادن أخرى وماء وهكذا.

### مفهوم السحنة المتحولة

يرجع مفهوم السحنة المتحولة إلى العالم إسكولا (Eskola 1960) الذى وضع التعريف التالى لها فى عام 1920:

" تشير السحنة المتحولة إلى مجموعة من الصخور تتميز بوجود صلبة معينة من المعادن كانت تنعم تحت الظروف التى تكونت عندها بحالة من الاتزان التام فيما بينها. ويختلف التركيب الكمي والنوعي للمعدن فى صخور أى سحنة تدريجياً باختلاف التركيب الكيميائى للصخور".

وقد أدخلت على هذا التعريف عدة تعديلات شارك فيها عدد كبير من العلماء منهم إسكولا نفسه وجولدشميدت (Goldschmidt 1954) ورامبرج (Ramberg 1952) ووينكلر (Winkler 1979) انتهت جميعها إلى تحويل طفيف للتعريف السابق ليصبح على النحو التالى:

"تشمل السحنة المتحولة جميع الصخور التى وصلت إلى حالة من الاتزان الكيميائى تحت ظروف فيزيقية معينة".

تشمل هذه الظروف الفيزيقيه الضغط والحرارة، وتلعب الأخيرة دوراً كبيراً فى تحديد نوع السحنة. ومن الناحية العملية، فإن تحديد سحنة متحولة معينة يعد عملاً سهلاً نسبياً، فما علينا إلا اختيار منطقة معينة تتكون من صخور متحولة ذات تركيب كيميائى متباين، مشتقة مثلاً من حمم بركانية وتوفا مختلفة التركيب، ومن صخور فوق مافية، ومن رواسب طفالية، ومن حجر جبرى أو دولوميت وتحديد مكوناتها بتروجرافيا. ونظراً لتقارب



هذه الصخور فى المكان، فإنها تكون قد تحولت جميعا فى ظروف فيزيقية شديدة التقارب، وأعطت مجموعة من المعادن مقابلة لتركيباتها الكيميائية. وتكون مجموعة الصخور هذه، بتعدد وتباين صاحباتها المعدنية، سحنة متحولة واحدة. ويستخدم مصطلح رتبة التحول metamorphic grade بشكل عام لتوضيح العلاقة بين سحنة متحولة وأخرى، فالصخور المتحولة منخفضة الرتبة مثلا هى صخور تنتمى إلى سحنة تكونت فى ظروف منخفضة من الضغط والحرارة، أما الصخور عالية الرتبة فهى تلك التى تنتمى إلى سحنة تكونت فى ظروف مرتفعة من الضغط والحرارة وهكذا. ويشكل مفهوم السحنة المتحولة فى الحقيقة تعبيراً آخر لقاعدة الصنف على النحو التالى:

"فى أى كيان فى حالة اتزان، يعتمد عدد وتركيب الأصناف المتكونة (المعادن) على التركيب الكيميائى الكلى للكيان، وعلى ظروف الضغط والحرارة التى تمت عندها حالة الاتزان. وتعرف السحنة وتحدد بظهور بعض المعادن الحرجة أو تجمعات معدنية معينة تكون مميزة للسحنة موضع التساؤل ولا تظهر فى أى سحنة أخرى. والمعادن ذات الحساسية الكافية لتكون معادن حرجة أو مميزة للسحنات محدودة للغاية، فى حين أن هناك الكثير من المعادن التى تظهر فى سحنات متعددة ومتباينة فى ظروف تكوينها الفيزيقيه ومن أمثلتها معادن الكوارتز والكالسيت والألبيت".

ونظرا إلى أن المدى الفعلى لدرجات الحرارة والضغط لمختلف السحنات غير معروف على وجه التحديد، فقد اختلفت تقديرات الباحثين عند وضع المدى الحرارى لكل سحنة، فمثلا الجدول 4-7 وضعه الباحث فايف و تيرنر و فيرهوجن (Fyfe, Turner and Verhoogen 1958). وعدله كراوسكوف (Krauskopf 1979) للتبسيط. ويعطى هذا الجدول المدى الحرارى لعدد من السحنات الشائعة تحت ضغوط منخفضة مقارنة بضغوط متوسطة إلى مرتفعة. إذا قورن هذا الجدول بالشكل 3-7 الذى وضعه ماسون (Mason 1966) لنفس الغرض، فسيلاحظ القارئ تباينا فى كثير من الحالات، وقد يكون من المفيد أن يستخرجها القارئ بنفسه.

لعلنا نلاحظ أيضا أن الأقسام الأربعة المبينة في الجدول 4-7 تتداخل قيمها حتى إن المدى الحرارى من 500 إلى 550 درجة مئوية مثلا يمكن أن يشمل سخانات من الشست الأخضر والأمفيبوليت والجرانيوليت مع اختلاف الضغط السائد لكل منها، لذا نرى أن شكلا مثل 3-7 يعبر كذلك بصورة أدق عن الوضع السائد في الطبيعة، حيث لا توجد حدود فاصلة بين السخانات. كما نلاحظ في جدول 4-7 أن التباين بين الصلحبات المعدنية المتكونة في ظروف الضغوط العالية وتلك المتكونة تحت ضغوط منخفضة ليس كبيرا؛ فتتكون مثلا المعادن الثقيلة (عالية الكثافة) مثل الجارنت والسليمانيت تحت ضغوط مرتفعة، فى حين تتكون المعادن الخفيفة. مثل الكورديريت والأندلوسيت عند ضغوط متوسطة.

نلاحظ من نفس الجدول أن الانتقال من المدى الحرارى الأول (250° - 550° م) إلى الذى يليه يكون مصحوبا بالآتى:

- اختفاء الألبيت والإبيدوت وتكون البلاجيوكليز الكلسى
- اختفاء الأكتينوليت وتكون الهورنبلند
- اختفاء الكلوريت وتكون الجارنت

أما الانتقال من المدى الحرارى الثانى (400° - 650° م) إلى الذى يليه فيكون مصحوبا بالآتى:

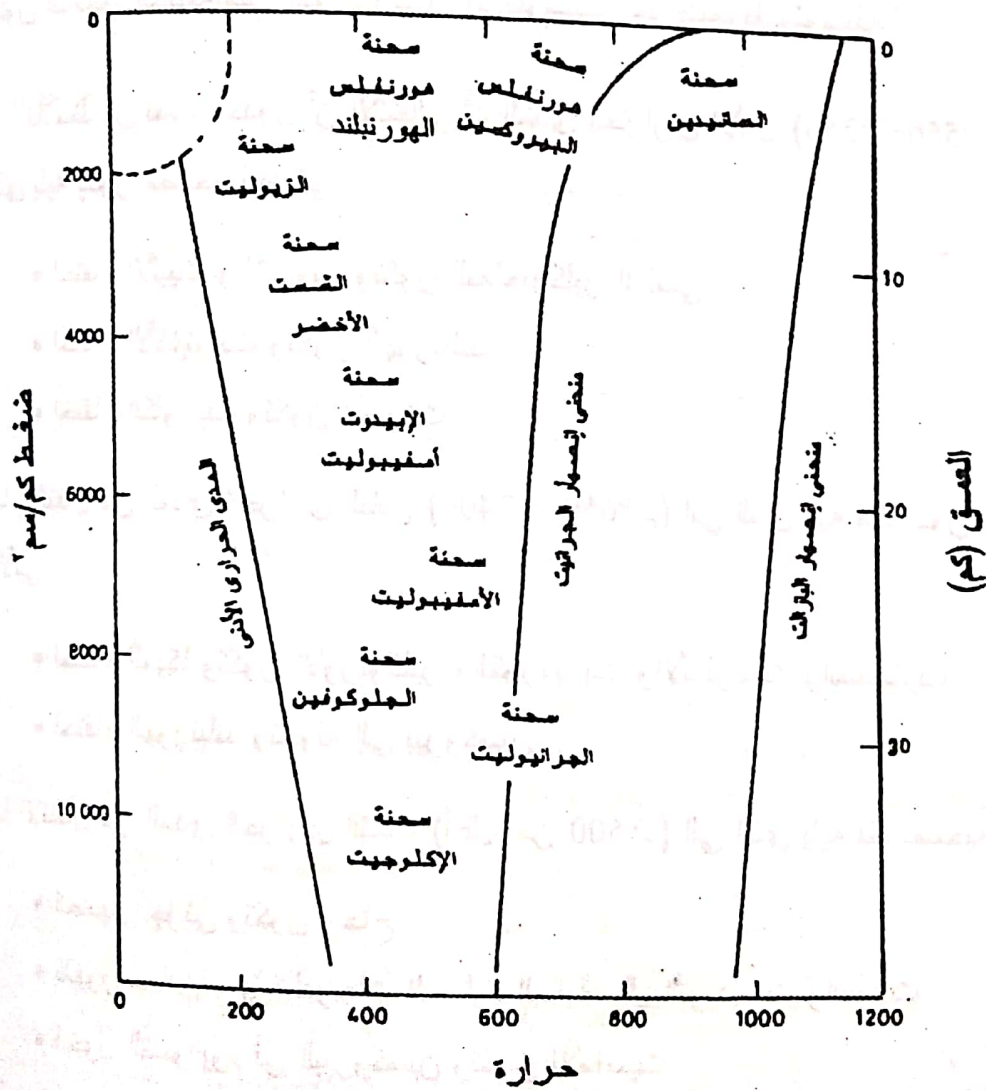
- اختفاء الميكا وتكون الأورثوكليز والكورديريت والأندلوسيت والسليمانيت
- اختفاء الهورنبلند وتحوله إلى بيروكسين

أما الانتقال من المدى الحرارى الثالث (أعلى من 500° م) إلى الذى يليه فقد يصحبه:

- انصهار جزئى وتكون زجاج
- ظهور معادن مميزة لدرجات الحرارة العالية مثل التريديميت والموليت
- دخول الصوديوم فى البيروكسين وتكون الأمفيسيت

وفى جميع المراحل نجد تناقصا فى المعادن المحتوية فى بنيتها على الماء، وذلك كلما انتقلنا إلى السخانات المتكونة فى درجات حرارة أعلى.

وكمثال آخر لترسيخ مفهوم السحنة المتحولة عند القارئ، يظهر جدول 5-7 الصحبات المعدنية (نوعا وكما) لعدد من السحنات المتحولة من مناطق مختلفة لصخر ذي تركيب كيميائي قاعدى (جابرو). يتضح من هذا الجدول أن التركيب الكيميائي متشابه فى جميع السحن، وأن كلا من الصحبات المعدنية المختلفة يعكس الظروف الطبيعية للتبلور (بفرض حدوث حالة اتزان بين مكونات كل صخرة خلال التبلور)، ومن ثم تصبح هذه أحد السمات أو الخصائص التى تعرف بها السحنة.



شكل 3-7 السحنات الرئيسية وعلاقتها بالحرارة والضغط والعمق.

عن: ماسون ومور (Mason & Moore 1982).



جدول 7-4 المدى الحرارى لعدد من السحنات الشائعة تحت ضغوط منخفضة مقارنة بضغط متوسط إلى عالية عن: كراوسكوف (Krauskopf 1979).

| المدى الحرارى | صخر الأصل         | ضغط منخفض *  | ضغط متوسط إلى عال **  |
|---------------|-------------------|--|---|
| 250-550°م     | طفلى<br>نارى مافى | سحنة هورنفلس الألبيت -<br>إبيدوت<br>كوارتز - ألبيت - مسكوفيت<br>بيوتيت<br>ألبيت - إبيدوت - أكتينوليت -<br>كلوريت           | سحنة الشست الأخضر<br>كوارتز - ألبيت - كلوريت -<br>مسكوفيت وكوارتز - ألبيت -<br>مسكوفيت - بيوتيت<br>ألبيت - إبيدوت - أكتينوليت -<br>كلوريت |
| 400-650°م     | طفلى<br>نارى مافى | سحنة هورنفلس الهورزنبلند<br>كوارتز - بلاجيوكليز -<br>ميكروكلين - بيوتيت -<br>مسكوفيت<br>بلاجيوكليز - هورزنبلند             | سحنة الأمفيبوليت<br>كوارتز - بلاجيوكليز -<br>مسكوفيت - بيوتيت - الماندين<br>بلاجيوكليز - هورزنبلند  |
| أعلى من 500°م | طفلى<br>نارى مافى | سحنة هورنفلس البيروكسن<br>كوارتز - بلاجيوكليز -<br>أورثوكليز - كورديريت -<br>أندلسيت<br>بلاجيوكليز - ديوبسيد -<br>هيبيرثين | سحنة الجرانوليت<br>كوارتز - بلاجيوكليز -<br>أورثوكليز - جارت - سيلمانيت<br>بلاجيوكليز - جارت -<br>هيبيرثين كوارتز                         |
| أعلى من 600°م | طفلى<br>نارى جوفى | سحنة الساتيدينيت<br>تريديميت - كورديريت -<br>موليت - زجاج<br>بلاجيوكليز - ديوبسيد -<br>هيبيرثين                            | سحنة الإكلوجيت<br>لا يوجد<br>أومفاسيت - جارت  |

\* ضغط الصخر الساكن يكون عادة أقل من 300 جوى (العمق أقل من 10 كم). ضغط الماء متغير. ظروف مطابقة لتطبيقات التحول التماسى.

\*\* ضغط الصخر الساكن وضغط الماء يكونا متساويين تقريباً، عادة بين 3000 إلى 12000 جوى (العمق بين 10 وبين 40 كم). ظروف مطابقة للتحول الإقليمي.

### التمثيل البياني للتغيرات الكيميائية بين السحنات

يمكن تمثيل العلاقات بين السحنات المتحولة بطريقة ميسرة باستخدام أشكال مثلثية تمثل أطرافها الزاوية المتغيرات الكيميائية أو المعدنية السائدة كما في شكل 7-4. وأكثر هذه الأشكال شيوعاً هو المعروف بالشكل المثلثي ACF. يظهر المثلث العلوي الصحنات المعدنية التي تسود في سحنة الشست الأخضر والمثلث السفلي تلك التي تسود في سحنة الأمفيبوليت، وتمثل النقطة س في الشكلين صخراً طفلياً يتكون أساساً من الكوارتز ومعادن الطين وقليل من المسكوفيت والكوارتز وقليل من الألبيت، والكلوريت، والإبيدوت؛ في حين في سحنة الأمفيبوليت (المثلث السفلي) يتحول نفس الصخر (الممثل بنقطة س) إلى سليمانيت وكوارتز وميكروكلين مع قليل من البلاجيوكليز والألمندين.

بالمثل فإن صخراً من التوف tuff يمكن أن تمثل نواتج تحوله بالنقطة ص في الشكلين حيث تكون النواتج إبيدوت - أكتينوليت - كلوريت - ألبيت في سحنة الشست الأخضر، وبلاجيوكليز - هورنبلند - ديوبسيد في سحنة الأمفيبوليت.

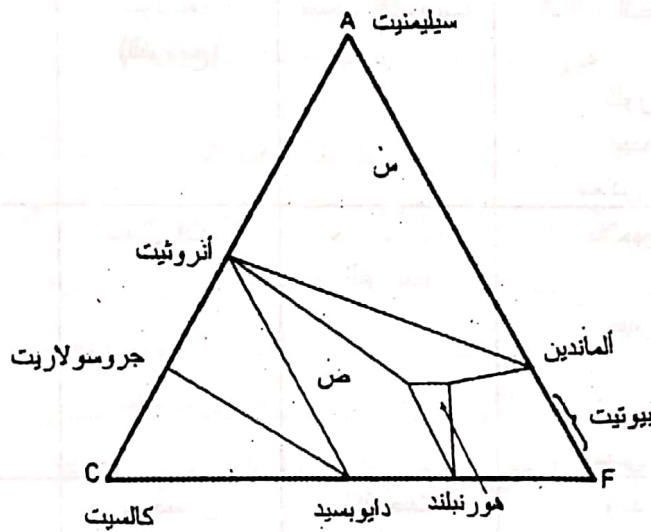
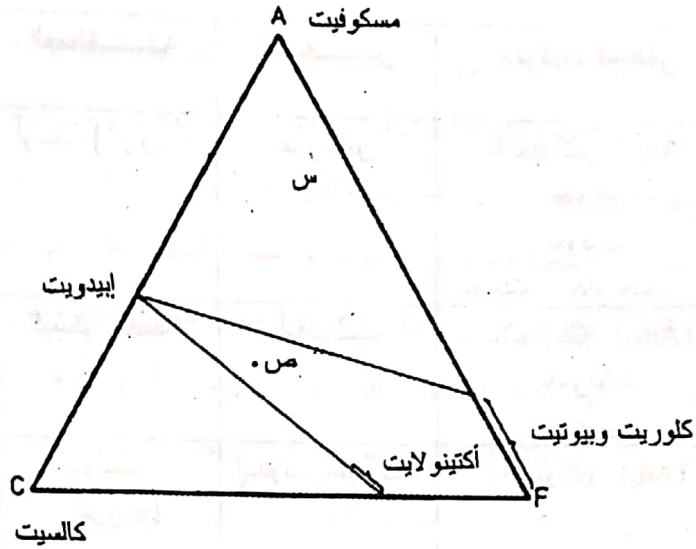
لعله يكون من المفيد أن نستعرض طريقة توقيع المكونات الكيميائية لصخر متحول على شكل مثلثي مثل أشكال الـ ACF المذكورة أعلاه. من المعلوم أن تلك المكونات قد يصل عددها إلى سبعة أو ثمانية أكاسيد أولية. ولكي يمكن توقيع هذه المتغيرات على شكل مثلثي، فإننا نلجأ أولاً إلى اختزال عدد هذه المتغيرات وذلك بضم بعض المكونات في مجموعات واختيار الأهم من بينها. وهناك عدة وسائل لعمل ذلك من أهمها طريقة إسكولا Eskola لرسم الشكل المثلثي ACF. والخطوات المتبعة في هذا الشأن هي:

- 1 - أعد حساب النسب المئوية لأوزان الأكاسيد بتحويلها إلى نسب جزيئية.
- 2 - استبعد مكونات المعادن الإضافية.
- 3 - اطرح من الألومنيوم كمية مكافئة لما تحتاجه معادن الفلسبار القلوي منه طبقاً لنسب أكاسيد الصوديوم والبوتاسيوم الموجودة.
- 4 - أضف الألومينا المتبقية إلى أكسيد الحديد لتحصل على كمية تسمى A.
- 5 - اجعل أكسيد الكالسيوم ممثلاً للكمية C.

جدول 5-7 الصحبات المعدنية لعدد من السحنات المتحولة لصخور نارية قاعدية التركيب.  
عن: إسكولا (Eskola 1960) و ماسون و مور (Mason & Moore 1982).

| النسبة<br>المئوية                      | التركيب المعدني  | الصخر                | المنطقة              | السحنة             |
|--|--|----------------------|----------------------|--------------------|
| %48<br>%17<br>%18<br>%17               | بلاجيوكليز (An <sub>40</sub> )<br>هيبيرثين<br>ديوبسيد<br>بيوتيت - خام حديد الخ | هورنفلس              | أوسلو (النرويج)      | هورنفلس البيروكسين |
| %26.5<br>%71.5<br>%2                   | بلاجيوكليز (An <sub>43</sub> )<br>هورنبلند<br>كوارتز                           | أمفيبوليت            | كيسكو (فنلندا)       | أمفيبوليت          |
| %42.8<br>%42.2<br>%12.3<br>%3.4        | بلاجيوكليز (An <sub>8</sub> )<br>هورنبلند<br>كلينوزويسيت<br>معادن أخرى         | إبيدوت/أمفيبوليت     | سوليتما<br>(النرويج) | إبيدوت أمفيبوليت   |
| %39.9<br>%29.4<br>%23.0<br>%7.2        | ألبيت<br>كلوريت<br>إبيدوت<br>معادن أخرى  | شست الكلوريت         | سوليتما<br>(النرويج) | شست أخضر           |
| %49.5<br>%25.3<br>%9.6<br>%7.1<br>%7.4 | بلاجيوكليز<br>هيبيرثين<br>ديوبسيد<br>أورثوكليز<br>معادن أخرى                   | جرانيوليت<br>النوريت | شمال فنلندا          | جرانيوليت          |
| %48.5<br>%50.5<br>%1.0                 | أومفاسيت<br>جارنت<br>معادن أخرى  | إكلوجيت              | برجستين<br>ألمانيا   | إكلوجيت            |
| %54.3<br>%26.8<br>%15.6<br>%3.1        | جلوكوفان<br>لاوسونيت<br>سيريسيت<br>معادن أخرى                                  | شست<br>الجلوكوفان    | سكاليا (إيطاليا)     | شست الجلوكوفان     |





شكل 4-7 بعض الصحبات المعدنية لسحنة الأمفيبوليت. الكوارتز والميكروكلين  
محتملان كمعادن إضافية أخرى.

عن: كراوسكوف (Krauskopf 1979)

- 6 — اجعل مجموع أكاسيد المغنسيوم والحديدوز والمنجنيز مساويا للكمية F.
- 7 — أعد حساب نسب  $A+C+F$  على أساس جعل مجموعها مساويا 100، ثم وقّعهم على شكل مثلثي بالطريقة المعتادة.

فى هذه الخطوات لم نأخذ فى الاعتبار نسب السليكا (الكوارتز) والفلسبارات القلوية، وذلك بافتراض أن هذه المعادن موجودة بشكل فائض فى جميع السحنات، وهو افتراض يقويه وجود هذه المعادن فى معظم الصخور المتحولة، وبالتالي فإن وجودها لا يفيد كثيرا فى التمييز بين التجمعات أو الصحنات المعدنية المختلفة. أما فى الصخور التى لا تحوى فائضا من هذه المعادن، فلا بد من تغيير توليفة المكونات عند أركان الشكل المثلثي.

### التحوال كنوع من التحوّل

يطلق مصطلح التحوال *metasomatism* على عمليات التحوّل التى تتضمن تغييرا فى التركيب الكيميائى الكلى للصخر نتيجة إضافة مواد جديدة خلال عملية التحوّل، بعكس الوضع فى حالة التحوّل العادى الذى سبق بيانه فى مفهوم السحنات، والذى يؤكد على أن حالة الاتزان التى تسود بين مجموعة أو صحنبة معدنية ترتكز أساسا على الظروف الفيزيائية السائدة خلال عملية التحوّل والتركيب الكيميائى الأصلى للصخر. لذلك، يطلق على عمليات التحوّل العادية مصطلح "تحوّل بالتناظر الكيميائى" *isochemical metamorphism* فى حين يطلق على التحوال مصطلح "تحوّل بالتغير الكيميائى" *allochemical metamorphism*. تعد عملية التحوال من العمليات المحدودة نسبيا إذا قورنت بعمليات التحوّل العادية. وتتحصر أماكن حدوثها على الهالات المحيطة بالمحقونات النارية، وتتسبب فى تكون كثير من الرواسب المعدنية الهامة. السبب فى ذلك أن المراحل النهائية لتبلور هذه المحقونات يصحبها غالبا تكون كميات زائدة من المحاليل المائية والغازات الغنية بالعناصر ذات القيمة الاقتصادية. ونتيجة عوامل الضغط والاختلاف الحرارى عن الصخور المحيطة، تجتاح هذه المحاليل والغازات تلك الصخور محدثة تغييرات فى تركيبها الكيميائى، ومرسبة كثيرا من معادن الخامات الهامة. كما يلاحظ أن الماء فى حد ذاته غالبا ما يلعب دورا كبيرا فى

عمليات التحوال وينتج عنه رواسب هامة، كما في حالة تغير الفلسبار البوتاسى الموجود فى صخور الجرانيت بمنطقة كورنوال Cornwall بالجزر البريطانية إلى كاولين يستخدم فى صناعة الأوانى الخزفية.

ورغم أن عملية التحوال تتم عادة بانتقال مواد إلى الصخور الأصلية (أو إزالتها منها) عن طريق حملها ضمن أصناف مائعة أو غازية، إلا أنه من الناحية النظرية يمكن أيضا انتقال هذه المواد إلى الصخر (أو إزالتها منه) بعملية الانتشار فى الحالة الجامدة solid diffusion وفى غياب أى موانع أو غازات. غير أن التجارب العملية كلها تشير إلى أن هذه الآلية غير قادرة على إحداث تغيرات كيميائية مؤثرة فى الصخر. ويختلف تأثير انتقال المحاليل والغازات من المحقونات النارية إلى الصخور المجاورة باختلاف مسامية تلك الصخور ودرجة نفاذيتها.

يحكم التفاعلات الكيميائية المصاحبة لعملية التحوال الأسس الفيزيوكيميائية المعروفة وعلى الأخص قاعدة الصنف وقانون فعل الكتلة Law of mass action. وبالإضافة إلى ذلك هناك أيضا قاعدة هامة تحكم معظم عمليات التحوال وهى عدم تغير حجم الصخر بعد تعرضه لها، بمعنى أن يظل الصخر شاغلا نفس الحيز الذى كان يشغله قبل تحواله. وتظهر أهمية هذه القاعدة إذا نظرنا إلى المثال الآتى: من الناحية النظرية يمكن أن تتم عملية سربنة serpentization الأوليفين (أى تحوله إلى معادن السربنتين) عن طريق إحدى المعادلتين:



أو



وكما يتضح لنا، لابد من زيادة الحيز الذى يشغله الصخر فى التفاعل الأول حتى يستوعب السليكا والماء المضاف. أما فى التفاعل الثانى فيمكن للصخر الإبقاء على نفس حجمه السابق إذا توافرت آلية قادرة على إزالة السليكا والمغنيسيا على شكل محاليل مذابة. وعليه، فإن



المعادلة الثانية تكون أقرب إلى ما يحدث فعلاً للصخر فى عملية التحوال. لهذا، فإن تفسير عمليات التحوال على أساس كتابة تفاعلات كيميائية متزنة الجانبين دون مراعاة للتغير الفراغى أو الحجمى المصاحب للتفاعل قد يكون مجانباً للصواب فى كثير من الأحيان.

## التحول الفائق

التحول الفائق ultrametamorphism هو مصطلح يشير إلى أى تغير يحدث للصخر عند درجات حرارة أعلى من المدى التحولى، بحيث يقود إلى ظهور أنسجة شبيهة بأنسجة الصخور النارية، ودلائل على حدوث انصهار جزئى سواء كان محدوداً أو واسع النطاق. هناك مصطلح يشير إلى نفس هذا المعنى، وإن كان يبرز أكثر جانب تكون الصهارة نتيجة انصهار كلى أو جزئى للصخر المتحول، وهو مصطلح التسيل anatexis. ومن المعلوم أن الانصهار لا يحدث عند حرارة وضغط محددين، ولكن يتم على مدى واسع من تغير الحرارة والضغط. ولهذا، فإن عملية التسيل يمكن أن تستمر إلى نهايتها أو تتوقف فى أى مرحلة مكونة صخوراً خليطة لها كثير من الصفات المميزة للصخور النارية والمتحولة.

تبدأ عملية التسيل أو الدخول فى نطاق التحول الفائق عندما تصل درجة حرارة الصخر إلى حد يبدأ معه تكون أول قطرة من السائل نتيجة انصهار المعادن ذات درجات الانصهار المنخفضة نسبياً مثل الكوارتز والفلسبارات القلوية، وتتراوح درجة الحرارة هذه طبقاً للتقديرات التجريبية بين 600 و 700 درجة مئوية، وتعتمد إلى حد كبير على كمية الماء المتاحة. تتجمع هذه القطرات مع التقدم التدريجى للتحول على شكل عدسات فى الصخر وتكون عادة غنية بالماء والسليكا والألومينا والصودا والبوتاش. إذا توقفت عملية الارتفاع فى درجة الحرارة فى هذه المرحلة وبدأ الصخر فى البرودة، تبدأ هذه السوائل فى التبلور مكونة خليطاً من معادن الفلسبار والكوارتز تأخذ شكل عدسات فى وسط المكونات المعدنية الأكثر تحملاً للحرارة، ويطلق على الصخر المحتوى على هذه العدسات اسم فينيت venite وهى كلمة مشتقة من الكلمة الإنجليزية vein وتعنى عرق بما يفيد أن مظهر الصخر يكون "معرقاً". ويشبه هذا الصخر إلى حد كبير نوعاً من الميجماتيت المتكونة نتيجة لحقن صخور

إقليم قديمة صلبة بسوائل متبقية فى المراحل النهائية للتبلور الصهيرى (وهو ما يسمى الحقن طبقة طبقة lit-par-lit)، ويُطلق على الصخر الناتج بعد تجمد تلك المحقونات اسم أرتريت arterite لتمييزه عن الفئيت المتكون بعملية التحول الفائق، حتى أنه ليصعب التمييز بين الصخرين فى الحقل.

### سلوك العناصر النزرة خلال عمليات التحول

رغم الدراسات العديدة التى توجد عن الصخور المتحولة والتى عاصرت علم الجيولوجيا منذ نشأته تقريبا، ورغم الوفرة الزائدة عن تنوع وتعدد المكونات الرئيسية للصخور المتحولة، إلا أن البيانات التى نشرت عن وفرة وتوزيع العناصر النزرة فى تلك الصخور تعد حديثة وضئيلة نسبيا. كذلك واجه الباحثون فى هذا المجال صعوبات كثيرة فى تفسير تلك البيانات أو الوصول منها إلى تعميمات مقبولة، مثل تلك التى توصل إليها جولدشميدت (Goldschmidt 1954) عن تبلور الصحارة وتكون المعادن والصخور النارية. ويمكن إرجاع بعض هذه الصعوبات إلى عدم تجانس المعادن المتحولة واختلاف توزيع العناصر بين النطاقات التى تظهر فى كثير منها. فعلى سبيل المثال، يظهر معدن الجارنت منطقا ملحوظا فى أغلب الأحيان نتيجة صعوبة انتشار العناصر وإعادة توزيعها فيه أثناء عمليات التحول بسبب كثافة التراص العالية بين مكوناته الذرية. وتؤكد ذلك بعض الدلائل التى تشير إلى حدوث الاتزان بين النطاقات الخارجية فقط لهذا المعدن مع الصخور المحيطة. كما يصطدم تفسير ظهور معادن متحولة ذات تركيب كيميائى معقد فى بعض الصخور المتحولة بالعديد من التباينات، فيرجع الكثيرون ظهور معدن التورمالين فى صخور الشست رسوبية النشأة مثلا إلى تحوال بمحاليل غنية بالبورون boron metasomatism مصدرها محقونات جرانيتية عميقة، فى حين يعتقد آخرون أن إثراء كثير من معادن الطين البحرية بالبورون قد يكون سببا معقولا فى وفرة معدن التورمالين فى الشست المشتق منها، وبالتالي يستبعدون أى عمليات تحوال لها. مثل هذه الاختلافات أثرت كثيرا على جدوى دراسة وفرة وتوزيع العناصر النزرة فى الصخور المتحولة. بالرغم من



ذلك أمكن بناء على بعض التوقعات النظرية التنبؤ بسلوك عناصر معينة خلال عملية التحول، فمثلاً يتوقع أن تتبع العناصر النزرة صخرية الميل lithophile قواعد جولدميدت عند احتوائها داخل بنية المعادن المتحولة الشائعة أثناء تكونها. أما بالنسبة للعناصر النزرة كبريتيدية الميل chalcophile، فإن حجم الأيونات يلى فى الأهمية السالبة الكهربائية وتركيز أيونات الكبريتيد فى التحكم فى عمليات الإحلال.

تدور معظم الدراسات المنشورة عن العناصر النزرة وتوزعها فى الصخور المتحولة حول الموضوعات التالية:

1- تحديد معاملات توزيع distribution coefficients العناصر النزرة بين المعادن المختلفة والعوامل التى تحكم ذلك. والهدف من هذه الدراسات هو الوصول إلى معايير كمية يمكن من خلالها استخدام وفرة العناصر النزرة كمؤشرات لدرجات الحرارة والضغط التى تكون عندها المعدن أو الصخر المتحول.

2- تحديد التغيرات التى تطرأ على تركيز العناصر النزرة عند تعرض صخر معين إلى رتب متفاوتة من التحول، كأن يحدث تتبع لتركيز عنصر ما فى صخر الطفلة مثلاً مع تقدم تحوله إقليمياً إلى الإردواز ثم الشست برتبة المنخفضة والمتوسطة والعالية وصولاً حتى النيس gneiss.

وقد تفاوتت نتائج هذه الدراسات تفاوتاً كبيراً، فبينما اكتشف شاو (Shaw 1954) عام 1954 عدم حدوث تغيرات ملحوظة فى تراكيزات العناصر النزرة بين مختلف الرتب لمعظم العناصر فى الدراسة الكلاسيكية التى أجراها على صخور مكون ليتلتون Littleton فى نيوهامبشاير New Hampshire بالشمال الشرقى للولايات المتحدة؛ نرى دى فوتر (De Votre 1955) يعلن فى الدراسة التى أجراها عام 1955 أن هناك تغيرات ملموسة تحدث فى أنماط توزيع معظم العناصر عند انتقال الصخر من رتبة إلى أخرى. يؤكد شاو فى الدراسة الأولى أن تركيز معظم العناصر النزرة يظل ثابتاً خلال عملية التحول، وهو ما يشجع على استخدام تراكيزات العناصر النزرة فى الصخور المتحولة كوسيلة للتعرف على خواص الصخر الأصلى protolith وتحديد نوعيته. وقد تم تطبيق هذا



النهج في دراسة أصل صخور الأمفيوليت في منطقة الطائف بالمملكة العربية السعودية وتأكدت نشأتها من أصل نارى (Nasseef 1971)؛ ذلك أن تحول الصخور القاعدية مثل البازلت أو الجابرو إلى صخر الأمفيوليت لا يصحبه أى تخفيف لأى من العناصر المميزة لتلك الصخور مثل الكروميوم والنيكل والكوبالت والنحاس، فى حين تظهر صخور الأمفيوليت المشتقة من صخور رسوبية ندرية شديدة لهذه العناصر وارتفاعاً نسبياً فى تركيز الباريوم والرصاص.

على جانب آخر، فإن دراسة دى فوتر عام 1955 التى ارتكزت على عدد كبير من التحاليل لمعادن مفصولة من صخور متحولة تنتمى إلى سحنات مختلفة تشير إلى أن استبدال تجمع معدنى معين بتجمع معدنى آخر أثناء عملية التحول يصحبه إعادة توزيع وتفارق لكثير من العناصر الرئيسية والنزرة. وكمثال، فإنه يقترح أن تحول صخر الهورنبلنديت من سحنة إبيدوت - أمفيوليت إلى سحنة الجرانوليوت يتسبب فى إطلاق كميات كبيرة من عناصر الكروم والنيكل والنحاس والمغنسيوم، فى حين يتسبب التحول فى الاتجاه العكسى لنفس الصخر فى إطلاق كميات كبيرة من الرصاص والزنك والتيتانيوم والمنجنيز والحديد. وتظهر البيانات التى وردت فى ذلك البحث أن تحول كيلومتر مكعب من صخر الهورنبلنديت من سحنة إبيدوت أمفيوليت إلى سحنة الجرانوليوت يمكن أن يصحبه إطلاق 8 مليون طن أكسيد كروم و4 مليون طن أكسيد نيكل و 800 ألف طن أكسيد نحاس، أما التحول العكسى فيسبب إطلاق 11 مليون طن أكسيد منجنيز و94 مليون طن أكسيد تيتانيوم و800 ألف طن أكسيد زنك و27 ألف طن أكسيد رصاص. ورغم أن هذه العملية يمكن أن تكون مصدراً ممتازاً لكثير من العناصر الاقتصادية، إلا أن آلية استخلاصها وتركيزها على شكل رواسب معدنية لا تزال غير مقنعة، ولا يوجد ما يؤيد حدوثها فى أى مكان فى العالم، ويظل هذا التوقع فكرة جذابة أكثر منه حقيقة ملموسة.

## مراجع الباب السابع

- Barth, T. F. W. (1962) *Theoretical Petrology* 2nd ed., New York: John Wiley & Sons, 416 p.
- Dana, I. D. (1985) *Manual of Mineralogy*, 20<sup>th</sup> ed. Revised by C. S. Hurlbut, Jr. and C. Klein. New York: John Wiley and Sons.
- De Votre, G. W. (1955) The role of adsorption in the fractionation and distribution of the elements, *J. Geol.* 63: 159 - 190.
- El Bayoumi, R. M. A. (1980) *Ophiolites and associated rocks of Wadi Ghadir, east of Gabal Zabara, Eastern Desert, Egypt*, Unpublished Ph. D. thesis, Faculty of Science, Cairo University, Egypt.
- Eskola, P. (1960) *Die Entstehung der Gesteine*. (Barth, Correns, Eskola,) (2nd ed.) Berlin: Springer-Verlag OHG, 347 p.
- Fyfe, W. S., Turner, F. J. and Verhoogen, J. (1958) *Metamorphic Reactions and Metamorphic Facies*, Geol. Soc. Amer. Memoir, 37
- Goldschmidt, V. M. (1954) *Geochemistry*, Oxford at the Clarendon Press.
- Krauskopf, K. B. (1979) *Introduction to Geochemistry* (2nd. ed.) Tokyo: McGraw Hill International student edition, 617 p.
- Le Maitre, R. W. (1976) The chemical variability of some common igneous rocks, *J. Petrology*, 17: 589 - 637.
- Mason, B. (1966) *Principles of Geochemistry*. 3d ed. New York, John Wiley & Sons, Inc.
- Mason, B. and Moore C. B. (1982) *Principles of Geochemistry* (4th. ed.) New York: John Wiley and Sons, 344 p.
- Miyashiro, A. (1973) *Metamorphism and Metamorphic Belts*. New York: John Wiley & Sons, 492 p.
- Nasseef, A. O. (1971) *The Geology of Northeastern At-Taif Area, Saudi Arabia*. Unpubl. Ph. D. thesis, University of Leeds, England.

- Ramberg, H. (1952) *The Origin of Metamorphic and Metasomatic Rocks*, Chicago: University of Chicago Press, 317 p.
- Rankama, K. and Sahama, Th. G. (1950) *Geochemistry*. Chicago: University of Chicago Press, 912 p.
- Shanti, M. M. (1982) *Geology and Mineralization of Ash-Shizm and Jabal Ess Area*. Unpublished Ph. D. thesis, Faculty of Earth Sciences, KAU, Jeddah, Saudi Arabia.
- Shaw, D. M. (1954) Trace elements in pelitic rocks. Part I,: Variations during metamorphism, *Bull. Geol. Soc. Amer.* 65: 1151 - 1182.
- Shaw, D. M. (1977) Trace element behavior during anatexis. In: *Magma genesis*. H. J. B. Dick (ed.), Bull. 96 Oregon Dept. of Geol. and Min. Inds., pp. 189 - 213.
- Turner, F. J. (1981) *Metamorphic Petrology*. 2nd ed., New York: McGraw Hill, 524 p.
- Winkler, H. G. F. (1979) *Petrogenesis of Metamorphic Rocks*. (5th. ed.) New York: Springer-Verlag, 348 p.



لا تنسى الدعاء والصلاه ع النبي



# لا تنسى الدعاء والصلاة ع النبي

## الباب الثامن

### جيوكيميااء النظائر

#### ♦ النظائر

#### ♦ ظاهرة التحلل الإشعاعى

\* قانون التحلل الإشعاعى \* طرق التحلل الإشعاعى \* ظاهرة التحلل الإشعاعى  
وتقدير عمر الصخور

#### ♦ طرق تقدير أعمار المعادن والصخور

\* طريقة روبيدوم - سترونشيوم \* طريقة يورانيوم - ثوريوم - رصاص  
\* طريقة بوتاسيوم - أرجون \* طريقة كربون - 14

#### ♦ النظائر المستقرة

\* عمليات التجزؤ النظائرى \* قياس التجزؤ النظائرى \* اتجاهات عامة فى  
ظاهرة التجزؤ النظائرى

#### ♦ تطبيقات لظاهرة التجزؤ النظائرى

\* نظائر الأكسجين والهيدروجين \* نظائر الكربون \* نظائر الكبريت

## النظائر

من المعلوم أن ذرة أى عنصر تتكون من جسم صغير الحجم يعرف بالنواة يدور حوله عدد من الإلكترونات فى مدارات مختلفة. تتربك النواة بدورها من نوعين رئيسيين من الجسيمات المتناهية فى الصغر تعرف بالبروتونات والنيوترونات. ويحدد عدد البروتونات فى الذرة اسم العنصر وموقعه فى الجدول الدورى للعناصر. يطلق على عدد البروتونات فى الذرة مصطلح العدد الذرى atomic number، فى حين يطلق على مجموع عددى البروتونات والنيوترونات فى الذرة مصطلح العدد الكتلى mass number، وذلك لأنهما يحددان الكتلة التقريبية للذرة. يكتب العدد الذرى عادة فى الجانب الأيسر السفلى لرمز العنصر، فى حين يكتب العدد الكتلى فى الجانب الأيسر الأعلى للرمز، وعلى سبيل المثال يرمز لذرة الأكسجين بالرمز  $^{16}_8\text{O}$  حيث عددها الذرى 8 وعددها الكتلى 16. ويمكن من هذا الرمز إدراك أن عدد النيوترونات هو أيضا 8 ولكن هناك ذرات أخرى لعنصر الأكسجين تحتوى نواتها على 9 وأحيانا 10 نيوترونات وبالتالي فإنها تكتب  $^{17}_8\text{O}$  و  $^{18}_8\text{O}$  على التوالى، ويمكن التغاضى عن كتابة العدد الذرى والاكتفاء بعدد الكتلة. يمكن أن يستخدم مصطلح "نوييدة" nuclide كبديل لمصطلح "ذرة atom" وهو استخدام شائع فى الأدبيات النووية الحديثة.

يطلق على الذرات الثلاث المذكورة للأكسجين مصطلح نظائر isotopes، وتعنى باللاتينية "نفس المكان" وذلك لأنها تشغل مكانا واحداً فى الجدول الدورى للعناصر لتتأظر أو تساوى عدد البروتونات رغم اختلاف أعدادها الكتلية. تتكون بعض العناصر فى الطبيعة من نظير واحد مثل الفلور والصوديوم والكوبلت، ولكن معظمها يتكون من نظيرين أو أكثر مثل الكربون والأكسجين والكبريت واليورانيوم وعادة ما تظل نسب النظائر فى العنصر الواحد ثابتة ما لم يحدث لهذه الذرات تحلل إشعاعى radioactive decay أو تجزؤ نظائرى isotopic fractionation.

## تصنيف النظائر

تصنف النظائر الموجودة في الطبيعة تحت نوعين أساسيين:

### • نظائر مستقرة *stable isotopes*

وهي النوع الغالب من النظائر في الطبيعة، ومن أمثلتها نظائر الأكسجين  $^{16}\text{O}$   $^{17}\text{O}$  و  $^{18}\text{O}$  والكبريت  $^{32}\text{S}$   $^{33}\text{S}$   $^{34}\text{S}$   $^{36}\text{S}$ .

### • نظائر مشعة *radioactive isotopes*

وهي أقل وفرة في الطبيعة، ويرجع سبب نشاطها الإشعاعي إلى احتواء نوياتها على طاقة زائدة تعمل دائماً وتلقائياً على التخلص منها.

ويلاحظ أن بعض العناصر يكون كل نظائرها الموجود في الطبيعة مستقر، كما في حالة الأكسجين، وبعضها يكون كل نظائرها مشع، كما في حالة اليورانيوم  $^{238}\text{U}$   $^{235}\text{U}$   $^{234}\text{U}$ ، وبعضها يكون خليطاً من النظائر المستقرة والمشعة مثل الكربون الذي يتكون في كثير من المواد من النظيرين  $^{12}\text{C}$  و  $^{13}\text{C}$  المستقرين والنظير  $^{14}\text{C}$  المشع. ويعتقد البعض أن الاستقرار المطلق غير موجود، وأن جميع العناصر غير مستقرة، ولكن كميات الطاقة الزائدة في نوياتها ضئيلة جداً، وبالتالي بدرجة لا تسمح بقياسها بالأجهزة المستخدمة حالياً، أي إنها من الناحية العملية تعتبر مستقرة.

وهناك تقسيم آخر للنظائر يعتمد على ما إذا كان وجود النظير طبيعياً *natural* (في الطبيعة) أم أنه ناتج عمليات تصنيع في المفاعلات الذرية أو المعجلات أو ما إلى ذلك، ويسمى مصنّعاً *synthetic* أو اصطناعياً *artificial*. ورغم الاستخدامات العديدة لهذا النوع الأخير (المصنع) في الجيولوجيا، خاصة في مجال اقتفاء تحركات المياه الجوفية وفي أعمال سبر الآبار، إلا أن الذي يهتما من فرع جيوكيمياء النظائر في هذا الكتاب، هو القسم الأول الموجود في الطبيعة من حولنا؛ أي إننا سنتعامل في هذا الباب مع النظائر الطبيعية بنوعيتها، المشع والمستقر.



## علم جيوكيمياء النظائر

هو العلم الذى يبحث فى مسببات ودلالات التغير فى نسب نظائر العناصر المختلفة الموجودة فى المواد الجيولوجية من معادن وصخور وخامات ومياه وبترول. أما عن المسببات، فإنها ترجع إلى ظاهرتين رئيسيتين هما التحلل الإشعاعى والتجزؤ النظائرى، وأما عن الدلالات فإنها تتطوى تحت فرعين رئيسيين:

(1) فرع يعتمد على دلالة التغيرات التى تسببها ظاهرة التحلل الإشعاعى، وأهم تطبيقاته فى مجال تحديد أعمار الصخور والمعادن ومصادر نشأتها تحت مسمى علم تأريخ الأرض geochronology.

(2) فرع يعتمد على دلالة التغيرات التى تحدثها ظاهرة التجزؤ النظائرى، وأهم تطبيقاته فى مجال حديث نسبياً يتعلق باستنتاج بيانات تكون الصخور والمعادن أو المتغيرات البيئية التى تعرضت لها، ويسمى علم جيوكيمياء النظائر المستقرة stable isotope geochemistry وأحياناً علم جيوكيمياء النظائر البيئية environmental isotopes geochemistry، وأحياناً أخرى جيوكيمياء النظائر الخفيفة light isotope geochemistry.

## ظاهرة التحلل الإشعاعى

يرجع السبب فى تأخر اكتشاف ظاهرة التحلل الإشعاعى حتى حوالى عام 1890 ميلادية إلى عدم إمكانية التعرف على الأشعة التى تنتج عن هذه الظاهرة بواسطة الحواس الطبيعية للإنسان فهى لا ترى ولا تشم ولا تسمع ولا يمكن الكشف عنها إلا بواسطة أجهزة إلكترونية معينة. وقد تم الكشف عن هذه الظاهرة مصادفة عندما كان العالم الفرنسى هنرى بيكرل Henri Becquerel يجرى تجارب على أملاح اليورانيوم وما تصدره من تفلور fluorescence عند تعرضها لأشعة فوق بنفسجية، ثم اتضح له أن هذه الأملاح يصدر عنها إشعاع غير مرئى بطريقة تلقائية، أى دون إثارتها بأى عامل خارجى، وأن هذه الأشعة قادرة على اختراق الورق الأسود الذى يغلف الألواح الفوتوغرافية، بل ويؤثر فيها بنفس طريقة

الضوء العادى. مع مزيد من التجارب تأكد بيكرل أن عنصر اليورانيوم هو الذى يصدر هذه الإشعاعات بغض النظر عن نوعية المركب الذى يدخل فيه، فلاحظ مثلاً أن جميع معادن اليورانيوم المعروفة حتى ذلك الوقت - مع تعدد تركيباتها الكيميائية - تصدر هذه الإشعاعات والتي تؤثر فى الألواح الفوتوغرافية المغلفة بدرجات متفاوتة. قدم بيكرل نتائج هذه الاكتشافات فى محاضرة ألقاها فى أكاديمية العلوم بباريس عام 1896 وما نحسبه كان يدرى أو يتوقع ما ستحدثه هذه النتائج من تطور خطير فى العقود التالية فى نشأة وتطور علوم الفيزيكا الذرية والنوية والكيمياء الإشعاعية، وما تبع ذلك من تغير فى تاريخ البشرية على وجه العموم.

أثارت محاضرة بيكرل اهتمام عدد من شباب العلماء الذين استمعوا إليها، ومن بينهم بيير كورى Pierre Curie وزوجته ماري (مدام كورى) Marie Curie وكانا يدرسان بجامعة السوربون بفرنسا. اهتمت ماري كورى Marie Curie بمحاولة اكتشاف عناصر أخرى شبيهة باليورانيوم - أى تصدر إشعاعات تلقائياً - وتكلل مجـهـودها بالنجاح فى اكتشاف إشعاعية الثوريوم، ثم اكتشفت أيضاً شيئاً فى غاية الأهمية وهو أن معادن اليورانيوم والثوريوم الطبيعية تصدر إشعاعات أكثر كثافة من أملاح اليورانيوم النقية والمعدة كيميائياً وتساءلت لماذا؟. ورجحت أن هناك عنصراً أو مصدرأ آخر فى هذه المعادن غير اليورانيوم يسبب هذا النشاط المتزايد، لذلك أرسلت فى طلب عينة من خامات اليورانيوم من مناجمه المعروفة فى تشيكوسلوفاكيا، وعكفت على دراستها بطريقة منهجية للبحث عن العنصر المشع الذى افترضته، وبالمثابرة والتعمق وفقت مرة أخرى إلى اكتشاف عنصرين جديدين هما البولونيوم والراديوم، ونظرا لكثافة الأشعة التى يصدرها الأخير نسبت ظاهرة النشاط الإشعاعى إليه وسمتها radioactivity.

تتابعت الاكتشافات فى بداية القرن الحالى، فاكشف العالم الإنجليزى إرنست راذرفورد Ernest Rutherford أن الأشعة الصادرة من المواد المشعة تتكون من ثلاث أنواع سماها ألفا وبيتا وجاما؛ الأولى عبارة عن نويات هليوم، والثانية إلكترونات، وأما الأخيرة فهى أشعة كهرومغناطيسية شبيهة بأشعة إكس التى اكتشفها رونتجون Roentgen فى وقت سابق. قادت الدراسات التى يجريها راذرفورد ومعه العالم فردريك صودى Frederick

Soddy إلى صياغة قانون التحلل الإشعاعى، ثم أضاف راذرفورد أول تصور عن تركيب الذرة ثم عن تركيب النواة، ثم اقترح صودى كلمة نظائر للذرات التى لها نفس عدد البروتونات وتختلف فى عدد النيوترونات. وتجدر الإشارة هنا إلى أن جميع نظائر عنصر ما، سواء مستقرة أو مشعة، تتشابه فى خواصها الكيميائية، ولا يمكن لأى تفاعل كيميائى أن يتعامل مع نظير دون الآخر. ذلك لأن التفاعلات الكيميائية تتعامل مع مدارات الإلكترونات الخارجية للذرة والتى لا تختلف بين نظير وآخر.

اجتذبت ظاهرة التحلل الإشعاعى الجيولوجيين وتوقعوا أن تكون لها انعكاسات كبيرة على معرفة عمر الأرض، وهى مشكلة كانت تستحوذ على اهتمام كبير فى ذلك الوقت، وكان يقود العمل فى هذا المجال العالم الإنجليزى آرثر هولمز Arthur Holmes. ويمكن القول إن المفاهيم الأساسية عن ظاهرة التحلل الإشعاعى تحددت منذ ذلك الوقت على النحو التالى:

- أنها عملية تلقائية لا تتأثر بأى عوامل خارجية مهما بلغت شدتها. ويعنى ذلك أن عملية التحلل أو معدلها لا تتأثران بالتغيرات فى البيئة المحيطة من حرارة أو ضغط، فمعدل تحلل ذرات اليورانيوم داخل صهارة تتجاوز حرارتها الألف درجة مئوية وعلى أعماق تصل إلى 30 كم تحت سطح الأرض هو نفس معدل تحلل ذرات اليورانيوم فى صخور جرانيتية فى المناطق القطبية مكشوفة عند سطح الأرض.

- أنها ترجع إلى طاقة زائدة فى نويات العنصر المشع يتم التخلص منها فى صور جسيمات ألفا وبيتا مصحوبة بأشعة جاما، وبالتالى فإن عملية التحلل تستمر دون توقف وبمعدل ثابت حتى يتلاشى فائض الطاقة كلية.

- أنها لا تتأثر بما إذا كان العنصر المشع نقيًا أم مرتبطًا فى مركب كيميائى مهما بلغ تعقيده.

- أنها تخضع لقانون التحلل الإشعاعى الذى حدد صيغته راذرفورد وصودى عام

1902.



## قانون التحلل الإشعاعي

عندما توجد أعداد كبيرة من ذرات نظير مشع في كيان ما، فإن تحللها تحكمه قاعدة إحصائية تقول بأن عدد ذرات النظير " $N$ " التي يمكن أن تتحلل في وحدة زمن معينة " $T$ " تتناسب مع العدد الكلي لذرات هذا النظير:

$$dN/dT \propto N \quad (1-8)$$

يمكن تحويل هذه المعادلة التناسبية إلى معادلة متساوية الطرفين بتقديم ثابت تناسب  $\lambda$  يطلق عليه ثابت التحلل *decay constant* وتصبح المعادلة:

$$-dN/dT = \lambda N \quad (2-8)$$

يلاحظ أننا قد أدخلنا علامة الناقص على الطرف الأيسر وذلك للتعبير عن أن التغير بالنقصان. وعليه يمكن أن يعرف ثابت تحلل *decay constant* أى نظير مشع بأنه احتمالية تفكك هذا النظير في فترة زمنية معينة، وهى صفة ذاتية لهذا النظير لا تتأثر قيمتها، كما ذكرنا سابقاً، بالحالة الكيميائية للنظير أو الظروف البيئية المحيطة به. إذا أجرينا عملية تكامل للمعادلة السابقة نحصل على

$$-\int \frac{dN}{N} = \lambda \int dT \quad (3-8)$$

وهو ما يقود إلى

$$-\ln N = \lambda T + C \quad (4-8)$$

حيث  $C$  هى ثابت التكامل والذي يمكن تقديره من أن  $N$  تساوى  $N_0$  عندما تكون  $T$  تساوى صفر، ومنها

$$C = -\ln N_0 \quad (5-8)$$

وبالتعويض فى المعادلة (4-8) عن  $C$  نحصل على

$$-\ln N = \lambda T - \ln N_0 \quad (6-8)$$

$$\ln N - \ln N_0 = -\lambda T$$

$$\ln \frac{N}{N_0} = -\lambda T$$

$$\frac{N}{N_0} = e^{-\lambda T} \quad (7-8)$$

$$N = N_0 e^{-\lambda T} \quad (8-8)$$

حيث تمثل  $N_0$  العدد الأصى للذرات المشعة فى الكيان، وتعتبر  $N$  عن عدد ذرات النظير المشع الموجودة بعد فترة من الزمن  $T$ . تعرف المعادلة (8-8) بقانون التحلل الإشعاعى، وهى أساس جميع العمليات الحسابية التى تستخدم فى التعامل مع التحلل الإشعاعى لجميع أنواع النظائر المشعة مهما اختلفت قيم معامل التحلل.

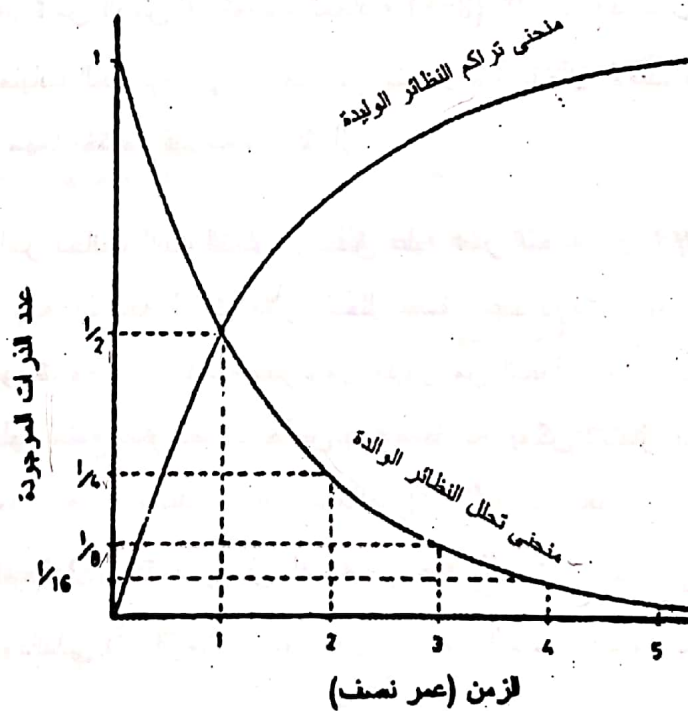
هناك ثابت آخر بجانب ثابت التحلل  $\lambda$  يطلق عليه **عمر النصف** *half life*، يستخدم لتمييز أية ذرة مشعة. ويعرف بأنه الوقت اللازم لتحلل نصف عدد ذرات عنصر ما مشع فى أية مادة وعلى أية صورة. وقد تقدر قيمته بجزء من مليون من الثانية، وقد تصل إلى بلايين السنين، أى إن لكل نظير مشع عمر نصف خاص به ومميز له. يمكن اشتقاق العلاقة بين ثابت التحلل وثابت عمر النصف بإعادة ترتيب المعادلة (7-8) بحيث نعوض عن الجانب الأيسر فى المعادلة بالقيمة  $1/2$  مفترضين أن النسبة بين عدد الذرات المتبقية إلى عدد الذرات الأصلية هو  $1/2$ ، وبالتالى فإن الزمن  $T$  يصبح زمن عمر النصف ويرمز له  $T_{1/2}$  وتصبح المعادلة:

$$\ln \frac{1}{2} = -\lambda T_{1/2}$$

ومنها تشتق العلاقة

$$T_{1/2} = \ln 2 / \lambda = 0.69315 / \lambda$$

من ذلك يتضح أنه كلما صغرت قيمة  $\lambda$  أى كلما قل عدد الذرات التى تتحلل فى وحدة زمنية معينة كلما كبرت قيمة عمر النصف. يلاحظ أن التناقص الذى يتم فى عدد الذرات المشعة نتيجة عملية التحلل الإشعاعى يصحبه زيادة فى عدد نوع آخر من الذرات تتولد نتيجة تحول الذرة المشعة إلى أخرى مستقرة (أو أكثر استقراراً) ويسمى هذا النوع بالنظائر ذات النشأة الإشعاعية radiogenic isotopes، كما يطلق عليها أيضاً النظائر الوليدة daughter isotopes؛ تمييزاً لها عن النظائر الوالدة أو الأم parent isotopes، أى تلك التى ينتج عن تحللها النظائر الوليدة. ويمكن تصوير العلاقة بين النوعين باستخدام منحنى يمثل التغير فى عدد ذرات كل نوع مع الزمن الذى يعبر عنه بوحدات زمنية قيمة أى منها فترة نصف عمر النظير المشع (شكل 1-8).



شكل 1-8 تحلل النظائر المشعة (الوالدة) وتراكم النظائر الوليدة. يلاحظ أن الزمن اللازم لتحلل نسبة معينة من النظير يكون ثابتاً بغض النظر عن عدد الذرات الموجودة فى الأصل.

عن: فور (Faure 1986).



يظهر هذا الشكل تناقص عدد ذرات النظائر الوالدة بمعدل أسى exponential وتزايد عدد ذرات النظائر الوليدة بنفس المعدل، كما يظهر أن عدد الذرات التي تتحلل في فترة عمو النصف تعتمد على عدد ذرات النظائر الوالدة المتبقية في الكيان في بداية هذه الفترة. ويجب أن نؤكد هنا على أن زمن بقاء أية ذرة مشعة دون تحلل، يمكن أن يتراوح بين الصفر ومالا نهاية، وأنه ليس له أية علاقة بالمدة الزمنية السابقة لبقاء النظير؛ بل يعتمد ذلك على النشاط الإشعاعي radioactivity لهذه الذرة.

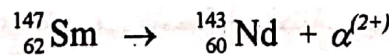
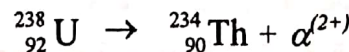
ويمكن تعريف النشاط الإشعاعي بأنه احتمالية أن تتحول الذرة تلقائياً وبمعدل يمكن تحديده إلى ذرة أخرى في محاولة للوصول إلى كيان أكثر استقراراً عن طريق إخراج طاقة في صورة أشعة متنوعة. فإذا كانت هذه الاحتمالية غير موجودة أو منخفضة تصبح الذرة مستقرة أو ضعيفة الإشعاعية، أما إذا كانت الاحتمالية عالية فإن الذرة تكون عالية الإشعاعية. فإذا كان خروج الطاقة الزائدة يتم في خطوات متتابعة قبل الوصول إلى حالة الاستقرار فيكون في هذه الحالة ما يعرف بالسلسلة المشعة radioactive chain.

### طرق التحلل الإشعاعي

تتخلص الذرات المشعة من الطاقة الزائدة في نوياتها بعدة طرق، نكتفي منها هنا بطرق التحلل ذات الأهمية الجيولوجية:

#### • تحلل ألفا alpha decay

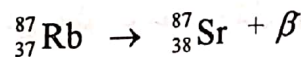
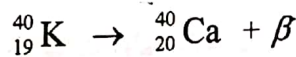
وفيه تخرج الطاقة الزائدة من النظير المشع في شكل جسيمات ألفا يتكون كل منها من ذرة هليوم منزوعة الإلكترونات أي تحتوي فقط على عدد 2 بروتون وعدد 2 نيوترون. يترتب على خروج هذه الجسيمات أن تنقص كتلة الذرة أربع وحدات بينما ينقص العدد الذري وحدتين فقط، مثلاً:



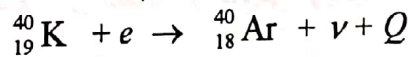
## • تحليل بيتا beta decay

وفيه تخرج الطاقة الزائدة من نواة النظير المشع في شكل جسيمات البيتا ويتم ذلك بوحدة أو أكثر من الطرق التالية:

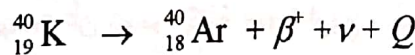
■ تحلل بتحول أحد نيوترونات النواة إلى بروتون وإلكترون وانطلاق الإلكترون بعد ذلك من النواة بسرعة فائقة (قريبة من سرعة الضوء) في شكل جسيمات البيتا  $\beta$  السالبة الشحنة والتي تسمى "نيجاترونات negatrons". يترتب على هذا التحول زيادة العدد الذري بوحدة واحدة بسبب الزيادة الحاصلة في عدد بروتونات النواة، مما يعنى تحول النظير إلى العنصر الذى يليه فى الجدول الدورى للعناصر فى حين لا يتغير العدد الكتلى. مثال ذلك:



■ تحلل بالأسر الإلكترونى electron capture وفيه يتم أسر أحد الإلكترونات المدارية بواسطة نواة النظير المشع. ويترتب على ذلك تحول أحد البروتونات إلى نيوترون، وينتج عن هذا التحول نقص العدد الذري بواحد مع بقاء العدد الكتلى ثابتاً، مثال ذلك:



■ تحلل بوزيترونى وفيه يتحول أحد البروتونات إلى نيوترون وينتج عن هذا التحول ظهور إلكترونات موجبة الشحنة تسمى "بوزيترونات positrons"، تتطلق فى شكل أشعة بيتا الموجبة. يترتب على هذا التحول أيضاً نقص العدد الذري بواحد مع بقاء العدد الكتلى ثابتاً. مثال ذلك:



## • انبعاث جاما gamma emission

ويتضمن انتقال نواة من مستوى طاقة مرتفع إلى آخر أقل بإطلاق أشعة كهرومغناطيسية لا يصحبها أى تغير فى الشحنة أو الكتلة. ويلاحظ هنا أن أشعة جاما تصدر دائماً مصاحبة لإحدى طرق التحلل السابقة، ولا يشكل انبعاث جاما بالتالى آلية مستقلة للتحلل.

## قانون التحلل الإشعاعي وتقدير عمر الصخور

عندما تتبلور بعض المعادن فإنه يدخل فى بنائها الذرى عنصر أو أكثر من العناصر المشعة ومع مرور الزمن تتراكم نواتج تحلل هذا العنصر، وطبيعى أنه كلما زادت الفترة الزمنية التى تمر منذ تبلور المعدن (عمر المعدن) كلما زادت الكمية المتراكمة من النظائر الوليدة، وعليه يستخدم قانون التحلل الإشعاعى فى تقدير عمر الصخور مرتكزا على افتراضين هامين هما:

1- قيمة ثابت التحلل  $\lambda$  لم تتغير خلال الزمن الجيولوجى. ولا يوجد اعتراض على هذا الافتراض من منطلق أنه مرتبط بتفاعل نووى لا يتأثر بأى تقلبات فى البيئة الجيولوجية من حرارة أو ضغط مهما بلغت شدتها، أو بأية تغيرات فى التركيب الكيميائى مهما وصل تعقيدها:

2- محافظة المعدن على كيانه مغلقا closed system منذ تكونه وحتى وقت تحليله لتقدير العمر. بمعنى آخر، عدم حدوث إضافة أو تسرب للنظائر الوالدة أو الوليدة من هذا الكيان. تتفاوت درجات قبول هذا الافتراض خاصة عند الحصول على أعمار نظائرية غير مقبولة جيولوجيا والتى ترجع عادة إلى تسرب النظير الوليد إلى خارج الكيان مما ينقص من عمر المعدن أو الصخر، أو إضافة الجزء المتسرب إلى معدن آخر مما يزيد من عمره أو عمر الصخر الحاوى له.

يطلق على الأعمار النظائرية التى ترتكز على افتراضات غير مؤكدة أعماراً تصورية أو نموذجية model ages، بمعنى أن الأعمار تشير إلى تصور معين للتاريخ الجيولوجى للصخر أو المعدن، والذى قد يتفق أو يتعارض مع الشواهد الجيولوجية الأخرى، فإذا قام دليل فى وقت لاحق يهدم التصور أو النموذج المقترح سقط العمر المحسوب وأصبح بلا قيمة أو دلالة عملية. وسوف يلاحظ القارئ فى الصفحات التالية، التى تشرح فيها باختصار، الطرق المستخدمة فى تقدير أعمار المعادن والصخور، وكيف أنها جميعا ترتكز على افتراضات متماثلة أو متشابهة وأن الاختلافات بينها تعود إلى اختلاف السلوك الكيميائى للنظائر الوالدة والوليدة.



## طرق تقدير أعمار المعادن والصخور

### طريقة روبيدوم - سترونشيوم

الروبيدوم هو أحد العناصر القلوية النزرة، وهو مرافق دائم للبوتاسيوم أثناء تبلور الصهارة، يزيد بزيادته ويقل بنقصانه، مع تغير منتظم في النسبة K/Rb نحو النقصان بتقدم التبلور التجزيئي. وبشكل عام، فإن الروبيديوم تزيد وفرته النسبية في الصخور الفلسية والمتوسطة ويزداد نقصانه في الصخور المافية وفوق المافية، شأنه في ذلك شأن البوتاسيوم. ولعنصر الروبيديوم نظيران  $^{85}\text{Rb}$  و  $^{87}\text{Rb}$  الأول مستقر والثاني مشع. يتحلل الأخير بانبعث جسيمات بيتا إلى نظير مستقر هو  $^{87}\text{Sr}$  وعليه تصبح معادلة تحله الإشعاعي كالتالي:

$$^{87}\text{Sr} = ^{87}\text{Sr}_0 + ^{87}\text{Rb}(e^{\lambda t} - 1)$$

حيث  $^{87}\text{Sr}$  هي كمية سترونشيوم  $^{87}$  المقاسة حالياً في المعدن أو الصخر و  $^{87}\text{Sr}_0$  هي كمية نفس النظير في الصخر عند بداية تكونه (تبلوره) و  $^{87}\text{Rb}$  هي كمية نظير الروبيديوم  $^{87}$  الموجودة حالياً في المعدن أو الصخر و  $\lambda$  هي ثابت تحلل الروبيديوم  $^{87}$  المشع و  $t$  هي عمر المعدن. ولما كان قياس نسب النظائر أسهل عملياً من قياس العدد المطلق للذرات، فإنه يمكن إعادة كتابة هذه المعادلة بعد قسمة كافة أطرافها على كمية نظير مستقر آخر غير إشعاعي النشأة nonradiogenic مثل  $^{86}\text{Sr}$  على النحو التالي:

$$\frac{^{87}\text{Sr}}{^{86}\text{Sr}} = \left( \frac{^{87}\text{Sr}}{^{86}\text{Sr}} \right)_0 + \frac{^{87}\text{Rb}}{^{86}\text{Sr}} (e^{\lambda t} - 1) \quad (1-8)$$

هذه المعادلة يمكن أن توضع في صورة أخرى هي:

$$t = \frac{1}{\lambda} \ln \left[ \frac{\left( \frac{^{87}\text{Sr}}{^{86}\text{Sr}} \right)_p - \left( \frac{^{87}\text{Sr}}{^{86}\text{Sr}} \right)_0}{\frac{^{87}\text{Rb}}{^{86}\text{Sr}}} + 1 \right] \quad (2-8)$$

- القيمة المتفق عليها حاليا لثابت التحلل  $\lambda$  هي  $1.42 \times 10^{-11}$  في السنة وهي تقابل عمر نصف  $^{87}\text{Rb}$  مقداره 48.8 بليون سنة. ونظرا لبطء معدل التحلل بدرجة كبيرة فإن التحديد الدقيق لهذه القيمة يواجه بعض الصعوبة، كما أنه يحد من إمكانية استخدام هذه الطريقة في حساب عمر الصخور الحديثة نسبياً.

- القيمة  $(^{87}\text{Sr} / ^{86}\text{Sr})_p$  تحدد معملياً بفصل جزء من السترونشيوم الموجود في الصخر أو المعدن كيميائياً في صورة نقية ثم قياس نسبة النظيرين باستخدام جهاز مطياف الكتلة mass spectrometer .

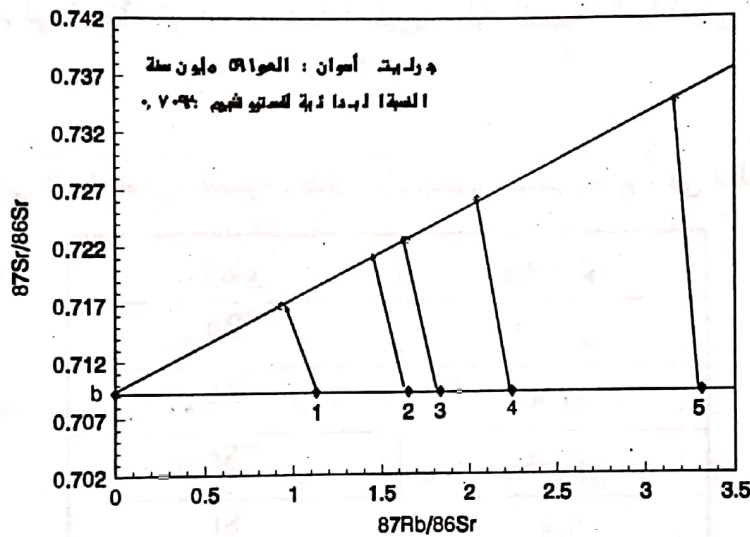
- القيمة  $^{87}\text{Rb} / ^{86}\text{Sr}$  تحدد معملياً أيضاً بقياس تركيز كل من العنصرين الروبيديوم والسترونشيوم في العينة، ثم حساب نسبة النظيرين طبقاً لنسبهما المطلقة في الطبيعة (جدول 1-8).

جدول 1-8 الوفرة النسبية لنظائر الروبيديوم والسترونشيوم في الطبيعة

| النظير           | نسبته المئوية |
|------------------|---------------|
| $^{85}\text{Rb}$ | 72.17         |
| $^{87}\text{Rb}$ | 27.83         |
| $^{84}\text{Sr}$ | 0.56          |
| $^{86}\text{Sr}$ | 9.87          |
| $^{87}\text{Sr}$ | 7.04          |
| $^{88}\text{Sr}$ | 82.53         |

- القيمة  $(^{87}\text{Sr} / ^{86}\text{Sr})_0$  تمثل النسبة البدائية initial ratio التي كانت موجودة في الصخر أو المعدن عند تبلوره. بالطبع لا يمكن قياس هذه القيمة ولكن يمكن تقديرها بعدة طرق لعل أهمها وأكثرها شيوعاً طريقة خط الأعمار المتساوية isochron، وذلك بتحليل مجموعة من العينات (يفضل ألا تقل عن خمسة) تمثل الصخر المراد تحديد عمره أو مجموعة معادن مختلفة مفصولة منه.

ففى حالة تقدير عمر جرانيت أسوان الشهير مثلاً، تم قياس تركيز الروبيديوم والسترونشيوم فى خمسة عينات ممثلة، ثم حسبت بالتالى النسبة  $^{87}\text{Rb}/^{86}\text{Sr}$  ثم قيست نسب نظائر  $^{87}\text{Sr}/^{86}\text{Sr}$  فى نفس العينات، ثم رسمت إحداثيات النسب النظائرية المذكورة كما فى شكل 2-8. يمد خط مستقيم بين النقاط الخمس حتى يتقاطع مع المحور الرأسى عند نقطة  $b$  وهى تمثل النسبة البدائية التى تقابل قيمة لعينة افتراضية لا تحتوى على أى روبيدوم، أى عند نسبة  $^{87}\text{Rb}/^{86}\text{Sr}$  تساوى صفراً. تحت هذه الظروف تصبح المعادلة 2-8 معادلة خط مستقيم  $y = b + mx$  حيث تكون قيمة الميل  $m$  مساوية للقيمة  $(e^{\lambda t} - 1)$  وباختبار أى نقطة على المنحنى لها الإحداثيات  $x$  و  $y$  وباستخدام قيمة  $b$  المحددة فإنه يمكن حل المعادلة للقيمة  $t$  وهى عمر الصخر.



شكل 2-8 منحنى الأعمار المتماثلة (أيزوكرون) لجرانيت أسوان.

عن: حشاد وآخرين (Hashad et. al. 1972).

يعطى جدول 2-8 تركيزات الروبيديوم والسترونشيوم فى مجموعة عينات جرانيت أسوان. ويلاحظ تفاوت التركيزات من عينة إلى أخرى مما ينتج عنه تفاوت فى النسبة  $^{87}\text{Rb}/^{86}\text{Sr}$ .

فى جميع هذه العينات كان التركيب النظائرى للسترونشيوم وبالذات النسبة  $^{87}\text{Sr}/^{86}\text{Sr}$  متماثلاً فى جميع العينات وقت تبلور الصخر أو المعدن، وهذا التركيب يمثل



بالخط الأفقى الممتد فى شكل 2-8 من نقطة التقاطع b والمار بالنقاط 1-2-3-4-5 وتمثل الأسهم الصاعدة من هذه النقاط مقدار التغير الذى طرأ على هذه النسبة مع الزمن فى كل عينة نتيجة تفاوت تركيز الروبيديوم بينها.

يدل انتظام النقاط الخمس على خط مستقيم فى شكل 2-8 أن جميع العينات حافظت على كيان مغلق خلال الزمن الجيولوجى، ولولا ذلك لأعطت القياسات نقاطا غير منتظمة على الخط المستقيم نتيجة لحدوث إضافة أو تسرب للنظائر الوالدة أو الوليدة فى بعض العينات نتيجة عوامل جيولوجية متباينة، فإذا زاد تشتت القيم حول الخط المستقيم عن حد معين اتسع مدى الخطأ المحتمل فى حساب العمر، وبالتالي فقد العمر المحسوب قيمته العلمية.

جدول 2-8 تحاليل الروبيديوم والسترونشيوم ونظائرها فى جرانيت أسوان

| رقم العينة | Rb (ppm) | Sr (ppm) | $^{87}\text{Sr}/^{86}\text{Sr}$ | $^{87}\text{Rb}/^{86}\text{Sr}$ |
|------------|----------|----------|---------------------------------|---------------------------------|
| 1          | 90       | 277      | 0.7168                          | 0.9305                          |
| 2          | 110      | 219      | 0.7210                          | 1.4552                          |
| 3          | 109      | 193      | 0.7225                          | 1.6364                          |
| 4          | 115      | 163      | 0.7260                          | 2.0439                          |
| 5          | 155      | 142      | 0.7347                          | 3.1660                          |

عن: حشاد وآخرين (Hashad et. al. 1972).

تستخدم طريقة روبيدوم-سترونشيوم فى حساب أعمار الصخور النارية الفلسية والمتوسطة أو التى تحتوى عادة على نسبة من البوتاسيوم تزيد عن 2% حيث يحل الروبيديوم بسهولة مكان البوتاسيوم فى البناء الذرى لتماثل الشحنة وتقارب نصف القطر الأيونى. ويمكن أن تجرى التحاليل على عينات صخرية كاملة أو على معادن مفصولة مثل معادن الفلسبار البوتاسى والميكا. ويلاحظ هنا أنه عند تحليل عينة معدن غنى بالروبيديوم (مثل بعض أنواع الميكا أو الفلسبار البوتاسى كالأمازونيت) فإن نسبة  $^{87}\text{Sr}/^{86}\text{Sr}$  الحالية تكون عالية، مما يترتب عليه إمكانية افتراض قيمة  $^{87}\text{Sr}/^{86}\text{Sr}$  بدائية لحساب عمر تصورى أو

نموذجي model age باستخدام عينة واحدة، دون أن يؤثر ذلك تأثيراً ذا دلالة على مدى صحة العمر المحسوب.

عند حساب عمر صخر بطريقة خط الأعمار المتماثلة نحصل بجانب العمر على قيمة التركيب النظائري البدائي للسترونشيوم  $(^{87}\text{Sr}/^{86}\text{Sr})_0$ ، ولهذه القيمة أهمية كبيرة في الدراسات البترولوجية حيث تشير إلى البيئة أو مستوى العمق الذي تكونت فيه الصهارة التي أعطت بتبلورها الصخر المحدد عمره. فإذا كان مصدر هذه الصهارة هو الوشاح mantle الفقير في عنصر البوتاسيوم وبالتالي الروبيديوم، فإن النسبة البدائية للسترونشيوم تكون منخفضة وتتراوح بين حوالي 0.7015 و 0.7030 في حين لو كانت الصهارة قد تكونت في القشرة السفلية، فإن النسبة البدائية تكون أعلى بعض الشيء وتصل إلى 0.7050، أما إذا تكونت الصهارة بالانصهار الجزئي لصخور القشرة الأرضية العلوية الغنية بالبوتاسيوم، فإن النسبة البدائية للسترونشيوم تبدأ من 0.7080 وقد تتجاوز ذلك بكثير. أما النسب المحصورة بين القيمة 0.7050 والقيمة 0.7080 فإنها تشير في الغالب إلى خلط صهارة أولية مشتقة من الوشاح أو القشرة السفلية بصخور من القشرة العلوية أثناء تكوينها في غرف الصهارة. يلاحظ أن هذه النسبة تتوقف أيضاً على عمر القشرة التي اشتقت منها الصهارة فتكون النسبة أقل ما يمكن في صهارة مشتقة من قشرة فقيرة في الروبيديوم لها عمر صغير عند اشتقاق الصهارة. وبالتالي يعد التركيب النظائري الأولي للسترونشيوم مؤشراً جيداً لمصدر الصهارة خاصة أن عمليات التبلور التجزيئي أو التفاضل الصهيري لا تؤثر على هذه النسبة.

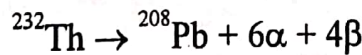
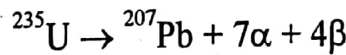
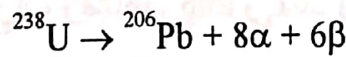
كذلك تستخدم الطريقة في حساب أعمار بعض الصخور المتحولة من أصل نارى. ويقتصر هنا إجراء القياسات على العينات الصخرية الكاملة بافتراض أن النظائر الوالدة والوليدة تتحرك بدرجات متفاوتة أثناء عملية التحول، وأن هجرتها من مكنها الأصلي لا تتجاوز في معظم الحالات بضع سنتيمترات، وأنها لم تنفلت من الصخر كلية، ولكن حدث مجرد إعادة توزيع، وبالتالي تصبح عينة صخرية بحجم اليد كياناً كاملاً مستقلاً لم يتعرض لأى انفتاح خارجي.

بالنسبة للصخور الرسوبية لم تلاق هذه الطريقة إلا نجاحاً محدوداً للغاية، واقتصر استخدامها على معدن الجلوكونيت في بعض الصخور، وذلك لاحتواء مثل هذه الصخور عادة

على حبيبات منقولة detrital مما يجعلها تعطى عمرا قريبا من عمر الصخر المصدر لهذه الحبيبات، فإذا حدث وتعرضت هذه الصخور إلى تحول إقليمي متوسط أو عال نتج عنه إعادة توزيع النظائر بين الحبيبات المنقولة والمعادن الترسبية الأخرى، فإنه يمكن حساب عمر هذا التحول بنفس طريقة منحني الأعمار المتماثلة (الأيزوكرون) المذكورة أعلاه ويطلق عليه أحيانا عمر التجانس age of homogenization إشارة إلى أنه يمثل العمر منذ إعادة توزيع النظائر بحيث تكون نسبها متجانسة في كل أجزاء الصخر.

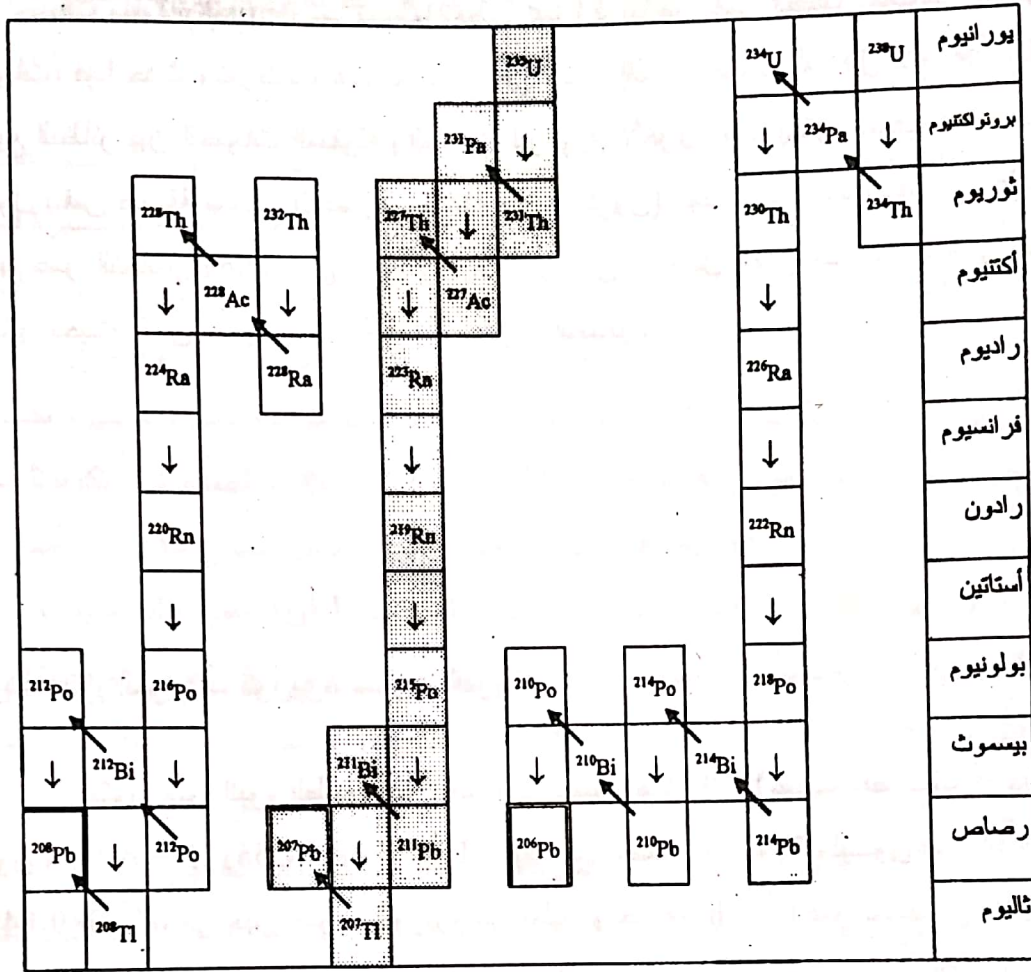
### طريقة يورانيوم - ثوريوم - رصاص

يتكون اليورانيوم الطبيعي من نظيرين رئيسيين هما  $^{238}\text{U}$  (عمر نصف = 4468 مليون سنة؛  $\lambda = 10^{-10} \times 1.55125$ ) و  $^{235}\text{U}$  (عمر نصف = 704 مليون سنة؛  $\lambda = 10^{-9} \times 9.8485$ )، في حين يتكون الثوريوم من نظير واحد هو  $^{232}\text{Th}$  (عمر نصف = 14010 مليون سنة؛  $\lambda = 10^{-11} \times 4.9475$ ). جميع هذه النظائر مشعة وتتحلل بسلسلة من التفاعلات تنتهي كل منها بنظير من نظائر الرصاص. يتوسط كل سلسلة تفاعل مجموعة من النظائر المشعة ذات أعمار نصف قصيرة نسبيا، ويوضح شكل (3-8) السلاسل الثلاثة الرئيسية. ويمكن أن تكتب معادلات تحلل كل منها للتبسيط على النحو التالي:



وبسبب عمر النصف القصير نسبيا لنظير  $^{235}\text{U}$ ، فإن معظم الكمية التي دخلت منه في تركيب الأرض عند نشأتها انتهت في الوقت الحالي، في حين لا يزال حوالى نصف الكمية الأصلية من  $^{238}\text{U}$  متبقيا حتى الآن. تقدر النسبة  $^{235}\text{U}$  إلى  $^{238}\text{U}$  الحالية بحوالى 1 إلى 137.88.





شكل 3-8 سلاسل تحلل نظائر اليورانيوم  $^{238}\text{U}$  و  $^{235}\text{U}$  والثوريوم  $^{232}\text{Th}$

تحتوي معظم معادن اليورانيوم على نسبة ولو ضئيلة من الثوريوم، وبالتالي فإن تحليل أحد معادن اليورانيوم يمكن أن يمدنا بثلاث قيم مستقلة لتحديد عمر المعدن تعتمد على الكميات المتراكمة فيه من ذرات رصاص 206 و 207 و 208 ونسبتها إلى تركيز نظائر اليورانيوم والثوريوم طبقاً للمعادلات التالية:

$$^{206}\text{Pb} = ^{238}\text{U} (e^{\lambda_{238}t} - 1)$$

$$^{207}\text{Pb} = ^{235}\text{U} (e^{\lambda_{235}t} - 1)$$

$$^{208}\text{Pb} = ^{232}\text{Th} (e^{\lambda_{232}t} - 1)$$

يمكن إعادة كتابة هذه المعادلات بنسبتها إلى نظير رصاص  $^{204}\text{Pb}$  غير الإشعاعي المنشأ على هذا النحو:

$$(^{206}\text{Pb}/^{204}\text{Pb})_p = (^{206}\text{Pb}/^{204}\text{Pb})_0 + ^{238}\text{U}/^{204}\text{Pb} (e^{\lambda_{238}t} - 1)$$

$$(^{207}\text{Pb}/^{204}\text{Pb})_p = (^{207}\text{Pb}/^{204}\text{Pb})_0 + ^{235}\text{U}/^{204}\text{Pb} (e^{\lambda_{235}t} - 1)$$

$$(^{208}\text{Pb}/^{204}\text{Pb})_p = (^{208}\text{Pb}/^{204}\text{Pb})_0 + ^{232}\text{Th}/^{204}\text{Pb} (e^{\lambda_{232}t} - 1)$$

حيث  $(^{206}\text{Pb}/^{204}\text{Pb})_0$  هي نسبة نظيرى الرصاص وقت تبلور المعدن من الصهارة. ويمكن حل المعادلة الأولى لحساب عمر المعدن على النحو الآتى:

$$t_{206} = \frac{1}{\lambda_{238}} \ln \left[ \frac{\left( \frac{^{206}\text{Pb}}{^{204}\text{Pb}} \right)_p - \left( \frac{^{206}\text{Pb}}{^{204}\text{Pb}} \right)_0}{^{238}\text{U}/^{204}\text{Pb}} + 1 \right]$$

كما يمكن بالطبع كتابة معادلات مماثلة لحساب الأعمار نتيجة تحليل النظائر  $^{235}\text{U}$  و  $^{232}\text{Th}$  وبالتالي نحصل على ثلاثة أعمار كل منها مستقل عن الآخر لنفس المعدن. كما أنه بالإمكان أيضا حساب عمر رابع للمعدن وذلك من قيم تحليل نظائر الرصاص فقط أى من النسبة  $(^{207}\text{Pb}/^{206}\text{Pb})$  حيث تكتب المعادلة على النحو التالى:

$$\left[ \frac{^{207}\text{Pb}}{^{206}\text{Pb}} \right] = \frac{1}{137.88} \left[ \frac{(e^{\lambda_{235}t} - 1)}{(e^{\lambda_{238}t} - 1)} \right]$$

باعتبار أن نسبة  $^{235}\text{U}$  إلى  $^{238}\text{U}$  هي 1 إلى 137.88 وهى النسبة السائدة فى الطبيعة

حاليا.

يعد معدن الزركون المنفصل من الصخور النارية أكثر المعادن ملائمة لتطبيق هذه الطريقة، ذلك أنه يحتوى على تركيزات عالية من اليورانيوم والثوريوم، كما لا يقبل الرصاص فى بنائه المعدنى مما يقلل من مصادر الخطأ فى حساب الأعمار الناتجة عن عدم التحديد الدقيق لنسب نظائر الرصاص البدائية. أما المعادن الأخرى التى يمكن أن تستخدم فتشمل اليورانينيت، الإسفين، الأباتيت والمونازيت.

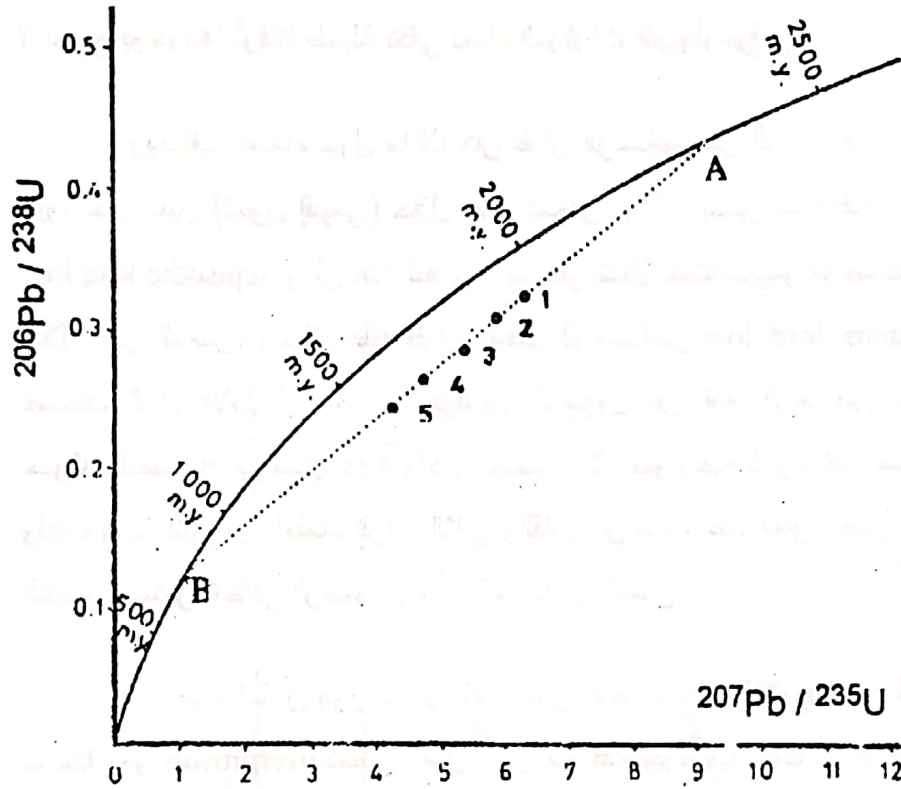
من البديهي، أن تتفق الأعمار الثلاثة أو الأربعة المحسوبة بالمعادلات السابقة لمعدن معين ما لم يحدث انفلات أو إضافة لنظائر اليورانيوم - الثوريوم - الرصاص، أو أى من النظائر التى تتوسط سلاسل التحلل الثلاث من المعدن خلال تاريخه الجيولوجى. ولكن غالباً ما لا تتفق هذه الأعمار مشيرة إلى إمكانية عدم محافظة المعدن على كيانه مغلقاً، ويقال عن هذه الأعمار فى هذه الحالة أنها أعماراً غير متفقة discordant ages بعكس مصطلح الأعمار المتفقة concordant ages فيما لو اتفقت والذى نادراً ما يحدث. وباستقراء البحوث المنشورة فى هذا المجال، لوحظ أن هناك نمطاً ثابتاً لعدم الاتفاق بين الأعمار، فالعمر المحسوب بطريقة  $^{207}\text{Pb}/^{206}\text{Pb}$  أعلى من ذلك المحسوب بطريقة  $^{207}\text{Pb}/^{235}\text{U}$  وهذا أعلى من  $^{206}\text{Pb}/^{238}\text{U}$  وهذا أعلى من  $^{208}\text{Pb}/^{232}\text{Th}$ . وقبل أن نفسر السبب فى عدم اتفاق هذه الأعمار قد يتبادر إلى الذهن سؤال عن أى هذه الأعمار أصح أو الأقرب إلى الحقيقى. يعد العمر بطريقة  $^{207}\text{Pb}/^{206}\text{Pb}$  أقرب الأعمار إلى العمر الحقيقى ذلك أن تراكم النظيرين يتم بمعدلين مختلفين نتيجة اختلاف ثوابت التحلل لنظيرى اليورانيوم ولذلك فإن النسبة  $^{207}\text{Pb}/^{206}\text{Pb}$  تزيد مع الزمن بمعدل يمكن حسابه بسهولة وهى فى نفس الوقت لا تتأثر كثيراً بفقدان أو انفلات الرصاص من المعدن ذلك أن النظيرين سينفلتان بنفس المعدل لأن الانفلات لا يفرق عملياً بينهما، فى حين التراكم عملية نووية تتم بمعدلين مختلفين.

استغل العالم الأمريكى ويذرل (Wetherill 1956) من جامعة كاليفورنيا هذه النقطة، فاقترح ما أطلق عليه منحنى الاتفاق concordia curve وذلك برسم النسب الذرية للنظائر  $^{206}\text{Pb}/^{238}\text{U}$  أمام  $^{207}\text{Pb}/^{235}\text{U}$  (شكل 4-8).

يمر المنحنى التوافقى بجميع النقط التى يكون عندها العمر المحسوب بطريقة  $^{206}\text{Pb}/^{238}\text{U}$  مساوياً للعمر المحسوب بطريقة  $^{207}\text{Pb}/^{235}\text{U}$ ، أى إن المنحنى يمثل مواقع الأعمار المتفقة حسابياً بالطريقتين. على هذا الأساس، لو أن هناك معدناً استطاع أن يحافظ على كيانه مغلقاً خلال عمره الجيولوجى، فإن نتائج التحاليل لابد أن تقع على هذا المنحنى، وتعطى أعماراً متفقة وهذا نادراً ما يحدث، إذ إن نتائج معظم التحاليل تقع أسفل هذا المنحنى، مما يعنى تسرب بعض النظائر الوليدة للرصاص. فإذا كان لدينا خمس عينات من الزركون



مفصولة من عينات تمثل مواقع متفرقة لصخر جرانيتي مثلا، فإن نتائج تحاليلها ستظهر كما في شكل 4-8.



شكل 4-8: منحنى الاتفاق وهو يمر بالنقاط التي تتفق عندها الأعمار المحسوبة

بطريقة  $^{206}\text{Pb}/^{238}\text{U}$  وتلك المحسوبة بطريقة  $^{207}\text{Pb}/^{235}\text{U}$ .

عن: وذريل (Wetherill 1956)

يلاحظ أن النقاط الممثلة للتحاليل تقع على خط مستقيم. ويرجع ذلك إلى التفاوت في درجة تسرب الرصاص، إذ إنه لو مددنا هذا الخط، والذي يطلق عليه أحيانا خط عدم الاتفاق discordia line، إلى حيث يتقاطع مع منحنى الاتفاق، فستكون نقطة التقاطع A هي عمر الصخر الحقيقي، والتركيب النظائري الذي تمثله هو التركيب غير المتأثر بعمليات التسرب، ويعد مدى تباعد النقاط عن نقطة التقاطع A مؤشرا لمدى تسرب الرصاص، فالنقطة 3 تمثل عينة زركون فقدت رصاصا وليدا أكثر من العينة التي تمثلها النقطة 1 وهكذا.

أرجع بعض العلماء أسباب عدم الاتفاق بين الأعمار للزركون إما إلى تسرب نظائر الرصاص المستقرة النهائية في كل سلسلة؛ أى تسرب  $^{206}\text{Pb}$ ,  $^{207}\text{Pb}$ ,  $^{208}\text{Pb}$  أو إلى تسرب النظائر المشعة الوسيطة مثل الرادون أو الراديوم في السلاسل المختلفة. ويبدو أن السبب الأول هو الأكثر احتمالا، إذ إن أعمار النصف لمعظم النظائر الوسيطة ضئيلة بالدرجة التي لا تسمح بوجودها أوقاتا طويلة تكفى لعمل المؤثرات الجيولوجية.

ويختلف العلماء حول ما إذا كان فقدان الرصاص من المعدن هو نتيجة حدث جيولوجي معين (تحول إقليمي) خلال عمر المعدن، والذي يطلق عليه فقدان رصاص حولى episodic lead loss، أو أن هذا الفقدان كان على شكل تفلت مستمر للرصاص بنسب متفاوتة خلال عمر المعدن، ويطلق عليه فقدان مستمر للرصاص continuous lead loss. ويرى أصحاب الرأي الأول أن الحدث الجيولوجي المسؤول عن فقدان الرصاص يمكن تحديد وقت حدوثه بالنقطة B في شكل 4-8 ولكن وجدت دلائل جيولوجية كثيرة تتعارض مع هذا الرأي، ولذلك يؤيد كثير من العلماء الرأي الثانى والقائل بأن سبب عدم اتفاق أعمار الزركون هو التفلت المستمر لنظائر الرصاص المتراكمة داخل المعدن.

لوحظ أيضا أن بلورات الزركون التي تظهر فيها نطاقات zoning تمثل أكثر من مرحلة نمو overgrowth تعطى أعماراً غير متوافقة جيولوجياً، ذلك أن الرصاص المفصول منها يمثل خليطاً لعمرين مختلفين. وقد فتحت أجهزة مطياف الكتلة الميكرومسطارية microprobe mass spectrometers آفاقاً جديدة تسمح بتحديد التركيب النظائري لكل نطاق على حدة في بلورات منفردة single grains منتقاة بعناية من الصخر المراد تحديد عمره (أو أعمار مراحل النمو المختلفة).

## طريقة بوتاسيوم - أرجون

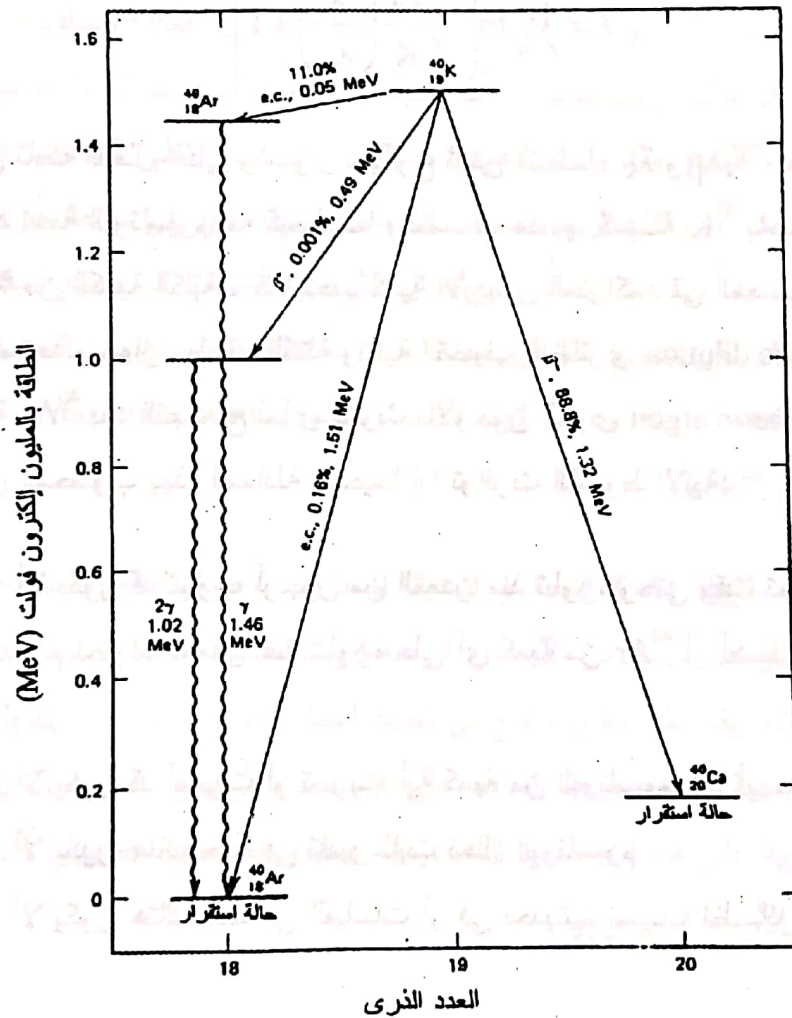
لا يشكل النظير  $^{40}\text{K}$  إلا نسبة ضئيلة من البوتاسيوم الموجود في الطبيعة كما يظهر من النسب الآتية (Faure 1986):

$$^{39}\text{K} = 93.2581\%$$

$$^{40}\text{K} = 0.01167\%$$

$$^{41}\text{K} = 6.7302\%$$

يتحلل  $^{40}\text{K}$  إشعاعيا بوسيلتين (شكل 5-8):



شكل 5-8 تحلل النظير  $^{40}\text{K}$  المشع إلى النظيرين  $^{40}\text{Ar}$  و  $^{40}\text{Ca}$  المستقرين.

عن: دالريمبل و لانفير (Dalrymple and Lanphere 1969)



الأولى بالتحول إلى  $^{40}\text{Ca}$  عن طريق انبعاث جسيمات بيتا (حوالي 89% من  $^{40}\text{K}$ ) بمعدل تحلل  $\lambda_{\beta}$  يساوى  $4.962 \times 10^{-10}$  سنوياً، والثانية بالتحول إلى  $^{40}\text{Ar}$  بعملية الأسر الإلكتروني (حوالي 11% من  $^{40}\text{K}$ ) بمعدل تحلل  $\lambda_e$  يساوى  $0.581 \times 10^{-10}$  سنوياً (عمر النصف المقابل للتحلل الإشعاعي الكلى هو  $1.25 \times 10^9$  سنة). الوسيلة الأولى لا تطبق فى عملية تحديد أعمار الصخور لأن  $^{40}\text{Ca}$  هو النظير الشائع للكالسيوم فى الطبيعة، وبالتالي يتعذر قياس الكميات الضئيلة المضافة نتيجة التحلل الإشعاعي أو التفرقة بينها وبين  $^{40}\text{Ca}$  الأصلية.

المعادلة المستخدمة فى حساب عمر المعدن بهذه الطريقة هى:

$$t = \frac{1}{\lambda} \ln \left[ \frac{^{40}\text{Ar}}{^{40}\text{K}} \left( \frac{\lambda}{\lambda_e} \right) + 1 \right]$$

حيث  $\lambda$  هى ثابت التحلل الكلى وتساوى مجموع ثابتى التحلل  $\lambda_e$  و  $\lambda_{\beta}$ . ولمعرفة عمر المعدن تحدد نسبة البوتاسيوم فيه كيميائياً وتحسب منها كمية  $^{40}\text{K}$  باستخدام النسبة 0.01167% من الكمية الكلية. كما تحدد كمية الأرجون المتراكمة فى المعدن وتركيبها النظائرى باستخدام جهاز مطياف الكتلة وتقنية التخفيف النظائرى isotope dilution ومنها تحسب نسبة  $^{40}\text{Ar}$  بعد التصحيح لمدى التلوث بالأرجون الجوى atmospheric argon. ويعد عمر المعدن المحسوب بهذه المعادلة صحيحاً إذا توافرت الشروط الآتية:

- 1- ألا يكون قد تسرب أرجون من المعدن منذ تبلوره وحتى وقت تحديد عمره
- 2- عدم احتواء المعدن عند تبلوره على أى كمية من  $^{40}\text{Ar}$  أو أضيف إليه أثناء الزمن الجيولوجى.

- 3- ألا يكون قد أضيفت أو تسربت أية كمية من البوتاسيوم إلى أو من المعدن
- 4- ألا يكون هناك خطأ فى تقدير ثابت تحلل البوتاسيوم
- 5- ألا يكون هناك خطأ فى القياسات أو فى تحديد نسب نظائر البوتاسيوم أو

الأرجون

- 6- أن يكون قد حدث تصحيح لأى تلوث بالأرجون الجوى.

يعد الشرط الأول أكثر هذه الشروط أهمية إذ تتفاوت المعادن المناسبة مثل الفلسبار والميكا والهورنبلد في قدرتها على الاحتفاظ بالأرجون *argon retentivity* المتراكم داخلها أثناء الزمن الجيولوجي، فنجد أن معادن الفلسبار هي أقلها قدرة على ذلك، ويسهل هروب الأرجون منها عند تعرضها لدرجات حرارة منخفضة حتى في حدود 150 درجة مئوية، أما الميكا فقدرتها أكبر على الاحتفاظ بالأرجون، ولا يتسرب الأرجون منها إلا عند درجات حرارة أعلى مثل تلك السائدة في عمليات التحول الإقليمي المتوسط (سحنات الأمفيبوليت)، في حين يعد الهورنبلد أكثر المعادن ملاءمة لقدرته الفائقة على الاحتفاظ بما يتراكم داخله من أرجون حتى عند درجات حرارة تزيد عن 600 درجة مئوية. يعيب معدن الهورنبلد أن محتواه من البوتاسيوم يكون عادة صغيرا. لهذه الأسباب، نرى أنه كثيرا ما تعطى المعادن المفصولة من صخر ناري واحد تعرض لأي من أنواع التحول أعمارا مختلفة رغم أنها تكونت جميعها في وقت واحد تقريبا، وذلك بسبب التفاوت في قدرتها على الاحتفاظ بالأرجون، فنجد الفلسبار مثلا يعطى أعمارا منخفضة، في حين يعطى البيوتيت عمرا أعلى، ويعطى الهورنبلد أعلى الأعمار جميعا. أما إذا حدث ارتفاع كبير في درجة حرارة الصخر أثناء عمليات التحول عالي الرتبة فقد ينتج فقدان الأرجون المتراكم في جميع المعادن على حد سواء وتبدأ المعادن في تجميع الأرجون مرة أخرى عندما تنخفض درجات الحرارة ويقال عن الأعمار المحسوبة لهذه المعادن أنها تمثل زمن التحول *time of metamorphism* بدلا من عمر التكون الأصلي.

تناسب طريقة K-Ar الصخور الحديثة نسبيا بسبب صغر عمر النصف للبوتاسيوم حيث يمكن أن تتراكم كميات من الأرجون في فترة زمنية قصيرة (مائة ألف عام مثلا)، ولذلك تستخدم الطريقة على نطاق واسع في تحديد أعمار الطفوح البركانية الأكثر حداثة خاصة البازلت، كما أن دقة حبيباته تساعد على الاحتفاظ بالأرجون. تطبق الطريقة أيضا في الدراسات الجارية على البازلت لتحديد المغنطيسية العتيقة *paleomagnetism* وتجول القطب المغنطيسي في الأزمنة الجيولوجية.

## طريقة كربون - 14

يتكون  $^{14}\text{C}$  المشع فى طبقات الجو العليا نتيجة تفاعل نووى بين ذرات النيوترونات والنيوترونات المتكونة من تصادمات الأشعة الكونية. سرعان ما يتأكسد الكربون ويتحد مع الأكسجين مكونا ثانى أكسيد الكربون الذى يختلط بثانى أكسيد الكربون المتكون من نظائر الكربون الأخرى ( $^{12}\text{C}$ ,  $^{13}\text{C}$ ) وباقى مكونات الغلاف الجوى. يتحلل  $^{14}\text{C}$  بانبعاث جسيمات البيتا إلى  $^{14}\text{N}$  وذلك بمعدل تحلل ثابت مقداره  $1.209 \times 10^{-2}$  سنوات (عمر النصف يساوى 5730 سنة) ولكن، نظرا لوجود حالة من الاتزان بين معدل فئاته بالتحلل ومعدل تكوينه، يظل تركيزه فى الجو ثابتا وكذا تبقى النسبة  $^{14}\text{C}/^{12}\text{C}$ . يستهلك النبات ثانى أكسيد الكربون بعملية التمثيل الضوئى، فيثبت الكربون المشع فى النبات الذى ينتقل بدوره إلى الحيوانات عن طريق المأكولات وما تمتصه من الهواء والماء. وتحدث أيضا حالة مماثلة من الاتزان تبقى على ثبات نسبة تركيز  $^{14}\text{C}$  إلى باقى نظائره فى المواد الحية. يمكن أن نطلق على هذا التركيز الثابت القيمة  $N_0$ .

عند موت النبات أو الحيوان تتوقف جميع العمليات التى كانت تمده بالكربون ويتوقف إمداده بالنظير  $^{14}\text{C}$  المشع، فى حين تستمر عملية التحلل الإشعاعى، وتبدأ نتيجة لذلك كمية  $^{14}\text{C}$  فى التناقص، حيث لا تتوقف عملية التحلل الإشعاعى ولا يتأثر معدلها بموت أو حياة. يترتب على ذلك تناقص كمية الإشعاع الصادرة من العينة الميتة لتتناقص  $N_0$  بحيث أنه بعد فترة زمنية معينة  $t$  تصبح هذه القيمة  $N$ .

يمكن تقدير عمر أية عينة من أصل حى (أى الزمن الذى انقضى منذ انفصالها عن الدورة الحياتية) بقياس كمية الكربون المشع  $^{14}\text{C}$  التى ما زالت تحتفظ بها العينة، أى التى لم تتحلل بعد. ويتم ذلك بقياس النشاط الإشعاعى الصادر عن العينة والذى يتناسب مع كمية  $^{14}\text{C}$  بالعينة. وتطبق معادلة التحلل الإشعاعى:

$$N = N_0 e^{-\lambda t}$$

والتي يمكن كتابتها فى الشكل التالى:



$$\ln \frac{N}{N_0} = -\lambda t$$

حيث تمثل القيمة  $N_0$  إشعاعية  $^{14}\text{C}$  فى المواد الحية أو النشاط الإشعاعى الذاتى specific activity للكربون الحديث وتقدر قيمته الحالية بحوالى 13.56 تفكك disintegration فى الدقيقة للجرام كربون، فى حين تكون  $N$  هى إشعاعية  $^{14}\text{C}$  فى المادة المراد تحديد عمرها وتقاس معمليا بنفس الوحدات.

باستعمال العلاقة بين عمر النصف  $T$  وثابت التحلل  $\lambda$  يمكن أن يعاد كتابة المعادلة السابقة كما يلى:

$$t = -\frac{T}{\ln 2} \ln \frac{N}{N_0}$$

$$t = -8.266 \ln \frac{N}{N_0}$$

من البديهي أن صحة قيمة العمر الناتج (بالسنين) تعتمد على صحة قياس  $N$  وكذلك على افتراض مصداقية قيمة النشاط الذاتى  $N_0$  وهل تمثل القيمة التى كانت سائدة بالفعل بين المواد الحية خلال السنين ألف عام الماضية (تقريبا أقصى مدى للأعمار يمكن تحديده بهذه الطريقة). يعتمد قبول هذا الافتراض على مدى تجانس توزيع  $^{14}\text{C}$  فى الغلاف الجوى ومدى ثبات تركيزه خلال الفترة الماضية، فيعتمد مثلا تكون  $^{14}\text{C}$  على كثافة النيوترونات الكونية الموجودة فى الغلاف الجوى، وهذه تختلف بالارتفاع فتصل إلى أعلى كثافة عند ارتفاع 40 ألف إلى 50 ألف قدم فوق سطح الأرض، كما أنها تصل فى المناطق القطبية إلى حوالى أربعة أمثال كثافتها فى المناطق الاستوائية، وبالتالي فإن معدل تكون  $^{14}\text{C}$  فى المناطق القطبية أعلى منه فى المناطق الاستوائية. وقد قامت دراسات محدودة بغرض اختبار أثر هذه الاختلافات على إشعاعية النباتات، فوجد تماثل فى النشاط الإشعاعى لنباتات المناطق المرتفعة والمنخفضة والمناطق القطبية والاستوائية على حد سواء. وأرجع ذلك إلى أن الوقت اللازم للاختلاط فى الجو والوصول إلى مرحلة التجانس وقت قصير نسبيا لا يزيد عن عامين. من ناحية أخرى، لاحظ العالم سيويس (Suess 1956) أن الأخشاب التى نمت فى القرن العشرين

تقل في نشاطها الإشعاعى الذاتى عن الأخشاب التى نمت فى القرن التاسع عشر بحوالى 2%، وأرجع ذلك إلى تداخل ثانى أكسيد كربون ميت (أى بدون أى نشاط إشعاعى) فى الهواء نتيجة احتراق الفحم والبتترول مع بدء الثورة الصناعية فى العالم. وتعرف هذه الظاهرة الآن باسم تأثير سيويس Suess effect. معنى ذلك أن النشاط الذاتى للكربون يتناقص مع استمرارية التوسع فى حرق الوقود الأحفورى.

لوحظ أيضا زيادة كبيرة وصلت إلى حوالى 70% من النشاط الإشعاعى الأصلى فى نباتات نيوزيلندة، وهى أقرب الأماكن إلى مناطق التجارب الذرية التى كانت تجرى فى المحيط الهادى فى الأربعينيات والخمسينيات من هذا القرن. هذه الزيادة كانت بسبب زيادة نسبة النيوترونات فى الجو، وبالتالي زيادة نسبة الكربون المشع. غير أن إشعاعية النباتات التى تنمو فى هذه المناطق عادت إلى الإشعاعية الطبيعية السائدة فى باقى أنحاء العالم. من الطبيعى أن مثل هذه النباتات العالية الإشعاعية سوف تعطى أعمارا أقل بكثير من عمرها الحقيقى بعد موتها ما لم يكن هناك وسيلة لتمييزها.

لا تستخدم طريقة  $^{14}\text{C}$  لتحديد أعمار معظم المواد الجيولوجية لسبب رئيس هو قصر عمر نصف  $^{14}\text{C}$  بحيث يصعب قياس إشعاعية أى مادة عضوية مضى على انفصالها عن دورة الحياة زمن أكبر من عشرة أمثال عمر النصف والذى يعتبر قصيرا جدا بالنسبة للزمن الجيولوجى. لذلك، فإن هذه الطريقة تستخدم لتحديد أعمار بعض المواد الحديثة — بالمعنى الجيولوجى للحدث — مثل الشعب المرجانية والمياه الجوفية بشروط معينة.

أكثر استخدامات الطريقة هو فى تحديد أعمار البقايا العضوية فى الأماكن الأثرية، فتستخدم فى تحديد أعمار المدن القديمة — مدائن صالح مثلا — أو أزمنة التعدين عن طريق قياس البقايا العضوية فى المناجم الأثرية المهجورة.



## النظائر المستقرة

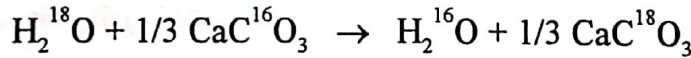
من المفترض أن تظل الوفرة النسبية لنظائر عنصر ما ثابتة في الطبيعة، بمعنى عدم تغير نسبة نظيرين معينين من مادة إلى أخرى، ولكن لوحظ أن نظائر بعض العناصر الخفيفة، التي يقل رقمها الذري عن عشرين، لا تخضع لهذه القاعدة، وأن نسبة بعض النظائر تتغير من مركب إلى آخر. مثلاً، نجد أن نسبة نظيري الكربون  $^{13}\text{C}/^{12}\text{C}$  في البترول الخام أصغر منها في صخور الكربونات، وأن نسبة نظيري الأكسجين  $^{18}\text{O}/^{16}\text{O}$  في مياه الأمطار أصغر منها في مياه البحار والمحيطات. يُطلق على هذا التغير الذي يحدث في الوفرة النسبية لبعض النظائر المستقرة من وعاء جيولوجي معين كالبتترول إلى آخر كالكربونات، مصطلح التجزؤ النظائري isotopic fractionation .

## عمليات التجزؤ النظائري

تتم عملية التجزؤ النظائري أو إعادة توزيع النظائر بين مادتين أو مركبين بنسب نظائرية مختلفة بعدة طرق أهمها:

### 1- تفاعلات تبادل نظائري isotopic exchange reactions

وتشمل إعادة توزيع نظائر عنصر ما بين جزيئات مختلفة تحتوى نفس العنصر،  
مثلاً:



لاحظ انتقال النظير  $^{18}\text{O}$  من الماء إلى الكربونات، وانتقال النظير  $^{16}\text{O}$  من الكربونات إلى الماء.

### 2- تفاعلات ناشئة عن الحركة kinetic reactions

وتعتمد أساساً على اختلاف سرعات تفاعلات الجزيئات النظائرية المختلفة. مثلاً، في الحالة الغازية للمواد، نجد أن الجزيئات المحتوية على نظير خفيف تتحرك بسرعة أكبر من المحتوية على نظير أثقل لنفس العنصر، فمثلاً سرعة جزيء  $^{12}\text{CO}_2$  كتلته 44 يكون



أسرع من جزيء  $^{13}\text{CO}_2$  كتلته 45 بحوالى 1.1%، وهذا يقود إلى تجزؤ أو تفاضل أو تمايز نظائرى خلال عملية انتشار diffusion الغازات.

### 3- الظواهر الفيزيوكيميائية Physicochemical phenomena

مثل التبخر والتكثف والتبلور والانصهار. فمثلاً، تزداد خلال أية عملية تبخر نسبة النظير الخفيف إلى النظير الثقيل في البخار المتصاعد عن نفس النسبة في المادة المتخلفة عن عملية التبخر. ويقال حدث إثراء enrichment للنظير الخفيف في البخار ويحدث العكس في عملية التكثف. مثلاً، يكون بخار الماء الناتج من تبخر مياه بحيرة السد العالي أغنى بالنظير  $^{16}\text{O}$  عن ماء البحيرة نفسه والذي تزيد فيه بالتالى، نتيجة لذلك، نسبة  $^{18}\text{O}$  إذا قورن بالبخار الناتج منها.

### قياس التجزؤ النظائرى

يتسم قياس التجزؤ النظائرى، في نسب النظائر، بصعوبة بالغة وذلك لقيمته المتناهية الصغر. فإذا حاولنا مثلاً قياس النسب المطلقة لنظيرين في مادة ما فإنه يمكن أن نحصل على نتيجتين مختلفتين إذا تمت القياسات على أجهزة تختلف في دقتها. لذلك، تم اللجوء إلى تصميم نوع معين من أجهزة مطياف الكتلة التى تقيس مباشرة الفرق بين نسبة نظيرين في عينة ما ونسبتهما في عينة أخرى قياسية، والتي يجب أن تكون متاحة لجميع المعامل العاملة في هذا المجال في أى مكان في العالم. ويعرف هذا الفرق بالقيمة دلتا  $\delta$ ، وتحدد كنسبة في الألف (per mil) وتكتب % وتقدر كالتالى:

$$\delta\text{‰} = \frac{R_{sp} - R_{st}}{R_{st}} \times 10^3$$

حيث  $R_{sp}$  هي نسبة النظيرين في العينة التى يجرى تحليلها و  $R_{st}$  هي نسبة نفس النظيرين في العينة القياسية والتي يجرى إدخالها وقياسها بالتناوب في نفس الجهاز وفي نفس الوقت الذى يتم فيه قياس العينة. من الواضح في المعادلة السابقة أن قيمة دلتا  $\delta$  يمكن أن تكون بالسالب أو الموجب اعتماداً على ما إذا كانت النسبة المقاسة للنظيرين أعلى أم أقل في العينة القياسية

عن العينة المحللة، فإذا كانت دلتا  $\delta$  موجبة فإننا نتكلم عن العينة على أنها أثقل من العينة القياسية والعكس إذا كانت سالبة فإنها تكون أخف منها.

العناصر التى لها نظائر ذات أهمية فى العمليات الجيولوجية محدودة جدا وتتحصر فى الهيدروجين والكربون والأكسجين والكبريت.

والعينات القياسية المستخدمة كمركبات مرجعية للتركيب النظائرى لهذه العناصر

هى:

SMOW

وهى عينة من ماء المحيط المقطر ولها تنسب نظائر الهيدروجين والأكسجين وهى مشتقة من أول حروف كلمات Standard Mean Ocean Water.

PDB

وهى عينة من الحجر الجيرى ولها تنسب نظائر الكربون والاسم مشتق من اسم أحفورة هى *Pee Dee Formation Belemnittella*

CD

وهى عينة من معدن الترويليت (كبريتيد حديد) من نيزك أخدود ديابلو ولها تنسب نظائر الكبريت.

والعينة القياسية مواصفات ومتطلبات خاصة أهمها:

- 1- أن تستخدم فى العالم كله كنقطة الصفر.
- 2- أن تكون متجانسة فى التركيب.
- 3- أن تكون متاحة فى كميات كبيرة.
- 4- أن يسهل إعدادها كيميائيا للتحليل النظائرى.
- 5- أن تقع نسب النظائر فيها فى وسط المدى الذى تغطيه نسب نفس النظائر فى الطبيعة.

## اتجاهات عامة فى ظاهرة التجزؤ النظائرى

لعله من المفيد، قبل الدخول فى تفاصيل عن مغزى تغير نسب النظائر المستقرة فى الطبيعة، أن نمرّد بعض الاتجاهات العامة السائدة فى هذا المجال وأهمها:

1- يحدث التجزؤ النظائرى بدرجة يمكن قياسها عندما يكون الفرق النسبى بين كتلى نظائر عنصر معين كبيراً نسبياً. فمثلاً، الفرق النسبى بين كتل نظائر الهيدروجين هو 1:1، فى حين هو فى الأكسجين 8:1، ولهذا يكون التجزؤ أكبر وأكثر وضوحاً فى حالة الهيدروجين عنه فى الأكسجين تحت نفس الظروف البيئية. لهذا السبب، اقتصرت تطبيقات هذه الظاهرة على العناصر الخفيفة، أى التى يقل وزنها الذرى عن 40.

2- تزيد درجة التجزؤ النظائرى بين المركبات التى تتغير فى الطبيعة بين الحالات الثلاث للمادة - غازية - سائلة - صلبة، مع وجود حالة من الاتزان بينها تحت أحوال بيئية متباينة.

3- تقل درجة التجزؤ بازدياد درجة الحرارة، فمثلاً تظهر الصخور النارية التى تتكون فى درجات حرارة عالية تجزؤاً نظائرياً أقل مما يظهر فى الصخور الرسوبية، كذلك تكون عمليات التجزؤ فى نظائر الهيدروجين والأكسجين المصاحبة لعملية البحر فى المناطق القطبية أعلى منها فى المناطق الاستوائية.

4- خلال التفاعلات الحيوية مثل عملية التمثيل الضوئى والتفاعلات البكتريولوجية والميكروبية يحدث إثراء للنظير الخفيف فى نواتج التفاعل مقارنة بالمواد الداخلة فيه.

5- تتجه النظائر الثقيلة فى نفس المادة أو المركب الكيميائى إلى التركيز فى المواد الصلبة عنها فى المواد السائلة، وهذه عنها فى المواد الغازية.

المحصلة النهائية لكل عمليات التجزؤ النظائرى التى تحدث فى الطبيعة هى زيادة معدل التجزؤ بالانتقال من المواد المتكونة فى البيئات السحيقة فى أعماق الأرض إلى المواد المتكونة فى بيئات سطح الأرض.



## تطبيقات لظاهرة التجزؤ النظائري

## نظائر الأكسجين والهيدروجين

الأكسجين هو أكثر العناصر وفرة في صخور القشرة الأرضية. ويوجد في مركبات غازية وسائله وصلبة معظمها مستقر حراريا على مدى تغير واسع في درجات الحرارة.

للأكسجين ثلاثة نظائر كلها مستقرة هي:

$$\text{أكسجين } 16 = 99.7630\%$$

$$\text{أكسجين } 17 = 0.0375\%$$

$$\text{أكسجين } 18 = 0.1995\%$$

ونظراً لأن النظيران  $^{16}\text{O}$  و  $^{18}\text{O}$  هما الأكثر وفرة والفارق بين كتليتهما أكبر نسبياً، فإن النسبة  $^{18}\text{O}/^{16}\text{O}$  هي التي تقاس عادة وتنسب إلى SMOW وتحسب قيمة  $\delta^{18}\text{O}$ ، على النحو التالي:

$$\delta^{18}\text{O}\text{‰} = \frac{\left(^{18}\text{O}/^{16}\text{O}\right)_{\text{sp}} - \left(^{18}\text{O}/^{16}\text{O}\right)_{\text{st}}}{\left(^{18}\text{O}/^{16}\text{O}\right)_{\text{st}}} \times 10^3$$

حيث  $\left(^{18}\text{O}/^{16}\text{O}\right)_{\text{sp}}$  هي نسبة النظيرين في العينة المحللة و  $\left(^{18}\text{O}/^{16}\text{O}\right)_{\text{st}}$  هي نسبتهما في العينة القياسية SMOW.

الهيدروجين أقل وفرة من الأكسجين ولكنه يصاحبه في معظم العمليات الجيولوجية في صور الماء المختلفة. وتتكون نظائر الهيدروجين المستقرة من نظيرين فقط هما:

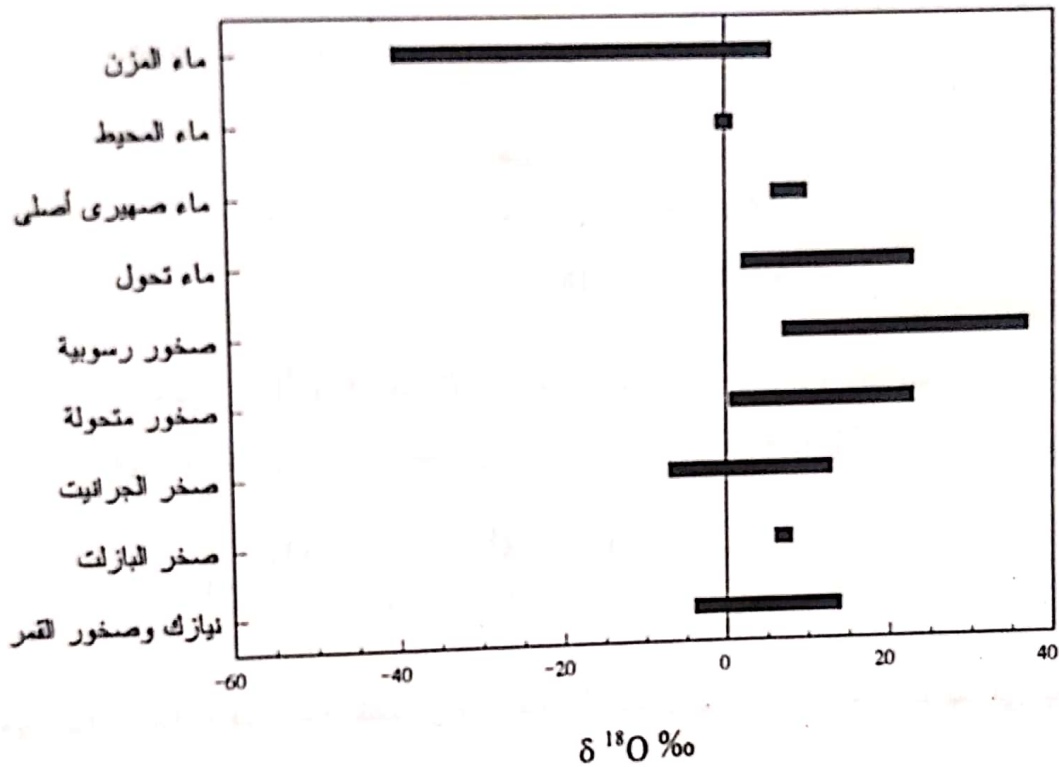
$$\text{هيدروجين (H)} = 99.9852\%$$

$$\text{هيدروجين (H}^2\text{)} = 0.0148\%$$

ويسمى النظير الثقيل للهيدروجين ديوتيريوم ورمزه D وتقاس  $\delta\text{D}$  أيضا نسبة إلى العينة العيارية SMOW على النحو التالي:

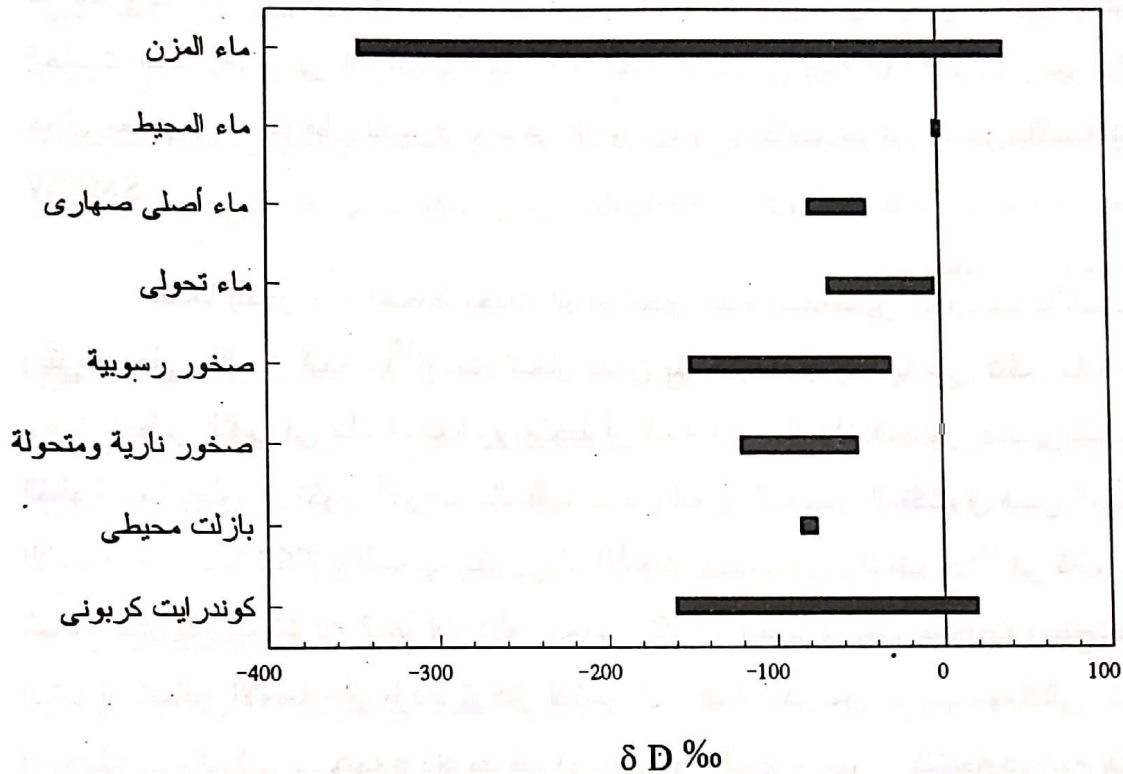
$$\delta D\text{‰} = \frac{(D/H)_{sp} - (D/H)_{st}}{(D/H)_{st}} \times 10^3$$

الأوعية الجيولوجية للأكسجين والهيدروجين كثيرة، ولكن أهمها الهواء والماء والصخور والتي يسود بينها حالة من الاتزان الظاهر. ويبين الشكل (6-8) الفارق بين قيم  $\delta^{18}O$  في هذه الأوعية، كما يظهر الشكل (7-8) الفارق بين قيم  $\delta D$ .



شكل 6-8 التغير في قيم  $\delta^{18}O$  في بعض الأوعية الجيولوجية للأكسجين منسوبا إلى العينة المعيارية SMOW. عن بيانات من: فور (Faure 1986) وهوف (Hoefs 1987) وروولسون (Rollinson 1993).

ونظراً لأهمية الماء في جميع العمليات الجيولوجية فسوف نخصه ببعض التفصيل وسوف نركز الحديث على نظائر الأكسجين وعلى القارئ أن يلاحظ أن أي تجزؤ في نظائر الأكسجين يصحبه تجزؤ مماثل في الاتجاه وأكبر في المدى بين نظائر الهيدروجين، فمثلاً أي إثراء في النظير  $^{18}O$  يصحبه إثراء مماثل في النظير  $D$  ولكن يكون مداه أوسع للأسباب التي سبق ذكرها.



شكل 7-8 التغير فى قيم  $\delta D$  فى بعض الأوعية الجيولوجية للهيدروجين منسوباً إلى SMOW. عن بيانات من: فور (Faure 1986) وهوف (Hoefs 1987) ورولتسون (Rollinson 1993).

يشكل ماء المحيط أكبر خزان للأكسجين، ورغم ذلك فإن مياهه تتميز بتجانس عجيب فى تركيبها النظائرى. ولذلك، استخدمت كمرجع تنسب إليه نسب نظائر الأكسجين فى باقى المواد. يشذ عن هذا التجانس بعض البحار شبه المغلقة والتي تسود فيها معدلات مرتفعة من البخر مثل البحر الأحمر، حيث تزداد الملوحة وترتفع قيمة  $\delta^{18}O$  لمياهه إلى حوالى  $+2$  فى الألف. قد يحدث أيضاً بعض الشذوذ فى المناطق التي يكثر فيها الاختلاط بمياه عذبة مثل مصبات الأنهار أو مناطق ذوبان الجليد.

قد يسأل سائل هل كان التركيب النظائرى الحالى لماء المحيط هو السائد خلال الزمن الجيولوجى من حقبة ما قبل الكامبرى إلى الحديث ؟ تبدو أهمية هذا السؤال فى حقيقة



أن التركيب النظائري لماء المحيط يتحكم فى تركيب باقى أنواع المياه، وكذلك فى ضوء ما هو معروف الآن عن دور هذه المياه فى عمليات التحوال الحرمانى، أو فى ترسيب وتكوين الخامات المعدنية. تظهر الدراسات الجارية فى هذا المجال أن قيمة  $\delta^{18}\text{O}$  لم تتغير كثيراً خلال معظم أزمنة ما قبل الكمبرى والدهر الفانىرى، وأنها كانت حوالى الصفر بالنسبة إلى SMOW.

عندما يتبخر ماء المحيط يحدث إثراء لبخار الماء بالنظير الخفيف للأكسجين، ويترتب على ذلك أن قيمة  $\delta^{18}\text{O}$  لهذا البخار تكون بالسالب. كما يترتب على ذلك زيادة فى تركيز النظير الثقيل فى ماء المحيط. ويلاحظ أن قيمة  $\delta^{18}\text{O}$  للبخار المتكون فى المناطق القطبية وما يجاورها تكون أكبر — بالسالب — من قيمتها للبخار المتكون فى المناطق الاستوائية. عندما تتكاثف السحب لتكون ماء الأمطار يحدث إثراء للنظير  $^{18}\text{O}$  فى قطرات الماء، الذى يقارب تكوين القطرات الأولى منها التكوين النظائري لماء المحيط، وينتج عن استمرار تساقط الأمطار أن يزداد تركيز النظير  $^{16}\text{O}$  فيما يتبقى من السحب، وبالتالى تزداد قيمة دلتا — بالسالب — كلما ازداد تساقط الأمطار أو الثلوج أو البرد. النتيجة النهائية هى أن المياه العذبة تكون بصفة عامة أفقر فى محتواها من الأكسجين الثقيل  $^{18}\text{O}$  أو أغنى بالأكسجين الخفيف  $^{16}\text{O}$  عن ماء المحيط. يلاحظ أنه بعد أن تترك السحب المحيط وتتقدم داخل القارات ومع هطول الأمطار تقل نسبة الأكسجين الثقيل مما يسبب الكثير من الفروق فى النسب النظائرية بين مياه الأمطار باختلاف الموقع الجغرافى أو الطبوغرافى.

هناك نوع آخر هام من المياه هو مياه الينابيع الحارة، والتى كان يعتقد البعض أنها تمثل المياه الجمايية، ولكن ثبت بما لا يدع مجالاً للشك أن معظمها مشتق من المياه السطحية التى تتخلل الأرض إلى أعماق سحيقة، حيث تزداد درجة حرارتها فتعود للصعود إلى السطح بعد أن تتفاعل مع الصخور السليكاتية والكربوناتية التى تتميز بقيم مرتفعة للمعامل  $\delta^{18}\text{O}$ ، فيحدث تبادل نظائري تكون نتيجته ارتفاع قيمة  $\delta^{18}\text{O}$  لهذه المياه إلى قيم أعلى من تلك التى تميز المياه السطحية.

هناك عملية أخرى فى غاية الأهمية تسبب تجزؤاً نظائرياً كبيراً للأكسجين فى الطبيعة، وهى اتجاه النظير الثقيل للأكسجين للتركز نسبياً فى صخور الكربونات التى تترسب

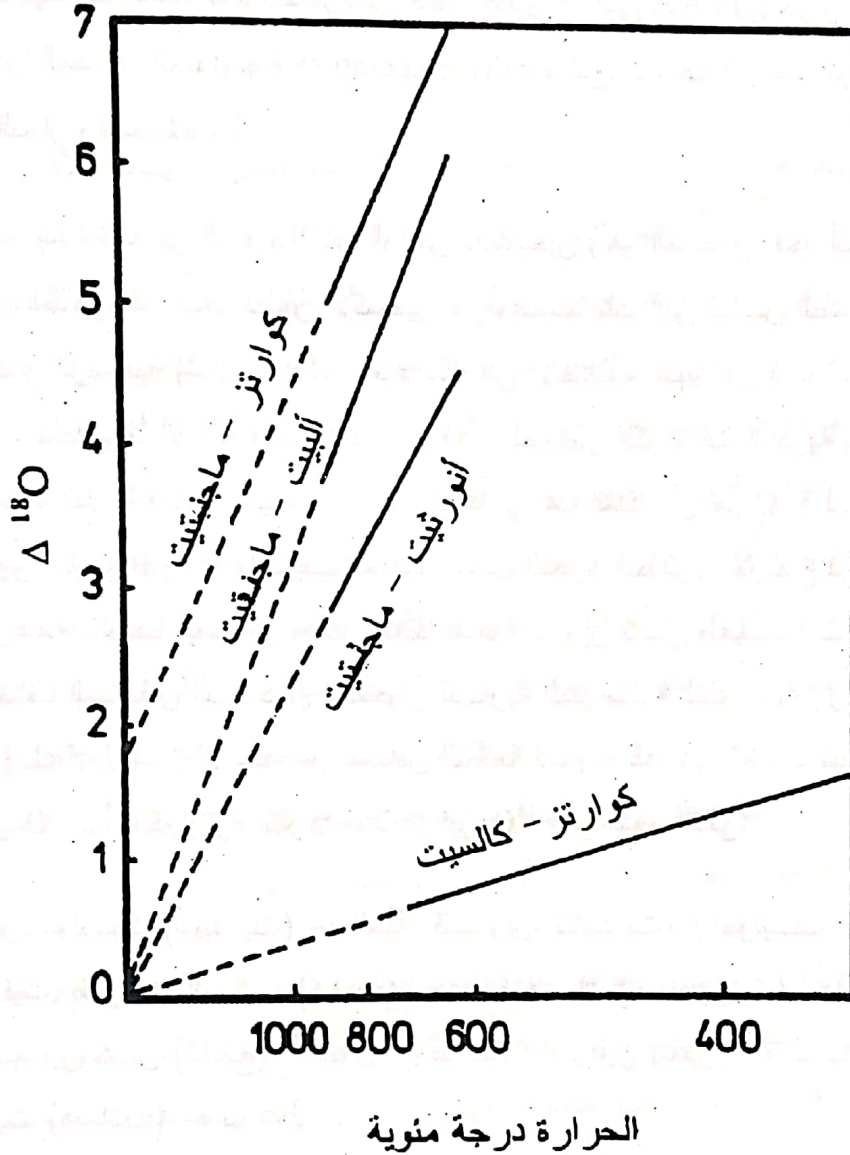
فى قاع المحيط، حتى إن متوسط حيود قيمة  $\delta^{18}\text{O}$  يصل فى هذه الصخور إلى حوالى  $+29$  فى الألف عن ماء المحيط، ونظراً لثبات قيمة النسبة  $^{18}\text{O}/^{16}\text{O}$  فى ماء المحيط فإن التغير فى هذه النسبة فى صخور الكربونات البحرية يرجع عادة إلى التغير فى درجة حرارة ماء المحيط. لهذا استخدمت هذه الظاهرة فى قياس التغيرات التى حدثت فى حرارة ماء المحيط فى بعض العصور الجيولوجية paleotemperature والتى ساهمت إلى حد كبير فى معرفة تاريخ البحار والمحيطات .

إذا انتقلنا إلى الوعاء الآخر الرئيس للأكسجين وهو الصخور، نجد أيضاً بعض الفوارق الظاهرة فى نسب نظائر الأكسجين ، وأوضحها تلك التى بين الصخور النارية والصخور الرسوبية (شكل 8-6). ويعود ذلك إلى الاختلاف الكبير فى درجات حرارة بيئات التكوين. فنجد مثلاً اختلافاً واضحاً بين قيم  $\delta^{18}\text{O}$  لصخور الكربونات البحرية وقيمها لصخور الكربونات النارية (الكربوناتيت). نلاحظ أيضاً فى هذا الشكل أن قيم  $\delta^{18}\text{O}$  لمختلف أنواع الصخور النارية أكثر تقارباً بسبب انخفاض معدل التجزؤ النظائرى لارتفاع درجة الحرارة بصفة عامة . لوحظ أيضاً أن هناك اختلافاً ظاهراً - وإن كان طفيفاً - بين قيم  $\delta^{18}\text{O}$  فى مختلف المعادن التى تكون الصخور النارية المتزامنة التبلور. وقد رتب جارك (Garlick 1969) تنازلياً عدداً من المعادن الشائعة المكونة للصخور حسب ميلها النسبى لتركيز  $^{18}\text{O}$  بدأ بالكوارتز، أكثرها ميلاً لتركيز  $^{18}\text{O}$  على النحو التالى:

كوارتز، دولوميت (أنهيدريت) ← فلبسبار قلوئى، كالسيت، أراجونيت ← لوسيت ← مسكوفيت، نفلين ← أنورثيت (كيانيت) ← جلوكوفان (ستوروليت) ← لاوسونيت ← جارنت، بيروكسين (الشائع)، أمفيبول ← بيوتيت ← أولفين (سفين) ← إلميت (روتيل) ← ماجنتيت (هيماتيت) ← بيروكلور.

ونظراً لأن هذا الاختلاف يزداد أو ينقص مع تغير درجات الحرارة، فقد استحدثت طريقة لتحديد درجات حرارة تكون الصخر geothermometry وذلك بقياس  $\delta^{18}\text{O}$  فى معدنين متزامنين فى التبلور، أى إنهما حصلا على الأكسجين من مصدر واحد فى وقت واحد. يفصل المعدنان من نفس الصخر ثم يحدد الفرق بين القيمتين:  $\delta^{18}\text{O}$  للمعدن الأول

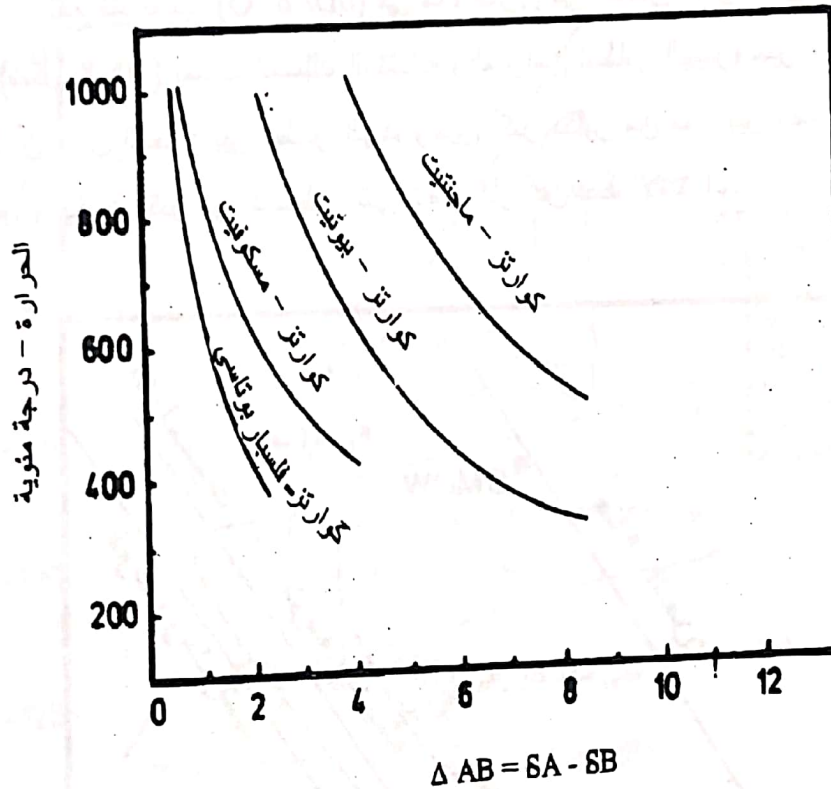
وليكن الماجنتيت مثلاً و  $\delta^{18}\text{O}$  للمعدن الثانى وليكن الكوارتز مثلاً - ويسمى هذا الفرق أيضاً دلتا ولكن يكتب  $\Delta$  وتتناسب قيمته مع درجة حرارة التكون كما فى شكل 8-8.



شكل 8-8 التغير فى  $\delta^{18}\text{O}$  بتغير الحرارة، حيث يمثل  $\Delta^{18}\text{O}$  الفرق بين قيم  $\delta^{18}\text{O}$  فى أزواج من المعادن الموجودة فى نفس الصخر وكان بينها وبين وعاء الأكسجين حالة اتزان نظائرى عند درجات الحرارة المختلفة. عن: كراوسكوف (Krauskopf 1979).



يلاحظ في هذا الشكل أن كل زوج من المعادن له منحنى حرارى خاص به، وأن ميل هذا المنحنى قد حدد بواسطة عدة تجارب معملية، رصدت فيها معاملات تجزؤ نظائر الأكسجين بين كل من هذه المعادن والماء. يمكن أن تطبق نفس هذه الطريقة على معادن الصخور المتحولة تحت شروط معينة تتعلق بحالة الاتزان لمعرفة درجات الحرارة السائدة أثناء عملية التحول الإقليمي (شكل 8-9).

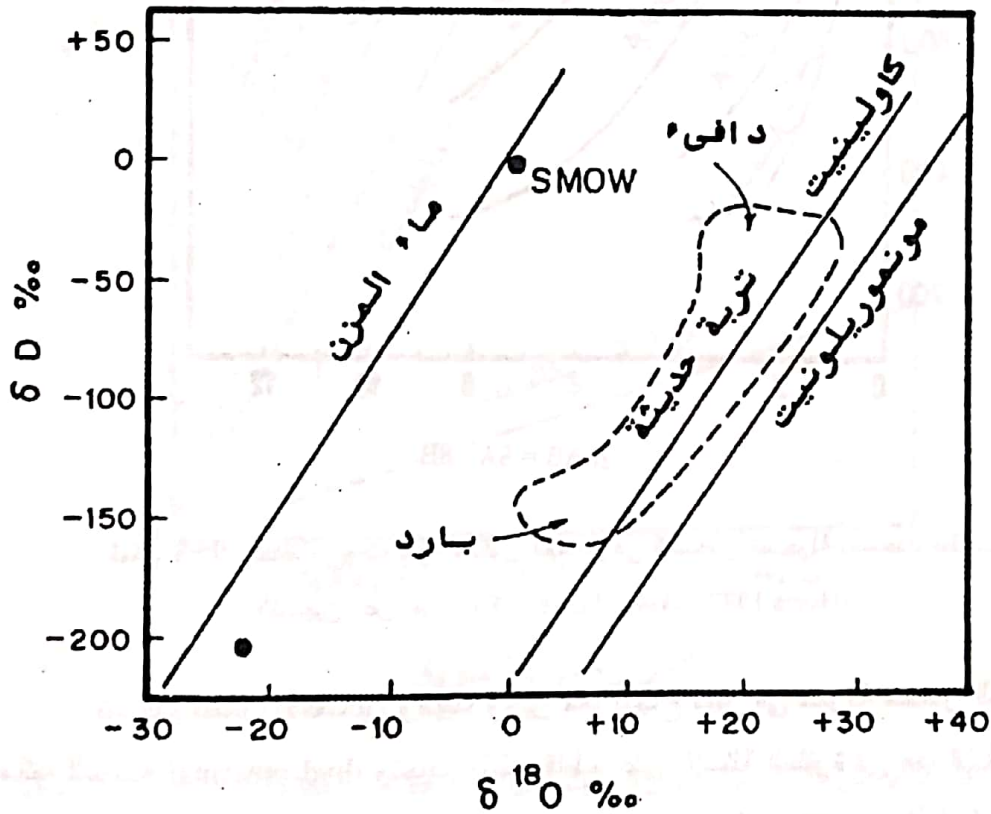


شكل 8-9 تحديد درجات حرارة تكون المعادن في الصخور المتحولة باستخدام نظائر الأكسجين. عن: فور (Faure 1986) وهوف (Hoefs 1987).

تستخدم نظائر الأكسجين والهيدروجين معاً بنجاح كبير في معرفة مصدر السوائل المائية الساخنة hydrothermal، وتجيب بشكل قاطع على الأسئلة المثارة في هذا الشأن والتي تتعلق بمصدر الماء في هذه السوائل، وهل هو من مصدر مجماتي juvenile (أولى) أم هو من ماء المزن meteoric؟ الإجابة، أن كلا النوعين ساهم في إمداد هذه السوائل ولكن أحياناً يطفئ مصدر على الآخر وغالباً ما يكون إسهام ماء المزن هو السائد. الدليل على صحة هذه الإجابة هو ما نلاحظه من فروق واضحة بين النسبة  $(\delta D / \delta^{18}O)$  في الماء الذى

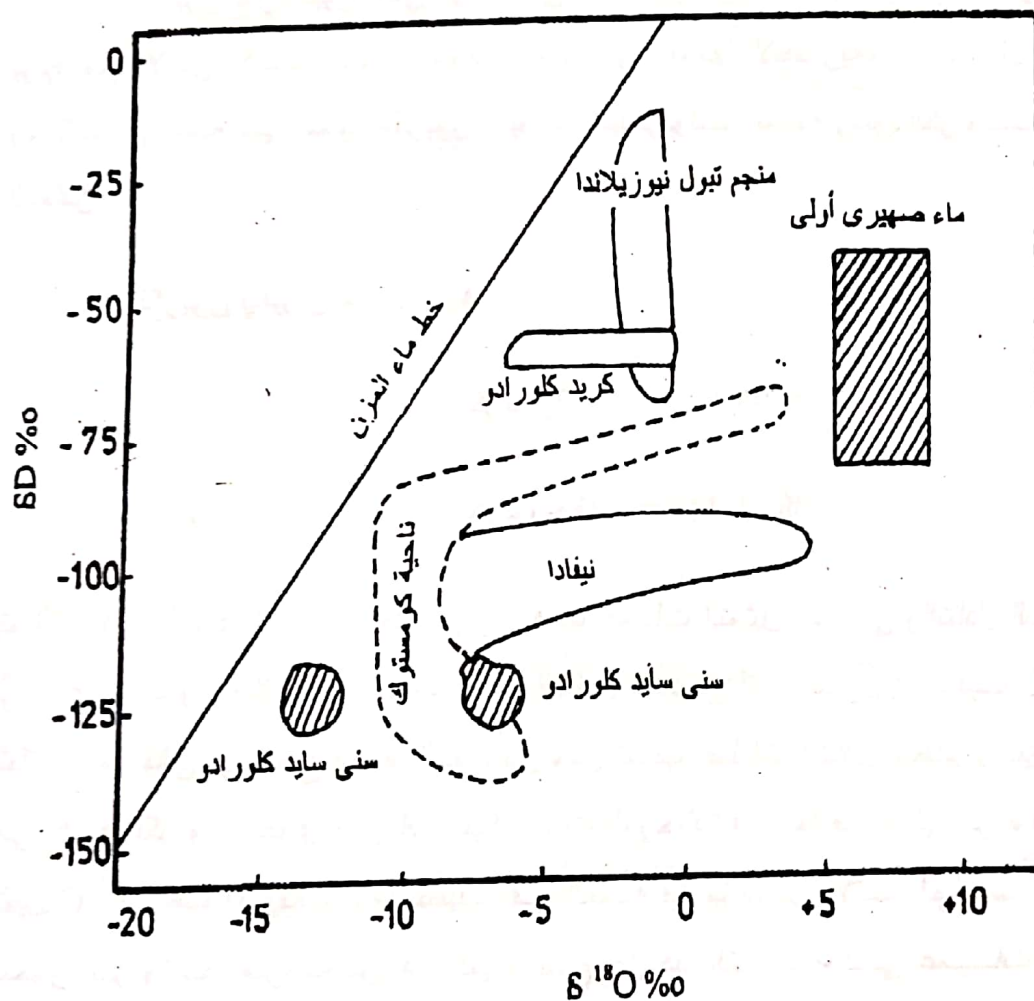
يدخل فى تركيب معادن الصخور النارية ونفس النسبة فى الماء الذى يوجد قرب سطح الأرض. فى المعادن النارية التى لم تتعرض للتحويل مثل البيوتيت والهورنبلند، نجد أن مدى التغير فى النسبة المذكورة محدود جداً، فى حين يكون التغير فى هذه النسبة كبيراً فى المعادن المتحولة بفعل المياه السطحية أو القرب سطحية عاكسا درجات مختلفة من التجزؤ النظائرى بسبب العمليات المتتابعة من البخر والتكثف لمياه أصلها من مياه المحيطات.

تقع قيم نسب ( $\delta D / \delta^{18}O$ ) فى ماء المزن فى مناطق متفرقة من العالم على خط واحد (شكل 8-10) بسبب المسلك المتشابه والمتزامن لنظائر الهيدروجين والأكسجين، ولكن يلاحظ أن مدى التجزؤ بين نظائر الهيدروجين أكبر بكثير من مداه بين نظائر الأكسجين. كما أن التجزؤ يكون أكبر فى المناطق التى تبعد أكثر عن خط الاستواء.



شكل 8-10 العلاقة بين  $\delta D$  و  $\delta^{18}O$  فى المعادن الطينية المتكونة قرب حرارة سطح الأرض. مبسط عن: أهوموتو (Ohomoto 1986).

يلاحظ أيضا في شكل 8-11 أن نسب ( $\delta D / \delta^{18}O$ ) في الماء الموجود في معادن التحوال خاصة في النطاقات المصاحبة لأكثر الخامات المعدنية يقع بين خط نسب مياه المزن والمنطقة المحدودة للماء المجماتى، مما يعد دليلا على حدوث تبادل نظائرى بدرجات متفاوتة بين الماء الأولى المحبوس في داخل المعادن المكونة للصخر وماء المزن السائد في المحاليل الحاملة للخامات.



شكل 8-11 العلاقة بين  $\delta D$  و  $\delta^{18}O$  في بعض مناجم الذهب والفضة كما حددت في مكتنفات الموانع. مبسط عن كريس وتيلور (Criss & Taylor 1986) و رولنسون (Rollinson 1993)



## نظائر الكربون

الكربون هو أحد العناصر الرئيسة في الكون، ومصدر أساسي لاستمرار الحياة على الأرض، وبالتالي فهو أهم عناصر الغلاف الحيوى biosphere، وإن كان يوجد أيضا في قشرة ووشاح الأرض، وكذلك في الغلافين المائى والهوائى.

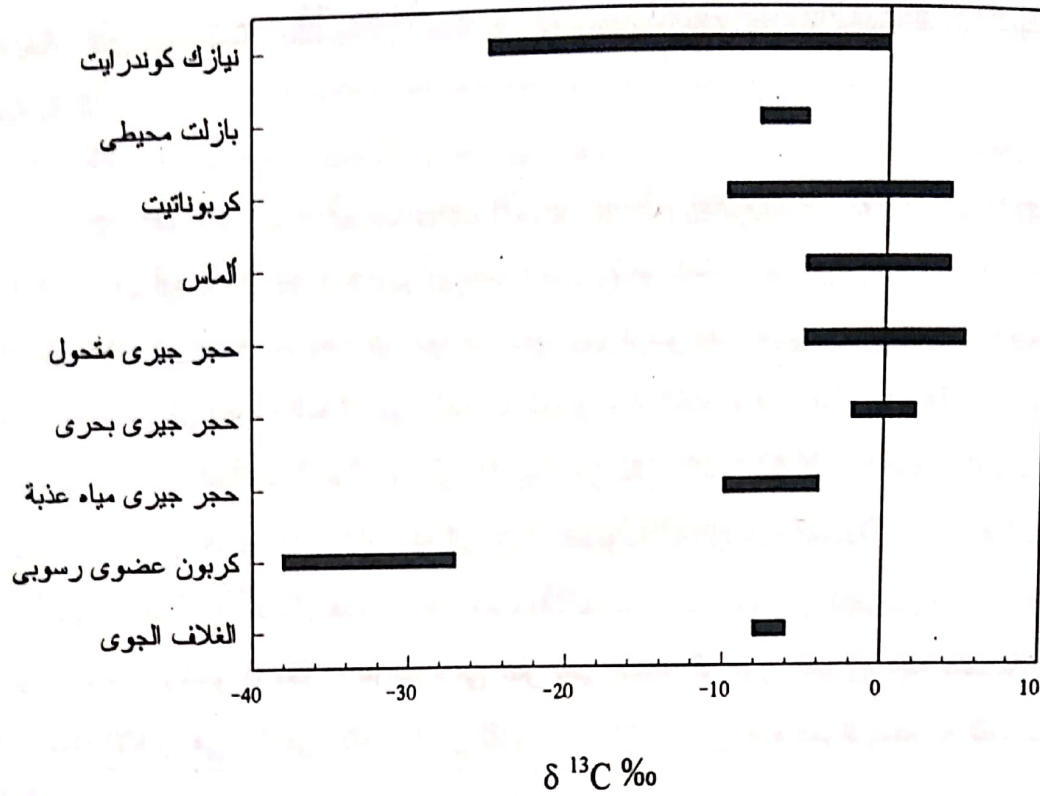
للكربون قدرة كبيرة على الوجود في عدد كبير من المواد والمركبات الطبيعية، فهو يوجد مختزلا في الكائنات الحية والمواد العضوية ومشتقاتها الأحفورية، كالبتترول والفحم، وموكسدا في هيئة ثانى أكسيد الكربون وأيونات البيكربونات المائية وشق الكربونات في المعادن.

للكربون نظيران مستقران هما:

$$\text{كربون}^{12} = 98.89\%$$

$$\text{كربون}^{13} = 1.11\%$$

يتم التجزؤ النظائرى للكربون بعدة طرق، أهمها عمليات التمثيل الضوئى والتبادل النظائرى في تفاعلات المواد الكربونية. تسبب عملية التمثيل الضوئى إثراء للكربون الخفيف  $^{12}\text{C}$  فى النباتات، وبالتالي في جميع المواد الحية، في حين تسبب عمليات التبادل النظائرى بين غاز ثانى أكسيد الكربون الجوى وأيونات البيكربونات الموجودة في الغلاف المائى إثراء للكربون الثقيل  $^{13}\text{C}$  فى هذه الأيونات. كما تتسبب نفس العملية في مزيد من الإثراء لـ  $^{13}\text{C}$  فى صخور الكربونات المترسبة من هذه المياه. ينتج عن هذا التنوع فى عمليات الإثراء والاستنفاد فروقا واضحة فى نسب نظائر الكربون بين مختلف مواد الأرض يصل مداه إلى حوالى 5% ويحد طرفيه الغازات العضوية الخفيفة، كالميثان من ناحية (أقصى إثراء لـ  $^{12}\text{C}$ ) وصخور الكربونات من ناحية أخرى (أقصى إثراء لـ  $^{13}\text{C}$ )، ويظهر ذلك من مقارنة فرق  $^{13}\text{C}$  للمواد المختلفة فى الأرض (شكل 8-12).



شكل 8-12 التغير فى قيم  $\delta^{13}C$  فى بعض الأوعية الجيولوجية للكربون منسوباً إلى PDB. عن بيانات من: فور (Fäure 1986) وهوف (Hoefs 1987) ورولتسون (Rollinson 1993).

يقدر التجزؤ بين نظائر الكربون فى هذه المواد بالمعامل  $\delta^{13}C$  ويحسب نسبة إلى العينة العيارية PDB كالتالى:

$$\delta^{13}C_{\text{‰}} = \frac{\left( \frac{^{13}C}{^{12}C} \right)_{\text{sp}} - \left( \frac{^{13}C}{^{12}C} \right)_{\text{st}}}{\left( \frac{^{13}C}{^{12}C} \right)_{\text{st}}} \times 10^3$$

ونظراً لقرب نضوب هذه العينة العيارية، فقد استحدثت مجموعة من العينات الأخرى أكثرها استخداماً هي عينة من الحجر الجبرى من منطقة سولنهوفن Solenhofen بالسويد وتحمل الرقم والرمز NBS-20 الصادر من المكتب القومى للمعايرة بالولايات المتحدة الأمريكية. والى تحدد قيمة  $\delta^{13}C$  لها بحوالى 1- فى الألف نسبة إلى PDB. وبديهي

أنه يمكن لأى عينة قيست بالنسبة إلى عينة عيارية معينة أن يعاد حسابها بحيث تنسب للعينة العيارية الرئيسة PDB.

لعله من المفيد أن نتنقل بين بعض الأوعية المختلفة للكربون فى البيئات التى تحيط بنا ونقارن بين قيم  $\delta^{13}\text{C}$  فيها ونحاول أن نجد تفسيراً للاختلافات بينها. أول هذه الأوعية وأكثرها أهمية فى البيئة المحيطة هو الغلاف الحيوى والرسوبيات الحديثة. تتحكم عملية التمثيل الضوئى فى تجزئة النظائر بين الغلاف الجوى والنباتات، وهى عملية معقدة يتم بواسطتها استحواد النباتات الخضراء على الكربون من ثانى أكسيد الكربون الجوى وتثبيته داخل أنسجتها مع تحويل جزء كبير منه إلى مواد عضوية. خلال هذه العملية، تتم عملية إثراء كبيرة للنظير  $^{12}\text{C}$  داخل هذه المواد العضوية، خاصة السليلوز واللجنين والليبيدات (زيوت ودهون وشموع) مقارنة بتركيزه فى غاز ثانى أكسيد الكربون الجوى. فإذا علمنا أن  $\delta^{13}\text{C}$  لهذا الأخير هى -7 فى الألف، أمكن تقدير مدى التجزؤ فى هذه المواد بمقارنة القيم الآتية:

| المواد                                    | مدى التغير فى قيم $\delta^{13}\text{C}$ |
|---|---|
| النباتات البرية                           | -24 حتى -34 فى الألف                    |
| النباتات البحرية وأعشاب الملاحات والصحراء | -6 حتى -19 فى الألف                     |
| الطحالب والفطريات                         | -12 حتى -23 فى الألف                    |
| المواد العضوية فى الرواسب الحديثة         | -10 حتى -30 فى الألف                    |

تتعرض كل هذه القيم على التركيب النظائرى لمصادر الطاقة الأحفورية من فحم وبترول وغازات طبيعية حيث تقل نسب الكربون الثقيل وتزداد قيم حيود  $\delta^{13}\text{C}$  (بالسالب)، وهو ما يتفق مع كون هذه المواد مشتقة من أصل نباتى أو حيوانى. تتغير قيم  $\delta^{13}\text{C}$  فى حدود ضيقة حول متوسط -25 فى الألف فى الفحم، مما يدل على عدم حدوث تجزؤ كبير للنظائر فى النباتات أثناء عملية التفحم. على جانب آخر نرى أن قيم  $\delta^{13}\text{C}$  فى البترول الخام



تتغير في مدى أكثر اتساعا حيث تتراوح بين -18 وحتى -34 في الألف (بمتوسط حول -28 في الألف)، وذلك بسبب تعدد نوعية النباتات والحيوانات التي تشكل مصادر البترول الخام، وكذلك تعقد عملية تحويل هذه المواد إلى بترول في أعماق الأرض، واشتمالها على الكثير من التفاعلات التي تفضل بعض مكونات النباتات مثل اللبيدات على مكونات أخرى مثل السليلوز، كما يلعب التكسير الحراري thermal cracking لمكونات البترول دورا في تهريب أو إعادة توزيع المكونات الغازية الخفيفة والتي يزداد تركيز نظير الكربون الخفيف  $^{12}\text{C}$  فيها.

جدير بالذكر، أنه قد ترتب على التوسع في حرق مختلف أنواع الوقود الأحفوري fossil fuel خلال القرن الماضي زيادة في نسبة غاز ثاني أكسيد الكربون في الجو تصل إلى حوالي 10%، وصاحب ذلك تغير في نسب نظائر الكربون نحو زيادة تركيز النظير الخفيف للكربون.

الوعاء الآخر الهام للكربون هو صخور الكربونات ويتركز فيها نظير الكربون الثقيل  $^{13}\text{C}$  نتيجة التجزؤ الذي يتم على مرحلتين؛ الأولى بين غاز ثاني أكسيد الكربون الجوي وأيونات البيكربونات في ماء المحيط والثانية بين هذه الأيونات وشق الكربونات في معدن الكالسيت وينتج عن ذلك زيادة نسبة  $^{13}\text{C}/^{12}\text{C}$  واقترب قيمة  $\delta^{13}\text{C}$  في صخور الكربونات البحرية من الصفر نسبة إلى PDB. وقد لوحظ عدم تغير هذه القيمة بدرجة ذات دلالة مع تغير عمر الصخر، إذ لا يزيد الفرق بين  $\delta^{13}\text{C}$  في صخور الكربونات من زمن ما قبل الكمبري وقيمتها في صخور الكربونات من الدهر الفانييري عن 4 في الألف. من ناحية أخرى، لوحظت فروق ذات دلالة بين قيم  $\delta^{13}\text{C}$  في الكربونات المترسبة في المياه العذبة وقيمها في الكربونات البحرية، حيث يزداد النظير  $^{12}\text{C}$  نسبيا في الأولى بسبب احتوائها على ثاني أكسيد الكربون المتكون نتيجة تحلل بعض بقايا النباتات في التربة.

في بيئات الصخور النارية يوجد الكربون على عدة صور، وتعطى ظاهرة التجزؤ النظائري فروقا ذات دلالات هامة، وأهم صور وجوده هي:

- (1) معادن صخر الكربوناتيت.
- (2) غاز ثاني أكسيد الكربون الحبيس في مكتنفات الموائع داخل المعادن.
- (3) في شكل كربون منفرد على شكل جرافيت أو ماس.

تتراوح قيم  $\delta^{13}\text{C}$  في صخور الكربوناتيت، التي توجد عادة مصاحبة للصخور النارية القلوية، بين -2 وحتى -8 في الألف بمتوسط حوالى -5 في الألف. تعزى الفروق بين هذه القيم لأحد أمرين: إما عدم تجانس نسب نظائر الكربون في مصدر هذه الصخور تحت القشرة أو إلى حدوث تجزؤ أثناء عملية تكون الصهير الكربوناتي مع احتمال تداخل السببين. من ناحية أخرى، تظهر نتائج التحاليل التي أجريت على غاز ثنائي أكسيد الكربون الحبيس في المكتنفات أن قيم  $\delta^{13}\text{C}$  تغطي مدى أوسع يتراوح بين +3 و -18 في الألف مما يشير إلى احتمالية اختلاط كربون مجماتى وكربون جوى ذائب في المحاليل السطحية التي تتخلل القشرة الأرضية. أما الكربون الحر في الماس فتغطي  $\delta^{13}\text{C}$  له المدى -2 إلى -10 في الألف، وهو مدى يتداخل مع مدى معادن الكربوناتيت، مما يرجح وحدة المصدر.

بقيت بيئة الصخور المتحولة، وفيها لوحظ تناقص قيم  $\delta^{13}\text{C}$  في صخور الكربونات البحرية التي تعرضت لتحول بالتماس، مما يوحي بأن نسبة  $^{13}\text{C}$  في غاز  $\text{CO}_2$  الذي تفلت من الصخر نتيجة التفاعلات المصاحبة لعملية التحول، كانت أكبر منها في الصخر الأصلي. ومع ذلك، فقد لوحظ أيضا عدم وجود علاقة منتظمة بين قيم  $\delta^{13}\text{C}$  وارتفاع رتبة التحول الإقليمي لصخور الكربونات. أما الجرافيت فيظهر إثراء متفاوتا في النظير  $^{13}\text{C}$  مما يتفق مع كونه مشتقا من مصدر حيوى.

### نظائر الكبريت

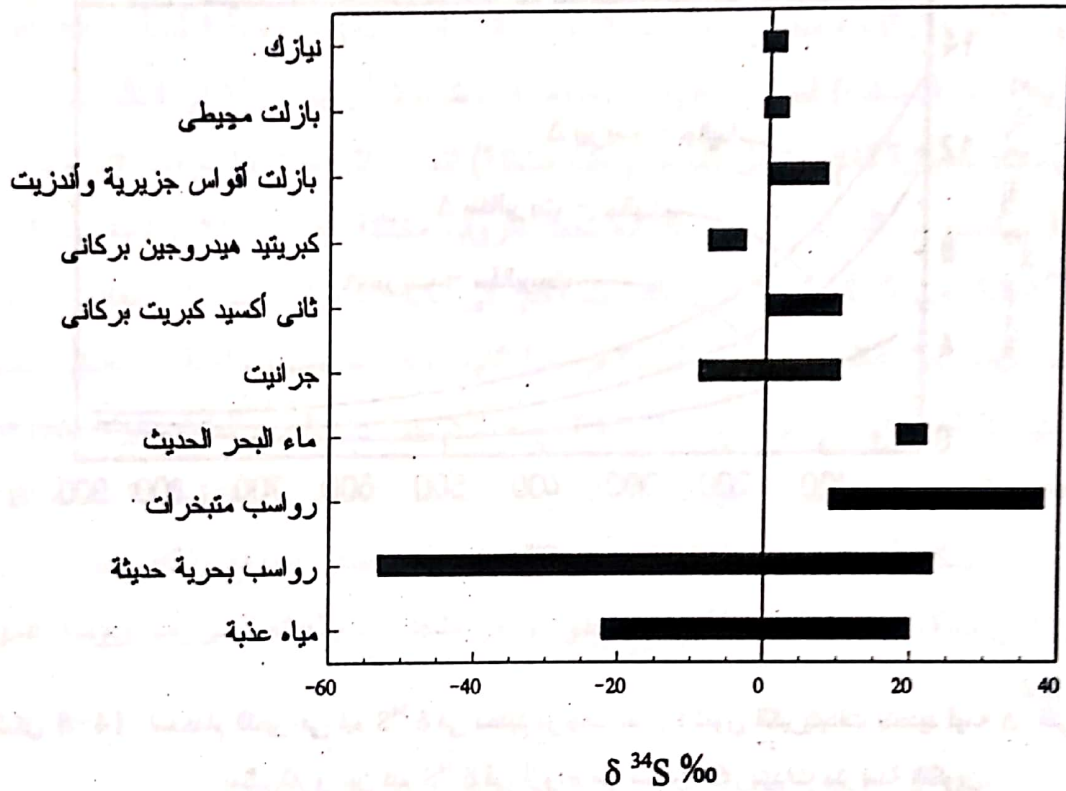
الكبريت هو أحد العناصر واسعة الانتشار في البيئات الجيولوجية. ويوجد مؤكسدا ككبريتات في المحيطات وفي معادن صخور المتبخرات، ومختزلا في معادن الكبريتيدات التي تشكل خامات معظم العناصر الفلزية. كما يوجد كعنصر حر في صخور الغطاء لكثير من قباب الملح، وفي بعض مناطق الأنشطة البركانية. للكبريت أربعة نظائر مستقرة هي:

|          |          |
|----------|----------|
| كبريت 32 | = 95.02% |
| كبريت 33 | = 0.75%  |
| كبريت 34 | = 4.21%  |
| كبريت 36 | = 0.02%  |

يعبر عن التركيب النظائري للكبريت بالرمز  $\delta^{34}\text{S} \text{ ‰}$  وينسب إلى كبريت معدن الترويليت المفصول من النيزك الحديدي Canyon Diablo وذلك على النحو التالي:

$$\delta^{34}\text{S} \text{ ‰} = \frac{\left( \frac{^{34}\text{S}}{^{32}\text{S}} \right)_{\text{sp}} - \left( \frac{^{34}\text{S}}{^{32}\text{S}} \right)_{\text{st}}}{\left( \frac{^{34}\text{S}}{^{32}\text{S}} \right)_{\text{st}}} \times 10^3$$

يتراوح التغير في قيم  $\delta^{34}\text{S}$  بين 50- في الألف و 60+ في الألف كما يظهر في شكل 8-13. يعزى هذا التغير الواسع المدى إلى عمليتين رئيسيتين هما:



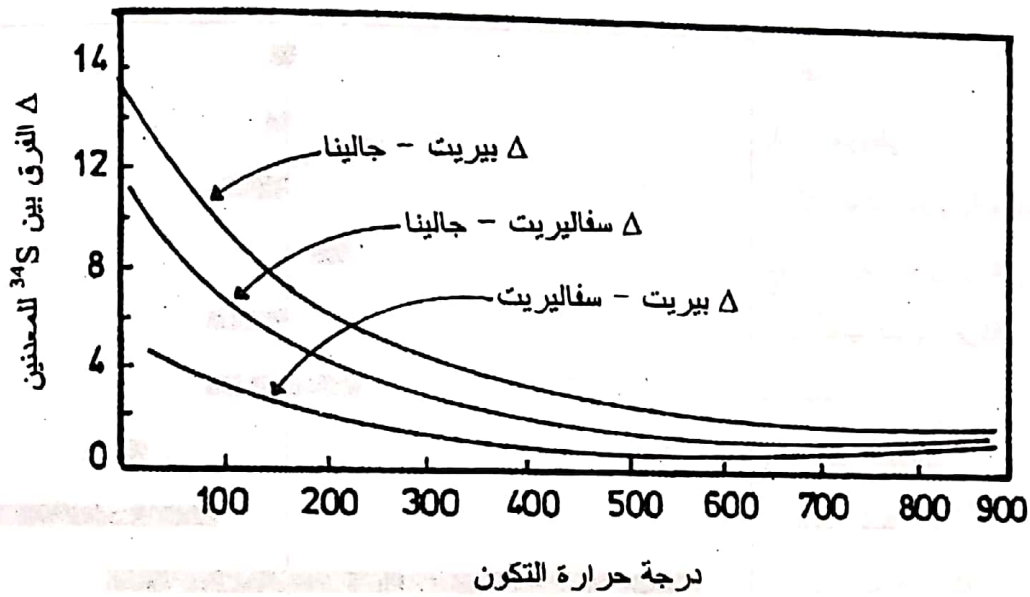
شكل 8-13 التغير في قيم  $\delta^{34}\text{S}$  في بعض الأوعية الجيولوجية للكبريت منسوبا إلى ترويليت CD. عن بيانات من: أهوموتو (Ohmoto 1986) و هوف (Hoefs 1987) و رولنسون (Rollinson 1993).

1- اختزال أيونات الكبريتات إلى كبريتيد الهيدروجين بأنواع خاصة من البكتيريا اللاهوائية anaerobic bacteria مما ينتج عنه إثراء كبريتيد الهيدروجين بالنظير  $^{32}\text{S}$ .



2- مجموعة من تفاعلات التبادل النظائري بين الكبريتات والكبريتيدات ينتج عنها تركيز  $^{34}\text{S}$  في الكبريتات، أو بين أنواع مختلفة من الكبريتيدات، ينتج عنها إثراء الكبريتيد صاحب أقوى قوة ترابط (فلز - كبريت) بالنظير  $^{34}\text{S}$ .

لهذا السبب استخدم التركيب النظائري للكبريت في معادن الكبريتيد المتكونة سوياً - مكاناً وزماناً - كوسيلة لتحديد درجة حرارة تكونها (شكل 8-14)، تماماً كما استخدمت نظائر الأكسجين في تحديد درجة حرارة المعادن الحاوية للأكسجين.



شكل 8-14 استخدام التغير في قيم  $\delta^{34}\text{S}$  في تحديد درجات حرارة تكون الكبريتيدات بتحديد قيمة  $\Delta$  التي تمثل الفرق بين قيم  $\delta^{34}\text{S}$  في أزواج من معادن الكبريتيدات متزامنة التكوين.  
عن: هوف (Hoefs 1987).

جرت محاولات عديدة لتمييز خامات الكبريتيدات ذات الأصل الناري أو الحرماي من تلك ذات الأصل الرسوبي ذات النشأة المتزامنة syngenetic، ولكنها فشلت بسبب التداخل الكبير بين قيم  $\delta^{34}\text{S}$  في النوعين. كان الأساس النظري لهذه المحاولات هو أن البكتيريا التي تعيش في الرسوبيات حديثة الترسيب تختزل الكبريتات وتثري كبريتيد الهيدروجين الناتج في النظير الخفيف  $^{32}\text{S}$ ، الأمر الذي يترتب عليه زيادة تركيز الكبريت  $^{32}\text{S}$  في النوع الذي تعرض

لاختزال بكتيرى مقارنة بالكبريتات البحرية. من جانب آخر، يتميز الكبريت المرتبط بالصخور النارية المشتقة من الوشاح العلوى بتشابه مع كبريت النيازك، وبالتالي فإن قيم  $\delta^{34}\text{S}$  تكون قريبة من الصفر. على هذا الأساس كان يتوقع أن يعطى الكبريت ذو الأصل النارى مدى ضيقاً من التغير فى  $\delta^{34}\text{S}$  يتمركز حول الصفر، فى حين يعطى الكبريت ذو الأصل الحيوى (بكتيرى) قيماً لـ  $\delta^{34}\text{S}$  أكثر تفرقا وسالبة فى مجملها.

يعزى عدم نجاح المحاولات المذكورة، وعدم اتفاقها مع الأساس النظرى، إلى تعقد عملية تكون الخامات، وتعرضها للكثير من الأحداث فى أزمان متتابعة، مما يجعل من عملية تمييز الكثير من الرواسب إلى رواسب متزامنة النشأة (رسوبية) أو لاحقة النشأة epigenetic (نارية - مائية ساخنة) أمراً فى غاية الصعوبة. فلو حظ مثلاً أن قيم  $\delta^{34}\text{S}$  فى الكثير من الرواسب المعدنية ذات الأصل النارى (مائية ساخنة) تتباين على مدى واسع بسبب وجود أجيال متعددة من المعادن ترسبت بالتتابع تحت ظروف مختلفة. إضافة لذلك لا تعتمد قيم  $\delta^{34}\text{S}$  فقط على التركيب النظائرى للكبريت الكلى فى الكيان الذى تترسب منه المعادن، بل تعتمد أيضاً على الظروف البيئية السائدة فى هذا الكيان وقت الترسيب، خاصة ما يتعلق منها بتركيزات أيون الهيدروجين pH، والوفرة النسبية للأكسجين بين المواد المتطايرة oxygen fugacity. من ناحية أخرى، فإن قيم  $\delta^{34}\text{S}$  فى الرواسب المعدنية المرتبطة بالصخور الرسوبية يمكن أن يتمركز حول قيمة محدودة ولا تظهر الانتشار المتوقع وذلك بسبب كونها فى كيان مطلق - محتواه من الكبريت محدود وغير متجدد - وتحت ظروف بيئية غير متقلبة.

من المحاولات التى تمت أيضاً لاستخدام التغير فى نسب نظائر الكبريت فى دراسة الرواسب الكبريتيدية تلك التى شملت الرواسب الطباقية الارتباط stratabound deposits بنوعها الرسوبى والبركانى. فمثلاً، وجد أن رواسب الكبريتيد المرتبطة بصخور رسوبية تكون أكثر إثراء بالنظير  $^{32}\text{S}$  عن الكبريتات فى الصخور المصاحبة حيث يصل الفرق إلى حوالى 12 فى الألف، فى حين يصل نفس الفرق فى الرسوب المرتبطة بالصخور البركانية إلى حوالى 17 فى الألف. استنتج من ذلك أن الكبريت فى هذه الرواسب الكبريتيدية مشتق من الكبريتات البحرية بالاختزال البكتيرى.

تختلف قيم  $\delta^{34}\text{S}$  بشكل عام في الكبريتيدات المصاحبة للصخور النارية المشتقة من الوشاح عن تلك المشتقة من القشرة الأرضية، ففي الأولى ما تكون نسبة  $^{34}\text{S}/^{32}\text{S}$  قريبة من النسب السائدة في النيازك الحديدية، وبالتالي تكون قيم  $\delta^{34}\text{S}$  حول الصفر، أما في الثانية والتي تصاحب عادة الصخور الجرانيتية والمتوسطة، فإن نسب نظائر الكبريت تتباين تبائناً واسعاً، ذلك أن الكبريتيدات في هذه الحالة انفصلت من صهير تكون بانصهار جزئي لصخور رسوبية أو تلوث بكبريت من أصل حيوي كان موجوداً بالقشرة.

هناك استخدامات، وتطبيقات أخرى كثيرة، للاختلاف في نسب نظائر الكبريت في أوعيته المتعددة مثل الفروق بين أنواع البترول الخام والفحم والتغير في التركيب النظائري للكبريت البحري خلال الزمن الجيولوجي. وعموماً، فإن كثيراً من الدراسات تتضمن الآن استخدام نظائر أكثر من عنصر لمعرفة الكثير من أسرار الأرض التي لم تبح بها حتى الآن (وما أوتيت من العلم إلا قليلاً) (الاسراء : 85).

لا تنسى الدعاء والصلاه ع النبي



## مراجع الباب الثامن

- Criss, R. E. and Taylor, H. P. Jr. (1986) Meteoric - Hydrothermal Systems. In: Valley, J. W., Taylor, H. P., & O'Niel, J. R. (eds.). Stable isotopes in high temperature geologic processes, *Reviews in mineralogy*, vol. 16: 373 - 424.
- Dalrymple, G. B. and Lanphere, M. A. (1969) *Potassium-Argon Dating*, San Francisco: W. H. Freeman, 258 p.
- Doe, B. R. (1970) *Lead Isotopes*. Berlin: Springer-Verlag, 137 p.
- Doe, B. R. and Zartman, R. E. (1979) Plumbotectonics 1, The Phanerozoic. In: Barnes, H. L. (ed.). *Geochemistry of Hydrothermal Ore Deposits*, 2nd ed., New York: Holt, Reinhart and Winstone.
- Faure, G. (1986) *Principles of Isotope Geology*, 2nd ed., New York: John Wiley & Sons, 589 p.
- Garlick G. D. (1969) The stable isotopes of oxygen. In Wedepohl K. H. (ed.), *Handbook of Geochemistry*, vol. II-I. Heidelberg: Springer-Verlag.
- Harper, C. T. (ed.) (1973) *Geochronology - Radiometric Dating of Rocks and Minerals*. Stroudsburg, Pa.: Dowden Hutchinson & Ross, 469 p.
- Hashad, A. H., Sayyah, T. A., El Kholy, S. B. and Yousef, A. (1972) Rb-Sr isotopic age determination of some basement Egyptian granites, *Egypt. J. Geol.* 16: 169-181.
- Hoefs, J. (1987) *Stable Isotope Geochemistry* (3rd. ed.) Berlin: Springer-Verlag.
- Krogh, T. E. (1982) Improved accuracy of U-Pb zircon ages by the creation of more concordant systems using an air abrasion technique, *Geochim. Cosmochim. Acta*, 46: 631 - 635.
- Ohomoto, H. (1986) Stable isotope geochemistry of ore deposits. In: Valley, J. W., Taylor, H. P., & O'Niel, J. R. (eds.). Stable isotopes in high temperature geologic processes, *Reviews in mineralogy*, vol. 16: 491 - 559.

- Rankama, K.** (1963) *Progress in Isotope Geology*, New York: John Wiley, 705 p.
- Rollinson, H.** (1993) *Using Geochemical Data: Evaluation, Presentation, Interpretation*, Essex, England: Longman Scientific & Technical, 352 p.
- Sheppard, S. M. F.** (1986) Characterization and isotopic variations in natural waters. In: **Valley, J. W., Taylor, H. P., & O'Niel, J. R. (eds.)**. Stable isotopes in high temperature geologic processes, *Reviews in mineralogy*, vol. 16: 165 - 184.
- Suess, H. E.** (1956) Secular variations of the cosmic-ray produced carbon-14 in the atmosphere and their interpretation. *J. Geophys. Res.* 70: 5937 - 5952.
- Taylor, H. P.** (1974) The application of oxygen and hydrogen isotope studies to problems of hydrothermal alterations and ore deposition. *Econ. Geol.* 69: 843-883.
- Wetherill, G. W.** (1956) Discordant uranium - lead ages, *Trans Amer. Geophys. Union* 37: 320 - 326.
- Valley, J. W., Taylor, H. P. and O'Niel, J. R. (eds)** (1986) Stable isotopes in high temperature geologic processes, *Reviews in mineralogy* 16: 570 p.

# ♥ لاتنسي الدعاء والصلاه ع النبي

## الباب التاسع

### جيوكيمياء الماء

- ♦ صفات الماء الخاصة
- ♦ تركيب مياه البحار والقارات
- ♦ مكونات ماء الشرب وخصائصه
- ♦ تقويم التحاليل الكيميائية للماء
- ♦ الماء والبيئة.



الماء هو أكثر مكونات الأرض تميزاً، فقد كان مسرحاً لتطور الحياة (وجعلنا من الماء كل شئ حي) (الأنبياء 30). كما أنه ينفرد ببعض الخواص الجيوكيميائية التي جعلت له أهمية عظيمة في العمليات الجيولوجية أو الجيوكيميائية التي تحدث على سطح الأرض. ويعد الماء العامل الرئيس في عمليات التعرية، وفي نقل نواتجها، سواء كيميائياً أو ميكانيكياً، وذلك من خلال انسياب المياه العذبة عبر اليابسة نحو المحيطات، حاملة كميات هائلة من مواد دقيقة وذائبة، وتشتمل على عناصر ذائبة، وفتات صخرى طبيعي، ومخلفات ناشئة عن المجتمعات البشرية. وتعد المحيطات المكان الرئيس لعمليات الترسيب والمستودع الأكبر لكثير من المواد ذات الأهمية الجيوكيميائية، كما أنها تلعب دوراً أساسياً في تلطيف مناخ الكرة الأرضية.

و لتهيئة الحياة على سطح الأرض، يتبخر الماء من المحيطات ويصعد إلى الغلاف الجوى على شكل بخار ماء نقي، ثم يعود فيتساقط الجزء الأعظم منه على المحيطات، قى حين يتساقط الجزء الباقي على اليابسة ليكون أثمن الموارد التي أنعم الله بها على البشرية جمعاء. تقدر كمية الماء العذب الذي يسقط على اليابسة بحوالى 41000 كم<sup>3</sup> سنوياً، ينتفع بحوالى 9000 كم<sup>3</sup> للاستخدام البشرى، فى حين يعود إلى المحيط حوالى 32000 كم<sup>3</sup> على شكل أمطار تسبب فيضانات يتعذر السيطرة عليها أو الاستفادة منها، خاصة فى المناطق غير المأهولة، وتنتهى بالتالى إلى المحيط حيث تسهم فى موازنة كمية بخار الماء التى تنتقل سنوياً من البحار إلى اليابسة (شميدت Schmidt 1986).

ويوجد الماء فى عدة مستودعات غير متصلة تغطى أجزاء رئيسة من الكرة الأرضية، يطلق عليها الغلاف المائى hydrosphere، وتشمل المحيطات وما يتصل بها من بحار وخلجان والبحيرات والأنهار وروافدها والمياه الجوفية والثلوج والجليد. وتعد المحيطات المستودع الرئيس للماء على سطح الأرض، فهى تغطى أكثر من 70% من سطحها؛ ولهذا يطلق على الأرض الكوكب الأزرق. وتحتوى المحيطات حوالى 1370 مليون كم<sup>3</sup> من الماء الملح، وهو ما يشكل حوالى 97% من جملة وزن الغلاف المائى. يعطى الجدول رقم 9-1

مقارنة بين هذه الكمية والكميات الموجودة فى المستودعات الأخرى للمياه على سطح الأرض. وهى تقديرات تقريبية نظراً لما يطرأ عليها من تغيرات بيئية وحولية وموسمية.

جدول 9=1 تقديرات كميات الماء الموجودة فى المستودعات المختلفة للغلاف المائى

| النوع                             | الحجم كم <sup>3</sup> |
|-----------------------------------|-----------------------|
| البحار والمحيطات                  | $10^9 \times 1.37$    |
| البحيرات المالحة والبحار الداخلية | $10^5 \times 1.0$     |
| البحيرات العذبة                   | $10^5 \times 1.3$     |
| المياه الجارية (الأنهار)          | $10^3 \times 1.3$     |
| رطوبة التربة                      | $10^4 \times 6.7$     |
| المياه الجوفية حتى عمق 850م       | $10^6 \times 4.2$     |
| المياه الجوفية العميقة            | $10^6 \times 4.2$     |
| الثلوج والجبال الجليدية           | $10^7 \times 2.9$     |
| رطوبة الجو                        | $10^4 \times 1.3$     |

عن: ماسون ومور (Mason & Moore 1982).

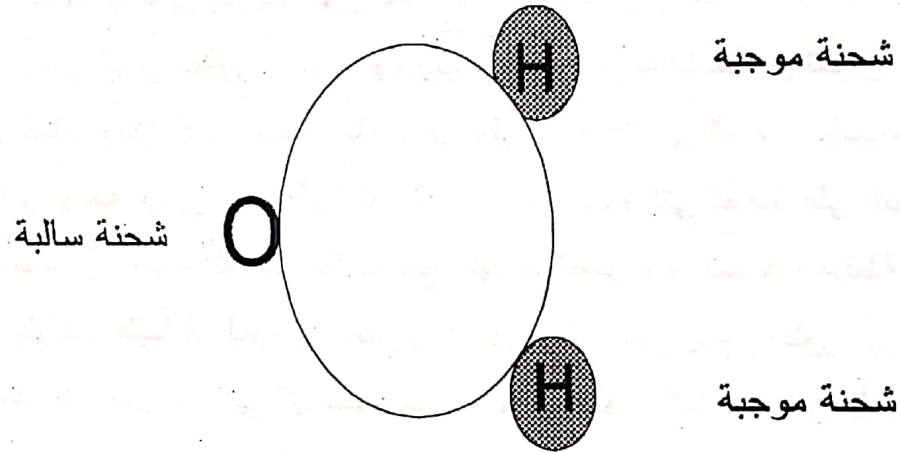
وتختلف كثافة المياه من وعاء إلى آخر باختلاف كمية ونوعية المواد الذائبة فيها أو العالقة بها. فبينما تساوى كثافة الماء العذب النقى 1 جم/سم<sup>3</sup> وتعد أساساً لمقياس كثافة المواد الأخرى، نجد أن كثافة ماء المحيط ذى الملوحة العادية تصل إلى 1,028 جم/سم<sup>3</sup>، وقد تزيد هذه القيمة قليلاً مع العمق نظراً لما تتعرض له جزيئات الماء من انضغاط.

### صفات الماء الخاصة

تختلف صفات الماء الفيزيائية اختلافاً كبيراً عن غيره من السوائل، فيطفو الثلج على الماء بعكس القاعدة المعروفة بأن أى مادة صلبة تغوص فى سائل له نفس تركيبها الكيميائى، كما يوجد الماء فى الحالة السائلة عند درجة حرارة الغرفة، فى حين يلاحظ أن المواد الأخرى التى تتكون مثله من ذرات خفيفة (كالميثان مثلاً) تكون فى الحالة الغازية عند درجة حرارة الغرفة، ولا تتحول إلى سائل إلا عند درجات حرارة شديدة الانخفاض. أما أكثر صفات الماء

الخاصة تميزاً فهي قدرته الفائقة على إذابة المواد الأخرى، فلا يوجد سائل شائع آخر يستطيع إذابة هذا الكم من المواد التي يذيبها الماء.

تعود كل أو جل هذه الصفات وغيرها إلى القطبية التي يتميز بها البناء الذري لجزئ الماء، والذي يتكون من ذرتي هيدروجين وذرة أكسجين ( $H_2O$ ). وتعود خاصية الاستقطاب هذه إلى وقوع ذرتي الهيدروجين بشحنتيهما الموجبة وحجمهما الصغير في أحد طرفي الجزئ، ووقوع ذرة الأكسجين بشحنتها السالبة وحجمها الكبير في الطرف المقابل (شكل 9-1) ولهذا أصبح أحد طرفي الجزئ موجباً والآخر سالباً.



شكل 9-1 يوضح استقطاب الشحن الموجبة والسالبة عند طرفي جزئ الماء

تعتبر هذه الخاصية فريدة و مميزة للماء دون السوائل الأخرى ، وهي التي أعطته القدرة الفائقة على إذابة المواد. يتسبب هذا البناء في تشابك جزيئات الماء بعضها ببعض بحيث يشبك الطرف الموجب لأحد الجزيئات بالطرف السالب للجزئ الذي يليه، وهكذا. هذا التماسك بين الجزيئات هو الذي يفسر سبب انخفاض درجات حرارة التجمد والغليان للماء. يلاحظ كذلك أنه عندما يتجمد الماء تنتظم جزيئاته بطريقة منظمة في بناء سداسي مفتوح أكبر من الحجم الأصلي للماء، وهذا البناء المفتوح هو السبب في انخفاض كثافة الثلج عن الماء السائل وبالتالي الطفو فوقه.



## تركيب مياه البحار و القارات

### تركيب مياه البحار

يقصد بماء البحر الماء الملح الذى يملأ المحيطات والبحار المفتوحة وشبه المغلقة. وقبل أن نتطرق إلى مكوناته، فإن علينا أن نتفهم علاقة صفة الماء كمذيب بملوحة ماء البحر. تحتوى مياه البحر على كم كبير من المواد المذابة فى شكل أيونات. وللتبسيط، فعندما يذاب ملح الطعام فى الماء، فإن جزيئاته تتفكك إلى أيونات صوديوم موجبة وأيونات كلور سالبة، وتبعا لخاصة التجاذب الكهربى، ينجذب أيون الكلور السالب إلى الطرف الموجب لجزيء الماء، فى حين ينجذب أيون الصوديوم الموجب إلى الطرف السالب للجزيء، وهكذا يتم الفصل بين أيونى الكلور والصوديوم وتباعدهما وعدم تمكينهما من تكوين جزيئات من الملح داخل الماء. ولكن عندما يتبخر ماء البحر تبقى الأيونات فى الماء المتخلف، ومع زيادة شدة التبخير يرتفع تركيز هذه الأيونات وتقل جزيئات الماء التى تحافظ على افتراقها، لذلك نجد أنها تعود مرة أخرى للاتحاد مكونة ملح كلوريد الصوديوم. تعد هذه النقطة غاية فى الأهمية، إذ يترتب عليها أنه ليس من الضرورى أن يدخل الصوديوم والكلور إلى البحر من مصدر واحد، بل يمكن أن يأتى كل منهما من مصدر مختلف. كما أنه يمكن لأى أملاح أن تتكون من أيونات دخلت من مصادر مختلفة وفى أزمنة مختلفة عند تبخر الماء.

يحتوى ماء البحر تقريباً على كافة العناصر ولكن عدداً كبيراً منها تكون تركيزاته غاية فى القلة. وهناك أربعة أيونات رئيسة (من ناحية التركيز) فى ماء البحر هى أيونات الكلور ( $\text{Cl}^-$ ) والصوديوم ( $\text{Na}^+$ ) والكبريتات ( $\text{SO}_4^{2-}$ ) والمغنسيوم ( $\text{Mg}^{2+}$ ) فى ترتيب تنازلى من حيث الأهمية. يلى هذه العناصر فى الأهمية الغازات المذابة مثل ثانى أكسيد الكربون ( $\text{CO}_2$ ) والنيتروجين ( $\text{N}_2$ ) والأكسجين ( $\text{O}_2$ ). تدخل هذه الغازات كجزيئات كاملة فى الماء، ولهذا لا تكون قوية الارتباط بجزيئاته كما يحدث للأيونات، بل تكون حرة يسهل هروبها.

يحتوى ماء البحر أيضاً على مجموعة هامة من الأيونات لها أهمية قصوى فى العمليات البيولوجية وتسمى المغذيات nutrients. ويأتى على رأس هذه أيونات النترات والنيتريد والفوسفات. ورغم أنها توجد بتركيزات لا تتجاوز بضع أجزاء من المليون إلا أن وجودها ضرورى لاستمرار الحياة بين كائنات المحيط.

يوجد أيضا في ماء البحر مجموعة كبيرة من العناصر النزرة التي يقاس تركيزها بالجزء من البليون (ppb). بعض هذه العناصر لها تأثير هام على الحياة في المحيطات وعلى الكائنات الأخرى، مثل الإنسان، التي تأكل الأطعمة البحرية. فالiodine مثلا ذو أهمية بالغة لصحة الإنسان، ويضاف حاليا لملاح الطعام، أما الزئبق فهو عنصر سام، وله خطورة بالغة على صحة الإنسان، وتسبب زيادة تركيزه في بعض المياه نتيجة التلوث الصناعي بعض المشاكل الصحية الخطيرة في كثير من أماكن العالم.

ويعرف التركيب الكيميائي لماء البحر عادة باستخدام مصطلحين تقديريين هما الكلورية chlorinity والملوحة salinity. تحدد الكلورية بكمية الهالوجينات (Cl, Br, I) الكلية مقدرة بالجرامات التي توجد في 1 كجم من ماء البحر، بافتراض استبدال اليود والبروم بالكلور. يمكن استبدال مصطلح الكلورية بمصطلح آخر هو الهالوجينية. تقدر الهالوجينية ماء البحر بـ 19 جم/كجم (19 في الألف) وقد أصبح هذا الكم رقما عياريا تنسب إليه بقية العناصر. أما الملوحة فانها كمية تقل قليلا عن الوزن الكلي للمواد الصلبة المذابة في 1 كجم من ماء البحر (بسبب تحويل كل الكربونات الى أكاسيد واستبدال البروم واليود إلى كلور وأكسدة كل المواد العضوية عياريا) ويمكن تحديدها من الكلورية أو من قياس كثافة الماء. وتقدر ملوحة ماء البحر في المحيطات المفتوحة بحوالى 35 في الألف، ولكنها تنخفض في بعض الأماكن حتى 10 في الألف كما في بحر البلطيق، أو ترتفع إلى حوالى 40 في الألف كما في البحر الأحمر والخليج العربى لارتفاع معدل البخر وانخفاض الإضافة سواء من المحيط الهندى أو من الأمطار.

يلاحظ أن نسب الأيونات الرئيسية الموجودة في ماء البحر تظل ثابتة تقريبا بسبب التدوير والخلط المستمر. وعليه، ونتيجة للتجانس الكبير في تركيب ماء البحر، فإن قياس مكون واحد منها يعطى تقديرا لكل المكونات الأخرى. ويرجع الفضل في تحديد النسب الثابتة لمعظم عناصر ماء البحر وكمياتها إلى العالم دتمار Dittmar والذي قام بتحليل 77 عينة مياه ممثلة لكل المحيطات ومجموعة عند السطح ومن الأعماق ونشرها عام 1884 (فيربريدج Fairbridge 1972a, 1972b). هذه العينات كان قد سبق جمعها في أشهر رحلة علمية لاستكشاف البحار حول العالم بالسفينة شالينجر Challenger ما بين عامى 1872 و 1876



ميلادية. ورغم مرور أكثر من قرن من الزمان، فإن الأرقام التي نشرها لا تختلف كثيراً عن تلك المحددة حالياً بأكثر الطرق التحليلية تطوراً ودقة (إلبن 1994 Elben).

يعطى الجدول 2-9 المكونات الرئيسية المذابة في ماء البحر منسوبة إلى قيمة كلورية ثابتة مقدارها 19 في الألف. وبسبب ثبات نسبة المكونات الرئيسية، فإن أى واحد منها يمكن أن يؤخذ كمقياس للآخرين. ويلاحظ أنه رغم التجانس الكبير لماء المحيط، فإن كيميائيته ليست بالسهولة التي تبدو، فقد يكون من الصعوبة بمكان أن تحدد الكمية الكلية للمواد الصلبة المذابة (TDS) بالتحليل الكيميائي المباشر، كما أن تبخير ماء البحر ووزن كميات الملح المترسبة لا تعطى نتائج دقيقة لأن بعض المكونات، خاصة الكلور تفقد في المراحل الأخيرة للتبخير، ولهذا يتم عادة اللجوء إلى طرق غير مباشرة تعتمد على عامل الكلورية.

أما بالنسبة للعناصر النزرة، فإن المحيطات تحوى كميات ضخمة رغم ضآلة تركيزاتها، وتعد مخزوناً احتياطياً هائلاً لمد الإنسان باحتياجاته المستقبلية لكثير منها. وقد أمكن تحديد حوالى 70 عنصراً نزرأ في ماء البحر، وهناك إمكانية اكتشاف المزيد من العناصر شديدة القلة مع التقدم الذى يتحقق في تطوير حساسية أجهزة التحليل لقياس مثل تلك العناصر.

جدول 2-9 المكونات الرئيسية المذابة في ماء البحر

| الأيونات                       | كلورية 19 جم/كجم | %     |
|--------------------------------|------------------|-------|
| Cl                             | 18.980           | 55.05 |
| Br                             | 0.065            | 0.19  |
| SO <sub>4</sub>                | 2.649            | 7.68  |
| H <sub>2</sub> CO <sub>3</sub> | 0.140            | 0.41  |
| F                              | 0.001            | -     |
| H <sub>3</sub> BO <sub>3</sub> | 0.026            | 0.07  |
| Mg                             | 1.272            | 3.69  |
| Ca                             | 0.400            | 1.16  |
| Sr                             | 0.008            | 0.03  |
| K                              | 0.380            | 1.10  |
| Na                             | 10.556           | 30.61 |
| المجموع                        | 34.477           | 99.99 |

عن: ماسون ومور (1982 Mason & Moore).



يعطى الجدول 3-9 بعض التركيزات الأكثر ارتفاعاً للعناصر النزرة. وتجدر الإشارة هنا إلى أن هذه القيم قد لا تكون دقيقة لعوامل كثيرة، منها عدد العينات التي قيسَت، وعمق المكان الذي جمعت منه، وقرب العينات المجمعة من القارات، وما يصحب ذلك من احتمالات تلوث، كما أن كثيراً من هذه العناصر يتأثر بالنشاط البيولوجي الذي يظهر بشكل واضح قرب السطح. فمثلاً، الكالسيوم الذي يصل تركيزه 400 ج م م وكذلك البيكربونات، قد يقل تركيزهما في المياه السطحية عنه في الأعماق نتيجة امتصاص كميات كبيرة منهما بواسطة الحيوانات والكائنات البحرية. ولنفس السبب يلاحظ أيضاً زيادة منظمة في محتوى السليكا من 3 ج م م تقريباً قرب السطح إلى تركيزات أعلى بكثير مع زيادة العمق، في حين يرجع زيادة تركيز عنصر الفوسفور في الأعماق إلى تحلل الكائنات العضوية الميتة.

جدول 3-9 تكتيريات لتركيزات العناصر النزرة في ماء البحر

| العنصر | التركيز ملجم/ لتر | العنصر | التركيز ملجم/ لتر |
|--------|-------------------|--------|-------------------|
| Li     | 0.1700            | V      | 0.0020            |
| B      | 45.0000           | Zn     | 0.0100            |
| C      | 28.0000           | Cu     | 0.0030            |
| Si     | 3.0000            | Mo     | 0.0100            |
| P      | 0.0900            | I      | 0.0600            |
| S      | 900.0000          | Ba     | 0.0200            |
| Fe     | 0.0300            | U      | 0.0030            |
| Mn     | 0.0020            | Pb     | 0.00003           |
| Hg     | 0.00003           | Cd     | 0.0001            |

عن: ماسون ومور (Mason & Moore 1982).

تلعب الكائنات العضوية البحرية — من نبات وحيوان وبكتيريا — أيضاً دوراً كبيراً في إعادة توزيع المكونات غير العضوية في ماء البحر، وبالتالي لا يمكن اعتبار ماء البحر كياناً غير عضوي تماماً، وعدم أخذ المكونات العضوية التي تعيش فيه في الاعتبار. فبعض الأملاح مثلاً يتم ادمصاصها على أسطح الكائنات الحية أو مكوناتها من البروتوبلازما. كذلك، فإن الجسيمات الغروية مثل هيدروكسيد الحديد يمكن ادمصاصها على الدياتومات. بعض

العناصر مثل اليود لها أهمية كبيرة على وظائف الأعضاء فى الحيوانات، ولذلك تمتصها من الماء بكميات كبيرة.

وللكائنات البحرية دور هام فى إزالة تلوث المياه، إذا لم يتجاوز هذا التلوث حدًا معينًا، إذ تقوم بعض الكائنات تحت تأثير عملية تعرف بالتنقية الذاتية الطبيعية بتفكيك المخلفات أو الفضلات التى تلقى فى البحار والتى يمكن أن تلحق الكثير من الأذى، إما بالأحياء المائية الأخرى التى تعيش فيها، أو بالمجتمعات البشرية التى تعيش فى جوارها.

أما بالنسبة للغازات المذابة فى ماء البحر (جدول 4-9)، فإن تركيزاتها تتناسب بالضرورة مع الضغط الجزئي partial pressure للغازات الموجودة فى الغلاف الجوى، نتيجة تلامس هذا الأخير مع المساحات الشاسعة من سطح الغلاف المائى فى المحيطات. وينتج عن هذا التلامس حالة من الاتزان بين ماء الطبقة السطحية للمحيطات و المكونات الأساسية للغلاف الهوائى من أكسجين و نتروجين و ثانى أكسيد الكربون.

جدول 4-9 تركيزات بعض الغازات المذابة فى ماء البحر

| التركيز مل/لتر | الغاز            |
|----------------|------------------|
| 9 - 0          | O <sub>2</sub>   |
| 14 - 8         | N <sub>2</sub>   |
| 56 - 34        | CO <sub>2</sub>  |
| 0.4 - 0.2      | Ar               |
| 22 - 0         | H <sub>2</sub> S |

عن: ماسون ومور (Mason & Moore 1982).

يأتى على رأس هذه الغازات من ناحية الأهمية غاز ثانى أكسيد الكربون رغم قلة كميته بالنسبة للغازات الأخرى، وهو يوجد فى صور مختلفة هى الصورة الحرة CO<sub>3</sub><sup>2-</sup> وكأيون بيكربونات HCO<sub>3</sub><sup>-</sup> وحمض كربونيك غير متفكك H<sub>2</sub>CO<sub>3</sub>. ويعمل الغلاف الجوى على تنظيم محتوى ثانى أكسيد الكربون فى ماء البحر السطحي والذى يتأثر بدوره بنشاط

الأحياء البحرية كمًا ونوعًا. وغاز ثاني أكسيد الكربون سهل الذوبان في الماء (كما نشهده في عنبات المياه الغازية) مما ترتب عليه أن الكمية المذابة منه في ماء البحر تصل إلى 62 ضعف الكمية الموجودة في الهواء. ولهذا يعد المحيط منظم هام لتركيز ثاني أكسيد الكربون في الجو، كما أن تركيزه في الماء يعد أهم العوامل المؤثرة في ذوبانية كربونات الكالسيوم. وبينما لا يتغير تركيز النتروجين في ماء البحر نتيجة عدم دخوله في أية تفاعلات كيميائية على نطاق مؤثر، فإن الأكسجين يلعب دوراً هاماً في عمليات الأيض وفي تحليل المواد العضوية، وبالتالي فإن تركيزه يختلف من مكان إلى آخر، وبدرجات قد تكون كبيرة. من الغازات الأخرى التي توجد أحياناً في ماء البحر غاز كبريتيد الهيدروجين الذي يتركز في بعض أماكن المياه الراكدة في الأعماق.

### تركيب مياه القارات

يقصد بمياه القارات terrestrial waters المياه العذبة التي تسقط غالباً مطراً، فتجرى في الأرض أنهاراً، أو تغوص كمياه باطنية، والتي قد يظهر بعضها كينابيع وعيون أو المحتفظ به في بعض المواد المتمينة، ويعود بعض منها إلى الغلاف الجوي في هيئة بخار. ورغم أن هذه المياه تعد من ناحية الكمية ضئيلة جداً إذا قورنت بماء البحار، إلا أنها تلعب دوراً هاماً للغاية في عمليات تجوية وتعرية المناطق السطحية من الأرض.

تُذيب مياه الأنهار الكثير من العناصر عند جريانها على سطح الأرض، ولذلك فإنها تحمل إلى المحيطات كمًا من العناصر المذابة التي تختلف في كميتها من وقت لآخر، كما تختلف في نوعياتها وتركيزاتها من مكان إلى آخر. تقدر كمية مياه الأمطار التي تصل إلى الجزء اليابس من سطح الأرض بحوالى 123 تريليون ( $10^{12}$ ) طن، يتصرف حوالى 27 تريليون طن منها إلى المحيطات والبحار حاملة معها حوالى 7 بليون طن من المواد المذابة. يقدر المتوسط العام لملوحة مياه الأنهار بحوالى 100 جزء في المليون بمدى يتراوح من 13 إلى 1000 جزء في المليون، وفي حالات نادرة يمتد هذا المدى ليتجاوز 9000 جزء في المليون.



تعتمد ملوحة مياه الأنهار على طبيعة الصخور التي تجري عليها المياه أو تتخللها أثناء تصريفها، فإذا كان التصريف السطحي يتم فوق أو من خلال صخور نارية أو متحولة فإن الملوحة تكون عادة أقل من 50 جزء في المليون، في حين تسبب الصخور الرسوبية زيادة هذه الملوحة إلى ما بين 50 و 200 جزء في المليون. أما إذا تجاوزت هذا الحد، فإن ذلك يعود غالباً إلى تلوث بنواتج أنشطة بشرية أو إلى التصريف في أرض شديدة الجفاف حيث تكثر أنواع التربة الملحة.

تختلف ملوحة الأنهار كذلك باختلاف طبيعة وتركيب الصخور التي يتم تصريف المياه من خلالها. كذلك، يتأثر محتوى ونوعية المواد المذابة أيضاً بنفس هذا العامل، فنرى الحديد مثلاً يتراوح بين أقل من واحد إلى أكثر من 2500 جزء في المليون، والإسترنشيوم يتراوح مداه بين أقل من واحد وأكثر من 1600 جزء في المليون، والباريوم بين 3 و 150، والمنجنيز بين صفر و 180 جزء في المليون. وقد تمكن بعض العلماء من تقدير متوسطات لتركيز بعض العناصر في مياه الأنهار نقدمه في جدول 5-9.

جدول 5-9 تركيزات بعض العناصر الذائبة في مياه الأنهار ونسبها المئوية إلى باقى العناصر مقارنة بنسبها في مياه البحر

| الأيون   | التركيز في ماء النهر<br>(ج م م) | % في ماء النهر | % في ماء البحر |
|--|---------------------------------|----------------|----------------|
| $(\text{HCO}_3)^-$                                     | 58.5                            | 48.6           | 0.41           |
| $(\text{SO}_4)^{2-}$                                   | 11.2                            | 9.3            | 7.68           |
| $\text{Cl}^-$  | 7.8                             | 6.5            | 55.04          |
| $(\text{NO}_3)^-$                                      | 1.0                             | 0.8            | --             |
| $\text{Ca}^{2+}$                                       | 15.0                            | 12.5           | 1.15           |
| $\text{Mg}^{2+}$                                       | 4.1                             | 3.4            | 3.70           |
| $\text{Na}^+$  | 6.3                             | 5.3            | 30.60          |
| $\text{K}^+$   | 2.3                             | 2.0            | 1.10           |
| $\text{Fe}^{2+}$                                       | 0.7                             | 0.6            | --             |
| $\text{SiO}_2$   | 13.1                            | 11.0           | --             |
| $\text{Sr}^{2+}, \text{H}_2\text{BO}_3^-, \text{Br}^-$ | --                              | --             | 0.31           |
| المجموع  | 120                             | 100            | 100            |

- غير متاح عن: ماسون ومور (Mason & Moore 1982) و ليفنجستون (Livingstone 1993).

يتضح من هذا الجدول أن أكثر الأيونات تركيزاً في ماء النهر هي البيكربونات والكالسيوم والسليكا والكبريتات، في حين أن أكثر الأيونات وفرة في ماء البحر هي الكلور والصوديوم. بعض هذا الاختلاف يمكن تفسيره في ضوء بعض التفاعلات الكيميائية التي تحدث في المحيطات، مثل إزالة أيون البيكربونات بواسطة العمليات البيولوجية، في حين أن زيادة الكلور والبروم في ماء البحر لا يمكن تفسيره بهذه الطريقة.

تشكل المياه الأرضية (الجوفية) ground water جزءاً هاماً من مصادر المياه الطبيعية، ويفوق المخزون منها في باطن الأرض بصورة عامة المخزون السطحي للمياه العذبة. تتميز هذه المياه عن مياه الأنهار بخلوها من الكائنات الحية الدقيقة أو الجراثيم، كما أنها لا تحتاج إلى عمليات تنقية كثيرة إذا أريد استخدامها للشرب أو الأغراض المنزلية الأخرى. كما تتميز بأنها ذات درجة حرارة ثابتة تقريباً وأنها تخلو من المواد العالقة التي تسبب تعكيرها أو التي تغير لونها، كما أنها أقل تعرضاً للتلوث بالمخلفات الصناعية أو المواد المشعة أو الحيوية. ورغم هذه الميزات، فإن هناك بعض الخواص السلبية للمياه الأرضية (الجوفية) منها زيادة نسبة المواد أو الأملاح الذائبة، والصعوبة النسبية في الحصول عليها، خاصة في المناطق ذات الترسيب المتوسط أو المنخفض، أو عندما تكون الصخور تحت السطحية ضعيفة المسامية والنفاذية. ويلاحظ أن زيادة نسبة الأملاح والمواد المذابة تعد خاصة سلبية فقط إذا استخدم الماء للشرب أو مشاريع الري، وقد ترتفع في بعض المناطق نسبة بعض العناصر غير السامة ولكن قد يكون لها فوائد صحية، وهنا تستخدم لأغراض العلاج الطبي، وتسمى مياهاً معدنية لوجود مركبات اليود والبروم والكبريت. ترتفع في بعض هذه الأنواع من المياه نسب بعض الأملاح بحيث تصبح مصدراً اقتصادياً لبعض العناصر الحيوية مثل البورون والجرمانيوم والإسترونيوم والمغنسيوم.

تعود المياه الأرضية بصورة عامة في أصلها إلى المياه السطحية، حيث يتم تغذية الخزانات الطبيعية من مياه التساقط ومياه الأنهار والبحيرات، كما تضيف مياه الري الزائدة أو المتسربة من القنوات كميات إضافية لتلك الخزانات. كذلك تستطيع مياه البحر أن تدخل تحت الأرض على امتداد الشواطئ حيث ينحدر التدرج الهيدرولي في اتجاه اليابسة. وفي داخل الأرض تتحرك هذه المياه إلى أسفل نطاق عدم التشبع وتحت تأثير الجاذبية، في حين تتحرك المياه في نطاق التشبع في الاتجاه الذي يتحدد بفعل الظروف الهيدرولية المحيطة.



## اتزان العناصر المذابة فى ماء البحر

كان الاعتقاد السائد، حتى سنوات قريبة، أن مصدر كل الأيونات فى المحيطات (أو سبب ملوحة مياه البحر) هو ما تحمله الأنهار إليها من عناصر مذابة، إلا أن هذا الاعتقاد ثبت خطؤه. فكثير من هذه العناصر، خاصة الأيونات الشائعة، مثل أنيونات الكلور والكبريتات والبورات والبروم، لا يوجد لها مصادر على القارات تتناسب مع تركيزاتها المرتفعة فى ماء البحر. لهذا، يعتقد بعض العلماء أن هذه العناصر كانت موجودة أصلاً بتركيزات كبيرة فى ماء المحيط الأولى، فى حين أرجع آخرون مصدر هذه الأيونات إلى الغازات المنبعثة من البراكين والينابيع الحارة النشطة فى قيعان الكثير من البحار والمحيطات على طول الزمن الجيولوجى. فقد وجد أن الصخور فوق المافية التى يتكون منها الوشاح تحتوى على غازات مثل الكلور والبروم وعناصر أخرى تضاهى نسبها فى ماء البحر بصورة أكبر من نسبها فى ماء الأنهار. ويسود اعتقاد قوى بأن الأيونات المتطايرة، مثل الكلور، أضيفت إلى ماء البحر من الوشاح عبر الممرات والفوهات التى تخرج منها النواتج البركانية، سواء فى مناطق الأعراف المحيطية، أو مناطق النشاط البركانى فى مختلف أنحاء العالم، فى حين أمدت الأنهار ماء البحر بالعناصر الأخرى مثل الصوديوم والمغنسيوم. ويؤكد هذا رأى تركيب الأجاج الساخن hot brines فى وسط البحر الأحمر، ونوافير المياه الحارة قرب سواحل بيرو، والشواهد الجيوكيميائية التى تؤكد تخلل الماء للصخور التى تسفل أرضية البحار والمحيطات، واستخلاصه لكثير من عناصرها بمساعدة الحرارة العالية، خاصة قرب الأعراف؛ وجميع هذه الصخور مصدرها الوشاح.

يبرز هنا سؤال هام وهو، هل تزيد ملوحة ماء البحر مع الزمن نتيجة الإضافات المستمرة لهذه العناصر من المصادر المذكورة أعلاه؟ نقودنا الإجابة عن هذا السؤال إلى موضوع آخر يتعلق باتزان المواد المذابة فى ماء البحر (روبي 1951 Rubey و هولاند 1972 Holland).

من المعتقد أن البحار قد حافظت لفترات طويلة من الزمن على تركيب كيميائى ثابت تقريباً. ويعنى هذا أنه كلما تراكمت كميات من العناصر نتيجة الإضافة فى فترة زمنية محددة يتم تعديل التركيز إلى طبيعته بترسيب هذه العناصر على شكل أملاح تنفصل عن ماء



المحيط. ويعنى قبولنا لهذا الاعتقاد أن كل عنصر يضاف إلى ماء البحر يمكث فترة زمنية معينة قبل أن يتم التخلص منه بالترسيب وتسمى هذه الفترة بفترة المكوث residence time . تحسب هذه الفترة بقسمة الكمية الكلية المذابة من العنصر فى ماء المحيط على الكمية التقديرية لما يضاف سنويا عن طريق الأنهار. ولما كانت التقديرات، خاصة للقيمة الأخيرة، صعبة وغير دقيقة فقد احتسبت على أساس نسب العناصر فى القشرة الأرضية.

يعطى جدول 6-9 فترات المكوث لبعض العناصر المختارة، ومنه يتضح أن عنصر الصوديوم يتميز بأطول فترة مكوث من بين العناصر الأخرى، إذ تمتد هذه الفترة إلى عمر المحيطات نفسها تقريباً. وتعكس فترة المكوث الطويلة هذه غياب أية تفاعلات للصوديوم فى البيئة البحرية، فلا هو يدخل فى المعادن الرسوبية الشائعة، ولا هو يزال بأية تفاعلات بيولوجية. أما عناصر البوتاسيوم والكالسيوم والمغنسيوم، فإن فترات مكوثها تقدر بعشرات الملايين من السنين، فى حين نلاحظ أن العناصر منخفضة التركيز لها فترات مكوث قصيرة، رغم أن بعضها كان يتوقع امتداده لفترات أطول نتيجة كمياته الكبيرة المضافة من القشرة الأرضية.

جدول 6-9 فترات المكوث لمجموعة مختارة من العناصر

| العنصر | فترة المكوث (سنة) | العنصر | فترة المكوث (سنة) |
|--------|-------------------|--------|-------------------|
| Na     | $10 \times 6.8$   | Mg     | $10 \times 1.2$   |
| Ca     | $10 \times 1$     | K      | $10 \times 7$     |
| Mn     | $10 \times 1$     | Zn     | $10 \times 2$     |
| Fe     | $10 \times 2$     | Sr     | $10 \times 4$     |
| Cs     | $10 \times 6$     | Hg     | $10 \times 8$     |

عن: ماسون ومور (Mason & Moore 1982).

يلاحظ من جدول 6-9 أن بعض العناصر مثل البوتاسيوم له فترة مكوث طويلة، ورغم ذلك فتركيزاته قليلة جداً فى ماء البحر إذا قورن بتركيز الصوديوم. وينهج نفس المنهج باقى العناصر القلوية مثل الروبيديوم واليسيزيوم، مما يؤكد وجود عوامل أخرى تتحكم فى فترات المكوث. من هذه العوامل:

• جهد التأين الذى سبق شرحه فى فصل جيوكيمياء الصخور الرسوبية والذى يحدد موقع العنصر من الترسيب، فجميع العناصر القلوية لها جهد تأين منخفض، الأمر الذى يعنى فترة مكوث طويلة لها فى الماء.

• خاصة الادمصاص الشديدة التى تتميز بها المعادن الطينية أحد نواتج التجوية، فتعود إزالة العناصر القلوية ماعدا الصوديوم إلى هذه الخاصة. كذلك الألومنيوم، فإن له فترة مكوث قصيرة بسبب سرعة إزالته لدخوله فى تركيب المعادن الطينية المترسبة.

• خاصة التأكسد والاختزال، إذ يعود السبب فى قصر فترة مكوث المنجنيز، مثلاً إلى سرعة تأكسده، إلى التكافؤ الرباعى فى ماء البحر ثم ترسبه بالتالى على شكل عقد nodules من ثانى أكسيد المنجنيز تغطى مساحات شاسعة من قيعان المحيطات مما يفسر انخفاض تركيزه فى الماء، رغم كمياته الكبيرة المضافة.

• نشاط الكائنات البحرية الحية التى تتغذى على بعض العناصر الذائبة فى الماء والاستفادة منها فى بناء هياكلها. فيعد السليكون مثلاً من العناصر ذات فترات المكوث القصيرة رغم كمياته الكبيرة المضافة وتتم إزالته بواسطة نشاط الكائنات الحية فى ماء المحيط. كما تزال كميات كبيرة من الكالسيوم نتيجة استخلاصه بواسطة الكثير من الأحياء البحرية (لكن يظل الإسترنشيوم مُدّاً تصل إلى أربعة أمثال مايمكثه الكالسيوم). كما تتحكم العمليات البيولوجية أيضاً فى تركيز عناصر هامة مثل النحاس والحديد والفاناديوم والفسفور فى الكائنات الحية حيث تدخل فى مكونات هذه الكائنات، خاصة الحديد وبدرجة أقل النحاس، والذى يعد كل منهما مكوناً رئيساً فى دم كثير من الأحياء البحرية، كما يدخل الفوسفور بجانب الكالسيوم فى تكوين هياكلها العظمية.

تكتسب فترات المكوث أهمية كبيرة فى حل أحد المشاكل البيئية الخطيرة المترتبة على تساقط أو تسرب عدد كبير من نواتج الانفجارات النووية أو نفايات المفاعلات من النظائر المشعة ذات أعمار النصف الطويلة، والتى تسبب بالتالى خطورة كبيرة على البيئة البحرية، ومافيهما من حياة، والتى تمتد بالتالى إلى الإنسان. فمثلاً، يُعد النظيران  $^{90}\text{Sr}$  و  $^{137}\text{Cs}$  من النواتج الشائعة للانفجارات النووية، وفترات مكوثهما فى ماء البحر تُعد طويلة جداً إذا



ما قورنت بعمر النصف لأى منهما. وتكمن خطورة هذه النظائر فى وصولها إلى مياه البحار والمحيطات وبقائها ذائبة فى الماء لفترات طويلة وبالتالى تكون متاحة للأحياء المائية.

ومن المشاكل التى يهتم بها علماء البيئة ما يصل إلى المحيطات من مواد سامة نتيجة المخلفات الصناعية. ومن العجيب أنه رغم الاعتقاد بأن كميات كبيرة جداً من هذه العناصر يحتمل أن تكون قد وصلت إلى المحيط خلال الزمن الجيولوجى بحيث تشكل خطراً بيئياً حقيقياً، إلا أن تركيزها، وبعضها شديد الخطورة مثل الزرنيخ (As) والسليوم (Se)، صغير إلى الحد الذى لا يشكل أية خطورة حقيقية فى المدى المنظور. وقد قام العالم الأمريكى كراوسكوف Krauskopf عام 1956 بعمل دراسة مستفيضة على العوامل التى تتحكم فى تركيز مجموعة كبيرة من العناصر ذات الأهمية البيئية أو الاقتصادية فى ماء البحر (فى Krauskopf 1979). فى هذه الدراسة اتبع كراوسكوف تفصيلاً أربع عمليات محتملة تتحكم فى تركيز هذه العناصر فى ماء البحر وهى:

- 1- ترسب بعض هذه العناصر فى مركبات عديمة الذوبان مع أيونات شائعة الوجود فى ماء البحر.
- 2- ترسب البعض الآخر بأيون الكبريتيد فى مناطق محدودة ذات جهد تأكسد منخفض.
- 3- ادمصاصا بمواد مثل كبريتيد الحديدوز وأكاسيد الحديد المائىة وثانى أكسيد المنجنيز المائى والطين.
- 4- الإزالة بفعل عمليات الأيض للأحياء المائية.

وقد أظهر كراوسكوف بالتجربة والحساب أن ماء البحر يحوى كميات ضئيلة جداً من هذه العناصر بعيدة بدرجة كبيرة عن حد التشبع وبالتالى استبعد العامل الأول.

كذلك، فعلى الرغم من إمكانية ترسيب كبريتيدات لبعض هذه العناصر، فإن هذا العامل لا يمكن اعتباره عاملاً رئيسياً لأن تركيزات هذه العناصر ليس لها علاقة بذبوانية الكبريتيد. وبينما يمكن للادمصاص أن يكون عاملاً هاماً فى إزالة معظم هذه العناصر، فإنه مستبعد بالنسبة لبعضها مثل الكروم والفاناديوم والنيكل والكوبلت. ويعتقد كراوسكوف أن إزالة الكروم بالاختزال المحدود الموقع والترسب كهيدروكسيدات، وإزالة البعض بعمليات بيولوجية يمكن أن يعطى تفسيراً معقولاً لمدى التركيزات الموجودة حالياً فى ماء البحر، أى



إن عمليات الادمصاص المتبوعة بعمليات الإزالة البيولوجية يمكن أن تقدم تفسيراً لتوزيع الفلزات النادرة والنزرة في الصخور الرسوبية البحرية.

ومن المعلوم أن عدداً من الأيونات الموجودة في ماء الأنهار تترسب كمركبات عديمة الذوبان بمجرد اختلاطها بماء البحر بسبب الاختلاف في البيئة الكيماوية. وهناك كثير من المواد التي تزال من الماء بسبب تفاعلات معقدة بين أيوناتها المذابة وبعض المواد الصلبة التي يمكن أن تكون جزيئات عالقة أو رواسب في الأعماق. كما تلعب المواد العضوية، إذا أصبحت مكوناً دائماً في بيئة مائية معينة، دوراً هاماً في تنظيم تركيز العنصر في تلك المياه.

### مكونات ماء الشرب وخصائصه

مع زيادة الكثافة السكانية في كثير من بلاد العالم ومع تزايد الأنشطة الإنسانية في مجالات التصنيع وإنتاج واستخدام الكيماويات الزراعية والصناعية، تسرب كثير من المواد الكيماوية الضارة إلى مصادر المياه العذبة التي يعيش عليها الإنسان. وإرتفعت أصوات كثيرة تطالب بتقنين مواصفات المياه التي يشترك الناس في استخدامها، خاصة في المدن الكبيرة. ويبين جدول 7-9 المواصفات والمعايير الكيماوية الواجب توافرها في المياه الصالحة للشرب كما وردت في معظم المعايير العالمية (البرنامج البيئي للأمم المتحدة 1992).

جدول 7-9 الحدود القصوى لتركيزات المواد المسموح بوجودها في ماء الشرب

| المواد                           | مجم / لتر | المواد                        | مجم / لتر |
|----------------------------------|-----------|-------------------------------|-----------|
| Pb                               | 0.05      | Fe                            | 0.02      |
| As                               | 0.05      | Mn                            | 0.05      |
| Cd                               | 0.005     | Cu                            | 3.00      |
| Se                               | 0.01      | Zn                            | 5.00      |
| Hg                               | 0.001     | Ca                            | 200.00    |
| F                                | 1.50      | Mg                            | 50.00     |
| (NO <sub>3</sub> ) <sup>-</sup>  | 50.00     | Cl                            | 200.00    |
| (SO <sub>4</sub> ) <sup>2-</sup> | 250.00    | P <sub>2</sub> O <sub>5</sub> | 5.00      |

(صادرة عن: البرنامج البيئي للأمم المتحدة عام 1992، في: المنهراوى وحافظ 1997).

فبالنسبة للمواد السامة يجب أن تكون المياه خالية منها تماماً، وإن وجدت فلا يجوز شرب الماء إذا تجاوز التركيز القيم الموضحة في الجدول. وتعد معظم العناصر الموجودة في العمود الأيمن من جدول 7-9 سامة، وزيادتها في ماء الشرب لها مخاطر كبيرة على صحة من يشربها من الإنسان أو الحيوان، أما العناصر التي في العمود الأيسر فلها تأثير صحي مفيد ووجودها بالنسب المذكورة يعد ذا فائدة لصحة الإنسان والحيوان. وهناك بعض المواد التي قد توجد في مصادر المياه المختلفة بشكل غير ثابت ومن الصعب وضع حد لها، وتعد زيادة نسبتها عن النسب السائدة على النطاق الإقليمي دليلاً على التلوث، وهذه المواد هي: الأمونيا الزلالية والنترت والنترات والنترجين الكلي والأكسجين المستهلك كيميائياً والأكسجين الحيوى الممتص والكلوريد والفوسفات. هناك بالطبع معايير أخرى للمياه منها الفيزيقي والبكتريولوجي والبيولوجي ونسب الجسيمات المشعة للألفا أو البيتا.

### تقويم التحاليل الكيميائية للماء

من المؤسف أن معظم التحاليل الكيميائية للماء ليست بالدقة أو الصحاحية التي يجب أن تكون عليها، وذلك بسبب تداخل عدة مصادر للخطأ، أول هذه المصادر يأتي من طريقة أخذ العينة sampling ويعتمد الخطأ على:

1. مدى تمثيل العينة المختارة لكتلة الماء موضع الدراسة، خاصة إذا أخذنا في الاعتبار عدم تجانس كتل الماء، وتغير تركيبها من وقت لآخر وبسرعة كبيرة.

2. السرعة التي يتم بها تحليل العينات المجمعة، فكلما زاد عدد عينات الماء يتم تحليله في المعامل بعد فترة طويلة من جمعها، وكلما طالت هذه الفترة زاد احتمال الحصول على نتائج خاطئة.

3. التركيب الكلي لعينة الماء، وهذا عامل هام، فقد وجد أن قيمة الخطأ المقدرة في تحليل عنصر ما تعتمد على تركيزه. فكلما قل تركيز العنصر زادت نسبة الخطأ المحتمل. وتقدر بعض المعامل المتخصصة في تحليل المياه أن التركيزات التي تقل عن 1



مليجرام/ لتر تعطى نتائج بها خطأ محتمل  $\pm 10\%$  من القيمة المحددة في أحسن الأحوال، أما إذا زاد التركيز عن ذلك، فإن الخطأ المحتمل يقل إلى ما بين  $\pm 2\%$  وما دون  $\pm 10\%$  من القيمة الحقيقية.

تنقسم المواد المذابة في الماء إلى قسمين رئيسيين (كيتانو 1975 Kitano):

• مواد غير عضوية.

• مواد عضوية.

توجد المواد غير العضوية على هيئة كاتيونات و أنيونات و أيونات مركبة وكجزيئات غير مفككة. بالإضافة إلى ذلك فهي توجد أيضا على شكل غرويات colloids أو مواد عالقة، وأحيانا توجد الأيونات ممتزة adsorbed على هذه المواد العالقة. وأول ما يجب أن نقرره عند تحليل الماء هو هل نجرى عملية ترشيح للمواد العالقة أم لا؟ إذ إن معرفة تركيب المواد العالقة يعد هاما في بعض أنواع التحاليل. وإذا قررنا التحليل بعد الترشيح فيجب تحديد نوع وحجم مسام ورق الترشيح المستخدم، ذلك أن ورق الترشيح ذا المسامية 45. ميكروميتر، وهو النوع الشائع في الاستخدام، يسمح لجزء كبير من المواد الغروية بالمرور خلاله، وبالتالي فإن التحاليل الناتجة سوف تعكس جزئيا تركيب هذه الغرويات.

تشمل المواد العضوية بالإضافة إلى المركبات العضوية جزءا كبيرا من العناصر الفلزية التي توجد على هيئة مركبات فلز - عضوية metallo-organic complexes . وفي حالة الشك في وجود تلوث عضوي، يتم تحليل المكونات العضوية في الماء ورصدها ضمن التحليل الكيميائي للماء. وعلى وجه العموم، فإن كمية المادة العضوية المذابة في معظم أنواع المياه تعد ضئيلة، وتعتمد نسبتها إلى حد كبير على طبيعة البيئة المحيطة، شأنها في ذلك شأن العناصر غير العضوية والتي تتأثر إلى حد كبير بكمية ونوعية المواد العالقة. وفيما يلي من تقييم، فإننا سنفترض أن الماء قد جرى ترشيحه، وبالتالي فإن معظم المواد العالقة سواء عضوية أو غير عضوية قد تم التخلص منها.

من خواص المياه التي تقاس أو تحدد عادة في التحاليل الكيميائية، رغم كونها خاصة فيزيائية، خاصة اللون. ويرجع لون الماء الطبيعي أساسا إلى محتواه من المواد



العضوية التي توجد دائما في الحالة الذائبة، أو كعائق رغوى أو كشوائب معلقة كبيرة الحجم، وهناك مقياس رقمى معيارى لتوضيح شدة لون الماء المعطى، وهو يتوقف على ما إذا كان قد سبق ترشيحه أم لا. كما أن هناك مصطلحا آخر وهو العكارة، والتي تشير إلى مدى الانخفاض فى شفافية الماء بسبب وجود مواد معينة عالقة به، والتي تسبب تشتيت الضوء وامتصاصه. وكما هو الحال فى اللون، فإن عكارة الماء يمكن أن يعبر عنها بمقياس رقمى معيارى.

من المعاملات الهامة فى تركيب الماء والمترتبة مباشرة على محتواه من المواد العضوية ما يُعرف باسم الاحتياج البيولوجى للأكسجين biological oxygen demand ويرمز له بالرمز BOD . فمن المعروف، أن الحياة العضوية تنتج الأكسجين فى الماء نتيجة عمليات التمثيل الضوئى، وفى المقابل يستهلك تنفس الكائنات الحية وتحلل المواد العضوية بعضاً من هذا الأكسجين.. أما بالنسبة للماء الملامس للهواء، فإن محتواه من الأكسجين يتوقف على مدى التبادل الذى يتم مع الهواء، وتحدد كمية الأكسجين فى أى نوع من المياه بالفارق بين ما ينتج وما يُستهلك من الأكسجين الحيوى. وتحدد قيمة BOD فى الماء بإضافة ماء أكسجين oxygenated water للعينة، ثم قياس وزن الأكسجين المستهلك (فى أكسدة المواد العضوية) لوحدة حجمية من العينة. ويلاحظ أنه ليس من الضرورى أن تتفاعل كل المادة العضوية الموجودة بالعينة مع الأكسجين. وعليه، فإن محتوى العينة من الكربون العضوى الكلى total organic carbon غالباً ما يتحدد بقياس كمية ثانى أكسيد الكربون التى تنتج عندما يحرق الراسب المتخلف residue الجاف عن عينة من الماء. وهناك طريقة أخرى لتقدير كمية المادة العضوية القابلة للتأكسد الموجودة فى عينة ماء، وذلك بالأكسدة الكيميائية الرطبة للعينة باستخدام عامل مؤكسد قوى. ويعبر عن الكمية المستخدمة من هذا العامل المؤكسد بمكافئ الأكسجين. ويطلق على الرقم الناتج الحاجة الكيميائية للأكسجين chemical oxygen demand ويرمز له بالرمز COD. تتم عادة قياسات BOD و COD والكربون العضوى الكلى لتحديد مدى التلوث العضوى الذى يسببه الإنسان للماء الطبيعى. ويعتمد احتياج الأكسجين فى الماء الملوث وفى ماء المجارى على محتواها من المواد العضوية، وعلى أى عامل اختزال غير عضوى يمكن أن يتفاعل مع الأكسجين المذاب. تعد المعلومات

المعروفة عن مواد عضوية محددة في المياه الملوثة قليلة باستثناء المعلومات المتاحة عن المبيدات الحشرية والمنظفات الكيميائية التي تتسرب إليها.

سبق أن تعرضنا باختصار إلى مكون هام، جرت العادة بتحديدته في الماء وهو كمية المواد الصلبة الكلية المذابة (TDS) total dissolved solids وهذه يمكن تحديدها بعدة طرق:

- وزن الراسب المتخلف الجاف dry residue الناتج من تبخير جزء معين من عينة المياه (وهو ما يشير المصطلح إليه).

- قياس درجة التوصيل النوعي specific conductance للعينة، حيث تعتمد درجة نقل أو توصيل التيار الكهربى في عينة الماء على كمية الأيونات المشحونة في المحلول. لهذا، فإن درجة التوصيل النوعي هي وسيلة لقياس تركيز الأيونات أكثر منها تعبيراً عن وزن المواد الصلبة الكلية الذائبة.

وعموماً، فإن الفارق في القيمتين بين الطريقتين يكون عادة محدوداً. وقد لوحظ أنه في المحاليل البسيطة، مثل مياه معظم الأنهار، توجد علاقة مباشرة بين درجة التوصيل النوعي وكمية المواد الصلبة الكلية الذائبة المحددة بالتبخير. أما بالنسبة للمحاليل المعقدة التركيب، مثل مياه البحر، فإن هذه العلاقة لا تستمر. وهناك طريقة أخرى لتقدير كمية المواد الصلبة الكلية المذابة، وذلك بجمع القيم المحددة للكاتيونات والأيونات بطرق التحليل الكيميائي المعتادة. ومن الناحية النظرية، فإن الكمية المحددة بهذه الطريقة لابد وأن تتفق مع الكمية المحددة بالتبخير، ولكن الواقع يشير إلى الحصول على نتائج مختلفة. ترجع أهمية تحديد قيمة المادة الصلبة المذابة إلى أنها توضح البيئة القديمة والحالية للمياه، حيث تعطى التجوية الشديدة للمعادن والصخور القابلة للذوبان في منطقة ما قيماً مرتفعة لهذه المواد. كذلك تميل المياه الموجودة في مناخ جاف إلى ارتفاع محتواها من المواد الصلبة المذابة، نتيجة قلة التخفيف بماء المطر وارتفاع أكثر نتيجة زيادة معدل البخر. وعندما تزداد نسبة هذه المواد، فإنه يفضل قياس كثافة عينة الماء، خاصة أن قيمة الكثافة تساعد إذا ما رغبتنا في تحويل القيم التحليلية من "وزن لحجم معين" إلى أجزاء من المليون.



ومن القيم التى تتضمن أحيانا فى التحاليل الكيميائية للماء ما يسمى بالقلوية alkalinity، وهى كمية تتحدد من القيم المعطاة فى تحليل الماء لأيونات الكربونات والبيكربونات. تدل القلوية كيميائياً على قدرة محلول ما على معادلة الأحماض (بالتفاعل مع أيونات الهيدروجين). وعليه، فإن أى أيون موجود فى المحلول ويمكنه التفاعل مع أى حمض يضاف للماء يعد جزءاً من القلوية الكلية. وبالنسبة للمياه الطبيعية، فإن أهم أيونات القلوية هى أيونات الكربونات والبيكربونات، ولذلك تُحدد القلوية عادة من مجموع تركيز هذين الأيونين. وعادة ما يتم القياس الفعلى للقلوية عن طريق معايرة titration عينة الماء، وقد يتسبب فى هذه الحالة، وجود بعض الأيونات فى رفع القيمة الكلية للقلوية. وعليه، فإنه بالنسبة لبعض أنواع المياه تكون القيم المقدرة من مجموع أيونات الكربونات والبيكربونات غير صحيحة.

وهناك مصطلح آخر كثيراً ما يذكر فى تحاليل المياه وله علاقة غامضة بالقلوية وهو مصطلح "عسر الماء" water hardness، وهو لفظ قديم يعنى للعامة سلوك الماء عند غليانه أو إضافة الصابون إليه. فبعض العناصر مثل الكالسيوم والمغنسيوم الموجودة فى الماء العسر hard water تتفاعل مع الصابون لتكوين مركبات غير ذوابة تعمل على إيقاف وتثبيته التنظيفية (يستنفد). كذلك فإن غلى الماء العسر فى الغلايات مثلاً ينتج عنه ترسب طبقة من كربونات الكالسيوم والمغنسيوم وكبريتات الكالسيوم وأملاح أخرى كانت ذائبة فى الماء. وعليه، يمكن تعريف العسر بأنه إشارة إلى الأثر الكلى لعدد كبير من المكونات الذائبة فى الماء. تتلخص الخطوات العادية لتقدير عسر الماء فى إضافة القيم المحددة لأيونى الكالسيوم والمغنسيوم فى التحليل الكيميائى، ثم ضرب الناتج فى 50 (نصف الوزن الجزيئى لكربونات الكالسيوم)، ثم ترصد القيمة الناتجة "عسر فى شكل كربونات الكالسيوم hardness as  $\text{CaCO}_3$ " فى وحدات ملجرام / لتر. فإذا زادت قيمة العسر عن قيمة القلوية، فإن القيمة الزائدة ترصد فى شكل "عسر غير كربوناتى non-carbonate hardness". وليس لقيم العسر المعطاة فى التحاليل الكيميائية أهمية جيوكيميائية تذكر، ولكنها قيمة توضح على الأقل سلوك الماء عند استخدامه فى الأغراض العادية.

والحموضة acidity قيمة أخرى تذكر فى تحاليل المياه بأنها تعبير عن كثرة الماء على التفاعل مع أيونات الهيدروكسيل. وهناك عدد من الأيونات يمكن أن تسبب الحموضة



مثل  $\text{H}^+$ ,  $\text{Fe}^{2+}$ ,  $(\text{HSO})_4^-$  وليس لقيمة الحموضة أية أهمية جيوكيميائية ولكنها ترمد في كثير من تحاليل المياه. وتقدر أحيانا بأنها كمية كربونات الكالسيوم اللازمة لمعادلة حجم معين من عينة الماء.

## الماء والبيئة

رغم الزيادة المطردة في احتياج الإنسان للمياه العذبة، حتى أنه اضطر في أماكن كثيرة من العالم إلى إزالة ملوحة (إعذاب) مياه البحر لمقابلة احتياجاته، فإنه لم يهتم كثيراً بالمحافظة على نظافة تلك المياه سواء العذبة أو الملحة، وأخذ يعرض الوسط المائي كله لمشتى أنواع الملوثات الناتجة من زيادة الكثافة السكانية وتنوع الأنشطة الصناعية والزراعية. كان من نتائج هذا الإهمال، أن ظهرت أعراض التدهور في معظم مستودعات المياه في العالم بسبب فقدان القدرة على التخلص من الملوثات.

يمكن تحديد المشاكل البيئية المتعلقة بالماء إلى مشكلتين رئيسيتين غير منفصلتين، بل قد تترتب إحداها على الأخرى باختلاف الموقع والزمان، وهما مشكلة تلوث المياه ومشكلة نضوب الموارد المائية اللازمة لحياة البشر. ونظراً لأن الماء هو أثمن الموارد التي أتعم الله بها على البشرية جمعاء، لذلك يفترض أن يحظى الماء باهتمام الإنسان وتقديره، فيسعى للحفاظ على الخزانات المائية الطبيعية ويصون نقاءها. إلا أن شعوباً كثيرة في أصقاع الأرض قد أبدت ضرورياً من الإهمال وقصر النظر، مما عرضها لأخطار جسيمة قد تتسبب في فنائها.

يمكن تعريف تلوث الماء بوجود مواد غريبة عن تركيبه العادي بكميات تعوق استخدامه للأغراض المختلفة كالشرب، والرى، والتبريد، أو فقدان صلاحيته لمعايشة الكائنات الحية التي اعتادت الحياة فيه مثل الأسماك وكل أنواع الحياة البحرية. وتنقسم أنواع التلوث المائي إلى قسمين رئيسيين (مونتجمري 1995):

- 1- تلوث ناتج عن الأنشطة الصناعية المختلفة والتخلص من نواتجه ومنتجاته، بعد فترة قد تطول أو تقصر من حدوثه. وطبيعة هذا التلوث كيميائية بالدرجة الأولى، إذ تتكون هذه المخلفات من مواد فلزية، وأملاح، وأحماض، بالإضافة إلى مواد كيميائية يستخدمها الإنسان

ولكنها ضارة، مثل الأسمدة والمبيدات. وتعد الملوثات الكيميائية أخطر أنواع التلوث، إذ يشكل كثير من الفلزات وألاحها له خطورة بالغة على صحة الإنسان، فبعضها سام مثل الرصاص والزرنيق والكاديوم، ويتسبب وجودها، حتى بكميات ضئيلة، في إلحاق أمراض خطيرة به. كما أن هناك مواد مثل الورق والزجاج وبعض اللدائن قد لا تسبب أخطارا، ولكن كونها مواد قابلة للتحلل يجعل كثرتها تسبب أخطارا محتملة، شأنها في ذلك شأن العناصر غير السامة، مثل الكالسيوم والمغنسيوم والصوديوم والحديد والنحاس، التي تمثل أيضا خطورة على الصحة إذا تجاوزت تركيزاتها حدا معينا. وهناك من العناصر ما يسبب تسمم النباتات أو ظهور نباتات مائية ضارة. تنتقل معظم هذه المخلفات إلى المجارى المائية أو البحيرات بوساطة المياه السطحية التي تلامسها أو أنابيب الصرف. ولقد أصبحت قضية التخلص من النفايات الصناعية السامة مشكلة بالغة الخطورة بعد أن لجأت بعض المؤسسات إلى التخلص من مخلفات الصناعة الخطرة بتخزينها في حاويات معدنية وإلقائها في البحار أو الأنهار العميقة. تمثل هذه الحاويات في حقيقتها قنابل موقوتة تنفجر عندما تتآكل بفعل الصدأ. ومن أمثلة هذه الكوارث ما تعرضت له منطقة لف كنال Love Canal في ولاية نيويورك بالولايات المتحدة الأمريكية، وهي مؤشر لخطر داهم يهدد البشرية إذا لم تتصدى له بحزم وموضوعية.

2- تلوث عضوى ناتج عن المخلفات البشرية والحيوانية إضافة إلى ما يتخلف عن المحاصيل الزراعية من مكونات ليفية قد تصل إلى نصف المحصول، وينتج أيضا عن مخلفات الإنسان والحيوان من البكتيريا الضارة أو الفيروسات أو الطفيليات وهي المعروفة بالمتعضيات المجهرية الممرضة pathogenic microorganisms والمسببة للكوليرا والتيفويد والدوسنتاريا، وذلك من خلال اختلاط مكونات الصرف الصحى بمصادر مياه الشرب الجارية (الأنهار) أو خزانات المياه الجوفية. وعلى الرغم من أن بعض هذه المخلفات العضوية قابل للتحلل بيولوجيا biodegradable إلى عناصرها الأساسية، فإنها تطرح مشكلات جسيمة في بعض البلاد، إذ قد يؤدي التحلل العضوى المفرط إلى إستنفاد الأكسجين المذاب في مياه البحيرات والأنهار التي تستقبل هذه المخلفات.



هناك أنواع أخرى من التلوث تتفاوت في خطورتها، فمنها ما هو شديد الخطورة ولكنه محدود الحدوث، مثل التلوث الإشعاعي الناتج عن تعرب بعض نفايات المستشفيات ومراكز البحوث والمصانع التي تحتوى على عناصر مشعة ما زالت تصدر جسيمات من الألفا أو البيتا، ويمكن لبعض هذه العناصر أن يتسرب إلى جسم الإنسان عن طريق مياه الشرب الملوثة وخلافه. تتسبب مثل هذه العناصر، إذا استقرت في جسم الإنسان، في إحداث تدمير لكثير من أجهزته الحيوية أو تعطيلها. وهناك أيضا التلوث الفيزيقي مثل تلوث الماء بمواد عضوية وغير عضوية تظل عالقة وتؤدي إلى تغير لونه أو طعمه أو رائحته. ومن أمثله أيضا التلوث الناتج عن الارتفاع الموضعي في درجة حرارة الماء بجوار محطات توليد الكهرباء النووية والنمطية والمصانع نتيجة صب مياه التبريد في تلك الموضع. ويؤدي ارتفاع درجة الحرارة إلى نقص كمية الأكسجين المذاب في الماء مما يؤدي إلى الإضرار بالأحياء المائية.

تنتقل الملوثات إلى المياه بعدة طرق، منها ما هو مباشر يمكن تحديد موضعه ومحاولة التحكم فيه، ومنها ما هو غير مباشر، مثل التلوث عن طريق الجو بسبب الترسيب الحمضي (الأمطار الحمضية)، إذ يسبب هطول مثل هذه الأمطار غسل كثير من الأيونات الموجبة، وارتفاع تركيزها في بعض البحيرات والأنهار إلى درجة تهدد الحياة المائية من البقاء على قيد الحياة. ومن وسائل النقل غير المباشر للملوثات تحول جزء من أسمدة الأمونيا في المناطق الزراعية بفعل ميكروبات التربة إلى نترات قابلة للانحلال في أوساط التربة. وحيث إن النترات تتميز بحركية عالية، فإنها قد أصبحت إحدى الملوثات الرئيسية للمياه الجوفية.

ورغم أن درجة تلوث أية نوعية من المياه تعتمد أساسًا على كمية الملوثات المطروحة، فإن هناك عوامل لا تقل أهمية، منها إجراءات إزالة التلوث، وحضارية الشعوب ووعيها. وقد صاغ العالم السويسري فرنر ستوم Werner Stome قاعدة مفادها: أن حموله التلوث في حوض أى نهر من الأنهار تتوقف على عدد السكان في الحوض، ونصيب الفرد من الناتج القومي الإجمالي، وفعالية إجراءات إزالة التلوث، ومقدار تصريف النهر. ومع ذلك، وبالرغم من ارتفاع نصيب الفرد من الدخل القومي في كثير من دول العالم (المتقدم)،



وقلة عدد السكان، وتقدم تقنيات إزالة التلوث، فإن معظم أنهار هذه الدول ملوثة بالمخلفات التقليدية والصناعية، مما يدعونا إلى التأكيد على القيم، والتعاليم الإسلامية، والإنسانية التي تحترم طهارة الماء، وتمنع تلويثه أو إيذاء الآخرين.

لا تنسى الدعاء والصلاه ع النبي ♥

## مراجع الباب التاسع

المنهراوى، سمير و حافظ، عزة، 1997 المياه العذبة. القاهرة: الدار العربية للنشر والتوزيع.

Elben R. A. and W. R. Elben (1994) *The Encyclopedia of the Environment*. New York: Houghton Mifflin Company, 980 p.

Fairbridge R. W. (ed.) (1972a) *The Encyclopedia of Geochemistry and Environmental Sciences*. New York: Van Nostrand Reinhold Company, 1321 p.

Fairbridge R. W. (ed.) (1972b) *The Encyclopedia of Oceanography*. New York: Van Nostrand Reinhold Company, 1056 p.

Holland H. D. (1972) The geologic history of sea water - an attempt to solve the problem. *Geochim. Cosmochim. Acta*, 36, pp. 637-652.

Kitano, Y. (1975) *Geochemistry of Water*. Pennsylvania: Dowden Hutchinson.

Krauskopf K. B. (1979) *Introduction to Geochemistry* (2nd ed.). International student edition, Tokyo: McGraw-Hill Kogakusha, LTD. 617 p.

Livingstone D. A. (1963) Chemical Composition of Rivers and Lakes. *U.S. Geological Survey Prof. Paper*, 440G.

Mason B. and C. B. Moore (1982) *Principles of geochemistry*, (4th ed.), New York: John Wiley & Sons, 344 p.

Montgomery C. W. (1995) *Environmental Geology*, (4th ed.), Boston: Wm. C. Brown Publishers, 496 p.

Rubey W. W. (1951) Geologic history of seawater: an attempt to state the problem. *Geol. Soc. America Bull.*, 62, pp. 1111 - 1147.

Schmidt, V. A. (1986) *Planet Earth and the New Geoscience*, Dubuque, Iowa: Kendall/Hunt, 554 p.

United Nations Environmental Program (1992) *The International Conference on Water and the Environment*, Dublin.

# لا تنسي الدعاء والصلاه ع النبي



## الباب العاشر

### كيمياء الغلاف الجوى

♦ الغلاف الجوى

♦ نشأة الغلاف الجوى

♦ مصادر مكونات الغلاف الجوى

♦ العمليات المبددة للغلاف الجوى

♦ تلوث الغلاف الجوى

\* الملوثات الهوائية \* مصادر تلوث الهواء \* الآثار السلبية لتلوث الهواء



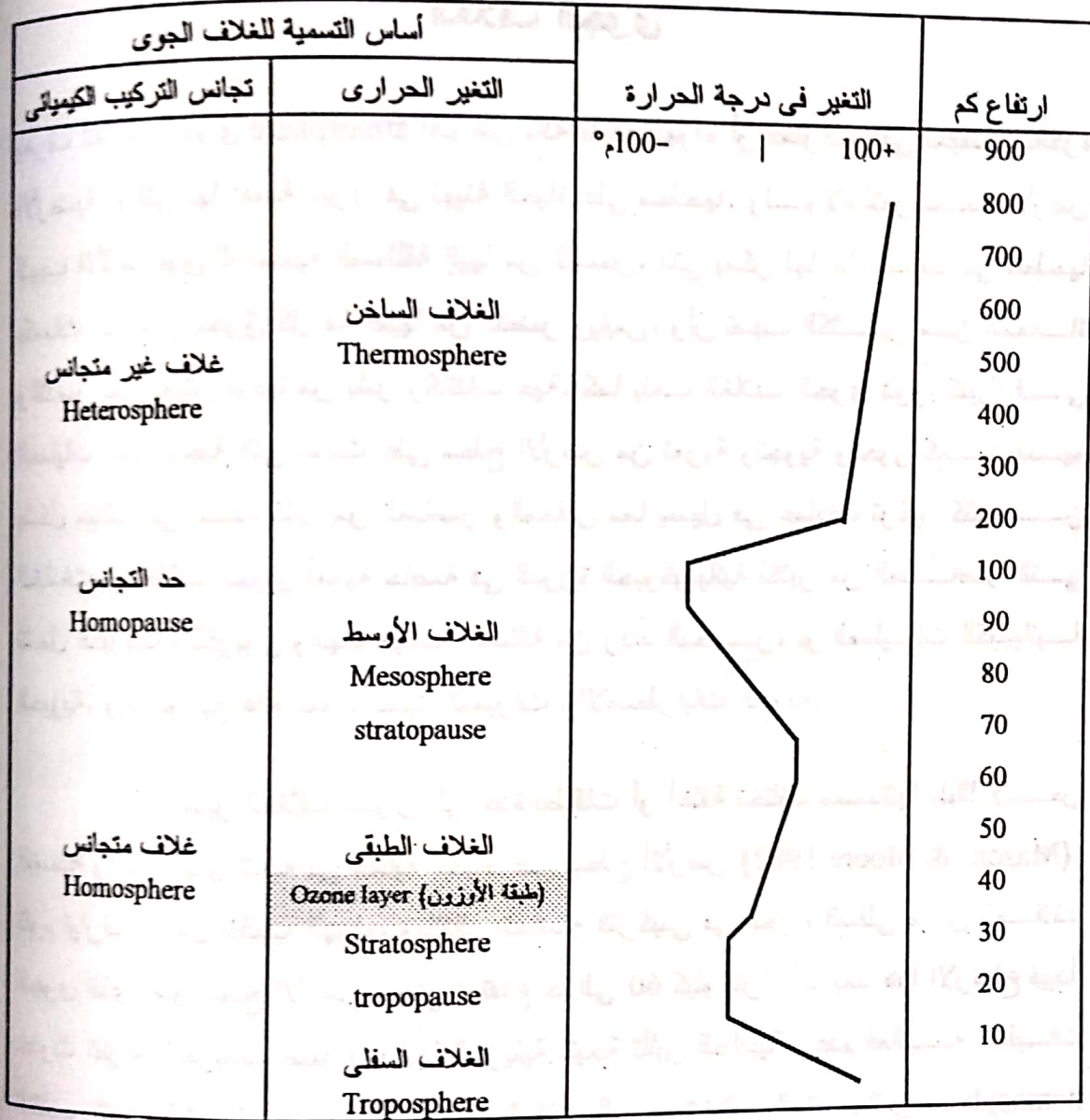
## الغلاف الجوى

يعرف الغلاف الجوى atmosphere للأرض بأنه طبقة الهواء أو الغازات التى تحيط بالكرة الأرضية، والتى لها أهمية كبرى فى تهيئة الحياة على سطحها. ولولاها لتعرضت الأرض للهبب الأشعة فوق البنفسجية المنطلقة إليها من الشمس، التى يمكن لها إذا وصلت إلى سطحها بكميات كبيرة أن تحرق كل ما عليها من أخضر ويابس، وأن تسبب الكثير من المعاناة والتدمير لمن يعيش فوقها من بشر وكائنات حية. كما يلعب الغلاف الجوى دوراً كبيراً فى العمليات الجيولوجية التى تحدث على سطح الأرض من تعرية وتجوية وتحور كما يسهم بشكل مباشر فى أكسدة كثير من العناصر والمعادن مما يسهل فى عمليات تركيز كثير من الخامات. وللغلاف الجوى أهمية خاصة فى الدورة الجيوكيميائية لكثير من العناصر التى تشمل الكبريت والكربون والهالوجينات المشتقة من رذاذ البحر، أو العمليات الكيميائية الحيوية. ويتم توزيع هذه المواد نتيجة التغيرات والاضطرابات الجوية.

يمكن تمييز الغلاف الجوى إلى عدة نطاقات أو أغلفة تختلف مسمياتها طبقاً لأسس التسمية والدور الذى تلعبه فى حماية الحياة على سطح الأرض (Mason & Moore 1982). تقوم تيارات الحمل بتقليب الهواء، وبالتالي تجانسه التركيبى فى الجزء السفلى من الغلاف الجوى الذى يعلو سطح الأرض وحتى ارتفاع حوالى 60 كيلومتراً. أما بعد هذا الارتفاع فيبدأ حدوث افتراق للجزيئات طبقاً لأوزانها الجزيئية نتيجة تأثير الجاذبية وعدم فعالية عمليات التقليب. لهذا يطلق على النطاق السفلى من الغلاف الجوى الغلاف المتجانس homosphere وهو النطاق الذى يحظى باهتمام الجيوكيميائيين لما يحدث بينه وبين الأغلفة الصخرية أو المائية أو البيولوجية من تفاعلات جيوكيميائية. أما النطاق الذى يعلو الغلاف المتجانس فيطلق عليه الغلاف غير المتجانس heterosphere، ويحظى عادة باهتمام أكبر من الجيوفيزيائيين، ويفصل الغلافين ما يسمى بحد التجانس homopause.

هناك تسمية أخرى تعتمد على التغير فى درجات الحرارة داخل الغلاف الجوى، وانعكاسات هذه التغيرات على تركيب أو طبيعة الهواء فى طبقاته السفلى، وطبقاً لشميدت

(1986 Schmidt) ينقسم الغلاف الجوى على هذا الأساس إلى النطاقات التالية (شكل 1-10):



شكل 1-10 مخطط تقريبي لطبقات الغلاف الجوى ومسمياتها والتغير الحرارى فيما بينها  
عن: بيانات من شميدت (Schmidt 1986) وماسون ومور (Mason & Moore 1982)

### 1 - الغلاف السفلى troposphere

وهو الجزء من الغلاف الجوى الذى يعلو الأغلفة الصخرية والمائية، وتتم فيه كل التغيرات الجوية، ولذا يسمى أحيانا نطاق الجو atmospheric zone ، ويبلغ سمكه فى المتوسط 13 كيلو مترا فوق سطح البحر عند خط الاستواء، ويتناقص هذا السمك فى اتجاه القطبين إلى 8-



7 كيلو مترات فقط. وتؤدى هذه الطبقة وظيفة غائية فى الأهمية، إذ تعكس إلى الأرض الحرارة المنبعثة منها إلى طبقات الجو العليا. تتناقص درجات الحرارة فى هذا النطاق تناقصا مطردا مع الارتفاع حتى تصل إلى حدها الأقصى عند ما يعرف بإسم الفاصل السفلى tropopause وعنده تصل إلى (-80°م) فوق خط الاستواء و (-55°م) فوق القطبين. يترتب على هذا الانخفاض المطرد فى الحرارة أن يتكاثف بخار الماء المتصاعد من الأرض ويعود إليها مرة أخرى، ولولا ذلك لفقدت الأرض مياهها عن طريق التبخر ثم الانفلات إلى طبقات الجو العليا ثم إلى خارج الجاذبية الأرضية حيث يضيع فى فسحة الكون الشاسع، ولفشلت بالتالى دورة المياه الأرضية فى الانتظام. ويساعد التدرج فى التغير الحرارى أفقيا ورأسيا فى الغلاف السفلى على إحداث توزيعات مناطق الضغط الجوى المرتفع والمنخفض مما يسبب حركة دائبة فى الكتل الهوائية تحفظه من التعفن وتساعد فى إحداث التأثيرات المختلفة على سطح الأرض.

## 2 - الغلاف الطبقي stratosphere أو الطبقة المتجانسة الحرارة isothermal layer

وهو الجزء من الغلاف الجوى الواقع فوق طبقة الجو السفلى، ويبلغ سمكه حوالى 50 كيلو مترا، وفيه تبقى درجة الحرارة ثابتة إلى ارتفاع حوالى 30 كيلومترا فوق سطح البحر، ثم تبدأ فى الارتفاع التدريجى بعد ذلك نتيجة انتشار طبقة الأوزون التى تقوم بامتصاص الأشعة فوق البنفسجية القادمة من الشمس، فتمنعها من الوصول إلى سطح الأرض، وبالتالي فهى تعمل كدرع يقى الأرض من لهيب تلك الأشعة.

## 3- الغلاف الأوسط mesosphere

وهو الذى يلي الغلاف الطبقي مباشرة إلى أعلى ويمتد من ارتفاع 60 كيلومترا فى المتوسط إلى ما يزيد عن 200 كيلومترا فوق سطح البحر. يبدأ هذا الغلاف بانخفاض تدريجى فى درجة الحرارة حتى تصل إلى حوالى -100°م عند ارتفاع حوالى 95 كم، ثم تظل درجة الحرارة ثابتة عند هذه الدرجة إلى ارتفاع يجاوز 200 كم فوق سطح الأرض، قبل أن تعاود ارتفاعها مرة أخرى. يفصل بين الغلاف الطبقي والغلاف الأوسط ما يسمى بالفاصل الطبقي stratopause ويحدده بداية التراجع فى درجة الحرارة. ويشتمل الغلاف الأوسط على طبقة التأين الرئيسية فى الغلاف الغازى للأرض وتعرف بإسم الغلاف أو النطاق المتأين ionosphere ، وله دور هام فى رد أو إرجاع موجات البث الإذاعي والتلفازي



بعملية انعكاس شبيهة بانعكاس الضوء من على سطح المرآة والتي تقوم الأقمار الصناعية حالياً بعمليات شبيهة لها، وإن كانت محدودة جداً نسبياً.

#### 4- الغلاف الحرارى *thermosphere*

وهو النطاق الخارجى *exosphere* المغلف للنطاقات الغازية الأخرى، ويمتد من نهاية الغلاف الأوسط إلى ارتفاع يصل إلى 32000 كم فوق مستوى سطح البحر. تزيد درجة الحرارة باضطراد فى هذا الغلاف حتى تصل إلى حوالى 200 م° حيث تثبت عندها قبل أن تبدأ مكونات الغلاف فى التحول بعد ذلك تدريجياً إلى حالة رقيقة جداً للمادة، تعرف باسم حالة البلازما، تملأ باقى المسافة بين الأرض والشمس التى تقدر بحوالى 150 مليون كم.

يتكون الغلاف الجوى السفلى الملامس لسطح الأرض، الذى يسبب آثاراً جيوكيميائية ملموسة لمكونات القشرة الأرضية، من عدد محدود من العناصر؛ إذ إن مكوناته الرئيسية هى النيتروجين والأكسجين والغازات النبيلة أو الخاملة وأهمها الأرجون، ومع ذلك، فرغم قلة الحجم النسبى لباقى الغازات، فإنها تقوم بدور رئيس ومؤثر فى جيوكيميائية الغلاف الجوى. ويعطى جدول 1-10 متوسط تركيب الغلاف الجوى حجماً (النسبة العددية للذرات والجزيئات) ووزناً وكتلة.

جدول 1-10 متوسط تركيب الغلاف الجوى عند سطح الأرض

| المركب                        | التركيب بالحجم<br>جم م | التركيب بالوزن<br>جم م | الكتلة الكلية<br>( $\times 10^{20}$ جم) |
|-------------------------------|------------------------|------------------------|---|
| N <sub>2</sub>                | 780900                 | 755100                 | 64838                                   |
| O <sub>2</sub>                | 209500                 | 231500                 | 84111                                   |
| Ar                            | 9300                   | 12800                  | 6550                                    |
| CO <sub>2</sub>               | 300                    | 460                    | 2330                                    |
| Ne                            | 18                     | 512                    | 6360                                    |
| He                            | 25                     | 720                    | 370                                     |
| CH <sub>4</sub>               | 51                     | 940                    | 430                                     |
| Kr                            | 1                      | 92                     | 1460                                    |
| N <sub>2</sub> O <sub>2</sub> | 50                     | 80                     | 400                                     |
| H <sub>2</sub>                | 50                     | 350                    | 20                                      |
| O <sub>3</sub>                | 40                     | 70                     | 350                                     |
| Xe                            | 80                     | 360                    | 180                                     |

عن: ماسون ومور (1982) (Mason & Moore).

يلاحظ هنا أن التركيب الكيميائى للهواء ليس فى حالة اتزان ساكنة، ولكنه يظل ثابتاً نتيجة توازن عمليات حركية. وهناك مصطلح تجدر الإشارة إليه عند التعامل مع تلك العناصر المتحركة أو المنفلتة وهو "متوسط مدة الحياة mean lifetime" الذى يعطى متوسط الزمن الذى يمكنه جزئ ما فى الغلاف الجوى. فمثلاً، يتم تدوير جزئ الأكسجين مرة كل ألفى عام، فى حين تقدر فترة مكوث جزئ ثانى أكسيد الكربون بثلاثين عاماً. أما للنيتروجين فتقدر مدة مكوث جزئ منه فى الغلاف الجوى بما يتراوح بين 10 و 100 مليون سنة قبل أن يتم استبداله. يرجع طول هذه المدة إلى صغر معدل التبادل إذا ما قورن بالكتلة الكلية للنيتروجين فى الغلاف الجوى.

### نشأة الغلاف الجوى

من الأسئلة التى استحوذت على اهتمام علماء الجيولوجيا منذ زمن بعيد سؤال عن "كيف نشأ الغلاف الجوى"، وهل كان موجوداً بتركيبه الحالى منذ خلق الله الأرض؟ أم أنه تكون لاحقاً بعد تكون الأرض؟ وماذا كان تركيبه عند النشأة الأولى؟ وما هى مسارات التغيير التى حدثت فى هذا التركيب وأسبابها وتوقيتاتها؟

سبق وأن أشرنا فى الباب الثانى إلى اتفاق معظم العلماء حالياً على تكون الجسم الأولى للأرض من تجمع واندماج جزيئات صلبة من الفتات الكونى. وعند تكونه لم يكن هذا الجسم محاطاً بأى غلاف هوائى بل كانت معظم الغازات مخزونة أو مطمورة داخل هذه الجزيئات الفتاتية، ثم انطلقت بفعل الحرارة والتفاعلات الكيميائية التى صاحبت وتلت عملية الاندماج. ولا يختلف أحد من العلماء الآن حول مصدر الغازات التى كونت الغلاف الجوى للأرض، فهناك شبه إجماع على أن مكونات هذا الغلاف قد خرجت كزفير exhalation من باطن الأرض. ويدلل على ذلك بتشابه وفرة العناصر فى المجموعة الشمسية solar system (منسوباً إلى السليكون) مع وفرتها الأرضية terrestrial abundance (منسوباً إلى



السليكون) كما هو موضح فى جدول 10-2 الذى يعرض مقارنة بين الوفرة النسبية لبعض العناصر فى الأرض وفى المجموعة الشمسية ككل، كما يعطى عامل النقصان deficiency factor فى الوفرة الأرضية على أساس افتراضى هو أن وفرة عنصر السليكون الذى يكون مركبات غير متطايرة ومستقرة متقارب جدا فى الأرض وفى المجموعة الشمسية ككل.

جدول 10-2 وفرة بعض العناصر فى الأرض وفى المجموعة الشمسية ككل

| نرات / 10000 نرة سليكون |             |                   |                      |                          |
|-------------------------|-------------|-------------------|----------------------|--------------------------|
| العنصر                  | الرقم الذرى | الأرض ككل<br>(أ)  | النظام الشمسى<br>(ب) | معامل النقصان<br>لو(ب/أ) |
| H                       | 1           | 84                | $10 \times 2.2^8$    | 604                      |
| He                      | 2           | $10 \times 3.5^7$ | $10 \times 1.4^7$    | 15                       |
| C                       | 6           | 71                | 94.000               | 3.1                      |
| N                       | 7           | 0.21              | 29.000               | 5.1                      |
| O                       | 8           | 35.000            | 280.000              | 0.9                      |
| F                       | 9           | 2.7               | 8                    | 0.5                      |
| Ne                      | 10          | $10 \times 1.2^7$ | 8.300                | 9.8                      |
| Na                      | 11          | 460               | 600                  | 0.1                      |
| Mg                      | 12          | 8.900             | 10.600               | 0.1                      |
| Al                      | 13          | 940               | 850                  | 0                        |
| Si                      | 14          | 10.000            | 10.000               | 0                        |
| P                       | 15          | 100               | 130                  | 0.1                      |
| S                       | 16          | 1.000             | 5.020                | 0.7                      |
| Cl                      | 17          | 32                | 57                   | 0.3                      |
| Ar                      | 18          | $10 \times 5.9^4$ | 220                  | 5.6                      |
| Kr                      | 36          | $10 \times 6^8$   | 0.87                 | 7.2                      |
| Xe                      | 54          | $10 \times 5^9$   | 0.015                | 6.5                      |

عن: هولاند (Holland 1978)



ويلاحظ أن الأرقام المعطاة فى العمود الأخير فى جدول 10-2 ليست لقيمة عامل النقصان المطلقة بل للوغاريتم هذه القيمة، وتحسب القيمة المطلقة لهذا العامل بقسمة الوفرة فى المجموعة الشمسية على الوفرة الأرضية. وعليه عندما تكون القيمة المطلقة واحداً صحيحاً ولوغاريتمها صفراً تكون تركيزات العنصر متساوية فى المجموعة الشمسية والأرض، أى لا يوجد نقصان أو إثراء. ويلاحظ أيضاً أن عدداً كبيراً من العناصر الشبيهة بالسليكون مثل الألومنيوم والصوديوم والمغنسيوم تعطى نفس قيم المعامل، مما يقوى من الافتراض المذكور. يظهر هذا الجدول أيضاً أن أكبر عامل نقصان هو للهيليوم يليه النيون ثم باقى الغازات الخاملة. وإذا كان تفسير نقصان الهيليوم سهلاً على أساس أنه غاز خفيف وخامل لا يدخل فى مركبات ويسهل انفصاله عن الجاذبية الأرضية، فإن تفسير نقصان العناصر الثقيلة من الغازات الخاملة فى الأرض ليس سهلاً، ويرتبط بشكل كبير بالنظريات المختلفة لنشأة الأرض. وتظهر أهمية التفاعلات الكيميائية على سطح الأرض فى تحديد عامل نقصان الهيدروجين، إذ إنه رغم كونه أخف من الهيليوم، إلا أنه أنشط كيميائياً، وأسهل اندماجاً فى المركبات الكيماوية، بالمقارنة بغاز الهيليوم الخامل الذى تقل كميته نتيجة إزاحته الكيميائية باستمرار. ويمكن تفسير التفاوت فى معاملات النقصان بين عناصر الأكسجين والنيتروجين والنيون بنفس الأسباب — التفاوت فى قدراتهم التفاعلية مع العناصر الأخرى فى البيئة السطحية للأرض.

ويمكن تقسيم المراحل التى مرت بها نشأة الغلاف الجوى إلى ثلاث مراحل:

### (1) المرحلة المبكرة

واستمرت لمدة 500 مليون سنة تقريباً بعد تكون الأرض (ما بين 4.5 و 4 بليون سنة مضت تقريباً) وقت كان الغلاف الجوى يتكون أساساً من غازى الميثان والهيدروجين بالإضافة إلى كميات أقل من بخار الماء والنيتروجين وثانى أكسيد الكبريت والأمونيا والأرجون والهيليوم فى ترتيب تنازلى للوفرة. وكان مصدر هذه الغازات الرئيس هو النشاط البركانى على سطح الأرض الذى تسببه التفاعلات النووية والحرارة الناتجة من التحلل الإشعاعى للعناصر المشعة، والتفاعلات الكيميائية فى باطن الأرض. يلاحظ هنا أن غاز الميثان لم تقذفه البراكين، ولكنه نتاج تفاعل غازى أول وثانى أكسيد الكربون الخارجا من

البراكين مع الهيدروجين، كذلك فإن غاز الأمونيا هو نتاج تفاعل النتروجين والهيدروجين. انتهت هذه المرحلة بتكون لب الأرض عن طريق انفصال سبيكة فلزي الحديد والنيكل وهبوطها بفعل الجاذبية تاركة وشاحا غنيا نسبيا بعنصر الأكسجين.

## (2) المرحلة الوسطى

واستمرت 2 بليون سنة (من 4 بليون حتى 2 بليون عام مضت تقريبا) وكان الغلاف الجوى خلالها يتكون أساسًا من بخار الماء والنيوتروجين وثنائي أكسيد الكربون، ونتيجة لحدوث تحلل ضوء كيميائي photochemical dissociation لبخار الماء في طبقات الجو العليا إلى هيدروجين وأكسجين، انفلت الهيدروجين أثناءها إلى الفضاء الخارجى لخفته، في حين اتجه الأكسجين إلى أسفل ليتحد مع الغازات الأقل تأكسداً، مثل أول أكسيد الكربون وثنائي أكسيد الكبريت بدلا من أن يتراكم كغاز حر. بدأت أثناء هذه الفترة صور من الحياة كالطحالب والبكتيريا في الظهور على الأرض في غلافها المائى، وازدهرت عدة أنواع منها وبدأت في إفراز الأكسجين بكميات جعلت تراكمه في الغلاف الجوى يزيد عن معدل استهلاكه في أكسدة المواد الأخرى خاصة الحديد المذاب في المياه. وتحدد نهاية هذه المرحلة ببداية ظهور الأكسجين الحر في الجو رغم ندرته البالغة وتركزه في بعض المناطق والتي أطلق عليها علماء البيئات القديمة واحات الأكسجين oxygen oasis .

## (3) المرحلة الأخيرة

واستمرت منذ 2 بليون سنة مضت حتى الآن. بدأت هذه المرحلة بزيادة معدلات تراكم الأكسجين تدريجًا مع ازدهار الكائنات البحرية الخضراء المولدة للأكسجين، التي وصلت إلى أوج انتشارها منذ حوالي 1200 مليون سنة مضت. يدل على وفرة الأكسجين الجوى في تلك الحقبة بداية ظهور الصخور الرسوبية غير البحرية، الحمراء اللون، بسبب غناها بالحديد وتعرف بالطبقات الحمراء red beds. ورغم التراكم المتزايد للأكسجين، فإنه لم يكن كافيا لظهور الكائنات متعددة الخلايا، التي تتنفس بالأكسجين aerobics. ويحدد ظهور هذه الكائنات، منذ حوالي 600 سنة مضت، نهاية دهر ما قبل الكمبرى وبداية حقبة الحياة القديمة، وارتفاع مستوى الأكسجين في الغلاف الجوى لمستويات قريبة مما هي عليه الآن.



### مصادر مكونات الغلاف الجوى

مما سبق يمكن تحديد المصادر التى كونت الغلاف الجوى للأرض على مدى عمرها المقدر بأربعة ونصف بليون عام بالآتى:

- الأنشطة البركانية
- تحلل بخار الماء
- عمليات التمثيل الضوئى وما تخرجه من أكسجين
- نواتج التحلل الإشعاعى من هيليوم وأرجون
- نواتج التحلل العضوى للكائنات الحية

وتتفاوت الكميات الناتجة من كل من هذه المصادر. فبينما تعد الأنشطة البركانية أهم المصادر على الإطلاق وأكثرها إضافة إلى مكونات الهواء، تعد نواتج التحلل العضوى مصدرا ثانويا لغازات الهواء. ويعد بخار الماء المكون الرئيس فى نواتج الأنشطة البركانية، غير أن هذا المكون يتكثف بسرعة ليضاف إلى الغلاف المائى مع ما قد يحمله من مكونات أخرى مذابة أو مختلطة مثل الأبخرة الحمضية. يلى بخار الماء فى الكم ثانى أكسيد الكربون كأحد نواتج الأنشطة النارية المضافة للهواء، والذى يُعد فى غالبية من أصل أولى وليس نتيجة تفاعلات الصهارة مع الصخور الكربونائية.

ورغم الكم الهائل من بخار الماء الذى يتحلل فى طبقات الجو العليا إلى هيدروجين ينفلت إلى الفضاء وأكسجين يضاف إلى الهواء، إلا أن كمية الأكسجين الرئيسة فى الجو هى نتاج عملية التمثيل الضوئى، وقد قُدرت كمية الأكسجين التى أُضيفت نتيجة هذه العملية بحوالى  $181 \times 10^{20}$  جم، وقد بنى هذا التقدير على حسابات أخذت فى الاعتبار كم الكربون العضوى الموجود فى الصخور الرسوبية.

ويعود مصدر الهيليوم إلى نواتج التحلل الإشعاعى لعنصرى اليورانيوم والثوريوم، أما الأرجون فهو نتاج تحلل نظير  $^{40}\text{K}$  الذى يتحلل بالأسر الإلكتروني إلى  $^{40}\text{Ar}$  وهو النظير الذى يشكل أكثر من 99.6% من الأرجون الجوى.



## العمليات المبددة للغلاف الجوى

هناك العديد من العمليات المبددة للغلاف الجوى منها:

- تبدد الأكسجين فى أكسدة الكثير من المواد مثل الهيدروجين والحديد والكبريت والمنجنيز.
- تبدد ثانى أكسيد الكربون فى تكوين النباتات بعملية التمثيل الضوئى وتحولها بعد ذلك إلى فحم وبترول وكربون منثور بعد موتها وتحللها. كما يبدد ثانى أكسيد الكربون أيضا بالإذابة فى ماء البحر ثم تثبيته على شكل معادن كربونائية.
- تبدد النتروجين بتثبيته فى التربة بوساطة البكتريا وفى أكسدة مكونات النتروجين الغازية بالجو.
- تبدد الهيدروجين والهيليوم بالانفلات إلى الفضاء الخارجى خارج الجاذبية الأرضية.

## تلوث الغلاف الجوى

بقى الغلاف الجوى للأرض منذ بداية تكونها عرضة للتغير سواء من حيث تركيبه أو درجة حرارته أو قدرته على تنظيف نفسه، إلا أن سرعة هذا التغير قد فاقت خلال القرنين الماضيين جميع معدلات التغير فى التاريخ البشرى، ويعود ذلك إلى الأنشطة الحياتية للإنسان وما سببته من تغير لنقاء الهواء، أو ما حدث من خلل فى عمليات التنقية الذاتية للهواء. ويعرف تلوث الهواء بأنه إدخال مباشر أو غير مباشر لأى مادة فى الغلاف الجوى بالكمية التى تؤثر على نوعية الهواء وتركيبه بحيث تتجم عن ذلك آثار ضارة على الإنسان، والبيئة، والأنظمة البيئية، ومواد التشييد، والموارد الطبيعية، وعلى إمكانية الانتفاع من البيئة. وبوجه عام، يشمل التلوث العديد من الظواهر والنشاطات التى تؤدى فى النهاية إلى تدهور النوعية الطبيعية للهواء. وفى معناه الدقيق، يُعرف تلوث الهواء بأنه انبعاث الملوثات الصلبة، والسائلة والغازية فى الهواء، كما يعد انبعاث أى نوع ضار من الطاقة فى الهواء ملوثاً فيزيقياً للهواء، ويدخل فى هذا الإطار أشكال كثيرة من الطاقة الحرارية والإشعاعية.

## الملوثات الهوائية

هناك أكثر من تصنيف لملوثات الهواء، إذ قد يعتمد التصنيف على الخواص المختلفة أو المشتركة للملوثات كخواصها الفيزيائية أو الكيميائية، أو ما قد تحدثه من مؤثرات فى البيئة المحيطة، أو قد يستند على طريقة إزالتها أو فصلها أو تنقيتها، أو قد يعتمد على طريقة انتشارها من مصادرها.

تصنف ملوثات الهواء حسب خواصها الفيزيائية إلى:

### • ملوثات صلبة

وتشمل ما يحمله الهواء من دقائق صلبة لمواد مختلفة تشكل مع الهواء ما يعرف بالغبار. وتختلف هذه الملوثات فى نوعها باختلاف مصادرها، كما تختلف أيضا فى حجم ذراتها وتأثيرها على البيئة وما عليها. وتصنف ملوثات الهواء الصلبة استنادا على احتوائها مواد سامة أو خلوها منها إلى نوعين رئيسيين:

أ. ملوثات تحتوى على مواد سامة ونشطة حيويًا أى لها تأثير ضار على الأنسجة النباتية أو الحيوانية، وتشمل هذه المواد العناصر الثقيلة (البعض يطلق عليها خطأ المعادن الثقيلة) وغيرها من مواد نشيطة، ومن أمثلتها: الزرنيخ، المنجنيز، الرصاص، الزئبق، السيانيد، والمواد المشعة.

ب. ملوثات لا تحتوى على مواد سامة وتصنف بدورها حسبما تحتوى عليه من مواد وأثار لتلك المواد إلى:

■ ملوثات تسبب تلف الأنسجة وتتكون من مواد مثل الأسبستوس، والفوسفات وذرات الفحم الأسود.

■ ملوثات تحتوى على مواد مسببة للحساسية مثل غبار القطن، القنب، الصوف، الريش، الجير المحروق والليف الزجاجي.

■ ملوثات لا تسبب الآثار المذكورة آنفا كالرمال وغيرها من المواد.

وتعتمد كمية الغبار (الهواء بما يحمله من ملوثات) في الغلاف الجوى الخارجى على عدة عوامل كسرعة الرياح، والرطوبة، وكمية الغبار السطحى، وكثافة مصادر الغبار الطبيعية، ويقدر متوسط تركيز الغبار بالوزن في الهواء غير الملوث بحوالى 20 ميكروجرام في المتر المكعب.

### • ملوثات غازية

وتشمل العديد من المكونات التى تختلط بمكونات الهواء وهى تختلف في تركيزها، ونوعيتها، وتركيبها الكيميائى باختلاف مصادرها. ومن أمثلة هذه المجموعة أول وثانى أكسيد الكربون، الميثان، أكسيد النيتروجين، الأمونيا، أكسيد ومركبات الكبريت، مركبات الكلورفلوروكربون والمواد الهيدروكربونية، والأبخرة العضوية.

ويُعد ثاني أكسيد الكربون، لما يترتب على زيادته في الغلاف الجوى من تأثير سلبي على مناخ الأرض، من أخطر ملوثات الهواء في الوقت الحاضر على المستوى العالمى. ورغم أن تركيز هذا الغاز قد لا يتجاوز في أكثر المناطق تلوثاً بضع أجزاء في البليون إلا أنه يفوق في خطورته أى ملوث آخر. ومن الملوثات الغازية ذات الخطورة البالغة غاز ثانى أكسيد الكبريت رغم أن نسبته في معظم أحوال التلوث لا تتجاوز 50 جزء في البليون، إلا أن له دوراً مؤثراً في تكون الأمطار الحمضية وفي تآكل المعادن والمباني والمنشآت، كما أنه يسبب الكثير من أمراض الحساسية خاصة في الأنسجة الرقيقة كالعين والرتتين. أما غازات أكاسيد النيتروجين فلها أيضاً دور هام في تكوين الأمطار الحمضية وفي تشكيل ما يسمى بالضباب الدخانى smog الضوء كيميائى الذى ينتج من تفاعلات كيميائية تستحثها الشمس في الغلاف الجوى. أما مركبات الكلورفلوروكربون التى لا تتجاوز نسبتها مجتمعة في الغلاف الجوى جزءاً واحداً في البليون فيعزى إليها التسبب في تدمير طبقة الأوزون بالغلاف الطبقي. ويتوقع الخبراء زيادة سريعة في حرارة الأرض من جراء زيادة ظاهرة الاحتباس الحرارى أو اشتداد مفعول الدفيئة (أو البيوت النباتية) greenhouse effect نتيجة زيادة نسبة ثاني أكسيد الكربون الذى يمتص الأشعة تحت الحمراء من سطح الأرض المسخن بواسطة الشمس ثم يقوم هذا الغاز وغيره برد الإشعاع ثانية إلى الأرض.



## • ملوثات سائلة

ويوجد تداخل كبير بينها وبين الملوثات الغازية إذ تؤدي بعض التفاعلات الفيزيائية أو الكيميائية إلى تحول الملوثات الغازية إلى سائلة أو العكس. ولعل أكثر ما ينتج عن هذه التحولات ما يسمى بالمطر الحمضى الذى يحتوى على حمضى الكبريتيك والنيتريك. ويتكون حمض الكبريتيك فى بخار الماء الموجود فى الجو نتيجة لأكسدة ثانى أكسيد الكبريت الذى ينبعث بكميات كبيرة من مصادر إنتاج الطاقة الكهربائية، كما يتكون حمض النيتريك، تحت الظروف نفسها، نتيجة لأكسدة أكسيد النتروجين الذى تشكل عوادم وسائل المواصلات المصدر الرئيس له.

تقدر ملوثات الهواء الغازية بنحو 90% من مجموع الملوثات التى تقذف فى الهواء، أما الملوثات الصلبة والسائلة فتشكل نحو 10%. ويقدر وزن ملوثات الهواء الغازية والسائلة والصلبة التى تتخلل غلاف الأرض الجوى سنويا بنحو  $10 \times 3^{12}$  كجم.

## مصادر تلوث الهواء

نقسم مصادر تلوث الهواء إلى:

### 1- مصادر طبيعية

وتشمل ما تقذفه البراكين من غازات وأبخرة ورماد بركانى، وما تولده الرياح من أتربة، وما تنقله من غازات وميكروبات، وما يتساقط من الشهب والغبار الكونى الذى يقتر بما يتراوح بين ألف وعشرة آلاف طن يوميا، وما يخرج من غازات هيدروكربونية فى مناطق ضخ البترول، وما يترتب على إحراقها من دخان وجسيمات كربونية، وهو ما يمكن أن ينتج أيضا من حرائق الغابات.

### 2- مصادر بيولوجية

ناجمة عن الأنشطة البيولوجية للإنسان والحيوان، وهى متشعبة وتشكل أهمية أكبر من المصادر الطبيعية، وذلك لضخامة ما تقذف به هذه النشاطات من ملوثات فى الهواء وخطورتها على البيئة، ويساهم نشاط الإنسان كمصدر للتلوث بنحو 10% من التلوث الكلى

للهواء. ولا يعنى ذلك أن المصادر الطبيعية تفوق مصادر الأنشطة البيولوجية للإنسان فى تلويث الهواء، ذلك أن هذه الأخيرة تفوق فى خطورتها الملوثات الطبيعية، كما أنها تقذف بتركيز عال جدا فى مناطق محصورة وفترات زمنية محدودة. ومن المتوقع ألا يمر وقت طويل حتى يتجاوز ما يصدره الإنسان نتيجة أنشطته المعيشية من ملوثات للهواء ما تصدره المصادر الطبيعية فى هذا الشأن. ويقدر ما ينتجه الفرد من ملوثات فى بعض الدول المتقدمة صناعيا مثل أمريكا وألمانيا وفرنسا بحوالى 400 - 1000 كجم فى العام، أى نحو ثلاثة أضعاف ما يحمله الهواء من ملوثات من مصادر التلوث الطبيعية السائدة بهذه الدول فى الوقت الحاضر.

وتعد الصناعة أهم مصادر تلوث الهواء الناتجة عن النشاط البشرى يليها حرق الوقود الأحفورى (الفحم والبتروول والغازات الطبيعية) فى وسائل النقل والمواصلات، أو فى إنتاج الطاقة بأنواعها المختلفة. وقد نتج عن التنافس الصناعى بين الدول الكبرى مشاكل بيئية خطيرة، إذ تقذف مصانعها بأنواع عديدة من ملوثات الهواء التى تختلف أنواعها باختلاف الصناعة، فمنها ما يقذف بالغازات الضارة، ومنها ما يقذف بالغبار الذى يحتوى على الملوثات الصلبة السامة أو المتلفة للزراعة وأعضاء الإنسان الحيوية. ومن أمثلة الملوثات الناشئة عن النشاطات الصناعية وتوليد الطاقة الزئبق، وهباب الفحم وغبار مصانع الأسمنت والتى تتسبب فى زيادة النباتات فى المناطق المجاورة لخطوط إنتاجها، ناهيك عما تسببه من أمراض مزمنة لقاطنى تلك المناطق. تسهم وسائل النقل والمواصلات كذلك بدور رئيس فى تلوث الهواء إذ تطلق من الغازات الملوثة حوالى 60% من مجموع الغازات الملوثة للهواء، يأتى فى مقدمتها غاز أول أكسيد الكربون وأكسيد النيتروجين والرصاص وثانى أكسيد الكربون وغيرها من المواد الضارة الأخرى.

وتعد محطات توليد الكهرباء التى تستخدم الوقود الأحفورى فى مقدمة مصادر التلوث البيئى، وتشكل الملوثات الناتجة عن احتراق الوقود خطرا كبيرا على البيئة المحيطة. وفى هذا المجال يعد الاحتراق غير الكامل للوقود أكثر خطورة من الاحتراق الكامل، وذلك لأنه يتسبب فى إنتاج غاز أول أكسيد الكربون السام، بالإضافة إلى الغازات الأخرى التى ينتجها الاحتراق الكامل، مثل: ثانى أكسيد الكربون، بخار الماء، وبعض أكاسيد الكبريت



والنروجين التى تعد أقل خطورة نسبيا. وهناك العديد من الغازات الأخرى كالنشادر وكبريتيد الهيدروجين التى تقذفها بعض هذه المحطات.

وتعد المصادر التى تلوث الهواء بالمواد المشعة من المصادر الأكثر خطورة على البيئة، وتشمل تلك المصادر المفاعلات النووية، والمصادر الإشعاعية المستخدمة فى الطب والصناعة، ومخلفات أعمال التعدين والطحن والتركيز فى مناجم اليورانيوم، والتى يمكن أن تسهم فى تلوث الهواء بغاز الرادون المشع والذى يتسبب فى أضرار بيئية كبيرة إذا تجاوز حدا معيناً..

### الآثار السلبية لتلوث الهواء

لاشك أن تلوث الهواء يورق الكثير من العلماء والمفكرين نظرا للدلائل المتزايدة على إجهاد الغلاف الجوى وما يسببه من آثار سلبية على البيئة. يعتمد الضرر الناتج عن تلوث الهواء على عوامل عديدة منها كمية الملوثات وتركيزها فى الهواء وفى الجسم المستقبّل لها، ونوعية الملوثات، ونوعية الضرر الذى قد ينجم عنها، وقابلية الجسم للتأثر بها. ويمكن حصر أهم الآثار السلبية لتلوث الهواء فيما يلى:

- ثقب الأوزون الذى تكون فوق القارة القطبية الجنوبية نتيجة انبعاث كميات كبيرة من غازات التتراكلوروكربون ، وهو مثال لما يمكن أن تفاجئنا به الطبيعة من أضرار ما كانت تخطر ببال العلماء أو يتوقع حدوثها بمثل هذه السرعة.
- ظاهرة الاحتباس الحرارى أو الدفيئة وما تسببه من ارتفاع درجة حرارة الأرض بشكل لم يسبق له مثيل نتيجة لتغيير كيميائية الغلاف الجوى.
- تأثير تلوث الهواء بمواد كيميائية على حياة الإنسان وصحته، وعلى الغلاف الحيوى، وعلى الموارد الطبيعية، وبشكل خاص المياه والتربة. كما يسبب تلوث الهواء خسائر اقتصادية تتمثل فى ازدياد معدل الأمراض التى تؤدى إلى تعطّل القوى المنتجة وإلى ازدياد معدل استهلاك واستيراد الكثير من الأدوية والعقاقير.



• تأثير تلوث الهواء على الغطاء النباتي والزراعة فينتج عن ذلك انحصار الغابات وانخفاض الإنتاج الزراعي والحيواني.

• تأثير تلوث الهواء الملبي على المباني ومواد البناء والمعادن، إذ يقلل من عمر المباني ويزيد من تآكل المعادن والمنشآت مما يزيد في ارتفاع تكلفة صيانتها المتكررة.

• يؤثر تلوث الهواء سلبيا على استقرار حياة الإنسان بما يسببه من اضطراب في الظروف البيئية التي تلائم حياته وأنشطته المختلفة. وتنعكس هذه الآثار في ترك العمل والسكان للمناطق الملوثة والهجرة منها الأمر الذي يترتب عليه أضرار نفسية وعصبية كثيرة.

إن حل مشكلة تلوث الغلاف الجوي للأرض يتطلب عملا عالميا مشتركا، بكل ما تعنيه هذه الكلمة، يشترك فيه علماء البيئة وفي مقدمتهم الجيوكيميائيون، والمتخصصون، والقياديون، وحتى الأفراد العاديون، اشتراكا فعالا. كما يتعين على الدول الصناعية المتقدمة أن تخفض من استغلالها غير المتوازن لموارد الأرض، وأن تحسن النسبة بين ما تنتجه مصانعها من منتجات تحقق الرفاهية لشعوبها وبين ما تنتجه هذه المصانع من ملوثات تضر بها شعوب كثيرة تنقسم الغلاف الجوي للأرض. وعلى دول العالم أن تعيد النظر في القيم والمعتقدات والتصرفات التي تحكم تقويم قضية البيئة وأثارها على شعوب الأرض قاطبة. كما يتعين على الدول الصناعية المتقدمة مساعدة الدول النامية على رفع مستوى حياة شعوبها بتبني تقنيات ووسائل معيشية سليمة بيئيا، وأن تنقسم أو تتسق معها في تبادل أي معلومات أو تقنيات من شأنها أن تخفف من الآثار السلبية للتلوث البيئي.

لا تنسى الدعاء والصلاه ع النبي

مراجع الباب العاشر

- Holland H. D. (1978) *The Chemistry of Atmosphere and Oceans*. New York : John Wiley & Sons, 351 p.
- Mason, B. and Moore, C. B. (1982) *Principles of Geochemistry*, (4th ed.), New York : John Wiley & Sons, 344 p.
- Schmidt, V. A. (1986) *Planet Earth and the New Geoscience*. Dubuque, Iowa Kendall/Hunt Publishing Company, 554 p.

مراجع للاستزادة

- Berkner, L. V and Marshall, L. C. (1964) The history of growth of oxygen in the Earth's atmosphere, in Brancazio, P. J. and Cameron, A. G. W. (eds.), "*The Origin and Evolution of Atmospheres and Oceans*" New York : John Wiley & Sons, Inc., pp. 102 - 126.
- Drake, B. G. (1993) The effect of rising atmospheric carbon dioxide on the growth of vegetation and the accumulation of carbon in terrestrial ecosystems, *Oil & Arab Cooperation*, 18, No. 64.
- Elben, R. A. and Elben, W. R. (1994) *The Encyclopedia of the Environment*. New York : Houghton Mifflin Company, 980 p.
- Fairbridge, R. W. (ed.) (1972) *The Encyclopedia of Geochemistry and Environmental Sciences*, New York: Van Nostrand Reinhold Company, 1321 p.
- Gill, R. (1989) *Chemical Fundamentals of Geology*, London : Unwin Hyman, 292 p.
- Montgomery, C. W. (1995) *Environmental Geology*, (4th ed.), Boston : Wm. C. Brown Publishers. 496 p.
- Urey, H. C. (1956) Regarding the early history of the Earth's atmosphere *Geol. Soc. America Bull.* 67: 1125 - 1138.

# لا تنسي الدعاء والصلاه ع النبي



## ثبت المصطلحات

♦ عربي - إنجليزي

♦ إنجليزي - عربي



## عربي - انجليزي

|                       |                               |                                |                                  |
|-----------------------|-------------------------------|--------------------------------|----------------------------------|
| juvenile              | أصلي، أولى، بدائي             | Ataxite                        | أتاكسيت                          |
| mid-oceanic ridges    | أحراف وسط - محيطية            | IUGS                           | الاتحاد الدولي للعلوم الجيولوجية |
| discordant ages       | أعمار غير متفقة               | equilibrium                    | اتزان                            |
| concordant ages       | أعمار متفقة                   | thermal equilibrium            | اتزان حراري                      |
| shells                | أغطية                         | chemical equilibrium           | اتزان كيميائي                    |
| slow neutron capture  | الاقتناص البطيء               | enrichment                     | إثراء                            |
| or                    | للنيوترونات                   | hot brines                     | الأجاج الساخن                    |
| s- process            | اقتناص سريع للنيوترونات       | stress                         | إجهاد                            |
| rapid neutron capture |                               | univariant                     | أحادي التغير                     |
| or                    |                               | monoclinic                     | أحادي الميل                      |
| r-process             |                               | argon retentivity              | احتفاظ بالارجون                  |
| volcanic arcs         | أقواس بركانية                 | biological oxygen demand (bod) | احتياج الأكسجين الحيائي          |
| island arcs           | أقواس جزيرية                  | chemical oxygen demand (COD)   | احتياج الأكسجين الكيميائي        |
| actinides             | أكتينيدات                     | atomic substitution            | إحلال ذري                        |
| oxidation             | أكسدة                         | isomorphous replacement        | إحلال متشاكل                     |
| electron affinity     | ألفة إلكترونية                | diadochic substitution         | إحلال مزدوج                      |
| valence electron      | إلكترون التكافؤ               | diadochy                       | إحلال مزدوج                      |
| core electrons        | إلكترونات اللب                | marginal basins                | أحواض حافية                      |
| overriding plates     | ألواح معتلية                  | rift                           | أخدود                            |
| adsorbtion            | امتزاز                        | differentiation indices        | فدلة التمايز                     |
| absorption            | امتصاص                        | adiabatic                      | أدياباتي                         |
| atomic absorption     | امتصاص ذري                    | atmospheric argon              | أرجون جوي                        |
| evaporites            | أملاح تبخرية                  | ph                             | أس هيدروجيني                     |
| gamma emission        | انبعاث جاما                   | gravitational crystal settling | الاستقرار التجاذبي للبلورات      |
| entropy               | إنتروبية                      | assimilation                   | استيعاب                          |
| decarbonation         | انتزاع الكربون لإزالة الكربنه | capture                        | أسر                              |
| diffusion             | انتشار                        | electron capture               | أسر إلكتروني                     |
| solid diffusion       | انتشار في الحالة الجامدة      | mantle wedge                   | إسفين وشاحي                      |
| seafloor spreading    | انتشار أو تباعد قاع البحر     | artificial                     | اصطناعي                          |
| enthalpy              | إنتالبية                      |                                |                                  |
| enthalpy of fusion    | إنتالبية الانصهار             |                                |                                  |
| continental slope     | الانحدار القاري               |                                |                                  |
| fractional melting    | انصهار تجزئي                  |                                |                                  |
| partial fusion        | انصهار جزئي                   |                                |                                  |
| partial melting       | انصهار جزئي                   |                                |                                  |
| flowage separation    | انفصال فيضي أو سرياني         |                                |                                  |
| molar refractivities  | انكسارات جزئية                |                                |                                  |

wet gravimetric  
metasomatism  
boron metasomatism

تحليل متقالي رطب  
تحوال  
تحوال بمحاليل غنية  
بالبورون

octahedrite  
iso-butane  
inosilicate

لوكناهدريت  
أيزوبوتان  
ينوسيليكات

allochemical  
metamorphism  
iso-chemical  
metamorphism  
contact meta-  
morphism  
ultrameta-morphism

تحويل بالتغير الكيميائي  
تحويل بالتناظر الكيميائي  
تحويل تماسي  
تحويل فانق

mid-ocean ridge  
basalt (MORB)

بازلت أعراف وسط  
المحيط

continental flood  
basalts  
pallasite

بازلت الفيوض القارية  
بالازريت

anaerobic bacteria

بكتيريا لاهوائية

induced coupled  
plasma (ICP)

بلازما مزدوجة حثية

chain structure

بنيات متسلسلة

potassic

بوتاسي

n-butane

بوتان عادي (غاز)

positron

بوزيترون

collision environment

بيئة تصادمية

lineation  
camouflage  
isotope dilution (id)  
constructive  
interference  
geothermal gradient

تخطيط  
تخفي  
تخفيف نظائري  
تداخل بنائي  
التدرج الحراري الأرضي

adiabatic  
decompression  
cumulates  
soil

تراخ أدياباتي  
تراكم بلوري  
تربسة

podzol

تربة البودزول

tundra

تربة التندرا

pedalfer

تربة الومونوحديدية

clay hardpan

تربة سليكاتية

pedocal

تربة كالسية

filter pressing

ترشيح ضغطي

modal mineral  
composition

تركيب معدني فعلي أو  
نمطي

normative mineral  
composition  
troilite

تركيب معدني معياري  
ترويليت

Bowen reaction series

تسلسل بوين للتفاعل

continuous reaction  
series

تسلسل تفاعل متصل

discontinuous reaction  
series

تسلسل تفاعل منقطع أو  
غير متصل

nomenclature

تسمية

anatexis

تسيل - تميل صهاري

isostructuralism

تشابه بنائي

Suess effect

تأثير سيويس

Ionization

تأين

equilibrium  
crystallization

تبلور لتزائي

fractional  
crystallization

تبلور تجزئي

phase-equilibrium  
experiments

تجارب اتزان الصنف

isotopic fractionation

تجاذر نظائري

fractionation

تجزؤ

undersaturated

تحت مشبع

pressure-release

تحرر الضغط

radioactive decay

تحلل إشعاعي

alpha decay

تحلل ألفا

beta decay

تحلل بيتا

photochemical  
dissociation

تحلل ضوء كيميائي

instrumental analysis

تحليل آلي

rapid silicate analysis

تحليل سريع للسيليكات

neutron activation  
(NA)  
foliation  
radial distribution  
distribution  
titania (TiO<sub>2</sub>)  
tiobacillus

تنشيط نيوتروني  
تورق  
توزع إشعاعي  
توزيع - توزع  
تيتانيا  
تيوباسيلوس

ث

equilibrium constant  
decay constant  
screening constant  
dielectric constant  
three-dimensional  
trigonal  
triclinic  
octahedron  
aluminium octahedra  
bivariant  
tholeiitic

ثابت الاتزان  
ثابت التحلل  
ثابت الحجب  
ثابت العزل  
ثلاثي الأبعاد  
ثلاثي الأسطح  
ثلاثي الميل  
ثمانى الأوجه  
ثمانيات الألومينيوم  
ثنائى التغير  
ثولييتية

ج

oceanic islands  
ionic potential  
oxidation - reduction  
potential  
ionization potential  
lime (CaO)

جزر محيطية  
جهد أيوني  
جهد الأكسدة والاختزال  
جهد التأين  
جير

ح

solubility product  
active continental  
margin  
trivalent condition  
solid state  
high-spin state (hs)

حاصل الإذابة  
حافة قارية نشطة  
حالة ثلاثية المتغيرات  
حالة جامدة  
حالة دوران مغزلى عال

isomorphism  
isotypism  
pseudomorph  
diagenesis  
TAS (total alkalis-  
silica) classification  
autoradiography

stratification  
polymorphism  
isomerism  
alterations

infinite change  
finite changes  
segregation  
diffusion reaction  
solid-solid reaction  
hydration or  
dehydration

isotopic exchange  
reactions  
thermonuclear  
reactions  
organic reactions  
disintegration

fluorescence  
x-ray fluorescence  
XRF  
lanthanide contraction  
tektosilicate  
reproducibility  
thermal cracking

crustal  
contamination  
convective  
fractionation  
hydration  
hydrolysis  
coordination  
polyhedron  
cubic

شبه شكلي  
شبه نوعي  
شكل كاذب  
لتصغير  
تصنيف ناس  
تصوير لذاتي الإشعاعي

نطبق  
نعد شكلي  
نعد شكلي عضوي  
تغيرت  
تغيرت غير مكتملة  
تغيرت مكتملة  
تأرق - تفرقة  
تفاعل انتشاري  
تفاعل جامد - جامد  
تفاعلات إضافة أو إزاحة  
لما

تفاعلات تبادل نظائري  
تفاعلات حرارية نووية  
تفاعلات عضوية  
تنكك  
تقلور  
تقلور الأشعة السينية  
تقص لانثاني  
تكتوسيليكات  
تكرارية  
تقسيم حراري  
تلوث قشري

تقلص بالحمل الحراري  
نسيج  
نسيج  
تلفس متعدد الأوجه  
تلفس مكعب الأسطح





destructive plate  
margins  
plate margins  
diffraction

حواف ألواح هدامة  
حواف الألواح  
حيود

electron-spin state

حالة دوران مغزلي  
للإلكترونات

low-spin state (ls)

حالة دوران مغزلي  
منخفض

disequilibrium state

حالة عدم توازن

lower limit of  
detection

الحد الأدنى (تركيز)  
الممكن كشفه

equilibrium boundary

حد الاتزان

homopause

حد التجانس - فاصل  
تجانس

solidus

حد التجمد

Liquidus

حد التسييل

reaction boundary

حد التفاعل

phase boundary

حد الصنف

subduction plate  
boundaries

حدود الألواح المنضوية  
(المنسمة)

metallic iron

حديد فلزي

heat or enthalpy of  
evaporization

حرارة أو إيثالبية التبخير

heat or enthalpy of  
reaction

حرارة أو إيثالبية التفاعل

heat or enthalpy of  
formation

حرارة أو إيثالبية التكون

heat of fusion

حرارة الانصهار

paleotemperature

حرارة ماء المحيط القديمة

absolute temperature

حرارة مطلقة

mobility

حركية - حركة

plate tectonics

حركية الألواح

hydrothermal

حرمائي

sensitivity

حساسية

Tertiary

الحقب الثلاثي

lit-par-lit injection

الحقن طبقة - طبقة

stability fields

حقول الاستقرار

humic acid

حمض دبالي

acidic

حمضي

acidity

حموضة

constructive plate  
margins

حواف ألواح بناءة

خ

fertile

خصب

isochron

خط أعمار متساوية

Moho discontinuity

خط اللااستمرارية لموهو

Weichert -  
Guttenberg  
discontinuity

خط اللااستمرارية

liquid line of descent

لواشريت و جوتنبرج

خط المنحدر (بمعنى

الأصل أو المنشأ) للسائل

discordia line

خط عدم الاتفاق (في

الأعمار)

probable error

الخطأ المحتمل

isogrades

خطوط تناظر لدرجة

Neumann lines

خطوط نيومان

unit cell

الخلية الوحيدة

Trench

خندق

د

intra-plate

داخل اللوح

within-plate

داخل اللوح

specific conductance

درجة التوصيل الذاتي

degree of freedom

درجة الحرية

continental shields

دروع قارية

Precision

دقة

solidification index  
(S.I.)

دليل التجمد

differentiation index

دليل التمايز

suite index

دليل العشيرة

basicity index "B.I."

دليل القاعدية

alkalinity index

دليل القلوية

alkali-lime index

دليل الكالسقلوية

Peacock index

دليل بيكوك





|                            |                                  |                                    |                                |
|----------------------------|----------------------------------|------------------------------------|--------------------------------|
| emission spectrography     | طيف انبعائى                      |                                    |                                |
| aluminous clay             | طين الوميني                      | ض                                  |                                |
| non -expanding clay        | طين غير منتفخ                    | confining pressure                 | الضغط المحيط                   |
| expanding or swelling clay | طين متمد أو منتفخ                | directed pressure                  | الضغط الموجه                   |
| mixed-layer-clays          | طين مختلط المستويات              | vapor pressure                     | ضغط بخارى                      |
|                            |                                  | partial pressure                   | ضغط جزئى                       |
|                            |                                  | lithostatic pressure               | ضغط ليثوستاتى (صخرى ساكن)      |
| anhydrous conditions       | ظروف لا مائية                    | hydrostatic pressure               | ضغط هيدروستاتى                 |
|                            |                                  |                                    |                                |
|                            |                                  | ط                                  |                                |
| deficiency factor          | عامل النقصان                     | stabilization crystal field energy | طاقة استقرار للمجال البلورى    |
| P-T threshold              | عتبة الحرارة و الضغط             | ionization energy                  | طاقة التأين                    |
| atomic number              | العدد الذرى                      | free energy of reaction            | طاقة التفاعل الطليقة           |
| mass number                | العدد الكتلى                     | free energy of formation           | طاقة التكون الطليقة            |
| water hardness             | عسر الماء                        | activation energy                  | طاقة التنشيط                   |
| cogenetic rock suites      | عشائر صخرية مرتبطة المنشأ        | kinetic energy                     | طاقة حركية                     |
| potential energy           | عقبة الطاقة الكامنة              | internal energy                    | طاقة دلخية                     |
| hurdle                     |                                  | free energy                        | طاقة طليقة                     |
| nodules                    | عقد                              | potential energy                   | طاقة كامنة                     |
| barren                     | عقيمة أو قاحلة                   | red beds                           | طبقات حمراء                    |
| geochronology              | علم تاريخ الأرض                  | Sial                               | الطبقة السيلالية               |
| age of homogenization      | عمر التجانس                      | Sima                               | طبقة السيماء                   |
| half life                  | عمر النصف                        | end-members                        | طرفا النهاية                   |
| model age                  | عمر تصورى أو نموذجى              | Fe-end member                      | الطرفات الحديدية               |
| nonadiabatic processes     | عمليات لا أدياباتية              | Mg-end members                     | الطرفات المغنيسومية            |
| irreversible processes     | عمليات لا عكوسة (ذات اتجاه واحد) | Potassium - Argon method           | طريقة بوتاسيوم - أرجون         |
| serpentinization           | عملية سربنة                      | Rubidium - Strontium method        | طريقة روبيدوم - سترونشيوم      |
| reversible process         | عملية عكوسة (ذات اتجاهين)        | Uranium-thorium-lead method        | طريقة يورانيوم - ثوريوم - رصاص |
| atmophile elements         | عناصر أتموفيلية (جوية)           | buoyancy                           | طفو                            |
| oxiphile elements          | عناصر أكسيدية                    | bond length                        | طول الرابطة                    |
| REE                        | عناصر الأرض النادرة              |                                    |                                |

asthenosphere  
Hydrosphere  
homosphere  
heterosphere  
nonradiogenic  
amorphous  
heterodesmic  
unfoliated

الغلاف اللدن  
الغلاف المائي  
الغلاف المتجانس  
الغلاف غير المتجانس  
غير إشعاعي النشأة  
غير متبلور  
غير متجانس للروابط  
غير متورق

ف

Moho discontinuity  
residence time  
residue  
crystalline residue  
vesicular  
episodic lead loss  
continuous lead loss  
alkaline earth metals  
transition metals  
alkali metals  
felsic  
peraluminous  
ultrabasic  
peralkalic  
ultramafic  
oversaturated  
ferrobacillus  
phyllosilicate

فاصل موهر  
فترة المكوث  
فضالة  
فضالة متبلورة  
فقاعي  
فقدان رصاص حولي  
فقدان مستمر للرصاص  
فلزات الأرض القلوية  
فلزات انتقالية  
فلزات قلوية  
فلسي  
فوق ألومنيومي  
فوق قاعدي  
فوق قلوي  
فوق مافي  
فوق مشبع  
فيروباسيلوس  
فيلوسيليكات

ق

biodegradable  
phase rule  
Oddo-Harkins rule  
mineralogical phase  
rule  
Bragg's law

قابل للتحلل بيولوجيا  
قاعدة البصنف  
قاعدة أودو-هاركنز  
قاعدة الصنف المعدنية  
قانون براج

HREE

LREE

rare earth elements  
trace elements  
transition elements  
major elements  
siderophile elements  
large-ion lithophile  
elements

incompatible elements  
chalcophile elements  
sulfophile elements  
lithophile elements  
labile elements  
compatible elements  
immobile elements  
minor elements  
standard sample

magma chambers  
colloids  
mesosphere  
Ionosphere  
Atmosphere  
thermosphere  
(exosphere)  
Biosphere  
Troposphere  
(atmospheric zone)  
Lithosphere  
stratosphere

عناصر الأرض النادرة  
الثقيلة  
عناصر الأرض النادرة  
الخفيفة  
العناصر الأرضية النادرة  
العناصر النذرة  
عناصر انتقالية  
عناصر رئيسة  
عناصر سيدروفيلية  
عناصر صخرية الميل  
كبيرة الأيون  
عناصر غير متوافقة  
عناصر كالكوفيلية  
عناصر كبريتيدية  
عناصر ليثوفيلية  
عناصر متحررة  
عناصر متوافقة  
عناصر محدودة الحركة  
عناصر مقلدة -عناصر  
قليلة الوفرة  
عينة قياسية

غ

غرف الصهارة  
غرويات  
الغلاف الأوسط  
غلاف التآين  
الغلاف الجوي  
الغلاف الحراري أو  
النطاق الخارجي  
الغلاف الحيوي  
الغلاف السفلي أو نطاق  
الجو  
الغلاف الصخري  
الغلاف الطبقي

closed system  
open system  
adiabatic systems  
nonadiabatic systems

كيان مغلق  
كيان مفتوح  
كيانات أدياباتية  
كيانات لا أدياباتية

law of mass action

قانون فعل الكتلة

crust

القشرة

continental crust

قشرة قارية

oceanic crust

قشرة محيطية

alkalis

قلويات

alkalinity

قلوية

Goldschmidt rules

قواعد جولدمسكيت

radiometry

قياس إشعاعي

geothermometry

قياس حرارة تكون الصخر

crystal radius values

قيم أنصاف الأقطار

recommended values

قيم موصى بها

ل

invariant

لا متغير

epigenetic

لاحق النشأة

achondrites

لاكوندرينات

lanthanides

لانثانيدات

core

لب

lithophile

ليثوفيلية (صخرية الميل)

م

oxygenated water

ماء أكسجين

meteoric water

ماء المزن

endothermic

ماص للحرارة

homodesmic

متجانس للروابط

syngenetic

متزامن النشأة

pathogenic micro-organisms

مبعضيات مجهرية  
ممرضة

dependent variable

متغير تابع

independent variable

متغير مستقل

variables

متغيرات

hydrated

متمينة

intermediate

متوسط

hypabyssal

متوسط التوضع

mean life time

متوسط مدة الحياة

groups

مجموعات

solar system

المجموعة الشمسية

solid solutions

محاليل جامدة

subsidiary

محاليل ملفوظة دون حد

exosolutions

التجمد

metaluminous

محدود الألومنيومية

mixed intrusions

محقوقات مخلطة

ك

cations

كاتيونات

calcalaklic

كالسقلوي

calchophile

كالكوفيلية

total organic carbon

الكربون العضوي الكلي

chlorinity

الكلورية

total dissolved solids (tds)

الكمية الكلية المواد الصلبة  
الذائبة

high-quartz

الكوارتز العالي

low-quartz

الكوارتز المنخفض

chondrule

كوندروول

chondrites

كوندرينات

E-chondrites

كوندرينات الإنستاتيت

H-chondrites

كوندرينات عالية الحديد

L-chondrites

كوندرينات منخفضة الحديد

LL-chondrites

كوندرينات منخفضة الحديد

منخفضة الفلز

system

كيان

ternary system

كيان ثلاثي

binary system

كيان ثنائي

quaternary system

كيان رباعي

isolated system

كيان معزول



|                                  |  |                               |                                  |
|----------------------------------|--|-------------------------------|----------------------------------|
| standard mean ocean water (SMOW) | معيان لمتوسط ماء المحيط (عينة معيارية) | omission solid solution       | المحلول الجامد الإسقاطي (الغايي) |
| orthorhombic                     | معيني الشكل                            | solid solution                | محلول جامد                       |
| nutrients                        | مغذيات                                 | substitutional solid solution | محلول جامد إحلالى                |
| paleomagnetism                   | مغناطيسية عتيقة                        | interstitial solid solution   | محلول جامد بينى                  |
| greenhouse effect                | مفعول الدفينة (الببوت النباتية)        | phase diagram                 | مخطط الصنف                       |
| refactory                        | مقاوم للصهر                            | back-arcs spreading centers   | مراكز الانتشار خلف الأقواس       |
| geothermometer                   | مقياس حرارى جيولوجى                    | main sequence stage           | مرحلة المتوالية الرئيسية         |
| milli-equivalent                 | مكافىء ميللى                           | metalo-organic complexes      | مركبات فلز-عضوية                 |
| inclusions                       | مكتنقات                                | electron microprobe           | مسبار مجهز إلكترونى              |
| fluid inclusions                 | مكتنقات الموائع                        | depleted                      | مستنفذ                           |
| cube                             | مكعب                                   | horizon                       | مستوى                            |
| component                        | مكون                                   | lattice planes                | مستويات الشبكية                  |
| matrix effect                    | مكونات بينية                           | seismograph                   | مسجل الزلازل                     |
| xenoliths                        | ملتققات (صخور غريبة)                   | saturated                     | مشبع                             |
| salinity                         | ملوحة                                  | flame photometry              | مضوئية اللهب                     |
| subduction zones                 | مناطق الانضواء                         | mass spectrometer             | مطياف الكتلة                     |
| concordia curve                  | منحنى الاتفاق (بين الأعمار)            | microprobe mass spectrometer  | مطياف الكتلة الميكرومبارى        |
| detrital                         | منقول - حثائى                          | colour spectrometer           | مطياف لوني                       |
| fluids                           | موائع                                  | ferromagnesian minerals       | معادن حديدومغنيسومية             |
| P-waves                          | موجات أولية                            | index minerals                | معادن دلالية                     |
| S-waves                          | الموجات الثانوية                       | coexisting minerals           | معادن متصاحبة                    |
| L-waves                          | الموجات الطويلة                        | isotype minerals              | معادن متماثلة البنية البلورية    |
| seismic waves                    | موجات اهتزازية                         | parameters                    | معالم                            |
| body waves                       | موجات جوفية                            | distribution coefficient      | معامل التوزيع                    |
| surface waves                    | موجات سطحية                            | partition coefficient         | معامل التوزيع                    |
| ground water                     | مياه أرضية (جوفية)                     | multicationic parameters      | معاملات متعددة الكاتيونات        |
| terrestrial water                | مياه لقارات                            | normalization                 | معايرة                           |
| mesosiderite                     | ميزوسيدريت                             | titration                     | معايرة                           |
|                                  |  | norm                          | معاير                            |
| turbulent fountain               | نافورة دوامية                          |                               |                                  |
| proto-stars                      | النجوم الأولية                         |                               |                                  |

ن

|                               |                           |                            |                              |
|-------------------------------|---------------------------|----------------------------|------------------------------|
| negatrons                     | نيجاترونات                | native cu                  | نحاس منفرد                   |
| Canyon Diablo meteorite       | نيزك مضيق ديابلو          | initial ratio              | النسبة البدائية              |
| nesosilicate or orthosilicate | نيزوسليكات أو أورثوسليكات | molecular proportion       | النسبة الجزيئية              |
| pneumatolytic                 | نيوماتوليكتي              | molar ratio                | نسبة جزيئية                  |
|                               |                           | widmanstatten texture      | نسيج ويدمنستاتن              |
|                               |                           | activity                   | نشاط                         |
|                               |                           | radioactivity              | نشاط إشعاعي                  |
|                               |                           | specific activity          | نشاط إشعاعي ذاتي             |
| hexahydrite                   | هكساهيدريت                | ionic radius               | نصف القطر الأيوني            |
|                               |                           | oxidation zone             | نطاق الأكسدة                 |
|                               |                           | ocean abyss                | نطاق العمق المحيطي           |
|                               |                           | transition zone            | نطاق انتقال                  |
|                               |                           | zoning                     | نطاقات                       |
| oxygen oasis                  | واحات الأكسجين            | rift zones                 | نطاقات الأخاديد              |
| mantle                        | وشاح                      | parent isotopes            | النظائر الوالدة (الأم)       |
| upper mantle                  | الوشاح العلوي             | environmental isotopes     | نظائر بيئية                  |
| fossil fuel                   | وقود أحفوري               | light isotopes             | نظائر خفيفة                  |
|                               |                           | radiogenic isotopes        | نظائر ذات النشأة الإشعاعية   |
|                               |                           |                            | نظائر مستقرة                 |
| reliable                      | يعول عليها                | stable isotope             | نظائر مشعة                   |
| adsorb                        | يمتز                      | radioactive isotopes       | نظائر وليدة                  |
| hot brines                    | ينابيع مالحة ساخنة        | daughter isotopes          | نقطة ثلاثية                  |
| ureilite                      | يوريليت                   | triple point               | نمط                          |
|                               |                           | mode                       | نمط مئري                     |
|                               |                           | enriched pattern           | نمط مسطح                     |
|                               |                           | flate pattern (REE)        | نمو فوق                      |
|                               |                           | overgrowth                 | نويذة                        |
|                               |                           | nuclide                    | نيزاك                        |
|                               |                           | meteorites                 | نيزاك حديدية                 |
|                               |                           | iron meteorites            | نيزاك حديدية أو سيدريت       |
|                               |                           | siderites or irons         | نيزاك صخر حديدية             |
|                               |                           | siderolites                | نيزاك صخر حديدية أو سيدروليت |
|                               |                           | stony irons or siderolites | نيزاك صخرية أو يوروليت       |
|                               |                           | aerolites                  |                              |

إنجليزي - عربى

A

|                           |                        |
|---------------------------|------------------------|
| absolute temperature      | حرارة مطلقة            |
| absorption                | امتصاص                 |
| accuracy                  | صحاحية أو مصداقية      |
| achondrites               | لاكوندرينات            |
| acidic                    | حمضى                   |
| acidity                   | حموضة                  |
| actinides                 | أكتينيدات              |
| activation energy         | طاقة التنشيط           |
| active continental margin | حافة قارية نشطة        |
| activity                  | نشاط                   |
| adiabatic                 | أدياباتي               |
| adiabatic systems         | كائنات أدياباتي        |
| adiabatic decompression   | تراخ أدياباتي          |
| adsorb                    | يمتز                   |
| adsorbition               | امتزاز                 |
| aerolites                 | نيازك صخرية أو إيروليت |
| age of homogenization     | عمر التجانس            |
| akermanite                | أكرمانيت               |
| albite                    | ألبيت                  |
| alkali metals             | فلزات قلوية            |
| alkalic magma             | صهارة قلوية            |
| alkali-lime index         | دليل الكالسقلوية       |
| alkaline earth metals     | فلزات الأرض القلوية    |
| alkalinity                | قلوية                  |
| alkalinity index          | دليل القلوية           |
| alkalis                   | قلويات                 |
| allochemical metamorphism | تحول بالتغير الكيميائي |
| alpha decay               | تحلل ألفا              |
| alterations               | تغيرات                 |
| aluminium octahedra       | ثمانيات الألومنيوم     |
| aluminous clay            | طين الوميني            |

|                      |                         |
|----------------------|-------------------------|
| amorphous            | غير متبلور              |
| anaerobic bacteria   | بكتيريا لاهوائية        |
| anatexis             | تميل - تميل صهارى       |
| anhydrous conditions | ظروف لا مائية           |
| argon retentivity    | احتفاظ بالارجون         |
| artificial           | اصطناعى                 |
| assimilation         | استيعاب                 |
| asthenosphere        | الغلاف اللدن            |
| ataxite              | أناكسيت                 |
| atmophile elements   | عناصر أتموفيلية (جوية)  |
| Atmosphere           | الغلاف الجوى            |
| atmospheric argon    | أرجون جوى               |
| atomic absorption    | امتصاص ذرى              |
| atomic number        | العدد الذرى             |
| atomic substitution  | إحلال ذرى               |
| autoradiography      | التصوير الذاتى الإشعاعى |

B

|                                |                            |
|--------------------------------|----------------------------|
| back-arcs spreading centers    | مراكز الانتشار خلف الأقواس |
| barren                         | عقيمة أو قاحلة             |
| basicity index "B.I."          | دليل القاعدية              |
| beta decay                     | تحلل بيتا                  |
| bimodal                        | زوجية المنوال              |
| binary system                  | كيان ثنائى                 |
| biodegradable                  | قابل للتحلل بيولوجيا       |
| biological oxygen demand (bod) | احتياج الأكسجين الحياتى    |
| Biosphere                      | الغلاف الجوى               |
| bivariant                      | ثنائى التغير               |
| body waves                     | موجات جوفية                |
| bond length                    | طول الرابطة                |
| boron metasomatism             | تحول بمحاليل غنية بالبورون |
| Bowen reaction series          | تسلسل بوين للتفاعل         |
| Bragg's law                    | قانون براج                 |
| buoyancy                       | طفو                        |



## C

|                                 |                             |
|---------------------------------|-----------------------------|
| calcalakic                      | كالسقلى                     |
| calchophile                     | كالكوفيلية                  |
| camouflage                      | تخفى                        |
| Canyon Diablo meteorite capture | نيزك مضيق ديابلو            |
| cation exchange capacity (CEC)  | أسر                         |
| cations                         | سعة التبادل الكاتيولى       |
| chain structure                 | كاثيونات                    |
| chalcophile elements            | بنيات متسلسلة               |
| chemical equilibrium            | عناصر كالكوفيلية            |
| chemical oxygen demand (COD)    | اتزان كيميائى               |
| chlorinity                      | احتياج الأكسجين الكيمايى    |
| chondrites                      | الكلورية                    |
| chondrule                       | كوندريتات                   |
| clay hardpan                    | كوندرول                     |
| clay schist                     | تربة سليكاتية               |
| closed system                   | شست الطين                   |
| coexisting minerals             | كيان مغلق                   |
| cogenetic rock suites           | معادن متصاحبة               |
|                                 | عشائر صخرية مرتبطة          |
|                                 | المنشأ                      |
| collision environment           | بيئة تصادمية                |
| colloids                        | غرويات                      |
| colour spectrometer             | مطياف لوني                  |
| compatible elements             | عناصر متوافقة               |
| component                       | مكون                        |
| concordant ages                 | أعمار متفقة                 |
| concordia curve                 | منحنى الاتفاق (بين الأعمار) |
| confining pressure              | الضغط المحيط                |
| constructive interference       | تداخل بنائى                 |
| constructive plate margins      | حواف ألواح بناءة            |
| contact meta-morphism           | تحول تماسى                  |

|                            |                            |
|----------------------------|----------------------------|
| continental crust          | قشرة قارية                 |
| continental flood basalts  | بازلت الفيوض القارية       |
| continental shields        | دروع قارية                 |
| continental slope          | الانحدار القارى            |
| continuous lead loss       | فقدان مستمر للرصاص         |
| continuous reaction series | تسلسل تفاعل متصل           |
| convective fractionation   | تمايز بالحمل الحرارى       |
| coordination polyhedron    | تناسق متعدد الأوجه         |
| core                       | لب                         |
| core electrons             | إلكترونات اللب             |
| covalent bond              | رابطة تساهمية              |
| crust                      | القشرة                     |
| crustal contamination      | تلوث قشرى                  |
| crystal radius values      | قيم أنصاف الأقطار البلورية |
| crystalline residue        | فضالة متبلورة              |
| cube                       | مكعب                       |
| cubic                      | تناسق مكعب الأسطح          |
| cummulates                 | تراكم بلورى                |
| cyclosilicates             | سليكات حلقة                |

## D

|                           |                               |
|---------------------------|-------------------------------|
| daubrelite                | دوبريليت                      |
| daughter isotopes         | نظائر وليدة                   |
| decarbonation             | انتزاع الكربون لإزالة الكربنه |
| decay constant            | ثابت التحلل                   |
| deficiency factor         | عامل النقصان                  |
| degree of freedom         | درجة الحرية                   |
| dependent variable        | متغير تابع                    |
| depleted                  | مستنفد                        |
| destructive plate margins | حواف ألواح هدامة              |
| detrital                  | منقول - حثائى                 |
| diabase                   | ديابيز                        |

diadochic substitution  
diadochy  
diagenesis  
dielectric constant  
differentiation index  
differentiation indices  
diffraction  
diffusion  
diffusion reaction  
directed pressure  
discontinuous reaction series  
discordant ages  
discordia line  
discrimination diagrams  
disequilibrium state  
disintegration  
distribution  
distribution coefficient  
dolstone

E

E-chondrites  
effective nuclear charge  
electron affinity  
electron capture  
electronegative  
electronegativity  
electron microprobe  
electron-spin state  
emission spectrography  
end-members

إحلل مزدوج  
إحلل مزدوج  
التصخر  
ثابت العزل  
دليل التمايز  
أدلة التمايز  
حيود  
إنتشار  
تفاعل انتشاري  
الضغط الموجه  
تسلسل تفاعل متقطع أو  
غير متصل  
أعمار غير متفقة  
خط عدم الاتفاق (في  
الأعمار)  
رسومات التمييز البيانية  
حالة عدم توازن  
تفكك  
توزيع - توزع  
معامل التوزيع  
صخر دولوميتي

كوندريتات الإنستاتيت  
شحنة نووية فعالة  
ألفة إلكترونية  
أسر إلكتروني  
سالب الكهربائية  
سالبية كهربية  
مسبار مجهرى إلكتروني  
حالة دوران مغزلي  
للإلكترونات  
طيف انبعائي  
طرفا النهاية

endothermic  
enriched pattern  
enrichment  
enthalpy  
enthalpy of fusion  
entropy  
environmental isotopes  
epigenetic  
episodic lead loss  
equilibrium  
equilibrium boundary  
equilibrium constant  
equilibrium crystallization  
evaporites  
expanding or swelling clay  
extrusive rocks

F

facies  
Fe-end member  
felsic  
ferrobacillus  
ferromagnesian minerals  
fertile  
filter pressing  
finite changes  
flame photometry  
flute pattern (REE)  
flowage separation  
fluid inclusions  
fluids  
fluorescence  
foliation  
fossil fuel

ماص للحرارة  
نمط منري  
إثراء  
إنتالبية  
إنتالبية الانصهار  
إنتروبية  
نظائر بيئية  
لاحق النشأة  
فقدان رصاص حولي  
توازن  
حد الاتزان  
ثابت الاتزان  
تبلور اتزانى  
أملاح تبخرية  
طين متمد أو منتفخ  
صخور فيضية  
سحنة  
الطرفيات الحديدية  
فلسي  
فيروباسيلوس  
معادن حديدومغنسيومية  
خصبة  
ترشيح ضغطي  
تغيرات مكتملة  
مضوئية اللهب  
نمط مسطح  
لفصل فيضى أو سريانى  
مكتنفات المواقع  
مواقع  
تقود  
نورق  
وقود أحفوري

|                            |                      |                      |                      |
|----------------------------|----------------------|----------------------|----------------------|
| fractional crystallization | تبلور تجزئى          | hexagonal            | معدنى الأوجه         |
| fractional melting         | انصهار تجزئى         | hexahydrite          | هيكساهيدريت          |
| fractionation              | تجزؤ                 | high-quartz          | الكوارتز العالى      |
| free energy                | طاقة طليقة           | high-spin state (hs) | حالة دوران مغزلى عال |
| free energy of formation   | طاقة التكون الطليقة  | homodesmic           | متجانس الروابط       |
| free energy of reaction    | طاقة التفاعل الطليقة | homopause            | حد التجانس - فاصل    |

## G

|                                |                                 |                          |                              |
|--------------------------------|---------------------------------|--------------------------|------------------------------|
| gamma emission                 | إنبعاث جاما                     | homosphere               | الغلاف المتجانس              |
| geochronology                  | علم تاريخ الأرض                 | horizon                  | مستوى                        |
| geothermal gradient            | التدرج الحرارى الأرضى           | hot brines               | الأجاج الساخن                |
| geothermometer                 | مقياس حرارى جيولوجى             | hot brines               | ينابيع مالحة ساخنة           |
| geothermometry                 | قياس حرارة تكون الصخر           | HREE                     | عناصر الأرض النادرة          |
| glaucofan schist               | شست الجلوكونى                   | humic acid               | حمض دبالى                    |
| Goldschmidt rules              | قواعد جولدميدت                  | hydrated                 | متميئة                       |
| greenhouse effect              | مفعول الدفينة (الببوت النباتية) | hydration                | تميؤ                         |
| gravitational crystal settling | الاستقرار التجاذبى للبلورات     | hydration or dehydration | تفاعلات إضافة أو إزالة الماء |
| ground water                   | مياه أرضية (جوفية)              | hydrolysis               | تميؤ                         |
| groups                         | مجموعات                         | Hydrosphere              | الغلاف المائى                |
|                                |                                 | hydrostatic pressure     | ضغط هيدروستاتى               |
|                                |                                 | hydrothermal             | حرمائى                       |
|                                |                                 | hypabyssal               | متوسط التوضع                 |

## H

|                                 |                           |  |  |
|---------------------------------|---------------------------|--|--|
| half life                       | عمر النصف                 |  |  |
| Harker variation diagrams       | رسوم هاركر للتباين        |  |  |
| H-chondrites                    | كوندريتات عالية الحديد    |  |  |
| heat flow                       | سريان حرارى               |  |  |
| heat of fusion                  | حرارة الانصهار            |  |  |
| heat or enthalpy of evaporation | حرارة أو إنثالبية التبخير |  |  |
| heat or enthalpy of formation   | حرارة أو إنثالبية التكون  |  |  |
| heat or enthalpy of reaction    | حرارة أو إنثالبية التفاعل |  |  |
| heterosphere                    | الغلاف غير المتجانس       |  |  |
| hetodesmic                      | غير متجانس الروابط        |  |  |

## I

|                              |                     |
|------------------------------|---------------------|
| immobile elements            | عناصر محدودة الحركة |
| inclusions                   | مكتنفات             |
| incompatible elements        | عناصر غير متوافقة   |
| independent variable         | متغير مستقل         |
| index minerals               | معادن دلالية        |
| induced coupled plasma (ICP) | بلازما مزدوجة حثية  |
| infinite change              | تغيرات غير مكتملة   |
| initial ratio                | النسبة البدائية     |
| inosilicate                  | إينوسيليكات         |
| instrumental analysis        | تحليل آلى           |
| intermediate                 | متوسط               |



Scanned by CamScanner

|                              |                             |                                     |                                  |
|------------------------------|-----------------------------|-------------------------------------|----------------------------------|
| LREE                         | عناصر الأرض النادرة الخفيفة | mid-ocean ridge basalt (MORB)       | بازلت أعراف وسط المحيط           |
| L-waves                      | الموجات الطويلة             | mid-oceanic ridges                  | أعراف وسط - محيطية               |
| M                            |                             | milli-equivalent                    | مكافئ مبللى                      |
|                              |                             | mineralogical phase rule            | قاعدة الصنف المعدنية             |
| magma                        | صهارة                       | minor elements                      | عناصر مقلدة - عناصر قليلة الوفرة |
| magma chambers               | غرف الصهارة                 | mixed intrusions                    | محقونات مخالطة                   |
| magmatic silicate melt       | صهارة سليكاتية              | mixed-layer-clays                   | طين مختلط المستويات              |
| main sequence stage          | مرحلة المتوالية الرئيسية    | mobility                            | حركية - حركة                     |
| major elements               | عناصر رئيسية                | modal mineral composition           | تركيب معدنى فعلى أو نمطى         |
| mantle                       | وشاح                        | mode                                | نمط                              |
| mantle wedge                 | إسفين وشاحى                 | model age                           | عمر تصورى أو نموذجى              |
| marble                       | رخام                        | Moho discontinuity                  | فاصل موهو                        |
| marginal basins              | أحواض حافية                 | Moho discontinuity.                 | خط للاستمرارية لموهو             |
| mass number                  | العدد الكتلى                | molar refractivities                | انكسارات جزيئية                  |
| mass spectrometer            | مطياف الكتلة                | molar ratio                         | نسبة جزيئية                      |
| matrix effect                | مكونات بيئية                | molecular proportion                | النسبة الجزيئية                  |
| mean life time               | متوسط مدة الحياة            | monoclinic                          | أحادى الميل                      |
| mesosiderite                 | ميزوسيدريت                  | multicationic parameters            | معاملات متعددة الكاتيونات        |
| mesosphere                   | الغلاف الأوسط               | N                                   |                                  |
| metallic bond                | رابطة فلزية                 |                                     |                                  |
| metallic iron                | حديد فلزى                   | native cu                           | نحاس منفرد                       |
| metalo-organic complexes     | مركبات فلز - عضوية          | n-butane                            | بوتان عادى (غاز)                 |
| metaluminous                 | محدود الألومنيومية          | negatrons                           | نيجاترونات                       |
| metamorphic facies           | سحنات متحولة                | nesosilicate or orthosilicate       | نيزوسليكات أو أورثوسليكات        |
| metamorphic grade            | رتبة التحول                 | Neumann lines                       | خطوط نيومان                      |
| metasomatism                 | تحول                        | neutron activation (NA)             | تنشيط نيوترونى                   |
| metastable                   | شبه مستقر                   | nodules                             | عقد                              |
| meteoric water               | ماء المزن                   | nomenclature                        | تسمية                            |
| meteorites                   | نيازك                       | non -expanding or non-swelling clay | طين غير متمدد أو غير منتفخ       |
| Mg-end members               | الطرفيات المغنيسومية        |                                     |                                  |
| mg-number                    | رقم المغنسيوم               |                                     |                                  |
| mica schist                  | شمست المايكا                |                                     |                                  |
| microprobe mass spectrometer | مطياف الكتلة الميكرومبارى   |                                     |                                  |

nonadiabatic  
processes  
nonadiabatic systems  
nonradiogenic  
norm  
normalization  
normative mineral  
composition  
nuclide  
nutrients

عمليات لا أديباتية  
كميات لا أديباتية  
غير إشعاعي النشأة  
معياري  
معايرة  
تركيب معنوي معياري  
نويدي  
مغذيات

O

ocean abyss  
oceanic crust  
oceanic islands  
octahedrite  
octahedron  
Oddo-Harkins rule  
omission solid  
solution  
opal  
open system  
organic reactions  
orthorhombic  
overgrowth  
overriding plates  
oversaturated  
oxidation  
oxidation - reduction  
potential  
oxidation zone  
oxiphile elements  
oxygen oasis  
oxygenated water

نطاق العمق المحيطي  
قشرة محيطية  
جزر محيطية  
أوكتايدريت  
ثمانى الأوجه  
قاعدة أودو-هاركنز  
المحلول الجامد الإسقاطي  
(الغنيابي)  
أوبال  
كيان مفتوح  
تفاعلات عضوية  
معنى الشكل  
نمو فوقى  
ألواح معتلية  
فوق مشبع  
أكسدة  
جهد الأكسدة والاختزال  
نطاق الأكسدة  
عناصر أكسدية  
وحدات الأكسجين  
ماء أكسجين

P

paleomagnetism  
paleotemperature

مغناطيسية عتيقة  
حرارة ماء المحيط القديمة

pallasite  
parameters  
parent isotopes  
partial fusion  
partial melting  
partial pressure  
partition coefficient  
pathogenic micro-  
organisms

Peacock index  
pedalfer  
pedocal  
peralkalic  
peraluminous  
periods  
ph  
phase

phase boundary  
phase diagram  
phase diagrams  
phase rule  
phase-equilibrium  
experiments  
photochemical  
dissociation  
phyllosilicate  
plate margins  
plate tectonics  
plutonic rocks  
pneumatolytic  
podzol  
polymorphism  
porphyritic  
positron  
potassic

بالازيت  
معالم  
النظائر الولادة (الأم)  
انصهار جزئي  
انصهار جزئي  
ضغط جزئي  
معامل التوزيع  
متعضبات مجهرية  
ممرضة  
دليل بيكوك  
تربة الومونوحديدية  
تربة كالمسية  
فوق قلو  
فوق ألومنيومي  
دورات  
أس هيدروجيني  
صنف (مادة) طور  
(زمن)  
حد الصنف  
مخطط الصنف  
رسوم الصنف البيانية  
قاعدة الصنف  
تجارب تزان الصنف  
تحلل ضوء كيميائي  
فيلوسيليكات  
حواف الألواح  
حركة الألواح  
صخور جوفية  
نيوماتوليتي  
تربة البودزول  
تعدد شكلي  
سماقي (بورفيرى)  
بوزيترون  
بوتاسي



**S**

T



|                                   |                            |
|-----------------------------------|----------------------------|
| trench                            | خندق                       |
| triclinic                         | ثلاثي الميل                |
| trigonal                          | ثلاثي الأسطح               |
| triple point                      | نقطة ثلاثية                |
| trivalent condition               | حالة ثلاثية المتغيرات      |
| troilite                          | ترويليت                    |
| Troposphere<br>(atmospheric zone) | الغلاف السفلى أو نطاق الجو |
| tundra                            | تربة التندرا               |
| turbulent fountain                | نافورة دوامية              |

U

|                             |                                |
|-----------------------------|--------------------------------|
| ultrabasic                  | فوق قاعدي                      |
| ultramafic                  | فوق مافى                       |
| ultrameta-morphism          | تحول فاتق                      |
| undersaturated              | تحت مشبع                       |
| unfoliated                  | غير متورق                      |
| unit cell                   | الخلية الوحيدة                 |
| univariant                  | أحادي التغير                   |
| upper mantle                | الوشاح العلوى                  |
| Uranium-thorium-lead method | طريقة يورانيوم - ثوريوم - رصاص |
| ureilite                    | يوريليت                        |

V

|                    |                   |
|--------------------|-------------------|
| valence electron   | إلكترون التكافؤ   |
| van der waals bond | رابطة فان دير فال |
| vapor pressure     | ضغط بخارى         |
| variables          | متغيرات           |
| variation diagrams | رسوم التباين      |
| vesicular          | فقاعى             |
| volcanic arcs      | أقواس بركانية     |

W

|                          |                |
|--------------------------|----------------|
| water hardness           | عسر الماء      |
| Weichert -<br>Guttenberg | خط للاستمرارية |

|                       |                   |
|-----------------------|-------------------|
| discontinuity         | لواشعرت و جوتنبرج |
| wet gravimetric       | تحليل مثقالى رطب  |
| widmanstatten texture | نسيج ويدمانستان   |
| within-plate          | داخل للوح         |

X

|                           |                      |
|---------------------------|----------------------|
| xenoliths                 | ملتقعات (صخور غريبة) |
| x-ray fluorescence<br>XRF | تفلور الأشعة السينية |

Z

|        |        |
|--------|--------|
| zoning | نطاقات |
|--------|--------|



# كشاف الموضوعات

اللهم صلي وسلم وبارك على سيدنا محمد وعلى آله وصحبه أجمعين

|                     |                      |        |                         |
|---------------------|----------------------|--------|-------------------------|
| 360                 | أسناتين              | 34     | أتاكسيت                 |
| 207، 199            | أسر                  | 185    | الاتحاد الدولي للعلوم   |
| 366، 352            | أسر إلكترونى         |        | الجيولوجية              |
| 158                 | إسفين وشاحى          | 15     | الاتحاد الدولي للكيمياء |
| 344                 | اصطناعى              |        | البحث والتطبيقية        |
| 316                 | إضافة أو إزالة الماء | 28     | الأشعة الكونية          |
| 155                 | أعراف وسط المحيط     |        | اتزان                   |
| 362                 | أعمار غير متفقة      | 96، 91 | اتزان حرارى             |
| 362                 | أعمار متفقة          | 96     | اتزان الصنف             |
| 3                   | أغلفة                | 92     | اتزان كيميائى           |
| 26                  | اقتناص النيوترونات   | 97     | الأجاج الساخن           |
|                     | البطيء               | 408    | الأعداد الذرية          |
| 26                  | اقتناص النيوترونات   | 24، 23 | أحادى التغير            |
|                     | السريع               | 101    | احتفاظ بالأرجون         |
| 156                 | أقواس بركانية        | 367    | احتياج الأكسجين         |
| 158-156             | أقواس جزيرية         | 415    | الحياتى                 |
| 16، 14              | أكتينيدات            |        | احتياج الأكسجين         |
| 360، 14             | أكتينيوم             | 415    | الكيميائى               |
| 261                 | أكسدة                |        | إحلال ذرى               |
| 113                 | ألفة إلكترونية       | 144    | إحلال مشاكل             |
| 8                   | إلكترون التكافؤ      | 206    | إحلال مزدوج             |
| 8                   | إلكترونات اللب       | 146    | إحلال بالقبول           |
| 158                 | ألواح معتلية         | 207    | أحواض حافية             |
| 10، 40، 46، 182-184 | ألومنيوم             | 159    | أدلة التمايز            |
| 414، 278            | امتراز               | 180    | أدياباتى                |
| 278                 | امتصاص               | 83     | أرجون                   |
| 171                 | امتصاص ذرى           | 9      | الأرجون الجوى           |
| 322، 327، 325، 331  | أمفيبوليت            | 366    | إزالة الكربنه           |
| 332                 |                      | 105    | أس هيدروجينى            |
| 299                 | أملاح تبخرية         | 262    | الاستقرار التجانبي      |
| 352                 | انبعاث جاما          | 165    |                         |
| 79                  | إنثروبية             |        |                         |

|          |                         |          |                      |
|----------|-------------------------|----------|----------------------|
| 172      | بلازما مزوجة حثية       | 105      | التزاع الكربون       |
| 40       | بنائية الأرض            |          |                      |
| 45       | بنائية القشرة           | 334      | انتشار فى الحالة     |
| 40       | بنائية اليابسة          |          | الجامدة              |
| 135      | بنيات متسلسلة           | 159      | انتشار أو تباعد قاع  |
| 125      | بنية بلورية             |          | البحر                |
| 9        | بوتاسيوم                | 75       | إنثالية              |
| 136      | بوتان عادى (غاز)        | 76       | إنثالية التبخير      |
| 10       | بورون                   | 77       | إنثالية التفاعل      |
| 352      | بوزيترون                | 77       | إنثالية التكون       |
| 360، 26  | بولونيوم                | 76       | إنثالية الانصهار     |
| 14       | بوهريوم                 | 3        | أنجستروم             |
| 157      | بيئة تصادمية            | 122، 118 | أنصاف الأقطار        |
|          | <b>ت</b>                | 95، 53   | انصهار تجزئى         |
| 170      | تأثير سيوس              | 161      | انصهار جزئى          |
| 259      | تأين                    | 165      | انفصال فيضى أو       |
| 371      | تبادل نظائرى            |          | سريانى               |
| 164      | تبلور توازنى            | 121      | انكسارات جزئية       |
| 164      | تبلور تجزئى             | 33، 32   | أوكتاهيدريت          |
| 371، 343 | تجزؤ نظائرى             | 136      | أيزوبوتان            |
| 179      | تحت مشبع                | 135      | إينوسليكات           |
| 161      | تحرر الضغط              |          | <b>ب</b>             |
| 370- 343 | تحلل إشعاعى             | 52       | باريوم               |
| 351      | تحلل ألفا               | 157      | بازلت أعراف وسط      |
| 352      | تحلل بيتا               |          | المحيط               |
| 432      | تحلل ضوء كيميائى        | 237      | بازلت الفيوض القارية |
| 174      | تحليل آلى               | 31       | بالازيت              |
| 171      | تحليل سريع للسليكات     | 3        | بروتون               |
| 333      | تحوال                   | 52، 10   | بريليوم              |
| 133      | تحول بالتغير الكيميائى  | 360، 26  | بزموت                |
| 333-310  | تحول بالتناظر الكيميائى | 389      | بكتيريا لاهوائية     |



|          |                      |                      |               |
|----------|----------------------|----------------------|---------------|
| 335      | تحويل فائق           | تعدد شكلي            | 139، 89       |
| 310      | تخطيط                | تعدد شكلي عضوي       | 137           |
| 207      | تخفي                 | تغيرات               | 180           |
| 366، 172 | تخفيف نظائري         | تغيرات غير مكتملة    | 73            |
| 120      | تداخل بنائي          | تغيرات مكتملة        | 73            |
| 161      | تراخ أدياباتى        | تفارق - تفرقة        | 162           |
| 182      | تراكم بلورى          | تفاعل انتشارى        | 308           |
| 286      | تربـة                | تفاعل جامد - جامد    | 105           |
| 288      | تربة البونزول        | تفاعلات إضافة أو     | 316           |
| 289      | تربة التندرا         | إزاحة الماء          |               |
| 288      | تربة الومونوحديدية   | تميز                 | 260، 259، 157 |
| 289      | تربة سليكاتية        | تفاعلات تبادل نظائري | 371           |
| 288      | تربة كالمية          | تفاعلات حرارية نووية | 24            |
| 165      | ترشيح ضغطي           | تفاعلات حيوية        | 374           |
| 58       | التركيب الكلى للأرض  | تفكك (إشعاعى)        | 369           |
| 176      | تركيب معدنى فعلى أو  | تفلور                | 345           |
|          | نمطى                 | تفلور الأشعة السينية | 171           |
| 175      | تركيب معدنى معيارى   | تقلص لانتانى         | 220، 17، 16   |
| 165      | تسلسل بوين للتفاعل   | تكتوسليكات           | 136           |
| 166      | تسلسل تفاعل متصل     | تكرارية              | 172           |
| 166      | تسلسل تفاعل متقطع أو | تكسير حرارى          | 387           |
|          | غير متصل             | تلوث                 | 159           |
| 335، 161 | تسيل - تمثل صهارى    | تلوث قشرى            | 160           |
| 138      | تشابه بنائى          | تمايز بالحمل الحرارى | 165           |
| 138      | تشابه شكلي           | تميز                 | 260-259       |
| 138      | تشابه نوعى           | تناسق سداسى          | 131           |
| 306      | التصخر               | تناسق متعدد الأوجه   | 126           |
| 61       | تصنيف العناصر        | تناسق مكعب الأسطح    | 126           |
| 186      | تصنيف تاس            | تنشيط نيوترونى       | 172           |
| 218      | التصوير الذاتى       | تورق                 | 310           |
|          | الإشعاعى             | توزع إشعاعى          | 121           |
| 305      | تطبيق                | توزيع الإلكترونات    | 8-5           |

|                    |                       |              |                      |
|--------------------|-----------------------|--------------|----------------------|
| 104                | حالة ثلاثية المتغيرات | 199          | ثيتانيا              |
| 160                | حالة جامدة            | 40، 12       | ثيتانيوم             |
| 124                | حالة دوران مغزلي عال  | 267          | ثيوباسيلوس           |
| 124                | حالة دوران مغزلي      |              |                      |
|                    | للإلكترونات           |              |                      |
| 124                | حالة دوران مغزلي      | 97           | ثابت الاتزان         |
|                    | منخفض                 | 348          | ثابت التحلل          |
| 359، 284           | حتائي (منقول)         | 121          | ثابت الحجب           |
| 16، 15             | حجم الأيونات          | 115          | ثابت العزل           |
| 175                | الحد الأدنى (تركيز)   | 14           | ثاليوم               |
|                    | الممكن كشفه           | 142          | ثلاثي الميول         |
| 106، 103           | حد الاتزان            | 275          | ثمانيات الألومينيوم  |
| 169، 165-163       | حد التجمد             | 101          | ثنائي التغير         |
| 164-163            | حد التسييل            | 142          | ثنائية المسك         |
| 103                | حد التفاعل            | 360، 359، 23 | ثوريوم               |
| 89                 | حد الصنف              | 190          | ثوليبيتية            |
| 156                | حدود الألواح المنضوية |              |                      |
|                    | (المندسة)             |              |                      |
| -191، 184، 180، 25 | حديد                  | 51، 52       | جاليوم               |
| 195                |                       | 11           | الجنول النوري        |
| 379                | حرارة ماء المحيط      | 52           | جرمانيوم             |
|                    | القديمة               | 25           | جسيم ألفا            |
| 257، 154           | حركية - حركة          | 26           | جسيم بيتا            |
| 153                | حركية الألواح         | 262          | جهد الأكسدة          |
| 220                | حرمانى                | 261          | جهد الأكسدة          |
| 174                | حسامية                |              | والاختزال            |
| 336                | الحقن طبقة - طبقة     | 8، 271-272   | جهد التأين           |
| 89                 | حقول الاستقرار        | 210، 214     | جهد أيونى            |
| 180                | حمض                   | 196          | جير (أكسيد كالمسيوم) |
| 417                | حموضة                 |              |                      |
| 158، 156           | حواف ألواح بناءة      | 291          | حاصل الإذابة         |
| 156                | حواف ألواح هدامة      |              | حافة قارية نشطة      |
| 155                | حواف الألواح          |              |                      |

## ث

## ج

## ح

|             |                       |     |                       |
|-------------|-----------------------|-----|-----------------------|
| 190         | دليل القلوية          | 120 | حيود                  |
| 197         | دليل الكالسقلوية      |     | خ                     |
| 197         | دليل بيكوك            | 160 | خصب                   |
| 14          | دوبنيوم               | 355 | خط أعمار متساوية      |
| 11          | دورات                 | 45  | خط اللاستمراية        |
|             | ر                     |     | لموهو                 |
| 112         | رابطة أيونية          | 45  | خط اللاستمراية        |
| 115         | رابطة تساهمية         |     | لواشرت و جوتنبرج      |
| 117         | رابطة فان دير فال     | 182 | خط المنحدر (بمعنى     |
| 118         | رابطة فلزية           |     | الأصل أو المنشأ)      |
| 360         | راديوم                | 363 | خط عدم الانكافئ (فى   |
| 360، 14     | رادون                 |     | الأعمار)              |
| 135-133     | رباعيات السليكا       | 172 | الخطأ المحتمل         |
| 167         | رباعيات الأوجه        | 314 | خطوط تناظر الرتبة     |
| 326         | رتبة التحول           | 34  | خطوط نيومان           |
| 305         | رخام                  | 167 | الخلية الوحيدة        |
| 14          | رذرفورنيوم            | 157 | خندق                  |
| 181         | رسوم هاركر للتباين    |     | د                     |
| 180         | رسوم التباين          |     | داخل اللوح            |
| 89          | رسوم الصنف البيانية   | 159 | داخل الألواح المحيطية |
| 238         | رسومات عنكبوتية       | 157 | داخل الألواح القارية  |
| 364-359، 52 | رصاص                  | 157 | دالة جيس              |
| 391         | رواسب طباقية الارتباط | 83  | دوبرليت               |
| 354، 60، 59 | روبيديوم              | 64  | درجة التوصيل الذاتى   |
|             | ز                     | 416 | درجة الحرية           |
| 60          | زركونيوم              | 99  | دروع قارية            |
| 429         | زفير                  | 54  | دفقة                  |
| 367         | زمن التحول (عمر)      | 172 | دليل التجمد           |
| 9           | زنون                  | 193 | دليل التمايز          |
| 14          | زئبق                  | 197 | دليل العشيرة          |
| 12          | زنك (خارصين)          | 196 | دليل القاعدية         |



|                    |                      |                    |                       |
|--------------------|----------------------|--------------------|-----------------------|
| 154                | صخور جوفية           |                    |                       |
| 154                | صخور فيضية           |                    |                       |
| 93                 | صنف (مادة)           | 113                | س                     |
| 154                | صهارة                | 354، 60            | سالبية كهربية         |
| 168                | صهارة بدائية         | 41                 | سترنشيوم              |
| 190                | صهارة تحت قلبية      | 3                  | سجل الزلازل           |
| 154                | صهارة سنليكاتية      | 325                | سحابة إلكترونية       |
| 190                | صهارة قلبية          | 325                | سحنات متحولة          |
| 184                | صودا                 | 278                | سحنة                  |
| 10، 177، 180، 182، | صوديوم               | 12                 | سعة التبادل الكاتيوني |
| 185، 184           |                      | 351                | سكانديوم              |
|                    |                      | 182-178            | سلسلة مشعة            |
|                    |                      | 135-134            | السليكا               |
|                    |                      | 46، 10             | سليكات حلقة           |
| 307                | الضغط المحيط         | 164                | سليكون                |
| 307                | الضغط الموجه         | 26                 | سماقي (بورفيرى)       |
| 307                | ضغط ليثوستاتى        | 135                | سوبرنوبا              |
|                    | (صخرى ساكن)          | 14                 | سوروسليكات            |
| 307                | ضغط هيدروستاتى       | 13                 | سيرجيوم               |
|                    |                      |                    | سيرنيوم               |
|                    |                      |                    | ش                     |
| 213                | طاقة استقرار للمجال  | 223                | شاذة سالبة للروبيديوم |
|                    | البلورى              | 143                | شبه مستقر             |
| 10، 8              | طاقة التأين          | 121                | شحنة نووية فعالة      |
| 85                 | طاقة التفاعل الطليقة | 30                 | شرايبرزيت             |
| 89                 | طاقة التنشيط         | 330، 329، 327، 323 | الشمس الأخضر          |
| 71                 | طاقة حركية           | 331، 323           | شمس الجلوكوفين        |
| 73                 | طاقة داخلية          | 305                | شمس المايكا           |
| 79                 | طاقة طليقة           |                    |                       |
| 73، 72             | طاقة كامنة           |                    |                       |
| 432                | طبقات حمراء          |                    |                       |
| 192                | الطرفيات الحديدية    | 173                | ص                     |
| 192                | الطرفيات المغنسيومية | 153                | صاحبة أو مصداقية      |
|                    |                      | 296                | صخر المشأ             |
|                    |                      |                    | صخر دولوميتى          |

|            |                                |                             |                        |
|------------|--------------------------------|-----------------------------|------------------------|
| 367-365    | طريقة بوتاسيوم - أرجون         | اتجاه واحد)                 |                        |
| 359-354    | طريقة روبيدوم - سترونشيوم      | عملية سربنة                 | 334                    |
| 370-368    | طريقة كربون - 14               | عملية عكوسة (ذات اتجاهين)   | 82                     |
| 365-359    | طريقة يورانيوم - ثوريوم - رصاص | عناصر أتموفيلية (جوية)      | 62                     |
| 163        | طفو                            | عناصر أكسيدية               | 65                     |
| 119        | طول الرابطة                    | عناصر الأرض النادرة         | 14، 40، 230            |
| 172        | طيف انبعائي                    | عناصر الأرض النادرة الثقيلة | 221                    |
| 266        | طين الوميني                    | عناصر الأرض النادرة الخفيفة | 221                    |
| 278        | طين غير منتفخ                  | العناصر الخاملة             | 9                      |
| 278        | طين متمد أو منتفخ              | العناصر النزرة              | 160، 169، 171-175، 204 |
| 282        | طين مختلط المستويات            | عناصر فلزية انتقالية        | 12، 124                |
|            | ع                              | عناصر رئيسة                 | 169، 170               |
| 103        | عتبة الحرارة و الضغط           | عناصر سيدروفيلية            | 28، 62                 |
| 195        | عدد المغنسيوم                  | عناصر صخرية الميل           | 210                    |
| 3، 10، 343 | العدد الذري                    | كبيرة الأيون                |                        |
| 343        | العدد الكتلي                   | عناصر غير متوافقة           | 160، 169، 209، 214     |
| 417        | عمر الماء                      | عناصر قلوية                 | 165، 183               |
| 180        | عشائر صخرية مرتبطة المنشأ      | عناصر كالكوفيلية            | 28، 62، 227، 337       |
| 88         | عقبة الطاقة الكامنة            | عناصر كبريتيدية             | 65                     |
| 160        | عقيمة أو قاحلة                 | عناصر ليثوفيلية             | 28، 62                 |
| 345        | علم تأريخ الأرض                | عناصر متحررة                | 157                    |
| 359        | عمر التجانس                    | عناصر متوافقة               | 169، 210، 212          |
| 349        | عمر النصف                      | عناصر محدودة الحركة         | 201                    |
| 358، 353   | عمر تصويري أو نمونجي           | عناصر مقلدة - عناصر         | 23، 170                |
| 74         | عمليات لا أدياباتية            | قليلة الوفرة                | 173                    |
| 82         | عمليات لا عكوسة (ذات           | عينة قياسية                 |                        |

|               |                           |         |                       |
|---------------|---------------------------|---------|-----------------------|
| 10            | فلزات قلوية               |         |                       |
| 178           | فلمسى                     |         |                       |
| 183           | فوق ألومنيومى             | 163-158 | غرف الصحارة           |
| 165، 159      | فوق قاعدى                 | 414     | غرويات                |
| 183           | فوق قلوى                  | 427     | الغلاف الأوسط         |
| 179           | فوق مشبع                  | 425، 40 | الغلاف الجوى          |
| 267           | فيروباسيلوس               | 428     | الغلاف الحرارى أو     |
| 136           | فيلوسليكات                |         | النطاق الخارجى        |
|               |                           | 384     | الغلاف الحيوى         |
|               |                           | 426     | الغلاف السفلى أو نطاق |
|               |                           |         | الجو                  |
|               |                           |         | الغلاف الصخرى         |
| 419           | قابل للتحلل بيولوجيا      | 155، 40 | الغلاف الطبقي         |
| 311، 165، 99  | قاعدة الصنف               | 427     | الغلاف اللدن          |
| 24            | قاعدة أدو-ماركنز          | 155     | الغلاف المائى         |
| 311           | قاعدة الصنف المعدنية      | 397، 40 | الغلاف المتجانس       |
| 72            | القانون الأول للديناميكا  | 425     | الغلاف غير المتجانس   |
|               | الحرارية                  | 425     | غير إشعاعى النشأة     |
| 120           | قانون براج                | 354     | غير متبلور            |
| 79            | القانون الثانى للديناميكا | 111     | غير متجانس الروابط    |
|               | الحرارية                  | 118     | غير متورق             |
| 334           | قانون فعل الكتلة          | 309     |                       |
| 50، 49، 47    | القشرة (تركيب كيميائى)    |         |                       |
| 49، 47        | قشرة قارية                |         |                       |
| 157، 49، 47   | قشرة محيطية               |         |                       |
|               | قواعد جولدشميدت           | 160، 45 | فاصل موهو             |
| 128           | قواعد باولينج             | 409     | فترة المكوث           |
|               | قياس إشعاعى               | 415     | فضالة                 |
| 379           | قياس حرارة تكون           | 162     | فضالة متبلورة         |
|               | الصخر                     | 94      | فقاعى                 |
| 173           | قيم موصى بها              | 362     | فقدان رصاص حولى       |
|               |                           | 362     | فقدان مستمر للرصاص    |
|               |                           | 10      | فلزات الأرض القلوية   |
| 167، 166، 132 | كالسيوم                   | 124     | فلزات انتقالية        |
| 207، 10       | كالكوفيلية                |         |                       |

## غ

## ق

## ف



|            |                    |              |                        |
|------------|--------------------|--------------|------------------------|
| 31         | لاثنالوم           | 31           | كامسيت                 |
| 220، 13    | لاثنائيدات 10      | 388، 131، 31 | كبريت                  |
| 57، 45، 39 | لب الأرض           | 12، 9        | كربتون                 |
| 15، 13     | لوتشيوم            | 384، 10      | كربون                  |
| 14         | لورنسيوم           | 415          | الكربون العضوى الكلى   |
| 337        | ليثوفيلية (صخرية)  | 401          | الكلورية               |
|            | (الميل)            | 416          | الكمية الكلية المواد   |
| 11، 10     | ليثيوم             |              | الصلبة الذائبة         |
|            | م                  | 142، 141     | الكوارتز العالى        |
| 415        | ماء أكسجين         | 142، 141     | الكوارتز المنخفض       |
| 381        | ماء المزن          | 30           | كوندرول                |
| 381        | ماء اولى (بدائى،   | 29           | كوندريتات              |
|            | أصلى)              | 35           | كوندريتات الإستاتيت    |
| 417        | ماء عسر            | 31           | كوندريتات كربونية      |
| 118        | متجانس الروابط     | 35           | كوندريتات عالية الحديد |
| 390        | متزامن النشاء      | 35           | كوندريتات منخفضة       |
| 419        | متعضيات مجهرية     |              | الحديد                 |
|            | ممرضة              | 35           | كوندريتات منخفضة       |
| 181        | متغير تابع         |              | الحديد منخفضة الفلز    |
| 180        | متغير مستقل        | 92           | كيان                   |
| 181        | متغيرات            | 96           | كيان ثلاثى             |
| 157، 99    | متمينة             | 95           | كيان ثنائى             |
| 164        | متوسط التوضع       | 96           | كيان رباعى             |
| 429        | متوسط مدة الحياة   | 93           | كيان معزول             |
| 11         | المجموعات          | 353، 93      | كيان مطلق              |
| 144، 143   | محاليل جامدة       | 93           | كيان مفتوح             |
| 184        | محدود الألومنيومية | 83           | كيانات أديباتية        |
| 168        | محقوقات مخططة      | 83           | كيانات لا أديباتية     |
| 147        | محلول جامد إحلالى  |              | ل                      |
| 147        | محلول جامد بيلى    | 391          | لاحق للنشاء            |
| 89         | مخطط الصنف         | 31           | لاكوندريتات            |

|          |                                |                   |                                    |
|----------|--------------------------------|-------------------|------------------------------------|
| 308      | جيولوجى                        | 156               | مراكز الانتشار خلف<br>الأكولس      |
| 174      | مكتشفات الموائع                | 25                | مرحلة المتواليات الرئيسية          |
| 401      | مكونات بينية                   | 414               | مركبات فلز-عضوية                   |
| 157      | ملوحة                          | 210               | مسبار مجهرى                        |
| 363، 362 | مناطق الانضواء                 |                   | إلكترونى                           |
|          | منحنى الاتفاق (بين<br>الأعمار) | 160               | مستند                              |
| 15، 14   | منذلفيوم                       | 287               | مستوى                              |
| 154      | موانع                          | 120               | مستويات الشبكية                    |
| 42       | موجات أولية                    |                   | مسجل الزلازل                       |
| 42       | الموجات الثانوية               | 179               | مشبع                               |
| 42       | الموجات الطويلة                | 171               | مضوائية الذهب                      |
| 41       | موجات رجفية                    | 355               | مطياف الكتلة                       |
| 41       | موجات جوفية                    | 364               | مطياف الكتلة                       |
| 41       | موجات سطحية                    |                   | الميكروسبارى                       |
| 407      | مياه أرضية (جوفية)             | 220               | معادن تتنالية                      |
| 405      | مياه القارات                   | 314               | معادن حليلية                       |
| 14       | ميترريوم                       | 308               | معادن متصاحبة                      |
| 32       | ميزوسيدريت                     | 220               | معادن نيوباتية                     |
|          |                                | 337               | معامل التوزيع                      |
|          |                                | 209               | معامل التوزيع                      |
|          |                                | 239               | معاملات متعددة                     |
|          |                                |                   | الكاتيونات                         |
| 168      | نافورة دوامية                  |                   | معايرة                             |
| 30       | نحاس                           | 417، 221          | معاير                              |
| 355      | النسبة البدائية                | 175               | مغنسيوم                            |
|          | للمسترنيوم                     |                   |                                    |
| 244      | النسبة الجزئية                 | 10، 46، 165، 180، |                                    |
| 21       | نشأة الكون                     | 185، 187، 191-195 |                                    |
| 24       | نشأة العناصر                   | 367               | مغنطيسية عتيقة                     |
| 26       | نشأة المجموعة الشمسية          | 436               | مفعول الدفينة (البيوت<br>النباتية) |
| 351، 346 | نشاط إشعاعى                    |                   | مقاوم للصهر                        |
| 369      | نشاط إشعاعى ذاتى               | 192               | مقياس حرارى                        |
| 191      | نطاق الأكسدة                   | 379، 146          |                                    |

|                   |                   |              |                        |
|-------------------|-------------------|--------------|------------------------|
|                   | هـ                | 364          | لطاقات                 |
|                   | هيدروجين          | 375، 344     | نظائر الأكسجين         |
| 3، 11، 22، 23، 27 | هيليوم            | 350          | النظائر الوالدة (الأم) |
| 9، 22، 23         | هيكساميدريت       | 345          | نظائر بينية            |
| 32                |                   | 345          | نظائر خفيفة            |
|                   | و                 | 350          | نظائر ذات النشأة       |
|                   | واحات الأكسجين    |              | الإشعاعية              |
| 432               | الوشاح الانتقالي  | 344          | نظائر طبيعية           |
| 55، 44            | الوشاح السفلى     | 388، 344     | نظائر الكبريت          |
| 55، 44            | الوشاح العلوى     | 384          | نظائر الكربون          |
| 52، 44            | ي                 | 392-371، 344 | نظائر مستقرة           |
|                   | يتربيوم           | 344          | نظائر مشعة             |
| 13                | ينابيع ملحة ساخنة | 375          | نظائر الهيدروجين       |
| 298               | يورانيوم          | 350          | نظائر وليدة            |
| 52، 40، 27        |                   | 100          | نمط                    |
|                   |                   | 221          | نمط مئرى               |
|                   |                   | 221          | نمط مستفد              |
|                   |                   | 221          | نمط مسطح               |
|                   |                   | 364          | نمو فوقى               |
|                   |                   | 3            | نواة                   |
|                   |                   | 14           | نوبليوم                |
|                   |                   | 343          | نويده                  |
|                   |                   | 34، 29، 27   | نيزاك                  |
|                   |                   | 32، 29       | نيزاك حديدية           |
|                   |                   | 36، 31       | النيزاك الصخر حديدية   |
|                   |                   | 29           | نيزاك صخرية            |
|                   |                   | 352          | نيجاترونات             |
|                   |                   | 26، 3        | نيوترون                |
|                   |                   | 310، 220     | نيوماتوليتى            |
|                   |                   | 27، 9        | ليون                   |



مطابع جامعة الملك عبد العزيز

الله صلي وسلم وبارك على سيدنا محمد وعلى آله وصحبه أجمعين



**محمد بن أحمد عبد الرحمن قزاز**  
أستاذ الجيوكيمياء بكلية علوم الأرض  
جامعة الملك عبد العزيز

- \* دبلوم في علم المعادن من جامعة فرايبورج بألمانيا - عام ١٩٧١ م. عنوان رسالة الدبلوم: « فحص معدني على المعادن الثقيلة المفصولة من الرماد البركاني المستخرج من أنابيب الحفر للمياه الساخنة في زينجن بمنطق هيجاو ».
- \* دكتوراه في العلوم الطبيعية من جامعة فرايبورج بألمانيا - عام ١٩٧٤ م. عنوان رسالة الدكتوراه «دراسات جيوكيميائية وبتروجرافية على تواجدات اليورانيوم في صخور الجرانيت لمنطقة تريبيرج».
- \* مدرس بقسم الجيولوجيا بكلية العلوم ١٣٩٥-١٣٩٧ هـ.
- \* أستاذ مساعد بكلية العلوم ١٣٩٧-١٤٠٠ هـ.
- \* رئيساً لقسم الجيولوجيا بكلية العلوم ١٣٩٧-١٣٩٨ هـ.
- \* أستاذ مشارك بكلية علوم الأرض ١٤٠٠ هـ.
- \* رئيساً لقسم الجيوكيمياء بكلية علوم الأرض ١٣٩٨-١٤٠٣ هـ.
- \* وكيلاً لكلية علوم الأرض للدراسات العليا والبحث العلمي ١٤٠٣-١٤٠٧ هـ.
- \* رئيساً لقسم الثروة المعدنية والصخور ١٤١٣-١٤١٥ هـ.
- \* أستاذ الجيوكيمياء اعتباراً من ١٤١٨ هـ.
- \* أشرف على العديد من رسائل الدكتوراه والماجستير.
- \* له العديد من الأبحاث المنشورة في مجال جيوكيمياء الرواسب المعدنية والمواد المشعة.



**أحمد حسنين يوسف حشاد**  
أستاذ الجيوكيمياء بهيئة المواد النووية  
جمهورية مصر العربية

- \* بكالوريوس علوم (جيولوجيا - كيمياء) من جامعة القاهرة عام ١٩٥٧ م.
- \* دكتوراه فلسفة العلوم في علم المعادن والجيوكيمياء من جامعة يوتا بالولايات المتحدة الأمريكية ١٩٦٤ م.
- \* باحث بهيئة الطاقة الذرية المصرية عام ١٩٦٤-١٩٧٤ م.
- \* محاضر بجامعة القاهرة والإسكندرية وقناة السويس والأزهر لطلاب الدراسات العليا.
- \* أستاذ مشارك بقسم الجيولوجيا - كلية العلوم، جامعة الملك عبد العزيز ١٩٧٤-١٩٧٨ م.
- \* أستاذ ورئيس قطاع البحوث بهيئة المواد النووية المصرية ١٩٧٨-١٩٨٣ م.
- \* أستاذ بكلية علوم الأرض، جامعة الملك عبد العزيز ١٩٨٣-١٩٩٢ م.
- \* أستاذ بهيئة المواد النووية منذ عام ١٩٩٢ م.
- \* أشرف على ثلاثة عشر رسالة دكتوراه وأربعة عشر رسالة ماجستير منحت جميعها من جامعات المملكة وجمهورية مصر العربية.
- \* حصل على جائزة الدولة التشجيعية في العلوم الجيولوجية من أكاديمية العلوم بجمهورية مصر العربية عام ١٩٨٠ م.
- \* حصل على وسام العلوم والفنون من الطبقة الأولى من رئيس جمهورية مصر العربية عام ١٩٨٢ م.